

NÁZEV VÝKRESU:	ČÍSLO:
<b>Statické posouzení</b>	<b>C</b>

**Předmět statického posouzení:**

Předmětem této části PD je návrh a posouzení základních nosných prvků a předpokladů - Zemědělská Akademie a Gymnázium Hořice, Modernizace Stávajícího statku

**Použité normy, literatura:**

ČSN EN 1990	Eurokód: Zásady navrhování konstrukcí
ČSN EN 1991-1-1	Eurokód 1: Zatížení konstrukcí, část 1-1 Objemová tíha, vlastní tíha a užitná zatížení pozemních staveb
ČSN EN 1991-1-3/Z1:2006	Eurokód 1: Zatížení konstrukcí, část 1-3 Zatížení sněhem
ČSN EN 1991-1-4	Eurokód 1: Zatížení konstrukcí, část 1-4 Zatížení větrem
ČSN EN 1992-1-1	Eurokód 2: Navrhování betonových konstrukcí - Část 1-1: Obecná pravidla a pravidla pro pozemní stavby
ČSN EN 1996-1-1	Eurokód 6: Navrhování zděných konstrukcí - Část 1-1: Obecná pravidla
ČSN EN 1993-1-1	Eurokód 3: Navrhování ocelových konstrukcí - Část 1-1: Obecná pravidla a pravidla pro pozemní stavby
ČSN EN 1997-1-1	Eurokód 7: Navrhování geotechnických konstrukcí - Část 1-1: Obecná pravidla

Statické a konstrukční tabulky, část I, 3 vydání, 2000

**Software:**

Microsoft Office Excel 2007  
 Dlubal Rfem  
 IDEASstatica  
 FINE - Patky

	Autorizace:	DATUM:
		04 / 2022
		Č. ZAKÁZKY
		210172
		Paré:
Vypracoval: Ing. Roman Kalamar, Ph.D.  Kontroloval: Ing. Tomáš Fremr, Ph.D.		

Akce:			Datum:			
ZEMĚDĚLSKÁ AKADEMIE A GYMNÁZIUM HOŘICE			04 / 2022			
MODERNIZACE ŠKOLNÍHO STATKU			Popis:			
			STATICKÉ POSOUZENÍ			
Výpočet zatížení						
1.0 Střešní konstrukce - S03						
Popis prvku:						
Nová konstrukce střech						
	tl. [mm]	kN/m3	z.š. [m]	q <sub>k</sub> [kN/m <sup>2</sup> ]	γ <sub>F</sub>	q <sub>d</sub> [kN/m <sup>2</sup> ]
a) zatížení - stálé						
extenzivní substrát						
panel KingSpan	200	1,4	1	0,28	1,35	0,38
podhled	12,5	25	1	0,31	1,35	0,42
celkem stálé				0,59	0,80	
b1) zatížení - proměnné užité						
nepřístupné střechy s výjimkou běžné údržby			kategorie EN 1991-1-1			
	H		1	0,75	1,50	1,13
b2) zatížení - proměnné - sníh						
	S <sub>k</sub> = μ <sub>1</sub> *S <sub>k</sub>		1	1,20	1,50	1,80
sněhová oblast (I, II, III, IV, V, VI, VII)						
charakteristická hodnota zatížení			III	ČSN EN 1991-1-3:Z1-2006		
sklon střechy	Sk	1,5	kN/m2			
tvárový součinitel	α	5	-			
	μ1	0,800	-			
zatížení sněhovými návěje - NAD 1.02, 1.06, 1.07						
sklon vyšší střechy - α	α	2,00	[°]	1	3,00	1,50
μ <sub>s</sub> - vliv sesunutí sněhu z horní střechy	μ <sub>s</sub>	0,00	[-]			4,50
γ - objemová tíha sněhu	g	2,00	[kN/m <sup>3</sup> ]			
h - výškový rozdíl střešních konstrukcí	h	3,92	[m]			
b1 - šířka části objektu s vyšší střechou	b <sub>1</sub>	11,5	[m]			
b2 - šířka části objektu s nižší střechou	b <sub>2</sub>	5,6	[m]			
μ <sub>w</sub> - vliv působení větru	μ <sub>w</sub>	2,00	[-]			
μ <sub>w</sub> = (b <sub>1</sub> + b <sub>2</sub> )/2h < γh/S <sub>k</sub>	γh/S <sub>k</sub>	4,00	[-]	splňuje		
tvárový součinitel - μ <sub>2</sub> = μ <sub>s</sub> + μ <sub>w</sub>	μ <sub>2</sub>	2,00	[-]			
délka návěje - l <sub>s</sub> = 2h	l <sub>s</sub>	7,84	[m]	b2 < l <sub>s</sub>		
pro trvalé/dočasné návrh. situace	S	3,00	[kN/m <sup>2</sup> ]	S = μ <sub>2</sub> *C <sub>t</sub> *C <sub>e</sub> *S <sub>k</sub>		
b3) zatížení - proměnné - vítr						
větrná oblast (I, II, III, IV)			II	1	ČSN EN 1991-1-4:2007	
výchozí základní rychlost větru			v <sub>b,o</sub>	25	m/s	
výška konstrukce			h	9	m	
šířka konstrukce			b	22,5	m	
referenční výška			z <sub>e</sub>	9	m	
kategorie terénu (0,I, II, III, IV)			III	-	oblasti rovnoměrně pokryté vegetací nebo budovami	
střední rychlost větru - v <sub>m</sub>			v <sub>m</sub> (z)	18,31	m/s	
součinitel drnlosti terénu			c <sub>r</sub> (z)	0,733	-	
součinitel terénu v závislosti na výšce z			k <sub>r</sub>	0,215	-	
součinitel ortografie			c <sub>0</sub> (z)	1,0	-	
součinitele expozice - c <sub>e</sub> (z)			c <sub>e</sub> (z)	3,06	-	
základní dynamický tlak větru			q <sub>b</sub> (z)	0,641	kN/m <sup>2</sup>	
*SOUČINITELE C <sub>pe</sub> – GENERUJE PROGRAM RFEM – DLUBAL						
2.0 skladba 201,207,208,212						
	tl. [mm]	kN/m3	z.š. [m]	q <sub>k</sub> [kN/m <sup>2</sup> ]	γ <sub>F</sub>	q <sub>d</sub> [kN/m <sup>2</sup> ]
a) zatížení - stálé						
drátkobeton	115	25	1	2,88	1,35	3,88
izolace	5	20	1	0,10	1,35	0,14
EPS	30	1,1	1	0,03	1,35	0,04
celkem stálé				3,01	4,06	
b) zatížení - proměnné užité						
plochy ke shromažďování lidí (sportovní haly)			kategorie EN 1991-1-1			
	C5		1	5,0	1,50	7,50

Akce:			Datum:			
ZEMĚDĚLSKÁ AKADEMIE A GYMNÁZIUM HOŘICE			04 / 2022			
MODERNIZACE ŠKOLNÍHO STATKU			Popis:			
			STATICKÉ POSOUZENÍ			
3.0 podlaha 203,204,213a-d,214a-h,215-216						
	tl. [mm]	kN/m3	h [m]	q <sub>k</sub> [kN/m <sup>2</sup> ]	γ <sub>F</sub>	q <sub>d</sub> [kN/m <sup>2</sup> ]
a) zatížení - stálé						
vinilová podlaha	5	18	1	0,09	1,35	0,12
samonivelační stěrka	10	20	1	0,20	1,35	0,27
betonová mazanina	70	25	1	1,75	1,35	2,36
EPS polystyren	65	1,1	1	0,07	1,35	0,10
zatížení celkem (G)				2,11		2,85
b) zatížení - proměnné užité						
			kategorie EN 1991-1-1			
plochy ke shromažďování lidí (sportovní haly)	C5		1	5,0	1,50	7,50
4.0 Stěna obvodová						
	tl. [mm]	kN/m3	h [m]	q <sub>k</sub> [kN/m]	γ <sub>F</sub>	q <sub>d</sub> [kN/m]
a) zatížení - stálé						
panel KingSpan	200	1,4	1	0,28	1,35	0,38
zatížení celkem (G)				0,28		0,38
5.0 Stěna - příčka						
	tl. [mm]	kN/m3	h [m]	q <sub>k</sub> [kN/m]	γ <sub>F</sub>	q <sub>d</sub> [kN/m]
a) zatížení - stálé						
omítka vnitřní	15	18	4,75	1,28	1,35	1,73
zdivo cihelné - ref. zn. POROTHERM	175	9	4,75	7,48	1,35	10,10
omítka vnitřní	15	18	4,75	1,28	1,35	1,73
zatížení celkem (G)				10,05		13,56
6.0 Schodiště - rameno						
	tl. [mm]	kN/m3	h [m]	q <sub>k</sub> [kN/m <sup>2</sup> ]	γ <sub>F</sub>	q <sub>d</sub> [kN/m <sup>2</sup> ]
a) zatížení - stálé						
kamenný obklad	15	19	1	0,29	1,35	0,38
lepidlo	10	18	1	0,18	1,35	0,24
betonový stupeň	85	23	1	1,96	1,35	2,64
zatížení celkem (G)				2,42		3,27
7.0 Schodiště - rameno, mezipodesta						
	tl. [mm]	kN/m3	h [m]	q <sub>k</sub> [kN/m <sup>2</sup> ]	γ <sub>F</sub>	q <sub>d</sub> [kN/m <sup>2</sup> ]
a) zatížení - stálé						
kamenný obklad	15	19	1	0,29	1,35	0,38
lepidlo	10	18	1	0,18	1,35	0,24
mazanina	50	23	1	1,15	1,35	1,55
zatížení celkem (G)				1,62		2,18
8.0 Schodiště - podlaha 202						
	tl. [mm]	kN/m3	h [m]	q <sub>k</sub> [kN/m <sup>2</sup> ]	γ <sub>F</sub>	q <sub>d</sub> [kN/m <sup>2</sup> ]
a) zatížení - stálé						
drátkobeton	115	25	1	2,88	1,35	3,88
izolace	5	20	1	0,10	1,35	0,14
EPS 200 kPa	30	1,1	1	0,03	1,35	0,04
zatížení celkem (G)				3,01		4,06
9.0 podlaha 103, 105, 106, 107, 112, 113						
	tl. [mm]	kN/m3	h [m]	q <sub>k</sub> [kN/m <sup>2</sup> ]	γ <sub>F</sub>	q <sub>d</sub> [kN/m <sup>2</sup> ]
a) zatížení - stálé						
žb deska	210	25	1	5,25	1,35	7,09
zatížení celkem (G)				5,25		7,09
b) zatížení - proměnné užité						
			kategorie EN 1991-1-1			
plochy ke shromažďování lidí (sportovní haly)	C5		1	5,0	1,50	7,50

Akce:

ZEMĚDĚLSKÁ AKADEMIE A GYMNÁZIUM HOŘICE  
MODERNIZACE ŠKOLNÍHO STATKU

Datum:

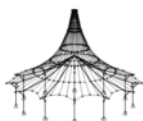
04 / 2022

Popis:

STATICKÉ POSOUZENÍ

**10.0 podlaha 101, 114-117**

	tl. [mm]	kN/m <sup>3</sup>	h [m]	q <sub>k</sub> [kN/m <sup>2</sup> ]	γ <sub>F</sub>	q <sub>d</sub> [kN/m <sup>2</sup> ]
<b>a) zatížení - stálé</b>						
vinilová zátěžová	5	19	1	0,10	1,35	0,13
samonivelační stěrka	15	20	1	0,30	1,35	0,41
beton deska	140	25	1	3,50	1,35	4,73
<b>zatížení celkem (G)</b>				<b>3,90</b>		<b>5,26</b>
<b>b) zatížení - proměnné užité</b>						
	kategorie EN 1991-1-1					
plochy ke shromažďování lidí (sportovní haly)	<b>C5</b>		1	5,0	1,50	7,50



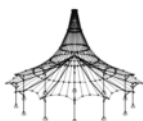
Projekt:

Model: HOŘICE-KONSTRUKCE\_3D\_Budova\_redukováne ..

## 4.1 UZLY - PODPOROVÉ SÍLY

Kombinace výsledků

Uzel č.	KV		Podporové síly [kN]			Podporové momenty [kNm]			
			P <sub>x</sub>	P <sub>y</sub>	P <sub>z</sub>	M <sub>x</sub>	M <sub>y</sub>	M <sub>z</sub>	
489	KV1	Max	2.930	49.106	281.708	174.525	5.529	-0.209	MSÚ (STR/GEO) - trvalá/dočasná - rovn. 6.10a a 6.10b
		Min	-0.772	-11.969	126.837	37.318	-6.078	-0.314	MSÚ (STR/GEO) - trvalá/dočasná - rovn. 6.10a a 6.10b
		Max P <sub>x</sub>	2.930	-10.666	189.327	48.444	0.149	-0.283	KZ 205
		Min P <sub>x</sub>	-0.772	47.253	180.528	152.160	-5.935	-0.213	KZ 231
		Max P <sub>y</sub>	-0.729	49.106	141.174	158.050	-6.005	-0.213	KZ 207
		Min P <sub>y</sub>	2.896	-11.969	189.584	37.318	0.270	-0.282	KZ 242
		Max P <sub>z</sub>	1.150	20.474	281.708	133.745	-0.591	-0.239	KZ 148
		Min P <sub>z</sub>	-0.714	49.070	126.837	157.479	-5.960	-0.210	KZ 183
		Max M <sub>x</sub>	2.189	32.469	172.051	174.525	-0.746	-0.230	KZ 214
		Min M <sub>x</sub>	2.896	-11.969	189.584	37.318	0.270	-0.282	KZ 242
		Max M <sub>y</sub>	-0.321	36.184	176.087	160.590	5.529	-0.269	KZ 269
		Min M <sub>y</sub>	-0.743	45.319	205.956	145.718	-6.078	-0.212	KZ 196
		Max M <sub>z</sub>	-0.713	47.109	152.226	150.972	-5.975	-0.209	KZ 184
		Min M <sub>z</sub>	1.547	0.345	233.366	91.398	0.009	-0.314	KZ 49
	KV2	Max	1.884	35.388	222.473	138.870	3.618	-0.187	MSP - charakteristická
		Min	-0.573	-5.325	119.239	47.595	-4.101	-0.237	MSP - charakteristická
		Max P <sub>x</sub>	1.884	-4.460	160.896	54.974	0.042	-0.236	KZ 536
		Min P <sub>x</sub>	-0.573	34.147	155.033	124.019	-4.003	-0.190	KZ 562
		Max P <sub>y</sub>	-0.545	35.388	128.797	127.989	-4.054	-0.189	KZ 538
		Min P <sub>y</sub>	1.860	-5.325	161.067	47.595	0.124	-0.236	KZ 573
		Max P <sub>z</sub>	0.717	16.269	222.473	111.478	-0.544	-0.206	KZ 443
		Min P <sub>z</sub>	-0.538	35.367	119.239	127.657	-4.025	-0.188	KZ 514
		Max M <sub>x</sub>	1.391	24.293	149.383	138.870	-0.555	-0.201	KZ 545
		Min M <sub>x</sub>	1.860	-5.325	161.067	47.595	0.124	-0.236	KZ 573
		Max M <sub>y</sub>	-0.280	26.773	152.073	129.637	3.618	-0.227	KZ 600
		Min M <sub>y</sub>	-0.552	32.845	171.976	119.680	-4.101	-0.189	KZ 527
		Max M <sub>z</sub>	-0.537	34.053	136.164	123.291	-4.036	-0.187	KZ 515
		Min M <sub>z</sub>	1.861	-3.328	134.857	58.047	0.164	-0.237	KZ 582
	KV3	Max	-0.276	11.400	148.635	97.864	-0.181	-0.209	MSP - kvazistálá
		Min	-0.295	11.400	148.635	97.863	-0.262	-0.210	MSP - kvazistálá
		Max P <sub>x</sub>	-0.276	11.400	148.635	97.864	-0.262	-0.209	KZ 766
		Min P <sub>x</sub>	-0.295	11.400	148.635	97.863	-0.181	-0.210	KZ 767
		Max P <sub>y</sub>	-0.276	11.400	148.635	97.864	-0.262	-0.209	KZ 766
		Min P <sub>y</sub>	-0.295	11.400	148.635	97.863	-0.181	-0.210	KZ 767
		Max P <sub>z</sub>	-0.276	11.400	148.635	97.864	-0.262	-0.209	KZ 766
		Min P <sub>z</sub>	-0.276	11.400	148.635	97.864	-0.262	-0.209	KZ 766
		Max M <sub>x</sub>	-0.276	11.400	148.635	97.864	-0.262	-0.209	KZ 766
		Min M <sub>x</sub>	-0.295	11.400	148.635	97.863	-0.181	-0.210	KZ 767
		Max M <sub>y</sub>	-0.295	11.400	148.635	97.863	-0.181	-0.210	KZ 767
		Min M <sub>y</sub>	-0.276	11.400	148.635	97.864	-0.262	-0.209	KZ 766
		Max M <sub>z</sub>	-0.276	11.400	148.635	97.864	-0.262	-0.209	KZ 766
		Min M <sub>z</sub>	-0.295	11.400	148.635	97.863	-0.181	-0.210	KZ 767
491	KV1	Max	3.883	39.471	280.461	152.337	5.317	0.004	MSÚ (STR/GEO) - trvalá/dočasná - rovn. 6.10a a 6.10b
		Min	-1.448	-18.469	135.537	-12.024	-4.691	-0.004	MSÚ (STR/GEO) - trvalá/dočasná - rovn. 6.10a a 6.10b
		Max P <sub>x</sub>	3.883	-15.192	135.589	5.773	-2.303	-0.004	KZ 193
		Min P <sub>x</sub>	-1.448	37.516	210.318	120.009	-4.532	0.004	KZ 231
		Max P <sub>y</sub>	-1.423	39.471	170.934	126.477	-4.493	0.004	KZ 243
		Min P <sub>y</sub>	3.873	-18.469	189.812	-12.024	-2.379	-0.004	KZ 206
		Max P <sub>z</sub>	1.295	16.544	280.461	104.615	-1.177	-0.001	KZ 148
		Min P <sub>z</sub>	3.879	-16.334	135.537	-4.034	-2.310	-0.004	KZ 192
		Max M <sub>x</sub>	2.627	29.478	170.533	152.337	-1.952	-0.003	KZ 250
		Min M <sub>x</sub>	3.873	-18.469	189.812	-12.024	-2.379	-0.004	KZ 206
		Max M <sub>y</sub>	-0.325	29.623	174.413	111.168	5.317	-0.002	KZ 269
		Min M <sub>y</sub>	-1.409	35.895	214.680	114.231	-4.691	0.004	KZ 196
		Max M <sub>z</sub>	-1.406	39.412	185.381	126.193	-4.655	0.004	KZ 219
		Min M <sub>z</sub>	3.848	-15.192	135.589	5.773	-2.156	-0.004	KZ 277
	KV2	Max	2.472	27.987	221.311	116.741	3.558	0.003	MSP - charakteristická
		Min	-1.072	-10.634	124.711	7.408	-3.099	-0.003	MSP - charakteristická
		Max P <sub>x</sub>	2.472	-8.451	124.745	19.217	-1.512	-0.003	KZ 524
		Min P <sub>x</sub>	-1.072	26.678	174.564	95.225	-2.990	0.003	KZ 562
		Max P <sub>y</sub>	-1.058	27.987	148.309	99.575	-2.965	0.003	KZ 574
		Min P <sub>y</sub>	2.461	-10.634	160.891	7.408	-1.561	-0.003	KZ 537
		Max P <sub>z</sub>	0.766	12.672	221.311	84.738	-0.861	-0.001	KZ 443
		Min P <sub>z</sub>	2.470	-9.212	124.711	12.685	-1.517	-0.003	KZ 523
		Max M <sub>x</sub>	1.630	21.322	148.041	116.741	-1.276	-0.002	KZ 581
		Min M <sub>x</sub>	2.461	-10.634	160.891	7.408	-1.561	-0.003	KZ 537
		Max M <sub>y</sub>	-0.334	21.420	150.628	89.374	3.558	-0.001	KZ 600
		Min M <sub>y</sub>	-1.046	25.589	177.464	91.365	-3.099	0.003	KZ 527
		Max M <sub>z</sub>	-1.044	27.950	157.941	99.389	-3.076	0.003	KZ 550
		Min M <sub>z</sub>	2.448	-8.451	124.745	19.218	-1.412	-0.003	KZ 608
	KV3	Max	-0.500	7.204	147.222	66.265	0.180	0.001	MSP - kvazistálá
		Min	-0.521	7.204	147.222	66.264	0.092	0.001	MSP - kvazistálá
		Max P <sub>x</sub>	-0.500	7.204	147.222	66.264	0.092	0.001	KZ 766
		Min P <sub>x</sub>	-0.521	7.204	147.222	66.265	0.180	0.001	KZ 767
		Max P <sub>y</sub>	-0.521	7.204	147.222	66.265	0.180	0.001	KZ 767
		Min P <sub>y</sub>	-0.500	7.204	147.222	66.264	0.092	0.001	KZ 766
		Max P <sub>z</sub>	-0.521	7.204	147.222	66.265	0.180	0.001	KZ 767
		Min P <sub>z</sub>	-0.500	7.204	147.222	66.264	0.092	0.001	KZ 766
		Max M <sub>x</sub>	-0.521	7.204	147.222	66.265	0.180	0.001	KZ 767
		Min M <sub>x</sub>	-0.500	7.204	147.222	66.264	0.092	0.001	KZ 766



Projekt:

Model: HOŘICE-KONSTRUKCE\_3D\_Budova\_redukováne ..

## 4.1 UZLY - PODPOROVÉ SÍLY

Kombinace výsledků

Uzel č.	KV		Podporové síly [kN]			Podporové momenty [kNm]			
			P <sub>x</sub>	P <sub>y</sub>	P <sub>z</sub>	M <sub>x</sub>	M <sub>y</sub>	M <sub>z</sub>	
491		Max M <sub>y</sub>	-0.521	7.204	147.222	66.265	0.180	0.001	KZ 767
		Min M <sub>y</sub>	-0.500	7.204	147.222	66.264	0.092	0.001	KZ 766
		Max M <sub>z</sub>	-0.500	7.204	147.222	66.264	0.092	0.001	KZ 766
		Min M <sub>z</sub>	-0.521	7.204	147.222	66.265	0.180	0.001	KZ 767
493	KV1	Max	8.005	42.399	316.606	184.265	-5.773	-3.942	MSÚ (STR/GEO) - trvalá/dočasná - rovn. 6.10a a 6.10b
		Min	1.824	-22.487	210.171	40.241	-56.164	-4.854	MSÚ (STR/GEO) - trvalá/dočasná - rovn. 6.10a a 6.10b
		Max P <sub>x</sub>	8.005	-6.086	295.708	103.496	-56.164	-4.854	KZ 17
		Min P <sub>x</sub>	1.824	41.112	210.263	173.010	-5.773	-3.944	KZ 273
		Max P <sub>y</sub>	1.844	42.399	227.760	184.265	-5.950	-3.944	KZ 226
		Min P <sub>y</sub>	7.761	-22.487	240.533	59.729	-55.278	-4.167	KZ 232
		Max P <sub>z</sub>	5.275	-0.420	316.606	93.760	-33.188	-4.762	KZ 13
		Min P <sub>z</sub>	1.833	42.188	210.171	182.069	-5.836	-3.945	KZ 188
		Max M <sub>x</sub>	1.844	42.399	227.760	184.265	-5.950	-3.944	KZ 226
		Min M <sub>x</sub>	3.227	-13.412	258.075	40.241	-17.274	-4.018	KZ 242
		Max M <sub>y</sub>	1.824	41.112	210.263	173.010	-5.773	-3.944	KZ 273
		Min M <sub>y</sub>	8.005	-6.086	295.708	103.496	-56.164	-4.854	KZ 17
	KV2	Max M <sub>z</sub>	1.839	41.026	242.465	173.006	-5.938	-3.942	KZ 199
		Min M <sub>z</sub>	7.999	-6.072	266.536	102.991	-55.718	-4.854	KZ 92
		Max	6.377	30.768	256.129	145.113	-11.742	-3.461	MSP - charakteristická
		Min	2.404	-12.488	189.133	49.298	-44.745	-3.612	MSP - charakteristická
		Max P <sub>x</sub>	6.377	-12.103	210.568	65.456	-44.745	-3.612	KZ 538
		Min P <sub>x</sub>	2.404	29.910	189.194	137.678	-11.742	-3.462	KZ 604
		Max P <sub>y</sub>	2.417	30.768	200.860	145.113	-11.875	-3.462	KZ 557
		Min P <sub>y</sub>	6.367	-12.488	209.376	62.171	-44.651	-3.611	KZ 563
		Max P <sub>z</sub>	4.054	0.806	256.129	71.959	-25.623	-3.533	KZ 674
		Min P <sub>z</sub>	2.410	30.633	189.133	143.747	-11.783	-3.463	KZ 519
		Max M <sub>x</sub>	2.417	30.768	200.860	145.113	-11.875	-3.462	KZ 557
		Min M <sub>x</sub>	3.344	-6.433	221.071	49.298	-19.443	-3.512	KZ 573
	KV3	Max M <sub>y</sub>	2.404	29.910	189.194	137.678	-11.742	-3.462	KZ 604
		Min M <sub>y</sub>	6.377	-12.103	210.568	65.456	-44.745	-3.612	KZ 538
		Max M <sub>z</sub>	2.414	29.848	210.664	137.542	-11.880	-3.461	KZ 530
		Min M <sub>z</sub>	6.377	-12.103	210.568	65.455	-44.744	-3.612	KZ 574
		Max	5.085	10.733	210.078	96.767	-33.978	-3.567	MSP - kvazistálá
		Min	5.085	10.733	210.078	96.766	-33.979	-3.567	MSP - kvazistálá
		Max P <sub>x</sub>	5.085	10.733	210.078	96.766	-33.978	-3.567	KZ 767
		Min P <sub>x</sub>	5.085	10.733	210.078	96.767	-33.979	-3.567	KZ 766
		Max P <sub>y</sub>	5.085	10.733	210.078	96.767	-33.979	-3.567	KZ 766
		Min P <sub>y</sub>	5.085	10.733	210.078	96.766	-33.978	-3.567	KZ 767
		Max P <sub>z</sub>	5.085	10.733	210.078	96.767	-33.979	-3.567	KZ 766
		Min P <sub>z</sub>	5.085	10.733	210.078	96.767	-33.979	-3.567	KZ 766
495	KV1	Max M <sub>x</sub>	5.085	10.733	210.078	96.767	-33.979	-3.567	KZ 766
		Min M <sub>x</sub>	5.085	10.733	210.078	96.766	-33.978	-3.567	KZ 767
		Max M <sub>y</sub>	5.085	10.733	210.078	96.766	-33.978	-3.567	KZ 767
		Min M <sub>y</sub>	5.085	10.733	210.078	96.767	-33.979	-3.567	KZ 766
		Max M <sub>z</sub>	5.085	10.733	210.078	96.767	-33.979	-3.567	KZ 766
		Min M <sub>z</sub>	5.085	10.733	210.078	96.766	-33.978	-3.567	KZ 767
	KV2	Max	8.450	32.407	311.955	157.317	-6.916	-4.123	MSÚ (STR/GEO) - trvalá/dočasná - rovn. 6.10a a 6.10b
		Min	2.206	-23.262	208.212	-5.232	-57.463	-5.079	MSÚ (STR/GEO) - trvalá/dočasná - rovn. 6.10a a 6.10b
		Max P <sub>x</sub>	8.450	-9.509	298.043	60.092	-57.406	-5.079	KZ 18
		Min P <sub>x</sub>	2.206	31.091	208.307	145.587	-6.916	-4.123	KZ 273
		Max P <sub>y</sub>	2.229	32.407	226.025	157.126	-7.105	-4.125	KZ 262
		Min P <sub>y</sub>	8.133	-23.262	249.923	24.782	-56.371	-4.359	KZ 196
		Max P <sub>z</sub>	5.724	-3.764	311.955	45.333	-34.505	-4.975	KZ 13
		Min P <sub>z</sub>	2.214	32.200	208.212	154.980	-6.973	-4.124	KZ 188
		Max M <sub>x</sub>	2.241	32.395	240.725	157.317	-7.202	-4.125	KZ 250
		Min M <sub>x</sub>	3.586	-14.328	253.854	-5.232	-18.347	-4.186	KZ 206
		Max M <sub>y</sub>	2.206	31.091	208.307	145.587	-6.916	-4.123	KZ 273
		Min M <sub>y</sub>	8.442	-9.342	307.772	61.700	-57.463	-5.079	KZ 17
	KV3	Max M <sub>z</sub>	2.207	31.091	208.307	145.587	-6.918	-4.123	KZ 189
		Min M <sub>z</sub>	8.442	-9.342	307.772	61.701	-57.461	-5.079	KZ 53
		Max	6.698	23.112	252.855	119.788	-12.724	-3.619	MSP - charakteristická
		Min	2.736	-14.000	187.011	11.650	-45.676	-3.776	MSP - charakteristická
		Max P <sub>x</sub>	6.698	-13.793	214.802	33.285	-45.623	-3.776	KZ 539
		Min P <sub>x</sub>	2.736	22.236	187.075	112.034	-12.724	-3.619	KZ 604
		Max P <sub>y</sub>	2.750	23.112	198.887	119.654	-12.863	-3.620	KZ 593
		Min P <sub>y</sub>	6.695	-14.000	214.820	31.512	-45.603	-3.775	KZ 527
		Max P <sub>z</sub>	4.385	-1.856	252.855	36.600	-26.600	-3.690	KZ 674
		Min P <sub>z</sub>	2.740	22.980	187.011	118.327	-12.760	-3.619	KZ 603
		Max M <sub>x</sub>	2.757	23.111	208.687	119.788	-12.940	-3.620	KZ 581
		Min M <sub>x</sub>	3.659	-8.043	217.440	11.650	-20.377	-3.661	KZ 537
	KV3	Max M <sub>y</sub>	2.736	22.236	187.075	112.034	-12.724	-3.619	KZ 604
		Min M <sub>y</sub>	6.691	-13.606	225.613	35.022	-45.676	-3.776	KZ 538
		Max M <sub>z</sub>	2.736	22.236	187.075	112.033	-12.725	-3.619	KZ 520
		Min M <sub>z</sub>	6.691	-13.606	225.613	35.023	-45.675	-3.776	KZ 574
		Max	5.421	6.468	206.587	65.046	-34.940	-3.728	MSP - kvazistálá
		Min	5.421	6.468	206.587	65.046	-34.941	-3.728	MSP - kvazistálá
		Max P <sub>x</sub>	5.421	6.468	206.587	65.046	-34.940	-3.728	KZ 767
		Min P <sub>x</sub>	5.421	6.468	206.587	65.046	-34.941	-3.728	KZ 766
		Max P <sub>y</sub>	5.421	6.468	206.587	65.046	-34.940	-3.728	KZ 767
		Min P <sub>y</sub>	5.421	6.468	206.587	65.046	-34.941	-3.728	KZ 766



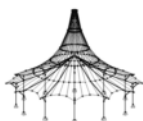
Projekt:

Model: HOŘICE-KONSTRUKCE\_3D\_Budova\_redukováne ..

## 4.1 UZLY - PODPOROVÉ SÍLY

Kombinace výsledků

Uzel	Podporové síly [kN]						Podporové momenty [kNm]			Remise výsledek	
č.	KV		P <sub>x</sub>	P <sub>y</sub>	P <sub>z</sub>	M <sub>x</sub>	M <sub>y</sub>	M <sub>z</sub>			
495		Min P <sub>y</sub>	5.421	▷ 6.468	206.587	65.046	-34.941	-3.728	KZ 766		
		Max P <sub>z</sub>	5.421	6.468	▷ 206.587	65.046	-34.941	-3.728	KZ 766		
		Min P <sub>z</sub>	5.421	6.468	▷ 206.587	65.046	-34.941	-3.728	KZ 766		
		Max M <sub>x</sub>	5.421	6.468	206.587	▷ 65.046	-34.940	-3.728	KZ 767		
		Min M <sub>x</sub>	5.421	6.468	206.587	▷ 65.046	-34.941	-3.728	KZ 766		
		Max M <sub>y</sub>	5.421	6.468	206.587	65.046	▷ -34.940	-3.728	KZ 767		
		Min M <sub>y</sub>	5.421	6.468	206.587	65.046	▷ -34.941	-3.728	KZ 766		
		Max M <sub>z</sub>	5.421	6.468	206.587	65.046	-34.941	▷ -3.728	KZ 766		
		Min M <sub>z</sub>	5.421	6.468	206.587	65.046	-34.940	▷ -3.728	KZ 767		
500	KV1	Max	8.690	11.649	629.786	38.878	6.916	0.213	MSÚ (STR/GEO) - trvalá/dočasná - rovn. 6.10a a 6.10b		
		Min	-2.049	-12.605	325.485	-41.935	-17.020	-0.030	MSÚ (STR/GEO) - trvalá/dočasná - rovn. 6.10a a 6.10b		
		Max P <sub>x</sub>	▷ 8.690	7.210	550.041	1.992	-17.011	0.166	KZ 231		
		Min P <sub>x</sub>	▷ -2.049	10.822	343.482	4.444	6.916	0.026	KZ 186		
		Max P <sub>y</sub>	▷ 3.521	11.649	342.506	38.875	-6.717	-0.029	KZ 190		
		Min P <sub>y</sub>	5.554	-12.605	530.195	-41.935	-10.079	0.213	KZ 242		
		Max P <sub>z</sub>	5.479	6.360	▷ 629.786	18.081	-8.970	0.041	KZ 287		
		Min P <sub>z</sub>	3.906	-12.000	▷ 325.485	-38.077	-7.721	0.189	KZ 192		
		Max M <sub>x</sub>	3.540	11.589	353.117	▷ 38.878	-6.768	-0.029	KZ 214		
		Min M <sub>x</sub>	5.554	-12.605	530.195	▷ -41.935	-10.079	0.213	KZ 242		
		Max M <sub>y</sub>	-2.049	10.822	343.482	4.444	▷ 6.916	0.026	KZ 186		
		Min M <sub>y</sub>	8.689	6.867	552.982	0.167	▷ -17.020	0.149	KZ 232		
		Max M <sub>z</sub>	5.553	-12.523	529.998	-40.893	-10.076	▷ 0.213	KZ 240		
		Min M <sub>z</sub>	3.542	11.533	353.102	37.891	-6.772	▷ -0.030	KZ 212		
	KV2	Max	6.304	7.843	491.767	25.852	3.785	0.151	MSP - charakteristická		
		Min	-0.846	-8.333	288.903	-27.824	-12.129	-0.010	MSP - charakteristická		
			Max P <sub>x</sub>	▷ 6.304	4.652	440.569	0.106	-12.129	0.108	KZ 563	
			Min P <sub>x</sub>	▷ -0.846	7.290	300.896	2.953	3.785	0.026	KZ 517	
			Max P <sub>y</sub>	▷ 2.866	7.843	300.250	25.852	-5.294	-0.010	KZ 521	
			Min P <sub>y</sub>	4.224	-8.333	425.375	-27.824	-7.535	0.151	KZ 573	
			Max P <sub>z</sub>	4.173	4.319	▷ 491.767	11.965	-6.795	0.036	KZ 618	
			Min P <sub>z</sub>	3.122	-7.923	▷ 288.903	-25.340	-5.961	0.135	KZ 523	
			Max M <sub>x</sub>	2.866	7.843	300.250	▷ 25.852	-5.294	-0.010	KZ 521	
			Min M <sub>x</sub>	4.224	-8.333	425.375	▷ -27.824	-7.535	0.151	KZ 573	
	KV3	Max M <sub>y</sub>	-0.846	7.290	300.896	2.953	▷ 3.785	0.026	KZ 517		
			Min M <sub>y</sub>	6.304	4.652	440.569	0.106	▷ -12.129	0.108	KZ 563	
			Max M <sub>z</sub>	4.224	-8.279	425.244	-27.135	-7.533	▷ 0.151	KZ 571	
			Min M <sub>z</sub>	2.867	7.805	300.240	25.200	-5.297	▷ -0.010	KZ 519	
			Max	3.146	0.325	401.069	-0.037	-3.511	0.047	MSP - kvazistálá	
			Min	2.224	0.294	308.187	-0.207	-4.790	0.039	MSP - kvazistálá	
			Max P <sub>x</sub>	▷ 3.146	0.294	401.069	-0.207	-4.790	0.047	KZ 767	
			Min P <sub>x</sub>	▷ 2.224	0.325	308.187	-0.037	-3.511	0.039	KZ 766	
			Max P <sub>y</sub>	▷ 2.224	0.325	308.187	-0.037	-3.511	0.039	KZ 766	
			Min P <sub>y</sub>	▷ 3.146	0.294	401.069	-0.207	-4.790	0.047	KZ 767	
	503	KV1	Max P <sub>z</sub>	3.146	0.294	▷ 401.069	-0.207	-4.790	0.047	KZ 767	
				Min P <sub>z</sub>	2.224	0.325	▷ 308.187	-0.037	-3.511	0.039	KZ 766
				Max M <sub>x</sub>	2.224	0.325	308.187	▷ -0.037	-3.511	0.039	KZ 766
				Min M <sub>x</sub>	3.146	0.294	401.069	-0.207	-4.790	0.047	KZ 767
				Max M <sub>y</sub>	2.224	0.325	308.187	-0.037	-3.511	0.039	KZ 766
				Min M <sub>y</sub>	3.146	0.294	401.069	-0.207	-4.790	0.047	KZ 767
			Max M <sub>z</sub>	3.146	0.294	401.069	-0.207	-4.790	▷ 0.047	KZ 767	
			Min M <sub>z</sub>	2.224	0.325	308.187	-0.037	-3.511	▷ 0.039	KZ 766	
			Max	8.680	11.063	598.831	35.473	6.518	1.139	MSÚ (STR/GEO) - trvalá/dočasná - rovn. 6.10a a 6.10b	
			Min	-1.766	-12.003	331.347	-38.589	-17.062	-1.003	MSÚ (STR/GEO) - trvalá/dočasná - rovn. 6.10a a 6.10b	
KV2			Max P <sub>x</sub>	▷ 8.680	7.369	504.615	2.318	-17.055	0.070	KZ 256	
			Min P <sub>x</sub>	▷ -1.766	7.552	366.951	2.089	6.518	0.132	KZ 185	
			Max P <sub>y</sub>	▷ 3.729	11.063	348.224	35.473	-6.783	1.091	KZ 190	
			Min P <sub>y</sub>	▷ 5.333	-12.003	503.725	-38.589	-9.483	-0.977	KZ 242	
			Max P <sub>z</sub>	1.886	4.259	▷ 598.831	-0.937	-0.500	0.039	KZ 43	
			Min P <sub>z</sub>	4.042	-11.503	▷ 331.347	-36.131	-7.639	-0.903	KZ 194	
			Max M <sub>x</sub>	3.729	11.063	348.224	▷ 35.473	-6.783	1.091	KZ 190	
			Min M <sub>x</sub>	5.333	-12.003	503.725	▷ -38.589	-9.483	-0.977	KZ 242	
			Max M <sub>y</sub>	-1.766	7.552	366.951	2.089	▷ 6.518	0.132	KZ 185	
			Min M <sub>y</sub>	8.670	6.998	526.373	0.581	▷ -17.062	-0.025	KZ 232	
	Max M <sub>z</sub>	5.036	10.911	498.855	35.352	-8.635	▷ 1.139	KZ 262			
	Min M <sub>z</sub>	4.054	-11.933	373.728	-38.065	-7.712	▷ -1.003	KZ 206			
	Max	6.360	7.461	467.610	23.583	3.423	0.762	MSP - charakteristická			
	Min	-0.594	-7.920	293.822	-25.612	-12.249	-0.659	MSP - charakteristická			
	Max P <sub>x</sub>	▷ 6.360	4.997	409.341	1.534	-12.248	0.054	KZ 587			
	Min P <sub>x</sub>	▷ -0.594	5.119	317.553	1.380	3.423	0.095	KZ 516			
	Max P <sub>y</sub>	▷ 3.067	7.461	305.073	23.583	-5.432	0.732	KZ 521			
	Min P <sub>y</sub>	4.138	-7.920	408.739	-25.612	-7.231	-0.639	KZ 573			
	Max P <sub>z</sub>	1.872	2.853	▷ 467.610	-0.707	-1.233	0.039	KZ 616			
	Min P <sub>z</sub>	3.275	-7.583	▷ 293.822	-24.048	-5.999	-0.593	KZ 525			
	Max M <sub>x</sub>	3.067	7.461	305.073	▷ 23.583	-5.432	0.732	KZ 521			
	Min M <sub>x</sub>	4.138	-7.920	408.739	▷ -25.612	-7.231	-0.639	KZ 573			
	Max M <sub>y</sub>	-0.594	5.119	317.553	1.380	▷ 3.423	0.095	KZ 516			
	Min M <sub>y</sub>	6.353	4.749	423.841	0.377	▷ -12.249	-0.010	KZ 563			
	Max M <sub>z</sub>	3.941	7.361	405.495	23.441	-6.667	▷ 0.762	KZ 593			
	Min M <sub>z</sub>	3.285	-7.873	322.073	-25.315	-6.054	▷ -0.659	KZ 537			



Projekt:

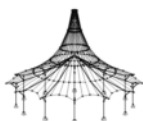
Model: HOŘICE-KONSTRUKCE\_3D\_Budova\_redukováne ..

## 4.1 UZLY - PODPOROVÉ SÍLY

Kombinace výsledků

Uzel č.	KV		Podporové síly [kN]			Podporové momenty [kNm]			
			P <sub>x</sub>	P <sub>y</sub>	P <sub>z</sub>	M <sub>x</sub>	M <sub>y</sub>	M <sub>z</sub>	
503	KV3	Max	3.222	0.364	386.810	-0.057	-3.912	0.051	MSP - kvazistálá
		Min	2.491	0.323	312.523	-0.226	-4.915	0.030	MSP - kvazistálá
		Max P <sub>x</sub>	3.222	0.323	386.810	-0.226	-4.915	0.051	KZ 767
		Min P <sub>x</sub>	2.491	0.364	312.523	-0.057	-3.912	0.030	KZ 766
		Max P <sub>y</sub>	2.491	0.364	312.523	-0.057	-3.912	0.030	KZ 766
		Min P <sub>y</sub>	3.222	0.323	386.810	-0.226	-4.915	0.051	KZ 767
		Max P <sub>z</sub>	3.222	0.323	386.810	-0.226	-4.915	0.051	KZ 767
		Min P <sub>z</sub>	2.491	0.364	312.523	-0.057	-3.912	0.030	KZ 766
		Max M <sub>x</sub>	2.491	0.364	312.523	-0.057	-3.912	0.030	KZ 766
		Min M <sub>x</sub>	3.222	0.323	386.810	-0.226	-4.915	0.051	KZ 767
		Max M <sub>y</sub>	2.491	0.364	312.523	-0.057	-3.912	0.030	KZ 766
		Min M <sub>y</sub>	3.222	0.323	386.810	-0.226	-4.915	0.051	KZ 767
		Max M <sub>z</sub>	3.222	0.323	386.810	-0.226	-4.915	0.051	KZ 767
		Min M <sub>z</sub>	2.491	0.364	312.523	-0.057	-3.912	0.030	KZ 766
506	KV1	Max	2.014	11.770	652.701	38.762	16.729	0.168	MSU (STR/GEO) - trvalá/dočasná - rovn. 6.10a a 6.10b
		Min	-8.775	-12.504	383.528	-41.909	-7.510	-0.065	MSU (STR/GEO) - trvalá/dočasná - rovn. 6.10a a 6.10b
		Max P <sub>x</sub>	2.014	7.046	448.864	0.498	-7.510	0.037	KZ 196
		Min P <sub>x</sub>	-8.775	7.563	537.106	2.426	16.729	-0.012	KZ 269
		Max P <sub>y</sub>	-1.793	11.770	399.026	38.762	1.083	0.165	KZ 190
		Min P <sub>y</sub>	-3.040	-12.504	555.340	-41.909	2.544	-0.065	KZ 242
		Max P <sub>z</sub>	-4.032	6.576	652.701	18.244	4.725	0.073	KZ 45
		Min P <sub>z</sub>	-1.562	-11.890	383.528	-38.200	0.385	-0.028	KZ 192
		Max M <sub>x</sub>	-1.793	11.770	399.026	38.762	1.083	0.165	KZ 190
		Min M <sub>x</sub>	-3.040	-12.504	555.340	-41.909	2.544	-0.065	KZ 242
		Max M <sub>y</sub>	-8.775	7.563	537.106	2.426	16.729	-0.012	KZ 269
		Min M <sub>y</sub>	2.014	7.046	448.864	0.498	-7.510	0.037	KZ 196
		Max M <sub>z</sub>	-1.742	11.708	419.934	38.752	0.968	0.168	KZ 226
		Min M <sub>z</sub>	-3.040	-12.504	555.340	-41.909	2.544	-0.065	KZ 242
	KV2	Max	0.808	7.944	507.646	25.788	11.818	0.115	MSP - charakteristická
		Min	-6.376	-8.247	338.162	-27.797	-4.294	-0.039	MSP - charakteristická
		Max P <sub>x</sub>	0.808	4.791	381.707	0.335	-4.294	0.028	KZ 527
		Min P <sub>x</sub>	-6.376	5.137	440.554	1.621	11.818	-0.005	KZ 600
		Max P <sub>y</sub>	-1.722	7.944	348.494	25.788	1.407	0.114	KZ 521
		Min P <sub>y</sub>	-2.552	-8.247	452.702	-27.797	2.379	-0.039	KZ 573
		Max P <sub>z</sub>	-3.356	4.412	507.646	12.001	4.108	0.046	KZ 618
		Min P <sub>z</sub>	-1.569	-7.832	338.162	-25.410	0.944	-0.015	KZ 523
		Max M <sub>x</sub>	-1.722	7.944	348.494	25.788	1.407	0.114	KZ 521
		Min M <sub>x</sub>	-2.552	-8.247	452.702	-27.797	2.379	-0.039	KZ 573
		Max M <sub>y</sub>	-6.376	5.137	440.554	1.621	11.818	-0.005	KZ 600
		Min M <sub>y</sub>	0.808	4.791	381.707	0.335	-4.294	0.028	KZ 527
		Max M <sub>z</sub>	-1.686	7.905	362.434	25.766	1.325	0.115	KZ 557
		Min M <sub>z</sub>	-2.552	-8.247	452.702	-27.797	2.379	-0.039	KZ 573
	KV3	Max	-2.256	0.408	427.817	0.010	4.252	0.015	MSP - kvazistálá
		Min	-3.141	0.377	353.477	-0.131	2.926	0.008	MSP - kvazistálá
		Max P <sub>x</sub>	-2.256	0.408	353.477	0.010	2.926	0.015	KZ 766
		Min P <sub>x</sub>	-3.141	0.377	427.817	-0.131	4.252	0.008	KZ 767
		Max P <sub>y</sub>	-2.256	0.408	353.477	0.010	2.926	0.015	KZ 766
		Min P <sub>y</sub>	-3.141	0.377	427.817	-0.131	4.252	0.008	KZ 767
		Max P <sub>z</sub>	-3.141	0.377	427.817	-0.131	4.252	0.008	KZ 767
		Min P <sub>z</sub>	-2.256	0.408	353.477	0.010	2.926	0.015	KZ 766
		Max M <sub>x</sub>	-2.256	0.408	353.477	0.010	2.926	0.015	KZ 766
		Min M <sub>x</sub>	-3.141	0.377	427.817	-0.131	4.252	0.008	KZ 767
		Max M <sub>y</sub>	-3.141	0.377	427.817	-0.131	4.252	0.008	KZ 767
		Min M <sub>y</sub>	-2.256	0.408	353.477	0.010	2.926	0.015	KZ 766
		Max M <sub>z</sub>	-2.256	0.408	353.477	0.010	2.926	0.015	KZ 766
		Min M <sub>z</sub>	-3.141	0.377	427.817	-0.131	4.252	0.008	KZ 767
509	KV1	Max	3.492	12.091	658.241	35.856	13.796	0.996	MSU (STR/GEO) - trvalá/dočasná - rovn. 6.10a a 6.10b
		Min	-6.736	-11.923	373.350	-38.473	-9.589	-1.042	MSU (STR/GEO) - trvalá/dočasná - rovn. 6.10a a 6.10b
		Max P <sub>x</sub>	3.492	7.325	435.906	2.339	-9.587	0.036	KZ 195
		Min P <sub>x</sub>	-6.736	12.018	516.599	4.060	13.793	-0.273	KZ 270
		Max P <sub>y</sub>	-5.669	12.091	374.158	4.368	12.145	-0.241	KZ 185
		Min P <sub>y</sub>	-0.694	-11.923	560.147	-38.473	-1.117	0.976	KZ 242
		Max P <sub>z</sub>	-1.617	6.221	658.241	16.890	1.117	-0.536	KZ 45
		Min P <sub>z</sub>	-5.674	12.090	373.350	4.349	12.142	-0.241	KZ 186
		Max M <sub>x</sub>	-0.064	11.126	392.214	35.856	-1.636	-0.995	KZ 190
		Min M <sub>x</sub>	-0.694	-11.923	560.147	-38.473	-1.117	0.976	KZ 242
		Max M <sub>y</sub>	-6.732	12.019	517.406	4.079	13.796	-0.272	KZ 269
		Min M <sub>y</sub>	3.488	6.980	444.215	0.540	-9.589	0.067	KZ 196
		Max M <sub>z</sub>	0.372	-11.859	416.890	-37.950	-2.732	0.996	KZ 206
		Min M <sub>z</sub>	-1.098	10.984	546.158	35.770	-0.089	-1.042	KZ 250
	KV2	Max	2.105	8.143	514.472	23.868	9.417	0.649	MSP - charakteristická
		Min	-4.705	-7.872	329.920	-25.507	-6.128	-0.703	MSP - charakteristická
		Max P <sub>x</sub>	2.105	4.966	371.613	1.574	-6.126	0.012	KZ 526
		Min P <sub>x</sub>	-4.705	8.095	425.420	2.720	9.417	-0.194	KZ 601
		Max P <sub>y</sub>	-3.992	8.143	330.460	2.926	8.322	-0.173	KZ 516
		Min P <sub>y</sub>	-0.675	-7.872	454.446	-25.507	-0.508	0.633	KZ 573
		Max P <sub>z</sub>	-1.475	4.166	514.472	11.099	1.314	-0.369	KZ 618
		Min P <sub>z</sub>	-3.996	8.143	329.920	2.913	8.323	-0.173	KZ 517
		Max M <sub>x</sub>	-0.257	7.502	342.492	23.868	-0.852	-0.674	KZ 521





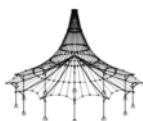
Projekt:

Model: HOŘICE-KONSTRUKCE\_3D\_Budova\_redukováne ..

## 4.1 UZLY - PODPOROVÉ SÍLY

Kombinace výsledků

Uzel	Podporové síly [kN]						Podporové momenty [kNm]			Rozměrné výsledky	
č.	KV		P <sub>x</sub>	P <sub>y</sub>	P <sub>z</sub>	M <sub>x</sub>	M <sub>y</sub>	M <sub>z</sub>			
509	KV3	Min M <sub>x</sub>	-0.675	-7.872	454.446	▷	-25.507	-0.508	0.633	KZ 573	
		Max M <sub>y</sub>	-4.705	8.095	425.420		2.720	▷	9.417	-0.194	KZ 601
		Min M <sub>y</sub>	2.102	4.735	377.147		0.373	▷	-6.128	0.032	KZ 527
		Max M <sub>z</sub>	0.035	-7.828	358.941		-25.211	-1.586	▷	0.649	KZ 537
		Min M <sub>z</sub>	-0.946	7.410	445.121		23.746	▷	0.178	-0.703	KZ 581
		Max	-0.919	0.355	429.080		0.061	1.939	-0.053	MSP - kvazistálá	
		Min	-1.528	0.314	347.220		-0.106	1.011	-0.071	MSP - kvazistálá	
		Max P <sub>x</sub>	▷ -0.919	0.355	347.220		0.061	1.011	-0.053	KZ 766	
		Min P <sub>x</sub>	▷ -1.528	0.314	429.080		-0.106	1.939	-0.071	KZ 767	
		Max P <sub>y</sub>	▷ -0.919	▷ 0.355	347.220		0.061	1.011	-0.053	KZ 766	
		Min P <sub>y</sub>	▷ -1.528	▷ 0.314	429.080		-0.106	1.939	-0.071	KZ 767	
		Max P <sub>z</sub>	-1.528	0.314	▷ 429.080		-0.106	1.939	-0.071	KZ 767	
		Min P <sub>z</sub>	-0.919	0.355	▷ 347.220		0.061	1.011	-0.053	KZ 766	
		Max M <sub>x</sub>	-0.919	0.355	347.220	▷	0.061	1.011	-0.053	KZ 766	
		Min M <sub>x</sub>	-1.528	0.314	429.080	▷	-0.106	1.939	-0.071	KZ 767	
		Max M <sub>y</sub>	-1.528	0.314	429.080		-0.106	▷ 1.939	-0.071	KZ 767	
		Min M <sub>y</sub>	-0.919	0.355	347.220		0.061	▷ 1.011	-0.053	KZ 766	
		Max M <sub>z</sub>	-0.919	0.355	347.220		0.061	▷ 1.011	▷ -0.053	KZ 766	
Min M <sub>z</sub>	-1.528	0.314	429.080		-0.106	1.939	▷ -0.071	KZ 767			
512	KV1	Max	3.521	6.573	284.180	24.381	5.303	0.355	MSÚ (STR/GEO) - trvalá/dočasná - rovn. 6.10a a 6.10b		
		Min	-3.441	-6.865	178.840	-27.622	-6.752	-1.231	MSÚ (STR/GEO) - trvalá/dočasná - rovn. 6.10a a 6.10b		
		Max P <sub>x</sub>	▷ 3.521	3.946	198.746	-0.480	-6.746	-0.213	KZ 195		
		Min P <sub>x</sub>	▷ -3.441	6.333	222.980	-0.889	5.303	0.337	KZ 269		
		Max P <sub>y</sub>	▷ -3.414	▷ 6.573	179.269	-0.462	5.160	0.352	KZ 185		
		Min P <sub>y</sub>	1.422	▷ -6.865	240.564	-27.622	3.452	-1.227	KZ 242		
		Max P <sub>z</sub>	2.220	1.846	▷ 284.180	-2.326	-4.374	-0.139	KZ 42		
		Min P <sub>z</sub>	-3.413	6.571	▷ 178.840	-0.481	5.149	0.352	KZ 186		
		Max M <sub>x</sub>	2.381	5.355	192.603	▷ 24.381	0.934	-0.751	KZ 226		
		Min M <sub>x</sub>	1.422	-6.865	240.564	▷ -27.622	3.452	-1.227	KZ 242		
		Max M <sub>y</sub>	-3.441	6.333	222.980	-0.889	▷ 5.303	0.337	KZ 269		
		Min M <sub>y</sub>	3.518	3.734	209.381	-1.842	▷ -6.752	-0.213	KZ 196		
		Max M <sub>z</sub>	-3.411	6.349	195.075	-1.739	▷ 5.115	▷ 0.355	KZ 197		
		Min M <sub>z</sub>	1.457	-6.388	225.093	-21.865	3.455	▷ -1.231	KZ 277		
	KV2	Max	2.388	4.359	218.379	16.108	3.389	0.237	MSP - charakteristická		
		Min	-2.248	-4.597	157.591	-18.417	-4.619	-0.821	MSP - charakteristická		
		Max P <sub>x</sub>	▷ 2.388	2.608	170.859	-0.414	-4.614	-0.142	KZ 526		
		Min P <sub>x</sub>	▷ -2.248	4.199	187.018	-0.687	3.389	0.225	KZ 600		
		Max P <sub>y</sub>	▷ -2.231	▷ 4.359	157.877	-0.403	3.298	0.235	KZ 516		
		Min P <sub>y</sub>	0.997	▷ -4.597	198.735	-18.417	2.161	-0.817	KZ 573		
		Max P <sub>z</sub>	1.486	1.152	▷ 218.379	-1.708	-2.910	-0.098	KZ 615		
		Min P <sub>z</sub>	-2.230	4.358	▷ 157.591	-0.415	3.293	0.235	KZ 517		
		Max M <sub>x</sub>	1.635	3.547	166.767	▷ 16.108	0.482	-0.500	KZ 557		
		Min M <sub>x</sub>	0.997	-4.597	198.735	▷ -18.417	2.161	-0.817	KZ 573		
		Max M <sub>y</sub>	-2.248	4.199	187.018	-0.687	▷ 3.389	0.225	KZ 600		
		Min M <sub>y</sub>	2.386	2.466	177.945	-1.323	▷ -4.619	-0.142	KZ 527		
		Max M <sub>z</sub>	-2.229	4.209	168.413	-1.253	3.264	▷ 0.237	KZ 528		
		Min M <sub>z</sub>	1.017	-4.279	188.421	-14.611	2.169	▷ -0.821	KZ 608		
	KV3	Max	0.191	-0.097	189.391	-0.406	-0.511	0.002	MSP - kvazistálá		
		Min	0.176	-0.234	164.412	-0.650	-0.583	-0.007	MSP - kvazistálá		
		Max P <sub>x</sub>	▷ 0.191	-0.097	164.412	-0.406	-0.583	0.002	KZ 766		
		Min P <sub>x</sub>	▷ 0.176	-0.234	189.391	-0.650	-0.511	-0.007	KZ 767		
		Max P <sub>y</sub>	▷ 0.191	-0.097	164.412	-0.406	-0.583	0.002	KZ 766		
		Min P <sub>y</sub>	▷ 0.176	-0.234	189.391	-0.650	-0.511	-0.007	KZ 767		
		Max P <sub>z</sub>	0.176	-0.234	▷ 189.391	-0.650	-0.511	-0.007	KZ 767		
		Min P <sub>z</sub>	0.191	-0.097	▷ 164.412	-0.406	-0.583	0.002	KZ 766		
		Max M <sub>x</sub>	0.191	-0.097	164.412	▷ -0.406	-0.583	0.002	KZ 766		
		Min M <sub>x</sub>	0.176	-0.234	189.391	▷ -0.650	-0.511	-0.007	KZ 767		
		Max M <sub>y</sub>	0.176	-0.234	189.391	▷ -0.650	-0.511	-0.007	KZ 767		
		Min M <sub>y</sub>	0.191	-0.097	164.412	-0.406	▷ -0.583	0.002	KZ 766		
		Max M <sub>z</sub>	0.191	-0.097	164.412	-0.406	-0.583	▷ 0.002	KZ 766		
		Min M <sub>z</sub>	0.176	-0.234	189.391	-0.650	-0.511	▷ -0.007	KZ 767		
	515	KV1	Max	0.147	2.459	151.918	13.772	3.202	0.360	MSÚ (STR/GEO) - trvalá/dočasná - rovn. 6.10a a 6.10b	
			Min	-0.366	-2.839	98.939	-15.101	-2.503	-0.145	MSÚ (STR/GEO) - trvalá/dočasná - rovn. 6.10a a 6.10b	
			Max P <sub>x</sub>	▷ 0.147	-2.683	99.789	-14.400	-2.503	0.124	KZ 194	
			Min P <sub>x</sub>	▷ -0.366	-0.366	141.374	-1.124	2.672	0.244	KZ 398	
			Max P <sub>y</sub>	▷ 0.093	▷ 2.459	106.664	13.758	-2.079	0.278	KZ 190	
			Min P <sub>y</sub>	▷ 0.070	▷ -2.839	118.995	-15.101	-2.152	0.202	KZ 242	
Max P <sub>z</sub>			-0.296	-0.462	▷ 151.918	-1.682	2.366	0.174	KZ 43		
Min P <sub>z</sub>			0.147	-2.619	▷ 98.939	-13.971	-2.500	0.124	KZ 192		
Max M <sub>x</sub>			0.055	2.448	112.509	▷ 13.772	-1.912	0.307	KZ 214		
Min M <sub>x</sub>			0.070	-2.839	118.995	▷ -15.101	-2.152	0.202	KZ 242		
Max M <sub>y</sub>			-0.344	-0.468	133.505	-1.618	▷ 3.202	0.227	KZ 257		
Min M <sub>y</sub>			0.147	-2.683	99.789	-14.400	▷ -2.503	0.124	KZ 194		
Max M <sub>z</sub>			0.015	2.424	125.865	13.760	-1.723	▷ 0.360	KZ 262		
Min M <sub>z</sub>			0.025	-0.103	106.624	-0.300	-1.398	▷ -0.145	KZ 184		
KV2		Max	0.077	1.612	119.987	9.078	2.232	0.242	MSP - charakteristická		
		Min	-0.266	-1.912	88.631	-10.086	-1.561	-0.093	MSP - charakteristická		
		Max P <sub>x</sub>	▷ 0.077	-1.812	89.197	-9.651	-1.561	0.085	KZ 525		
		Min P <sub>x</sub>	▷ -0.266	-0.270	116.919	-0.821	1.881	0.166	KZ 729		



Projekt:

Model: HOŘICE-KONSTRUKCE\_3D\_Budova\_redukováne ..

## 4.1 UZLY - PODPOROVÉ SÍLY

Kombinace výsledků

Uzel	Podporové síly [kN]						Podporové momenty [kNm]			Rozměry výseku					
č.	KV		P <sub>x</sub>	P <sub>y</sub>	P <sub>z</sub>	M <sub>x</sub>	M <sub>y</sub>	M <sub>z</sub>							
515	KV3	Max P <sub>y</sub>	0.040	▷	1.612	93.780	9.076	-1.279	0.189	KZ 521					
		Min P <sub>y</sub>	0.025	▷	-1.912	102.001	-10.086	-1.324	0.137	KZ 573					
		Max P <sub>z</sub>	-0.265	▷	-0.338	▷	119.987	-1.174	1.881	0.164	KZ 704				
		Min P <sub>z</sub>	0.076	▷	-1.770	▷	88.631	-9.366	-1.560	0.086	KZ 523				
		Max M <sub>x</sub>	0.016	▷	1.604	▷	97.677	▷	9.078	-1.167	0.208	KZ 545			
		Min M <sub>x</sub>	0.025	▷	-1.912	▷	102.001	▷	-10.086	-1.324	0.137	KZ 573			
		Max M <sub>y</sub>	-0.251	▷	-0.338	▷	111.674	-1.150	2.232	0.155	KZ 588				
		Min M <sub>y</sub>	0.077	▷	-1.812	▷	89.197	-9.651	-1.561	0.085	KZ 525				
		Max M <sub>z</sub>	-0.011	▷	1.584	▷	106.581	9.051	-1.039	▷	0.242	KZ 593			
		Min M <sub>z</sub>	-0.005	▷	-0.095	▷	93.754	-0.274	-0.824	▷	-0.093	KZ 515			
		Max	-0.092	▷	-0.112	▷	101.467	-0.316	0.468	▷	0.025	MSP - kvazistálá			
		Min	-0.094	▷	-0.132	▷	97.163	-0.367	0.447	▷	0.014	MSP - kvazistálá			
		Max P <sub>x</sub>	-0.092	▷	-0.112	▷	97.163	-0.316	0.447	▷	0.014	KZ 766			
		Min P <sub>x</sub>	-0.094	▷	-0.132	▷	101.467	-0.367	0.468	▷	0.025	KZ 767			
		Max P <sub>y</sub>	-0.092	▷	-0.112	▷	97.163	-0.316	0.447	▷	0.014	KZ 766			
		Min P <sub>y</sub>	-0.094	▷	-0.132	▷	101.467	-0.367	0.468	▷	0.025	KZ 767			
		Max P <sub>z</sub>	-0.094	▷	-0.132	▷	101.467	-0.367	0.468	▷	0.025	KZ 767			
		Min P <sub>z</sub>	-0.092	▷	-0.112	▷	97.163	-0.316	0.447	▷	0.014	KZ 766			
		Max M <sub>x</sub>	-0.092	▷	-0.112	▷	97.163	▷	-0.316	0.447	▷	0.014	KZ 766		
		Min M <sub>x</sub>	-0.094	▷	-0.132	▷	101.467	▷	-0.367	0.468	▷	0.025	KZ 767		
		Max M <sub>y</sub>	-0.094	▷	-0.132	▷	101.467	▷	-0.367	0.468	▷	0.025	KZ 767		
		Min M <sub>y</sub>	-0.092	▷	-0.112	▷	97.163	▷	-0.316	0.447	▷	0.014	KZ 766		
		Max M <sub>z</sub>	-0.094	▷	-0.132	▷	101.467	▷	-0.367	0.468	▷	0.025	KZ 767		
		Min M <sub>z</sub>	-0.092	▷	-0.112	▷	97.163	▷	-0.316	0.447	▷	0.014	KZ 766		
518	KV1	Max	32.574	▷	2.709	▷	179.417	▷	14.353	▷	31.026	▷	3.454	MSÚ (STR/GEO) - trvalá/dočasná - rovn. 6.10a a 6.10b	
		Min	-15.525	▷	-2.549	▷	115.406	▷	-14.633	▷	-54.911	▷	-5.607	MSÚ (STR/GEO) - trvalá/dočasná - rovn. 6.10a a 6.10b	
	KV2	Max P <sub>x</sub>	▷	32.574	▷	2.660	▷	135.130	▷	14.170	▷	-54.911	▷	-5.298	KZ 214
		Min P <sub>x</sub>	▷	-15.525	▷	-0.163	▷	135.114	▷	-1.142	▷	31.024	▷	3.441	KZ 234
		Max P <sub>y</sub>	▷	32.558	▷	2.709	▷	136.159	▷	14.353	▷	-54.811	▷	-5.327	KZ 262
		Min P <sub>y</sub>	▷	23.659	▷	-2.549	▷	141.765	▷	-14.618	▷	-45.432	▷	-5.566	KZ 206
		Max P <sub>z</sub>	▷	14.217	▷	-1.350	▷	179.417	▷	-7.755	▷	-27.338	▷	-3.305	KZ 49
		Min P <sub>z</sub>	▷	-15.502	▷	-0.070	▷	115.406	▷	-0.539	▷	30.878	▷	3.415	KZ 185
		Max M <sub>x</sub>	▷	32.558	▷	2.709	▷	136.159	▷	14.353	▷	-54.811	▷	-5.327	KZ 262
		Min M <sub>x</sub>	▷	23.645	▷	-2.530	▷	148.984	▷	-14.633	▷	-45.361	▷	-5.578	KZ 242
		Max M <sub>y</sub>	▷	-15.524	▷	-0.162	▷	134.990	▷	-1.132	▷	31.026	▷	3.442	KZ 233
		Min M <sub>y</sub>	▷	32.574	▷	2.660	▷	135.130	▷	14.170	▷	-54.911	▷	-5.298	KZ 214
		Max M <sub>z</sub>	▷	-15.490	▷	-0.058	▷	127.768	▷	-0.534	▷	30.840	▷	3.454	KZ 209
		Min M <sub>z</sub>	▷	23.661	▷	-2.402	▷	136.597	▷	-13.915	▷	-45.396	▷	-5.607	KZ 278
		Max	▷	21.715	▷	1.815	▷	140.713	▷	9.532	▷	20.690	▷	2.313	MSP - charakteristická
		Min	▷	-10.352	▷	-1.683	▷	104.270	▷	-9.700	▷	-36.572	▷	-3.726	MSP - charakteristická
		Max P <sub>x</sub>	▷	21.715	▷	1.785	▷	117.420	▷	9.430	▷	-36.572	▷	-3.520	KZ 545
		Min P <sub>x</sub>	▷	-10.352	▷	-0.095	▷	117.411	▷	-0.748	▷	20.689	▷	2.304	KZ 565
		Max P <sub>y</sub>	▷	21.703	▷	1.815	▷	118.108	▷	9.532	▷	-36.499	▷	-3.540	KZ 593
		Min P <sub>y</sub>	▷	15.775	▷	-1.683	▷	121.841	▷	-9.700	▷	-30.263	▷	-3.698	KZ 537
		Max P <sub>z</sub>	▷	9.484	▷	-0.876	▷	140.713	▷	-5.106	▷	-18.230	▷	-2.168	KZ 710
		Min P <sub>z</sub>	▷	-10.337	▷	-0.033	▷	104.270	▷	-0.347	▷	20.597	▷	2.287	KZ 516
		Max M <sub>x</sub>	▷	21.703	▷	1.815	▷	118.108	▷	9.532	▷	-36.499	▷	-3.540	KZ 593
		Min M <sub>x</sub>	▷	15.775	▷	-1.683	▷	121.841	▷	-9.700	▷	-30.263	▷	-3.698	KZ 537
		Max M <sub>y</sub>	▷	-10.352	▷	-0.094	▷	117.328	▷	-0.741	▷	20.690	▷	2.304	KZ 564
		Min M <sub>y</sub>	▷	21.715	▷	1.785	▷	117.420	▷	9.430	▷	-36.572	▷	-3.520	KZ 545
		Max M <sub>z</sub>	▷	-10.330	▷	-0.025	▷	112.514	▷	-0.344	▷	20.569	▷	2.313	KZ 540
		Min M <sub>z</sub>	▷	15.776	▷	-1.583	▷	118.399	▷	-9.223	▷	-30.239	▷	-3.726	KZ 609
	KV3	Max	▷	-0.004	▷	0.079	▷	121.273	▷	0.094	▷	0.107	▷	0.045	MSP - kvazistálá
		Min	▷	-0.011	▷	0.059	▷	117.148	▷	0.052	▷	0.063	▷	0.040	MSP - kvazistálá
		Max P <sub>x</sub>	▷	-0.004	▷	0.059	▷	117.148	▷	0.052	▷	0.063	▷	0.045	KZ 766
		Min P <sub>x</sub>	▷	-0.011	▷	0.079	▷	121.273	▷	0.094	▷	0.107	▷	0.040	KZ 767
		Max P <sub>y</sub>	▷	-0.011	▷	0.079	▷	121.273	▷	0.094	▷	0.107	▷	0.040	KZ 767
		Min P <sub>y</sub>	▷	-0.004	▷	0.059	▷	117.148	▷	0.052	▷	0.063	▷	0.045	KZ 766
		Max P <sub>z</sub>	▷	-0.011	▷	0.079	▷	121.273	▷	0.094	▷	0.107	▷	0.040	KZ 767
		Min P <sub>z</sub>	▷	-0.004	▷	0.059	▷	117.148	▷	0.052	▷	0.063	▷	0.045	KZ 766
		Max M <sub>x</sub>	▷	-0.011	▷	0.079	▷	121.273	▷	0.094	▷	0.107	▷	0.040	KZ 767
		Min M <sub>x</sub>	▷	-0.004	▷	0.059	▷	117.148	▷	0.052	▷	0.063	▷	0.045	KZ 766
		Max M <sub>y</sub>	▷	-0.011	▷	0.079	▷	121.273	▷	0.094	▷	0.107	▷	0.040	KZ 767
		Min M <sub>y</sub>	▷	-0.004	▷	0.059	▷	117.148	▷	0.052	▷	0.063	▷	0.045	KZ 766
		Max M <sub>z</sub>	▷	-0.004	▷	0.059	▷	117.148	▷	0.052	▷	0.063	▷	0.045	KZ 766
		Min M <sub>z</sub>	▷	-0.011	▷	0.079	▷	121.273	▷	0.094	▷	0.107	▷	0.040	KZ 767
521	KV1	Max	2.275	▷	5.070	▷	366.138	▷	27.542	▷	8.525	▷	0.090	MSÚ (STR/GEO) - trvalá/dočasná - rovn. 6.10a a 6.10b	
		Min	-4.406	▷	-5.198	▷	237.668	▷	-28.989	▷	-4.246	▷	-0.171	MSÚ (STR/GEO) - trvalá/dočasná - rovn. 6.10a a 6.10b	
		Max P <sub>x</sub>	▷	2.275	▷	-0.546	▷	246.128	▷	-2.550	▷	-4.244	▷	0.090	KZ 198
		Min P <sub>x</sub>	▷	-4.406	▷	5.053	▷	315.748	▷	27.476	▷	8.525	▷	-0.171	KZ 250
		Max P <sub>y</sub>	▷	-4.394	▷	5.070	▷	312.825	▷	27.542	▷	8.506	▷	-0.171	KZ 262
		Min P <sub>y</sub>	▷	-3.653	▷	-5.198	▷	256.453	▷	-28.865	▷	7.606	▷	-0.139	KZ 206
		Max P <sub>z</sub>	▷	-2.291	▷	-2.839	▷	366.138	▷	-15.523	▷	4.850	▷	-0.084	KZ 49
		Min P <sub>z</sub>	▷	2.258	▷	-0.302	▷	237.668	▷	-1.240	▷	-4.227	▷	0.089	KZ 185
		Max M <sub>x</sub>	▷	-4.394	▷	5.070	▷	312.825	▷	27.542	▷	8.506	▷	-0.171	KZ 262
		Min M <sub>x</sub>	▷	-3.667	▷	-5.192	▷	319.701	▷	-28.989	▷	7.640	▷	-0.139	KZ 242
		Max M <sub>y</sub>	▷	-4.406	▷	5.053	▷	315.748	▷	27.476	▷	8.525	▷	-0.171	KZ 250
		Min M <sub>y</sub>	▷	2.263	▷	-0.306	▷	237.792	▷	-1.261	▷	-4.246	▷	0.089	KZ 186
		Max M <sub>z</sub>	▷	2.275	▷	-0.546	▷	246.128	▷	-2.550	▷	-4.244	▷	0.090	KZ 198



Projekt:

Model: HOŘICE-KONSTRUKCE\_3D\_Budova\_redukováne ..

## 4.1 UZLY - PODPOROVÉ SÍLY

Kombinace výsledků

Uzel č.	KV		Podporové síly [kN]			Podporové momenty [kNm]			
			P <sub>x</sub>	P <sub>y</sub>	P <sub>z</sub>	M <sub>x</sub>	M <sub>y</sub>	M <sub>z</sub>	
521	KV2	Min M <sub>z</sub>	-4.406	5.053	315.748	27.476	8.525	-0.171	KZ 250
		Max	1.497	3.382	283.811	18.253	5.749	0.060	MSP - charakteristická
		Min	-2.945	-3.454	208.975	-19.243	-2.765	-0.114	MSP - charakteristická
		Max P <sub>x</sub>	1.497	-0.357	214.615	-1.717	-2.762	0.060	KZ 529
		Min P <sub>x</sub>	-2.945	3.372	261.023	18.209	5.749	-0.114	KZ 581
		Max P <sub>y</sub>	-2.937	3.382	259.074	18.253	5.737	-0.114	KZ 593
		Min P <sub>y</sub>	-2.444	-3.454	221.495	-19.196	5.133	-0.093	KZ 537
		Max P <sub>z</sub>	-1.527	-1.881	283.811	-10.268	3.271	-0.056	KZ 622
		Min P <sub>z</sub>	1.488	-0.194	208.975	-0.845	-2.754	0.060	KZ 516
		Max M <sub>x</sub>	-2.937	3.382	259.074	18.253	5.737	-0.114	KZ 593
		Min M <sub>x</sub>	-2.453	-3.448	263.659	-19.243	5.161	-0.093	KZ 573
		Max M <sub>y</sub>	-2.945	3.372	261.023	18.209	5.749	-0.114	KZ 581
		Min M <sub>y</sub>	1.492	-0.197	209.058	-0.859	-2.765	0.060	KZ 517
		Max M <sub>z</sub>	1.494	-0.354	214.533	-1.703	-2.750	0.060	KZ 528
		Min M <sub>z</sub>	-2.945	3.372	261.023	18.209	5.749	-0.114	KZ 581
	KV3	Max	-0.070	0.040	252.689	-0.061	0.320	0.001	MSP - kvazistálá
		Min	-0.077	0.033	216.552	-0.078	0.288	0.001	MSP - kvazistálá
		Max P <sub>x</sub>	-0.070	0.033	216.552	-0.078	0.288	0.001	KZ 766
		Min P <sub>x</sub>	-0.077	0.040	252.689	-0.061	0.320	0.001	KZ 767
		Max P <sub>y</sub>	-0.077	0.040	252.689	-0.061	0.320	0.001	KZ 767
		Min P <sub>y</sub>	-0.070	0.033	216.552	-0.078	0.288	0.001	KZ 766
		Max P <sub>z</sub>	-0.077	0.040	252.689	-0.061	0.320	0.001	KZ 767
		Min P <sub>z</sub>	-0.070	0.033	216.552	-0.078	0.288	0.001	KZ 766
		Max M <sub>x</sub>	-0.077	0.040	252.689	-0.061	0.320	0.001	KZ 767
		Min M <sub>x</sub>	-0.070	0.033	216.552	-0.078	0.288	0.001	KZ 766
		Max M <sub>y</sub>	-0.077	0.040	252.689	-0.061	0.320	0.001	KZ 767
		Min M <sub>y</sub>	-0.070	0.033	216.552	-0.078	0.288	0.001	KZ 766
		Max M <sub>z</sub>	-0.070	0.033	216.552	-0.078	0.288	0.001	KZ 766
		Min M <sub>z</sub>	-0.077	0.040	252.689	-0.061	0.320	0.001	KZ 767
524	KV1	Max	2.367	4.778	361.894	26.499	5.713	0.021	MSÚ (STR/GEO) - trvalá/dočasná - rovn. 6.10a a 6.10b
		Min	-1.339	-4.687	228.339	-27.465	-8.819	-0.006	MSÚ (STR/GEO) - trvalá/dočasná - rovn. 6.10a a 6.10b
		Max P <sub>x</sub>	2.367	-4.685	242.404	-27.303	-8.762	0.015	KZ 206
		Min P <sub>x</sub>	-1.339	-0.652	306.386	-2.446	5.706	-0.006	KZ 270
		Max P <sub>y</sub>	2.227	4.778	306.912	26.497	-8.676	0.019	KZ 262
		Min P <sub>y</sub>	2.329	-4.687	314.352	-27.465	-8.665	0.014	KZ 242
		Max P <sub>z</sub>	-0.726	-0.447	361.894	-2.436	3.534	0.000	KZ 43
		Min P <sub>z</sub>	2.216	4.641	228.339	25.568	-8.709	0.019	KZ 188
		Max M <sub>x</sub>	2.247	4.773	309.240	26.499	-8.704	0.020	KZ 250
		Min M <sub>x</sub>	2.329	-4.687	314.352	-27.465	-8.665	0.014	KZ 242
		Max M <sub>y</sub>	-1.337	-0.674	312.415	-2.657	5.713	-0.005	KZ 269
		Min M <sub>y</sub>	2.300	4.008	239.178	20.780	-8.819	0.020	KZ 201
		Max M <sub>z</sub>	2.289	4.101	238.008	21.517	-8.803	0.021	KZ 213
		Min M <sub>z</sub>	-1.339	-0.652	306.386	-2.446	5.706	-0.006	KZ 270
	KV2	Max	1.581	3.190	282.467	17.544	3.855	0.014	MSP - charakteristická
		Min	-0.893	-3.111	200.413	-18.248	-5.819	-0.003	MSP - charakteristická
		Max P <sub>x</sub>	1.581	-3.111	209.791	-18.175	-5.781	0.010	KZ 537
		Min P <sub>x</sub>	-0.893	-0.425	252.442	-1.664	3.850	-0.003	KZ 601
		Max P <sub>y</sub>	1.488	3.190	252.796	17.542	-5.718	0.013	KZ 593
		Min P <sub>y</sub>	1.556	-3.111	257.757	-18.248	-5.709	0.010	KZ 573
		Max P <sub>z</sub>	-0.497	-0.293	282.467	-1.632	2.409	0.000	KZ 616
		Min P <sub>z</sub>	1.480	3.101	200.413	16.971	-5.747	0.013	KZ 519
		Max M <sub>x</sub>	1.501	3.188	254.348	17.544	-5.735	0.014	KZ 581
		Min M <sub>x</sub>	1.556	-3.111	257.757	-18.248	-5.709	0.010	KZ 573
		Max M <sub>y</sub>	-0.892	-0.440	256.461	-1.803	3.855	-0.003	KZ 600
		Min M <sub>y</sub>	1.537	2.678	207.640	13.767	-5.819	0.014	KZ 532
		Max M <sub>z</sub>	1.529	2.740	206.859	14.263	-5.809	0.014	KZ 544
		Min M <sub>z</sub>	-0.893	-0.425	252.442	-1.664	3.850	-0.003	KZ 601
	KV3	Max	0.006	0.041	247.632	-0.153	0.304	0.002	MSP - kvazistálá
		Min	-0.015	0.039	206.517	-0.158	0.231	0.002	MSP - kvazistálá
		Max P <sub>x</sub>	0.006	0.039	206.517	-0.153	0.231	0.002	KZ 766
		Min P <sub>x</sub>	-0.015	0.041	247.632	-0.158	0.304	0.002	KZ 767
		Max P <sub>y</sub>	-0.015	0.041	247.632	-0.158	0.304	0.002	KZ 767
		Min P <sub>y</sub>	0.006	0.039	206.517	-0.153	0.231	0.002	KZ 766
		Max P <sub>z</sub>	-0.015	0.041	247.632	-0.158	0.304	0.002	KZ 767
		Min P <sub>z</sub>	0.006	0.039	206.517	-0.153	0.231	0.002	KZ 766
		Max M <sub>x</sub>	0.006	0.039	206.517	-0.153	0.231	0.002	KZ 766
		Min M <sub>x</sub>	-0.015	0.041	247.632	-0.158	0.304	0.002	KZ 767
		Max M <sub>y</sub>	-0.015	0.041	247.632	-0.158	0.304	0.002	KZ 767
		Min M <sub>y</sub>	0.006	0.039	206.517	-0.153	0.231	0.002	KZ 766
		Max M <sub>z</sub>	0.006	0.039	206.517	-0.153	0.231	0.002	KZ 766
		Min M <sub>z</sub>	-0.015	0.041	247.632	-0.158	0.304	0.002	KZ 767
527	KV1	Max	12.918	7.941	815.258	37.029	3.867	1.010	MSÚ (STR/GEO) - trvalá/dočasná - rovn. 6.10a a 6.10b
		Min	-0.089	-8.387	457.525	-39.624	-24.158	-1.155	MSÚ (STR/GEO) - trvalá/dočasná - rovn. 6.10a a 6.10b
		Max P <sub>x</sub>	12.918	7.738	666.329	35.981	-24.158	0.979	KZ 272
		Min P <sub>x</sub>	-0.089	-0.585	520.034	-2.899	3.867	0.057	KZ 197
		Max P <sub>y</sub>	10.750	7.941	475.754	36.820	-21.035	0.992	KZ 226
		Min P <sub>y</sub>	10.456	-8.387	499.598	-39.394	-20.457	-1.153	KZ 206
		Max P <sub>z</sub>	4.585	-0.520	815.258	-2.625	-4.129	0.001	KZ 285
		Min P <sub>z</sub>	10.771	7.760	457.525	35.780	-21.068	0.961	KZ 188



Projekt:

Model: HOŘICE-KONSTRUKCE\_3D\_Budova\_redukované ..

## 4.1 UZLY - PODPOROVÉ SÍLY

Kombinace výsledků

Uzel č.	KV		Podporové síly [kN]			Podporové momenty [kNm]			
			P <sub>x</sub>	P <sub>y</sub>	P <sub>z</sub>	M <sub>x</sub>	M <sub>y</sub>	M <sub>z</sub>	
527	KV2	Max M <sub>x</sub>	12.897	7.918	684.558	37.029	-24.126	1.010	KZ 262
		Min M <sub>x</sub>	12.602	-8.359	708.398	-39.624	-23.546	-1.155	KZ 242
		Max M <sub>y</sub>	-0.089	-0.585	520.034	-2.899	3.867	0.057	KZ 197
		Min M <sub>y</sub>	12.918	7.738	666.329	35.981	-24.158	0.979	KZ 272
		Max M <sub>z</sub>	12.897	7.918	684.558	37.029	-24.126	1.010	KZ 262
		Min M <sub>z</sub>	12.602	-8.359	708.398	-39.624	-23.546	-1.155	KZ 242
		Max	9.414	5.292	641.913	24.492	1.472	0.666	MSP - charakteristická
		Min	0.742	-5.596	403.426	-26.358	-17.176	-0.769	MSP - charakteristická
		Max P <sub>x</sub>	9.414	5.162	542.630	23.814	-17.176	0.646	KZ 603
		Min P <sub>x</sub>	0.742	-0.394	445.095	-2.005	1.472	0.035	KZ 528
		Max P <sub>y</sub>	7.966	5.292	415.579	24.401	-15.104	0.656	KZ 557
		Min P <sub>y</sub>	7.770	-5.596	431.475	-26.257	-14.718	-0.769	KZ 537
		Max P <sub>z</sub>	3.857	-0.351	641.913	-1.818	-3.857	-0.003	KZ 616
		Min P <sub>z</sub>	7.981	5.171	403.426	23.726	-15.129	0.636	KZ 519
		Max M <sub>x</sub>	9.399	5.282	554.783	24.492	-17.151	0.666	KZ 593
		Min M <sub>x</sub>	9.203	-5.583	570.679	-26.358	-16.763	-0.768	KZ 573
	KV3	Max M <sub>y</sub>	0.742	-0.394	445.095	-2.005	1.472	0.035	KZ 528
		Min M <sub>y</sub>	9.414	5.162	542.630	23.814	-17.176	0.646	KZ 603
		Max M <sub>z</sub>	9.399	5.282	554.783	24.492	-17.151	0.666	KZ 593
		Min M <sub>z</sub>	7.770	-5.596	431.475	-26.257	-14.718	-0.769	KZ 537
		Max	4.661	-0.011	541.063	-0.324	-4.701	-0.009	MSP - kvazistálá
		Min	3.431	-0.012	421.743	-0.326	-6.435	-0.014	MSP - kvazistálá
		Max P <sub>x</sub>	4.661	-0.011	541.063	-0.326	-6.435	-0.009	KZ 767
		Min P <sub>x</sub>	3.431	-0.012	421.743	-0.324	-4.701	-0.014	KZ 766
		Max P <sub>y</sub>	4.661	-0.011	541.063	-0.326	-6.435	-0.009	KZ 767
		Min P <sub>y</sub>	3.431	-0.012	421.743	-0.324	-4.701	-0.014	KZ 766
		Max P <sub>z</sub>	4.661	-0.011	541.063	-0.326	-6.435	-0.009	KZ 767
		Min P <sub>z</sub>	3.431	-0.012	421.743	-0.324	-4.701	-0.014	KZ 766
		Max M <sub>x</sub>	3.431	-0.012	421.743	-0.324	-4.701	-0.014	KZ 766
		Min M <sub>x</sub>	4.661	-0.011	541.063	-0.326	-6.435	-0.009	KZ 767
		Max M <sub>y</sub>	3.431	-0.012	421.743	-0.324	-4.701	-0.014	KZ 766
		Min M <sub>y</sub>	4.661	-0.011	541.063	-0.326	-6.435	-0.009	KZ 767
		Max M <sub>z</sub>	4.661	-0.011	541.063	-0.326	-6.435	-0.009	KZ 767
		Min M <sub>z</sub>	3.431	-0.012	421.743	-0.324	-4.701	-0.014	KZ 766
530	KV1	Max	5.195	8.023	853.728	37.600	15.610	1.044	MSÚ (STR/GEO) - trvalá/dočasná - rovn. 6.10a a 6.10b
		Min	-8.067	-8.399	506.043	-39.713	-13.519	-0.990	MSÚ (STR/GEO) - trvalá/dočasná - rovn. 6.10a a 6.10b
		Max P <sub>x</sub>	5.195	7.545	541.218	35.428	-13.519	-0.920	KZ 202
		Min P <sub>x</sub>	-8.067	0.255	700.186	0.392	15.598	-0.090	KZ 270
		Max P <sub>y</sub>	5.185	8.023	528.710	37.346	-13.505	-0.973	KZ 226
		Min P <sub>y</sub>	5.072	-8.399	553.528	-39.502	-13.171	1.031	KZ 206
		Max P <sub>z</sub>	0.111	-4.703	853.728	-21.648	-3.550	0.590	KZ 49
		Min P <sub>z</sub>	-6.270	0.247	506.043	0.391	12.939	-0.092	KZ 185
		Max M <sub>x</sub>	3.398	8.010	733.972	37.600	-10.944	-0.990	KZ 250
		Min M <sub>x</sub>	3.276	-8.368	747.515	-39.713	-10.595	1.044	KZ 242
		Max M <sub>y</sub>	-8.065	0.292	715.175	0.438	15.610	-0.086	KZ 258
		Min M <sub>y</sub>	5.195	7.545	541.218	35.428	-13.519	-0.920	KZ 202
	KV2	Max M <sub>z</sub>	3.276	-8.368	747.515	-39.713	-10.595	1.044	KZ 242
		Min M <sub>z</sub>	3.398	8.010	733.972	37.600	-10.944	-0.990	KZ 250
		Max	3.055	5.360	671.072	24.915	11.019	0.696	MSP - charakteristická
		Min	-5.787	-5.598	445.848	-26.373	-8.367	-0.651	MSP - charakteristická
		Max P <sub>x</sub>	3.055	5.037	469.294	23.506	-8.367	-0.606	KZ 533
		Min P <sub>x</sub>	-5.787	0.176	575.278	0.228	11.013	-0.055	KZ 601
		Max P <sub>y</sub>	1.853	5.360	590.282	24.913	-6.633	-0.645	KZ 593
		Min P <sub>y</sub>	2.974	-5.598	477.501	-26.286	-8.135	0.689	KZ 537
		Max P <sub>z</sub>	-0.613	-3.135	671.072	-14.336	-1.330	0.392	KZ 622
		Min P <sub>z</sub>	-4.587	0.171	445.848	0.228	9.248	-0.057	KZ 516
		Max M <sub>x</sub>	1.859	5.353	597.797	24.915	-6.641	-0.651	KZ 581
		Min M <sub>x</sub>	1.777	-5.580	606.827	-26.373	-6.408	0.696	KZ 573
	KV3	Max M <sub>y</sub>	-5.785	0.201	585.270	0.259	11.019	-0.053	KZ 589
		Min M <sub>y</sub>	3.055	5.037	469.294	23.506	-8.367	-0.606	KZ 533
		Max M <sub>z</sub>	1.777	-5.580	606.827	-26.373	-6.408	0.696	KZ 573
		Min M <sub>z</sub>	1.859	5.353	597.797	24.915	-6.641	-0.651	KZ 581
		Max	-1.748	0.034	575.777	-0.125	4.206	0.021	MSP - kvazistálá
		Min	-2.772	0.025	464.927	-0.140	2.707	0.019	MSP - kvazistálá
		Max P <sub>x</sub>	-1.748	0.025	464.927	-0.140	2.707	0.019	KZ 766
		Min P <sub>x</sub>	-2.772	0.034	575.777	-0.125	4.206	0.021	KZ 767
		Max P <sub>y</sub>	-2.772	0.034	575.777	-0.125	4.206	0.021	KZ 767
		Min P <sub>y</sub>	-1.748	0.025	464.927	-0.140	2.707	0.019	KZ 766
		Max P <sub>z</sub>	-2.772	0.034	575.777	-0.125	4.206	0.021	KZ 767
		Min P <sub>z</sub>	-1.748	0.025	464.927	-0.140	2.707	0.019	KZ 766
		Max M <sub>x</sub>	-2.772	0.034	575.777	-0.125	4.206	0.021	KZ 767
		Min M <sub>x</sub>	-1.748	0.025	464.927	-0.140	2.707	0.019	KZ 766
		Max M <sub>y</sub>	-2.772	0.034	575.777	-0.125	4.206	0.021	KZ 767
		Min M <sub>y</sub>	-1.748	0.025	464.927	-0.140	2.707	0.019	KZ 766
		Max M <sub>z</sub>	-2.772	0.034	575.777	-0.125	4.206	0.021	KZ 767
		Min M <sub>z</sub>	-1.748	0.025	464.927	-0.140	2.707	0.019	KZ 766
533	KV1	Max	27.791	8.186	522.361	39.211	-10.579	0.492	MSÚ (STR/GEO) - trvalá/dočasná - rovn. 6.10a a 6.10b
		Min	9.956	-8.733	332.261	-41.799	-44.655	-0.259	MSÚ (STR/GEO) - trvalá/dočasná - rovn. 6.10a a 6.10b
		Max P <sub>x</sub>	27.791	4.411	494.471	20.245	-43.258	-0.032	KZ 299



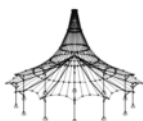
Projekt:

Model: HOŘICE-KONSTRUKCE\_3D\_Budova\_redukováne ..

## 4.1 UZLY - PODPOROVÉ SÍLY

Kombinace výsledků

Uzel č.	KV		Podporové síly [kN]			Podporové momenty [kNm]			
			P <sub>x</sub>	P <sub>y</sub>	P <sub>z</sub>	M <sub>x</sub>	M <sub>y</sub>	M <sub>z</sub>	
533	KV2	Min P <sub>x</sub>	9.956	0.055	333.192	0.005	-10.588	0.112	KZ 186
		Max P <sub>y</sub>	27.091	8.186	441.763	39.211	-44.638	-0.202	KZ 262
		Min P <sub>y</sub>	19.736	-8.733	358.190	-41.650	-33.897	0.432	KZ 206
		Max P <sub>z</sub>	27.016	-4.919	522.361	-22.844	-42.037	0.351	KZ 49
		Min P <sub>z</sub>	19.750	7.946	332.261	37.687	-34.079	-0.257	KZ 188
		Max M <sub>x</sub>	27.091	8.186	441.763	39.211	-44.638	-0.202	KZ 262
		Min M <sub>x</sub>	27.069	-8.724	456.462	-41.799	-44.447	0.492	KZ 242
		Max M <sub>y</sub>	9.959	0.087	342.462	0.060	-10.579	0.115	KZ 222
		Min M <sub>y</sub>	27.102	8.168	448.292	39.168	-44.655	-0.207	KZ 250
		Max M <sub>z</sub>	27.069	-8.724	456.462	-41.799	-44.447	0.492	KZ 242
		Min M <sub>z</sub>	19.767	7.969	348.068	37.782	-34.100	-0.259	KZ 212
		Max	21.290	5.446	406.122	25.957	-10.983	0.340	MSP - charakteristická
		Min	9.404	-5.823	291.046	-27.772	-33.661	-0.158	MSP - charakteristická
		Max P <sub>x</sub>	21.290	2.932	399.187	13.360	-32.732	-0.006	KZ 630
		Min P <sub>x</sub>	9.404	0.032	291.674	-0.051	-10.988	0.089	KZ 517
		Max P <sub>y</sub>	20.823	5.446	364.044	25.957	-33.651	-0.119	KZ 593
		Min P <sub>y</sub>	15.921	-5.823	308.331	-27.728	-26.504	0.301	KZ 537
		Max P <sub>z</sub>	21.283	-3.270	406.122	-15.109	-32.660	0.254	KZ 622
	KV3	Min P <sub>z</sub>	15.931	5.291	291.046	25.015	-26.630	-0.156	KZ 519
		Max M <sub>x</sub>	20.823	5.446	364.044	25.957	-33.651	-0.119	KZ 593
		Min M <sub>x</sub>	20.807	-5.814	373.844	-27.772	-33.520	0.340	KZ 573
		Max M <sub>y</sub>	9.406	0.053	297.855	-0.014	-10.983	0.091	KZ 553
		Min M <sub>y</sub>	20.830	5.435	368.397	25.928	-33.661	-0.122	KZ 581
		Max M <sub>z</sub>	20.807	-5.814	373.844	-27.772	-33.520	0.340	KZ 573
		Min M <sub>z</sub>	15.942	5.305	301.583	25.060	-26.641	-0.158	KZ 543
		Max	16.037	-0.009	354.181	-0.182	-16.826	0.091	MSP - kvazistálá
		Min	11.853	-0.021	298.032	-0.234	-22.820	0.060	MSP - kvazistálá
		Max P <sub>x</sub>	16.037	-0.009	354.181	-0.182	-22.820	0.091	KZ 767
		Min P <sub>x</sub>	11.853	-0.021	298.032	-0.234	-16.826	0.060	KZ 766
		Max P <sub>y</sub>	16.037	-0.009	354.181	-0.182	-22.820	0.091	KZ 767
		Min P <sub>y</sub>	11.853	-0.021	298.032	-0.234	-16.826	0.060	KZ 766
		Max P <sub>z</sub>	16.037	-0.009	354.181	-0.182	-22.820	0.091	KZ 767
		Min P <sub>z</sub>	11.853	-0.021	298.032	-0.234	-16.826	0.060	KZ 766
		Max M <sub>x</sub>	16.037	-0.009	354.181	-0.182	-22.820	0.091	KZ 767
		Min M <sub>x</sub>	11.853	-0.021	298.032	-0.234	-16.826	0.060	KZ 766
		Max M <sub>y</sub>	11.853	-0.021	298.032	-0.234	-16.826	0.060	KZ 766
		Min M <sub>y</sub>	16.037	-0.009	354.181	-0.182	-22.820	0.091	KZ 767
		Max M <sub>z</sub>	16.037	-0.009	354.181	-0.182	-22.820	0.091	KZ 767
		Min M <sub>z</sub>	11.853	-0.021	298.032	-0.234	-16.826	0.060	KZ 766
536	KV1	Max	-7.224	8.182	520.284	39.178	40.548	0.334	MSÚ (STR/GEO) - trvalá/dočasná - rovn. 6.10a a 6.10b
		Min	-26.446	-8.765	320.169	-41.961	4.641	-0.393	MSÚ (STR/GEO) - trvalá/dočasná - rovn. 6.10a a 6.10b
		Max P <sub>x</sub>	-7.224	7.960	320.169	37.723	4.641	0.321	KZ 188
		Min P <sub>x</sub>	-26.446	-0.594	503.001	-2.621	40.548	-0.028	KZ 285
		Max P <sub>y</sub>	-7.271	8.182	338.721	38.994	4.715	0.334	KZ 214
		Min P <sub>y</sub>	-14.823	-8.765	445.682	-41.961	15.776	-0.393	KZ 242
		Max P <sub>z</sub>	-25.598	-0.603	520.284	-2.693	39.353	-0.023	KZ 43
		Min P <sub>z</sub>	-7.224	7.960	320.169	37.723	4.641	0.321	KZ 188
		Max M <sub>x</sub>	-14.724	8.175	436.790	39.178	15.468	0.327	KZ 250
		Min M <sub>x</sub>	-14.823	-8.765	445.682	-41.961	15.776	-0.393	KZ 242
		Max M <sub>y</sub>	-26.446	-0.594	503.001	-2.621	40.548	-0.028	KZ 285
		Min M <sub>y</sub>	-7.224	7.960	320.169	37.723	4.641	0.321	KZ 188
		Max M <sub>z</sub>	-7.271	8.182	338.721	38.994	4.715	0.334	KZ 214
		Min M <sub>z</sub>	-14.823	-8.765	445.682	-41.961	15.776	-0.393	KZ 242
	KV2	Max	-7.557	5.429	404.548	25.878	30.991	0.220	MSP - charakteristická
		Min	-20.367	-5.856	282.663	-27.931	7.088	-0.262	MSP - charakteristická
		Max P <sub>x</sub>	-7.557	5.282	282.663	24.985	7.088	0.212	KZ 519
		Min P <sub>x</sub>	-20.367	-0.418	404.548	-1.849	30.991	-0.020	KZ 616
		Max P <sub>y</sub>	-7.589	5.429	295.033	25.810	7.141	0.220	KZ 545
		Min P <sub>y</sub>	-12.626	-5.856	366.347	-27.931	14.522	-0.262	KZ 573
		Max P <sub>z</sub>	-20.367	-0.418	404.548	-1.849	30.991	-0.020	KZ 616
		Min P <sub>z</sub>	-7.557	5.282	282.663	24.985	7.088	0.212	KZ 519
		Max M <sub>x</sub>	-12.561	5.421	360.418	25.878	14.316	0.214	KZ 581
		Min M <sub>x</sub>	-12.626	-5.856	366.347	-27.931	14.522	-0.262	KZ 573
		Max M <sub>y</sub>	-20.367	-0.418	404.548	-1.849	30.991	-0.020	KZ 616
		Min M <sub>y</sub>	-7.557	5.282	282.663	24.985	7.088	0.212	KZ 519
		Max M <sub>z</sub>	-7.589	5.429	295.033	25.810	7.141	0.220	KZ 545
		Min M <sub>z</sub>	-12.626	-5.856	366.347	-27.931	14.522	-0.262	KZ 573
	KV3	Max	-11.742	-0.092	352.671	-0.465	23.261	-0.007	MSP - kvazistálá
		Min	-16.008	-0.105	296.621	-0.497	17.090	-0.015	MSP - kvazistálá
		Max P <sub>x</sub>	-11.742	-0.092	296.621	-0.465	17.090	-0.007	KZ 766
		Min P <sub>x</sub>	-16.008	-0.105	352.671	-0.497	23.261	-0.015	KZ 767
		Max P <sub>y</sub>	-11.742	-0.092	296.621	-0.465	17.090	-0.007	KZ 766
		Min P <sub>y</sub>	-16.008	-0.105	352.671	-0.497	23.261	-0.015	KZ 767
		Max P <sub>z</sub>	-16.008	-0.105	352.671	-0.497	23.261	-0.015	KZ 767
		Min P <sub>z</sub>	-11.742	-0.092	296.621	-0.465	17.090	-0.007	KZ 766
		Max M <sub>x</sub>	-11.742	-0.092	296.621	-0.465	17.090	-0.007	KZ 766
		Min M <sub>x</sub>	-16.008	-0.105	352.671	-0.497	23.261	-0.015	KZ 767
539	KV1	Max	3.064	8.771	838.007	40.583	18.777	0.123	MSÚ (STR/GEO) - trvalá/dočasná - rovn. 6.10a a 6.10b



Projekt:

Model: HOŘICE-KONSTRUKCE\_3D\_Budova\_redukováne ..

## 4.1 UZLY - PODPOROVÉ SÍLY

Kombinace výsledků

Uzel	Podporové síly [kN]								Podporové momenty [kNm]			Rozsahové výsledky
č.	KV		P <sub>x</sub>	P <sub>y</sub>	P <sub>z</sub>	M <sub>x</sub>	M <sub>y</sub>	M <sub>z</sub>				
	KV2	Min	-10.351	-9.287	491.766	-43.501	-10.018	-0.132	6.10b MSÚ (STR/GEO) - trvalá/dočasná - rovn. 6.10a a 6.10b			
		Max P <sub>x</sub>	3.064	8.757	519.443	40.294	-10.018	0.116	KZ 214			
		Min P <sub>x</sub>	-10.351	0.035	721.930	-0.260	18.760	0.070	KZ 258			
		Max P <sub>y</sub>	3.061	8.771	508.516	40.312	-10.013	0.120	KZ 226			
		Min P <sub>y</sub>	2.844	-9.287	533.137	-43.283	-9.544	-0.132	KZ 206			
		Max P <sub>z</sub>	-9.368	-0.532	838.007	-2.639	16.030	0.041	KZ 43			
		Min P <sub>z</sub>	3.055	8.576	491.766	39.160	-10.010	0.106	KZ 188			
		Max M <sub>x</sub>	1.261	8.766	707.813	40.583	-7.400	0.123	KZ 262			
		Min M <sub>x</sub>	1.044	-9.248	732.440	-43.501	-6.926	-0.127	KZ 242			
		Max M <sub>y</sub>	-10.347	-0.524	750.638	-2.574	18.777	0.065	KZ 233			
		Min M <sub>y</sub>	3.064	8.757	519.443	40.294	-10.018	0.116	KZ 214			
		Max M <sub>z</sub>	1.261	8.766	707.813	40.583	-7.400	0.123	KZ 262			
		Min M <sub>z</sub>	2.844	-9.287	533.137	-43.283	-9.544	-0.132	KZ 206			
		Max	1.180	5.844	660.679	26.844	13.788	0.085	MSP - charakteristická			
		Min	-7.762	-6.199	433.033	-28.932	-5.371	-0.084	MSP - charakteristická			
		Max P <sub>x</sub>	1.180	5.835	451.484	26.706	-5.371	0.080	KZ 545			
		Min P <sub>x</sub>	-7.762	0.018	586.469	-0.252	13.779	0.050	KZ 589			
		Max P <sub>y</sub>	-0.022	5.844	577.064	26.844	-3.616	0.085	KZ 593			
		Min P <sub>y</sub>	1.033	-6.199	460.613	-28.844	-5.054	-0.084	KZ 537			
		Max P <sub>z</sub>	-7.126	-0.354	660.679	-1.774	11.974	0.030	KZ 616			
		Min P <sub>z</sub>	1.175	5.714	433.033	25.970	-5.368	0.073	KZ 519			
		Max M <sub>x</sub>	-0.022	5.844	577.064	26.844	-3.616	0.085	KZ 593			
		Min M <sub>x</sub>	-0.166	-6.178	593.479	-28.932	-3.299	-0.081	KZ 573			
		Max M <sub>y</sub>	-7.759	-0.356	605.606	-1.790	13.788	0.046	KZ 564			
		Min M <sub>y</sub>	1.176	5.819	434.914	26.649	-5.371	0.081	KZ 521			
		Max M <sub>z</sub>	-0.022	5.844	577.064	26.844	-3.616	0.085	KZ 593			
		KV3	Min M <sub>z</sub>	1.033	-6.199	460.613	-28.844	-5.054	-0.084	KZ 537		
	Max		-3.695	-0.013	564.701	-0.323	7.072	0.015	MSP - kvazistálá			
	Min		-4.722	-0.023	450.814	-0.343	5.548	0.013	MSP - kvazistálá			
	Max P <sub>x</sub>		-3.695	-0.023	450.814	-0.343	5.548	0.013	KZ 766			
	Min P <sub>x</sub>		-4.722	-0.013	564.701	-0.323	7.072	0.015	KZ 767			
	Max P <sub>y</sub>		-4.722	-0.013	564.701	-0.323	7.072	0.015	KZ 767			
	Min P <sub>y</sub>		-3.695	-0.023	450.814	-0.343	5.548	0.013	KZ 766			
	Max P <sub>z</sub>		-4.722	-0.013	564.701	-0.323	7.072	0.015	KZ 767			
	Min P <sub>z</sub>		-3.695	-0.023	450.814	-0.343	5.548	0.013	KZ 766			
	Max M <sub>x</sub>		-4.722	-0.013	564.701	-0.323	7.072	0.015	KZ 767			
	Min M <sub>x</sub>		-3.695	-0.023	450.814	-0.343	5.548	0.013	KZ 766			
	Max M <sub>y</sub>		-4.722	-0.013	564.701	-0.323	7.072	0.015	KZ 767			
	Min M <sub>y</sub>		-3.695	-0.023	450.814	-0.343	5.548	0.013	KZ 766			
	Max M <sub>z</sub>		-4.722	-0.013	564.701	-0.323	7.072	0.015	KZ 767			
	Min M <sub>z</sub>	-3.695	-0.023	450.814	-0.343	5.548	0.013	KZ 766				
542	KV1	Max	11.529	8.804	793.795	40.921	7.012	0.122	MSÚ (STR/GEO) - trvalá/dočasná - rovn. 6.10a a 6.10b			
		Min	-2.205	-9.231	451.833	-43.288	-22.511	-0.113	MSÚ (STR/GEO) - trvalá/dočasná - rovn. 6.10a a 6.10b			
	Max P <sub>x</sub>	11.529	8.581	651.906	39.604	-22.511	-0.112	KZ 272				
	Min P <sub>x</sub>	-2.205	-0.369	485.586	-1.916	7.012	0.070	KZ 198				
	Max P <sub>y</sub>	9.877	8.804	481.459	40.653	-20.106	-0.112	KZ 214				
	Min P <sub>y</sub>	9.630	-9.231	494.719	-43.038	-19.583	0.122	KZ 206				
	Max P <sub>z</sub>	8.978	-5.193	793.795	-23.637	-16.270	0.074	KZ 291				
	Min P <sub>z</sub>	9.913	8.586	451.833	39.345	-20.158	-0.112	KZ 188				
	Max M <sub>x</sub>	11.494	8.798	681.535	40.921	-22.460	-0.111	KZ 250				
	Min M <sub>x</sub>	11.246	-9.201	694.796	-43.288	-21.935	0.121	KZ 242				
	Max M <sub>y</sub>	-2.205	-0.369	485.586	-1.916	7.012	0.070	KZ 198				
	Min M <sub>y</sub>	11.529	8.581	651.906	39.604	-22.511	-0.112	KZ 272				
	Max M <sub>z</sub>	9.632	-9.065	493.395	-41.884	-19.586	0.122	KZ 204				
	Min M <sub>z</sub>	9.879	8.623	477.994	39.486	-20.108	-0.113	KZ 212				
	KV2	Max	8.147	5.870	625.789	27.091	4.048	0.085	MSP - charakteristická			
		Min	-1.009	-6.158	397.822	-28.764	-15.598	-0.071	MSP - charakteristická			
		Max P <sub>x</sub>	8.147	5.724	531.201	26.237	-15.598	-0.070	KZ 603			
		Min P <sub>x</sub>	-1.009	-0.249	420.326	-1.334	4.048	0.051	KZ 529			
		Max P <sub>y</sub>	8.122	5.870	550.952	27.091	-15.559	-0.070	KZ 581			
		Min P <sub>y</sub>	6.879	-6.158	426.410	-28.658	-13.655	0.085	KZ 537			
		Max P <sub>z</sub>	6.445	-3.468	625.789	-15.716	-11.438	0.053	KZ 622			
		Min P <sub>z</sub>	7.069	5.724	397.822	26.119	-14.043	-0.071	KZ 519			
		Max M <sub>x</sub>	8.122	5.870	550.952	27.091	-15.559	-0.070	KZ 581			
		Min M <sub>x</sub>	7.957	-6.142	559.791	-28.764	-15.209	0.084	KZ 573			
		Max M <sub>y</sub>	-1.009	-0.249	420.326	-1.334	4.048	0.051	KZ 529			
		Min M <sub>y</sub>	8.147	5.724	531.201	26.237	-15.598	-0.070	KZ 603			
		Max M <sub>z</sub>	6.880	-6.047	425.528	-27.893	-13.657	0.085	KZ 535			
		KV3	Min M <sub>z</sub>	7.045	5.748	415.261	26.196	-14.006	-0.071	KZ 543		
	Max		2.899	-0.001	528.343	-0.235	-2.645	0.018	MSP - kvazistálá			
	Min		1.973	-0.008	414.019	-0.244	-3.957	0.017	MSP - kvazistálá			
	Max P <sub>x</sub>		2.899	-0.001	528.343	-0.235	-3.957	0.017	KZ 767			
	Min P <sub>x</sub>		1.973	-0.008	414.019	-0.244	-2.645	0.018	KZ 766			
	Max P <sub>y</sub>		2.899	-0.001	528.343	-0.235	-3.957	0.017	KZ 767			
	Min P <sub>y</sub>		1.973	-0.008	414.019	-0.244	-2.645	0.018	KZ 766			
	Max P <sub>z</sub>		2.899	-0.001	528.343	-0.235	-3.957	0.017	KZ 767			
	Min P <sub>z</sub>		1.973	-0.008	414.019	-0.244	-2.645	0.018	KZ 766			
	Max M <sub>x</sub>		2.899	-0.001	528.343	-0.235	-3.957	0.017	KZ 767			
	Min M <sub>x</sub>		1.973	-0.008	414.019	-0.244	-2.645	0.018	KZ 766			
	Max M <sub>y</sub>		1.973	-0.008	414.019	-0.244	-2.645	0.018	KZ 766			



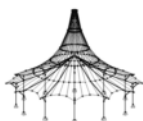
Projekt:

Model: HOŘICE-KONSTRUKCE\_3D\_Budova\_redukováne ..

## 4.1 UZLY - PODPOROVÉ SÍLY

Kombinace výsledků

Uzel č.	KV		Podporové síly [kN]			Podporové momenty [kNm]			
			P <sub>x</sub>	P <sub>y</sub>	P <sub>z</sub>	M <sub>x</sub>	M <sub>y</sub>	M <sub>z</sub>	
542		Min M <sub>y</sub>	2.899	-0.001	528.343	-0.235	-3.957	0.017	KZ 767
		Max M <sub>z</sub>	1.973	-0.008	414.019	-0.244	-2.645	0.018	KZ 766
		Min M <sub>z</sub>	2.899	-0.001	528.343	-0.235	-3.957	0.017	KZ 767
545	KV1	Max	2.235	4.564	332.661	26.068	5.699	0.008	MSÚ (STR/GEO) - trvalá/dočasná - rovn. 6.10a a 6.10b
		Min	-1.343	-4.979	215.665	-27.936	-8.310	-0.029	MSÚ (STR/GEO) - trvalá/dočasná - rovn. 6.10a a 6.10b
		Max P <sub>x</sub>	2.235	3.814	291.821	21.082	-8.256	-0.020	KZ 235
		Min P <sub>x</sub>	-1.343	-0.821	219.300	-2.682	5.693	0.007	KZ 186
		Max P <sub>y</sub>	2.101	4.564	216.732	25.965	-8.000	-0.020	KZ 190
		Min P <sub>y</sub>	2.225	-4.979	288.283	-27.936	-8.310	-0.027	KZ 242
		Max P <sub>z</sub>	-0.735	-0.788	332.661	-2.978	3.554	0.002	KZ 43
		Min P <sub>z</sub>	2.091	-4.677	215.665	-25.982	-8.057	-0.027	KZ 192
		Max M <sub>x</sub>	2.203	4.531	283.786	26.068	-8.208	-0.020	KZ 250
		Min M <sub>x</sub>	2.225	-4.979	288.283	-27.936	-8.310	-0.027	KZ 242
		Max M <sub>y</sub>	-1.342	-0.884	224.582	-2.949	5.699	0.007	KZ 185
		Min M <sub>y</sub>	2.225	-4.979	288.283	-27.936	-8.310	-0.027	KZ 242
	KV2	Max M <sub>z</sub>	-1.289	-0.907	286.921	-3.026	5.603	0.008	KZ 269
		Min M <sub>z</sub>	2.166	-4.178	224.025	-22.164	-8.155	-0.029	KZ 229
		Max	1.468	3.008	258.874	17.188	3.913	0.005	MSP - charakteristická
		Min	-0.920	-3.346	188.796	-18.628	-5.410	-0.020	MSP - charakteristická
		Max P <sub>x</sub>	1.468	2.505	239.568	13.871	-5.373	-0.014	KZ 566
		Min P <sub>x</sub>	-0.920	-0.580	191.219	-1.889	3.909	0.004	KZ 517
		Max P <sub>y</sub>	1.378	3.008	189.508	17.166	-5.211	-0.014	KZ 521
		Min P <sub>y</sub>	1.461	-3.346	237.208	-18.628	-5.410	-0.019	KZ 573
		Max P <sub>z</sub>	-0.487	-0.545	258.874	-2.040	2.380	0.001	KZ 616
		Min P <sub>z</sub>	1.371	-3.148	188.796	-17.385	-5.250	-0.018	KZ 523
		Max M <sub>x</sub>	1.446	2.983	234.211	17.188	-5.343	-0.014	KZ 581
		Min M <sub>x</sub>	1.461	-3.346	237.208	-18.628	-5.410	-0.019	KZ 573
	KV3	Max M <sub>y</sub>	-0.920	-0.622	194.740	-2.066	3.913	0.004	KZ 516
		Min M <sub>y</sub>	1.461	-2.988	237.707	-16.006	-5.410	-0.019	KZ 570
		Max M <sub>z</sub>	-0.885	-0.636	236.298	-2.117	3.845	0.005	KZ 600
		Min M <sub>z</sub>	1.422	-2.814	194.370	-14.831	-5.314	-0.020	KZ 560
		Max	-0.071	-0.138	228.562	-0.442	0.501	-0.002	MSP - kvazistálá
		Min	-0.101	-0.151	192.942	-0.483	0.435	-0.003	MSP - kvazistálá
		Max P <sub>x</sub>	-0.071	-0.151	228.562	-0.483	0.435	-0.002	KZ 767
		Min P <sub>x</sub>	-0.101	-0.138	192.942	-0.442	0.501	-0.003	KZ 766
		Max P <sub>y</sub>	-0.101	-0.138	192.942	-0.442	0.501	-0.003	KZ 766
		Min P <sub>y</sub>	-0.071	-0.151	228.562	-0.483	0.435	-0.002	KZ 767
		Max P <sub>z</sub>	-0.071	-0.151	228.562	-0.483	0.435	-0.002	KZ 767
		Min P <sub>z</sub>	-0.101	-0.138	192.942	-0.442	0.501	-0.003	KZ 766
548	KV1	Max	6.186	7.797	799.450	37.070	13.200	1.043	MSÚ (STR/GEO) - trvalá/dočasná - rovn. 6.10a a 6.10b
		Min	-6.412	-8.761	458.316	-40.366	-14.438	-0.990	MSÚ (STR/GEO) - trvalá/dočasná - rovn. 6.10a a 6.10b
		Max P <sub>x</sub>	6.186	-7.479	498.650	-32.868	-14.438	0.848	KZ 227
		Min P <sub>x</sub>	-6.412	0.072	654.496	0.126	13.184	-0.108	KZ 270
		Max P <sub>y</sub>	6.134	7.797	476.294	36.879	-14.280	-0.973	KZ 190
		Min P <sub>y</sub>	4.604	-8.761	694.334	-40.366	-12.283	1.043	KZ 242
		Max P <sub>z</sub>	-0.384	-0.651	799.450	-2.006	-0.766	0.063	KZ 41
		Min P <sub>z</sub>	-4.831	0.095	458.316	0.207	10.946	-0.108	KZ 185
		Max M <sub>x</sub>	4.562	7.725	687.205	37.070	-12.136	-0.990	KZ 250
		Min M <sub>x</sub>	4.604	-8.761	694.334	-40.366	-12.283	1.043	KZ 242
		Max M <sub>y</sub>	-6.407	-0.469	681.948	-1.950	13.200	-0.047	KZ 234
		Min M <sub>y</sub>	6.186	-7.479	498.650	-32.868	-14.438	0.848	KZ 227
	KV2	Max M <sub>z</sub>	4.604	-8.761	694.334	-40.366	-12.283	1.043	KZ 242
		Min M <sub>z</sub>	4.562	7.725	687.205	37.070	-12.136	-0.990	KZ 250
		Max	3.992	5.156	631.313	24.475	9.044	0.694	MSP - charakteristická
		Min	-4.407	-5.891	404.355	-26.891	-9.347	-0.652	MSP - charakteristická
		Max P <sub>x</sub>	3.992	-5.033	431.241	-21.965	-9.347	0.566	KZ 558
		Min P <sub>x</sub>	-4.407	0.003	535.143	-0.034	9.037	-0.068	KZ 601
		Max P <sub>y</sub>	3.958	5.156	416.337	24.415	-9.245	-0.644	KZ 521
		Min P <sub>y</sub>	2.938	-5.891	561.697	-26.891	-7.901	0.694	KZ 573
		Max P <sub>z</sub>	-0.763	-0.460	631.313	-1.399	0.238	0.043	KZ 614
		Min P <sub>z</sub>	-3.351	0.018	404.355	0.021	7.552	-0.069	KZ 516
		Max M <sub>x</sub>	2.910	5.111	556.946	24.475	-7.805	-0.652	KZ 581
		Min M <sub>x</sub>	2.938	-5.891	561.697	-26.891	-7.901	0.694	KZ 573
	KV3	Max M <sub>y</sub>	-4.402	-0.359	553.445	-1.415	9.044	-0.028	KZ 565
		Min M <sub>y</sub>	3.992	-5.033	431.241	-21.965	-9.347	0.566	KZ 558
		Max M <sub>z</sub>	2.938	-5.891	561.697	-26.891	-7.901	0.694	KZ 573
		Min M <sub>z</sub>	2.910	5.111	556.946	24.475	-7.805	-0.652	KZ 581
		Max	-0.564	-0.193	535.456	-0.504	2.388	0.014	MSP - kvazistálá
		Min	-1.464	-0.206	423.464	-0.540	1.133	0.014	MSP - kvazistálá
		Max P <sub>x</sub>	-0.564	-0.193	423.464	-0.504	1.133	0.014	KZ 766
		Min P <sub>x</sub>	-1.464	-0.206	535.456	-0.540	2.388	0.014	KZ 767
		Max P <sub>y</sub>	-0.564	-0.193	423.464	-0.504	1.133	0.014	KZ 766
		Min P <sub>y</sub>	-1.464	-0.206	535.456	-0.540	2.388	0.014	KZ 767



Projekt:

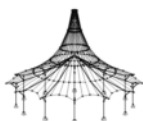
Model: HOŘICE-KONSTRUKCE\_3D\_Budova\_redukováno ..

## 4.1 UZLY - PODPOROVÉ SÍLY

Kombinace výsledků

Uzel č.	KV		Podporové síly [kN]			Podporové momenty [kNm]			
			P <sub>x</sub>	P <sub>y</sub>	P <sub>z</sub>	M <sub>x</sub>	M <sub>y</sub>	M <sub>z</sub>	
548		Max P <sub>z</sub>	-1.464	-0.206	535.456	-0.540	2.388	0.014	KZ 767
		Min P <sub>z</sub>	-0.564	-0.193	423.464	-0.504	1.133	0.014	KZ 766
		Max M <sub>x</sub>	-0.564	-0.193	423.464	-0.504	1.133	0.014	KZ 766
		Min M <sub>x</sub>	-1.464	-0.206	535.456	-0.540	2.388	0.014	KZ 767
		Max M <sub>y</sub>	-1.464	-0.206	535.456	-0.540	2.388	0.014	KZ 767
		Min M <sub>y</sub>	-0.564	-0.193	423.464	-0.504	1.133	0.014	KZ 766
		Max M <sub>z</sub>	-1.464	-0.206	535.456	-0.540	2.388	0.014	KZ 767
		Min M <sub>z</sub>	-0.564	-0.193	423.464	-0.504	1.133	0.014	KZ 766
551	KV1	Max	12.035	7.687	754.506	36.476	4.447	1.017	MSÚ (STR/GEO) - trvalá/dočasná - rovn. 6.10a a 6.10b
		Min	-0.440	-8.778	434.707	-40.305	-22.513	-1.148	MSÚ (STR/GEO) - trvalá/dočasná - rovn. 6.10a a 6.10b
		Max P <sub>x</sub>	12.035	-8.091	617.134	-37.228	-22.513	-1.022	KZ 276
		Min P <sub>x</sub>	-0.440	-0.458	494.209	-1.540	4.445	0.150	KZ 221
		Max P <sub>y</sub>	9.804	7.687	445.382	36.324	-19.128	0.997	KZ 190
		Min P <sub>y</sub>	12.000	-8.778	649.391	-40.305	-22.459	-1.148	KZ 242
		Max P <sub>z</sub>	3.795	-0.967	754.506	-3.405	-2.960	-0.009	KZ 43
		Min P <sub>z</sub>	9.986	-8.068	434.707	-36.918	-19.461	-1.021	KZ 192
		Max M <sub>x</sub>	11.831	7.608	642.507	36.476	-22.145	1.016	KZ 250
		Min M <sub>x</sub>	12.000	-8.778	649.391	-40.305	-22.459	-1.148	KZ 242
		Max M <sub>y</sub>	-0.439	-0.943	495.177	-3.416	4.447	0.052	KZ 197
		Min M <sub>y</sub>	12.034	-8.246	621.888	-38.238	-22.513	-1.045	KZ 278
		Max M <sub>z</sub>	11.815	7.598	654.339	36.461	-22.121	1.017	KZ 262
		Min M <sub>z</sub>	12.000	-8.778	649.391	-40.305	-22.459	-1.148	KZ 242
	KV2	Max	8.739	5.070	595.124	24.033	2.008	0.670	MSP - charakteristická
		Min	0.423	-5.911	383.129	-26.898	-15.930	-0.765	MSP - charakteristická
		Max P <sub>x</sub>	8.739	-5.453	504.749	-24.882	-15.930	-0.681	KZ 607
		Min P <sub>x</sub>	0.423	-0.362	422.793	-1.188	2.007	0.096	KZ 552
		Max P <sub>y</sub>	7.251	5.070	390.246	23.998	-13.687	0.659	KZ 521
		Min P <sub>y</sub>	8.714	-5.911	526.254	-26.898	-15.890	-0.764	KZ 573
		Max P <sub>z</sub>	3.423	-0.680	595.124	-2.357	-3.245	-0.005	KZ 616
		Min P <sub>z</sub>	7.373	-5.436	383.129	-24.724	-13.909	-0.682	KZ 523
		Max M <sub>x</sub>	8.603	5.020	521.666	24.033	-15.684	0.670	KZ 581
		Min M <sub>x</sub>	8.714	-5.911	526.254	-26.898	-15.890	-0.764	KZ 573
		Max M <sub>y</sub>	0.423	-0.686	423.439	-2.437	2.008	0.031	KZ 528
		Min M <sub>y</sub>	8.739	-5.453	504.749	-24.882	-15.930	-0.681	KZ 607
		Max M <sub>z</sub>	8.592	5.014	529.554	24.024	-15.667	0.670	KZ 593
		Min M <sub>z</sub>	7.348	-5.894	404.635	-26.732	-13.868	-0.765	KZ 537
	KV3	Max	4.238	-0.240	504.199	-0.702	-4.059	-0.010	MSP - kvazistálá
		Min	3.067	-0.260	399.953	-0.756	-5.772	-0.015	MSP - kvazistálá
		Max P <sub>x</sub>	4.238	-0.260	504.199	-0.756	-5.772	-0.010	KZ 767
		Min P <sub>x</sub>	3.067	-0.240	399.953	-0.702	-4.059	-0.015	KZ 766
		Max P <sub>y</sub>	3.067	-0.240	399.953	-0.702	-4.059	-0.015	KZ 766
		Min P <sub>y</sub>	4.238	-0.260	504.199	-0.756	-5.772	-0.010	KZ 767
		Max P <sub>z</sub>	4.238	-0.260	504.199	-0.756	-5.772	-0.010	KZ 767
		Min P <sub>z</sub>	3.067	-0.240	399.953	-0.702	-4.059	-0.015	KZ 766
		Max M <sub>x</sub>	3.067	-0.240	399.953	-0.702	-4.059	-0.015	KZ 766
		Min M <sub>x</sub>	4.238	-0.260	504.199	-0.756	-5.772	-0.010	KZ 767
		Max M <sub>y</sub>	3.067	-0.240	399.953	-0.702	-4.059	-0.015	KZ 766
		Min M <sub>y</sub>	4.238	-0.260	504.199	-0.756	-5.772	-0.010	KZ 767
		Max M <sub>z</sub>	4.238	-0.260	504.199	-0.756	-5.772	-0.010	KZ 767
		Min M <sub>z</sub>	3.067	-0.240	399.953	-0.702	-4.059	-0.015	KZ 766
554	KV1	Max	2.608	8.521	786.502	40.024	18.364	0.124	MSÚ (STR/GEO) - trvalá/dočasná - rovn. 6.10a a 6.10b
		Min	-10.092	-9.652	471.623	-44.171	-8.889	-0.129	MSÚ (STR/GEO) - trvalá/dočasná - rovn. 6.10a a 6.10b
		Max P <sub>x</sub>	2.608	-9.020	476.167	-41.419	-8.889	-0.107	KZ 194
		Min P <sub>x</sub>	-10.092	-0.884	703.184	-3.133	18.364	0.053	KZ 233
		Max P <sub>y</sub>	2.499	8.521	482.035	39.803	-8.657	0.122	KZ 190
		Min P <sub>y</sub>	1.013	-9.652	677.608	-44.171	-6.671	-0.128	KZ 242
		Max P <sub>z</sub>	-9.149	-0.939	786.502	-3.302	15.717	0.031	KZ 43
		Min P <sub>z</sub>	2.606	-8.846	471.623	-40.331	-8.884	-0.102	KZ 192
		Max M <sub>x</sub>	0.903	8.459	682.542	40.024	-6.438	0.124	KZ 262
		Min M <sub>x</sub>	1.013	-9.652	677.608	-44.171	-6.671	-0.128	KZ 242
		Max M <sub>y</sub>	-10.092	-0.884	703.184	-3.133	18.364	0.053	KZ 233
		Min M <sub>y</sub>	2.608	-9.020	476.167	-41.419	-8.889	-0.107	KZ 194
		Max M <sub>z</sub>	2.496	8.491	506.953	39.840	-8.646	0.124	KZ 226
		Min M <sub>z</sub>	2.605	-9.640	502.021	-43.850	-8.877	-0.129	KZ 206
	KV2	Max	0.872	5.628	617.511	26.386	13.545	0.085	MSP - charakteristická
		Min	-7.592	-6.494	414.814	-29.460	-4.588	-0.083	MSP - charakteristická
		Max P <sub>x</sub>	0.872	-6.071	417.843	-27.717	-4.588	-0.069	KZ 525
		Min P <sub>x</sub>	-7.592	-0.646	569.179	-2.247	13.545	0.037	KZ 564
		Max P <sub>y</sub>	0.800	5.628	421.755	26.312	-4.434	0.084	KZ 521
		Min P <sub>y</sub>	-0.192	-6.494	552.135	-29.460	-3.096	-0.082	KZ 573
		Max P <sub>z</sub>	-6.923	-0.658	617.511	-2.279	11.664	0.021	KZ 616
		Min P <sub>z</sub>	0.871	-5.955	414.814	-26.995	-4.585	-0.065	KZ 523
		Max M <sub>x</sub>	-0.265	5.589	555.423	26.386	-2.943	0.085	KZ 593
		Min M <sub>x</sub>	-0.192	-6.494	552.135	-29.460	-3.096	-0.082	KZ 573
		Max M <sub>y</sub>	-7.592	-0.646	569.179	-2.247	13.545	0.037	KZ 564
		Min M <sub>y</sub>	0.872	-6.071	417.843	-27.717	-4.588	-0.069	KZ 525
		Max M <sub>z</sub>	0.797	5.608	438.366	26.319	-4.424	0.085	KZ 557
		Min M <sub>z</sub>	0.869	-6.483	435.079	-29.305	-4.577	-0.083	KZ 537
	KV3	Max	-3.712	-0.238	530.624	-0.705	6.982	0.011	MSP - kvazistálá





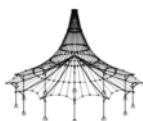
Projekt:

Model: HOŘICE-KONSTRUKCE\_3D\_Budova\_redukováne ..

## 4.1 UZLY - PODPOROVÉ SÍLY

Kombinace výsledků

Uzel č.	KV		Podporové síly [kN]			Podporové momenty [kNm]			
			P <sub>x</sub>	P <sub>y</sub>	P <sub>z</sub>	M <sub>x</sub>	M <sub>y</sub>	M <sub>z</sub>	
554		Min	-4.623	-0.250	430.288	-0.740	5.692	0.011	MSP - kvazistálá
		Max P <sub>x</sub>	▷ -3.712	-0.238	430.288	-0.705	5.692	0.011	KZ 766
		Min P <sub>x</sub>	▷ -4.623	-0.250	530.624	-0.740	6.982	0.011	KZ 767
		Max P <sub>y</sub>	▷ -3.712	-0.238	430.288	-0.705	5.692	0.011	KZ 766
		Min P <sub>y</sub>	▷ -4.623	-0.250	530.624	-0.740	6.982	0.011	KZ 767
		Max P <sub>z</sub>	▷ -4.623	-0.250	▷ 530.624	-0.740	6.982	0.011	KZ 767
		Min P <sub>z</sub>	-3.712	-0.238	▷ 430.288	-0.705	5.692	0.011	KZ 766
		Max M <sub>x</sub>	-3.712	-0.238	▷ 430.288	▷ -0.705	5.692	0.011	KZ 766
		Min M <sub>x</sub>	-4.623	-0.250	▷ 530.624	▷ -0.740	6.982	0.011	KZ 767
		Max M <sub>y</sub>	-4.623	-0.250	▷ 530.624	▷ -0.740	▷ 6.982	0.011	KZ 767
		Min M <sub>y</sub>	-3.712	-0.238	▷ 430.288	▷ -0.705	▷ 5.692	0.011	KZ 766
		Max M <sub>z</sub>	-4.623	-0.250	▷ 530.624	▷ -0.740	▷ 6.982	▷ 0.011	KZ 767
		Min M <sub>z</sub>	-3.712	-0.238	▷ 430.288	▷ -0.705	▷ 5.692	▷ 0.011	KZ 766
557	KV1	Max	10.880	8.550	782.226	40.329	7.658	0.136	MSÚ (STR/GEO) - trvalá/dočasná - rovn. 6.10a a 6.10b
		Min	-2.593	-9.614	433.834	-43.987	-21.189	-0.101	MSÚ (STR/GEO) - trvalá/dočasná - rovn. 6.10a a 6.10b
		Max P <sub>x</sub>	▷ 10.880	-8.811	640.457	-40.338	-21.188	0.125	KZ 276
		Min P <sub>x</sub>	▷ -2.593	-0.653	465.097	-2.310	7.658	0.071	KZ 198
		Max P <sub>y</sub>	▷ 8.850	8.550	444.372	40.124	-18.050	-0.100	KZ 190
		Min P <sub>y</sub>	▷ 10.853	-9.614	673.066	-43.987	-21.148	0.136	KZ 242
		Max P <sub>z</sub>	▷ 6.519	-0.713	▷ 782.226	-2.294	-10.779	0.056	KZ 283
		Min P <sub>z</sub>	8.974	-8.800	▷ 433.834	-40.006	-18.310	0.122	KZ 192
		Max M <sub>x</sub>	10.741	8.469	665.902	▷ 40.329	-20.904	-0.096	KZ 250
		Min M <sub>x</sub>	10.853	-9.614	673.066	▷ -43.987	-21.148	0.136	KZ 242
		Max M <sub>y</sub>	-2.593	-0.653	465.097	-2.310	▷ 7.658	0.071	KZ 198
		Min M <sub>y</sub>	10.879	-9.000	645.651	-41.529	▷ -21.189	0.125	KZ 278
		Max M <sub>z</sub>	10.854	-9.425	667.872	-42.790	▷ -21.147	▷ 0.136	KZ 240
		Min M <sub>z</sub>	8.835	8.348	458.662	39.019	▷ -18.026	▷ -0.101	KZ 212
	KV2	Max	7.616	5.647	613.880	26.606	4.648	0.096	MSP - charakteristická
		Min	-1.365	-6.470	381.628	-29.320	-14.547	-0.062	MSP - charakteristická
		Max P <sub>x</sub>	▷ 7.616	-5.935	519.373	-26.929	-14.547	0.088	KZ 607
		Min P <sub>x</sub>	▷ -1.365	-0.492	402.471	-1.687	4.648	0.052	KZ 529
		Max P <sub>y</sub>	▷ 6.262	5.647	388.653	26.545	-12.467	-0.061	KZ 521
		Min P <sub>y</sub>	▷ 7.597	-6.470	541.109	-29.320	-14.515	0.096	KZ 573
		Max P <sub>z</sub>	▷ 4.707	-0.531	▷ 613.880	-1.671	-7.616	0.043	KZ 614
		Min P <sub>z</sub>	6.344	-5.923	▷ 381.628	-26.762	-12.641	0.086	KZ 523
		Max M <sub>x</sub>	7.523	5.596	536.334	▷ 26.606	-14.355	-0.058	KZ 581
		Min M <sub>x</sub>	7.597	-6.470	541.109	▷ -29.320	-14.515	0.096	KZ 573
		Max M <sub>y</sub>	-1.365	-0.492	402.471	-1.687	▷ 4.648	0.052	KZ 529
		Min M <sub>y</sub>	7.615	-6.061	522.836	-27.718	▷ -14.547	0.088	KZ 609
		Max M <sub>z</sub>	7.598	-6.343	537.647	-28.528	▷ -14.515	▷ 0.096	KZ 571
		Min M <sub>z</sub>	6.251	5.511	398.180	25.794	▷ -12.449	▷ -0.062	KZ 543
	KV3	Max	2.646	-0.238	514.111	-0.630	-1.913	0.024	MSP - kvazistálá
		Min	1.553	-0.255	396.044	-0.683	-3.528	0.022	MSP - kvazistálá
		Max P <sub>x</sub>	▷ 2.646	-0.255	514.111	-0.683	-3.528	0.024	KZ 767
		Min P <sub>x</sub>	▷ 1.553	-0.238	396.044	-0.630	-1.913	0.022	KZ 766
		Max P <sub>y</sub>	▷ 1.553	-0.238	396.044	-0.630	-1.913	0.022	KZ 766
		Min P <sub>y</sub>	▷ 2.646	-0.255	514.111	-0.683	-3.528	0.024	KZ 767
		Max P <sub>z</sub>	▷ 2.646	-0.255	▷ 514.111	-0.683	-3.528	0.024	KZ 767
		Min P <sub>z</sub>	1.553	-0.238	▷ 396.044	-0.630	-1.913	0.022	KZ 766
		Max M <sub>x</sub>	1.553	-0.238	396.044	▷ -0.630	-1.913	0.022	KZ 766
		Min M <sub>x</sub>	2.646	-0.255	514.111	▷ -0.683	-3.528	0.024	KZ 767
		Max M <sub>y</sub>	1.553	-0.238	396.044	-0.630	▷ -1.913	0.022	KZ 766
		Min M <sub>y</sub>	2.646	-0.255	514.111	-0.683	▷ -3.528	0.024	KZ 767
		Max M <sub>z</sub>	2.646	-0.255	514.111	-0.683	▷ -3.528	▷ 0.024	KZ 767
		Min M <sub>z</sub>	1.553	-0.238	396.044	-0.630	▷ -1.913	▷ 0.022	KZ 766
560	KV1	Max	3.381	4.832	324.323	27.110	10.251	0.193	MSÚ (STR/GEO) - trvalá/dočasná - rovn. 6.10a a 6.10b
		Min	-6.108	-5.499	206.126	-29.488	-5.097	-0.111	MSÚ (STR/GEO) - trvalá/dočasná - rovn. 6.10a a 6.10b
		Max P <sub>x</sub>	▷ 3.381	-0.423	272.813	-1.427	-5.091	-0.110	KZ 246
		Min P <sub>x</sub>	▷ -6.108	-5.482	222.676	-29.306	10.251	0.192	KZ 206
		Max P <sub>y</sub>	▷ -5.514	4.832	214.157	26.926	9.478	0.160	KZ 190
		Min P <sub>y</sub>	▷ -6.038	-5.499	285.120	-29.488	10.056	0.193	KZ 242
		Max P <sub>z</sub>	-1.881	-0.468	▷ 324.323	-1.453	3.300	0.050	KZ 41
		Min P <sub>z</sub>	3.297	-0.382	▷ 206.126	-1.317	-4.916	-0.110	KZ 185
		Max M <sub>x</sub>	-5.463	4.820	283.156	▷ 27.110	9.320	0.161	KZ 262
		Min M <sub>x</sub>	-6.038	-5.499	285.120	▷ -29.488	10.056	0.193	KZ 242
		Max M <sub>y</sub>	-6.108	-5.482	222.676	-29.306	▷ 10.251	0.192	KZ 206
		Min M <sub>y</sub>	3.377	-0.394	268.632	-1.363	-5.097	-0.110	KZ 270
		Max M <sub>z</sub>	-6.038	-5.499	285.120	-29.488	▷ 10.056	▷ 0.193	KZ 242
		Min M <sub>z</sub>	3.295	-0.399	212.756	-1.337	-4.903	▷ -0.111	KZ 222
	KV2	Max	2.203	3.189	252.801	17.903	6.970	0.128	MSP - charakteristická
		Min	-4.112	-3.688	181.166	-19.636	-3.259	-0.074	MSP - charakteristická
		Max P <sub>x</sub>	▷ 2.203	-0.311	225.625	-1.029	-3.254	-0.073	KZ 577
		Min P <sub>x</sub>	▷ -4.112	-3.678	192.196	-19.550	6.970	0.128	KZ 537
		Max P <sub>y</sub>	-3.721	3.189	186.518	17.828	6.461	0.107	KZ 521
		Min P <sub>y</sub>	▷ -4.063	-3.688	233.824	-19.636	6.843	0.128	KZ 573
		Max P <sub>z</sub>	-1.246	-0.327	▷ 252.801	-1.005	2.204	0.033	KZ 614
		Min P <sub>z</sub>	2.149	-0.283	▷ 181.166	-0.956	-3.137	-0.074	KZ 516
		Max M <sub>x</sub>	-3.684	3.178	232.516	▷ 17.903	6.358	0.107	KZ 593
		Min M <sub>x</sub>	-4.063	-3.688	233.824	▷ -19.636	6.843	0.128	KZ 573



Projekt:

Model: HOŘICE-KONSTRUKCE\_3D\_Budova\_redukováne ..

## 4.1 UZLY - PODPOROVÉ SÍLY

Kombinace výsledků

Uzel č.	KV		Podporové síly [kN]			Podporové momenty [kNm]			
			P <sub>x</sub>	P <sub>y</sub>	P <sub>z</sub>	M <sub>x</sub>	M <sub>y</sub>	M <sub>z</sub>	
560	KV3	Max M <sub>y</sub>	-4.112	-3.678	192.196	-19.550	6.970	0.128	KZ 537
		Min M <sub>y</sub>	2.202	-0.292	222.838	-0.987	-3.259	-0.073	KZ 601
		Max M <sub>z</sub>	-4.063	-3.688	233.824	-19.636	6.843	0.128	KZ 573
		Min M <sub>z</sub>	2.146	-0.295	185.586	-0.970	-3.126	-0.074	KZ 553
		Max	-0.164	-0.124	223.170	-0.338	0.616	0.000	MSP - kvazistálá
		Min	-0.207	-0.130	187.492	-0.353	0.512	-0.001	MSP - kvazistálá
		Max P <sub>x</sub>	-0.164	-0.130	223.170	-0.353	0.512	0.000	KZ 767
		Min P <sub>x</sub>	-0.207	-0.124	187.492	-0.338	0.616	-0.001	KZ 766
		Max P <sub>y</sub>	-0.207	-0.124	187.492	-0.338	0.616	-0.001	KZ 766
		Min P <sub>y</sub>	-0.164	-0.130	223.170	-0.353	0.512	0.000	KZ 767
		Max P <sub>z</sub>	-0.164	-0.130	223.170	-0.353	0.512	0.000	KZ 767
		Min P <sub>z</sub>	-0.207	-0.124	187.492	-0.338	0.616	-0.001	KZ 766
		Max M <sub>x</sub>	-0.207	-0.124	187.492	-0.338	0.616	-0.001	KZ 766
		Min M <sub>x</sub>	-0.164	-0.130	223.170	-0.353	0.512	0.000	KZ 767
		Max M <sub>y</sub>	-0.207	-0.124	187.492	-0.338	0.616	-0.001	KZ 766
		Min M <sub>y</sub>	-0.164	-0.130	223.170	-0.353	0.512	0.000	KZ 767
		Max M <sub>z</sub>	-0.164	-0.130	223.170	-0.353	0.512	0.000	KZ 767
		Min M <sub>z</sub>	-0.207	-0.124	187.492	-0.338	0.616	-0.001	KZ 766
563	KV1	Max	32.157	2.490	180.187	13.860	34.179	6.714	MSÚ (STR/GEO) - trvalá/dočasná - rovn. 6.10a a 6.10b
		Min	-16.207	-2.995	116.185	-15.436	-57.148	-3.613	MSÚ (STR/GEO) - trvalá/dočasná - rovn. 6.10a a 6.10b
		Max P <sub>x</sub>	32.157	-2.949	134.685	-15.281	-57.148	5.917	KZ 206
		Min P <sub>x</sub>	-16.207	-0.164	129.545	-0.647	34.179	-3.557	KZ 245
		Max P <sub>y</sub>	24.558	2.490	130.149	13.814	-49.517	6.682	KZ 190
		Min P <sub>y</sub>	32.151	-2.995	141.909	-15.436	-57.129	5.944	KZ 242
		Max P <sub>z</sub>	14.785	1.071	180.187	6.171	-29.992	3.917	KZ 45
		Min P <sub>z</sub>	-16.194	-0.123	116.185	-0.555	34.091	-3.568	KZ 185
		Max M <sub>x</sub>	24.547	2.464	149.660	13.860	-49.517	6.690	KZ 262
		Min M <sub>x</sub>	32.151	-2.995	141.909	-15.436	-57.129	5.944	KZ 242
		Max M <sub>y</sub>	-16.207	-0.164	129.545	-0.647	34.179	-3.557	KZ 245
		Min M <sub>y</sub>	32.157	-2.949	134.685	-15.281	-57.148	5.917	KZ 206
		Max M <sub>z</sub>	24.546	2.475	137.373	13.835	-49.470	6.714	KZ 274
		Min M <sub>z</sub>	-16.172	-0.287	128.667	-1.285	34.006	-3.613	KZ 198
	KV2	Max	21.442	1.635	141.276	9.140	22.764	4.453	MSP - charakteristická
		Min	-10.803	-2.013	104.940	-10.294	-38.091	-2.429	MSP - charakteristická
		Max P <sub>x</sub>	21.442	-1.986	117.274	-10.210	-38.091	3.921	KZ 537
		Min P <sub>x</sub>	-10.803	-0.132	113.847	-0.489	22.764	-2.392	KZ 576
		Max P <sub>y</sub>	16.378	1.635	114.250	9.129	-33.017	4.433	KZ 521
		Min P <sub>y</sub>	21.437	-2.013	122.090	-10.294	-38.069	3.940	KZ 573
		Max P <sub>z</sub>	9.863	0.687	141.276	4.036	-20.001	2.577	KZ 706
		Min P <sub>z</sub>	-10.794	-0.105	104.940	-0.428	22.711	-2.400	KZ 516
		Max M <sub>x</sub>	16.380	1.628	122.439	9.140	-33.046	4.415	KZ 557
		Min M <sub>x</sub>	21.437	-2.013	122.090	-10.294	-38.069	3.940	KZ 573
		Max M <sub>y</sub>	-10.803	-0.132	113.847	-0.489	22.764	-2.392	KZ 576
		Min M <sub>y</sub>	21.442	-1.986	117.274	-10.210	-38.091	3.921	KZ 537
		Max M <sub>z</sub>	16.371	1.622	119.066	9.124	-32.983	4.453	KZ 605
		Min M <sub>z</sub>	-10.780	-0.214	113.263	-0.914	22.651	-2.429	KZ 529
	KV3	Max	0.016	-0.098	121.919	-0.247	-0.022	-0.075	MSP - kvazistálá
		Min	0.009	-0.115	117.791	-0.285	-0.055	-0.090	MSP - kvazistálá
		Max P <sub>x</sub>	0.016	-0.098	117.791	-0.247	-0.055	-0.090	KZ 766
		Min P <sub>x</sub>	0.009	-0.115	121.919	-0.285	-0.022	-0.075	KZ 767
		Max P <sub>y</sub>	0.016	-0.098	117.791	-0.247	-0.055	-0.090	KZ 766
		Min P <sub>y</sub>	0.009	-0.115	121.919	-0.285	-0.022	-0.075	KZ 767
		Max P <sub>z</sub>	0.009	-0.115	121.919	-0.285	-0.022	-0.075	KZ 767
		Min P <sub>z</sub>	0.016	-0.098	117.791	-0.247	-0.055	-0.090	KZ 766
		Max M <sub>x</sub>	0.016	-0.098	117.791	-0.247	-0.055	-0.090	KZ 766
		Min M <sub>x</sub>	0.009	-0.115	121.919	-0.285	-0.022	-0.075	KZ 767
		Max M <sub>y</sub>	0.009	-0.115	121.919	-0.285	-0.022	-0.075	KZ 767
		Min M <sub>y</sub>	0.016	-0.098	117.791	-0.247	-0.055	-0.090	KZ 766
		Max M <sub>z</sub>	0.009	-0.115	121.919	-0.285	-0.022	-0.075	KZ 767
		Min M <sub>z</sub>	0.016	-0.098	117.791	-0.247	-0.055	-0.090	KZ 766
566	KV1	Max	16.702	4.554	123.308	40.095	97.722	13.538	MSÚ (STR/GEO) - trvalá/dočasná - rovn. 6.10a a 6.10b
		Min	-33.006	0.925	74.257	8.133	-53.411	-24.940	MSÚ (STR/GEO) - trvalá/dočasná - rovn. 6.10a a 6.10b
		Max P <sub>x</sub>	16.702	2.845	75.002	24.885	-53.411	13.524	KZ 184
		Min P <sub>x</sub>	-33.006	1.245	89.989	10.945	97.719	-24.902	KZ 265
		Max P <sub>y</sub>	-26.898	4.554	94.638	40.095	70.903	-23.498	KZ 214
		Min P <sub>y</sub>	-32.997	0.925	90.174	8.133	97.645	-24.909	KZ 242
		Max P <sub>z</sub>	-16.097	4.061	123.308	36.003	42.363	-14.047	KZ 9
		Min P <sub>z</sub>	16.697	2.924	74.257	25.569	-53.358	13.536	KZ 267
		Max M <sub>x</sub>	-26.898	4.554	94.638	40.095	70.903	-23.498	KZ 214
		Min M <sub>x</sub>	-32.997	0.925	90.174	8.133	97.645	-24.909	KZ 242
		Max M <sub>y</sub>	-33.006	1.211	90.139	10.643	97.722	-24.910	KZ 263
		Min M <sub>y</sub>	16.702	2.845	75.002	24.885	-53.411	13.524	KZ 184
		Max M <sub>z</sub>	16.698	2.845	75.002	24.883	-53.373	13.538	KZ 268
		Min M <sub>z</sub>	-33.001	1.150	90.180	10.109	97.677	-24.940	KZ 203
	KV2	Max	11.160	3.576	99.028	31.428	64.858	9.118	MSP - charakteristická
		Min	-21.978	1.158	68.527	10.163	-35.832	-16.504	MSP - charakteristická
		Max P <sub>x</sub>	11.160	2.437	69.023	21.319	-35.832	9.109	KZ 515
		Min P <sub>x</sub>	-21.978	1.371	79.014	12.032	64.858	-16.483	KZ 596
		Max P <sub>y</sub>	-17.908	3.576	82.112	31.428	46.992	-15.550	KZ 545



Projekt:

Model: HOŘICE-KONSTRUKCE\_3D\_Budova\_redukováne ..

## 4.1 UZLY - PODPOROVÉ SÍLY

Kombinace výsledků

Uzel	Podporové síly [kN]						Podporové momenty [kNm]			Kombinace výsledků			
č.	KV		P <sub>x</sub>	P <sub>y</sub>	P <sub>z</sub>	M <sub>x</sub>	M <sub>y</sub>	M <sub>z</sub>					
566	KV3	Min P <sub>y</sub>	-21.972	▷	1.158	79.137	10.163	64.806	-16.486	KZ 573			
		Max P <sub>z</sub>	-10.777	▷	2.939	▷	99.028	25.974	28.588	-9.442	KZ 670		
		Min P <sub>z</sub>	11.157	▷	2.490	▷	68.527	21.777	-35.796	9.117	KZ 598		
		Max M <sub>x</sub>	-17.908		3.576		82.112	▷	31.428	46.992	-15.550	KZ 545	
		Min M <sub>x</sub>	-21.972		1.158		79.137	▷	10.163	64.806	-16.486	KZ 573	
		Max M <sub>y</sub>	-21.978		1.371		79.014		12.032	▷	64.858	-16.483	KZ 596
		Min M <sub>y</sub>	11.160		2.437		69.023	21.319	-35.832		9.109	KZ 515	
		Max M <sub>z</sub>	11.157		2.437		69.023	21.318	-35.806	▷	9.118	KZ 599	
		Min M <sub>z</sub>	-21.974		1.307		79.141	11.477	64.823	▷	-16.504	KZ 534	
		Max	0.111		2.320		81.521	20.381	-0.955		0.374	MSP - kvazistálá	
		Min	0.109		2.320		81.521	20.380	-0.979		0.366	MSP - kvazistálá	
		Max P <sub>x</sub>	▷	0.111		2.320	81.521	20.381	-0.979		0.366	KZ 766	
		Min P <sub>x</sub>	▷	0.109		2.320	81.521	20.380	-0.955		0.374	KZ 767	
		Max P <sub>y</sub>	▷	0.111	▷	2.320	81.521	20.381	-0.979		0.366	KZ 766	
		Min P <sub>y</sub>	▷	0.109	▷	2.320	81.521	20.380	-0.955		0.374	KZ 767	
		Max P <sub>z</sub>		0.111	▷	2.320	▷	81.521	20.381	-0.979	0.366	KZ 766	
		Min P <sub>z</sub>		0.109	▷	2.320	▷	81.521	20.380	-0.955	0.374	KZ 767	
		Max M <sub>x</sub>		0.111		2.320	81.521	▷	20.381	-0.979	0.366	KZ 766	
		Min M <sub>x</sub>		0.109		2.320	81.521	▷	20.380	-0.955	0.374	KZ 767	
		Max M <sub>y</sub>		0.109		2.320	81.521		20.380	▷	-0.955	0.374	KZ 767
		Min M <sub>y</sub>		0.111		2.320	81.521		20.381	▷	-0.979	0.366	KZ 766
		Max M <sub>z</sub>		0.109		2.320	81.521		20.380	-0.955	▷	0.374	KZ 767
		Min M <sub>z</sub>		0.111		2.320	81.521		20.381	-0.979	▷	0.366	KZ 766
568	KV1	Max	20.005		3.889	129.666	36.165	132.111		6.216	MSÚ (STR/GEO) - trvalá/dočasná - rovn. 6.10a a 6.10b		
		Min	-33.042		0.789	82.124	7.347	-83.956		-6.009	MSÚ (STR/GEO) - trvalá/dočasná - rovn. 6.10a a 6.10b		
		Max P <sub>x</sub>	▷	20.005	2.489	82.124	22.986	-83.955		6.071	KZ 183		
		Min P <sub>x</sub>	▷	-33.042	1.011	100.210	9.404	132.090		-3.581	KZ 241		
		Max P <sub>y</sub>	▷	-29.379	3.889	99.883	36.165	130.629		-5.976	KZ 214		
		Min P <sub>y</sub>	▷	-33.027	0.789	102.220	7.347	132.025		-3.581	KZ 242		
		Max P <sub>z</sub>		-17.283	3.513	▷	129.666	32.921	75.591		-2.175	KZ 33	
		Min P <sub>z</sub>		20.004	2.488	▷	82.124	22.984	-83.946		6.077	KZ 267	
		Max M <sub>x</sub>		-29.379	3.889	▷	99.883	36.165	130.629		-5.976	KZ 214	
		Min M <sub>x</sub>		-33.027	0.789	▷	102.220	7.347	132.025		-3.581	KZ 242	
		Max M <sub>y</sub>		-33.036	0.981	▷	102.256	9.128	132.111		-3.587	KZ 239	
		Min M <sub>y</sub>		20.004	2.421	▷	82.679	22.370	-83.956		6.063	KZ 184	
	KV2	Max M <sub>z</sub>		19.948	2.481	▷	93.958	23.020	-83.700	▷	6.216	KZ 255	
		Min M <sub>z</sub>		-29.339	3.692	▷	101.680	34.351	130.318	▷	-6.009	KZ 187	
		Max		13.459	3.056	▷	104.850	28.351	86.794		4.602	MSP - charakteristická	
		Min		-21.907	0.989	▷	74.838	9.176	-57.093		-3.524	MSP - charakteristická	
		Max P <sub>x</sub>	▷	13.459	2.122	▷	74.838	19.594	-57.092		4.506	KZ 514	
		Min P <sub>x</sub>	▷	-21.907	1.136	▷	86.895	10.543	86.786		-1.895	KZ 572	
		Max P <sub>y</sub>	▷	-19.467	3.056	▷	86.677	28.351	85.832		-3.494	KZ 545	
		Min P <sub>y</sub>	▷	-21.900	0.989	▷	88.235	9.176	86.752		-1.899	KZ 573	
		Max P <sub>z</sub>		-11.507	2.540	▷	104.850	23.731	50.130		-1.138	KZ 694	
		Min P <sub>z</sub>		13.458	2.122	▷	74.838	19.593	-57.085		4.510	KZ 598	
		Max M <sub>x</sub>		-19.467	3.056	▷	86.677	28.351	85.832		-3.494	KZ 545	
		Min M <sub>x</sub>		-21.900	0.989	▷	88.235	9.176	86.752		-1.899	KZ 573	
		Max M <sub>y</sub>		-21.904	1.116	▷	88.259	10.360	86.794		-1.898	KZ 570	
		Min M <sub>y</sub>		13.459	2.077	▷	75.207	19.182	-57.093		4.502	KZ 515	
		Max M <sub>z</sub>		13.424	2.117	▷	82.727	19.612	-56.894	▷	4.602	KZ 586	
		Min M <sub>z</sub>		-19.443	2.906	▷	87.872	26.968	85.632	▷	-3.524	KZ 520	
		KV3	Max		0.522	1.983	▷	86.094	18.392	-4.840		2.010	MSP - kvazistálá
			Min		0.522	1.983	▷	86.094	18.391	-4.845		2.006	MSP - kvazistálá
	Max P <sub>x</sub>		▷	0.522	1.983	▷	86.094	18.392	-4.845		2.006	KZ 766	
	Min P <sub>x</sub>		▷	0.522	1.983	▷	86.094	18.391	-4.840		2.010	KZ 767	
	Max P <sub>y</sub>		▷	0.522	1.983	▷	86.094	18.392	-4.845		2.006	KZ 766	
	Min P <sub>y</sub>		▷	0.522	1.983	▷	86.094	18.391	-4.840		2.010	KZ 767	
	Max P <sub>z</sub>			0.522	1.983	▷	86.094	18.392	-4.845		2.006	KZ 766	
	Min P <sub>z</sub>			0.522	1.983	▷	86.094	18.392	-4.845		2.006	KZ 766	
	Max M <sub>x</sub>			0.522	1.983	▷	86.094	18.392	-4.845		2.006	KZ 766	
	Min M <sub>x</sub>			0.522	1.983	▷	86.094	18.391	-4.840		2.010	KZ 767	
	Max M <sub>y</sub>			0.522	1.983	▷	86.094	18.391	-4.840		2.010	KZ 767	
	Min M <sub>y</sub>			0.522	1.983	▷	86.094	18.392	-4.845		2.006	KZ 766	
	Max M <sub>z</sub>		0.522	1.983	▷	86.094	18.391	-4.840	▷	2.010	KZ 767		
	Min M <sub>z</sub>		0.522	1.983	▷	86.094	18.392	-4.845	▷	2.006	KZ 766		
570	KV1	Max	21.262		3.959	132.571	36.546	132.997		8.912	MSÚ (STR/GEO) - trvalá/dočasná - rovn. 6.10a a 6.10b		
		Min	-34.713		0.800	82.927	7.419	-89.380		-3.297	MSÚ (STR/GEO) - trvalá/dočasná - rovn. 6.10a a 6.10b		
		Max P <sub>x</sub>	▷	21.262	2.515	82.927	23.112	-89.380		-3.188	KZ 183		
		Min P <sub>x</sub>	▷	-34.713	3.684	100.592	34.078	132.988		6.509	KZ 237		
		Max P <sub>y</sub>	▷	-34.678	3.959	89.379	36.469	132.273		6.577	KZ 190		
		Min P <sub>y</sub>	▷	-30.705	0.800	108.019	7.419	128.182		8.824	KZ 242		
		Max P <sub>z</sub>		-17.834	1.898	▷	132.571	17.707	71.727		5.758	KZ 13	
		Min P <sub>z</sub>		21.262	2.515	▷	82.927	23.112	-89.380		-3.188	KZ 183	
		Max M <sub>x</sub>		-34.695	3.958	▷	95.607	36.546	132.645		6.571	KZ 226	
		Min M <sub>x</sub>		-30.705	0.800	▷	108.019	7.419	128.182		8.824	KZ 242	
		Max M <sub>y</sub>		-34.710	3.713	▷	101.849	34.360	132.997		6.512	KZ 235	
		Min M <sub>y</sub>		21.262	2.515	▷	82.927	23.112	-89.380		-3.188	KZ 183	
Max M <sub>z</sub>		-30.659	1.045	▷	103.714	9.681	127.616	▷	8.912	KZ 275			
Min M <sub>z</sub>		21.202	2.390	▷	95.984	22.067	-89.142	▷	-3.297	KZ 196			



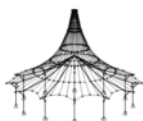
Projekt:

Model: HOŘICE-KONSTRUKCE\_3D\_Budova\_redukováne ..

## 4.1 UZLY - PODPOROVÉ SÍLY

Kombinace výsledků

Uzel č.	KV		Podporové síly [kN]			Podporové momenty [kNm]			
			P <sub>x</sub>	P <sub>y</sub>	P <sub>z</sub>	M <sub>x</sub>	M <sub>y</sub>	M <sub>z</sub>	
570	KV2	Max	14.381	3.108	107.460	28.647	86.591	6.076	MSP - charakteristická
		Min	-22.933	1.002	75.754	9.268	-61.480	-2.045	MSP - charakteristická
		Max P <sub>x</sub>	14.381	2.146	75.754	19.722	-61.480	-1.974	KZ 514
		Min P <sub>x</sub>	-22.933	2.925	87.530	26.996	86.589	4.467	KZ 568
		Max P <sub>y</sub>	-22.906	3.108	80.055	28.607	86.177	4.523	KZ 521
		Min P <sub>y</sub>	-20.271	1.002	92.482	9.268	83.424	6.011	KZ 573
		Max P <sub>z</sub>	-11.840	1.465	107.460	13.626	47.251	3.800	KZ 710
		Min P <sub>z</sub>	14.381	2.146	75.754	19.722	-61.480	-1.974	KZ 514
		Max M <sub>x</sub>	-22.919	3.108	84.207	28.647	86.388	4.513	KZ 557
		Min M <sub>x</sub>	-20.271	1.002	92.482	9.268	83.424	6.011	KZ 573
		Max M <sub>y</sub>	-22.931	2.944	88.368	27.183	86.591	4.469	KZ 566
		Min M <sub>y</sub>	14.381	2.146	75.754	19.722	-61.480	-1.974	KZ 514
		Max M <sub>z</sub>	-20.240	1.166	89.612	10.771	83.075	6.076	KZ 606
		Min M <sub>z</sub>	14.344	2.063	84.458	19.016	-61.284	-2.045	KZ 527
	KV3	Max	0.891	2.013	87.726	18.583	-8.222	0.664	MSP - kvazistálá
		Min	0.891	2.013	87.726	18.582	-8.223	0.663	MSP - kvazistálá
		Max P <sub>x</sub>	0.891	2.013	87.726	18.583	-8.223	0.663	KZ 766
		Min P <sub>x</sub>	0.891	2.013	87.726	18.582	-8.222	0.664	KZ 767
		Max P <sub>y</sub>	0.891	2.013	87.726	18.583	-8.223	0.663	KZ 766
		Min P <sub>y</sub>	0.891	2.013	87.726	18.582	-8.222	0.664	KZ 767
		Max P <sub>z</sub>	0.891	2.013	87.726	18.583	-8.223	0.663	KZ 766
		Min P <sub>z</sub>	0.891	2.013	87.726	18.583	-8.223	0.663	KZ 766
		Max M <sub>x</sub>	0.891	2.013	87.726	18.583	-8.223	0.663	KZ 766
		Min M <sub>x</sub>	0.891	2.013	87.726	18.582	-8.222	0.664	KZ 767
		Max M <sub>y</sub>	0.891	2.013	87.726	18.582	-8.222	0.664	KZ 767
		Min M <sub>y</sub>	0.891	2.013	87.726	18.583	-8.223	0.663	KZ 766
		Max M <sub>z</sub>	0.891	2.013	87.726	18.582	-8.222	0.664	KZ 767
		Min M <sub>z</sub>	0.891	2.013	87.726	18.583	-8.223	0.663	KZ 766
572	KV1	Max	17.248	4.651	119.436	40.623	78.138	29.258	MSÚ (STR/GEO) - trvalá/dočasná - rovn. 6.10a a 6.10b
		Min	-28.535	0.937	71.503	8.223	-67.765	-7.637	MSÚ (STR/GEO) - trvalá/dočasná - rovn. 6.10a a 6.10b
		Max P <sub>x</sub>	17.248	2.941	71.503	25.582	-67.765	-7.616	KZ 183
		Min P <sub>x</sub>	-28.535	4.330	88.742	37.885	78.138	29.253	KZ 237
		Max P <sub>y</sub>	-28.498	4.651	84.144	40.623	77.755	29.093	KZ 226
		Min P <sub>y</sub>	-22.081	0.937	97.198	8.223	50.412	28.262	KZ 242
		Max P <sub>z</sub>	-12.004	2.312	119.436	20.381	19.357	20.187	KZ 27
		Min P <sub>z</sub>	17.248	2.941	71.503	25.582	-67.765	-7.616	KZ 183
		Max M <sub>x</sub>	-28.498	4.651	84.144	40.623	77.755	29.093	KZ 226
		Min M <sub>x</sub>	-22.081	0.937	97.198	8.223	50.412	28.262	KZ 242
		Max M <sub>y</sub>	-28.535	4.330	88.742	37.885	78.138	29.253	KZ 237
		Min M <sub>y</sub>	17.248	2.941	71.503	25.582	-67.765	-7.616	KZ 183
		Max M <sub>z</sub>	-28.532	4.365	89.904	38.201	78.132	29.258	KZ 199
		Min M <sub>z</sub>	17.238	2.862	71.989	24.895	-67.687	-7.637	KZ 268
	KV2	Max	11.931	3.649	95.909	31.838	48.208	20.529	MSP - charakteristická
		Min	-18.584	1.175	66.053	10.283	-48.946	-4.042	MSP - charakteristická
		Max P <sub>x</sub>	11.931	2.511	66.053	21.846	-48.946	-4.031	KZ 514
		Min P <sub>x</sub>	-18.584	3.435	77.546	30.006	48.208	20.527	KZ 568
		Max P <sub>y</sub>	-18.559	3.649	74.480	31.838	47.968	20.426	KZ 557
		Min P <sub>y</sub>	-14.285	1.175	83.183	10.283	29.744	19.879	KZ 573
		Max P <sub>z</sub>	-7.862	1.776	95.909	15.609	11.655	14.092	KZ 724
		Min P <sub>z</sub>	11.931	2.511	66.053	21.846	-48.946	-4.031	KZ 514
		Max M <sub>x</sub>	-18.559	3.649	74.480	31.838	47.968	20.426	KZ 557
		Min M <sub>x</sub>	-14.285	1.175	83.183	10.283	29.744	19.879	KZ 573
		Max M <sub>y</sub>	-18.584	3.435	77.546	30.006	48.208	20.527	KZ 568
		Min M <sub>y</sub>	11.931	2.511	66.053	21.846	-48.946	-4.031	KZ 514
		Max M <sub>z</sub>	-18.582	3.458	78.321	30.215	48.201	20.529	KZ 530
		Min M <sub>z</sub>	11.925	2.458	66.377	21.386	-48.901	-4.042	KZ 599
	KV3	Max	1.881	2.362	78.791	20.642	-16.439	4.586	MSP - kvazistálá
		Min	1.881	2.362	78.791	20.641	-16.440	4.586	MSP - kvazistálá
		Max P <sub>x</sub>	1.881	2.362	78.791	20.642	-16.440	4.586	KZ 766
		Min P <sub>x</sub>	1.881	2.362	78.791	20.641	-16.439	4.586	KZ 767
		Max P <sub>y</sub>	1.881	2.362	78.791	20.642	-16.440	4.586	KZ 766
		Min P <sub>y</sub>	1.881	2.362	78.791	20.641	-16.439	4.586	KZ 767
		Max P <sub>z</sub>	1.881	2.362	78.791	20.642	-16.440	4.586	KZ 766
		Min P <sub>z</sub>	1.881	2.362	78.791	20.642	-16.440	4.586	KZ 766
		Max M <sub>x</sub>	1.881	2.362	78.791	20.642	-16.440	4.586	KZ 766
		Min M <sub>x</sub>	1.881	2.362	78.791	20.641	-16.439	4.586	KZ 767
		Max M <sub>y</sub>	1.881	2.362	78.791	20.641	-16.439	4.586	KZ 767
		Min M <sub>y</sub>	1.881	2.362	78.791	20.642	-16.440	4.586	KZ 766
		Max M <sub>z</sub>	1.881	2.362	78.791	20.642	-16.440	4.586	KZ 766
		Min M <sub>z</sub>	1.881	2.362	78.791	20.641	-16.439	4.586	KZ 767
574	KV1	Max	8.789	39.792	413.728	205.365	-37.710	5.129	MSÚ (STR/GEO) - trvalá/dočasná - rovn. 6.10a a 6.10b
		Min	6.461	28.498	215.346	121.716	-59.892	4.170	MSÚ (STR/GEO) - trvalá/dočasná - rovn. 6.10a a 6.10b
		Max P <sub>x</sub>	8.789	37.696	283.371	184.130	-59.286	5.124	KZ 81
		Min P <sub>x</sub>	6.461	34.492	308.477	180.993	-38.081	4.171	KZ 235
		Max P <sub>y</sub>	8.057	39.792	291.425	204.850	-50.229	4.996	KZ 87
		Min P <sub>y</sub>	6.534	28.498	295.319	121.716	-39.044	4.296	KZ 242
		Max P <sub>z</sub>	6.975	32.605	413.728	164.599	-45.802	4.335	KZ 337
		Min P <sub>z</sub>	7.720	32.061	215.346	155.248	-52.666	4.382	KZ 184
		Max M <sub>x</sub>	8.034	39.719	336.667	205.365	-50.530	4.998	KZ 24



KRStatic s.r.o.

Korunní 2569/108, 101 00 Praha 10

Hlavní budova\_redukována zatížení

VÝSLEDKY

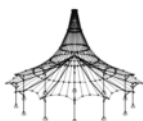
Projekt:

Model: HOŘICE-KONSTRUKCE\_3D\_Budova\_redukováne ..

#### 4.1 UZLY - PODPOROVÉ SÍLY

Kombinace výsledků

Uzel	Podporové síly [kN]						Podporové momenty [kNm]			Rozměrné výsledky				
č.	KV		P <sub>x</sub>	P <sub>y</sub>	P <sub>z</sub>	M <sub>x</sub>	M <sub>y</sub>	M <sub>z</sub>						
574	KV2	Min M <sub>x</sub>	6.534	28.498	295.319	▷	121.716	-39.044	4.296	KZ 242				
		Max M <sub>y</sub>	6.491	35.458	225.693		188.361	▷	-37.710	4.171	KZ 272			
		Min M <sub>y</sub>	8.755	37.545	346.505		184.073	▷	-59.892	5.127	KZ 5			
		Max M <sub>z</sub>	8.762	37.761	331.518		185.861		-59.744	5.129	KZ 53			
		Min M <sub>z</sub>	6.489	34.654	245.173		181.040		-37.833	4.170	KZ 189			
		Max	6.626	30.279	330.307		158.459		-34.663	3.805	MSP - charakteristická			
		Min	5.789	25.554	198.065		113.005		-44.913	3.661	MSP - charakteristická			
		Max P <sub>x</sub>	▷	6.626	27.930	198.065		135.327		-44.605	3.802	KZ 515		
		Min P <sub>x</sub>	▷	5.789	29.567	260.148		152.347		-34.904	3.662	KZ 566		
		Max P <sub>y</sub>	▷	5.807	30.279	207.014		158.189		-34.683	3.661	KZ 521		
		Min P <sub>y</sub>	▷	5.836	25.554	251.378		113.005		-35.531	3.745	KZ 573		
		Max P <sub>z</sub>		6.136	28.319	▷	330.307		141.389		-39.934	3.770	KZ 668	
		Min P <sub>z</sub>		6.626	27.930	▷	198.065		135.327		-44.605	3.802	KZ 515	
		Max M <sub>x</sub>		5.795	30.242	▷	237.171		158.459		-34.801	3.662	KZ 545	
		Min M <sub>x</sub>		5.836	25.554	▷	251.378		113.005		-35.531	3.745	KZ 573	
	KV3	Max M <sub>y</sub>		5.807	30.199		204.962		157.370	▷	-34.663	3.662	KZ 603	
		Min M <sub>y</sub>		6.608	27.900		241.438		135.741	▷	-44.913	3.804	KZ 526	
		Max M <sub>z</sub>		6.612	28.044		231.450		136.974		-44.841	▷	3.805	KZ 574
		Min M <sub>z</sub>		5.806	29.666		217.948		152.473		-34.742	▷	3.661	KZ 520
		Max		6.325	28.046		233.577		137.032		-41.219		3.777	MSP - kvazistálá
		Min		6.324	28.046		233.577		137.031		-41.226		3.777	MSP - kvazistálá
		Max P <sub>x</sub>		6.325	28.046		233.577		137.032		-41.226		3.777	KZ 766
		Min P <sub>x</sub>	▷	6.324	28.046		233.577		137.031		-41.219		3.777	KZ 767
		Max P <sub>y</sub>	▷	6.325	28.046		233.577		137.032		-41.226		3.777	KZ 766
		Min P <sub>y</sub>	▷	6.324	28.046		233.577		137.031		-41.219		3.777	KZ 767
		Max P <sub>z</sub>		6.325	28.046	▷	233.577		137.032		-41.226		3.777	KZ 766
		Min P <sub>z</sub>		6.325	28.046	▷	233.577		137.032		-41.226		3.777	KZ 766
		Max M <sub>x</sub>		6.325	28.046	▷	233.577	▷	137.032		-41.226		3.777	KZ 766
		Min M <sub>x</sub>		6.324	28.046		233.577	▷	137.031		-41.219		3.777	KZ 767
		Max M <sub>y</sub>		6.324	28.046		233.577		137.031	▷	-41.219		3.777	KZ 767
		Min M <sub>y</sub>		6.325	28.046		233.577		137.032	▷	-41.226		3.777	KZ 766
		Max M <sub>z</sub>		6.324	28.046		233.577		137.031		-41.219	▷	3.777	KZ 767
		Min M <sub>z</sub>		6.325	28.046		233.577		137.032		-41.226	▷	3.777	KZ 766
576	KV1	Max	21.508	20.166	170.483		102.425	148.216		2.594	MSÚ (STR/GEO) - trvalá/dočasná - rovn. 6.10a a 6.10b			
		Min	-29.823	12.974	130.574		47.147	-109.589		2.048	MSÚ (STR/GEO) - trvalá/dočasná - rovn. 6.10a a 6.10b			
	KV2	Max P <sub>x</sub>	▷	21.508	15.896	132.803	74.865	-109.581	2.233	KZ 268				
		Min P <sub>x</sub>	▷	-29.823	18.173	140.889	96.587	148.215	2.049	KZ 199				
Max P <sub>y</sub>		▷	-16.323	20.166	163.156	102.425	79.458	2.483	KZ 24					
Min P <sub>y</sub>		▷	-29.635	12.974	142.848	47.147	146.323	2.079	KZ 242					
Max P <sub>z</sub>		▷	-5.467	17.757	170.483	79.530	23.580	2.539	KZ 7					
Min P <sub>z</sub>		▷	-29.768	18.535	130.574	99.894	147.438	2.051	KZ 272					
Max M <sub>x</sub>			-16.323	20.166	163.156	▷	102.425	79.458	2.483	KZ 24				
Min M <sub>x</sub>			-29.635	12.974	142.848	▷	47.147	146.323	2.079	KZ 242				
Max M <sub>y</sub>			-29.823	18.172	140.889	96.584	▷	148.216	2.049	KZ 235				
Min M <sub>y</sub>			21.504	16.014	134.465	76.003	▷	-109.589	2.233	KZ 183				
Max M <sub>z</sub>			14.456	18.615	165.247	87.662		-75.593	▷	2.594	KZ 53			
Min M <sub>z</sub>			-29.812	18.208	138.389	96.892		148.041	▷	2.048	KZ 225			
Max			14.905	15.579	132.847	81.719	95.162	1.932	MSP - charakteristická					
Min			-19.323	11.829	114.826	46.157	-76.423	1.808	MSP - charakteristická					
Max P <sub>x</sub>		▷	14.905	13.779	116.312	64.620	-76.419	1.931	KZ 599					
Min P <sub>x</sub>		▷	-19.323	15.292	121.703	79.025	95.162	1.808	KZ 566					
Max P <sub>y</sub>		▷	-19.312	15.579	119.102	81.719	95.016	1.809	KZ 545					
Min P <sub>y</sub>		▷	-19.205	11.829	123.009	46.157	93.947	1.829	KZ 573					
Max P <sub>z</sub>			-3.437	13.200	▷	132.847	59.238	14.443	1.881	KZ 668				
Min P <sub>z</sub>			-19.291	15.537	▷	114.826	81.277	94.762	1.809	KZ 519				
KV3		Max M <sub>x</sub>		-19.312	15.579	▷	119.102	▷	81.719	95.016	1.809	KZ 545		
		Min M <sub>x</sub>		-19.205	11.829	▷	123.009	▷	46.157	93.947	1.829	KZ 573		
		Max M <sub>y</sub>		-19.323	15.292		121.703	▷	79.025	95.162	1.808	KZ 566		
		Min M <sub>y</sub>		14.903	13.858		117.421	▷	65.382	▷	-76.423	1.931	KZ 514	
	Max M <sub>z</sub>		14.888	13.862		121.424		65.446		-76.377	▷	1.932	KZ 574	
	Min M <sub>z</sub>		-19.317	15.317		120.036		79.246		95.072	▷	1.808	KZ 556	
	Max		2.376	13.632		119.040		63.247		-14.527		1.897	MSP - kvazistálá	
	Min		2.376	13.632		119.040		63.245		-14.528		1.896	MSP - kvazistálá	
	Max P <sub>x</sub>	▷	2.376	13.632		119.040		63.245		-14.527		1.897	KZ 767	
	Min P <sub>x</sub>	▷	2.376	13.632		119.040		63.247		-14.528		1.896	KZ 766	
	Max P <sub>y</sub>	▷	2.376	13.632		119.040		63.247		-14.528		1.896	KZ 766	
	Min P <sub>y</sub>	▷	2.376	13.632		119.040		63.245		-14.527		1.897	KZ 767	
	Max P <sub>z</sub>		2.376	13.632	▷	119.040		63.247		-14.528		1.896	KZ 766	
	Min P <sub>z</sub>		2.376	13.632	▷	119.040		63.245		-14.527		1.897	KZ 767	
	Max M <sub>x</sub>		2.376	13.632		119.040	▷	63.247		-14.528		1.896	KZ 766	
	Min M <sub>x</sub>		2.376	13.632		119.040	▷	63.245		-14.527		1.897	KZ 767	
	Max M <sub>y</sub>		2.376	13.632		119.040		63.245	▷	-14.527		1.897	KZ 767	
	Min M <sub>y</sub>		2.376	13.632		119.040		63.247	▷	-14.528		1.896	KZ 766	
Max M <sub>z</sub>		2.376	13.632		119.040		63.245		-14.527	▷	1.897	KZ 767		
Min M <sub>z</sub>		2.376	13.632		119.040		63.247		-14.528	▷	1.896	KZ 766		
578	KV1	Max	2.679	3.353	302.658		18.973	0.984		0.647	MSÚ (STR/GEO) - trvalá/dočasná - rovn. 6.10a a 6.10b			
		Min	0.786	-3.484	191.048		-19.985	-8.123		0.211	MSÚ (STR/GEO) - trvalá/dočasná - rovn. 6.10a a 6.10b			
		Max P <sub>x</sub>	▷	2.679	3.053	220.931	15.927	-8.123		0.563	KZ 261			
		Min P <sub>x</sub>	▷	0.786	0.023	232.967	-0.052	0.979		0.229	KZ 210			



Projekt:

Model: HOŘICE-KONSTRUKCE\_3D\_Budova\_redukováne ..

## 4.1 UZLY - PODPOROVÉ SÍLY

Kombinace výsledků

Uzel			Podporové síly [kN]			Podporové momenty [kNm]							
č.	KV		P <sub>x</sub>	P <sub>y</sub>	P <sub>z</sub>	M <sub>x</sub>	M <sub>y</sub>	M <sub>z</sub>					
578	KV2	Max P <sub>y</sub>	2.661	▷	3.353	223.989	18.973	-8.104	0.533	KZ 262			
		Min P <sub>y</sub>	1.816	▷	-3.484	233.123	-19.956	-5.651	0.512	KZ 206			
		Max P <sub>z</sub>	2.407		-1.981	▷	302.658	-10.915	-5.237	0.596	KZ 49		
		Min P <sub>z</sub>	2.028		3.242	▷	191.048	18.197	-7.219	0.387	KZ 188		
		Max M <sub>x</sub>	2.661		3.353		223.989	▷	18.973	-8.104	0.533	KZ 262	
		Min M <sub>x</sub>	2.455		-3.469		249.673	▷	-19.985	-6.531	0.644	KZ 242	
		Max M <sub>y</sub>	0.790		0.023		250.421	-0.059	▷	0.984	0.241	KZ 209	
		Min M <sub>y</sub>	2.679		3.053		220.931	15.927	▷	-8.123	0.563	KZ 261	
		Max M <sub>z</sub>	2.452		-3.247		249.666	-18.919	-6.521	▷	0.647	KZ 254	
		Min M <sub>z</sub>	0.790		0.012		206.393	-0.061	▷	0.976	0.211	KZ 186	
		Max	2.029		2.236		240.892	12.570	0.314		0.488	MSP - charakteristická	
		Min	0.766		-2.322		171.610	-13.276	-5.747		0.198	MSP - charakteristická	
		Max P <sub>x</sub>	2.029	▷	2.036		191.531	10.549	-5.747		0.432	KZ 592	
		Min P <sub>x</sub>	0.766	▷	0.019		199.555	-0.049	0.310		0.210	KZ 541	
		Max P <sub>y</sub>	2.018		2.236	▷	193.571	12.570	-5.735		0.413	KZ 593	
		Min P <sub>y</sub>	1.454		-2.322	▷	199.659	-13.276	-4.103		0.398	KZ 537	
		Max P <sub>z</sub>	1.707		-1.298	▷	240.892	-7.203	-3.634		0.438	KZ 710	
		Min P <sub>z</sub>	1.595		2.165	▷	171.610	12.090	-5.148		0.315	KZ 519	
		Max M <sub>x</sub>	2.018		2.236		193.571	▷	12.570	-5.735	0.413	KZ 593	
		Min M <sub>x</sub>	1.454		-2.322		199.659	▷	-13.276	-4.103	0.398	KZ 537	
	Max M <sub>y</sub>	0.768		0.019		211.191	-0.054	▷	0.314	0.218	KZ 540		
	Min M <sub>y</sub>	2.029		2.036		191.531	10.549	▷	-5.747	0.432	KZ 592		
	Max M <sub>z</sub>	1.878		-2.161		210.688	-12.565	-4.680	▷	0.488	KZ 585		
	Min M <sub>z</sub>	0.769		0.012		181.840	-0.055	0.308	▷	0.198	KZ 517		
	KV3	Max	1.404		0.035		199.077	-0.007	-1.460		0.321	MSP - kvazistálá	
		Min	1.041		0.016		189.619	-0.064	-1.957		0.246	MSP - kvazistálá	
		Max P <sub>x</sub>	1.404	▷	0.035		199.077	-0.007	-1.957		0.321	KZ 767	
		Min P <sub>x</sub>	1.041	▷	0.016		189.619	-0.064	-1.460		0.246	KZ 766	
		Max P <sub>y</sub>	1.404		0.035	▷	199.077	-0.007	-1.957		0.321	KZ 767	
		Min P <sub>y</sub>	1.041		0.016	▷	189.619	-0.064	-1.460		0.246	KZ 766	
		Max P <sub>z</sub>	1.404		0.035	▷	199.077	-0.007	-1.957		0.321	KZ 767	
		Min P <sub>z</sub>	1.041		0.016	▷	189.619	-0.064	-1.460		0.246	KZ 766	
		Max M <sub>x</sub>	1.404		0.035	▷	199.077	-0.007	-1.957		0.321	KZ 767	
		Min M <sub>x</sub>	1.041		0.016	▷	189.619	-0.064	-1.460		0.246	KZ 766	
		Max M <sub>y</sub>	1.041		0.016		189.619	-0.064	▷	-1.460	0.246	KZ 766	
		Min M <sub>y</sub>	1.404		0.035		199.077	-0.007	▷	-1.957	0.321	KZ 767	
		Max M <sub>z</sub>	1.404		0.035		199.077	-0.007	-1.957	▷	0.321	KZ 767	
		Min M <sub>z</sub>	1.041		0.016		189.619	-0.064	-1.460	▷	0.246	KZ 766	
		581	KV1	Max	-0.245		3.355	313.558	18.969		5.391	0.006	MSÚ (STR/GEO) - trvalá/dočasná - rovn. 6.10a a 6.10b
				Min	-2.354		-3.477	199.259	-20.060	-3.972		-0.570	MSÚ (STR/GEO) - trvalá/dočasná - rovn. 6.10a a 6.10b
			KV2	Max P <sub>x</sub>	▷	-0.245		3.321	229.150	18.813	-3.964	-0.004	KZ 214
				Min P <sub>x</sub>	▷	-2.354		-0.001	268.259	-0.182	4.743	-0.564	KZ 309
Max P <sub>y</sub>				▷	-0.909		3.355	233.196	18.952	-2.970	-0.155	KZ 262	
Min P <sub>y</sub>				▷	-1.263		-3.477	258.987	-20.060	-1.185	-0.247	KZ 242	
Max P <sub>z</sub>				▷	-2.264		-0.223	▷	313.558	-1.261	4.601	-0.552	KZ 43
Min P <sub>z</sub>				▷	-0.251		3.252	▷	199.259	18.219	-3.945	-0.002	KZ 188
Max M <sub>x</sub>	▷			-0.901		3.355	246.546	▷	18.969	-2.987	-0.151	KZ 250	
Min M <sub>x</sub>	▷			-1.263		-3.477	258.987	▷	-20.060	-1.185	-0.247	KZ 242	
Max M <sub>y</sub>	▷			-2.235		-0.031	249.774	-0.223	▷	5.391	-0.529	KZ 269	
Min M <sub>y</sub>	▷			-0.246		3.046	225.990	17.268	▷	-3.972	-0.018	KZ 200	
Max M <sub>z</sub>	▷			-0.250		3.311	202.428	18.749	-3.942	▷	0.006	KZ 190	
Min M <sub>z</sub>	▷			-2.340		-0.220	271.087	-1.221	▷	4.712	-0.570	KZ 286	
Max	▷			-0.399		2.231	248.986	12.541	3.938		-0.052	MSP - charakteristická	
Min	▷			-1.806		-2.320	178.799	-13.342	-2.294		-0.435	MSP - charakteristická	
Max P <sub>x</sub>	▷			-0.399		2.213	198.726	12.466	-2.289		-0.059	KZ 545	
Min P <sub>x</sub>	▷			-1.806		-0.004	224.799	-0.162	3.507		-0.431	KZ 640	
Max P <sub>y</sub>	▷			-0.836		2.231	210.323	12.541	-1.635		-0.157	KZ 581	
Min P <sub>y</sub>	▷			-0.639		-2.320	207.020	-13.302	-1.094		-0.122	KZ 537	
Max P <sub>z</sub>	▷			-1.606		-0.129	▷	248.986	-0.825	3.197	-0.403	KZ 704	
Min P <sub>z</sub>	▷			-0.404		2.165	▷	178.799	12.078	-2.276	-0.057	KZ 519	
KV3	Max M <sub>x</sub>	▷	-0.836		2.231	210.323	▷	12.541	-1.635	-0.157	KZ 581		
	Min M <sub>x</sub>	▷	-1.077		-2.320	218.618	▷	-13.342	-0.437	-0.220	KZ 573		
	Max M <sub>y</sub>	▷	-1.727		-0.024	212.476	-0.190	▷	3.938	-0.408	KZ 600		
	Min M <sub>y</sub>	▷	-0.400		2.028	196.619	11.431	▷	-2.294	-0.068	KZ 531		
	Max M <sub>z</sub>	▷	-0.403		2.205	180.912	12.430	-2.274	▷	-0.052	KZ 521		
	Min M <sub>z</sub>	▷	-1.797		-0.151	226.684	-0.853	3.486	▷	-0.435	KZ 617		
	Max	▷	-1.016		-0.007	206.913	-0.161	2.062		-0.239	MSP - kvazistálá		
	Min	▷	-1.391		-0.015	196.972	-0.177	1.495		-0.323	MSP - kvazistálá		
	Max P <sub>x</sub>	▷	-1.016		-0.015	196.972	-0.177	1.495		-0.239	KZ 766		
	Min P <sub>x</sub>	▷	-1.391		-0.007	206.913	-0.161	2.062		-0.323	KZ 767		
	Max P <sub>y</sub>	▷	-1.391		-0.007	206.913	-0.161	2.062		-0.323	KZ 767		
	Min P <sub>y</sub>	▷	-1.016		-0.015	196.972	-0.177	1.495		-0.239	KZ 766		
	Max P <sub>z</sub>	▷	-1.391		-0.007	▷	206.913	-0.161	2.062	-0.323	KZ 767		
	Min P <sub>z</sub>	▷	-1.016		-0.015	▷	196.972	-0.177	1.495	-0.239	KZ 766		
	Max M <sub>x</sub>	▷	-1.391		-0.007	▷	206.913	-0.161	2.062	-0.323	KZ 767		
	Min M <sub>x</sub>	▷	-1.016		-0.015	▷	196.972	-0.177	1.495	-0.239	KZ 766		
	Max M <sub>y</sub>	▷	-1.391		-0.007	▷	206.913	-0.161	2.062	-0.323	KZ 767		
	Min M <sub>y</sub>	▷	-1.016		-0.015	▷	196.972	-0.177	1.495	-0.239	KZ 766		
Max M <sub>z</sub>	▷	-1.016		-0.015	▷	196.972	-0.177	1.495	-0.239	KZ 766			
Min M <sub>z</sub>	▷	-1.391		-0.007	▷	206.913	-0.161	2.062	-0.323	KZ 767			
584	KV1	Max	0.206		2.641	154.766	14.235	3.119	0.298	MSÚ (STR/GEO) - trvalá/dočasná - rovn. 6.10a a 6.10b			



KRStatic s.r.o.

Korunní 2569/108, 101 00 Praha 10

Hlavní budova\_redukována zatížení

VÝSLEDKY

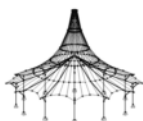
Projekt:

Model: HOŘICE-KONSTRUKCE\_3D\_Budova\_redukováne ..

#### 4.1 UZLY - PODPOROVÉ SÍLY

Kombinace výsledků

Uzel č.	KV		Podporové síly [kN]			Podporové momenty [kNm]			
			P <sub>x</sub>	P <sub>y</sub>	P <sub>z</sub>	M <sub>x</sub>	M <sub>y</sub>	M <sub>z</sub>	
584 584 584	KV2	Min	-0.394	-2.448	100.745	-14.382	-3.490	-0.106	MSÚ (STR/GEO) - trvalá/dočasná - rovn. 6.10a a 6.10b
		Max P <sub>x</sub>	0.206	2.570	102.043	14.025	-3.490	0.298	KZ 190
		Min P <sub>x</sub>	-0.394	-0.106	148.697	-1.030	2.730	-0.106	KZ 373
		Max P <sub>y</sub>	0.155	2.641	116.955	14.235	-3.243	0.279	KZ 262
		Min P <sub>y</sub>	0.031	-2.448	119.471	-14.362	-2.224	0.009	KZ 206
		Max P <sub>z</sub>	-0.086	-1.256	154.766	-7.544	-0.800	-0.019	KZ 49
		Min P <sub>z</sub>	0.205	2.522	100.745	13.659	-3.487	0.298	KZ 188
		Max M <sub>x</sub>	0.155	2.641	116.955	14.235	-3.243	0.279	KZ 262
		Min M <sub>x</sub>	0.023	-2.426	128.471	-14.382	-2.165	0.000	KZ 242
		Max M <sub>y</sub>	-0.359	-0.263	136.178	-1.570	3.119	-0.106	KZ 233
		Min M <sub>y</sub>	0.206	2.570	102.043	14.025	-3.490	0.298	KZ 190
		Max M <sub>z</sub>	0.206	2.570	102.043	14.025	-3.490	0.298	KZ 190
		Min M <sub>z</sub>	-0.394	-0.106	148.697	-1.030	2.730	-0.106	KZ 373
		Max	0.114	1.771	122.018	9.446	2.192	0.196	MSP - charakteristická
		Min	-0.287	-1.614	90.046	-9.536	-2.205	-0.074	MSP - charakteristická
		Max P <sub>x</sub>	0.114	1.727	90.912	9.333	-2.205	0.196	KZ 521
		Min P <sub>x</sub>	-0.287	-0.054	122.012	-0.678	1.934	-0.074	KZ 704
		Max P <sub>y</sub>	0.080	1.771	100.854	9.446	-2.036	0.184	KZ 593
		Min P <sub>y</sub>	-0.003	-1.614	102.530	-9.536	-1.359	0.004	KZ 537
		Max P <sub>z</sub>	-0.133	-0.807	122.018	-4.959	-0.181	-0.031	KZ 710
		Min P <sub>z</sub>	0.114	1.695	90.046	9.090	-2.202	0.196	KZ 519
		Max M <sub>x</sub>	0.080	1.771	100.854	9.446	-2.036	0.184	KZ 593
		Min M <sub>x</sub>	-0.003	-1.614	102.530	-9.536	-1.359	0.004	KZ 537
		Max M <sub>y</sub>	-0.263	-0.159	113.668	-1.038	2.192	-0.073	KZ 564
		Min M <sub>y</sub>	0.114	1.727	90.912	9.333	-2.205	0.196	KZ 521
		Max M <sub>z</sub>	0.114	1.727	90.912	9.333	-2.205	0.196	KZ 521
		Min M <sub>z</sub>	-0.287	-0.054	122.012	-0.678	1.934	-0.074	KZ 704
	KV3	Max	-0.099	0.089	103.214	0.061	0.546	-0.011	MSP - kvazistálá
		Min	-0.104	0.068	98.071	0.021	0.508	-0.015	MSP - kvazistálá
		Max P <sub>x</sub>	-0.099	0.068	98.071	0.021	0.508	-0.011	KZ 766
		Min P <sub>x</sub>	-0.104	0.089	103.214	0.061	0.546	-0.015	KZ 767
		Max P <sub>y</sub>	-0.104	0.089	103.214	0.061	0.546	-0.015	KZ 767
		Min P <sub>y</sub>	-0.099	0.068	98.071	0.021	0.508	-0.011	KZ 766
		Max P <sub>z</sub>	-0.104	0.089	103.214	0.061	0.546	-0.015	KZ 767
		Min P <sub>z</sub>	-0.099	0.068	98.071	0.021	0.508	-0.011	KZ 766
		Max M <sub>x</sub>	-0.104	0.089	103.214	0.061	0.546	-0.015	KZ 767
		Min M <sub>x</sub>	-0.099	0.068	98.071	0.021	0.508	-0.011	KZ 766
		Max M <sub>y</sub>	-0.104	0.089	103.214	0.061	0.546	-0.015	KZ 767
		Min M <sub>y</sub>	-0.099	0.068	98.071	0.021	0.508	-0.011	KZ 766
		Max M <sub>z</sub>	-0.099	0.068	98.071	0.021	0.508	-0.011	KZ 766
		Min M <sub>z</sub>	-0.104	0.089	103.214	0.061	0.546	-0.015	KZ 767
587	KV1	Max	0.041	6.479	130.691	0.000	0.030	0.000	MSÚ (STR/GEO) - trvalá/dočasná - rovn. 6.10a a 6.10b
		Min	-0.029	-0.121	-8.001	0.000	-0.043	0.000	MSÚ (STR/GEO) - trvalá/dočasná - rovn. 6.10a a 6.10b
		Max P <sub>x</sub>	0.041	3.199	68.017	0.000	-0.043	0.000	KZ 205
		Min P <sub>x</sub>	-0.029	4.418	86.010	0.000	-0.024	0.000	KZ 232
		Max P <sub>y</sub>	-0.021	6.479	130.691	0.000	-0.017	0.000	KZ 145
		Min P <sub>y</sub>	-0.026	-0.121	-8.001	0.000	-0.018	0.000	KZ 183
		Max P <sub>z</sub>	-0.021	6.479	130.691	0.000	-0.018	0.000	KZ 109
		Min P <sub>z</sub>	-0.026	-0.121	-8.001	0.000	-0.016	0.000	KZ 267
		Max M <sub>x</sub>	-0.006	1.150	19.333	0.000	0.001	0.000	KZ 1
		Min M <sub>x</sub>	-0.006	1.150	19.333	0.000	0.001	0.000	KZ 1
		Max M <sub>y</sub>	0.011	3.544	68.354	0.000	0.030	0.000	KZ 233
		Min M <sub>y</sub>	0.040	0.605	16.138	0.000	-0.043	0.000	KZ 230
		Max M <sub>z</sub>	-0.006	1.150	19.333	0.000	0.001	0.000	KZ 1
		Min M <sub>z</sub>	-0.006	1.150	19.333	0.000	0.001	0.000	KZ 1
	KV2	Max	0.026	4.556	90.492	0.000	0.019	0.000	MSP - charakteristická
		Min	-0.020	0.116	-1.993	0.000	-0.029	0.000	MSP - charakteristická
		Max P <sub>x</sub>	0.026	0.645	14.137	0.000	-0.029	0.000	KZ 524
		Min P <sub>x</sub>	-0.020	3.165	60.690	0.000	-0.014	0.000	KZ 563
		Max P <sub>y</sub>	-0.015	4.556	90.492	0.000	-0.009	0.000	KZ 476
		Min P <sub>y</sub>	-0.019	0.116	-1.993	0.000	-0.012	0.000	KZ 514
		Max P <sub>z</sub>	-0.014	4.556	90.492	0.000	-0.010	0.000	KZ 440
		Min P <sub>z</sub>	-0.019	0.116	-1.993	0.000	-0.011	0.000	KZ 598
		Max M <sub>x</sub>	-0.005	0.854	14.319	0.000	0.001	0.000	KZ 435
		Min M <sub>x</sub>	-0.005	0.854	14.319	0.000	0.001	0.000	KZ 435
		Max M <sub>y</sub>	0.006	2.575	48.916	0.000	0.019	0.000	KZ 564
		Min M <sub>y</sub>	0.026	2.292	48.650	0.000	-0.029	0.000	KZ 537
		Max M <sub>z</sub>	-0.005	0.854	14.319	0.000	0.001	0.000	KZ 435
		Min M <sub>z</sub>	-0.005	0.854	14.319	0.000	0.001	0.000	KZ 435
	KV3	Max	-0.005	0.854	14.319	0.000	0.001	0.000	MSP - kvazistálá
		Min	-0.005	0.854	14.319	0.000	0.001	0.000	MSP - kvazistálá
		Max P <sub>x</sub>	-0.005	0.854	14.319	0.000	0.001	0.000	KZ 766
		Min P <sub>x</sub>	-0.005	0.854	14.319	0.000	0.001	0.000	KZ 767
		Max P <sub>y</sub>	-0.005	0.854	14.319	0.000	0.001	0.000	KZ 767
		Min P <sub>y</sub>	-0.005	0.854	14.319	0.000	0.001	0.000	KZ 766
		Max P <sub>z</sub>	-0.005	0.854	14.319	0.000	0.001	0.000	KZ 766
		Min P <sub>z</sub>	-0.005	0.854	14.319	0.000	0.001	0.000	KZ 767
		Max M <sub>x</sub>	-0.005	0.854	14.319	0.000	0.001	0.000	KZ 766
		Min M <sub>x</sub>	-0.005	0.854	14.319	0.000	0.001	0.000	KZ 766
		Max M <sub>y</sub>	-0.005	0.854	14.319	0.000	0.001	0.000	KZ 767
		Min M <sub>y</sub>	-0.005	0.854	14.319	0.000	0.001	0.000	KZ 766



Projekt:

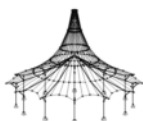
Model: HOŘICE-KONSTRUKCE\_3D\_Budova\_redukováne ..

## 4.1 UZLY - PODPOROVÉ SÍLY

Kombinace výsledků

Uzel č.	KV		Podporové síly [kN]			Podporové momenty [kNm]			
			P <sub>x</sub>	P <sub>y</sub>	P <sub>z</sub>	M <sub>x</sub>	M <sub>y</sub>	M <sub>z</sub>	
587		Max M <sub>z</sub>	-0.005	0.854	14.319	0.000	0.001	0.000	KZ 766
		Min M <sub>z</sub>	-0.005	0.854	14.319	0.000	0.001	0.000	KZ 766
590	KV1	Max	0.043	6.567	134.132	0.000	0.028	0.000	MSÚ (STR/GEO) - trvalá/dočasná - rovn. 6.10a a 6.10b
		Min	-0.028	-0.180	-15.368	0.000	-0.046	0.000	MSÚ (STR/GEO) - trvalá/dočasná - rovn. 6.10a a 6.10b
		Max P <sub>x</sub>	0.043	3.364	68.143	0.000	-0.046	0.000	KZ 205
		Min P <sub>x</sub>	-0.028	4.688	91.852	0.000	-0.025	0.000	KZ 232
		Max P <sub>y</sub>	-0.020	6.567	134.132	0.000	-0.020	0.000	KZ 109
		Min P <sub>y</sub>	-0.025	-0.180	-15.368	0.000	-0.018	0.000	KZ 267
		Max P <sub>z</sub>	-0.020	6.567	134.132	0.000	-0.020	0.000	KZ 109
		Min P <sub>z</sub>	-0.025	-0.180	-15.368	0.000	-0.019	0.000	KZ 183
		Max M <sub>x</sub>	-0.005	1.402	19.518	0.000	-0.001	0.000	KZ 1
		Min M <sub>x</sub>	-0.005	1.402	19.518	0.000	-0.001	0.000	KZ 1
		Max M <sub>y</sub>	0.013	3.722	68.485	0.000	0.028	0.000	KZ 233
		Min M <sub>y</sub>	0.043	3.357	68.135	0.000	-0.046	0.000	KZ 203
		Max M <sub>z</sub>	-0.005	1.402	19.518	0.000	-0.001	0.000	KZ 1
		Min M <sub>z</sub>	-0.005	1.402	19.518	0.000	-0.001	0.000	KZ 1
	KV2	Max	0.028	4.666	92.819	0.000	0.018	0.000	MSP - charakteristická
		Min	-0.019	0.119	-6.872	0.000	-0.031	0.000	MSP - charakteristická
		Max P <sub>x</sub>	0.028	0.881	14.313	0.000	-0.031	0.000	KZ 524
		Min P <sub>x</sub>	-0.019	3.394	64.618	0.000	-0.015	0.000	KZ 563
		Max P <sub>y</sub>	-0.014	4.666	92.819	0.000	-0.012	0.000	KZ 440
		Min P <sub>y</sub>	-0.018	0.119	-6.872	0.000	-0.012	0.000	KZ 598
		Max P <sub>z</sub>	-0.014	4.666	92.819	0.000	-0.012	0.000	KZ 440
		Min P <sub>z</sub>	-0.018	0.119	-6.872	0.000	-0.012	0.000	KZ 598
		Max M <sub>x</sub>	-0.004	1.042	14.455	0.000	-0.001	0.000	KZ 435
		Min M <sub>x</sub>	-0.004	1.042	14.455	0.000	-0.001	0.000	KZ 435
		Max M <sub>y</sub>	0.007	2.743	49.035	0.000	0.018	0.000	KZ 564
		Min M <sub>y</sub>	0.028	2.486	48.800	0.000	-0.031	0.000	KZ 534
		Max M <sub>z</sub>	-0.004	1.042	14.455	0.000	-0.001	0.000	KZ 435
		Min M <sub>z</sub>	-0.004	1.042	14.455	0.000	-0.001	0.000	KZ 435
	KV3	Max	-0.004	1.042	14.455	0.000	0.000	0.000	MSP - kvazistálá
		Min	-0.004	1.042	14.455	0.000	-0.001	0.000	MSP - kvazistálá
		Max P <sub>x</sub>	-0.004	1.042	14.455	0.000	-0.001	0.000	KZ 766
		Min P <sub>x</sub>	-0.004	1.042	14.455	0.000	0.000	0.000	KZ 767
		Max P <sub>y</sub>	-0.004	1.042	14.455	0.000	-0.001	0.000	KZ 766
		Min P <sub>y</sub>	-0.004	1.042	14.455	0.000	0.000	0.000	KZ 767
		Max P <sub>z</sub>	-0.004	1.042	14.455	0.000	-0.001	0.000	KZ 766
		Min P <sub>z</sub>	-0.004	1.042	14.455	0.000	-0.001	0.000	KZ 766
		Max M <sub>x</sub>	-0.004	1.042	14.455	0.000	-0.001	0.000	KZ 766
		Min M <sub>x</sub>	-0.004	1.042	14.455	0.000	-0.001	0.000	KZ 766
		Max M <sub>y</sub>	-0.004	1.042	14.455	0.000	0.000	0.000	KZ 767
		Min M <sub>y</sub>	-0.004	1.042	14.455	0.000	-0.001	0.000	KZ 766
		Max M <sub>z</sub>	-0.004	1.042	14.455	0.000	-0.001	0.000	KZ 766
		Min M <sub>z</sub>	-0.004	1.042	14.455	0.000	-0.001	0.000	KZ 766
593	KV1	Max	0.044	3.868	70.888	0.000	0.031	0.000	MSÚ (STR/GEO) - trvalá/dočasná - rovn. 6.10a a 6.10b
		Min	-0.027	-0.357	-9.895	0.000	-0.047	0.000	MSÚ (STR/GEO) - trvalá/dočasná - rovn. 6.10a a 6.10b
		Max P <sub>x</sub>	0.044	0.420	9.806	0.000	-0.047	0.000	KZ 193
		Min P <sub>x</sub>	-0.027	1.431	24.762	0.000	-0.020	0.000	KZ 256
		Max P <sub>y</sub>	-0.018	3.868	70.888	0.000	-0.021	0.000	KZ 109
		Min P <sub>y</sub>	-0.027	-0.357	-9.895	0.000	-0.016	0.000	KZ 267
		Max P <sub>z</sub>	-0.018	3.868	70.888	0.000	-0.021	0.000	KZ 109
		Min P <sub>z</sub>	-0.027	-0.357	-9.895	0.000	-0.016	0.000	KZ 267
		Max M <sub>x</sub>	-0.006	0.698	11.696	0.000	0.000	0.000	KZ 1
		Min M <sub>x</sub>	-0.006	0.698	11.696	0.000	0.000	0.000	KZ 1
		Max M <sub>y</sub>	0.011	1.954	35.962	0.000	0.031	0.000	KZ 233
		Min M <sub>y</sub>	0.044	0.397	9.782	0.000	-0.047	0.000	KZ 230
		Max M <sub>z</sub>	-0.006	0.698	11.696	0.000	0.000	0.000	KZ 1
		Min M <sub>z</sub>	-0.006	0.698	11.696	0.000	0.000	0.000	KZ 1
	KV2	Max	0.028	2.710	49.287	0.000	0.019	0.000	MSP - charakteristická
		Min	-0.019	-0.119	-4.575	0.000	-0.032	0.000	MSP - charakteristická
		Max P <sub>x</sub>	0.028	0.401	8.559	0.000	-0.031	0.000	KZ 524
		Min P <sub>x</sub>	-0.019	1.078	18.530	0.000	-0.013	0.000	KZ 587
		Max P <sub>y</sub>	-0.013	2.710	49.287	0.000	-0.012	0.000	KZ 440
		Min P <sub>y</sub>	-0.019	-0.119	-4.575	0.000	-0.011	0.000	KZ 598
		Max P <sub>z</sub>	-0.013	2.710	49.287	0.000	-0.012	0.000	KZ 440
		Min P <sub>z</sub>	-0.019	-0.118	-4.575	0.000	-0.011	0.000	KZ 586
		Max M <sub>x</sub>	-0.004	0.518	8.663	0.000	0.000	0.000	KZ 435
		Min M <sub>x</sub>	-0.004	0.518	8.663	0.000	0.000	0.000	KZ 435
		Max M <sub>y</sub>	0.006	1.426	25.998	0.000	0.019	0.000	KZ 564
		Min M <sub>y</sub>	0.028	0.385	8.542	0.000	-0.032	0.000	KZ 561
		Max M <sub>z</sub>	-0.004	0.518	8.663	0.000	0.000	0.000	KZ 435
		Min M <sub>z</sub>	-0.004	0.518	8.663	0.000	0.000	0.000	KZ 435
	KV3	Max	-0.004	0.518	8.663	0.000	0.001	0.000	MSP - kvazistálá
		Min	-0.004	0.518	8.663	0.000	0.000	0.000	MSP - kvazistálá
		Max P <sub>x</sub>	-0.004	0.518	8.663	0.000	0.000	0.000	KZ 766
		Min P <sub>x</sub>	-0.004	0.518	8.663	0.000	0.001	0.000	KZ 767
		Max P <sub>y</sub>	-0.004	0.518	8.663	0.000	0.000	0.000	KZ 766
		Min P <sub>y</sub>	-0.004	0.518	8.663	0.000	0.001	0.000	KZ 767
		Max P <sub>z</sub>	-0.004	0.518	8.663	0.000	0.000	0.000	KZ 766





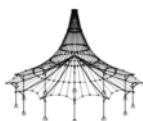
Projekt:

Model: HOŘICE-KONSTRUKCE\_3D\_Budova\_redukováne ..

## 4.1 UZLY - PODPOROVÉ SÍLY

Kombinace výsledků

Uzel č.	KV		Podporové síly [kN]			Podporové momenty [kNm]			
			P <sub>x</sub>	P <sub>y</sub>	P <sub>z</sub>	M <sub>x</sub>	M <sub>y</sub>	M <sub>z</sub>	
593		Min P <sub>z</sub>	-0.004	0.518	8.663	0.000	0.001	0.000	KZ 767
		Max M <sub>x</sub>	-0.004	0.518	8.663	0.000	0.000	0.000	KZ 766
		Min M <sub>x</sub>	-0.004	0.518	8.663	0.000	0.000	0.000	KZ 766
		Max M <sub>y</sub>	-0.004	0.518	8.663	0.000	0.001	0.000	KZ 767
		Min M <sub>y</sub>	-0.004	0.518	8.663	0.000	0.000	0.000	KZ 766
		Max M <sub>z</sub>	-0.004	0.518	8.663	0.000	0.000	0.000	KZ 766
		Min M <sub>z</sub>	-0.004	0.518	8.663	0.000	0.000	0.000	KZ 766
596	KV1	Max	0.007	4.579	94.401	0.000	0.051	0.000	MSÚ (STR/GEO) - trvalá/dočasná - rovn. 6.10a a 6.10b
		Min	-0.029	-0.460	-5.151	0.000	-0.071	0.000	MSÚ (STR/GEO) - trvalá/dočasná - rovn. 6.10a a 6.10b
		Max P <sub>x</sub>	0.007	2.964	62.290	0.000	-0.071	0.000	KZ 196
		Min P <sub>x</sub>	-0.029	2.187	49.512	0.000	0.051	0.000	KZ 241
		Max P <sub>y</sub>	0.005	4.579	94.401	0.000	-0.051	0.000	KZ 145
		Min P <sub>y</sub>	0.006	-0.460	-5.151	0.000	-0.060	0.000	KZ 183
		Max P <sub>z</sub>	0.005	4.579	94.401	0.000	-0.051	0.000	KZ 145
		Min P <sub>z</sub>	0.006	-0.460	-5.151	0.000	-0.060	0.000	KZ 183
		Max M <sub>x</sub>	0.002	0.512	14.623	0.000	-0.011	0.000	KZ 1
		Min M <sub>x</sub>	0.002	0.512	14.623	0.000	-0.011	0.000	KZ 1
		Max M <sub>y</sub>	-0.029	2.187	49.512	0.000	0.051	0.000	KZ 241
		Min M <sub>y</sub>	0.007	2.964	62.290	0.000	-0.071	0.000	KZ 196
		Max M <sub>z</sub>	0.002	0.512	14.623	0.000	-0.011	0.000	KZ 1
		Min M <sub>z</sub>	0.002	0.512	14.623	0.000	-0.011	0.000	KZ 1
	KV2	Max	0.005	3.152	65.474	0.000	0.031	0.000	MSP - charakteristická
		Min	-0.019	-0.218	-0.906	0.000	-0.047	0.000	MSP - charakteristická
		Max P <sub>x</sub>	0.005	2.069	44.059	0.000	-0.047	0.000	KZ 527
		Min P <sub>x</sub>	-0.019	0.278	10.741	0.000	0.031	0.000	KZ 608
		Max P <sub>y</sub>	0.004	3.152	65.474	0.000	-0.033	0.000	KZ 476
		Min P <sub>y</sub>	0.005	-0.218	-0.906	0.000	-0.042	0.000	KZ 514
		Max P <sub>z</sub>	0.004	3.152	65.474	0.000	-0.033	0.000	KZ 476
		Min P <sub>z</sub>	0.005	-0.218	-0.906	0.000	-0.042	0.000	KZ 514
		Max M <sub>x</sub>	0.002	0.380	10.832	0.000	-0.008	0.000	KZ 435
		Min M <sub>x</sub>	0.002	0.380	10.832	0.000	-0.008	0.000	KZ 435
		Max M <sub>y</sub>	-0.019	1.546	35.539	0.000	0.031	0.000	KZ 572
		Min M <sub>y</sub>	0.005	2.069	44.059	0.000	-0.047	0.000	KZ 527
		Max M <sub>z</sub>	0.002	0.380	10.832	0.000	-0.008	0.000	KZ 435
		Min M <sub>z</sub>	0.002	0.380	10.832	0.000	-0.008	0.000	KZ 435
	KV3	Max	0.002	0.382	10.833	0.000	-0.007	0.000	MSP - kvazistálá
		Min	0.002	0.380	10.832	0.000	-0.008	0.000	MSP - kvazistálá
		Max P <sub>x</sub>	0.002	0.380	10.832	0.000	-0.008	0.000	KZ 766
		Min P <sub>x</sub>	0.002	0.382	10.833	0.000	-0.007	0.000	KZ 767
		Max P <sub>y</sub>	0.002	0.382	10.833	0.000	-0.007	0.000	KZ 767
		Min P <sub>y</sub>	0.002	0.380	10.832	0.000	-0.008	0.000	KZ 766
		Max P <sub>z</sub>	0.002	0.382	10.833	0.000	-0.007	0.000	KZ 767
		Min P <sub>z</sub>	0.002	0.380	10.832	0.000	-0.008	0.000	KZ 766
		Max M <sub>x</sub>	0.002	0.380	10.832	0.000	-0.008	0.000	KZ 766
		Min M <sub>x</sub>	0.002	0.380	10.832	0.000	-0.008	0.000	KZ 766
		Max M <sub>y</sub>	0.002	0.382	10.833	0.000	-0.007	0.000	KZ 767
		Min M <sub>y</sub>	0.002	0.380	10.832	0.000	-0.008	0.000	KZ 766
		Max M <sub>z</sub>	0.002	0.380	10.832	0.000	-0.008	0.000	KZ 766
		Min M <sub>z</sub>	0.002	0.380	10.832	0.000	-0.008	0.000	KZ 766
599	KV1	Max	0.008	5.168	109.113	0.000	0.091	0.000	MSÚ (STR/GEO) - trvalá/dočasná - rovn. 6.10a a 6.10b
		Min	-0.036	-0.534	-6.498	0.000	-0.073	0.000	MSÚ (STR/GEO) - trvalá/dočasná - rovn. 6.10a a 6.10b
		Max P <sub>x</sub>	0.008	-0.533	-6.497	0.000	-0.063	0.000	KZ 219
		Min P <sub>x</sub>	-0.036	0.329	13.818	0.000	0.059	0.000	KZ 277
		Max P <sub>y</sub>	-0.007	5.168	109.113	0.000	-0.035	0.000	KZ 145
		Min P <sub>y</sub>	0.007	-0.534	-6.498	0.000	-0.061	0.000	KZ 183
		Max P <sub>z</sub>	-0.007	5.168	109.113	0.000	-0.035	0.000	KZ 145
		Min P <sub>z</sub>	0.007	-0.534	-6.498	0.000	-0.061	0.000	KZ 183
		Max M <sub>x</sub>	-0.013	0.568	16.378	0.000	0.010	0.000	KZ 1
		Min M <sub>x</sub>	-0.013	0.568	16.378	0.000	0.010	0.000	KZ 1
		Max M <sub>y</sub>	-0.034	2.626	57.137	0.000	0.091	0.000	KZ 233
		Min M <sub>y</sub>	0.007	3.342	71.821	0.000	-0.073	0.000	KZ 196
		Max M <sub>z</sub>	-0.013	0.568	16.378	0.000	0.010	0.000	KZ 1
		Min M <sub>z</sub>	-0.013	0.568	16.378	0.000	0.010	0.000	KZ 1
	KV2	Max	0.003	3.558	75.589	0.000	0.061	0.000	MSP - charakteristická
		Min	-0.026	-0.257	-1.501	0.000	-0.045	0.000	MSP - charakteristická
		Max P <sub>x</sub>	0.003	-0.256	-1.500	0.000	-0.040	0.000	KZ 550
		Min P <sub>x</sub>	-0.026	0.317	12.043	0.000	0.041	0.000	KZ 608
		Max P <sub>y</sub>	-0.007	3.558	75.589	0.000	-0.019	0.000	KZ 476
		Min P <sub>y</sub>	0.002	-0.257	-1.501	0.000	-0.039	0.000	KZ 514
		Max P <sub>z</sub>	-0.007	3.558	75.589	0.000	-0.019	0.000	KZ 476
		Min P <sub>z</sub>	0.002	-0.257	-1.501	0.000	-0.039	0.000	KZ 514
		Max M <sub>x</sub>	-0.010	0.421	12.132	0.000	0.007	0.000	KZ 435
		Min M <sub>x</sub>	-0.010	0.421	12.132	0.000	0.007	0.000	KZ 435
		Max M <sub>y</sub>	-0.025	1.852	40.926	0.000	0.061	0.000	KZ 564
		Min M <sub>y</sub>	0.003	2.332	50.718	0.000	-0.045	0.000	KZ 527
		Max M <sub>z</sub>	-0.010	0.421	12.132	0.000	0.007	0.000	KZ 435
		Min M <sub>z</sub>	-0.010	0.421	12.132	0.000	0.007	0.000	KZ 435
	KV3	Max	-0.010	0.424	12.136	0.000	0.014	0.000	MSP - kvazistálá
		Min	-0.014	0.421	12.132	0.000	0.007	0.000	MSP - kvazistálá



Projekt:

Model: HOŘICE-KONSTRUKCE\_3D\_Budova\_redukováne ..

## 4.1 UZLY - PODPOROVÉ SÍLY

Kombinace výsledků

Uzel č.	KV	Podporové síly [kN]					Podporové momenty [kNm]			
			P <sub>x</sub>	P <sub>y</sub>	P <sub>z</sub>		M <sub>x</sub>	M <sub>y</sub>	M <sub>z</sub>	
599		Max P <sub>x</sub>	▷ -0.010	0.421	12.132		0.000	0.007	0.000	KZ 766
		Min P <sub>x</sub>	▷ -0.014	0.424	12.136		0.000	0.014	0.000	KZ 767
		Max P <sub>y</sub>	▷ -0.014	▷ 0.424	12.136		0.000	0.014	0.000	KZ 767
		Min P <sub>y</sub>	▷ -0.010	▷ 0.421	12.132		0.000	0.007	0.000	KZ 766
		Max P <sub>z</sub>	▷ -0.014	0.424	▷ 12.136		0.000	0.014	0.000	KZ 767
		Min P <sub>z</sub>	▷ -0.010	0.421	▷ 12.132		0.000	0.007	0.000	KZ 766
		Max M <sub>x</sub>	▷ -0.010	0.421	12.132	▷	0.000	0.007	0.000	KZ 766
		Min M <sub>x</sub>	▷ -0.010	0.421	12.132	▷	0.000	0.007	0.000	KZ 766
		Max M <sub>y</sub>	▷ -0.014	0.424	12.136		0.000	▷ 0.014	0.000	KZ 767
		Min M <sub>y</sub>	▷ -0.010	0.421	12.132		0.000	▷ 0.007	0.000	KZ 766
		Max M <sub>z</sub>	▷ -0.010	0.421	12.132		0.000	0.007	▷ 0.000	KZ 766
		Min M <sub>z</sub>	▷ -0.010	0.421	12.132		0.000	0.007	▷ 0.000	KZ 766
602	KV1	Max	0.039	5.428	113.657		0.000	0.046	0.000	MSÚ (STR/GEO) - trvalá/dočasná - rovn. 6.10a a 6.10b
		Min	-0.002	-0.597	-6.918		0.000	-0.113	0.000	MSÚ (STR/GEO) - trvalá/dočasná - rovn. 6.10a a 6.10b
		Max P <sub>x</sub>	▷ 0.039	-0.589	-6.906		0.000	-0.102	0.000	KZ 255
		Min P <sub>x</sub>	▷ -0.002	0.309	14.247		0.000	0.013	0.000	KZ 194
		Max P <sub>y</sub>	▷ 0.031	▷ 5.428	113.657		0.000	-0.086	0.000	KZ 145
		Min P <sub>y</sub>	▷ 0.032	▷ -0.597	-6.918		0.000	-0.094	0.000	KZ 183
		Max P <sub>z</sub>	▷ 0.031	▷ 5.428	▷ 113.657		0.000	-0.086	0.000	KZ 145
		Min P <sub>z</sub>	▷ 0.032	▷ -0.597	▷ -6.918		0.000	-0.094	0.000	KZ 183
		Max M <sub>x</sub>	0.017	0.565	16.911	▷	0.000	-0.030	0.000	KZ 1
		Min M <sub>x</sub>	0.017	0.565	16.911	▷	0.000	-0.030	0.000	KZ 1
		Max M <sub>y</sub>	-0.002	2.732	59.439		0.000	▷ 0.046	0.000	KZ 197
		Min M <sub>y</sub>	0.038	3.505	74.768		0.000	▷ -0.113	0.000	KZ 232
		Max M <sub>z</sub>	0.017	0.565	16.911		0.000	-0.030	▷ 0.000	KZ 1
		Min M <sub>z</sub>	0.017	0.565	16.911		0.000	-0.030	▷ 0.000	KZ 1
	KV2	Max	0.029	3.733	78.712		0.000	0.024	0.000	MSP - charakteristická
		Min	0.001	-0.299	-1.688		0.000	-0.078	0.000	MSP - charakteristická
		Max P <sub>x</sub>	▷ 0.029	-0.295	-1.681		0.000	-0.074	0.000	KZ 586
		Min P <sub>x</sub>	▷ 0.001	0.304	12.421		0.000	0.004	0.000	KZ 525
		Max P <sub>y</sub>	▷ 0.024	▷ 3.733	78.712		0.000	-0.060	0.000	KZ 476
		Min P <sub>y</sub>	▷ 0.024	▷ -0.299	-1.688		0.000	-0.068	0.000	KZ 514
		Max P <sub>z</sub>	▷ 0.024	▷ 3.733	▷ 78.712		0.000	-0.060	0.000	KZ 476
		Min P <sub>z</sub>	▷ 0.024	▷ -0.299	▷ -1.688		0.000	-0.068	0.000	KZ 514
		Max M <sub>x</sub>	0.012	0.419	12.527	▷	0.000	-0.022	0.000	KZ 435
		Min M <sub>x</sub>	0.012	0.419	12.527	▷	0.000	-0.022	0.000	KZ 435
		Max M <sub>y</sub>	0.002	1.923	42.554		0.000	▷ 0.024	0.000	KZ 528
		Min M <sub>y</sub>	0.028	2.441	52.776		0.000	▷ -0.078	0.000	KZ 563
		Max M <sub>z</sub>	0.012	0.419	12.527		0.000	-0.022	▷ 0.000	KZ 435
		Min M <sub>z</sub>	0.012	0.419	12.527		0.000	-0.022	▷ 0.000	KZ 435
	KV3	Max	0.016	0.423	12.533		0.000	-0.022	0.000	MSP - kvazistálá
		Min	0.012	0.419	12.527		0.000	-0.026	0.000	MSP - kvazistálá
		Max P <sub>x</sub>	▷ 0.016	0.423	12.533		0.000	-0.026	0.000	KZ 767
		Min P <sub>x</sub>	▷ 0.012	0.419	12.527		0.000	-0.022	0.000	KZ 766
		Max P <sub>y</sub>	▷ 0.016	▷ 0.423	12.533		0.000	-0.026	0.000	KZ 767
		Min P <sub>y</sub>	▷ 0.012	▷ 0.419	12.527		0.000	-0.022	0.000	KZ 766
		Max P <sub>z</sub>	▷ 0.016	0.423	▷ 12.533		0.000	-0.026	0.000	KZ 767
		Min P <sub>z</sub>	▷ 0.012	0.419	▷ 12.527		0.000	-0.022	0.000	KZ 766
		Max M <sub>x</sub>	0.012	0.419	12.527	▷	0.000	-0.022	0.000	KZ 766
		Min M <sub>x</sub>	0.012	0.419	12.527	▷	0.000	-0.022	0.000	KZ 766
		Max M <sub>y</sub>	0.012	0.419	12.527		0.000	▷ -0.022	0.000	KZ 766
		Min M <sub>y</sub>	0.016	0.423	12.533		0.000	▷ -0.026	0.000	KZ 767
		Max M <sub>z</sub>	0.012	0.419	12.527		0.000	-0.022	▷ 0.000	KZ 766
		Min M <sub>z</sub>	0.012	0.419	12.527		0.000	-0.022	▷ 0.000	KZ 766
605	KV1	Max	0.040	6.190	124.525		0.000	0.030	0.000	MSÚ (STR/GEO) - trvalá/dočasná - rovn. 6.10a a 6.10b
		Min	-0.027	-0.125	-7.498		0.000	-0.042	0.000	MSÚ (STR/GEO) - trvalá/dočasná - rovn. 6.10a a 6.10b
		Max P <sub>x</sub>	▷ 0.040	0.718	15.602		0.000	-0.042	0.000	KZ 193
		Min P <sub>x</sub>	▷ -0.027	4.186	81.951		0.000	-0.026	0.000	KZ 232
		Max P <sub>y</sub>	▷ -0.020	▷ 6.190	124.521		0.000	-0.018	0.000	KZ 145
		Min P <sub>y</sub>	▷ -0.025	▷ -0.125	-7.493		0.000	-0.019	0.000	KZ 183
		Max P <sub>z</sub>	▷ -0.019	▷ 6.190	▷ 124.525		0.000	-0.020	0.000	KZ 109
		Min P <sub>z</sub>	▷ -0.025	▷ -0.124	-7.498		0.000	-0.018	0.000	KZ 267
		Max M <sub>x</sub>	-0.005	1.111	18.554	▷	0.000	0.000	0.000	KZ 1
		Min M <sub>x</sub>	-0.005	1.111	18.554	▷	0.000	0.000	0.000	KZ 1
		Max M <sub>y</sub>	0.011	3.398	65.192		0.000	▷ 0.030	0.000	KZ 233
		Min M <sub>y</sub>	0.039	0.681	15.566		0.000	▷ -0.042	0.000	KZ 230
		Max M <sub>z</sub>	-0.005	1.111	18.554		0.000	0.000	▷ 0.000	KZ 1
		Min M <sub>z</sub>	-0.005	1.111	18.554		0.000	0.000	▷ 0.000	KZ 1
	KV2	Max	0.026	4.350	86.245		0.000	0.019	0.000	MSP - charakteristická
		Min	-0.019	0.108	-1.792		0.000	-0.028	0.000	MSP - charakteristická
		Max P <sub>x</sub>	▷ 0.026	0.672	13.608		0.000	-0.028	0.000	KZ 524
		Min P <sub>x</sub>	▷ -0.019	3.000	57.849		0.000	-0.016	0.000	KZ 563
		Max P <sub>y</sub>	▷ -0.014	▷ 4.350	86.242		0.000	-0.010	0.000	KZ 476
		Min P <sub>y</sub>	▷ -0.018	▷ 0.108	-1.789		0.000	-0.013	0.000	KZ 514
		Max P <sub>z</sub>	▷ -0.014	▷ 4.350	▷ 86.245		0.000	-0.012	0.000	KZ 440
		Min P <sub>z</sub>	▷ -0.018	▷ 0.108	-1.792		0.000	-0.012	0.000	KZ 598
		Max M <sub>x</sub>	-0.004	0.825	13.742	▷	0.000	0.000	0.000	KZ 435
		Min M <sub>x</sub>	-0.004	0.825	13.742	▷	0.000	0.000	0.000	KZ 435
		Max M <sub>y</sub>	0.006	2.470	46.673		0.000	▷ 0.019	0.000	KZ 564



Projekt:

Model: HOŘICE-KONSTRUKCE\_3D\_Budova\_redukováne ..

## 4.1 UZLY - PODPOROVÉ SÍLY

Kombinace výsledků

Uzel	Podporové síly [kN]						Podporové momenty [kNm]			Rozměry výseku		
č.	KV		P <sub>x</sub>	P <sub>y</sub>	P <sub>z</sub>	M <sub>x</sub>	M <sub>y</sub>	M <sub>z</sub>				
605	KV3	Min M <sub>y</sub>	0.025	2.259	46.481	0.000	▷	-0.028	0.000	KZ 537		
		Max M <sub>z</sub>	-0.004	0.825	13.742	0.000		0.000	▷	0.000	KZ 435	
		Min M <sub>z</sub>	-0.004	0.825	13.742	0.000		0.000	▷	0.000	KZ 435	
		Max	-0.004	0.825	13.742	0.000		0.001		0.000	MSP - kvazistálá	
		Min	-0.004	0.825	13.740	0.000		0.000		0.000	MSP - kvazistálá	
		Max P <sub>x</sub>	▷	-0.004	0.825	13.742	0.000		0.000	0.000	KZ 766	
		Min P <sub>x</sub>	▷	-0.004	0.825	13.740	0.000		0.001	0.000	KZ 767	
		Max P <sub>y</sub>	▷	-0.004	0.825	13.740	0.000		0.001	0.000	KZ 767	
		Min P <sub>y</sub>	▷	-0.004	0.825	13.742	0.000		0.000	0.000	KZ 766	
		Max P <sub>z</sub>	▷	-0.004	0.825	▷	13.742	0.000		0.000	0.000	KZ 766
		Min P <sub>z</sub>	▷	-0.004	0.825	▷	13.740	0.000		0.001	0.000	KZ 767
		Max M <sub>x</sub>	-0.004	0.825	13.742	▷	0.000		0.000	0.000	KZ 766	
		Min M <sub>x</sub>	-0.004	0.825	13.742	▷	0.000		0.000	0.000	KZ 766	
		Max M <sub>y</sub>	-0.004	0.825	13.740	0.000	▷		0.001	0.000	KZ 767	
		Min M <sub>y</sub>	-0.004	0.825	13.742	0.000	▷		0.000	0.000	KZ 766	
		Max M <sub>z</sub>	-0.004	0.825	13.742	0.000		▷	0.000	▷	0.000	KZ 766
		Min M <sub>z</sub>	-0.004	0.825	13.742	0.000		▷	0.000	▷	0.000	KZ 766
608	KV1	Max	0.013	2.326	58.798	0.000		0.089	0.000	MSÚ (STR/GEO) - trvalá/dočasná - rovn. 6.10a a 6.10b		
		Min	-0.054	-0.433	-7.859	0.000		-0.112	0.000	MSÚ (STR/GEO) - trvalá/dočasná - rovn. 6.10a a 6.10b		
	KV2	Max P <sub>x</sub>	▷	0.013	1.627	42.200	0.000		-0.112	0.000	KZ 196	
		Min P <sub>x</sub>	▷	-0.054	1.044	29.957	0.000		0.089	0.000	KZ 242	
		Max P <sub>y</sub>	▷	0.010	2.326	58.795	0.000		-0.079	0.000	KZ 145	
		Min P <sub>y</sub>	▷	0.010	-0.433	-7.856	0.000		-0.093	0.000	KZ 183	
		Max P <sub>z</sub>	▷	0.011	2.324	▷	58.798	0.000		-0.082	0.000	KZ 109
		Min P <sub>z</sub>	▷	0.010	-0.431	▷	-7.859	0.000		-0.092	0.000	KZ 255
		Max M <sub>x</sub>	0.004	0.278	10.079	▷	0.000		-0.016	0.000	KZ 1	
		Min M <sub>x</sub>	0.004	0.278	10.079	▷	0.000		-0.016	0.000	KZ 1	
		Max M <sub>y</sub>	-0.054	1.063	29.977	0.000	▷		0.089	0.000	KZ 241	
		Min M <sub>y</sub>	0.013	1.627	42.200	0.000	▷		-0.112	0.000	KZ 196	
		Max M <sub>z</sub>	0.004	0.278	10.079	0.000	▷		-0.016	▷	0.000	KZ 1
		Min M <sub>z</sub>	0.004	0.278	10.079	0.000		▷	-0.016	▷	0.000	KZ 1
		Max	0.009	1.605	40.948	0.000			0.056	0.000	MSP - charakteristická	
		Min	-0.035	-0.240	-3.497	0.000			-0.074	0.000	MSP - charakteristická	
		Max P <sub>x</sub>	▷	0.009	1.136	29.878	0.000		-0.074	0.000	KZ 527	
		Min P <sub>x</sub>	▷	-0.035	0.743	21.715	0.000		0.056	0.000	KZ 573	
		Max P <sub>y</sub>	▷	0.007	1.605	40.946	0.000		-0.052	0.000	KZ 476	
		Min P <sub>y</sub>	▷	0.007	-0.240	-3.495	0.000		-0.065	0.000	KZ 514	
		Max P <sub>z</sub>	▷	0.007	1.604	▷	40.948	0.000		-0.054	0.000	KZ 440
		Min P <sub>z</sub>	▷	0.007	-0.239	▷	-3.497	0.000		-0.065	0.000	KZ 586
	Max M <sub>x</sub>	0.003	0.206	7.466	▷	0.000		-0.012	0.000	KZ 435		
	Min M <sub>x</sub>	0.003	0.206	7.466	▷	0.000		-0.012	0.000	KZ 435		
	Max M <sub>y</sub>	-0.035	0.757	21.728	0.000	▷		0.056	0.000	KZ 572		
	Min M <sub>y</sub>	0.009	1.136	29.878	0.000	▷		-0.074	0.000	KZ 527		
	Max M <sub>z</sub>	0.003	0.206	7.466	0.000		▷	-0.012	▷	0.000	KZ 435	
	Min M <sub>z</sub>	0.003	0.206	7.466	0.000			-0.012	▷	0.000	KZ 435	
	KV3	Max	0.003	0.207	7.466	0.000			-0.011	0.000	MSP - kvazistálá	
		Min	0.003	0.206	7.464	0.000			-0.012	0.000	MSP - kvazistálá	
		Max P <sub>x</sub>	▷	0.003	0.206	7.466	0.000		-0.012	0.000	KZ 766	
		Min P <sub>x</sub>	▷	0.003	0.207	7.464	0.000		-0.011	0.000	KZ 767	
		Max P <sub>y</sub>	▷	0.003	0.207	7.464	0.000		-0.011	0.000	KZ 767	
		Min P <sub>y</sub>	▷	0.003	0.206	7.466	0.000		-0.012	0.000	KZ 766	
		Max P <sub>z</sub>	0.003	0.206	▷	7.466	0.000		-0.012	0.000	KZ 766	
		Min P <sub>z</sub>	0.003	0.207	▷	7.464	0.000		-0.011	0.000	KZ 767	
		Max M <sub>x</sub>	0.003	0.206	7.466	▷	0.000		-0.012	0.000	KZ 766	
		Min M <sub>x</sub>	0.003	0.206	7.466	▷	0.000		-0.012	0.000	KZ 766	
	Max M <sub>y</sub>	0.003	0.207	7.464	0.000	▷		-0.011	0.000	KZ 767		
	Min M <sub>y</sub>	0.003	0.206	7.466	0.000	▷		-0.012	0.000	KZ 766		
	Max M <sub>z</sub>	0.003	0.206	7.466	0.000		▷	-0.012	▷	0.000	KZ 766	
	Min M <sub>z</sub>	0.003	0.206	7.466	0.000			-0.012	▷	0.000	KZ 766	
611	KV1	Max	0.015	5.129	111.829	0.000		0.078	0.000	MSÚ (STR/GEO) - trvalá/dočasná - rovn. 6.10a a 6.10b		
		Min	-0.027	-0.799	-12.784	0.000		-0.082	0.000	MSÚ (STR/GEO) - trvalá/dočasná - rovn. 6.10a a 6.10b		
	KV2	Max P <sub>x</sub>	▷	0.015	-0.798	-12.782	0.000		-0.072	0.000	KZ 219	
		Min P <sub>x</sub>	▷	-0.027	0.332	13.814	0.000		0.047	0.000	KZ 277	
		Max P <sub>y</sub>	▷	0.002	5.129	111.829	0.000		-0.047	0.000	KZ 145	
		Min P <sub>y</sub>	▷	0.014	-0.799	-12.784	0.000		-0.071	0.000	KZ 183	
		Max P <sub>z</sub>	▷	0.002	5.129	▷	111.829	0.000		-0.047	0.000	KZ 145
		Min P <sub>z</sub>	▷	0.014	-0.799	▷	-12.784	0.000		-0.071	0.000	KZ 183
		Max M <sub>x</sub>	-0.005	0.557	16.356	▷	0.000		-0.001	0.000	KZ 1	
		Min M <sub>x</sub>	-0.005	0.557	16.356	▷	0.000		-0.001	0.000	KZ 1	
		Max M <sub>y</sub>	-0.025	2.544	57.024	0.000	▷		0.078	0.000	KZ 233	
		Min M <sub>y</sub>	0.014	3.458	76.558	0.000	▷		-0.082	0.000	KZ 196	
		Max M <sub>z</sub>	-0.005	0.557	16.356	0.000		▷	-0.001	▷	0.000	KZ 1
		Min M <sub>z</sub>	-0.005	0.557	16.356	0.000			-0.001	▷	0.000	KZ 1
		Max	0.009	3.532	77.396	0.000			0.050	0.000	MSP - charakteristická	
		Min	-0.019	-0.436	-5.695	0.000			-0.053	0.000	MSP - charakteristická	
		Max P <sub>x</sub>	▷	0.009	-0.435	-5.694	0.000		-0.048	0.000	KZ 550	
		Min P <sub>x</sub>	▷	-0.019	0.318	12.037	0.000		0.031	0.000	KZ 608	
		Max P <sub>y</sub>	▷	0.001	3.532	77.396	0.000		-0.030	0.000	KZ 476	
		Min P <sub>y</sub>	▷	0.009	-0.436	-5.695	0.000		-0.047	0.000	KZ 514	



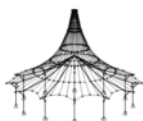
Projekt:

Model: HOŘICE-KONSTRUKCE\_3D\_Budova\_redukováne ..

## 4.1 UZLY - PODPOROVÉ SÍLY

Kombinace výsledků

Uzel č.	KV		Podporové síly [kN]			Podporové momenty [kNm]			
			P <sub>x</sub>	P <sub>y</sub>	P <sub>z</sub>	M <sub>x</sub>	M <sub>y</sub>	M <sub>z</sub>	
611	KV3	Max P <sub>z</sub>	0.001	3.532	77.396	0.000	-0.030	0.000	KZ 476
		Min P <sub>z</sub>	0.009	-0.436	-5.695	0.000	-0.047	0.000	KZ 514
		Max M <sub>x</sub>	-0.003	0.413	12.116	0.000	-0.001	0.000	KZ 435
		Min M <sub>x</sub>	-0.003	0.413	12.116	0.000	-0.001	0.000	KZ 435
		Max M <sub>y</sub>	-0.017	1.796	40.847	0.000	0.050	0.000	KZ 564
		Min M <sub>y</sub>	0.009	2.408	53.873	0.000	-0.053	0.000	KZ 527
		Max M <sub>z</sub>	-0.003	0.413	12.116	0.000	-0.001	0.000	KZ 435
		Min M <sub>z</sub>	-0.003	0.413	12.116	0.000	-0.001	0.000	KZ 435
		Max	-0.003	0.417	12.121	0.000	0.004	0.000	MSP - kvazistálá
		Min	-0.006	0.413	12.116	0.000	-0.001	0.000	MSP - kvazistálá
		Max P <sub>x</sub>	-0.003	0.413	12.116	0.000	-0.001	0.000	KZ 766
		Min P <sub>x</sub>	-0.006	0.417	12.121	0.000	0.004	0.000	KZ 767
		Max P <sub>y</sub>	-0.006	0.417	12.121	0.000	0.004	0.000	KZ 767
		Min P <sub>y</sub>	-0.003	0.413	12.116	0.000	-0.001	0.000	KZ 766
		Max P <sub>z</sub>	-0.006	0.417	12.121	0.000	0.004	0.000	KZ 767
		Min P <sub>z</sub>	-0.003	0.413	12.116	0.000	-0.001	0.000	KZ 766
		Max M <sub>x</sub>	-0.003	0.413	12.116	0.000	-0.001	0.000	KZ 766
		Min M <sub>x</sub>	-0.003	0.413	12.116	0.000	-0.001	0.000	KZ 766
		Max M <sub>y</sub>	-0.006	0.417	12.121	0.000	0.004	0.000	KZ 767
		Min M <sub>y</sub>	-0.003	0.413	12.116	0.000	-0.001	0.000	KZ 766
		Max M <sub>z</sub>	-0.003	0.413	12.116	0.000	-0.001	0.000	KZ 766
		Min M <sub>z</sub>	-0.003	0.413	12.116	0.000	-0.001	0.000	KZ 766
614	KV1	Max	0.039	5.133	109.084	0.000	0.047	0.000	MSÚ (STR/GEO) - trvalá/dočasná - rovn. 6.10a a 6.10b
		Min	-0.005	-0.556	-6.534	0.000	-0.113	0.000	MSÚ (STR/GEO) - trvalá/dočasná - rovn. 6.10a a 6.10b
	KV2	Max P <sub>x</sub>	0.039	-0.547	-6.522	0.000	-0.103	0.000	KZ 255
		Min P <sub>x</sub>	-0.005	0.321	13.799	0.000	0.017	0.000	KZ 193
		Max P <sub>y</sub>	0.032	5.133	109.084	0.000	-0.087	0.000	KZ 145
		Min P <sub>y</sub>	0.031	-0.556	-6.534	0.000	-0.093	0.000	KZ 183
		Max P <sub>z</sub>	0.032	5.133	109.084	0.000	-0.087	0.000	KZ 145
		Min P <sub>z</sub>	0.031	-0.556	-6.534	0.000	-0.093	0.000	KZ 183
		Max M <sub>x</sub>	0.015	0.564	16.362	0.000	-0.028	0.000	KZ 1
		Min M <sub>x</sub>	0.015	0.564	16.362	0.000	-0.028	0.000	KZ 1
		Max M <sub>y</sub>	-0.003	2.597	57.100	0.000	0.047	0.000	KZ 197
		Min M <sub>y</sub>	0.039	3.343	71.820	0.000	-0.113	0.000	KZ 232
		Max M <sub>z</sub>	0.015	0.564	16.362	0.000	-0.028	0.000	KZ 1
		Min M <sub>z</sub>	0.015	0.564	16.362	0.000	-0.028	0.000	KZ 1
		Max	0.028	3.535	75.567	0.000	0.026	0.000	MSP - charakteristická
		Min	-0.001	-0.273	-1.527	0.000	-0.078	0.000	MSP - charakteristická
		Max P <sub>x</sub>	0.028	-0.267	-1.520	0.000	-0.073	0.000	KZ 586
		Min P <sub>x</sub>	-0.001	0.311	12.028	0.000	0.006	0.000	KZ 524
		Max P <sub>y</sub>	0.024	3.535	75.567	0.000	-0.060	0.000	KZ 476
		Min P <sub>y</sub>	0.023	-0.273	-1.527	0.000	-0.067	0.000	KZ 514
		Max P <sub>z</sub>	0.024	3.535	75.567	0.000	-0.060	0.000	KZ 476
		Min P <sub>z</sub>	0.023	-0.273	-1.527	0.000	-0.067	0.000	KZ 514
		Max M <sub>x</sub>	0.011	0.418	12.120	0.000	-0.020	0.000	KZ 435
		Min M <sub>x</sub>	0.011	0.418	12.120	0.000	-0.020	0.000	KZ 435
		Max M <sub>y</sub>	0.001	1.832	40.899	0.000	0.026	0.000	KZ 528
		Min M <sub>y</sub>	0.028	2.332	50.715	0.000	-0.078	0.000	KZ 563
		Max M <sub>z</sub>	0.011	0.418	12.120	0.000	-0.020	0.000	KZ 435
		Min M <sub>z</sub>	0.011	0.418	12.120	0.000	-0.020	0.000	KZ 435
	KV3	Max	0.016	0.422	12.126	0.000	-0.020	0.000	MSP - kvazistálá
		Min	0.011	0.418	12.120	0.000	-0.025	0.000	MSP - kvazistálá
		Max P <sub>x</sub>	0.016	0.422	12.126	0.000	-0.025	0.000	KZ 767
		Min P <sub>x</sub>	0.011	0.418	12.120	0.000	-0.020	0.000	KZ 766
		Max P <sub>y</sub>	0.016	0.422	12.126	0.000	-0.025	0.000	KZ 767
		Min P <sub>y</sub>	0.011	0.418	12.120	0.000	-0.020	0.000	KZ 766
		Max P <sub>z</sub>	0.016	0.422	12.126	0.000	-0.025	0.000	KZ 767
		Min P <sub>z</sub>	0.011	0.418	12.120	0.000	-0.020	0.000	KZ 766
		Max M <sub>x</sub>	0.011	0.418	12.120	0.000	-0.020	0.000	KZ 766
		Min M <sub>x</sub>	0.011	0.418	12.120	0.000	-0.020	0.000	KZ 766
		Max M <sub>y</sub>	0.011	0.418	12.120	0.000	-0.020	0.000	KZ 766
		Min M <sub>y</sub>	0.016	0.422	12.126	0.000	-0.025	0.000	KZ 767
		Max M <sub>z</sub>	0.011	0.418	12.120	0.000	-0.020	0.000	KZ 766
		Min M <sub>z</sub>	0.011	0.418	12.120	0.000	-0.020	0.000	KZ 766
		Max	0.007	4.578	94.411	0.000	0.051	0.000	MSÚ (STR/GEO) - trvalá/dočasná - rovn. 6.10a a 6.10b
		Min	-0.029	-0.460	-5.140	0.000	-0.071	0.000	MSÚ (STR/GEO) - trvalá/dočasná - rovn. 6.10a a 6.10b
		Max P <sub>x</sub>	0.007	2.965	62.301	0.000	-0.071	0.000	KZ 196
		Min P <sub>x</sub>	-0.029	2.188	49.524	0.000	0.051	0.000	KZ 241
617	KV1	Max P <sub>y</sub>	0.005	4.578	94.411	0.000	-0.050	0.000	KZ 145
		Min P <sub>y</sub>	0.006	-0.460	-5.140	0.000	-0.060	0.000	KZ 183
		Max P <sub>z</sub>	0.005	4.578	94.411	0.000	-0.050	0.000	KZ 145
		Min P <sub>z</sub>	0.006	-0.460	-5.140	0.000	-0.060	0.000	KZ 183
		Max M <sub>x</sub>	0.002	0.514	14.636	0.000	-0.011	0.000	KZ 1
		Min M <sub>x</sub>	0.002	0.514	14.636	0.000	-0.011	0.000	KZ 1
		Max M <sub>y</sub>	-0.029	2.188	49.524	0.000	0.051	0.000	KZ 241
		Min M <sub>y</sub>	0.007	2.965	62.301	0.000	-0.071	0.000	KZ 196
		Max M <sub>z</sub>	0.002	0.514	14.636	0.000	-0.011	0.000	KZ 1
		Min M <sub>z</sub>	0.002	0.514	14.636	0.000	-0.011	0.000	KZ 1
	KV2	Max	0.005	3.152	65.483	0.000	0.032	0.000	MSP - charakteristická



Projekt:

Model: HOŘICE-KONSTRUKCE\_3D\_Budova\_redukováne ..

## 4.1 UZLY - PODPOROVÉ SÍLY

Kombinace výsledků

Uzel č.	KV		Podporové síly [kN]			Podporové momenty [kNm]			
			P <sub>x</sub>	P <sub>y</sub>	P <sub>z</sub>	M <sub>x</sub>	M <sub>y</sub>	M <sub>z</sub>	
617	KV3	Min	-0.019	-0.217	-0.897	0.000	-0.047	0.000	MSP - charakteristická
		Max P <sub>x</sub>	0.005	2.070	44.068	0.000	-0.047	0.000	KZ 527
		Min P <sub>x</sub>	-0.019	1.547	35.548	0.000	0.032	0.000	KZ 572
		Max P <sub>y</sub>	0.004	3.152	65.483	0.000	-0.033	0.000	KZ 476
		Min P <sub>y</sub>	0.005	-0.217	-0.897	0.000	-0.042	0.000	KZ 514
		Max P <sub>z</sub>	0.004	3.152	65.483	0.000	-0.033	0.000	KZ 476
		Min P <sub>z</sub>	0.005	-0.217	-0.897	0.000	-0.042	0.000	KZ 514
		Max M <sub>x</sub>	0.002	0.381	10.841	0.000	-0.008	0.000	KZ 435
		Min M <sub>x</sub>	0.002	0.381	10.841	0.000	-0.008	0.000	KZ 435
		Max M <sub>y</sub>	-0.019	1.547	35.548	0.000	0.032	0.000	KZ 572
		Min M <sub>y</sub>	0.005	2.070	44.068	0.000	-0.047	0.000	KZ 527
		Max M <sub>z</sub>	0.002	0.381	10.841	0.000	-0.008	0.000	KZ 435
		Min M <sub>z</sub>	0.002	0.381	10.841	0.000	-0.008	0.000	KZ 435
		Max	0.002	0.383	10.843	0.000	-0.007	0.000	MSP - kvazistálá
		Min	0.002	0.381	10.841	0.000	-0.008	0.000	MSP - kvazistálá
		Max P <sub>x</sub>	0.002	0.381	10.841	0.000	-0.008	0.000	KZ 766
		Min P <sub>x</sub>	0.002	0.383	10.843	0.000	-0.007	0.000	KZ 767
		Max P <sub>y</sub>	0.002	0.383	10.843	0.000	-0.007	0.000	KZ 767
		Min P <sub>y</sub>	0.002	0.381	10.841	0.000	-0.008	0.000	KZ 766
		Max P <sub>z</sub>	0.002	0.383	10.843	0.000	-0.007	0.000	KZ 767
		Min P <sub>z</sub>	0.002	0.381	10.841	0.000	-0.008	0.000	KZ 766
		Max M <sub>x</sub>	0.002	0.381	10.841	0.000	-0.008	0.000	KZ 766
		Min M <sub>x</sub>	0.002	0.381	10.841	0.000	-0.008	0.000	KZ 766
		Max M <sub>y</sub>	0.002	0.383	10.843	0.000	-0.007	0.000	KZ 767
		Min M <sub>y</sub>	0.002	0.381	10.841	0.000	-0.008	0.000	KZ 766
		Max M <sub>z</sub>	0.002	0.381	10.841	0.000	-0.008	0.000	KZ 766
		Min M <sub>z</sub>	0.002	0.381	10.841	0.000	-0.008	0.000	KZ 766
620	KV1	Max	4.630	22.476	258.780	126.045	-20.009	2.719	MSÚ (STR/GEO) - trvalá/dočasná - rovn. 6.10a a 6.10b
		Min	3.435	14.000	163.019	57.284	-33.581	2.135	MSÚ (STR/GEO) - trvalá/dočasná - rovn. 6.10a a 6.10b
		Max P <sub>x</sub>	4.630	20.605	210.127	107.641	-33.322	2.714	KZ 81
		Min P <sub>x</sub>	3.435	19.901	205.016	114.465	-20.071	2.136	KZ 235
		Max P <sub>y</sub>	4.264	22.476	204.889	125.649	-27.228	2.600	KZ 99
		Min P <sub>y</sub>	3.516	14.000	198.705	57.284	-21.087	2.268	KZ 206
		Max P <sub>z</sub>	3.936	17.418	258.780	91.064	-28.965	2.318	KZ 371
		Min P <sub>z</sub>	3.450	20.579	163.019	120.265	-20.021	2.136	KZ 188
		Max M <sub>x</sub>	4.253	22.474	227.805	126.045	-27.294	2.600	KZ 72
		Min M <sub>x</sub>	3.516	14.000	198.705	57.284	-21.087	2.268	KZ 206
		Max M <sub>y</sub>	3.449	20.579	163.019	120.270	-20.009	2.136	KZ 272
		Min M <sub>y</sub>	4.614	20.478	252.509	107.007	-33.581	2.717	KZ 5
		Max M <sub>z</sub>	4.618	20.688	244.943	108.951	-33.535	2.719	KZ 53
		Min M <sub>z</sub>	3.438	20.049	195.808	115.734	-20.064	2.135	KZ 225
	KV2	Max	3.484	17.351	210.023	99.439	-18.624	2.018	MSP - charakteristická
		Min	3.068	12.904	146.188	56.737	-25.421	1.889	MSP - charakteristická
		Max P <sub>x</sub>	3.484	15.265	153.096	79.289	-25.270	2.015	KZ 515
		Min P <sub>x</sub>	3.068	16.843	174.183	94.710	-18.670	1.889	KZ 566
		Max P <sub>y</sub>	3.071	17.351	162.551	99.439	-18.645	1.889	KZ 593
		Min P <sub>y</sub>	3.123	12.904	169.977	56.737	-19.343	1.978	KZ 537
		Max P <sub>z</sub>	3.403	15.187	210.023	79.129	-24.502	2.010	KZ 702
		Min P <sub>z</sub>	3.078	17.293	146.188	98.647	-18.632	1.889	KZ 519
		Max M <sub>x</sub>	3.071	17.351	162.551	99.439	-18.645	1.889	KZ 593
		Min M <sub>x</sub>	3.123	12.904	169.977	56.737	-19.343	1.978	KZ 537
	KV3	Max M <sub>y</sub>	3.077	17.294	146.188	98.650	-18.624	1.889	KZ 603
		Min M <sub>y</sub>	3.474	15.230	186.631	79.305	-25.421	2.017	KZ 526
		Max M <sub>z</sub>	3.476	15.372	181.589	80.625	-25.398	2.018	KZ 574
		Min M <sub>z</sub>	3.071	16.942	168.045	95.586	-18.664	1.889	KZ 556
		Max	3.331	15.296	160.751	79.671	-22.824	1.995	MSP - kvazistálá
		Min	3.331	15.296	160.751	79.668	-22.831	1.995	MSP - kvazistálá
		Max P <sub>x</sub>	3.331	15.296	160.751	79.668	-22.831	1.995	KZ 766
		Min P <sub>x</sub>	3.331	15.296	160.751	79.671	-22.824	1.995	KZ 767
		Max P <sub>y</sub>	3.331	15.296	160.751	79.671	-22.824	1.995	KZ 767
		Min P <sub>y</sub>	3.331	15.296	160.751	79.668	-22.831	1.995	KZ 766
622	KV1	Max P <sub>z</sub>	3.331	15.296	160.751	79.671	-22.824	1.995	KZ 767
		Min P <sub>z</sub>	3.331	15.296	160.751	79.668	-22.831	1.995	KZ 766
		Max M <sub>x</sub>	3.331	15.296	160.751	79.671	-22.824	1.995	KZ 767
		Min M <sub>x</sub>	3.331	15.296	160.751	79.668	-22.831	1.995	KZ 766
		Max M <sub>y</sub>	3.331	15.296	160.751	79.671	-22.824	1.995	KZ 767
		Min M <sub>y</sub>	3.331	15.296	160.751	79.668	-22.831	1.995	KZ 766
		Max M <sub>z</sub>	3.331	15.296	160.751	79.671	-22.824	1.995	KZ 767
		Min M <sub>z</sub>	3.331	15.296	160.751	79.668	-22.831	1.995	KZ 766
		Max	0.587	11.103	322.869	106.853	1.443	0.088	MSÚ (STR/GEO) - trvalá/dočasná - rovn. 6.10a a 6.10b
		Min	-0.068	1.833	132.757	17.812	-8.892	-0.017	MSÚ (STR/GEO) - trvalá/dočasná - rovn. 6.10a a 6.10b
		Max P <sub>x</sub>	0.587	6.517	148.480	62.587	-8.619	-0.016	KZ 184
		Min P <sub>x</sub>	-0.068	10.066	197.935	97.688	1.442	0.045	KZ 261
		Max P <sub>y</sub>	-0.067	11.103	135.946	106.360	1.417	0.046	KZ 274
622	KV1	Min P <sub>y</sub>	0.005	1.833	204.064	17.812	0.438	0.085	KZ 206
		Max P <sub>z</sub>	0.210	6.415	322.869	63.951	-3.209	0.043	KZ 337
		Min P <sub>z</sub>	-0.066	10.974	132.757	105.057	1.404	0.046	KZ 188
		Max M <sub>x</sub>	-0.067	11.049	181.509	106.853	1.419	0.046	KZ 250
		Min M <sub>x</sub>	0.005	1.833	204.064	17.812	0.438	0.085	KZ 206



Projekt:

Model: HOŘICE-KONSTRUKCE\_3D\_Budova\_redukováne ..

## 4.1 UZLY - PODPOROVÉ SÍLY

Kombinace výsledků

Uzel	Podporové síly [kN]					Podporové momenty [kNm]			Reminimace výsledků	
č.	KV		P <sub>x</sub>	P <sub>y</sub>	P <sub>z</sub>	M <sub>x</sub>	M <sub>y</sub>	M <sub>z</sub>		
622	KV2	Max M <sub>y</sub>	-0.068	10.194	201.124	98.995	▷ 1.443	0.045	KZ 259	
		Min M <sub>y</sub>	0.581	6.416	242.449	62.855	▷ -8.892	-0.016	KZ 195	
		Max M <sub>z</sub>	0.006	3.024	157.186	29.100	0.448	▷ 0.088	KZ 277	
		Min M <sub>z</sub>	0.584	6.471	194.017	62.741	-8.755	▷ -0.017	KZ 220	
		Max	0.456	8.743	251.041	83.941	0.000	0.063	MSP - charakteristická	
		Min	0.020	2.561	124.310	24.736	-6.803	-0.007	MSP - charakteristická	
		Max P <sub>x</sub>	▷ 0.456	5.687	134.792	54.519	-6.661	-0.006	KZ 515	
		Min P <sub>x</sub>	▷ 0.020	8.064	167.759	77.829	-0.007	0.034	KZ 592	
		Max P <sub>y</sub>	▷ 0.021	8.743	126.436	83.667	-0.006	0.035	KZ 605	
		Min P <sub>y</sub>	▷ 0.070	2.561	171.846	24.736	-0.677	0.062	KZ 537	
		Max P <sub>z</sub>	▷ 0.207	5.631	▷ 251.041	55.319	-3.081	0.033	KZ 668	
		Min P <sub>z</sub>	0.022	8.657	▷ 124.310	82.804	-0.013	0.035	KZ 519	
		Max M <sub>x</sub>	0.021	8.717	156.811	▷ 83.941	-0.020	0.035	KZ 581	
		Min M <sub>x</sub>	0.070	2.561	171.846	▷ 24.736	-0.677	0.062	KZ 537	
		Max M <sub>y</sub>	0.021	8.101	137.402	77.696	▷ 0.000	0.035	KZ 604	
		KV3	Min M <sub>y</sub>	0.452	5.627	197.435	54.653	▷ -6.803	-0.006	KZ 526
	Max M <sub>z</sub>		0.071	3.359	140.596	32.233	-0.658	▷ 0.063	KZ 608	
	Min M <sub>z</sub>		0.454	5.660	165.148	54.600	-6.732	▷ -0.007	KZ 551	
	Max		0.284	5.746	153.450	55.292	-4.110	0.021	MSP - kvazistálá	
	Min		0.283	5.746	153.450	55.292	-4.117	0.020	MSP - kvazistálá	
	Max P <sub>x</sub>		▷ 0.284	5.746	153.450	55.292	-4.117	0.020	KZ 766	
	Min P <sub>x</sub>		▷ 0.283	5.746	153.450	55.292	-4.110	0.021	KZ 767	
	Max P <sub>y</sub>		▷ 0.283	5.746	153.450	55.292	-4.110	0.021	KZ 767	
	Min P <sub>y</sub>		▷ 0.284	5.746	153.450	55.292	-4.117	0.020	KZ 766	
	Max P <sub>z</sub>		0.284	5.746	▷ 153.450	55.292	-4.117	0.020	KZ 766	
	Min P <sub>z</sub>		0.284	5.746	▷ 153.450	55.292	-4.117	0.020	KZ 766	
	Max M <sub>x</sub>		0.283	5.746	153.450	▷ 55.292	-4.110	0.021	KZ 767	
	Min M <sub>x</sub>		0.284	5.746	153.450	▷ 55.292	-4.117	0.020	KZ 766	
	Max M <sub>y</sub>		0.283	5.746	153.450	55.292	▷ -4.110	0.021	KZ 767	
	Min M <sub>y</sub>		0.284	5.746	153.450	55.292	▷ -4.117	0.020	KZ 766	
	Max M <sub>z</sub>		0.283	5.746	153.450	55.292	-4.110	▷ 0.021	KZ 767	
	Min M <sub>z</sub>	0.284	5.746	153.450	55.292	-4.117	▷ 0.020	KZ 766		
662	KV1	Max	1.346	21.698	127.377	89.550	5.994	0.004	MSÚ (STR/GEO) - trvalá/dočasná - rovn. 6.10a a 6.10b	
		Min	-2.220	-8.762	81.186	0.324	-6.674	-0.005	MSÚ (STR/GEO) - trvalá/dočasná - rovn. 6.10a a 6.10b	
		Max P <sub>x</sub>	▷ 1.346	20.365	97.188	67.130	-6.546	0.004	KZ 184	
		Min P <sub>x</sub>	▷ -2.220	-7.730	89.133	3.528	2.014	-0.005	KZ 278	
		Max P <sub>y</sub>	▷ 1.336	21.698	82.334	71.407	-6.587	0.004	KZ 207	
		Min P <sub>y</sub>	▷ -2.209	-8.762	103.748	0.324	1.920	-0.005	KZ 242	
		Max P <sub>z</sub>	▷ 0.558	13.950	▷ 127.377	63.738	-4.210	0.003	KZ 6	
		Min P <sub>z</sub>	1.344	21.685	▷ 81.186	71.261	-6.530	0.004	KZ 183	
		Max M <sub>x</sub>	-0.682	15.948	▷ 94.754	89.550	0.455	-0.003	KZ 214	
		Min M <sub>x</sub>	-2.209	-8.762	103.748	▷ 0.324	1.920	-0.005	KZ 242	
		Max M <sub>y</sub>	-2.027	13.660	94.693	48.563	▷ 5.994	-0.002	KZ 269	
		Min M <sub>y</sub>	1.334	19.357	111.803	64.098	▷ -6.674	0.004	KZ 196	
		Max M <sub>z</sub>	1.335	21.697	83.469	71.400	-6.634	▷ 0.004	KZ 219	
		Min M <sub>z</sub>	-2.217	-7.251	89.693	7.998	2.029	▷ -0.005	KZ 277	
	KV2	Max	0.820	15.426	102.910	68.857	3.934	0.003	MSP - charakteristická	
		Min	-1.561	-4.880	73.375	9.472	-4.488	-0.003	MSP - charakteristická	
		Max P <sub>x</sub>	▷ 0.820	14.535	84.043	53.980	-4.408	0.003	KZ 515	
		Min P <sub>x</sub>	▷ -1.561	-4.193	78.675	11.597	1.293	-0.003	KZ 609	
		Max P <sub>y</sub>	▷ 0.814	15.426	74.141	56.831	-4.433	0.003	KZ 538	
		Min P <sub>y</sub>	▷ -1.557	-4.880	88.417	9.472	1.229	-0.003	KZ 573	
		Max P <sub>z</sub>	0.343	9.019	▷ 102.910	44.197	-2.888	0.002	KZ 440	
		Min P <sub>z</sub>	0.818	15.418	▷ 73.375	56.746	-4.397	0.003	KZ 514	
		Max M <sub>x</sub>	-0.538	11.585	82.422	▷ 68.857	0.250	-0.002	KZ 545	
		Min M <sub>x</sub>	-1.557	-4.880	88.417	▷ 9.472	1.229	-0.003	KZ 573	
		Max M <sub>y</sub>	-1.431	10.064	82.382	41.584	▷ 3.934	-0.002	KZ 600	
		Min M <sub>y</sub>	0.814	13.859	93.785	51.931	▷ -4.488	0.003	KZ 527	
		Max M <sub>z</sub>	0.814	15.425	74.898	56.826	-4.463	▷ 0.003	KZ 550	
		Min M <sub>z</sub>	-1.559	-3.874	79.048	14.572	1.303	▷ -0.003	KZ 608	
		KV3	Max	-0.348	4.127	82.509	39.787	-0.150	0.001	MSP - kvazistálá
			Min	-0.365	4.127	82.509	39.785	-0.228	0.001	MSP - kvazistálá
			Max P <sub>x</sub>	▷ -0.348	4.127	82.509	39.787	-0.228	0.001	KZ 766
			Min P <sub>x</sub>	▷ -0.365	4.127	82.509	39.785	-0.150	0.001	KZ 767
Max P <sub>y</sub>	▷ -0.348		4.127	82.509	39.787	-0.228	0.001	KZ 766		
Min P <sub>y</sub>	▷ -0.365		4.127	82.509	39.785	-0.150	0.001	KZ 767		
Max P <sub>z</sub>	▷ -0.348		4.127	▷ 82.509	39.787	-0.228	0.001	KZ 766		
Min P <sub>z</sub>	▷ -0.365		4.127	▷ 82.509	39.785	-0.150	0.001	KZ 767		
Max M <sub>x</sub>	▷ -0.348		4.127	▷ 82.509	39.787	-0.228	0.001	KZ 766		
Min M <sub>x</sub>	▷ -0.365		4.127	▷ 82.509	39.785	-0.150	0.001	KZ 767		
664	KV1	Max	1.447	11.899	291.664	40.193	3.767	0.114	MSÚ (STR/GEO) - trvalá/dočasná - rovn. 6.10a a 6.10b	
		Min	-0.459	-10.392	190.935	-39.491	-8.468	-0.039	MSÚ (STR/GEO) - trvalá/dočasná - rovn. 6.10a a 6.10b	
		Max P <sub>x</sub>	▷ 1.447	11.837	256.858	40.025	-8.424	-0.010	KZ 274	
		Min P <sub>x</sub>	▷ -0.459	-9.379	194.288	-6.682	3.697	0.083	KZ 197	
		Max P <sub>y</sub>	▷ 1.446	11.899	254.719	40.193	-8.448	-0.009	KZ 250	
		KV2	Min P <sub>y</sub>	▷ -0.459	-9.379	194.288	-6.682	3.697	0.083	KZ 197
			Max P <sub>z</sub>	▷ 0.207	5.631	▷ 251.041	55.319	-3.081	0.033	KZ 668
			Min P <sub>z</sub>	0.022	8.657	▷ 124.310	82.804	-0.013	0.035	KZ 519
			Max M <sub>x</sub>	0.021	8.717	156.811	▷ 83.941	-0.020	0.035	KZ 581
			Min M <sub>x</sub>	0.070	2.561	171.846	▷ 24.736	-0.677	0.062	KZ 537
			Max M <sub>y</sub>	0.021	8.101	137.402	77.696	▷ 0.000	0.035	KZ 604
			Min M <sub>y</sub>	0.452	5.627	197.435	54.653	▷ -6.803	-0.006	KZ 526
			Max M <sub>z</sub>	0.071	3.359	140.596	32.233	-0.658	▷ 0.063	KZ 608
			Min M <sub>z</sub>	0.454	5.660	165.148	54.600	-6.732	▷ -0.007	KZ 551
	Max		0.284	5.746	153.450	55.292	-4.110	0.021	MSP - kvazistálá	
	Min		0.283	5.746	153.450	55.292	-4.117	0.020	MSP - kvazistálá	
	Max P <sub>x</sub>		▷ 0.284	5.746	153.450	55.292	-4.117	0.020	KZ 766	
	Min P <sub>x</sub>		▷ 0.283	5.746	153.450	55.292	-4.110	0.021	KZ 767	
	Max P <sub>y</sub>		▷ 0.283	5.746	153.450	55.292	-4.110	0.021	KZ 767	
	Min P <sub>y</sub>		▷ 0.284	5.746	153.450	55.292	-4.117	0.020	KZ 766	
	Max P <sub>z</sub>		0.284	5.746	▷ 153.450	55.292	-4.117	0.020	KZ 766	
	Min P <sub>z</sub>		0.284	5.746	▷ 153.450	55.292	-4.117	0.020	KZ 766	
	Max M <sub>x</sub>		0.283	5.746	153.450	▷ 55.292	-4.110	0.021	KZ 767	
	Min M <sub>x</sub>	0.284	5.746	153.450	▷ 55.292	-4.117	0.020	KZ 766		
	Max M <sub>y</sub>	0.283	5.746	153.450	55.292	▷ -4.110	0.021	KZ 767		
	Min M <sub>y</sub>	0.284	5.746	153.450	55.292	▷ -4.117	0.020	KZ 766		
	Max M <sub>z</sub>	0.283	5.746	153.450	55.292	-4.110	▷ 0.021	KZ 767		
	Min M <sub>z</sub>	0.284	5.746	153.450	55.292	-4.117	▷ 0.020	KZ 766		



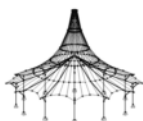
Projekt:

Model: HOŘICE-KONSTRUKCE\_3D\_Budova\_redukováne ..

## 4.1 UZLY - PODPOROVÉ SÍLY

Kombinace výsledků

Uzel	Podporové síly [kN]						Podporové momenty [kNm]			Kombinace výsledků							
č.	KV		P <sub>x</sub>	P <sub>y</sub>	P <sub>z</sub>	M <sub>x</sub>	M <sub>y</sub>	M <sub>z</sub>									
664	KV2	Min P <sub>y</sub>	0.720	▷	-10.392	193.666	-39.491	-5.385	0.023	KZ 206							
		Max P <sub>z</sub>	-0.201		-4.978	▷	291.664	-1.983	0.109	KZ 95							
		Min P <sub>z</sub>	0.462		-6.395	▷	190.935	-22.810	-3.276	0.035	KZ 118						
		Max M <sub>x</sub>	1.446		11.899		254.719	▷	40.193	-8.448	-0.009	KZ 250					
		Min M <sub>x</sub>	0.720		-10.392		193.666	▷	-39.491	-5.385	0.023	KZ 206					
		Max M <sub>y</sub>	-0.429		-8.637		256.614		-4.015	▷	3.767	0.113	KZ 269				
		Min M <sub>y</sub>	1.414		11.103		194.575		34.386	▷	-8.468	-0.038	KZ 211				
		Max M <sub>z</sub>	-0.202		-5.149		280.301		-3.570		2.266	0.114	KZ 285				
		Min M <sub>z</sub>	1.416		11.415		196.677		39.016		-8.439	▷	-0.039	KZ 190			
		Max	0.980		7.944		228.725		26.720		2.493	0.086	MSP - charakteristická				
		Min	-0.291		-6.901		167.169		-26.187		-5.648	-0.016	MSP - charakteristická				
		Max P <sub>x</sub>	▷	0.980		7.904		211.114		26.626		-5.614	0.004	KZ 605			
		Min P <sub>x</sub>	▷	-0.291		-6.233		169.399		-4.403		2.449	0.066	KZ 528			
		Max P <sub>y</sub>	▷	0.980		7.944		209.689		26.720		-5.628	0.005	KZ 581			
		Min P <sub>y</sub>	▷	0.496		-6.901		168.987		-26.187		-3.594	0.025	KZ 537			
		Max P <sub>z</sub>	-0.119		-3.194	▷	228.725		-1.076		1.503	0.086	KZ 653				
		Min P <sub>z</sub>	0.324		-4.239	▷	167.169		-15.092		-2.190	0.034	KZ 449				
		Max M <sub>x</sub>	0.980		7.944		209.689	▷	26.720		-5.628	0.005	KZ 581				
		Min M <sub>x</sub>	0.496		-6.901		168.987	▷	-26.187		-3.594	0.025	KZ 537				
		Max M <sub>y</sub>	-0.271		-5.737		210.949		-2.626	▷	2.493	0.086	KZ 600				
		Min M <sub>y</sub>	0.958		7.419		169.594		22.906	▷	-5.648	-0.015	KZ 542				
		Max M <sub>z</sub>	-0.120		-3.412		226.741		-2.323		1.495	▷	0.086	KZ 616			
		Min M <sub>z</sub>	0.960		7.627		170.993		26.004		-5.630	▷	-0.016	KZ 521			
	KV3	Max	0.083		0.318		205.278		0.660		-0.022	0.062	MSP - kvazistálá				
		Min	0.066		0.087		170.888		0.215		-0.047	0.045	MSP - kvazistálá				
		Max P <sub>x</sub>	▷	0.083		0.318		205.278		0.660		-0.022	0.062	KZ 767			
		Min P <sub>x</sub>	▷	0.066		0.087		170.888		0.215		-0.047	0.045	KZ 766			
		Max P <sub>y</sub>	▷	0.083		0.318		205.278		0.660		-0.022	0.062	KZ 767			
		Min P <sub>y</sub>	▷	0.066		0.087		170.888		0.215		-0.047	0.045	KZ 766			
		Max P <sub>z</sub>	0.083		0.318	▷	205.278		0.660		-0.022	0.062	KZ 767				
		Min P <sub>z</sub>	0.066		0.087	▷	170.888		0.215		-0.047	0.045	KZ 766				
		Max M <sub>x</sub>	0.083		0.318	▷	205.278	▷	0.660		-0.022	0.062	KZ 767				
		Min M <sub>x</sub>	0.066		0.087	▷	170.888	▷	0.215		-0.047	0.045	KZ 766				
		Max M <sub>y</sub>	0.083		0.318	▷	205.278		0.660	▷	-0.022	0.062	KZ 767				
		Min M <sub>y</sub>	0.066		0.087	▷	170.888		0.215	▷	-0.047	0.045	KZ 766				
		Max M <sub>z</sub>	0.083		0.318	▷	205.278		0.660		-0.022	▷	0.062	KZ 767			
		Min M <sub>z</sub>	0.066		0.087	▷	170.888		0.215		-0.047	▷	0.045	KZ 766			
		667	KV1	Max	1.261		11.869		283.690		40.180		4.171		-0.021	MSÚ (STR/GEO) - trvalá/dočasná - rovn. 6.10a a 6.10b	
				Min	-0.715		-10.425		182.256		-39.505		-8.221		-0.173	MSÚ (STR/GEO) - trvalá/dočasná - rovn. 6.10a a 6.10b	
				Max P <sub>x</sub>	▷	1.261		11.432		189.661		39.050		-8.214		-0.145	KZ 214
				Min P <sub>x</sub>	▷	-0.715		-7.058		246.498		-2.616		4.171		-0.048	KZ 269
				Max P <sub>y</sub>		1.195		11.869	▷	251.468		40.180		-8.048		-0.173	KZ 262
Min P <sub>y</sub>				0.570	▷	-10.425		187.643		-39.505		-5.155		-0.086	KZ 206		
Max P <sub>z</sub>				0.631		7.088	▷	283.690		21.285		-4.645		-0.145	KZ 98		
Min P <sub>z</sub>				-0.426		-5.130	▷	182.256		-5.735		2.434		-0.035	KZ 110		
Max M <sub>x</sub>				1.195		11.869	▷	251.468	▷	40.180		-8.048		-0.173	KZ 262		
Min M <sub>x</sub>				0.570		-10.425	▷	187.643	▷	-39.505		-5.155		-0.086	KZ 206		
Max M <sub>y</sub>				-0.715		-7.058		246.498		-2.616	▷	4.171		-0.048	KZ 269		
Min M <sub>y</sub>				1.260		11.071		189.707		34.294	▷	-8.221		-0.145	KZ 211		
Max M <sub>z</sub>				-0.646		-7.499		187.130		-3.521		3.967	▷	-0.021	KZ 186		
Min M <sub>z</sub>				1.194		11.504		250.471		35.367		-8.066	▷	-0.173	KZ 247		
KV2	Max		0.821		7.936		222.799		26.757		2.814		-0.025	MSP - charakteristická			
	Min		-0.497		-6.912		159.578		-26.153		-5.432		-0.126	MSP - charakteristická			
	Max P <sub>x</sub>		▷	0.821		7.648		164.509		26.053		-5.428		-0.108	KZ 545		
	Min P <sub>x</sub>		▷	-0.497		-4.674		202.404		-1.649		2.814		-0.043	KZ 600		
	Max P <sub>y</sub>		▷	0.777	▷	7.936		205.713		26.757		-5.311		-0.126	KZ 593		
	Min P <sub>y</sub>		▷	0.360	▷	-6.912		163.164		-26.153		-3.390		-0.068	KZ 537		
	Max P <sub>z</sub>			0.394		4.855	▷	222.799		14.403		-3.016		-0.109	KZ 656		
	Min P <sub>z</sub>			-0.304		-3.390	▷	159.578		-3.727		1.660		-0.034	KZ 441		
	Max M <sub>x</sub>			0.777		7.936		205.713	▷	26.757		-5.311		-0.126	KZ 593		
KV3	Min M <sub>x</sub>		0.360		-6.912		163.164	▷	-26.153		-3.390		-0.068	KZ 537			
	Max M <sub>y</sub>		-0.497		-4.674		202.404		-1.649	▷	2.814		-0.043	KZ 600			
	Min M <sub>y</sub>		0.820		7.407		164.540		22.888	▷	-5.432		-0.108	KZ 542			
	Max M <sub>z</sub>		-0.451		-4.968		162.824		-2.253		2.682	▷	-0.025	KZ 517			
	Min M <sub>z</sub>		0.776		7.693		205.048		23.562		-5.322	▷	-0.126	KZ 578			
	Max	-0.086		0.373		197.879		0.910		0.280		-0.046	MSP - kvazistálá				
	Min	-0.125		0.133		163.160		0.403		0.174		-0.062	MSP - kvazistálá				
	Max P <sub>x</sub>	▷	-0.086		0.133		163.160		0.403		0.174		-0.046	KZ 766			
	Min P <sub>x</sub>	▷	-0.125		0.373		197.879		0.910		0.280		-0.062	KZ 767			
	Max P <sub>y</sub>		-0.125	▷	0.373		197.879		0.910		0.280		-0.062	KZ 767			
670	KV1	Min P <sub>y</sub>		-0.086	▷	0.133		163.160		0.403		0.174		-0.046	KZ 766		
		Max P <sub>z</sub>		-0.125		0.373	▷	197.879		0.910		0.280		-0.062	KZ 767		
	Min P <sub>z</sub>		-0.086		0.133	▷	163.160		0.403		0.174		-0.046	KZ 766			
	Max M <sub>x</sub>		-0.125		0.373		197.879	▷	0.910		0.280		-0.062	KZ 767			
	Min M <sub>x</sub>		-0.086		0.133		163.160	▷	0.403		0.174		-0.046	KZ 766			
	Max M <sub>y</sub>		-0.125		0.373		197.879		0.910	▷	0.280		-0.062	KZ 767			
	Min M <sub>y</sub>		-0.086		0.133		163.160		0.403	▷	0.174		-0.046	KZ 766			
	Max M <sub>z</sub>		-0.086		0.133		163.160		0.403		0.174	▷	-0.046	KZ 766			
	Min M <sub>z</sub>		-0.125		0.373		197.879		0.910		0.280	▷	-0.062	KZ 767			
	Max		5.692		11.213		647.188		36.324		11.141		1.074	MSÚ (STR/GEO) - trvalá/dočasná - rovn. 6.10a a 6.10b			
Min		-5.516		-15.583		382.789		-38.893		-14.708		-0.987	MSÚ (STR/GEO) - t				



Projekt:

Model: HOŘICE-KONSTRUKCE\_3D\_Budova\_redukováne ..

## 4.1 UZLY - PODPOROVÉ SÍLY

Kombinace výsledků

Uzel	Podporové síly [kN]						Podporové momenty [kNm]			Kombinace výsledků
č.	KV		P <sub>x</sub>	P <sub>y</sub>	P <sub>z</sub>	M <sub>x</sub>	M <sub>y</sub>	M <sub>z</sub>		
670									trvalá/dočasná - rovn. 6.10a a 6.10b	
670		Max P <sub>x</sub>	▷ 5.692	10.536	414.172	29.691	-14.708	-0.799	KZ 199	
		Min P <sub>x</sub>	▷ -5.516	-15.200	523.846	-4.552	11.141	0.076	KZ 270	
		Max P <sub>y</sub>	▷ 4.482	11.213	544.282	36.322	-12.895	-0.954	KZ 262	
		Min P <sub>y</sub>	▷ -4.301	-15.583	404.475	-6.544	9.267	0.101	KZ 198	
		Max P <sub>z</sub>	0.214	-7.302	▷ 647.188	-21.829	-2.887	0.672	KZ 49	
		Min P <sub>z</sub>	▷ -4.337	-15.264	▷ 382.789	-4.804	9.332	0.042	KZ 186	
		Max M <sub>x</sub>	4.502	11.202	555.118	▷ 36.324	-12.936	-0.964	KZ 250	
		Min M <sub>x</sub>	3.413	-11.711	424.494	▷ -38.893	-9.360	1.030	KZ 206	
		Max M <sub>y</sub>	-5.516	-15.200	523.846	-4.552	▷ 11.141	0.076	KZ 270	
		Min M <sub>y</sub>	5.692	10.536	414.172	29.691	▷ -14.708	-0.799	KZ 199	
		Max M <sub>z</sub>	2.234	-11.643	565.566	-38.874	-7.605	▷ 1.074	KZ 242	
		Min M <sub>z</sub>	5.682	11.145	414.047	35.850	-14.679	▷ -0.987	KZ 214	
	KV2	Max	3.552	7.346	507.252	23.925	7.772	0.734	MSP - charakteristická	
		Min	-3.918	-10.523	338.017	-26.031	-9.433	-0.633	MSP - charakteristická	
		Max P <sub>x</sub>	▷ 3.552	6.892	358.933	19.549	-9.433	-0.507	KZ 530	
		Min P <sub>x</sub>	▷ -3.918	-10.267	432.057	-3.211	7.772	0.073	KZ 601	
		Max P <sub>y</sub>	▷ 2.746	7.346	445.673	23.923	-8.217	-0.609	KZ 593	
		Min P <sub>y</sub>	▷ -3.106	-10.523	352.477	-4.540	6.526	0.090	KZ 529	
		Max P <sub>z</sub>	▷ -0.300	-4.913	▷ 507.252	-14.460	-1.245	0.464	KZ 622	
		Min P <sub>z</sub>	▷ -3.131	-10.309	▷ 338.017	-3.380	6.572	0.051	KZ 517	
		Max M <sub>x</sub>	2.759	7.341	452.896	▷ 23.925	-8.243	-0.615	KZ 581	
		Min M <sub>x</sub>	2.033	-7.945	365.814	▷ -26.031	-5.870	0.707	KZ 537	
		Max M <sub>y</sub>	-3.918	-10.267	432.057	-3.211	▷ 7.772	0.073	KZ 601	
		Min M <sub>y</sub>	3.552	6.892	358.933	19.549	▷ -9.433	-0.507	KZ 530	
		Max M <sub>z</sub>	1.247	-7.901	459.860	-25.965	-4.694	▷ 0.734	KZ 573	
		Min M <sub>z</sub>	3.546	7.301	358.850	23.659	-9.414	▷ -0.633	KZ 545	
	KV3	Max	-1.031	-0.536	435.563	-0.618	2.550	0.117	MSP - kvazistálá	
		Min	-1.705	-0.572	354.956	-0.762	1.529	0.097	MSP - kvazistálá	
		Max P <sub>x</sub>	▷ -1.031	-0.572	354.956	-0.762	1.529	0.097	KZ 766	
		Min P <sub>x</sub>	▷ -1.705	-0.536	435.563	-0.618	2.550	0.117	KZ 767	
		Max P <sub>y</sub>	▷ -1.705	-0.536	435.563	-0.618	2.550	0.117	KZ 767	
		Min P <sub>y</sub>	▷ -1.031	-0.572	354.956	-0.762	1.529	0.097	KZ 766	
		Max P <sub>z</sub>	▷ -1.705	-0.536	▷ 435.563	-0.618	2.550	0.117	KZ 767	
		Min P <sub>z</sub>	▷ -1.031	-0.572	▷ 354.956	-0.762	1.529	0.097	KZ 766	
		Max M <sub>x</sub>	▷ -1.705	-0.536	▷ 435.563	-0.618	2.550	0.117	KZ 767	
		Min M <sub>x</sub>	▷ -1.031	-0.572	▷ 354.956	-0.762	1.529	0.097	KZ 766	
		Max M <sub>y</sub>	▷ -1.705	-0.536	435.563	-0.618	▷ 2.550	0.117	KZ 767	
		Min M <sub>y</sub>	▷ -1.031	-0.572	▷ 354.956	-0.762	▷ 1.529	0.097	KZ 766	
		Max M <sub>z</sub>	▷ -1.705	-0.536	435.563	-0.618	2.550	▷ 0.117	KZ 767	
		Min M <sub>z</sub>	▷ -1.031	-0.572	354.956	-0.762	1.529	▷ 0.097	KZ 766	
673	KV1	Max	10.691	11.855	622.698	39.431	4.349	0.093	MSÚ (STR/GEO) - trvalá/dočasná - rovn. 6.10a a 6.10b	
		Min	-0.895	-12.204	348.186	-41.993	-21.817	-0.235	MSÚ (STR/GEO) - trvalá/dočasná - rovn. 6.10a a 6.10b	
		Max P <sub>x</sub>	▷ 10.691	11.439	505.315	33.477	-21.805	-0.218	KZ 273	
		Min P <sub>x</sub>	▷ -0.895	-11.154	394.088	-6.969	4.349	0.093	KZ 197	
		Max P <sub>y</sub>	▷ 10.669	11.855	529.263	39.431	-21.796	-0.234	KZ 250	
		Min P <sub>y</sub>	▷ 6.794	-12.204	383.563	-41.959	-14.156	0.021	KZ 206	
		Max P <sub>z</sub>	▷ 5.899	-5.139	▷ 622.698	-3.786	-9.733	-0.018	KZ 283	
		Min P <sub>z</sub>	▷ 9.116	11.702	▷ 348.186	37.792	-19.563	-0.224	KZ 188	
		Max M <sub>x</sub>	10.669	11.855	529.263	▷ 39.431	-21.796	-0.234	KZ 250	
		Min M <sub>x</sub>	8.363	-12.154	540.617	▷ -41.993	-16.365	0.009	KZ 242	
		Max M <sub>y</sub>	-0.895	-11.154	394.088	-6.969	▷ 4.349	0.093	KZ 197	
		Min M <sub>y</sub>	10.679	11.498	526.770	33.634	▷ -21.817	-0.218	KZ 249	
		Max M <sub>z</sub>	-0.895	-11.154	394.088	-6.969	4.349	▷ 0.093	KZ 197	
		Min M <sub>z</sub>	10.671	11.788	526.687	38.419	-21.797	▷ -0.235	KZ 248	
	KV2	Max	7.581	7.767	491.343	25.960	2.250	0.063	MSP - charakteristická	
		Min	-0.141	-8.280	308.336	-28.090	-15.160	-0.155	MSP - charakteristická	
		Max P <sub>x</sub>	▷ 7.581	7.486	413.092	22.022	-15.155	-0.143	KZ 604	
		Min P <sub>x</sub>	▷ -0.141	-7.588	333.028	-4.869	2.248	0.062	KZ 529	
		Max P <sub>y</sub>	▷ 7.566	7.767	429.060	25.960	-15.145	-0.154	KZ 581	
		Min P <sub>y</sub>	▷ 4.981	-8.280	331.922	-28.090	-10.065	0.015	KZ 537	
		Max P <sub>z</sub>	▷ 4.387	-3.568	▷ 491.343	-2.720	-7.121	-0.011	KZ 614	
		Min P <sub>z</sub>	▷ 6.530	7.660	▷ 308.336	24.940	-13.672	-0.148	KZ 519	
		Max M <sub>x</sub>	7.566	7.767	429.060	▷ 25.960	-15.145	-0.154	KZ 581	
		Min M <sub>x</sub>	4.981	-8.280	331.922	▷ -28.090	-10.065	0.015	KZ 537	
		Max M <sub>y</sub>	-0.141	-7.579	338.931	-4.847	▷ 2.250	0.063	KZ 528	
		Min M <sub>y</sub>	7.573	7.527	427.397	22.115	▷ -15.160	-0.143	KZ 580	
		Max M <sub>z</sub>	-0.141	-7.579	338.931	-4.847	2.250	▷ 0.063	KZ 528	
		Min M <sub>z</sub>	7.567	7.721	427.342	25.291	-15.146	▷ -0.155	KZ 579	
	KV3	Max	2.844	-0.586	416.354	-0.739	-2.749	0.006	MSP - kvazistálá	
		Min	1.946	-0.608	326.604	-0.866	-3.992	0.000	MSP - kvazistálá	
		Max P <sub>x</sub>	▷ 2.844	-0.586	416.354	-0.739	-3.992	0.000	KZ 767	
		Min P <sub>x</sub>	▷ 1.946	-0.608	326.604	-0.866	-2.749	0.006	KZ 766	
		Max P <sub>y</sub>	▷ 2.844	-0.586	416.354	-0.739	-3.992	0.000	KZ 767	
		Min P <sub>y</sub>	▷ 1.946	-0.608	326.604	-0.866	-2.749	0.006	KZ 766	
		Max P <sub>z</sub>	▷ 2.844	-0.586	▷ 416.354	-0.739	-3.992	0.000	KZ 767	
		Min P <sub>z</sub>	▷ 1.946	-0.608	▷ 326.604	-0.866	-2.749	0.006	KZ 766	
		Max M <sub>x</sub>	2.844	-0.586	416.354	▷ -0.739	-3.992	0.000	KZ 767	
		Min M <sub>x</sub>	1.946	-0.608	326.604	▷ -0.866	-2.749	0.006	KZ 766	
		Max M <sub>y</sub>	1.946	-0.608	326.604	-0.866	▷ -2.749	0.006	KZ 766	
		Min M <sub>y</sub>	2.844	-0.586	416.354	-0.739	▷ -3.992	0.000	KZ 767	
		Max M <sub>z</sub>	1.946	-0.608	326.604	-0.866	-2.749	▷ 0.006	KZ 766	





Projekt:

Model: HOŘICE-KONSTRUKCE\_3D\_Budova\_redukováne ..

## 4.1 UZLY - PODPOROVÉ SÍLY

Kombinace výsledků

Uzel	Podporové síly [kN]					Podporové momenty [kNm]			Reminiscence výsledků
č.	KV		P <sub>x</sub>	P <sub>y</sub>	P <sub>z</sub>	M <sub>x</sub>	M <sub>y</sub>	M <sub>z</sub>	
673		Min M <sub>z</sub>	2.844	-0.586	416.354	-0.739	-3.992	0.000	KZ 767
676	KV1	Max	3.328	11.881	671.149	39.195	15.226	0.169	MSÚ (STR/GEO) - trvalá/dočasná - rovn. 6.10a a 6.10b
		Min	-8.389	-12.195	400.480	-42.109	-11.204	-0.199	MSÚ (STR/GEO) - trvalá/dočasná - rovn. 6.10a a 6.10b
		Max P <sub>x</sub>	3.328	11.535	424.128	33.956	-11.204	-0.013	KZ 211
		Min P <sub>x</sub>	-8.389	-7.703	560.118	-3.852	15.226	0.151	KZ 270
		Max P <sub>y</sub>	1.459	11.881	569.673	39.195	-8.446	0.019	KZ 262
		Min P <sub>y</sub>	1.124	-12.195	432.115	-42.109	-5.953	-0.199	KZ 206
		Max P <sub>z</sub>	-3.106	-7.582	671.149	-23.784	1.967	-0.084	KZ 49
		Min P <sub>z</sub>	3.264	11.739	400.480	37.694	-11.073	-0.012	KZ 188
		Max M <sub>x</sub>	1.459	11.881	569.673	39.195	-8.446	0.019	KZ 262
		Min M <sub>x</sub>	1.124	-12.195	432.115	-42.109	-5.953	-0.199	KZ 206
		Max M <sub>y</sub>	-8.389	-7.703	560.118	-3.852	15.226	0.151	KZ 270
		Min M <sub>y</sub>	3.328	11.535	424.128	33.956	-11.204	-0.013	KZ 211
		Max M <sub>z</sub>	-8.348	-7.649	584.566	-3.862	15.165	0.169	KZ 257
		Min M <sub>z</sub>	1.124	-12.195	432.115	-42.109	-5.953	-0.199	KZ 206
	KV2	Max	1.518	7.801	528.259	25.806	11.155	0.115	MSP - charakteristická
		Min	-6.293	-8.260	351.456	-28.190	-6.437	-0.129	MSP - charakteristická
		Max P <sub>x</sub>	1.518	7.567	367.220	22.371	-6.437	-0.006	KZ 542
		Min P <sub>x</sub>	-6.293	-5.261	457.887	-2.767	11.155	0.104	KZ 601
		Max P <sub>y</sub>	0.273	7.801	464.249	25.806	-4.592	0.016	KZ 593
		Min P <sub>y</sub>	0.048	-8.260	372.544	-28.190	-2.939	-0.129	KZ 537
		Max P <sub>z</sub>	-2.898	-5.100	528.259	-15.765	2.541	-0.049	KZ 622
		Min P <sub>z</sub>	1.476	7.702	351.456	24.876	-6.355	-0.005	KZ 519
		Max M <sub>x</sub>	0.273	7.801	464.249	25.806	-4.592	0.016	KZ 593
		Min M <sub>x</sub>	0.048	-8.260	372.544	-28.190	-2.939	-0.129	KZ 537
		Max M <sub>y</sub>	-6.293	-5.261	457.887	-2.767	11.155	0.104	KZ 601
		Min M <sub>y</sub>	1.518	7.567	367.220	22.371	-6.437	-0.006	KZ 542
		Max M <sub>z</sub>	-6.265	-5.225	474.188	-2.772	11.112	0.115	KZ 588
		Min M <sub>z</sub>	0.048	-8.260	372.544	-28.190	-2.939	-0.129	KZ 537
	KV3	Max	-2.997	-0.511	451.280	-0.720	5.922	0.024	MSP - kvazistálá
		Min	-4.045	-0.540	362.023	-0.861	4.361	0.013	MSP - kvazistálá
		Max P <sub>x</sub>	-2.997	-0.540	362.023	-0.861	4.361	0.013	KZ 766
		Min P <sub>x</sub>	-4.045	-0.511	451.280	-0.720	5.922	0.024	KZ 767
		Max P <sub>y</sub>	-4.045	-0.511	451.280	-0.720	5.922	0.024	KZ 767
		Min P <sub>y</sub>	-2.997	-0.540	362.023	-0.861	4.361	0.013	KZ 766
		Max P <sub>z</sub>	-4.045	-0.511	451.280	-0.720	5.922	0.024	KZ 767
		Min P <sub>z</sub>	-2.997	-0.540	362.023	-0.861	4.361	0.013	KZ 766
		Max M <sub>x</sub>	-4.045	-0.511	451.280	-0.720	5.922	0.024	KZ 767
		Min M <sub>x</sub>	-2.997	-0.540	362.023	-0.861	4.361	0.013	KZ 766
		Max M <sub>y</sub>	-4.045	-0.511	451.280	-0.720	5.922	0.024	KZ 767
		Min M <sub>y</sub>	-2.997	-0.540	362.023	-0.861	4.361	0.013	KZ 766
		Max M <sub>z</sub>	-4.045	-0.511	451.280	-0.720	5.922	0.024	KZ 767
		Min M <sub>z</sub>	-2.997	-0.540	362.023	-0.861	4.361	0.013	KZ 766
679	KV1	Max	10.804	11.423	610.181	36.186	3.978	0.821	MSÚ (STR/GEO) - trvalá/dočasná - rovn. 6.10a a 6.10b
		Min	-0.665	-11.393	335.349	-38.378	-21.920	-1.305	MSÚ (STR/GEO) - trvalá/dočasná - rovn. 6.10a a 6.10b
		Max P <sub>x</sub>	10.804	11.155	501.960	30.986	-21.908	0.655	KZ 261
		Min P <sub>x</sub>	-0.665	-8.126	390.004	-6.375	3.978	0.061	KZ 197
		Max P <sub>y</sub>	10.795	11.423	504.202	36.186	-21.895	0.804	KZ 262
		Min P <sub>y</sub>	6.979	-11.393	370.197	-38.376	-14.318	-1.269	KZ 206
		Max P <sub>z</sub>	2.810	-5.145	610.181	-4.502	-2.072	-0.068	KZ 285
		Min P <sub>z</sub>	9.238	11.290	335.349	34.823	-19.670	0.790	KZ 188
		Max M <sub>x</sub>	10.795	11.423	504.202	36.186	-21.895	0.804	KZ 262
		Min M <sub>x</sub>	8.539	-11.342	526.192	-38.378	-16.512	-1.305	KZ 242
		Max M <sub>y</sub>	-0.665	-8.126	390.004	-6.375	3.978	0.061	KZ 197
		Min M <sub>y</sub>	10.801	11.193	514.822	31.772	-21.920	0.683	KZ 247
		Max M <sub>z</sub>	9.237	11.399	348.214	35.757	-19.688	0.821	KZ 226
		Min M <sub>z</sub>	8.539	-11.342	526.192	-38.378	-16.512	-1.305	KZ 242
	KV2	Max	7.700	7.516	480.277	23.844	1.940	0.531	MSP - charakteristická
		Min	0.056	-7.701	297.062	-25.675	-15.290	-0.879	MSP - charakteristická
		Max P <sub>x</sub>	7.700	7.293	401.125	20.314	-15.276	0.418	KZ 604
		Min P <sub>x</sub>	0.056	-5.521	333.493	-4.413	1.940	0.026	KZ 528
		Max P <sub>y</sub>	7.693	7.516	409.636	23.844	-15.275	0.517	KZ 593
		Min P <sub>y</sub>	5.148	-7.701	320.295	-25.675	-10.236	-0.857	KZ 537
		Max P <sub>z</sub>	2.373	-3.534	480.277	-3.160	-2.093	-0.059	KZ 616
		Min P <sub>z</sub>	6.655	7.423	297.062	22.999	-13.806	0.511	KZ 519
		Max M <sub>x</sub>	7.693	7.516	409.636	23.844	-15.275	0.517	KZ 593
		Min M <sub>x</sub>	5.148	-7.701	320.295	-25.675	-10.236	-0.857	KZ 537
		Max M <sub>y</sub>	0.056	-5.521	333.493	-4.413	1.940	0.026	KZ 528
		Min M <sub>y</sub>	7.697	7.362	416.717	20.915	-15.290	0.437	KZ 578
		Max M <sub>z</sub>	6.654	7.496	305.640	23.605	-13.815	0.531	KZ 557
		Min M <sub>z</sub>	6.189	-7.670	424.294	-25.625	-11.690	-0.879	KZ 573
	KV3	Max	3.027	-0.421	404.110	-0.589	-3.017	-0.061	MSP - kvazistálá
		Min	2.134	-0.443	314.965	-0.714	-4.252	-0.076	MSP - kvazistálá
		Max P <sub>x</sub>	3.027	-0.421	404.110	-0.589	-4.252	-0.076	KZ 767
		Min P <sub>x</sub>	2.134	-0.443	314.965	-0.714	-3.017	-0.061	KZ 766
		Max P <sub>y</sub>	3.027	-0.421	404.110	-0.589	-4.252	-0.076	KZ 767
		Min P <sub>y</sub>	2.134	-0.443	314.965	-0.714	-3.017	-0.061	KZ 766
		Max P <sub>z</sub>	3.027	-0.421	404.110	-0.589	-4.252	-0.076	KZ 767
		Min P <sub>z</sub>	2.134	-0.443	314.965	-0.714	-3.017	-0.061	KZ 766
Max M <sub>x</sub>		3.027	-0.421	404.110	-0.589	-4.252	-0.076	KZ 767	
Min M <sub>x</sub>		2.134	-0.443	314.965	-0.714	-3.017	-0.061	KZ 766	
Max M <sub>y</sub>		3.027	-0.421	404.110	-0.589	-4.252	-0.076	KZ 767	
Min M <sub>y</sub>		2.134	-0.443	314.965	-0.714	-3.017	-0.061	KZ 766	
Max M <sub>z</sub>	3.027	-0.421	404.110	-0.589	-4.252	-0.076	KZ 767		



Projekt:

Model: HOŘICE-KONSTRUKCE\_3D\_Budova\_redukováne ..

## 4.1 UZLY - PODPOROVÉ SÍLY

Kombinace výsledků

Uzel č.	KV		Podporové síly [kN]			Podporové momenty [kNm]			
			P <sub>x</sub>	P <sub>y</sub>	P <sub>z</sub>	M <sub>x</sub>	M <sub>y</sub>	M <sub>z</sub>	
679		Max M <sub>x</sub>	3.027	-0.421	404.110	▷ -0.589	-4.252	-0.076	KZ 767
		Min M <sub>x</sub>	2.134	-0.443	314.965	▷ -0.714	-3.017	-0.061	KZ 766
		Max M <sub>y</sub>	2.134	-0.443	314.965	▷ -0.714	▷ -3.017	-0.061	KZ 766
		Min M <sub>y</sub>	3.027	-0.421	404.110	▷ -0.589	▷ -4.252	-0.076	KZ 767
		Max M <sub>z</sub>	2.134	-0.443	314.965	▷ -0.714	▷ -3.017	▷ -0.061	KZ 766
		Min M <sub>z</sub>	3.027	-0.421	404.110	▷ -0.589	▷ -4.252	▷ -0.076	KZ 767
685	KV1	Max	2.633	6.582	256.613	26.775	3.996	1.229	MSÚ (STR/GEO) - trvalá/dočasná - rovn. 6.10a a 6.10b
		Min	-2.162	-5.746	169.219	-26.994	-5.617	-0.522	MSÚ (STR/GEO) - trvalá/dočasná - rovn. 6.10a a 6.10b
		Max P <sub>x</sub>	▷ 2.633	-5.598	176.717	-25.756	-4.759	0.685	KZ 194
		Min P <sub>x</sub>	▷ -2.162	-4.089	216.990	-0.544	3.996	-0.518	KZ 245
		Max P <sub>y</sub>	1.415	▷ 6.582	219.117	26.775	-5.454	1.227	KZ 262
		Min P <sub>y</sub>	2.623	▷ -5.746	180.838	-26.994	-4.767	0.687	KZ 206
		Max P <sub>z</sub>	1.504	-2.966	▷ 256.613	-13.014	-2.664	0.417	KZ 61
		Min P <sub>z</sub>	-2.120	-4.369	▷ 169.219	-1.020	3.847	-0.522	KZ 186
		Max M <sub>x</sub>	1.415	6.582	219.117	▷ 26.775	-5.454	1.227	KZ 262
		Min M <sub>x</sub>	2.623	-5.746	180.838	▷ -26.994	-4.767	0.687	KZ 206
		Max M <sub>y</sub>	-2.162	-4.089	216.990	-0.544	▷ 3.996	-0.518	KZ 245
		Min M <sub>y</sub>	1.473	5.910	177.561	20.666	▷ -5.617	1.226	KZ 201
	KV2	Max M <sub>z</sub>	1.402	6.581	221.186	26.730	▷ -5.447	▷ 1.229	KZ 250
		Min M <sub>z</sub>	-2.121	-4.368	169.728	-1.002	3.850	▷ -0.522	KZ 185
		Max	1.750	4.382	198.810	17.759	2.675	0.820	MSP - charakteristická
		Min	-1.446	-3.832	148.775	-17.944	-3.719	-0.347	MSP - charakteristická
		Max P <sub>x</sub>	▷ 1.750	-3.734	153.771	-17.139	-3.148	0.457	KZ 525
		Min P <sub>x</sub>	-1.446	-2.729	180.622	-0.370	2.675	-0.345	KZ 576
		Max P <sub>y</sub>	▷ 0.938	4.382	182.035	17.759	-3.605	0.819	KZ 593
		Min P <sub>y</sub>	1.744	▷ -3.832	156.521	-17.944	-3.153	0.459	KZ 537
		Max P <sub>z</sub>	0.995	-1.908	▷ 198.810	-8.492	-1.725	0.278	KZ 634
		Min P <sub>z</sub>	-1.419	-2.916	▷ 148.775	-0.687	2.580	-0.347	KZ 517
		Max M <sub>x</sub>	0.938	4.382	182.035	▷ 17.759	-3.605	0.819	KZ 593
		Min M <sub>x</sub>	1.744	-3.832	156.521	▷ -17.944	-3.153	0.459	KZ 537
	KV3	Max M <sub>y</sub>	-1.446	-2.729	180.622	-0.370	▷ 2.675	-0.345	KZ 576
		Min M <sub>y</sub>	0.978	3.935	154.333	13.719	▷ -3.719	0.818	KZ 532
		Max M <sub>z</sub>	0.930	4.382	183.416	17.729	▷ -3.599	▷ 0.820	KZ 581
		Min M <sub>z</sub>	-1.419	-2.916	148.775	-0.687	2.580	▷ -0.347	KZ 517
		Max	-0.023	0.125	178.759	0.210	0.000	0.003	MSP - kvazistálá
		Min	-0.036	-0.013	154.119	-0.035	0.082	0.002	MSP - kvazistálá
		Max P <sub>x</sub>	▷ -0.023	-0.013	154.119	-0.035	0.082	0.002	KZ 766
		Min P <sub>x</sub>	▷ -0.036	0.125	178.759	0.210	0.150	0.003	KZ 767
		Max P <sub>y</sub>	-0.036	▷ 0.125	178.759	0.210	0.150	0.003	KZ 767
		Min P <sub>y</sub>	-0.023	▷ -0.013	154.119	-0.035	0.082	0.002	KZ 766
		Max P <sub>z</sub>	-0.036	0.125	▷ 178.759	0.210	0.150	0.003	KZ 767
		Min P <sub>z</sub>	-0.023	-0.013	▷ 154.119	-0.035	0.082	0.002	KZ 766
695	KV1	Max M <sub>x</sub>	-0.036	0.125	178.759	▷ 0.210	0.150	0.003	KZ 767
		Min M <sub>x</sub>	-0.023	-0.013	154.119	-0.035	0.082	0.002	KZ 766
		Max M <sub>y</sub>	-0.036	0.125	178.759	▷ 0.210	0.150	0.003	KZ 767
		Min M <sub>y</sub>	-0.023	-0.013	154.119	-0.035	0.082	0.002	KZ 766
		Max M <sub>z</sub>	-0.036	0.125	178.759	▷ 0.210	0.150	0.003	KZ 767
		Min M <sub>z</sub>	-0.023	-0.013	154.119	-0.035	0.082	0.002	KZ 766
	KV2	Max	9.566	10.306	150.664	84.888	4.290	-1.852	MSÚ (STR/GEO) - trvalá/dočasná - rovn. 6.10a a 6.10b
		Min	-4.751	-13.591	124.319	9.201	-56.595	-2.970	MSÚ (STR/GEO) - trvalá/dočasná - rovn. 6.10a a 6.10b
		Max P <sub>x</sub>	▷ 9.566	-13.324	126.222	20.471	-56.595	-1.856	KZ 207
		Min P <sub>x</sub>	▷ -4.751	9.810	125.000	80.315	4.290	-2.801	KZ 273
		Max P <sub>y</sub>	-4.712	▷ 10.306	126.465	84.888	4.016	-2.806	KZ 214
		Min P <sub>y</sub>	9.547	▷ -13.591	125.696	18.067	-56.437	-1.855	KZ 232
		Max P <sub>z</sub>	6.222	4.978	▷ 150.664	52.214	-44.493	-2.586	KZ 77
		Min P <sub>z</sub>	9.487	-13.485	▷ 124.319	18.999	-55.942	-1.852	KZ 184
		Max M <sub>x</sub>	-4.712	10.306	126.465	▷ 84.888	4.016	-2.806	KZ 214
		Min M <sub>x</sub>	0.338	-0.900	127.346	▷ 9.201	-13.273	-2.839	KZ 242
		Max M <sub>y</sub>	-4.751	9.810	125.000	80.315	▷ 4.290	-2.801	KZ 273
		Min M <sub>y</sub>	9.566	-13.324	126.222	20.471	▷ -56.595	-1.856	KZ 207
	KV3	Max M <sub>z</sub>	9.487	-13.485	124.319	18.999	-55.942	▷ -1.852	KZ 184
		Min M <sub>z</sub>	3.256	2.163	150.461	33.543	-29.811	▷ -2.970	KZ 49
		Max	7.426	7.742	113.462	65.604	-4.638	-1.680	MSP - charakteristická
		Min	-2.113	-8.187	108.683	15.240	-45.114	-2.338	MSP - charakteristická
		Max P <sub>x</sub>	▷ 7.426	-8.007	109.951	22.727	-45.114	-1.682	KZ 538
		Min P <sub>x</sub>	▷ -2.113	7.414	109.137	62.584	-4.638	-2.312	KZ 604
		Max P <sub>y</sub>	-2.084	▷ 7.742	110.113	65.604	-4.852	-2.315	KZ 545
		Min P <sub>y</sub>	7.415	▷ -8.187	109.601	21.113	-45.021	-1.682	KZ 563
		Max P <sub>z</sub>	4.622	3.693	▷ 113.462	38.603	-32.922	-1.917	KZ 663
		Min P <sub>z</sub>	7.380	-8.114	▷ 108.683	21.754	-44.734	-1.680	KZ 515
		Max M <sub>x</sub>	-2.084	7.742	110.113	▷ 65.604	-4.852	-2.315	KZ 545
		Min M <sub>x</sub>	1.285	0.276	110.701	▷ 15.240	-16.382	-2.337	KZ 573
	KV3	Max M <sub>y</sub>	-2.113	7.414	109.137	62.584	▷ -4.638	-2.312	KZ 604
		Min M <sub>y</sub>	7.426	-8.007	109.951	22.727	▷ -45.114	-1.682	KZ 538
		Max M <sub>z</sub>	7.380	-8.114	108.683	21.751	-44.733	▷ -1.680	KZ 599
		Min M <sub>z</sub>	1.294	0.561	111.275	17.856	▷ -16.453	-2.338	KZ 570
		Max	4.549	3.758	110.586	39.149	-32.346	-1.911	MSP - kvazistálá
		Min	4.549	3.758	110.586	39.147	-32.347	-1.911	MSP - kvazistálá

Projekt:

Model: HOŘICE-KONSTRUKCE 3D Budova redukované..

#### ■ 4.1 UZLY - PODPOROVÉ SÍLY

## Kombinace výsledků

Uzel	Podporové síly [kN]						Podporové momenty [kNm]			Rekombinace výsledků	
č.	KV		P <sub>x</sub>	P <sub>y</sub>	P <sub>z</sub>	M <sub>x</sub>	M <sub>y</sub>	M <sub>z</sub>			
695		Min P <sub>x</sub>	▷ 4.549	3.758	110.586	39.147	-32.346	-1.911	KZ 767		
		Max P <sub>y</sub>	4.549	▷ 3.758	110.586	39.149	-32.347	-1.911	KZ 766		
		Min P <sub>y</sub>	4.549	▷ 3.758	110.586	39.147	-32.346	-1.911	KZ 767		
		Max P <sub>z</sub>	4.549	3.758	▷ 110.586	39.149	-32.347	-1.911	KZ 766		
		Min P <sub>z</sub>	4.549	3.758	▷ 110.586	39.149	-32.347	-1.911	KZ 766		
		Max M <sub>x</sub>	4.549	3.758	▷ 110.586	▷ 39.149	-32.347	-1.911	KZ 766		
		Min M <sub>x</sub>	4.549	3.758	▷ 110.586	▷ 39.147	-32.346	-1.911	KZ 767		
		Max M <sub>y</sub>	4.549	3.758	110.586	39.147	▷ -32.346	-1.911	KZ 767		
		Min M <sub>y</sub>	4.549	3.758	110.586	39.149	▷ -32.347	-1.911	KZ 766		
		Max M <sub>z</sub>	4.549	3.758	110.586	39.147	-32.346	▷ -1.911	KZ 767		
		Min M <sub>z</sub>	4.549	3.758	110.586	39.149	-32.347	▷ -1.911	KZ 766		
697	KV1	Max	1.788	9.968	450.203	36.734	5.601	0.214	MSÚ (STR/GEO) - trvalá/dočasná - rovn. 6.10a a 6.10b		
		Min	-1.416	-12.116	253.764	-41.763	-7.141	-0.117	MSÚ (STR/GEO) - trvalá/dočasná - rovn. 6.10a a 6.10b		
		Max P <sub>x</sub>	▷ 1.788	5.579	309.163	-0.092	-7.141	0.200	KZ 196		
		Min P <sub>x</sub>	▷ -1.416	-11.221	343.362	-33.805	0.170	0.066	KZ 277		
		Max P <sub>y</sub>	-1.007	▷ 9.968	266.938	36.723	0.108	0.041	KZ 190		
		Min P <sub>y</sub>	-1.398	▷ -12.116	379.281	-41.763	0.091	0.067	KZ 242		
		Max P <sub>z</sub>	-0.447	4.903	▷ 450.203	16.324	-0.475	0.063	KZ 45		
		Min P <sub>z</sub>	-1.403	-11.246	▷ 253.764	-37.771	0.068	0.053	KZ 192		
		Max M <sub>x</sub>	-0.996	9.912	285.007	▷ 36.734	-0.166	0.043	KZ 226		
		Min M <sub>x</sub>	-1.398	-12.116	379.281	▷ -41.763	0.091	0.067	KZ 242		
		Max M <sub>y</sub>	-1.068	7.194	366.168	2.679	▷ 5.601	-0.104	KZ 269		
		Min M <sub>y</sub>	1.788	5.579	309.163	-0.092	▷ -7.141	0.200	KZ 196		
		Max M <sub>z</sub>	1.773	5.984	378.304	3.029	-7.026	▷ 0.214	KZ 255		
		Min M <sub>z</sub>	-1.066	7.533	264.752	3.284	5.479	▷ -0.117	KZ 186		
	KV2	Max	1.241	6.621	349.586	24.286	3.577	0.150	MSP - charakteristická		
		Min	-0.891	-8.099	224.855	-27.847	-4.890	-0.070	MSP - charakteristická		
		Max P <sub>x</sub>	▷ 1.241	3.695	261.782	-0.202	-4.890	0.141	KZ 527		
		Min P <sub>x</sub>	▷ -0.891	-7.501	284.586	-22.588	-0.032	0.052	KZ 608		
		Max P <sub>y</sub>	-0.618	▷ 6.621	233.639	24.286	-0.220	0.036	KZ 521		
		Min P <sub>y</sub>	-0.877	▷ -8.099	308.530	-27.847	-0.090	0.053	KZ 573		
		Max P <sub>z</sub>	-0.274	3.165	▷ 349.586	10.568	-0.353	0.049	KZ 618		
		Min P <sub>z</sub>	-0.883	-7.518	▷ 224.855	-25.268	-0.101	0.044	KZ 523		
		Max M <sub>x</sub>	-0.618	6.621	233.639	▷ 24.286	-0.220	0.036	KZ 521		
		Min M <sub>x</sub>	-0.877	-8.099	308.530	▷ -27.847	-0.090	0.053	KZ 573		
		Max M <sub>y</sub>	-0.662	4.773	299.793	1.645	▷ 3.577	-0.061	KZ 600		
		Min M <sub>y</sub>	1.241	3.695	261.782	-0.202	▷ -4.890	0.141	KZ 527		
		Max M <sub>z</sub>	1.232	3.966	307.880	1.876	-4.812	▷ 0.150	KZ 586		
		Min M <sub>z</sub>	-0.660	4.999	232.182	2.049	3.501	▷ -0.070	KZ 517		
		KV3	Max	0.222	-0.098	289.815	-0.604	-0.580	0.043	MSP - kvazistálá	
	Min		0.218	-0.283	238.631	-0.932	-0.635	0.035	MSP - kvazistálá		
	Max P <sub>x</sub>		▷ 0.222	-0.098	238.631	-0.604	-0.635	0.035	KZ 766		
	Min P <sub>x</sub>		▷ 0.218	-0.283	289.815	-0.932	-0.580	0.043	KZ 767		
	Max P <sub>y</sub>		0.222	▷ -0.098	238.631	-0.604	-0.635	0.035	KZ 766		
	Min P <sub>y</sub>		0.218	▷ -0.283	289.815	-0.932	-0.580	0.043	KZ 767		
	Max P <sub>z</sub>		0.218	-0.283	▷ 289.815	-0.932	-0.580	0.043	KZ 767		
	Min P <sub>z</sub>		0.222	-0.098	▷ 238.631	-0.604	-0.635	0.035	KZ 766		
	Max M <sub>x</sub>		0.222	-0.098	238.631	▷ -0.604	-0.635	0.035	KZ 766		
	Min M <sub>x</sub>		0.218	-0.283	289.815	▷ -0.932	-0.580	0.043	KZ 767		
	Max M <sub>y</sub>		0.218	-0.283	289.815	-0.932	▷ -0.580	0.043	KZ 767		
	Min M <sub>y</sub>		0.222	-0.098	238.631	-0.604	▷ -0.635	0.035	KZ 766		
	Max M <sub>z</sub>		0.218	-0.283	289.815	-0.932	-0.580	▷ 0.043	KZ 767		
	Min M <sub>z</sub>		0.222	-0.098	238.631	-0.604	-0.635	▷ 0.035	KZ 766		
	700		KV1	Max	1.723	9.959	521.996	36.834	5.657	0.169	MSÚ (STR/GEO) - trvalá/dočasná - rovn. 6.10a a 6.10b
				Min	-1.467	-12.173	302.844	-41.968	-7.041	-0.191	MSÚ (STR/GEO) - trvalá/dočasná - rovn. 6.10a a 6.10b
			Max P <sub>x</sub>	▷ 1.723	5.556	358.244	-0.164	-7.041	0.169	KZ 196	
			Min P <sub>x</sub>	▷ -1.467	-11.265	403.717	-33.913	0.174	-0.071	KZ 277	
			Max P <sub>y</sub>	-1.055	▷ 9.959	316.589	36.817	-0.082	-0.059	KZ 190	
			Min P <sub>y</sub>	-1.451	▷ -12.173	439.774	-41.968	0.096	-0.069	KZ 242	
			Max P <sub>z</sub>	-0.522	4.362	▷ 521.996	-1.292	2.972	-0.123	KZ 43	
			Min P <sub>z</sub>	-1.435	-11.217	302.844	-37.703	0.043	-0.056	KZ 192	
			Max M <sub>x</sub>	-1.050	9.909	325.666	▷ 36.834	-0.112	-0.058	KZ 214	
		Min M <sub>x</sub>	-1.451	-12.173	439.774	▷ -41.968	0.096	-0.069	KZ 242		
		Max M <sub>y</sub>	-1.104	8.476	431.238	2.798	▷ 5.657	-0.191	KZ 269		
		Min M <sub>y</sub>	1.723	5.556	358.244	-0.164	▷ -7.041	0.169	KZ 196		
		Max M <sub>z</sub>	1.721	5.849	355.693	1.470	-7.030	▷ 0.169	KZ 195		
		Min M <sub>z</sub>	-1.104	8.476	431.238	2.798	5.657	▷ -0.191	KZ 269		
KV2		Max	1.190	6.604	405.134	24.303	3.627	0.111	MSP - charakteristická		
		Min	-0.934	-8.152	267.992	-28.029	-4.812	-0.129	MSP - charakteristická		
		Max P <sub>x</sub>	▷ 1.190	3.667	304.923	-0.296	-4.812	0.110	KZ 527		
		Min P <sub>x</sub>	▷ -0.934	-7.545	335.240	-22.706	-0.018	-0.049	KZ 608		
		Max P <sub>y</sub>	-0.658	▷ 6.604	277.156	24.303	-0.191	-0.041	KZ 521		
		Min P <sub>y</sub>	-0.920	▷ -8.152	359.275	-28.029	-0.075	-0.048	KZ 573		
		Max P <sub>z</sub>	-0.340	2.776	▷ 405.134	-1.162	1.957	-0.087	KZ 616		
		Min P <sub>z</sub>	-0.913	-7.513	▷ 267.992	-25.271	-0.106	-0.039	KZ 523		
		Max M <sub>x</sub>	-0.658	6.604	277.156	▷ 24.303	-0.191	-0.041	KZ 521		
		Min M <sub>x</sub>	-0.920	-8.152	359.275	▷ -28.029	-0.075	-0.048	KZ 573		
		Max M <sub>y</sub>	-0.695	5.615	353.586	1.678	▷ 3.627	-0.129	KZ 600		
		Min M <sub>y</sub>	1.190	3.667	304.923	-0.296	▷ -4.812	0.110	KZ 527		



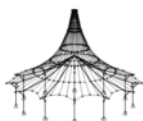
Projekt:

Model: HOŘICE-KONSTRUKCE\_3D\_Budova\_redukováne ..

## 4.1 UZLY - PODPOROVÉ SÍLY

Kombinace výsledků

Uzel	Podporové síly [kN]						Podporové momenty [kNm]			Reminiscence výsledků		
č.	KV		P <sub>x</sub>	P <sub>y</sub>	P <sub>z</sub>	M <sub>x</sub>	M <sub>y</sub>	M <sub>z</sub>				
700	KV3	Max M <sub>z</sub>	1.189	3.863	303.227	0.794	-4.804	▷	0.111	KZ 526		
		Min M <sub>z</sub>	-0.695	5.626	345.634	1.688	3.623	▷	-0.129	KZ 601		
		Max	0.186	-0.154	340.895	-0.803	-0.512		-0.007	MSP - kvazistálá		
		Min	0.172	-0.385	283.267	-1.259	-0.583		-0.016	MSP - kvazistálá		
		Max P <sub>x</sub>	▷	0.186	-0.154	283.267	-0.803	-0.583		-0.007	KZ 766	
		Min P <sub>x</sub>	▷	0.172	-0.385	340.895	-1.259	-0.512		-0.016	KZ 767	
		Max P <sub>y</sub>	▷	0.186	-0.154	283.267	-0.803	-0.583		-0.007	KZ 766	
		Min P <sub>y</sub>	▷	0.172	-0.385	340.895	-1.259	-0.512		-0.016	KZ 767	
		Max P <sub>z</sub>	▷	0.172	-0.385	▷	340.895	-1.259	-0.512		-0.016	KZ 767
		Min P <sub>z</sub>	▷	0.186	-0.154	▷	283.267	-0.803	-0.583		-0.007	KZ 766
		Max M <sub>x</sub>	0.186	-0.154	283.267	▷	-0.803	-0.583		-0.007	KZ 766	
		Min M <sub>x</sub>	0.172	-0.385	340.895	▷	-1.259	-0.512		-0.016	KZ 767	
		Max M <sub>y</sub>	0.172	-0.385	340.895	-1.259	▷	-0.512		-0.016	KZ 767	
		Min M <sub>y</sub>	0.186	-0.154	283.267	-0.803	▷	-0.583		-0.007	KZ 766	
		Max M <sub>z</sub>	0.186	-0.154	283.267	-0.803	-0.583	▷		-0.007	KZ 766	
		Min M <sub>z</sub>	0.172	-0.385	340.895	-1.259	-0.512	▷		-0.016	KZ 767	
703	KV1	Max	25.525	7.904	575.776	38.676	-8.966		0.314	MSÚ (STR/GEO) - trvalá/dočasná - rovn. 6.10a a 6.10b		
		Min	8.904	-9.065	340.942	-42.423	-41.438		-0.344	MSÚ (STR/GEO) - trvalá/dočasná - rovn. 6.10a a 6.10b		
	KV2	Max P <sub>x</sub>	▷	25.525	-4.690	537.246	-21.056	-39.836		0.160	KZ 327	
		Min P <sub>x</sub>	▷	8.904	-0.655	366.234	-2.387	-8.973		0.077	KZ 198	
		Max P <sub>y</sub>	▷	18.517	7.904	349.629	38.395	-31.752		-0.328	KZ 190	
		Min P <sub>y</sub>	▷	25.108	-9.065	498.852	-42.423	-41.433		0.314	KZ 242	
		Max P <sub>z</sub>	▷	24.887	3.500	575.776	17.398	-38.782		-0.187	KZ 45	
		Min P <sub>z</sub>	▷	18.553	-8.296	340.942	-38.722	-31.880		0.303	KZ 192	
		Max M <sub>x</sub>	▷	25.070	7.866	502.524	38.676	-41.301		-0.336	KZ 262	
		Min M <sub>x</sub>	▷	25.108	-9.065	498.852	-42.423	-41.433		0.314	KZ 242	
		Max M <sub>y</sub>	▷	8.904	-0.673	380.948	-2.427	-8.966		0.093	KZ 197	
		Min M <sub>y</sub>	▷	25.111	-7.633	477.301	-34.573	-41.438		0.285	KZ 275	
		Max M <sub>z</sub>	▷	25.108	-9.065	498.852	-42.423	-41.433	▷	0.314	KZ 242	
		Min M <sub>z</sub>	▷	25.070	7.696	492.621	37.575	-41.300	▷	-0.344	KZ 248	
		Max	19.566	5.217	452.235	25.525	-9.572		0.205	MSP - charakteristická		
		Min	8.488	-6.092	299.442	-28.270	-31.184		-0.231	MSP - charakteristická		
		Max P <sub>x</sub>	▷	19.566	-3.178	430.313	-14.099	-30.118		0.102	KZ 658	
		Min P <sub>x</sub>	▷	8.488	-0.489	316.311	-1.723	-9.576		0.048	KZ 529	
	KV3	Max P <sub>y</sub>	▷	14.894	5.217	305.233	25.405	-24.743		-0.222	KZ 521	
		Min P <sub>y</sub>	▷	19.286	-6.092	404.713	-28.270	-31.176		0.204	KZ 573	
		Max P <sub>z</sub>	▷	19.551	2.303	452.235	11.445	-30.063		-0.127	KZ 618	
		Min P <sub>z</sub>	▷	14.919	-5.581	299.442	-25.892	-24.829		0.197	KZ 523	
		Max M <sub>x</sub>	▷	19.261	5.191	407.162	25.525	-31.089		-0.226	KZ 593	
		Min M <sub>x</sub>	▷	19.286	-6.092	404.713	-28.270	-31.176		0.204	KZ 573	
		Max M <sub>y</sub>	▷	8.488	-0.501	326.121	-1.749	-9.572		0.058	KZ 528	
		Min M <sub>y</sub>	▷	19.289	-5.139	390.346	-23.084	-31.184		0.184	KZ 606	
		Max M <sub>z</sub>	▷	14.917	-6.086	317.302	-28.174	-24.822	▷	0.205	KZ 537	
		Min M <sub>z</sub>	▷	19.262	5.077	400.560	24.796	-31.090	▷	-0.231	KZ 579	
		Max	14.677	-0.222	384.126	-0.568	-15.384		-0.017	MSP - kvazistálá		
		Min	10.933	-0.228	309.208	-0.572	-20.810		-0.020	MSP - kvazistálá		
		Max P <sub>x</sub>	▷	14.677	-0.228	384.126	-0.568	-20.810		-0.020	KZ 767	
		Min P <sub>x</sub>	▷	10.933	-0.222	309.208	-0.572	-15.384		-0.017	KZ 766	
		Max P <sub>y</sub>	▷	10.933	-0.222	309.208	-0.572	-15.384		-0.017	KZ 766	
		Min P <sub>y</sub>	▷	14.677	-0.228	384.126	-0.568	-20.810		-0.020	KZ 767	
		Max P <sub>z</sub>	▷	14.677	-0.228	384.126	-0.568	-20.810		-0.020	KZ 767	
		Min P <sub>z</sub>	▷	10.933	-0.222	309.208	-0.572	-15.384		-0.017	KZ 766	
		Max M <sub>x</sub>	▷	14.677	-0.228	384.126	-0.568	-20.810		-0.020	KZ 767	
		Min M <sub>x</sub>	▷	10.933	-0.222	309.208	-0.572	-15.384		-0.017	KZ 766	
		Max M <sub>y</sub>	▷	10.933	-0.222	309.208	-0.572	-15.384	▷	-0.017	KZ 766	
	Min M <sub>y</sub>	▷	14.677	-0.228	384.126	-0.568	-20.810		-0.020	KZ 767		
	Max M <sub>z</sub>	▷	10.933	-0.222	309.208	-0.572	-15.384	▷	-0.017	KZ 766		
	Min M <sub>z</sub>	▷	14.677	-0.228	384.126	-0.568	-20.810	▷	-0.020	KZ 767		
	706	KV1	Max	-6.424	7.911	648.263	38.618	39.138		0.456	MSÚ (STR/GEO) - trvalá/dočasná - rovn. 6.10a a 6.10b	
Min			-25.476	-9.089	382.119	-42.579	3.973		-0.264	MSÚ (STR/GEO) - trvalá/dočasná - rovn. 6.10a a 6.10b		
KV2		Max P <sub>x</sub>	▷	-6.424	-8.263	382.119	-38.664	3.973		-0.240	KZ 192	
		Min P <sub>x</sub>	▷	-25.476	-0.931	639.112	-3.151	39.138		0.126	KZ 285	
		Max P <sub>y</sub>	▷	-6.492	7.911	391.207	38.491	4.150		0.397	KZ 190	
		Min P <sub>y</sub>	▷	-13.963	-9.089	553.222	-42.579	14.753		-0.219	KZ 242	
		Max P <sub>z</sub>	▷	-24.435	-0.964	648.263	-3.251	37.735		0.117	KZ 43	
		Min P <sub>z</sub>	▷	-6.424	-8.263	382.119	-38.664	3.973		-0.240	KZ 192	
		Max M <sub>x</sub>	▷	-14.015	7.821	547.235	38.618	14.905		0.456	KZ 250	
		Min M <sub>x</sub>	▷	-13.963	-9.089	553.222	-42.579	14.753		-0.219	KZ 242	
		Max M <sub>y</sub>	▷	-25.476	-0.931	639.112	-3.151	39.138	▷	0.126	KZ 285	
		Min M <sub>y</sub>	▷	-6.424	-8.263	382.119	-38.664	3.973	▷	-0.240	KZ 192	
		Max M <sub>z</sub>	▷	-13.995	7.844	534.529	38.562	14.871	▷	0.456	KZ 274	
		Min M <sub>z</sub>	▷	-6.458	-9.034	409.903	-42.190	4.030	▷	-0.264	KZ 206	
		Max	-6.820	5.205	508.431	25.432	29.786		0.318	MSP - charakteristická		
		Min	-19.518	-6.128	337.103	-28.428	6.380		-0.160	MSP - charakteristická		
		Max P <sub>x</sub>	▷	-6.820	-5.578	337.103	-25.910	6.380		-0.144	KZ 523	
		Min P <sub>x</sub>	▷	-19.518	-0.692	508.431	-2.284	29.786		0.100	KZ 616	
Max P <sub>y</sub>		▷	-6.865	5.205	343.163	25.414	6.498		0.280	KZ 521		
Min P <sub>y</sub>		▷	-11.847	-6.128	451.180	-28.428	13.574		-0.128	KZ 573		
Max P <sub>z</sub>		▷	-19.518	-0.692	508.431	-2.284	29.786		0.100	KZ 616		



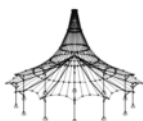
Projekt:

Model: HOŘICE-KONSTRUKCE\_3D\_Budova\_redukováne ..

## 4.1 UZLY - PODPOROVÉ SÍLY

Kombinace výsledků

Uzel č.	KV		Podporové síly [kN]			Podporové momenty [kNm]			
			P <sub>x</sub>	P <sub>y</sub>	P <sub>z</sub>	M <sub>x</sub>	M <sub>y</sub>	M <sub>z</sub>	
706	KV3	Min P <sub>z</sub>	-6.820	-5.578	337.103	-25.910	6.380	-0.144	KZ 523
		Max M <sub>x</sub>	-6.877	5.188	351.635	25.432	6.520	0.279	KZ 545
		Min M <sub>x</sub>	-11.847	-6.128	451.180	-28.428	13.574	-0.128	KZ 573
		Max M <sub>y</sub>	-19.518	-0.692	508.431	-2.284	29.786	0.100	KZ 616
		Min M <sub>y</sub>	-6.820	-5.578	337.103	-25.910	6.380	-0.144	KZ 523
		Max M <sub>z</sub>	-11.868	5.161	438.716	25.412	13.650	0.318	KZ 605
		Min M <sub>z</sub>	-6.843	-6.090	355.628	-28.223	6.421	-0.160	KZ 537
		Max	-10.871	-0.299	434.845	-0.810	22.117	0.097	MSP - kvazistálá
		Min	-15.161	-0.334	352.937	-0.897	15.967	0.066	MSP - kvazistálá
		Max P <sub>x</sub>	-10.871	-0.299	352.937	-0.810	15.967	0.066	KZ 766
		Min P <sub>x</sub>	-15.161	-0.334	434.845	-0.897	22.117	0.097	KZ 767
		Max P <sub>y</sub>	-10.871	-0.299	352.937	-0.810	15.967	0.066	KZ 766
		Min P <sub>y</sub>	-15.161	-0.334	434.845	-0.897	22.117	0.097	KZ 767
		Max P <sub>z</sub>	-15.161	-0.334	434.845	-0.897	22.117	0.097	KZ 767
		Min P <sub>z</sub>	-10.871	-0.299	352.937	-0.810	15.967	0.066	KZ 766
		Max M <sub>x</sub>	-10.871	-0.299	352.937	-0.810	15.967	0.066	KZ 766
		Min M <sub>x</sub>	-15.161	-0.334	434.845	-0.897	22.117	0.097	KZ 767
		Max M <sub>y</sub>	-15.161	-0.334	434.845	-0.897	22.117	0.097	KZ 767
		Min M <sub>y</sub>	-10.871	-0.299	352.937	-0.810	15.967	0.066	KZ 766
		Max M <sub>z</sub>	-15.161	-0.334	434.845	-0.897	22.117	0.097	KZ 767
		Min M <sub>z</sub>	-10.871	-0.299	352.937	-0.810	15.967	0.066	KZ 766
725	KV1	Max	4.342	29.141	443.802	146.452	8.457	0.428	MSÚ (STR/GEO) - trvalá/dočasná - rovn. 6.10a a 6.10b
		Min	-1.123	-17.255	276.278	-22.433	-32.147	-4.335	MSÚ (STR/GEO) - trvalá/dočasná - rovn. 6.10a a 6.10b
		Max P <sub>x</sub>	4.342	-15.972	320.484	-10.482	-12.677	0.308	KZ 205
		Min P <sub>x</sub>	-1.123	24.706	349.298	94.814	-10.027	-4.196	KZ 269
		Max P <sub>y</sub>	-0.038	29.141	291.506	100.334	-23.187	-4.276	KZ 183
		Min P <sub>y</sub>	4.278	-17.255	364.123	-22.433	-21.488	0.375	KZ 242
		Max P <sub>z</sub>	-0.846	17.190	443.802	90.348	-9.376	-3.174	KZ 43
		Min P <sub>z</sub>	4.300	-15.029	276.278	-14.724	-19.440	0.051	KZ 194
		Max M <sub>x</sub>	2.831	26.883	310.711	146.452	-14.892	-3.633	KZ 226
		Min M <sub>x</sub>	4.278	-17.255	364.123	-22.433	-21.488	0.375	KZ 242
		Max M <sub>y</sub>	-0.699	14.158	391.625	71.669	8.457	-2.447	KZ 110
		Min M <sub>y</sub>	-0.093	28.902	335.365	99.886	-32.147	-4.327	KZ 267
		Max M <sub>z</sub>	4.337	-17.009	320.262	-21.835	-12.550	0.428	KZ 206
		Min M <sub>z</sub>	-0.079	28.881	354.986	100.235	-30.343	-4.335	KZ 255
	KV2	Max	2.832	20.965	351.362	111.457	3.257	-0.066	MSP - charakteristická
		Min	-0.808	-9.958	245.239	-0.830	-23.776	-3.241	MSP - charakteristická
		Max P <sub>x</sub>	2.832	-7.805	258.475	11.883	-14.187	-0.404	KZ 560
		Min P <sub>x</sub>	-0.808	18.007	293.917	77.134	-9.068	-3.148	KZ 600
		Max P <sub>y</sub>	-0.081	20.965	255.393	80.822	-17.811	-3.201	KZ 514
		Min P <sub>y</sub>	2.789	-9.958	303.799	-0.830	-16.686	-0.101	KZ 573
		Max P <sub>z</sub>	-0.570	10.793	351.362	61.277	-2.683	-2.012	KZ 477
		Min P <sub>z</sub>	2.806	-8.476	245.239	4.235	-15.322	-0.318	KZ 525
		Max M <sub>x</sub>	1.824	19.458	268.196	111.457	-12.292	-2.773	KZ 557
		Min M <sub>x</sub>	2.789	-9.958	303.799	-0.830	-16.686	-0.101	KZ 573
		Max M <sub>y</sub>	-0.527	10.953	322.121	61.583	3.257	-1.977	KZ 441
		Min M <sub>y</sub>	-0.120	20.805	284.632	80.522	-23.776	-3.235	KZ 598
		Max M <sub>z</sub>	2.829	-9.795	274.558	-0.465	-10.730	-0.066	KZ 537
		Min M <sub>z</sub>	-0.108	20.790	297.716	80.730	-22.569	-3.241	KZ 586
	KV3	Max	-0.258	6.619	286.719	60.301	-10.142	-1.512	MSP - kvazistálá
		Min	-0.293	6.482	261.656	60.044	-15.242	-1.541	MSP - kvazistálá
		Max P <sub>x</sub>	-0.258	6.619	261.656	60.301	-10.142	-1.512	KZ 766
		Min P <sub>x</sub>	-0.293	6.482	286.719	60.044	-15.242	-1.541	KZ 767
		Max P <sub>y</sub>	-0.258	6.619	261.656	60.301	-10.142	-1.512	KZ 766
		Min P <sub>y</sub>	-0.293	6.482	286.719	60.044	-15.242	-1.541	KZ 767
		Max P <sub>z</sub>	-0.293	6.482	286.719	60.044	-15.242	-1.541	KZ 767
		Min P <sub>z</sub>	-0.258	6.619	261.656	60.301	-10.142	-1.512	KZ 766
		Max M <sub>x</sub>	-0.258	6.619	261.656	60.301	-10.142	-1.512	KZ 766
		Min M <sub>x</sub>	-0.293	6.482	286.719	60.044	-15.242	-1.541	KZ 767
726	KV1	Max	7.694	28.382	502.288	147.729	-24.283	-1.144	MSÚ (STR/GEO) - trvalá/dočasná - rovn. 6.10a a 6.10b
		Min	2.674	-13.358	345.002	-10.629	-80.746	-5.284	MSÚ (STR/GEO) - trvalá/dočasná - rovn. 6.10a a 6.10b
		Max P <sub>x</sub>	7.694	-12.729	386.642	44.912	-65.977	-1.295	KZ 207
		Min P <sub>x</sub>	2.674	27.281	396.818	135.906	-37.262	-5.086	KZ 273
		Max P <sub>y</sub>	2.721	28.382	408.192	147.729	-36.137	-5.207	KZ 262
		Min P <sub>y</sub>	7.693	-13.358	374.303	39.043	-67.300	-1.200	KZ 196
		Max P <sub>z</sub>	4.902	-0.375	502.288	68.933	-57.547	-3.363	KZ 43
		Min P <sub>z</sub>	2.691	27.879	345.002	144.874	-26.530	-5.244	KZ 188
		Max M <sub>x</sub>	2.721	28.382	408.192	147.729	-36.137	-5.207	KZ 262
		Min M <sub>x</sub>	3.382	-10.889	374.522	-10.629	-31.441	-2.074	KZ 206
		Max M <sub>y</sub>	2.768	26.879	365.932	134.279	-24.283	-5.105	KZ 199
		Min M <sub>y</sub>	7.521	-3.209	474.872	65.963	-80.746	-2.822	KZ 93
		Max M <sub>z</sub>	7.676	-13.093	426.057	39.491	-78.063	-1.144	KZ 232
		Min M <sub>z</sub>	4.632	21.269	427.456	128.993	-43.283	-5.284	KZ 36
	KV2	Max	6.180	20.455	382.553	112.325	-26.169	-1.511	MSP - charakteristická
		Min	2.832	-7.372	304.187	7.050	-63.044	-4.258	MSP - charakteristická



Projekt:

Model: HOŘICE-KONSTRUKCE\_3D\_Budova\_redukováne ..

## 4.1 UZLY - PODPOROVÉ SÍLY

Kombinace výsledků

Uzel			Podporové síly [kN]			Podporové momenty [kNm]			
č.	KV		P <sub>x</sub>	P <sub>y</sub>	P <sub>z</sub>	M <sub>x</sub>	M <sub>y</sub>	M <sub>z</sub>	
726	KV3	Max P <sub>x</sub>	▷ 6.180	-6.949	331.949	43.906	-53.831	-1.613	KZ 538
		Min P <sub>x</sub>	▷ 2.832	19.722	338.732	104.506	-34.784	-4.140	KZ 604
		Max P <sub>y</sub>	▷ 2.864	20.455	346.316	112.325	-34.050	-4.220	KZ 593
		Min P <sub>y</sub>	▷ 6.178	-7.372	323.722	39.988	-54.721	-1.549	KZ 527
		Max P <sub>z</sub>	▷ 3.790	0.458	382.553	51.853	-41.049	-2.556	KZ 704
		Min P <sub>z</sub>	▷ 2.843	20.124	304.187	110.521	-27.636	-4.246	KZ 519
		Max M <sub>x</sub>	2.864	20.455	346.316	▷ 112.325	-34.050	-4.220	KZ 593
		Min M <sub>x</sub>	3.310	-5.720	323.870	▷ 7.050	-30.946	-2.134	KZ 537
		Max M <sub>y</sub>	2.897	19.449	318.143	103.350	▷ -26.169	-4.152	KZ 530
		Min M <sub>y</sub>	6.105	-6.999	345.669	42.279	▷ -63.044	-1.549	KZ 599
		Max M <sub>z</sub>	6.167	-7.195	358.225	40.289	-61.894	▷ -1.511	KZ 563
		Min M <sub>z</sub>	2.875	20.276	311.813	111.961	-26.868	▷ -4.258	KZ 557
		Max	4.505	6.754	347.509	60.768	-42.840	-3.184	MSP - kvazistálá
		Min	4.495	6.602	317.935	60.508	-48.984	-3.216	MSP - kvazistálá
		Max P <sub>x</sub>	▷ 4.505	6.602	317.935	60.508	-42.840	-3.216	KZ 766
		Min P <sub>x</sub>	▷ 4.495	6.754	347.509	60.768	-48.984	-3.184	KZ 767
		Max P <sub>y</sub>	▷ 4.495	6.754	347.509	60.768	-48.984	-3.184	KZ 767
		Min P <sub>y</sub>	▷ 4.505	6.602	317.935	60.508	-42.840	-3.216	KZ 766
		Max P <sub>z</sub>	▷ 4.495	6.754	347.509	60.768	-48.984	-3.184	KZ 767
		Min P <sub>z</sub>	▷ 4.505	6.602	317.935	60.508	-42.840	-3.216	KZ 766
		Max M <sub>x</sub>	4.495	6.754	347.509	▷ 60.768	-48.984	-3.184	KZ 767
		Min M <sub>x</sub>	4.505	6.602	317.935	▷ 60.508	-42.840	-3.216	KZ 766
		Max M <sub>y</sub>	4.505	6.602	317.935	60.508	▷ -42.840	-3.216	KZ 766
		Min M <sub>y</sub>	4.495	6.754	347.509	60.768	▷ -48.984	-3.184	KZ 767
		Max M <sub>z</sub>	4.495	6.754	347.509	60.768	-48.984	▷ -3.184	KZ 767
		Min M <sub>z</sub>	4.505	6.602	317.935	60.508	-42.840	▷ -3.216	KZ 766

## 4.12 PRŮŘEZY - VNITŘNÍ SÍLY

Kombinace výsledků

Prut č.	KV	Uzel č.	Místo x [mm]		Síly [kN]			Momenty [kNm]			Příslušející zat. stavy
					N	V <sub>y</sub> / V <sub>u</sub>	V <sub>z</sub> / V <sub>v</sub>	M <sub>T</sub>	M <sub>y</sub> / M <sub>u</sub>	M <sub>z</sub> / M <sub>v</sub>	
Průřez č. 1: Obdélník 400/500 (IfcRectangleProfileDef)											
26	KV1	77	4098.2	MAX N	▷ 0.878	0.225	-3.107	0.116	-0.095	-1.353	KZ 146
217	KV1	530	0.0	MIN N	▷ -853.728	0.111	4.703	-0.590	-21.648	3.550	KZ 49
218	KV1		1744.0	MAX V <sub>y</sub>	▷ -484.432	▷ 27.968	-4.508	0.038	12.459	-5.442	KZ 299
219	KV1		1308.0	MIN V <sub>y</sub>	▷ -495.472	▷ -26.612	0.604	0.028	-1.836	-5.813	KZ 285
17	KV1	504	0.0	MAX V <sub>z</sub>	-104.600	-15.964	▷ 15.033	-0.077	-12.107	16.663	KZ 206
15	KV1		165.1	MIN V <sub>z</sub>	-75.622	-7.947	▷ -20.890	0.055	7.653	-14.104	KZ 245
270	KV1	679	0.0	MAX M <sub>T</sub>	-501.584	8.539	8.548	▷ 1.305	-38.378	16.512	KZ 242
272	KV1		4360.0	MIN M <sub>T</sub>	-176.676	-5.668	-0.350	▷ -1.231	12.685	12.815	KZ 250
221	KV1	542	0.0	MAX M <sub>y</sub>	-681.535	11.494	-8.798	0.111	▷ 40.921	22.460	KZ 250
225	KV1	554	0.0	MIN M <sub>y</sub>	-677.608	1.013	9.652	0.128	▷ -44.171	6.671	KZ 242
219	KV1	537	4360.0	MAX M <sub>z</sub>	-477.953	-26.048	0.613	0.031	▷ 0.027	74.888	KZ 285
218	KV1	534	4360.0	MIN M <sub>z</sub>	-478.332	27.377	4.447	-0.371	▷ -0.725	-78.147	KZ 305
Průřez č. 2: Obdélník 400/400 (IfcRectangleProfileDef)											
10	KV1	29	4444.4	MAX N	▷ -11.504	7.618	0.056	-3.415	0.000	0.000	KZ 185
236	KV1	581	0.0	MIN N	▷ -313.558	-2.264	0.223	0.552	-1.261	-4.601	KZ 43
228	KV1	563	0.0	MAX V <sub>y</sub>	-112.120	22.657	2.949	-5.917	-15.281	57.148	KZ 206
228	KV1	563	0.0	MIN V <sub>y</sub>	-106.980	▷ -13.438	0.164	3.557	-0.647	-34.179	KZ 245
236	KV1	582	4360.0	MAX V <sub>z</sub>	-238.929	-1.207	▷ 3.654	0.251	-4.417	6.595	KZ 242
236	KV1	582	4360.0	MIN V <sub>z</sub>	-226.488	-0.834	▷ -3.511	0.148	3.912	6.785	KZ 250
213	KV1	518	0.0	MAX M <sub>T</sub>	-114.032	17.956	2.402	▷ 5.607	-13.915	45.396	KZ 278
228	KV1	563	0.0	MIN M <sub>T</sub>	-114.808	18.468	-2.475	▷ -6.714	13.835	49.470	KZ 274
235	KV1	578	0.0	MAX M <sub>y</sub>	-223.989	2.661	-3.353	▷ -0.533	18.973	8.104	KZ 262
236	KV1	581	0.0	MIN M <sub>y</sub>	-258.987	-1.263	3.477	▷ 0.247	-20.060	1.185	KZ 242
228	KV1	563	0.0	MAX M <sub>z</sub>	-112.120	22.657	2.949	-5.917	-15.281	▷ 57.148	KZ 206
228	KV1	563	0.0	MIN M <sub>z</sub>	-106.980	-13.438	0.164	3.557	-0.647	▷ -34.179	KZ 245
Průřez č. 3: Obdélník 200/400 (IfcRectangleProfileDef)											
314	KV1	47	0.0	MAX N	▷ 19.853	-0.004	7.385	0.103	0.000	0.000	KZ 265
33	KV1		2500.0	MIN N	▷ -5.827	0.000	-0.002	-0.011	9.142	0.000	KZ 185
284	KV1	38	0.0	MAX V <sub>y</sub>	▷ 7.428	0.044	10.173	-1.463	-0.001	0.001	KZ 24
283	KV1	38	6000.0	MIN V <sub>y</sub>	▷ 9.278	▷ -0.044	-10.146	3.677	-0.008	0.003	KZ 24
285	KV1	40	0.0	MAX V <sub>z</sub>	1.602	0.022	▷ 10.711	-0.133	0.000	0.000	KZ 411
285	KV1	1	6000.0	MIN V <sub>z</sub>	1.597	-0.021	▷ -10.735	-0.138	0.000	0.000	KZ 422
286	KV1		3000.0	MAX M <sub>T</sub>	9.346	0.000	0.002	▷ 4.480	12.798	-0.033	KZ 245
284	KV1		3000.0	MIN M <sub>T</sub>	5.934	0.000	0.003	▷ -2.217	15.267	-0.049	KZ 7
285	KV1		3000.0	MAX M <sub>y</sub>	1.585	0.000	0.006	▷ -0.136	16.083	-0.032	KZ 423
286	KV1	65	0.0	MIN M <sub>y</sub>	8.486	0.016	10.021	4.401	▷ -0.011	-0.004	KZ 55
312	KV1		2500.0	MAX M <sub>z</sub>	14.257	0.000	0.002	-0.045	9.208	▷ 0.008	KZ 206
284	KV1		3000.0	MIN M <sub>z</sub>	7.409	0.000	0.003	-1.476	15.266	▷ -0.060	KZ 60
Průřez č. 4: 2UK UPE 160 (Ferona - DIN 1026-2 (AREA.))											
239	KV1	591	3988.4	MAX N	▷ 16.930	-0.027	0.217	0.000	0.841	0.122	KZ 183
239	KV1	590	0.0	MIN N	▷ -134.086	-0.019	-7.455	0.000	0.000	0.020	KZ 109
245	KV1	608	0.0	MAX V <sub>y</sub>	▷ -58.789	▷ 2.475	0.011	0.000	-0.079	0.000	KZ 145
245	KV1	609	3988.4	MIN V <sub>y</sub>	▷ 9.418	▷ -0.442	0.009	0.000	-0.054	1.728	KZ 183
246	KV1	612	3988.4	MAX V <sub>z</sub>	14.346	0.013	▷ 0.815	0.000	3.188	0.016	KZ 183
239	KV1	590	0.0	MIN V <sub>z</sub>	-134.086	-0.019	▷ -7.455	0.000	0.000	0.020	KZ 109
239	KV1	591	3988.4	MAX M <sub>T</sub>	-66.935	0.007	-3.490	▷ 0.001	-15.392	-0.069	KZ 233
239	KV1	591	3988.4	MIN M <sub>T</sub>	-90.312	-0.016	-4.222	▷ -0.002	-19.349	0.118	KZ 196
246	KV1	612	3988.4	MAX M <sub>y</sub>	14.346	0.013	0.815	▷ 0.000	3.188	0.016	KZ 183
239	KV1	591	3988.4	MIN M <sub>y</sub>	-132.619	-0.008	-5.483	-0.002	▷ -27.079	0.079	KZ 109
245	KV1	609	3988.4	MAX M <sub>z</sub>	9.418	-0.442	0.009	0.000	-0.054	▷ 1.728	KZ 183
245	KV1	609	3988.4	MIN M <sub>z</sub>	-57.244	2.032	0.014	0.000	-0.030	▷ -9.270	KZ 145
Průřez č. 5: UZU 550/150/0/285/0/500 (AREA.)											
309	KV1		200.0	MAX N	▷ 21.495	-120.711	227.859	16.193	-96.404	-60.955	KZ 278



Projekt:

Model: HOŘICE-KONSTRUKCE\_3D\_Budova\_redukováne ..

## 4.12 PRŮŘEZY - VNITŘNÍ SÍLY

Kombinace výsledků

Prut č.	KV	Uzel č.	Místo x [mm]		Síly [kN]			Momenty [kNm]			Příslušející zat. stavy
					N	V <sub>y</sub> / V <sub>u</sub>	V <sub>z</sub> / V <sub>v</sub>	M <sub>T</sub>	M <sub>y</sub> / M <sub>u</sub>	M <sub>z</sub> / M <sub>v</sub>	
307	KV1	727	5000.0	MIN N	▷ -6.694	77.788	-119.016	-8.132	-130.604	-90.936	KZ 255
339	KV1		5000.0	MAX V <sub>u</sub>	▷ 0.876	169.242	-286.738	-20.029	-187.159	-124.178	KZ 307
309	KV1	727	0.0	MIN V <sub>u</sub>	▷ -3.115	-150.693	253.624	18.104	-162.404	-108.418	KZ 295
309	KV1	727	0.0	MAX V <sub>v</sub>	▷ 12.718	-140.332	259.560	18.302	-165.845	-102.128	KZ 294
339	KV1	677	5000.0	MIN V <sub>v</sub>	▷ 3.677	159.682	-291.327	-20.321	-186.787	-116.791	KZ 290
345	KV1	671	0.0	MAX M <sub>T</sub>	▷ 4.116	-131.026	232.345	▷ 18.897	-172.458	-113.400	KZ 294
339	KV1		5000.0	MIN M <sub>T</sub>	▷ 3.676	159.719	-291.313	▷ -20.334	-186.786	-116.843	KZ 288
339	KV1		2400.0	MAX M <sub>u</sub>	▷ 3.598	48.614	-61.041	▷ -3.214	134.119	102.022	KZ 287
343	KV1	674	0.0	MIN M <sub>u</sub>	▷ 4.308	-135.426	253.088	16.947	▷ -197.393	-123.024	KZ 326
335	KV1		3200.0	MAX M <sub>v</sub>	▷ -0.101	-18.533	21.229	0.523	130.982	▷ 102.688	KZ 297
343	KV1	674	0.0	MIN M <sub>v</sub>	▷ 1.551	-142.217	248.887	16.495	-193.218	▷ -127.832	KZ 330
Průřez č. 6: Obdélník 400/550 (IfcRectangleProfileDef)											
255	KV1	635	0.0	MAX N	▷ 5.057	-0.008	16.334	0.532	0.000	0.000	KZ 209
262	KV1		2025.0	MIN N	▷ -17.515	0.000	0.000	1.457	18.976	0.004	KZ 274
253	KV1	522	0.0	MAX V <sub>y</sub>	▷ -14.164	0.020	26.362	-0.122	0.000	0.000	KZ 250
257	KV1	564	4950.0	MIN V <sub>y</sub>	▷ -16.569	-0.023	-26.362	11.389	-0.008	0.003	KZ 242
257	KV1	513	0.0	MAX V <sub>z</sub>	▷ -15.735	0.005	30.269	6.777	-0.003	-0.002	KZ 52
257	KV1	564	4950.0	MIN V <sub>z</sub>	▷ -15.734	-0.016	-30.269	6.777	-0.003	0.002	KZ 52
257	KV1		2475.0	MAX M <sub>T</sub>	▷ -16.577	0.000	0.000	▷ 11.412	32.617	-0.019	KZ 242
358	KV1		2025.0	MIN M <sub>T</sub>	▷ -16.367	0.000	0.000	▷ -9.222	21.832	-0.012	KZ 250
253	KV1		2475.0	MAX M <sub>y</sub>	▷ -14.185	0.000	0.000	-0.062	▷ 37.459	-0.017	KZ 48
257	KV1	513	0.0	MIN M <sub>y</sub>	▷ -16.569	0.007	26.362	11.389	▷ -0.008	-0.003	KZ 242
253	KV1		2475.0	MAX M <sub>z</sub>	▷ 0.814	0.000	0.000	1.164	32.618	▷ 0.014	KZ 233
253	KV1		2475.0	MIN M <sub>z</sub>	▷ -14.171	0.000	0.000	-0.104	32.624	▷ -0.025	KZ 250
Průřez č. 7: Obdélník 400/550 (IfcRectangleProfileDef)											
258	KV1		6950.0	MAX N	▷ 7.727	0.004	-66.161	-6.528	0.001	-0.009	KZ 221
259	KV1		3475.0	MIN N	▷ -9.172	0.000	-0.213	11.121	125.522	0.036	KZ 238
258	KV1	537	0.0	MAX V <sub>y</sub>	▷ -7.231	0.071	82.714	-8.471	0.000	0.015	KZ 45
259	KV1	534	0.0	MIN V <sub>y</sub>	▷ -1.120	-0.074	84.131	9.457	0.000	-0.017	KZ 43
259	KV1	534	0.0	MAX V <sub>z</sub>	▷ -8.239	-0.069	84.144	11.302	0.000	-0.020	KZ 48
258	KV1	582	6950.0	MIN V <sub>z</sub>	▷ -7.396	-0.018	-84.666	-8.473	0.000	-0.015	KZ 48
259	KV1	534	0.0	MAX M <sub>T</sub>	▷ -8.919	-0.064	75.517	▷ 11.603	0.000	-0.018	KZ 290
258	KV1	537	0.0	MIN M <sub>T</sub>	▷ -0.181	0.061	73.786	▷ -10.680	0.000	0.017	KZ 297
259	KV1		3475.0	MAX M <sub>y</sub>	▷ -8.389	0.000	-0.226	11.302	▷ 145.421	0.057	KZ 48
258	KV1	537	0.0	MIN M <sub>y</sub>	▷ -3.204	0.057	71.311	▷ -7.398	0.000	0.011	KZ 276
259	KV1		2978.6	MAX M <sub>z</sub>	▷ -0.935	-0.007	11.742	9.456	142.534	▷ 0.078	KZ 55
258	KV1		2978.6	MIN M <sub>z</sub>	▷ -7.346	0.007	12.415	-8.468	142.212	▷ -0.080	KZ 47
Průřez č. 8: Obdélník 200/500											
281	KV1		2559.3	MAX N	▷ 18.663	5.331	-9.213	5.176	-8.235	-10.940	KZ 219
282	KV1		510.0	MIN N	▷ -17.090	14.353	-1.089	8.580	-1.381	-6.637	KZ 273
282	KV1	65	0.0	MAX V <sub>y</sub>	▷ -15.860	14.502	-0.483	8.655	-0.066	0.000	KZ 237
281	KV1	56	0.0	MIN V <sub>y</sub>	▷ -8.327	-13.120	1.206	-8.215	-0.061	0.000	KZ 229
289	KV1		4064.8	MAX V <sub>z</sub>	▷ 6.138	0.141	35.680	-1.120	-27.445	0.797	KZ 379
290	KV1		4968.0	MIN V <sub>z</sub>	▷ 11.555	6.598	-34.885	1.461	-27.353	-7.049	KZ 375
282	KV1		510.0	MAX M <sub>T</sub>	▷ 2.824	10.160	-9.741	▷ 9.049	1.011	-5.581	KZ 239
281	KV1		10.0	MIN M <sub>T</sub>	▷ -4.280	-10.044	6.898	▷ -8.410	0.017	0.100	KZ 199
332	KV1		1477.2	MAX M <sub>y</sub>	▷ 1.244	-0.002	27.950	-0.025	▷ 44.413	0.003	KZ 335
289	KV1		4064.8	MIN M <sub>y</sub>	▷ 11.544	-7.453	-23.169	-1.399	▷ -27.447	4.057	KZ 379
281	KV1		2559.3	MAX M <sub>z</sub>	▷ -3.779	-10.609	-11.272	-8.140	-10.144	▷ 27.775	KZ 229
282	KV1		2057.5	MIN M <sub>z</sub>	▷ -14.706	14.197	-9.074	8.597	-11.283	▷ -29.406	KZ 201
Průřez č. 9: Obdélník 200/750											
61	KV1	187	10839.4	MAX N	▷ 24.030	-0.975	-65.548	0.343	0.000	0.001	KZ 207
65	KV1	38	0.0	MIN N	▷ -28.649	0.154	74.096	3.656	-0.006	-0.011	KZ 15
61	KV1		510.0	MAX V <sub>y</sub>	▷ -0.516	8.794	45.302	-2.225	28.564	-0.687	KZ 214
62	KV1		510.0	MIN V <sub>y</sub>	▷ -3.705	-5.621	71.199	2.515	48.400	-0.113	KZ 41
79	KV1	40	0.0	MAX V <sub>z</sub>	▷ -6.668	1.305	123.182	0.410	0.000	-0.002	KZ 339
62	KV1		10829.4	MIN V <sub>z</sub>	▷ -2.321	1.027	-134.512	1.060	1.336	0.110	KZ 343
65	KV1		3448.9	MAX M <sub>T</sub>	▷ -8.388	-0.669	34.536	▷ 3.949	221.917	-5.281	KZ 43
61	KV1		7390.5	MIN M <sub>T</sub>	▷ 1.238	-2.073	-21.216	▷ -2.620	135.450	-7.094	KZ 199
62	KV1		5419.7	MAX M <sub>y</sub>	▷ -6.313	0.999	-0.015	1.270	▷ 316.892	5.666	KZ 343
46	KV1		4064.8	MIN M <sub>y</sub>	▷ 2.546	-0.050	39.476	0.011	▷ -31.921	-0.266	KZ 373
62	KV1		2510.0	MAX M <sub>z</sub>	▷ -2.945	-5.586	61.106	2.527	180.705	▷ 11.072	KZ 41
61	KV1		2510.0	MIN M <sub>z</sub>	▷ 0.166	8.785	36.709	-2.176	110.574	▷ -18.253	KZ 214
Průřez č. 10: UZ 550/800/285/500											
254	KV1	522	0.0	MAX N	▷ 43.529	-0.515	171.591	-4.364	0.000	0.004	KZ 250
254	KV1		1800.0	MIN N	▷ -25.363	-0.687	-15.158	-0.327	116.631	-0.306	KZ 198
355	KV1	558	0.0	MAX V <sub>y</sub>	▷ 26.751	8.075	325.787	-0.215	-258.807	-4.082	KZ 242
354	KV1	543	0.0	MIN V <sub>y</sub>	▷ 28.775	-7.972	336.499	0.258	-264.128	4.516	KZ 262
354	KV1	543	0.0	MAX V <sub>z</sub>	▷ 17.331	-5.775	386.481	0.097	-298.261	3.889	KZ 325
350	KV1	540	5000.0	MIN V <sub>z</sub>	▷ -5.438	2.280	-434.902	0.294	-294.904	2.747	KZ 322
254	KV1		1800.0	MAX M <sub>T</sub>	▷ 42.312	2.238	60.189	▷ 4.503	186.313	-5.191	KZ 242
346	KV1		3200.0	MIN M <sub>T</sub>	▷ 2.527	-2.728	-69.169	▷ -5.005	208.610	-5.984	KZ 242
346	KV1		3200.0	MAX M <sub>y</sub>	▷ -0.704	-1.180	-83.948	0.293	▷ 243.875	-2.797	KZ 297
346	KV1	528	0.0	MIN M <sub>y</sub>	▷ 1.503	1.924	345.269	-2.694	▷ -320.948	-0.070	KZ 328
346	KV1		800.0	MAX M <sub>z</sub>	▷ 2.553	-2.362	282.908	4.427	-47.345	▷ 7.846	KZ 262
348	KV1		2200.0	MIN M <sub>z</sub>	▷ 14.702	3.063	81.692	-2.447	90.090	▷ -8.808	KZ 242
Průřez č. 11: Obdélník 1200/130											
445	KV1	747	0.0	MAX N	▷ 26.184	0.000	16.832	-0.008	0.000	0.000	KZ 48
431	KV1		1025.0	MIN N	▷ -24.295	0.000	0.000	-0.336	7.859	0.002	KZ 238
273	KV1	628	9000.0	MAX V <sub>y</sub>	▷ 9.144	0.083	-70.213	-0.393	0.000	-0.025	KZ 285
377	KV1	707	0.0	MIN V <sub>y</sub>	▷ 0.994	-0.110	131.745	1.000	0.000	-0.121	KZ 311
397	KV1	718	0.0	MAX V <sub>z</sub>	▷ -1.812	-0.052	142.456	-0.021	0.000	0.003	KZ 48
397	KV1	717	9000.0	MIN V <sub>z</sub>	▷ -1.816	0.056	-142.456	-0.021	0.000	-0.003	KZ 48
377	KV1		2500.0	MAX M <sub>T</sub>	▷ -5.811	-0.032	58.779	▷ 1.153	239.008	0.046	KZ 321
377	KV1		4500.0	MIN M <sub>T</sub>	▷ -12.940	0.000	0.000	▷ -1.135	168.480	-0.059	KZ 284
397	KV1		4500.0	MAX M <sub>y</sub>	▷ -20.308	0.000	0.000	-0.019	▷ 324.727	0.125	KZ 48
377	KV1	707	0.0	MIN M <sub>y</sub>	▷ 5.523	-0.104	131.191	1.141	▷ 0.000	-0.137	KZ 321



Projekt:

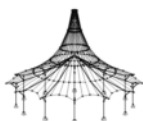
Model: HOŘICE-KONSTRUKCE\_3D\_Budova\_redukováne ..

## 4.12 PRŮŘEZY - VNITŘNÍ SÍLY

Kombinace výsledků

Prut č.	KV	Uzel č.	Místo x [mm]		Síly [kN]			Momenty [kNm]				Příslušející zat. stavy
					N	V <sub>y</sub> / V <sub>u</sub>	V <sub>z</sub> / V <sub>v</sub>	M <sub>T</sub>	M <sub>y</sub> / M <sub>u</sub>	M <sub>z</sub> / M <sub>v</sub>		
273	KV1		4500.0	MAX M <sub>z</sub>	4.651	0.000	0.000	-0.392	158.135	▷	0.162	KZ 297
377	KV1	707	0.0	MIN M <sub>z</sub>	5.523	-0.104	131.191	1.141	0.000	▷	-0.137	KZ 321
Průřez č. 12: Obdélník 600/130												
432	KV1	746	9000.0	MAX N	▷	3.593	-0.031	-37.834	0.035	0.000	0.002	KZ 257
401	KV1		4500.0	MIN N	▷	-9.022	-0.001	-1.297	-0.054	83.713	-0.068	KZ 238
401	KV1	730	0.0	MAX V <sub>y</sub>	▷	-4.525	0.047	47.559	-0.045	0.000	0.004	KZ 290
432	KV1	746	9000.0	MIN V <sub>y</sub>	▷	1.348	-0.043	-45.744	0.035	0.000	0.003	KZ 297
401	KV1	730	0.0	MAX V <sub>z</sub>	▷	-4.525	0.047	47.559	-0.045	0.000	0.004	KZ 290
432	KV1	746	9000.0	MIN V <sub>z</sub>	▷	-4.570	-0.042	-46.228	-0.002	0.000	0.000	KZ 290
432	KV1		7000.0	MAX M <sub>T</sub>	▷	-0.991	-0.023	-24.328	0.038	70.092	-0.063	KZ 285
401	KV1	729	9000.0	MIN M <sub>T</sub>	▷	-6.761	-0.026	-34.390	-0.054	0.000	-0.004	KZ 238
401	KV1		4500.0	MAX M <sub>y</sub>	▷	-8.390	-0.002	-1.656	-0.045	100.311	-0.095	KZ 290
401	KV1	730	0.0	MIN M <sub>y</sub>	▷	-1.337	0.046	47.295	-0.041	0.000	0.003	KZ 293
401	KV1	730	0.0	MAX M <sub>z</sub>	▷	-4.525	0.047	47.559	-0.045	0.000	0.004	KZ 290
401	KV1		4500.0	MIN M <sub>z</sub>	▷	-8.390	-0.002	-1.656	-0.045	100.311	-0.095	KZ 290
Průřez č. 13: Obdélník 200/700												
294	KV1	732	9032.8	MAX N	▷	20.670	0.059	-43.767	0.484	0.000	0.001	KZ 222
301	KV1	89	0.0	MIN N	▷	-9.451	0.622	74.144	-0.123	0.000	0.000	KZ 375
294	KV1	44	0.0	MAX V <sub>y</sub>	▷	-4.051	4.921	54.731	-0.284	0.000	0.001	KZ 262
293	KV1	92	0.0	MIN V <sub>y</sub>	▷	-4.207	-4.989	54.167	0.278	0.000	-0.001	KZ 242
294	KV1	44	0.0	MAX V <sub>z</sub>	▷	-7.140	3.054	90.096	-0.095	0.000	0.000	KZ 375
294	KV1	732	9032.8	MIN V <sub>z</sub>	▷	5.150	0.066	-94.897	-0.095	0.000	0.000	KZ 375
299	KV1		501.8	MAX M <sub>T</sub>	▷	-1.180	-0.345	-11.689	2.002	-5.360	0.173	KZ 299
300	KV1		4516.4	MIN M <sub>T</sub>	▷	0.659	-0.475	-4.583	-1.943	101.909	-2.122	KZ 291
294	KV1		4510.0	MAX M <sub>y</sub>	▷	2.380	0.076	15.862	-0.093	198.367	0.314	KZ 375
297	KV1		2057.5	MIN M <sub>y</sub>	▷	16.213	0.541	-45.828	-1.610	-73.980	-1.343	KZ 373
299	KV1		2510.0	MAX M <sub>z</sub>	▷	-1.708	-2.531	41.274	1.947	-25.100	3.466	KZ 288
300	KV1		2510.0	MIN M <sub>z</sub>	▷	1.717	-0.495	13.221	-1.696	73.573	-3.194	KZ 319
Průřez č. 14: IPE 200												
527	KV1		5000.0	MAX N	▷	21.260	0.097	-7.179	-0.001	0.000	0.000	KZ 242
527	KV1		3750.0	MIN N	▷	-11.582	-0.146	0.353	-0.001	-2.055	-0.056	KZ 185
507	KV1		4500.0	MAX V <sub>y</sub>	▷	0.096	0.930	-9.555	0.000	21.581	-0.221	KZ 385
513	KV1		4500.0	MIN V <sub>y</sub>	▷	0.074	-0.959	-8.661	0.010	19.570	0.302	KZ 367
495	KV1	852	0.0	MAX V <sub>z</sub>	▷	0.270	-0.295	19.245	0.002	0.000	0.000	KZ 335
495	KV1	851	6000.0	MIN V <sub>z</sub>	▷	0.278	0.282	-19.281	0.002	0.000	0.000	KZ 335
513	KV1		1928.6	MAX M <sub>T</sub>	▷	0.050	0.493	6.774	0.081	24.857	-0.231	KZ 397
507	KV1		2000.0	MIN M <sub>T</sub>	▷	0.045	-0.494	6.378	-0.050	25.546	0.323	KZ 337
495	KV1		3214.3	MAX M <sub>y</sub>	▷	0.003	0.111	-1.364	0.001	28.752	0.420	KZ 335
508	KV1		3000.0	MIN M <sub>y</sub>	▷	0.000	-0.228	0.170	-0.010	-6.481	0.001	KZ 278
598	KV1		1800.0	MAX M <sub>z</sub>	▷	0.000	0.000	0.002	0.000	6.630	0.727	KZ 150
592	KV1		1800.0	MIN M <sub>z</sub>	▷	0.000	0.000	0.003	0.000	5.950	-0.718	KZ 346
Průřez č. 15: RO 48.3x3.2 (za tepla)												
798	KV1	1172	2358.5	MAX N	▷	10.539	0.000	0.000	0.000	0.000	0.000	KZ 242
799	KV1	873	0.0	MIN N	▷	-14.609	0.000	0.000	0.000	0.000	0.000	KZ 242
604	KV1	892	0.0	MAX V <sub>y</sub>	▷	-0.394	0.000	0.000	0.000	0.000	0.000	KZ 1
604	KV1	892	0.0	MIN V <sub>y</sub>	▷	-0.394	0.000	0.000	0.000	0.000	0.000	KZ 1
604	KV1	892	0.0	MAX V <sub>z</sub>	▷	-0.394	0.000	0.000	0.000	0.000	0.000	KZ 1
604	KV1	892	0.0	MIN V <sub>z</sub>	▷	-0.394	0.000	0.000	0.000	0.000	0.000	KZ 1
604	KV1	892	0.0	MAX M <sub>T</sub>	▷	-0.394	0.000	0.000	0.000	0.000	0.000	KZ 1
604	KV1	892	0.0	MIN M <sub>T</sub>	▷	-0.394	0.000	0.000	0.000	0.000	0.000	KZ 1
604	KV1	892	0.0	MAX M <sub>y</sub>	▷	-0.394	0.000	0.000	0.000	0.000	0.000	KZ 1
604	KV1	892	0.0	MIN M <sub>y</sub>	▷	-0.394	0.000	0.000	0.000	0.000	0.000	KZ 1
604	KV1	892	0.0	MAX M <sub>z</sub>	▷	-0.394	0.000	0.000	0.000	0.000	0.000	KZ 1
604	KV1	892	0.0	MIN M <sub>z</sub>	▷	-0.394	0.000	0.000	0.000	0.000	0.000	KZ 1
Průřez č. 16: Obdélník 150/1000												
832	KV1	489	6000.0	MAX N	▷	0.037	-9.373	-19.966	0.000	0.000	0.000	KZ 183
835	KV1		2500.0	MIN N	▷	0.000	-0.036	-0.047	0.000	18.429	-3.441	KZ 195
832	KV1		500.0	MAX V <sub>y</sub>	▷	0.033	8.770	16.823	0.032	9.264	-4.308	KZ 183
832	KV1	489	6000.0	MIN V <sub>y</sub>	▷	0.037	-9.373	-19.966	0.000	0.000	0.000	KZ 183
853	KV1	695	0.0	MAX V <sub>z</sub>	▷	0.004	0.000	24.309	0.000	0.000	0.000	KZ 1
853	KV1	493	6000.0	MIN V <sub>z</sub>	▷	0.004	0.000	-23.993	0.000	0.000	0.000	KZ 1
832	KV1		1500.0	MAX M <sub>T</sub>	▷	0.021	7.497	10.033	0.059	22.688	-12.677	KZ 183
832	KV1		4500.0	MIN M <sub>T</sub>	▷	0.020	-7.155	-10.067	-0.058	22.537	-12.474	KZ 183
853	KV1		3000.0	MAX M <sub>y</sub>	▷	0.000	-0.079	-0.000	0.000	36.227	0.000	KZ 1
834	KV1	491	0.0	MIN M <sub>y</sub>	▷	0.006	2.366	21.861	0.000	0.000	0.000	KZ 5
853	KV1		3001.2	MAX M <sub>z</sub>	▷	0.000	-0.106	-0.076	0.000	30.860	18.203	KZ 183
832	KV1		3000.0	MIN M <sub>z</sub>	▷	0.000	0.268	-0.067	0.000	30.150	-19.299	KZ 183
Průřez č. 17: Obdélník 150/800												
848	KV1	566	0.0	MAX N	▷	0.025	-8.640	17.068	0.000	0.000	0.000	KZ 187
848	KV1		2454.5	MIN N	▷	0.000	0.769	1.552	-0.003	22.852	10.283	KZ 187
849	KV1		5400.0	MAX V <sub>y</sub>	▷	0.022	7.465	-17.075	0.000	0.000	0.000	KZ 191
848	KV1	566	0.0	MIN V <sub>y</sub>	▷	0.025	-8.640	17.068	0.000	0.000	0.000	KZ 187
849	KV1	570	0.0	MAX V <sub>z</sub>	▷	0.004	0.000	20.044	0.000	0.000	0.000	KZ 1
849	KV1	572	5400.0	MIN V <sub>z</sub>	▷	0.004	0.000	-20.045	0.000	0.000	0.000	KZ 1
849	KV1		4418.2	MAX M <sub>T</sub>	▷	0.015	6.117	-10.866	0.028	13.717	7.127	KZ 191
849	KV1		1472.7	MIN M <sub>T</sub>	▷	0.008	-4.514	7.761	-0.029	18.288	6.717	KZ 191
849	KV1		2700.0	MAX M <sub>y</sub>	▷	0.000	0.000	0.000	0.000	27.060	0.000	KZ 1
837	KV1	506	0.0	MIN M <sub>y</sub>	▷	0.002	0.000	13.572	0.000	0.000	0.000	KZ 1
849	KV1		2945.5	MAX M <sub>z</sub>	▷	0.000	-0.566	-1.552	0.004	22.861	11.005	KZ 191
848	KV1		2700.0	MIN M <sub>z</sub>	▷	0.000	-0.008	0.000	0.000	23.043	-3.547	KZ 183
Průřez č. 18: Obdélník 400/500												
276	KV2	65	8458.2	MAX N	▷	-6.971	0.389	-5.137	-0.118	2.546	1.407	KZ 515
233	KV1	574	0.0	MIN N	▷	-413.728	6.975	-32.605	-4.335	164.600	45.802	KZ 337
234	KV1		246.9	MAX V <sub>y</sub>	▷	-109.101	20.175	-15.909	-2.226	70.938	104.600	KZ 268
234	KV1		246.9	MIN V <sub>y</sub>	▷	-117.181	-27.574	-18.192	-2.061	92.098	-141.405	KZ 199
205	KV1	70	8458.2	MAX V <sub>z</sub>	▷	-75.371	-6.054	21.376	-0.016	0.427	0.182	KZ 201
233	KV1		4937.5	MIN V <sub>z</sub>	▷	-303.181	8.530	-40.804	-5.022	5.555	9.316	KZ 24





KRStatic s.r.o.

Korunní 2569/108, 101 00 Praha 10

Hlavní budova\_redukována zatížení

VÝSLEDKY

Projekt:

Model: HOŘICE-KONSTRUKCE\_3D\_Budova\_redukové ...

#### 4.12 PRŮŘEZY - VNITŘNÍ SÍLY

Kombinace výsledků

Prut		Uzel	Místo	Síly [kN]				Momenty [kNm]				Příslušející
č.	KV	č.	x [mm]		N	V <sub>y</sub> / V <sub>u</sub>	V <sub>z</sub> / V <sub>v</sub>	M <sub>T</sub>	M <sub>y</sub> / M <sub>u</sub>	M <sub>z</sub> / M <sub>v</sub>	zat. stavy	
205	KV1		5970.5	MAX M <sub>T</sub>	-229.155	8.900	-11.692	▷	5.170	51.939	5.169 KZ 53	
233	KV1		7008.2	MIN M <sub>T</sub>	-296.186	9.393	-38.125	▷	-5.293	-84.504	-4.772 KZ 42	
233	KV1	574	0.0	MAX M <sub>y</sub>	-336.667	8.034	-39.719		▷	205.365	50.530 KZ 24	
233	KV1		7008.2	MIN M <sub>y</sub>	-308.068	8.592	-35.997		▷	-89.411	-8.039 KZ 52	
234	KV1	576	0.0	MAX M <sub>z</sub>	-112.190	20.163	-16.014			▷	109.589 KZ 183	
234	KV1	576	0.0	MIN M <sub>z</sub>	-118.614	-27.569	-18.172			▷	-148.216 KZ 235	
Průřez č. 19: Obdélník 400/400												
232	KV1	173	8633.4	MAX N	▷	-7.347	-1.659		7.616	-0.018	0.011 KZ 183	
237	KV1	584	0.0	MIN N	▷	-154.766	-0.086	1.256	0.019	-7.544	0.800 KZ 49	
231	KV1		252.6	MAX V <sub>y</sub>		-52.649	▷	18.583	-2.520	3.188	22.476 KZ 183	
231	KV1		252.6	MIN V <sub>y</sub>		-70.306	▷	-29.296	-3.693	-6.509	33.148 KZ 237	
229	KV1		255.2	MAX V <sub>z</sub>		-47.598		▷	14.011	-13.524	-49.840 KZ 184	
229	KV1		510.4	MIN V <sub>z</sub>		-61.547		▷	-26.150	24.910	84.488 KZ 263	
229	KV1	566	0.0	MAX M <sub>T</sub>		-63.953	1.150	-25.578	▷	24.940	97.677 KZ 203	
232	KV1		5586.3	MIN M <sub>T</sub>		-39.748	-4.572	-4.456	▷	-29.303	13.424 KZ 199	
229	KV1	566	0.0	MAX M <sub>y</sub>		-63.911	1.211	-25.583		▷	97.722 KZ 263	
229	KV1	566	0.0	MIN M <sub>y</sub>		-48.774	2.845	13.968	-13.524	▷	-53.411 KZ 184	
231	KV1	570	0.0	MAX M <sub>z</sub>		-53.817	18.578	-2.515	3.188	▷	23.112 KZ 183	
231	KV1	570	0.0	MIN M <sub>z</sub>		-72.739	-29.279	-3.713	-6.512	▷	34.360 KZ 235	
Průřez č. 20: RRO 180x100x8 (za tepla)												
874	KV1	694	0.0	MAX N	▷	37.273	-2.814	1.374	-0.002	0.000	0.000 KZ 193	
874	KV1		2679.9	MIN N	▷	-16.764	-0.002	-0.046	-0.059	4.647	-0.187 KZ 231	
901	KV1		0.0	MAX V <sub>y</sub>		-2.688	▷	9.308	3.617	-0.657	0.012 KZ 234	
901	KV1		5000.0	MIN V <sub>y</sub>		-2.700	▷	-8.753	-3.662	-0.657	-0.011 KZ 234	
457	KV1	594	0.0	MAX V <sub>z</sub>		0.333		▷	20.349	-0.701	0.001 KZ 145	
457	KV1	591	6000.0	MIN V <sub>z</sub>		0.332	-0.544	▷	-20.351	-0.701	-0.001 KZ 109	
470	KV1		2000.0	MAX M <sub>T</sub>		-2.681	0.145	3.123	▷	1.422	12.486 KZ 109	
901	KV1		4000.0	MIN M <sub>T</sub>		0.987	-0.206	-4.667	▷	-1.322	6.223 KZ 109	
457	KV1		2769.2	MAX M <sub>y</sub>		-0.011	0.045	1.566	-0.679	▷	30.349 KZ 145	
457	KV1		2769.2	MIN M <sub>y</sub>		-0.021	-0.012	-0.336	0.160	▷	-6.505 KZ 243	
470	KV1		2997.4	MAX M <sub>z</sub>		8.378	0.238	-0.007	0.108		▷	2.417 KZ 266
901	KV1		2500.0	MIN M <sub>z</sub>		-2.858	-0.722	0.029	-0.656		▷	-15.820 KZ 234
Průřez č. 21: 2UK UPE 180   Ferona - DIN 1026-2												
915	KV1	811	4632.8	MAX N	▷	14.242	3.204	-5.948	0.015	0.000	0.000 KZ 186	
907	KV1		4482.8	MIN N	▷	-11.121	-7.139	-32.622	-0.118	4.899	-1.072 KZ 205	
910	KV1	806	4632.8	MAX V <sub>y</sub>		-6.925	▷	21.191	-7.086	-0.004	0.000 KZ 194	
910	KV1		4482.8	MIN V <sub>y</sub>		-0.973	▷	-13.556	-18.311	-0.043	2.752 KZ 231	
907	KV1	591	0.0	MAX V <sub>z</sub>		-8.465		▷	70.908	0.077	-53.890 KZ 109	
907	KV1	803	4632.8	MIN V <sub>z</sub>		-3.317	1.533	▷	-64.030	0.080	0.000 KZ 109	
863	KV1		4482.8	MAX M <sub>T</sub>		0.168	3.729	5.682	▷	0.127	-0.847 KZ 219	
863	KV1		3474.6	MIN M <sub>T</sub>		-0.403	0.910	-0.515	▷	-0.129	3.258 KZ 277	
907	KV1		2316.4	MAX M <sub>y</sub>		-7.598	-0.029	30.847	▷	0.083	▷	63.082 KZ 145
907	KV1	591	0.0	MIN M <sub>y</sub>		-8.465	0.009	70.908	▷	0.077	▷	-53.890 KZ 109
910	KV1		4482.8	MAX M <sub>z</sub>		-0.154	-3.203	-4.337	-0.009	1.048	▷	3.179 KZ 194
910	KV1		4482.8	MIN M <sub>z</sub>		-1.191	2.090	-12.452	-0.043	2.755	▷	-2.034 KZ 231

Projekt:

Model: HOŘICE-KONSTRUKCE 3D Budova redukované ..

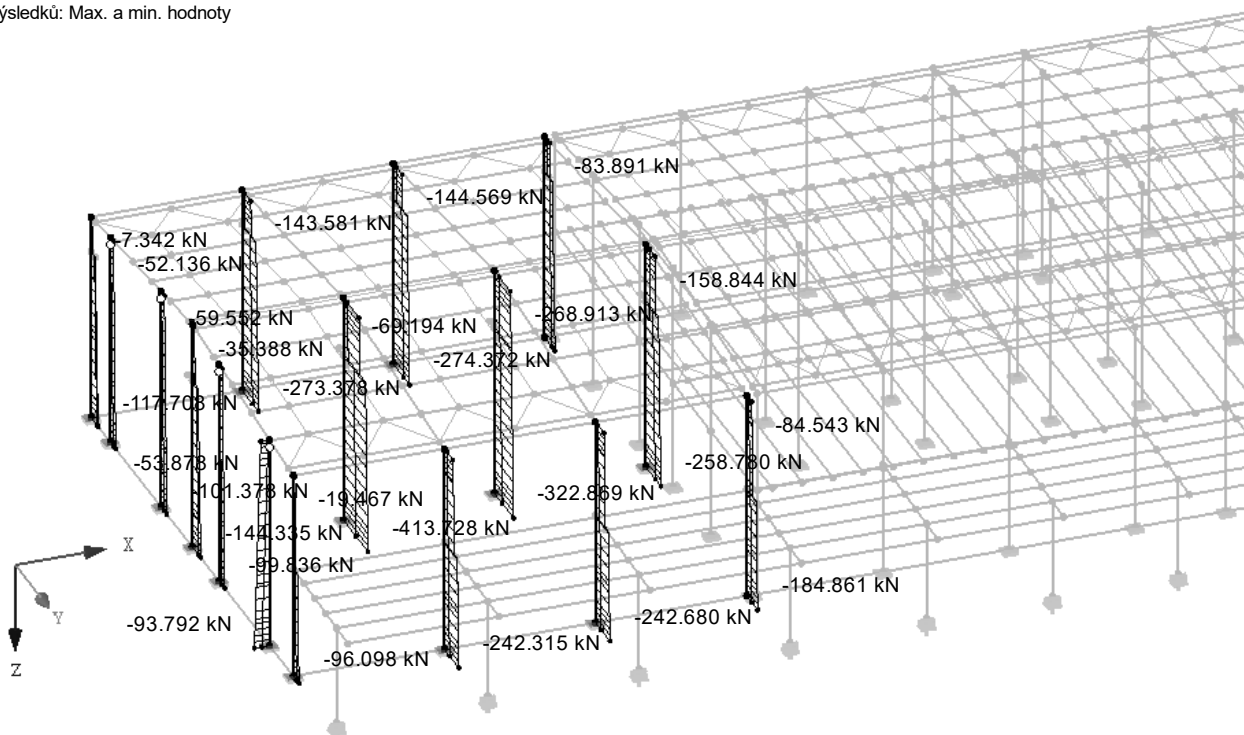
## ■ VNITŘNÍ SÍLY N

KV1 : MSÚ (STR/GEO) - trvalá/dočasná - rovn. 6.10a a 6.10b

Vnitřní síly N

Kombinace výsledků: Max. a min. hodnoty

## Izometrie



Max N: -6.978, Min N: -413.728 [kN]

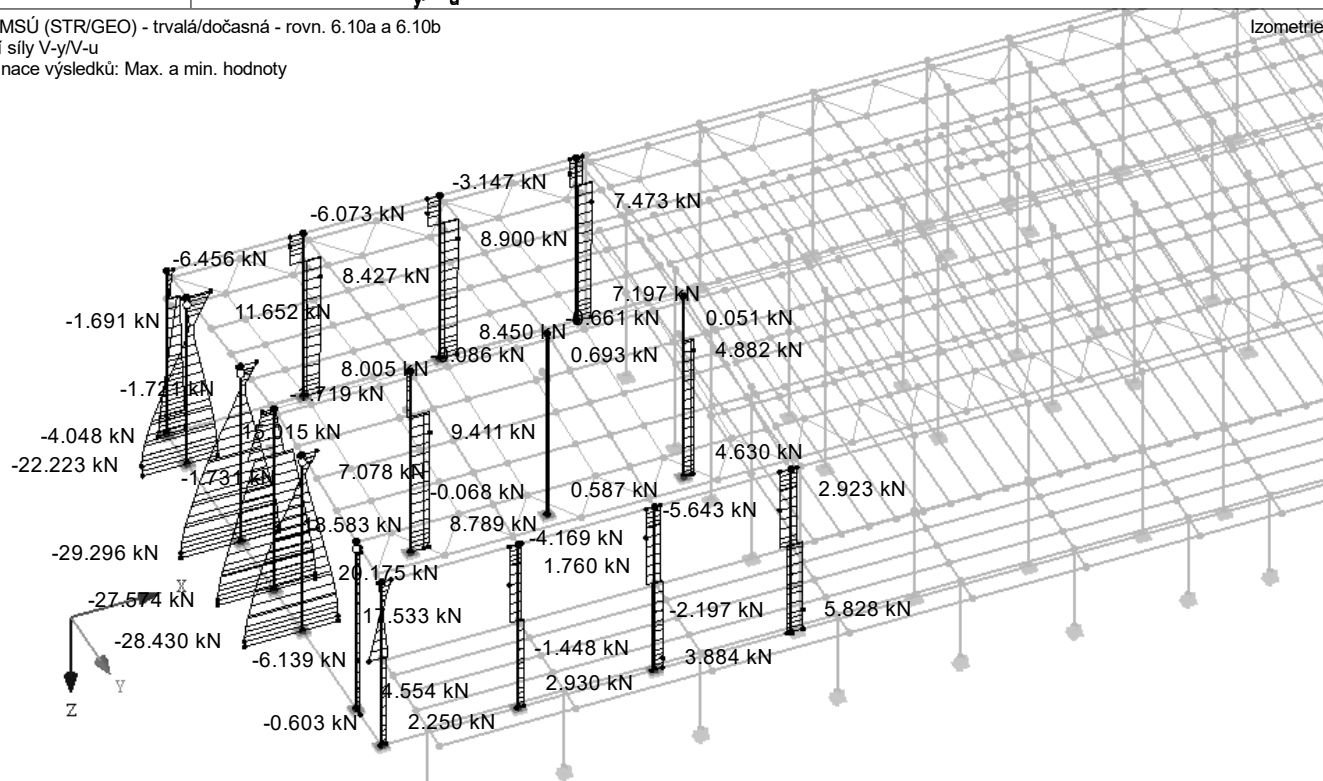
- VNITŘNÍ SÍLY  $V_y/N_u$

KV1 : MSÚ (STR/GEO) - trvalá/dočasná - rovn. 6.10a a 6.10b

Vnitřní síly V-y/V-u

Kombinace výsledků: Max. a min. hodnoty

Izometrie



Max V-y/V-u: 20.175, Min V-y/V-u: -29.296 [kN]

Projekt:

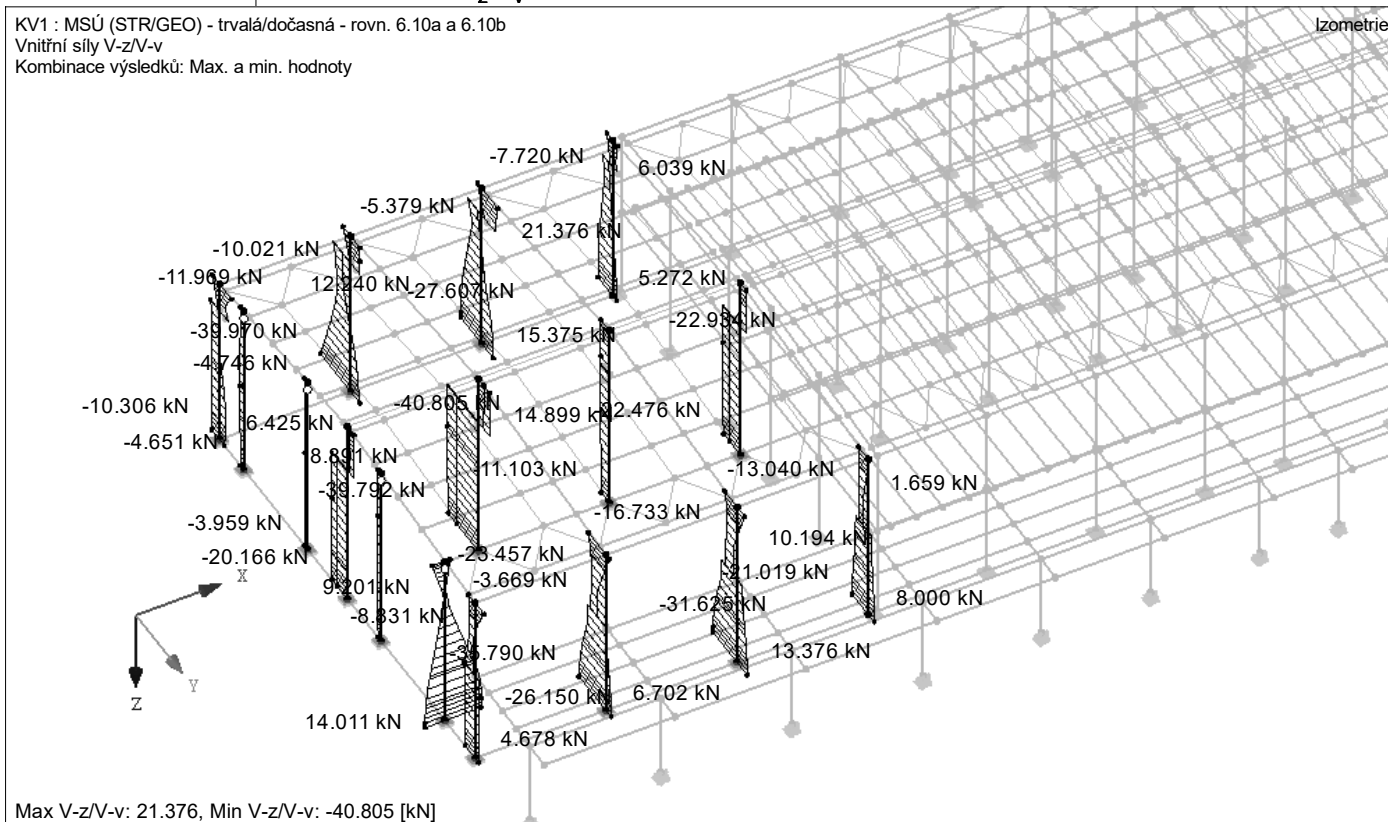
Model: HOŘICE-KONSTRUKCE 3D Budova redukované ..

- VNITŘNÍ SÍLY  $V_z/N_v$

KV1 : MSÚ (STR/GEO) - trvalá/dočasná - rovn. 6.10a a 6.10b

Vnitřní síly V-z/V-v

Kombinace výsledků: Max. a min. hodnoty

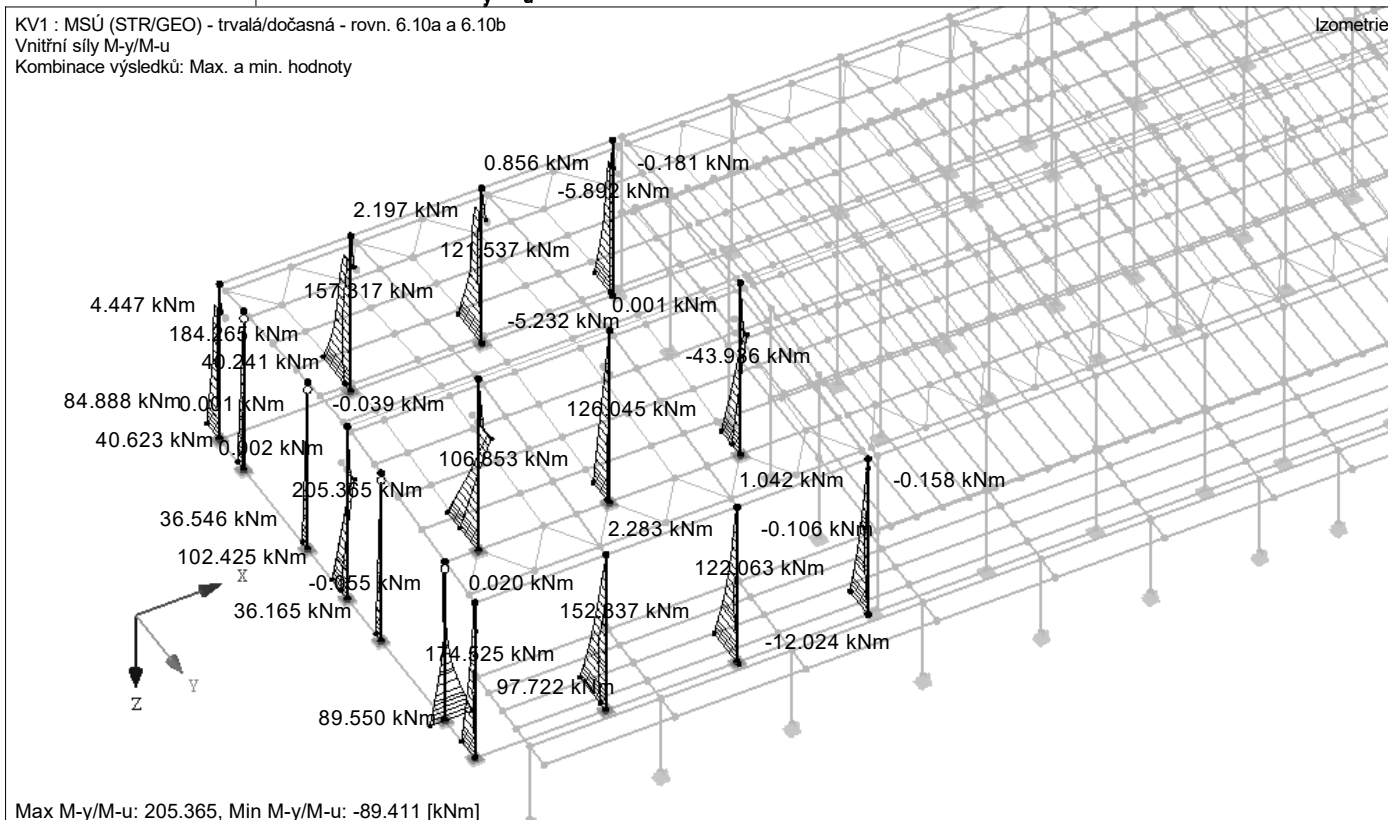


- VNITŘNÍ SÍLY  $M_v/M_u$

KV1 : MSÚ (STR/GEO) - trvalá/dočasná - rovn. 6.10a a 6.10b

Vnitřní síly M-y/M-u

Kombinace výsledků: Max. a min. hodnoty





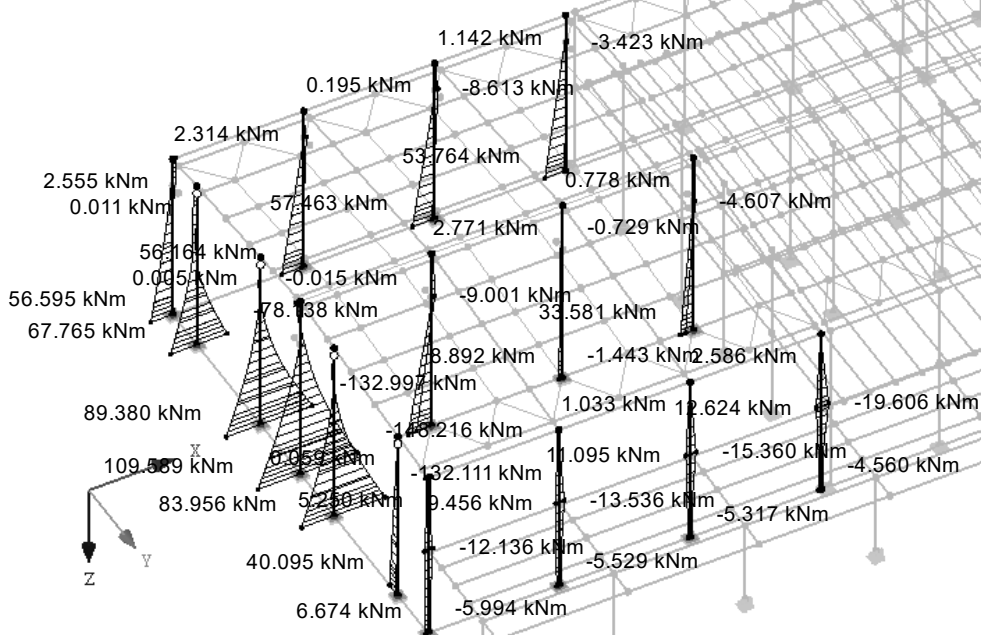
Projekt:

Model: HOŘICE-KONSTRUKCE\_3D\_Budova\_redukováne ..

**■ VNITŘNÍ SÍLY  $M_z/M_v$** 

KV1 : MSÚ (STR/GEO) - trvalá/dočasná - rovn. 6.10a a 6.10b  
Vnitřní síly M-z/M-v  
Kombinace výsledků: Max. a min. hodnoty

Izometrie

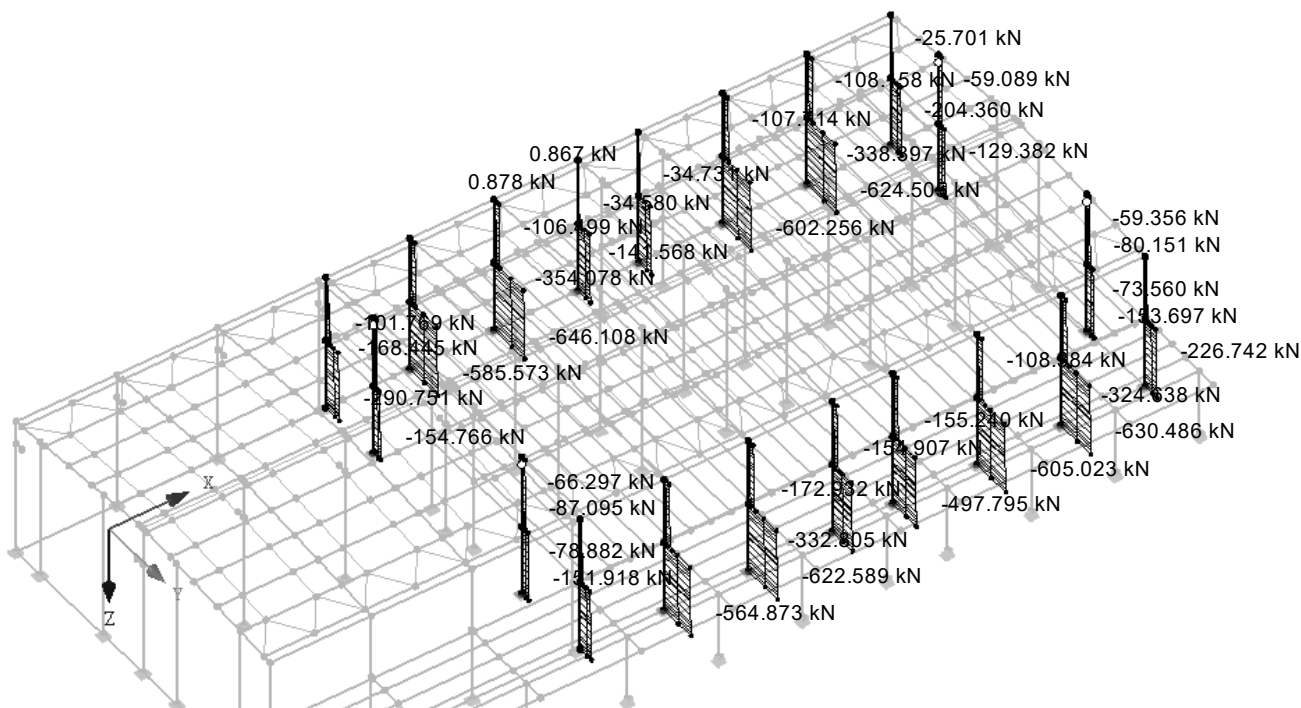


Max M-z/M-v: 109.589, Min M-z/M-v: -148.216 [kNm]

**■ VNITŘNÍ SÍLY N**

KV1 : MSÚ (STR/GEO) - trvalá/dočasná - rovn. 6.10a a 6.10b  
Vnitřní síly N  
Kombinace výsledků: Max. a min. hodnoty

Izometrie



Max N: 0.878, Min N: -646.108 [kN]



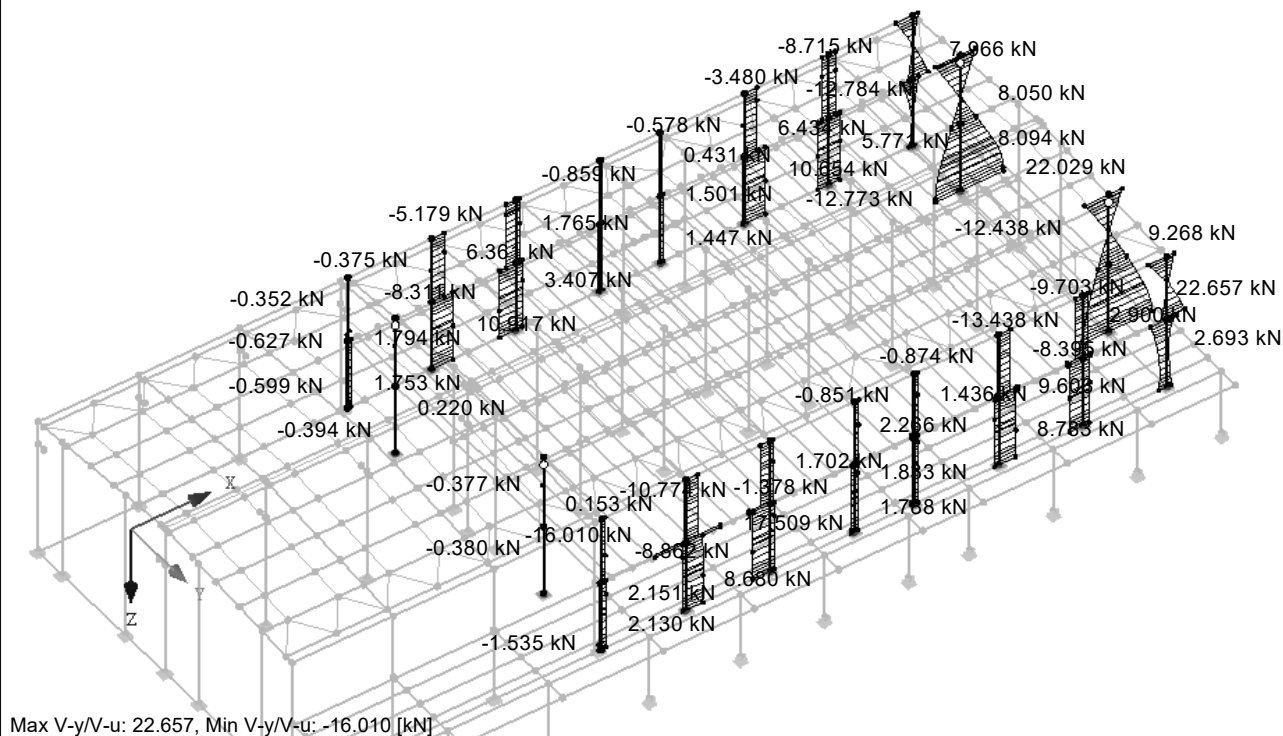
Projekt:

Model: HOŘICE-KONSTRUKCE\_3D\_Budova\_redukováne ...

■ VNITŘNÍ SÍLY  $V_y/V_u$ 

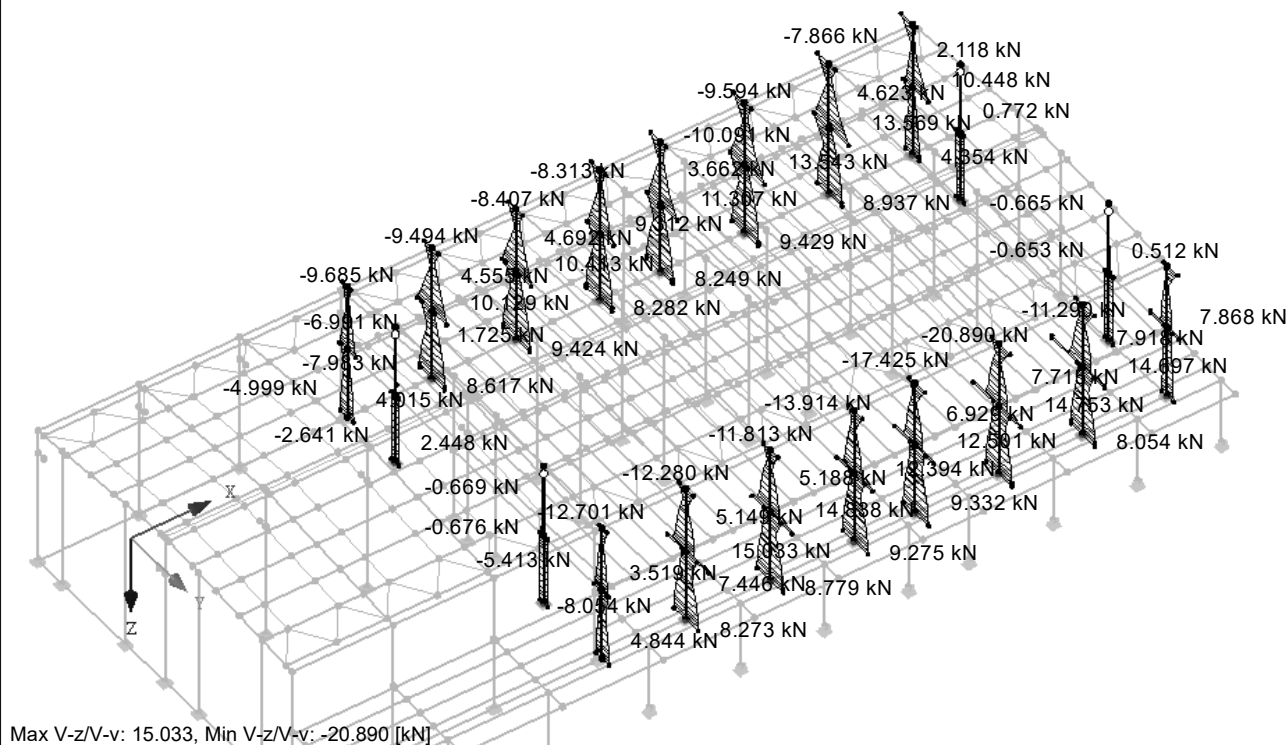
KV1 : MSÚ (STR/GEO) - trvalá/dočasná - rovn. 6.10a a 6.10b  
Vnitřní síly  $V_y/V_u$   
Kombinace výsledků: Max. a min. hodnoty

Izometrie

Max  $V_y/V_u$ : 22.657, Min  $V_y/V_u$ : -16.010 [kN]■ VNITŘNÍ SÍLY  $V_z/V_v$ 

KV1 : MSÚ (STR/GEO) - trvalá/dočasná - rovn. 6.10a a 6.10b  
Vnitřní síly  $V_z/V_v$   
Kombinace výsledků: Max. a min. hodnoty

Izometrie

Max  $V_z/V_v$ : 15.033, Min  $V_z/V_v$ : -20.890 [kN]



Projekt:

Model: HOŘICE-KONSTRUKCE\_3D\_Budova\_redukováne ..

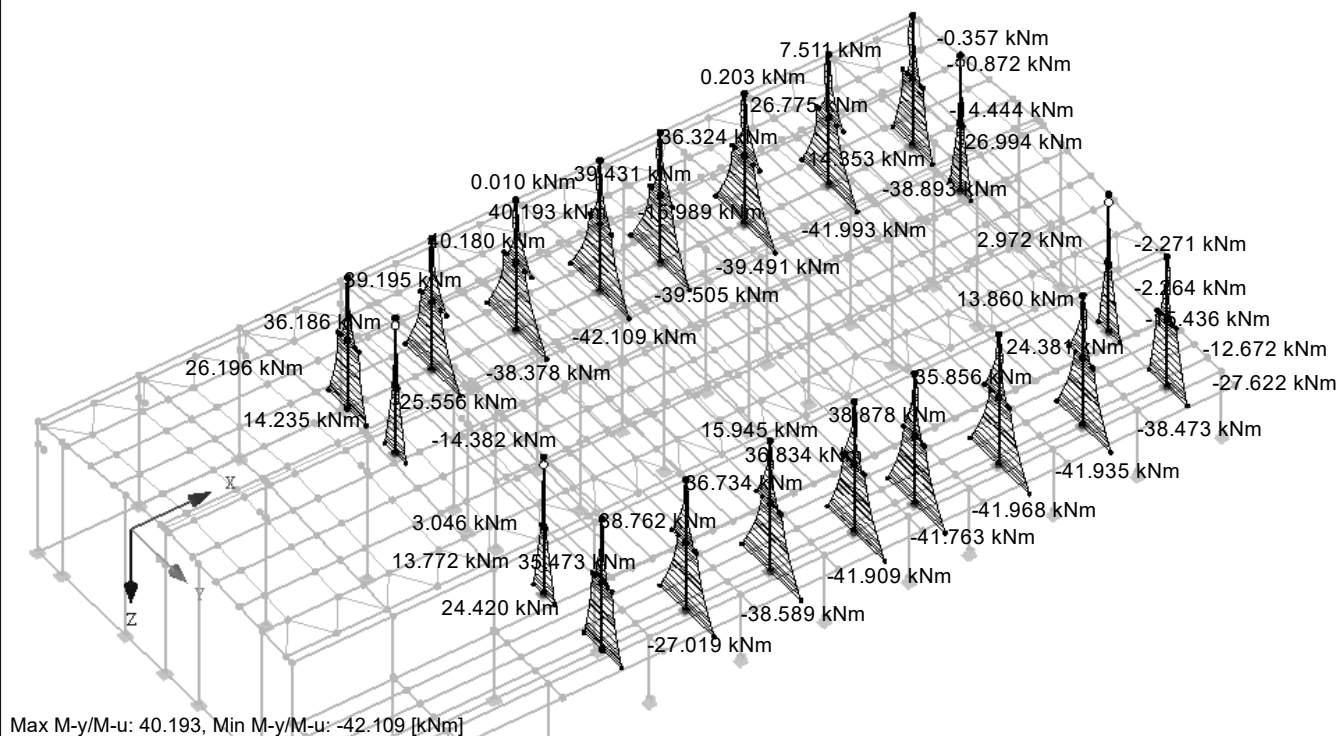
**■ VNITŘNÍ SÍLY  $M_y/M_u$** 

KV1 : MSÚ (STR/GEO) - trvalá/dočasná - rovn. 6.10a a 6.10b

Vnitřní síly M-y/M-u

Kombinace výsledků: Max. a min. hodnoty

Izometrie

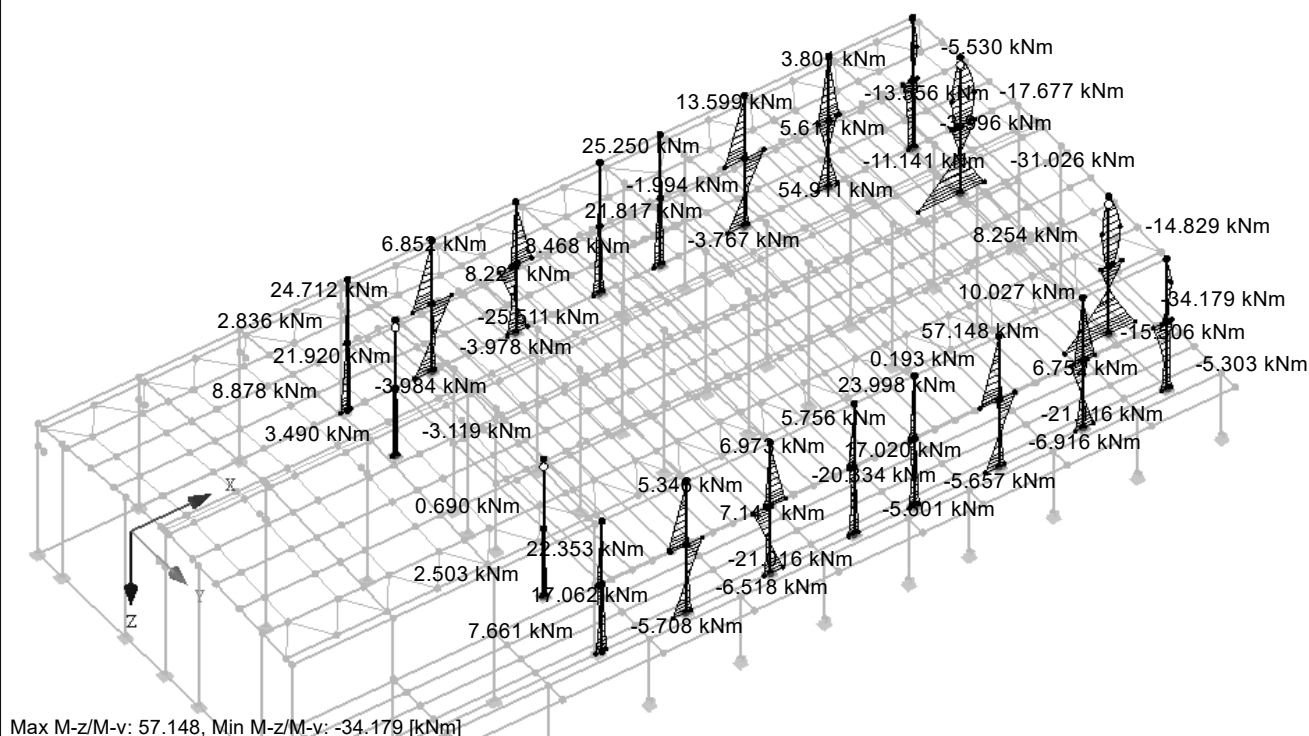
**■ VNITŘNÍ SÍLY  $M_z/M_v$** 

KV1 : MSÚ (STR/GEO) - trvalá/dočasná - rovn. 6.10a a 6.10b

Vnitřní síly M-z/M-v

Kombinace výsledků: Max. a min. hodnoty

Izometrie





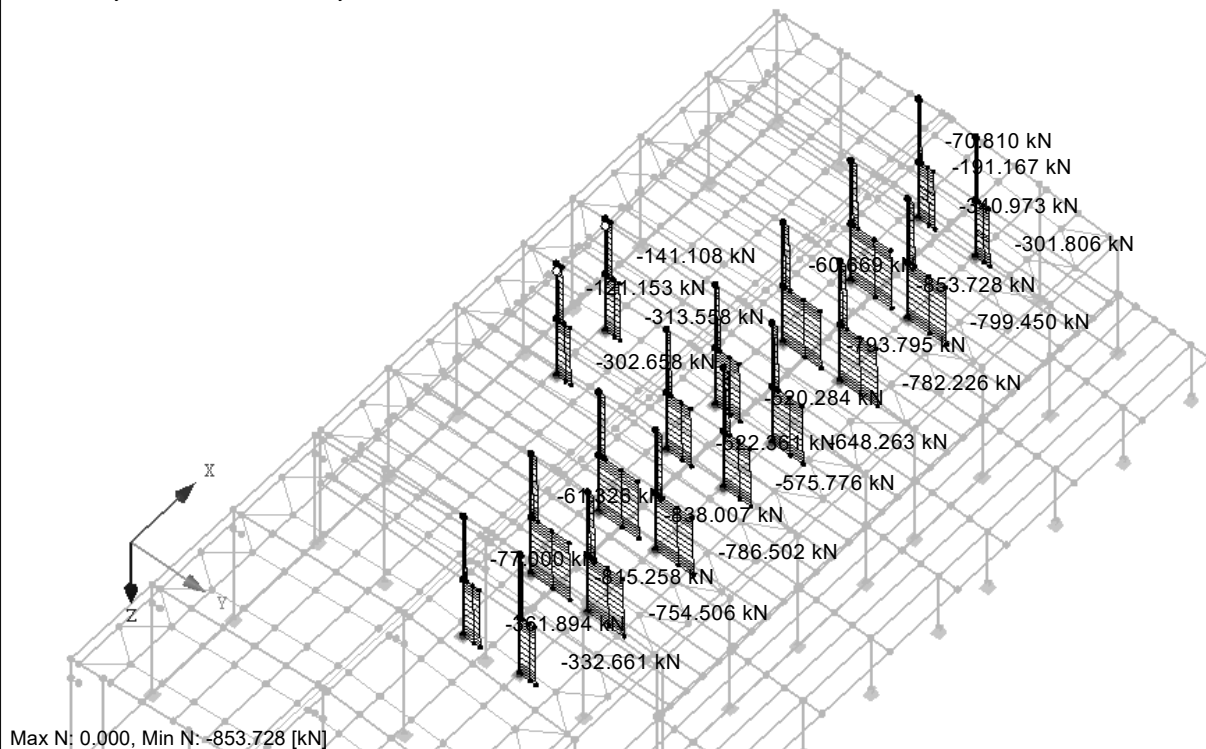
Projekt:

Model: HOŘICE-KONSTRUKCE\_3D\_Budova\_redukováne ..

## VNITŘNÍ SÍLY N

KV1 : MSÚ (STR/GEO) - trvalá/dočasná - rovn. 6.10a a 6.10b  
Vnitřní síly N  
Kombinace výsledků: Max. a min. hodnoty

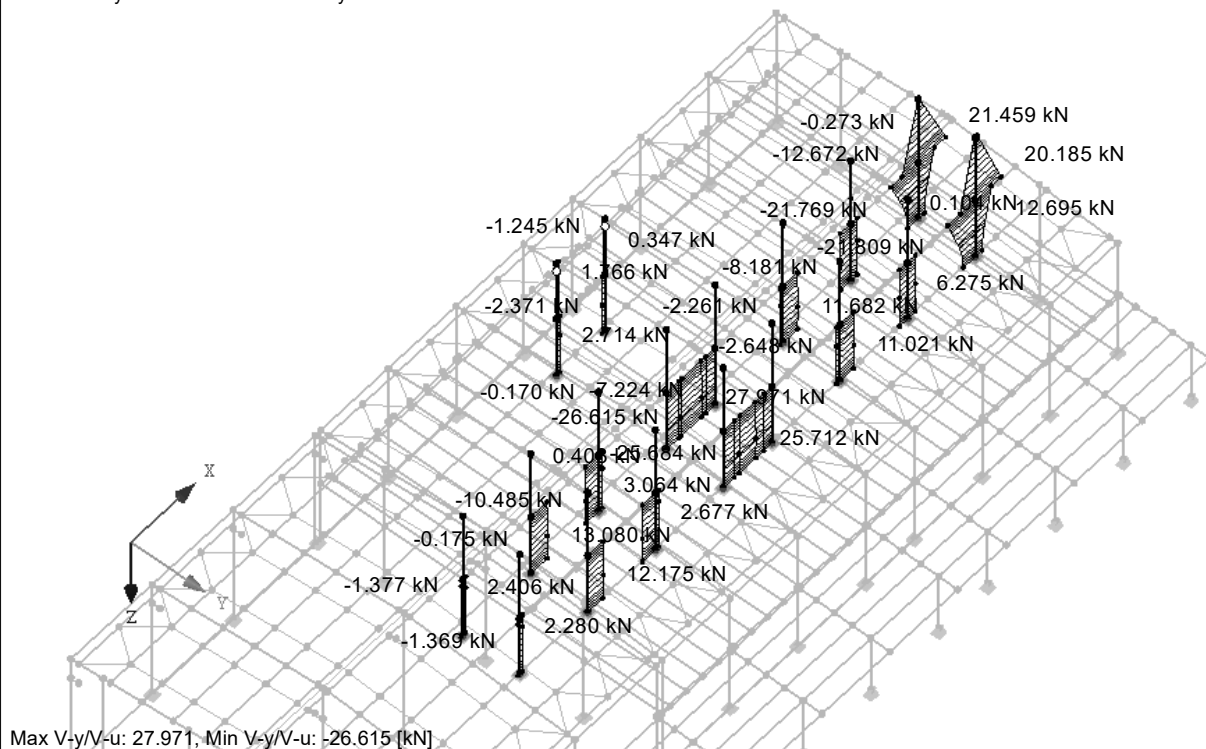
Izometrie

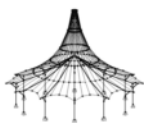


## VNITŘNÍ SÍLY $V_y/V_u$

KV1 : MSÚ (STR/GEO) - trvalá/dočasná - rovn. 6.10a a 6.10b  
Vnitřní síly  $V_y/V_u$   
Kombinace výsledků: Max. a min. hodnoty

Izometrie





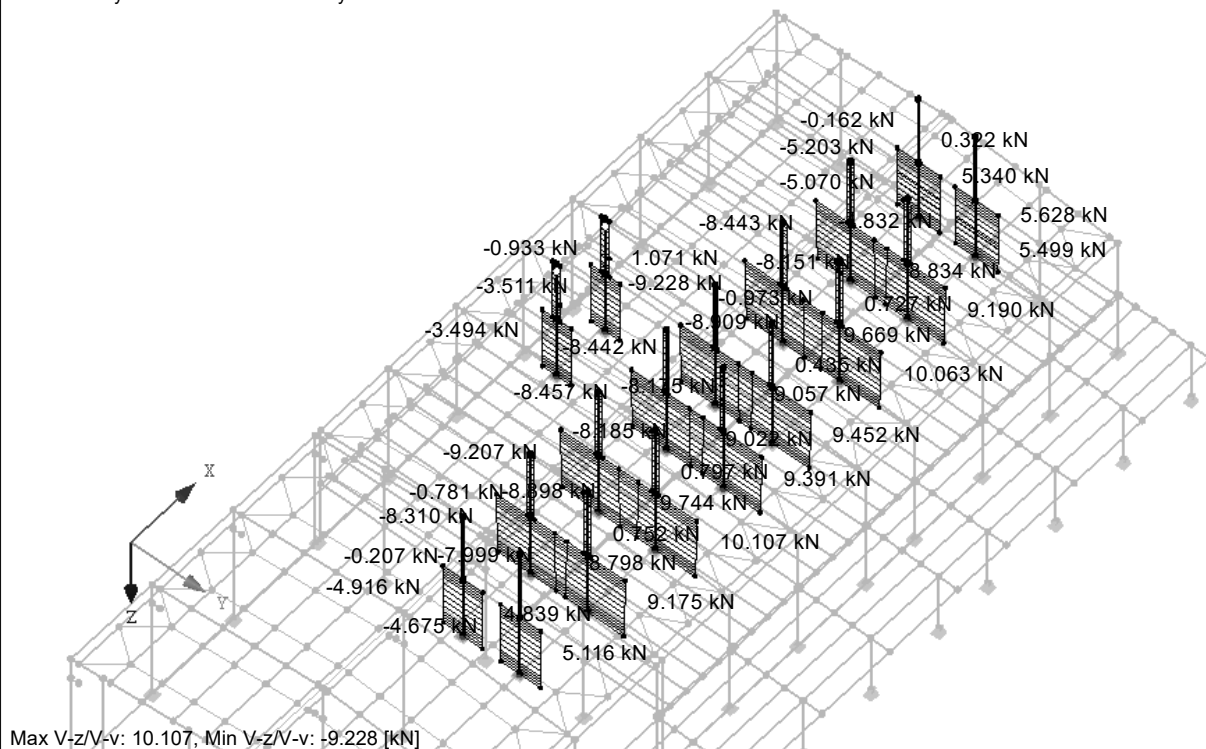
Projekt:

Model: HOŘICE-KONSTRUKCE\_3D\_Budova\_redukováne ..

**■ VNITŘNÍ SÍLY  $V_z/V_v$** 

KV1 : MSÚ (STR/GEO) - trvalá/dočasná - rovn. 6.10a a 6.10b  
Vnitřní síly V-z/V-v  
Kombinace výsledků: Max. a min. hodnoty

Izometrie

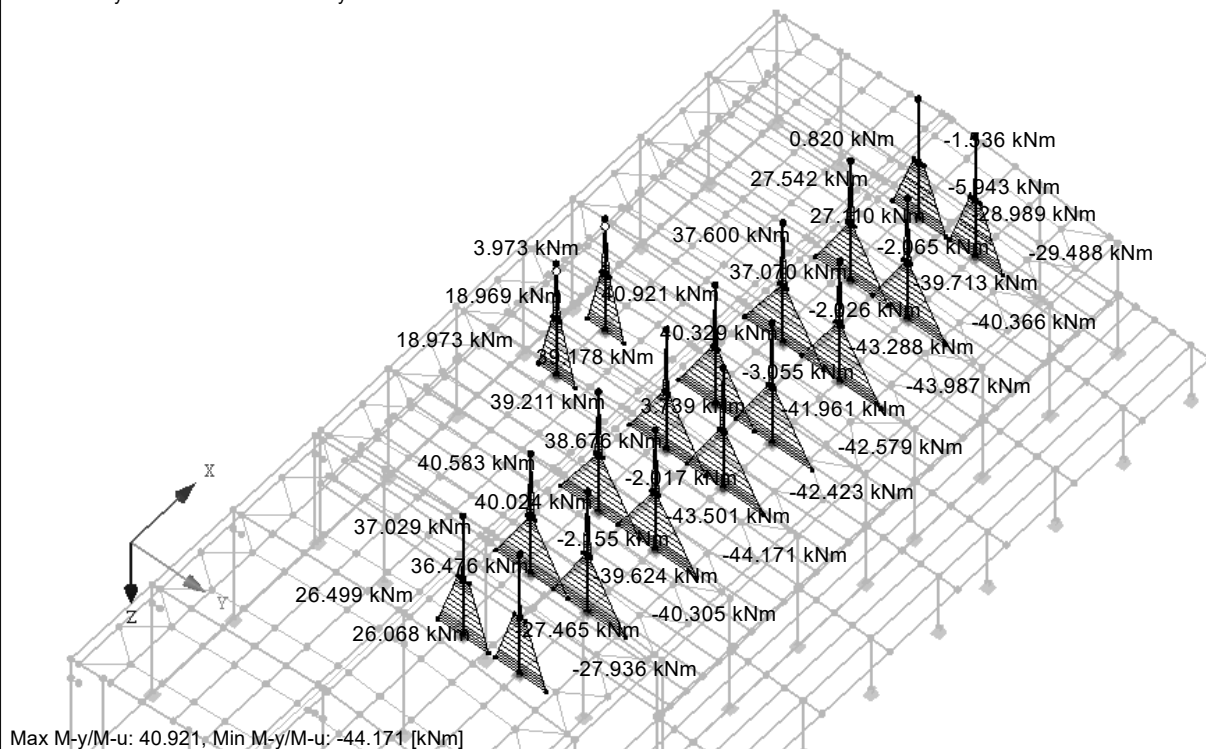


Max V-z/V-v: 10.107, Min V-z/V-v: -9.228 [kN]

**■ VNITŘNÍ SÍLY  $M_y/M_u$** 

KV1 : MSÚ (STR/GEO) - trvalá/dočasná - rovn. 6.10a a 6.10b  
Vnitřní síly M-y/M-u  
Kombinace výsledků: Max. a min. hodnoty

Izometrie



Max M-y/M-u: 40.921, Min M-y/M-u: -44.171 [kNm]





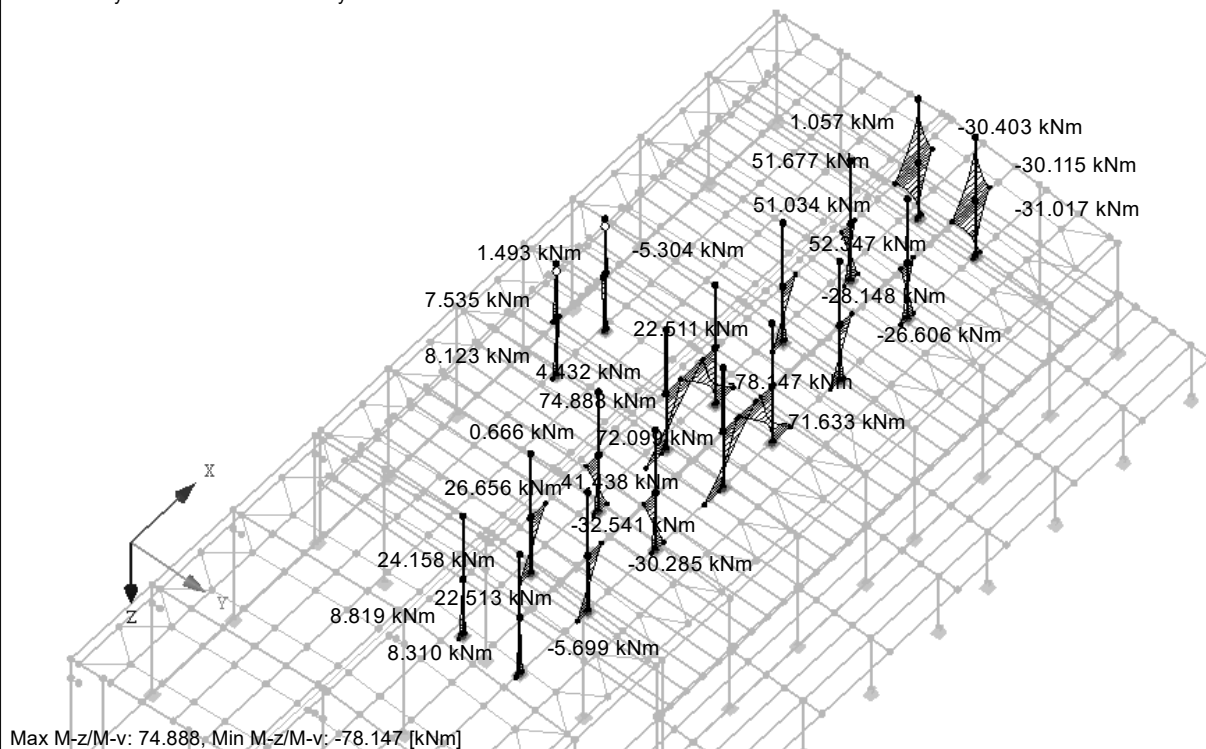
Projekt:

Model: HOŘICE-KONSTRUKCE\_3D\_Budova\_redukováne ..

■ VNITŘNÍ SÍLY  $M_z/M_v$ 

KV1 : MSÚ (STR/GEO) - trvalá/dočasná - rovn. 6.10a a 6.10b  
Vnitřní síly M-z/M-v  
Kombinace výsledků: Max. a min. hodnoty

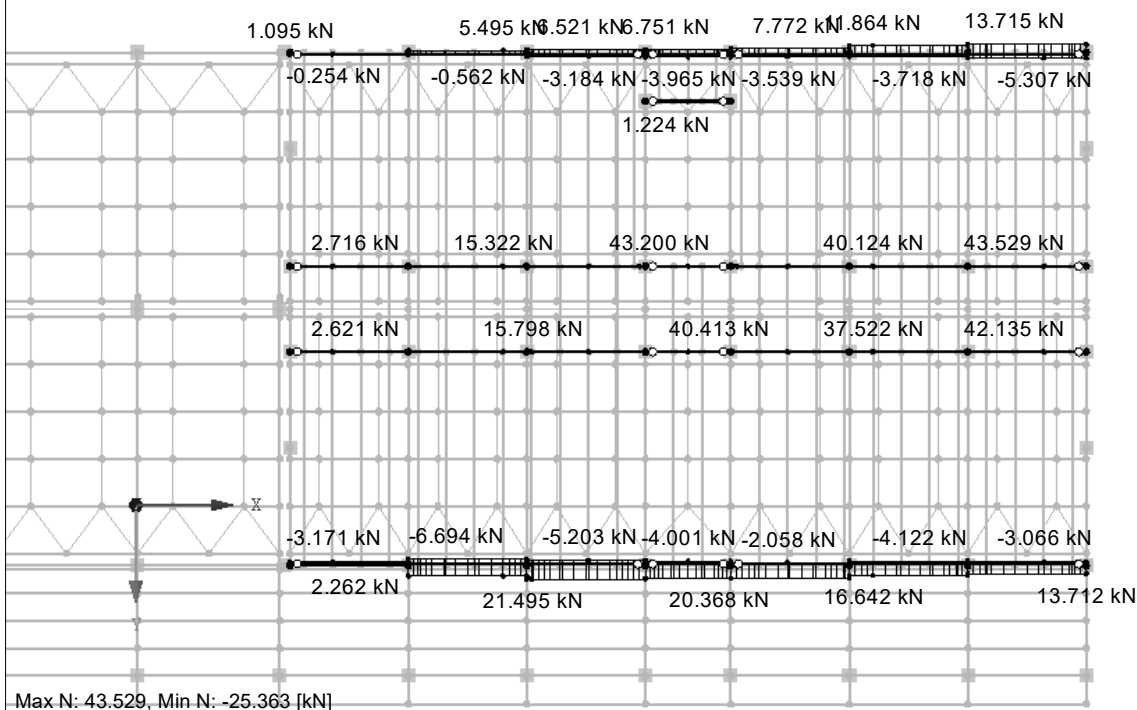
Izometrie



## ■ VNITŘNÍ SÍLY N

KV1 : MSÚ (STR/GEO) - trvalá/dočasná - rovn. 6.10a a 6.10b  
Vnitřní síly N  
Kombinace výsledků: Max. a min. hodnoty

Ve směru Z



6381.4 mm



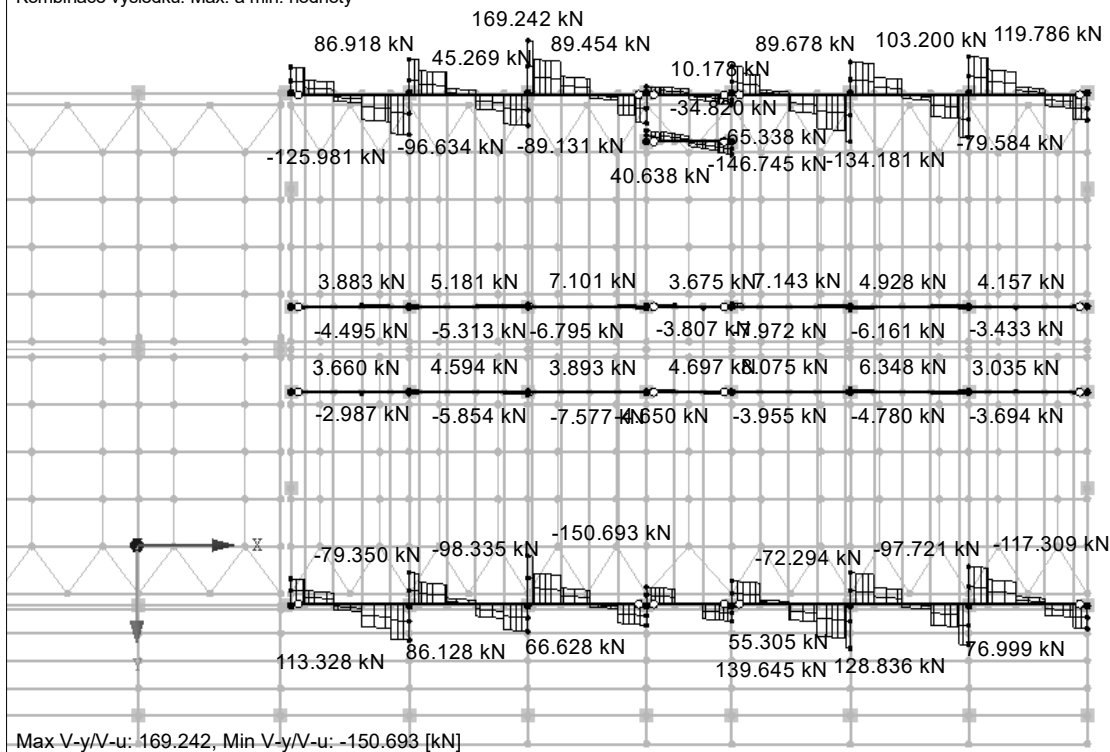
Projekt:

Model: HOŘICE-KONSTRUKCE\_3D\_Budova\_redukové ..

## VNITŘNÍ SÍLY $V_y/V_u$

KV1 : MSÚ (STR/GEO) - trvalá/dočasná - rovn. 6.10a a 6.10b  
Vnitřní síly V-y/V-u  
Kombinace výsledků: Max. a min. hodnoty

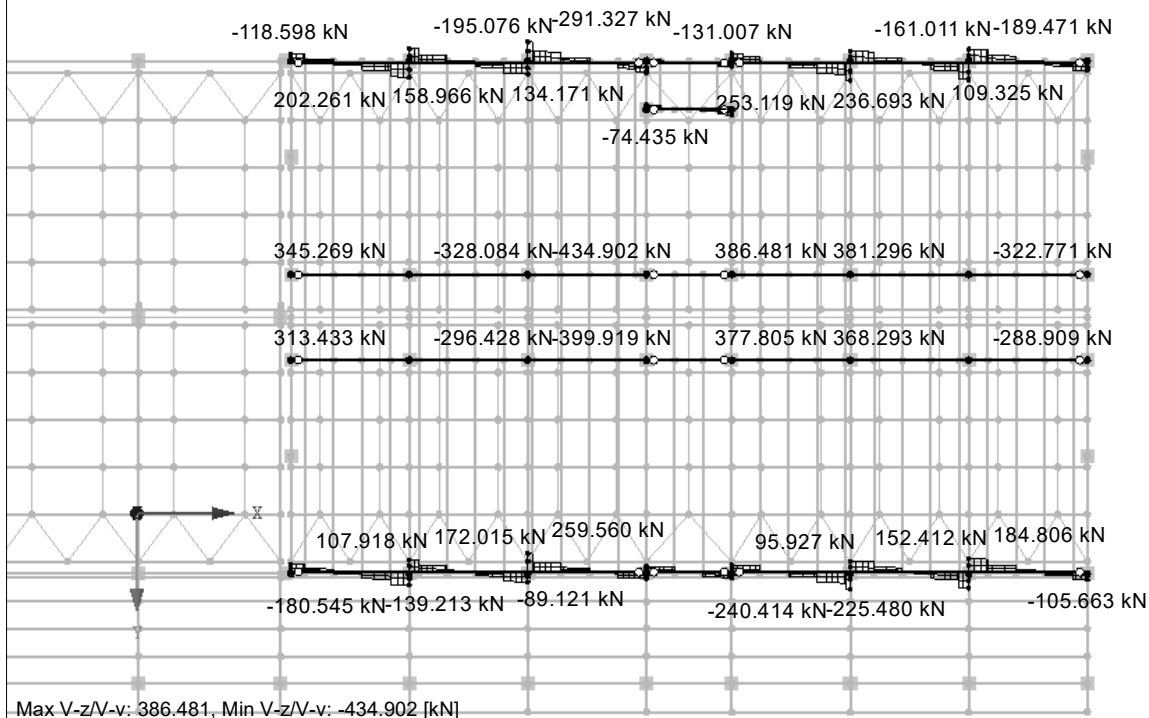
Ve směru Z



## VNITŘNÍ SÍLY $V_z/V_u$

KV1 : MSÚ (STR/GEO) - trvalá/dočasná - rovn. 6.10a a 6.10b  
Vnitřní síly V-z/V-u  
Kombinace výsledků: Max. a min. hodnoty

Ve směru Z





Projekt:

Model: HOŘICE-KONSTRUKCE\_3D\_Budova\_redukované ..

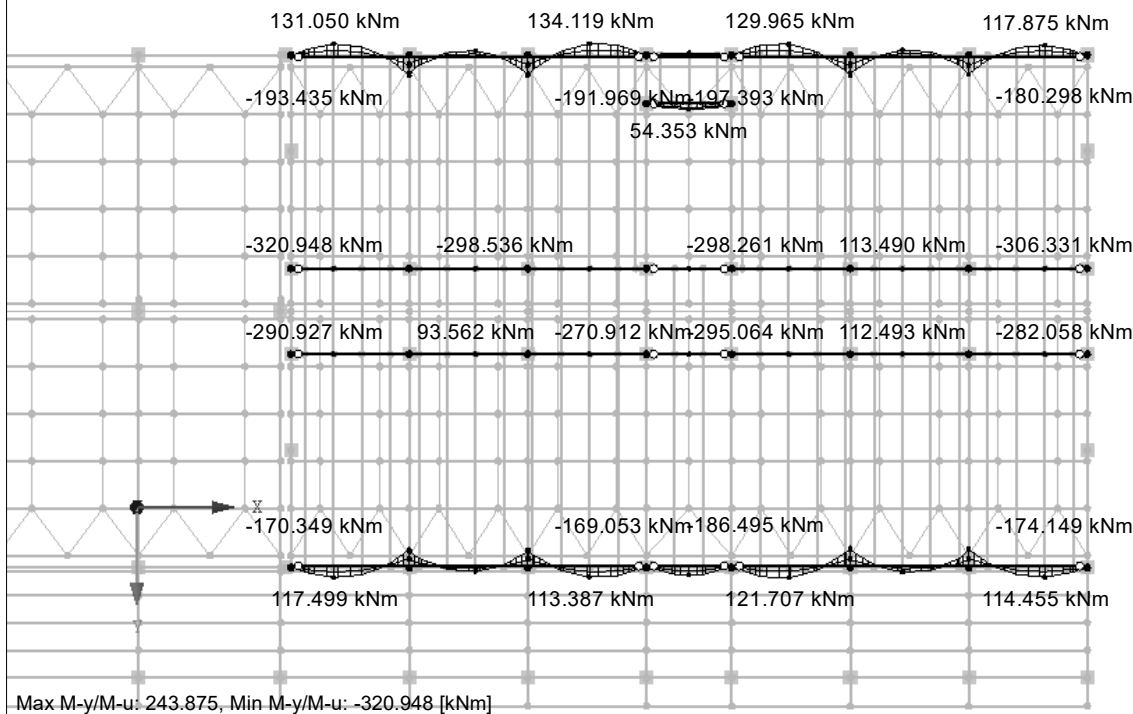
■ VNITŘNÍ SÍLY  $M_y/M_u$ 

KV1 : MSÚ (STR/GEO) - trvalá/dočasná - rovn. 6.10a a 6.10b

Vnitřní síly M-y/M-u

Kombinace výsledků: Max. a min. hodnoty

Ve směru Z

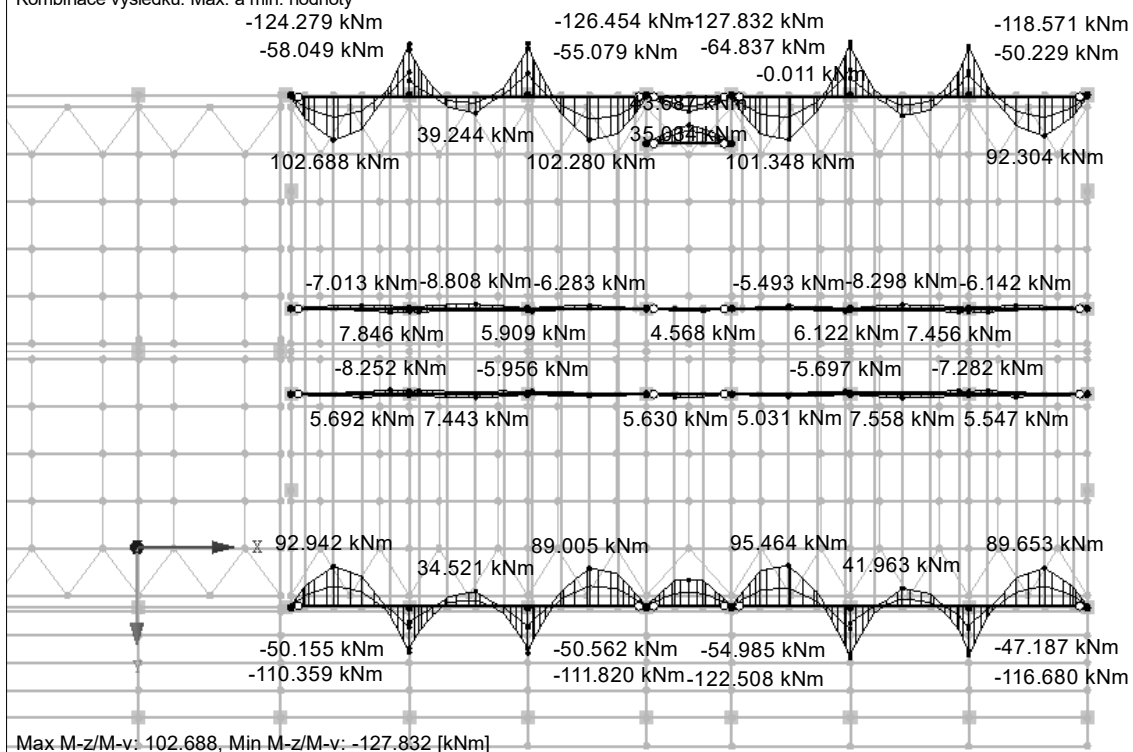
■ VNITŘNÍ SÍLY  $M_z/M_v$ 

KV1 : MSÚ (STR/GEO) - trvalá/dočasná - rovn. 6.10a a 6.10b

Vnitřní síly M-z/M-v

Kombinace výsledků: Max. a min. hodnoty

Ve směru Z





KRStatic s.r.o.

Korunní 2569/108, 101 00 Praha 10

Hlavní budova\_redukována zatížení

VÝSLEDKY

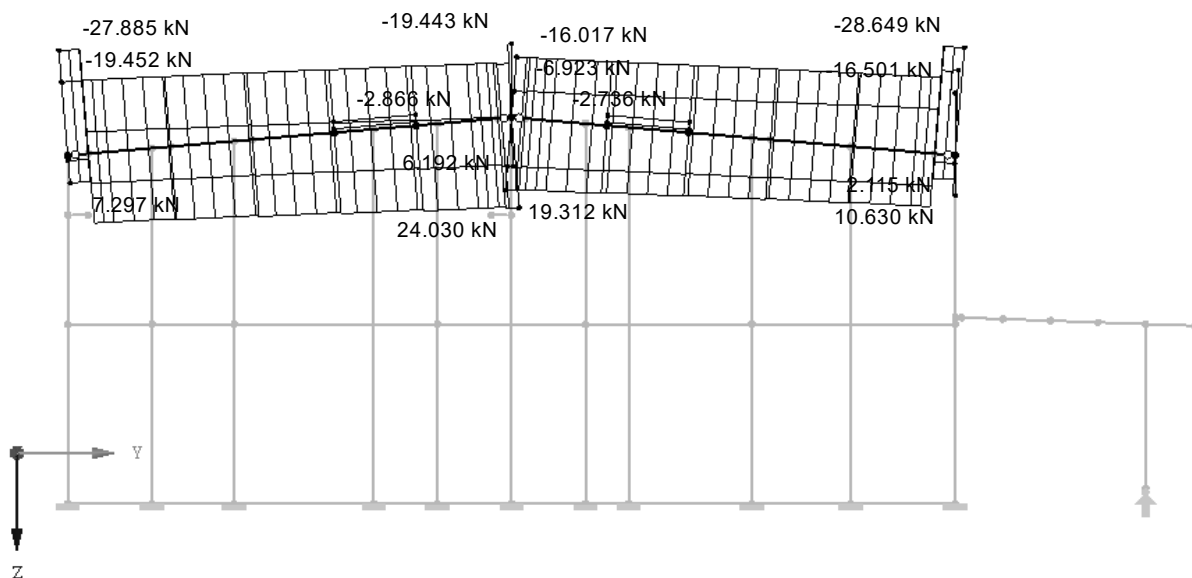
Projekt:

Model: HOŘICE-KONSTRUKCE\_3D\_Budova\_redukováne ..

## VNITŘNÍ SÍLY N

KV1 : MSÚ (STR/GEO) - trvalá/dočasná - rovn. 6.10a a 6.10b  
Vnitřní síly N  
Kombinace výsledků: Max. a min. hodnoty

Ve směru X



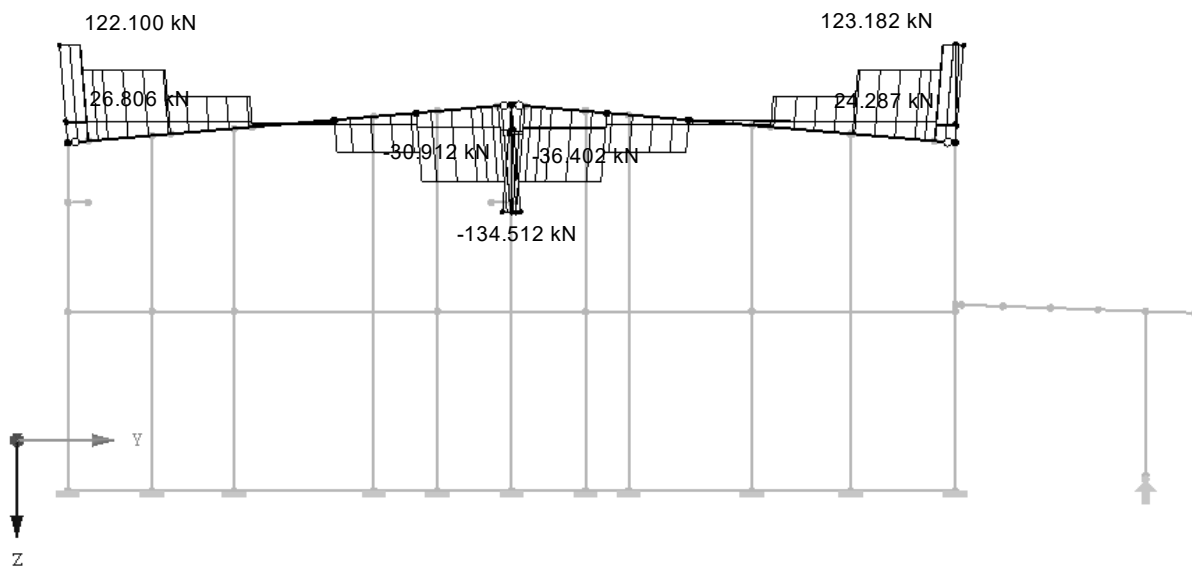
Max N: 24.030, Min N: -28.649 [kN]

3681.7 mm

## VNITŘNÍ SÍLY $V_z/V_v$

KV1 : MSÚ (STR/GEO) - trvalá/dočasná - rovn. 6.10a a 6.10b  
Vnitřní síly  $V_z/V_v$   
Kombinace výsledků: Max. a min. hodnoty

Ve směru X



Max  $V_z/V_v$ : 123.182, Min  $V_z/V_v$ : -134.512 [kN]

3681.7 mm



KRStatic s.r.o.

Korunní 2569/108, 101 00 Praha 10

Hlavní budova\_redukována zatížení

VÝSLEDKY

Projekt:

Model: HOŘICE-KONSTRUKCE\_3D\_Budova\_redukováne ..

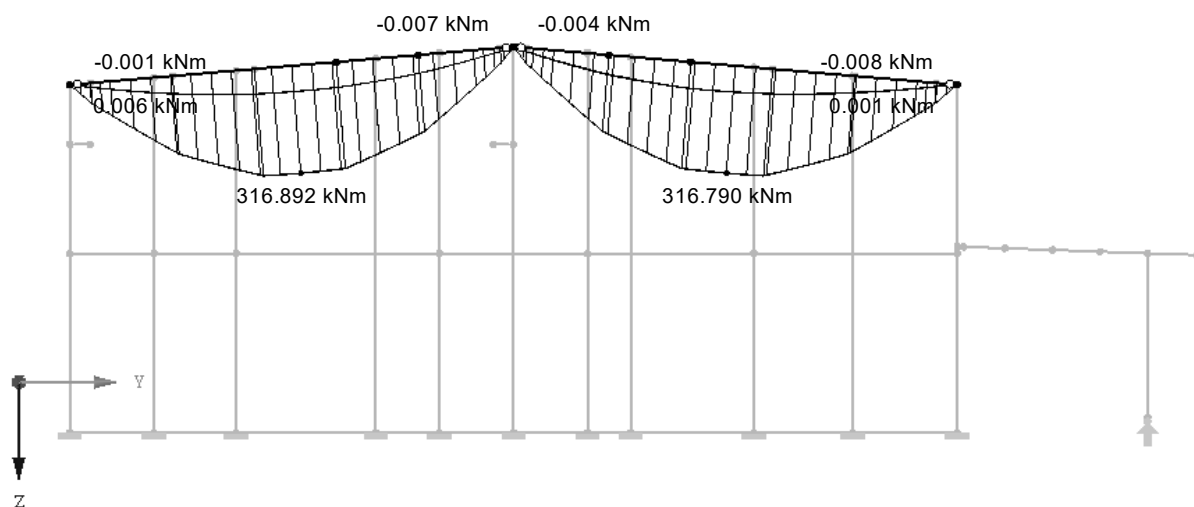
## VNITŘNÍ SÍLY $M_y/M_u$

KV1 : MSÚ (STR/GEO) - trvalá/dočasná - rovn. 6.10a a 6.10b

Vnitřní síly M-y/M-u

Kombinace výsledků: Max. a min. hodnoty

Ve směru X



Max M-y/M-u: 316.892, Min M-y/M-u: -0.008 [kNm]

3681.7 mm

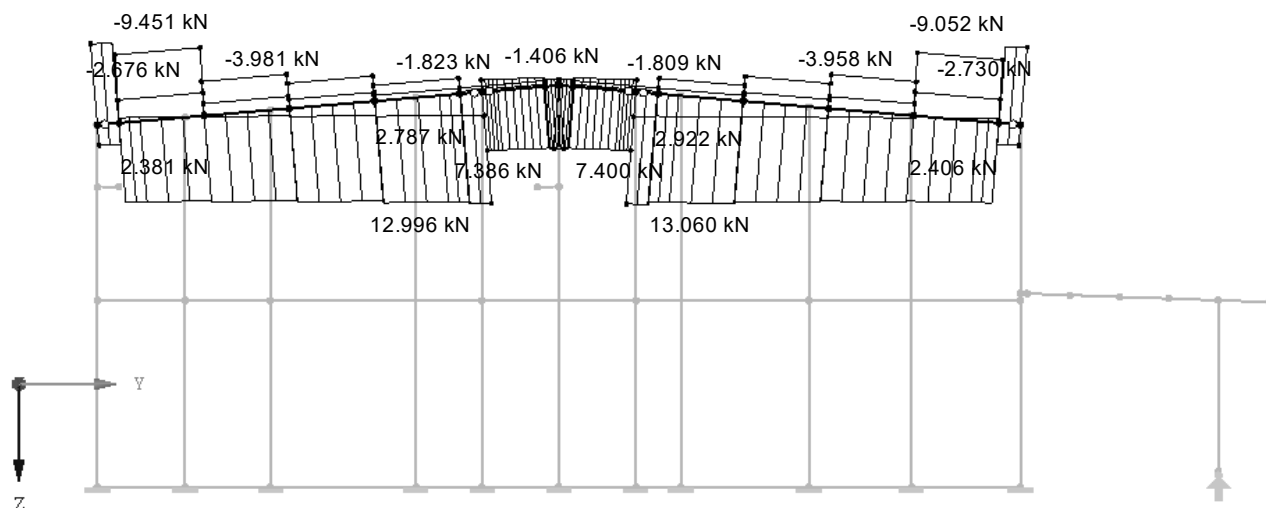
## VNITŘNÍ SÍLY N

KV1 : MSÚ (STR/GEO) - trvalá/dočasná - rovn. 6.10a a 6.10b

Vnitřní síly N

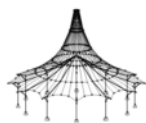
Kombinace výsledků: Max. a min. hodnoty

Ve směru X



Max N: 13.060, Min N: -9.451 [kN]

3540 mm



KRStatic s.r.o.

Korunní 2569/108, 101 00 Praha 10

Hlavní budova\_redukovaná zatížení

VÝSLEDKY

Projekt:

Model: HOŘICE-KONSTRUKCE\_3D\_Budova\_redukované ..

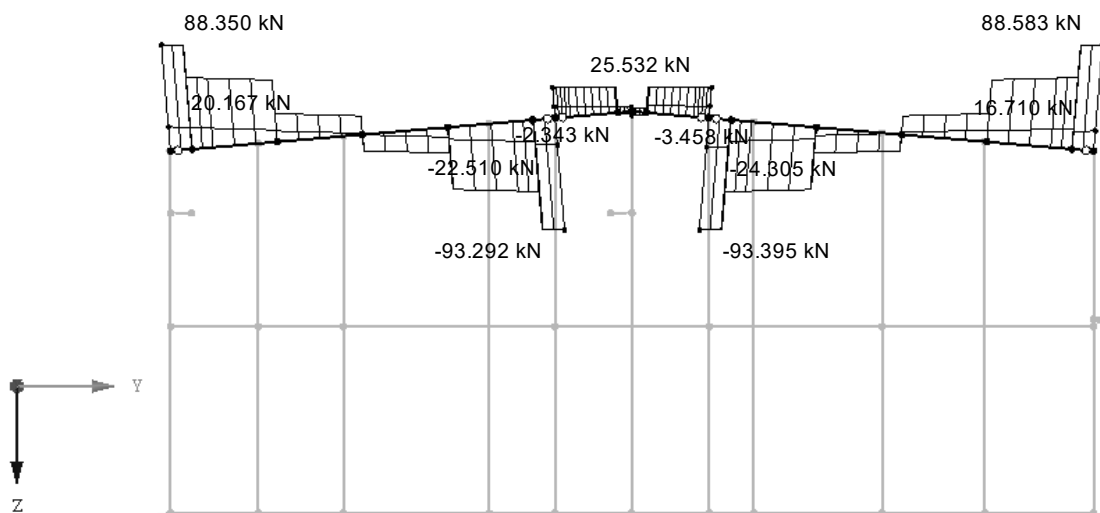
## VNITŘNÍ SÍLY $V_z/V_v$

KV1 : MSÚ (STR/GEO) - trvalá/dočasná - rovn. 6.10a a 6.10b

Vnitřní síly V-z/V-v

Kombinace výsledků: Max. a min. hodnoty

Ve směru X



Max V-z/V-v: 88.583, Min V-z/V-v: -93.395 [kN]

3540 mm

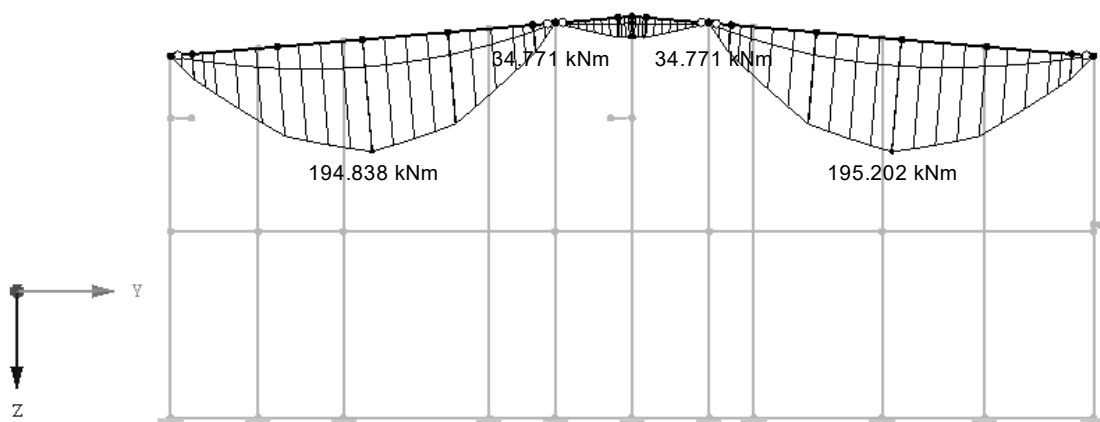
## VNITŘNÍ SÍLY $M_y/M_u$

KV1 : MSÚ (STR/GEO) - trvalá/dočasná - rovn. 6.10a a 6.10b

Vnitřní síly M-y/M-u

Kombinace výsledků: Max. a min. hodnoty

Ve směru X



Max M-y/M-u: 195.202, Min M-y/M-u: 0.000 [kNm]

3540 mm



KRStatic s.r.o.

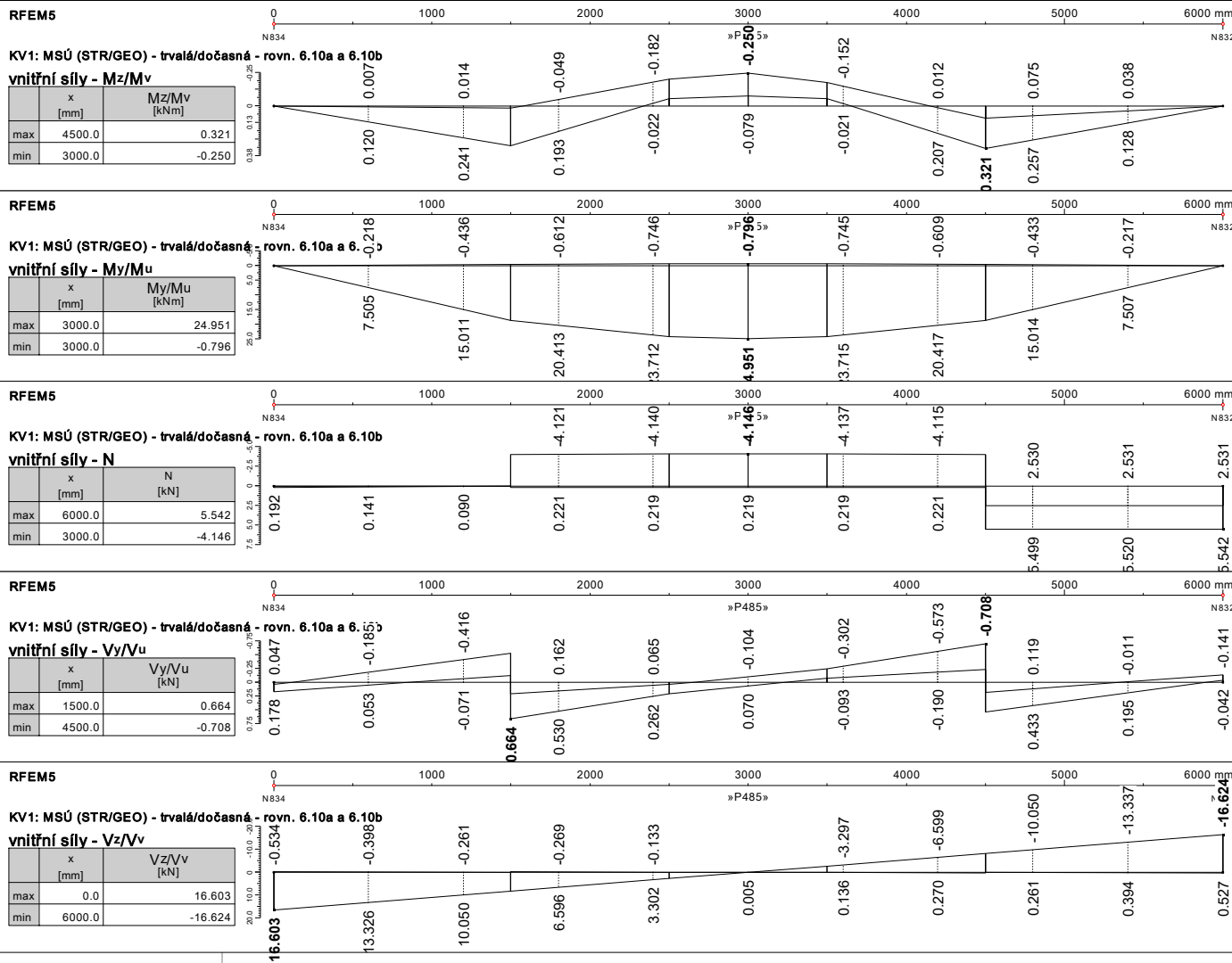
Korunní 2569/108, 101 00 Praha 10

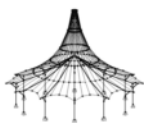
Hlavní budova\_redukováná zatížení

VÝSLEDKY

Projekt: Model: HOŘICE-KONSTRUKCE\_3D\_Budova\_redukováné ..

PRŮBĚHY VÝSLEDKŮ NA PRUTU - OCELOVÁ VAZNICE





KRStatic s.r.o.

Korunní 2569/108, 101 00 Praha 10

Hlavní budova\_redukovaná zatížení

RF-STEEL EC3

RF-STEEL EC3  
PŘ1  
Vaznice\_přístřešek

Projekt: Model: HOŘICE-KONSTRUKCE\_3D\_Budova\_redukované ..

1.1 ZÁKLADNÍ ÚDAJE

Pruty k posouzení:	457-460,462-475,864-869,871-906		
Sady prutů k posouzení:			
Národní příloha:	ČSN		
Posouzení mezního stavu únosnosti	KV1	MSÚ (STR/GEO) - trvalá/dočasná - rovn. 6.10a a 6.10b	
Kombinace výsledků k posouzení:			
Posouzení mezního stavu použitelnosti	KV2	MSP - charakteristická	
Kombinace výsledků k posouzení:			

1.2 MATERIÁLY

Materiál - č.	Označení materiálu	Modul pruž. E [MPa]	Smykový modul G [MPa]	Poissonův součinitel ν [-]	Mez kluzu f <sub>yk</sub> [MPa]	Max. tloušťka dílce t [mm]
3	Ocel S 235   ČSN EN 1993-1-1:2005-05	210000.000	80769.200	0.300	235.000	40.0
					215.000	80.0
					195.000	100.0
					185.000	150.0
					175.000	200.0
					165.000	250.0
	OCEL	165.000	400.0			

RRO 180x100x8 (...)



1.3 PRŮŘEZY

Průř. č.	Materiál - č.	Označení průřezu	Typ průřezu	Max. návrhové využití	Komentář
20	3	RRO 180x100x8 (za tepla)	Dutý profil válcov.	0.94	

1.9 ÚDAJE PRO POSOUZENÍ POUŽITELNOSTI

č.	Vztaženo na	Pruty/Sady č.	Vztažná délka		Směr	Nadvýšení e <sub>0</sub> [mm]	Typ nosníku
			Ručně	l [mm]			
1	Prut	457	<input type="checkbox"/>	6000.0	y, z	0.0	Nosník
2	Prut	458	<input type="checkbox"/>	6000.0	y, z	0.0	Nosník
3	Prut	459	<input type="checkbox"/>	6000.0	y, z	0.0	Nosník
4	Prut	460	<input type="checkbox"/>	5420.0	y, z	0.0	Nosník
5	Prut	462	<input type="checkbox"/>	5000.0	y, z	0.0	Nosník
6	Prut	463	<input type="checkbox"/>	3600.0	y, z	0.0	Nosník
7	Prut	464	<input type="checkbox"/>	5000.0	y, z	0.0	Nosník
8	Prut	465	<input type="checkbox"/>	5000.0	y, z	0.0	Nosník
9	Prut	466	<input type="checkbox"/>	5000.0	y, z	0.0	Nosník
10	Prut	467	<input type="checkbox"/>	6000.0	y, z	0.0	Nosník
11	Prut	468	<input type="checkbox"/>	6000.0	y, z	0.0	Nosník
12	Prut	469	<input type="checkbox"/>	6000.0	y, z	0.0	Nosník
13	Prut	470	<input type="checkbox"/>	6000.0	y, z	0.0	Nosník
14	Prut	471	<input type="checkbox"/>	6000.0	y, z	0.0	Nosník
15	Prut	472	<input type="checkbox"/>	6000.0	y, z	0.0	Nosník
16	Prut	473	<input type="checkbox"/>	6000.0	y, z	0.0	Nosník
17	Prut	474	<input type="checkbox"/>	6000.0	y, z	0.0	Nosník
18	Prut	475	<input type="checkbox"/>	6000.0	y, z	0.0	Nosník
19	Prut	864	<input type="checkbox"/>	6000.0	y, z	0.0	Nosník
20	Prut	865	<input type="checkbox"/>	6000.0	y, z	0.0	Nosník
21	Prut	866	<input type="checkbox"/>	6000.0	y, z	0.0	Nosník
22	Prut	867	<input type="checkbox"/>	6000.0	y, z	0.0	Nosník
23	Prut	868	<input type="checkbox"/>	6000.0	y, z	0.0	Nosník
24	Prut	869	<input type="checkbox"/>	6000.0	y, z	0.0	Nosník
25	Prut	871	<input type="checkbox"/>	5420.0	y, z	0.0	Nosník
26	Prut	872	<input type="checkbox"/>	5420.0	y, z	0.0	Nosník
27	Prut	873	<input type="checkbox"/>	5420.0	y, z	0.0	Nosník
28	Prut	874	<input type="checkbox"/>	5420.0	y, z	0.0	Nosník
29	Prut	875	<input type="checkbox"/>	5420.0	y, z	0.0	Nosník
30	Prut	876	<input type="checkbox"/>	5000.0	y, z	0.0	Nosník
31	Prut	877	<input type="checkbox"/>	5000.0	y, z	0.0	Nosník
32	Prut	878	<input type="checkbox"/>	5000.0	y, z	0.0	Nosník
33	Prut	879	<input type="checkbox"/>	5000.0	y, z	0.0	Nosník
34	Prut	880	<input type="checkbox"/>	5000.0	y, z	0.0	Nosník
35	Prut	881	<input type="checkbox"/>	5000.0	y, z	0.0	Nosník
36	Prut	882	<input type="checkbox"/>	5000.0	y, z	0.0	Nosník
37	Prut	883	<input type="checkbox"/>	5000.0	y, z	0.0	Nosník
38	Prut	884	<input type="checkbox"/>	5000.0	y, z	0.0	Nosník
39	Prut	885	<input type="checkbox"/>	5000.0	y, z	0.0	Nosník
40	Prut	886	<input type="checkbox"/>	5000.0	y, z	0.0	Nosník
41	Prut	887	<input type="checkbox"/>	5000.0	y, z	0.0	Nosník
42	Prut	888	<input type="checkbox"/>	5000.0	y, z	0.0	Nosník
43	Prut	889	<input type="checkbox"/>	5000.0	y, z	0.0	Nosník
44	Prut	890	<input type="checkbox"/>	5000.0	y, z	0.0	Nosník
45	Prut	891	<input type="checkbox"/>	5000.0	y, z	0.0	Nosník
46	Prut	892	<input type="checkbox"/>	5000.0	y, z	0.0	Nosník
47	Prut	893	<input type="checkbox"/>	5000.0	y, z	0.0	Nosník
48	Prut	894	<input type="checkbox"/>	5000.0	y, z	0.0	Nosník
49	Prut	895	<input type="checkbox"/>	5000.0	y, z	0.0	Nosník
50	Prut	896	<input type="checkbox"/>	5000.0	y, z	0.0	Nosník
51	Prut	897	<input type="checkbox"/>	5000.0	y, z	0.0	Nosník
52	Prut	898	<input type="checkbox"/>	5000.0	y, z	0.0	Nosník
53	Prut	899	<input type="checkbox"/>	5000.0	y, z	0.0	Nosník
54	Prut	900	<input type="checkbox"/>	5000.0	y, z	0.0	Nosník
55	Prut	901	<input type="checkbox"/>	5000.0	y, z	0.0	Nosník





## KRStatic s.r.o.

Korunní 2569/108, 101 00 Praha 10

Hlavní budova\_redukovaná zatížení

RF-STEEL EC3

Projekt:

Model: HOŘICE-KONSTRUKCE\_3D\_Budova\_redukované ..

### 1.9 ÚDAJE PRO POSOUZENÍ POUŽITELNOSTI

č.	Vztaženo na	Pruty/Sady č.	Vztažná délka		Směr	Nadvýšení e <sub>0</sub> [mm]	Typ nosníku
			Ručně	I [mm]			
56	Prut	902	<input type="checkbox"/>	3600.0	y, z	0.0	Nosník
57	Prut	903	<input type="checkbox"/>	3600.0	y, z	0.0	Nosník
58	Prut	904	<input type="checkbox"/>	3600.0	y, z	0.0	Nosník
59	Prut	905	<input type="checkbox"/>	3600.0	y, z	0.0	Nosník
60	Prut	906	<input type="checkbox"/>	3600.0	y, z	0.0	Nosník

### 2.2 POSOUZENÍ PO PRŮŘEZECH

Průř. č.	Prut č.	Místo x [mm]	ZS/KZ/ KV	Návrh	Rovnice č.	Označení
20	RRO 180x100x8 (za tepla)					
	864	0.0	KV1	0.00	≤ 1	CS100) Zanedbatelné vnitřní síly
	874	0.0	KV1	0.04	≤ 1	CS101) Posouzení průřezu - tah podle 6.2.3
	874	2679.9	KV1	0.02	≤ 1	CS102) Posouzení průřezu - tlak podle 6.2.4
	903	450.0	KV1	0.04	≤ 1	CS111) Posouzení průřezu - ohyb okolo y podle 6.2.5 - třída 1 nebo 2
	457	6000.0	KV1	0.06	≤ 1	CS121) Posouzení průřezu - smyk ve směru z podle 6.2.6
	901	0.0	KV1	0.05	≤ 1	CS123) Posouzení průřezu - smyk ve směru y podle 6.2.6
	457	0.0	KV1	0.00	≤ 1	CS126) Posouzení průřezu - smykové boulení podle 6.2.6(6)
	903	450.0	KV1	0.04	≤ 1	CS141) Posouzení průřezu - ohyb a smyk podle 6.2.5 a 6.2.8
	457	2769.2	KV1	0.36	≤ 1	CS161) Posouzení průřezu - dvouosý ohyb a smyk podle 6.2.6, 6.2.7 a 6.2.9
	884	2500.0	KV1	0.04	≤ 1	CS181) Posouzení průřezu - ohyb, smyk a osová síla podle 6.2.9.1
	901	2500.0	KV1	0.26	≤ 1	CS221) Posouzení průřezu - dvouosý ohyb, smyk a osová síla podle 6.2.10 a 6.2.9
	457	0.0	KV2	0.00	≤ 1	SE400) Použitelnost - malé, resp. velmi malé deformace
	457	3230.8	KV2	0.90	≤ 1	SE401) Použitelnost - kombinace zatížení 'charakteristická' - směr z
	901	2500.0	KV2	0.94	≤ 1	SE406) Použitelnost - kombinace zatížení 'charakteristická' - směr y

RF-STEEL EC3

PR2

Vaznice\_střecha\_škola

### 1.1 ZÁKLADNÍ ÚDAJE

Pruty k posouzení:	484-603	
Sady prutů k posouzení:		
Národní příloha:	ČSN	
Posouzení mezního stavu únosnosti		
Kombinace výsledků k posouzení:	KV1	MSÚ (STR/GEO) - trvalá/dočasná - rovn. 6.10a a 6.10b
Posouzení mezního stavu použitelnosti		
Kombinace výsledků k posouzení:	KV2	MSP - charakteristická

### 1.2 MATERIÁLY

Materiál - č.	Označení materiálu	Modul pruž. E [MPa]	Smykový modul G [MPa]	Poissonův součinitel ν [-]	Mez kluzu f <sub>yk</sub> [MPa]	Max. tloušťka dílce t [mm]
3	Ocel S 235   ČSN EN 1993-1-1:2005-05	210000.000	80769.200	0.300	235.000	40.0
					215.000	80.0
					215.000	100.0
					195.000	150.0
					185.000	200.0
					175.000	250.0
					165.000	400.0
OCEL						

### 1.3 PRŮŘEZY

Průř. č.	Materiál - č.	Označení průřezu	Typ průřezu	Max. návrhové využití	Komentář
14	3	IPE 200	I-profil válcov.	0.99	



### 1.9 ÚDAJE PRO POSOUZENÍ POUŽITELNOSTI

č.	Vztaženo na	Pruty/Sady č.	Vztažná délka		Směr	Nadvýšení e <sub>0</sub> [mm]	Typ nosníku
			Ručně	I [mm]			
1	Prut	484	<input type="checkbox"/>	6000.0	y, z	0.0	Nosník
2	Prut	485	<input type="checkbox"/>	6000.0	y, z	0.0	Nosník
3	Prut	486	<input type="checkbox"/>	6000.0	y, z	0.0	Nosník
4	Prut	487	<input type="checkbox"/>	6000.0	y, z	0.0	Nosník
5	Prut	488	<input type="checkbox"/>	6000.0	y, z	0.0	Nosník
6	Prut	489	<input type="checkbox"/>	6000.0	y, z	0.0	Nosník
7	Prut	490	<input type="checkbox"/>	6000.0	y, z	0.0	Nosník
8	Prut	491	<input type="checkbox"/>	6000.0	y, z	0.0	Nosník
9	Prut	492	<input type="checkbox"/>	6000.0	y, z	0.0	Nosník
10	Prut	493	<input type="checkbox"/>	6000.0	y, z	0.0	Nosník
11	Prut	494	<input type="checkbox"/>	6000.0	y, z	0.0	Nosník
12	Prut	495	<input type="checkbox"/>	6000.0	y, z	0.0	Nosník
13	Prut	496	<input type="checkbox"/>	6000.0	y, z	0.0	Nosník



Projekt:

Model: HOŘICE-KONSTRUKCE\_3D\_Budova\_redukováne ...

## ■ 1.9 ÚDAJE PRO POSOUZENÍ POUŽITELNOSTI

č.	Vztaženo na	Pruty/Sady č.	Vztažná délka		Směr	Nadvýšení e <sub>0</sub> [mm]	Typ nosníku
			Ručně	I [mm]			
14	Prut	497	<input type="checkbox"/>	6000.0	y, z	0.0	Nosník
15	Prut	498	<input type="checkbox"/>	6000.0	y, z	0.0	Nosník
16	Prut	499	<input type="checkbox"/>	6000.0	y, z	0.0	Nosník
17	Prut	500	<input type="checkbox"/>	6000.0	y, z	0.0	Nosník
18	Prut	501	<input type="checkbox"/>	6000.0	y, z	0.0	Nosník
19	Prut	502	<input type="checkbox"/>	6000.0	y, z	0.0	Nosník
20	Prut	503	<input type="checkbox"/>	6000.0	y, z	0.0	Nosník
21	Prut	504	<input type="checkbox"/>	6000.0	y, z	0.0	Nosník
22	Prut	505	<input type="checkbox"/>	6000.0	y, z	0.0	Nosník
23	Prut	506	<input type="checkbox"/>	6000.0	y, z	0.0	Nosník
24	Prut	507	<input type="checkbox"/>	6000.0	y, z	0.0	Nosník
25	Prut	508	<input type="checkbox"/>	6000.0	y, z	0.0	Nosník
26	Prut	509	<input type="checkbox"/>	6000.0	y, z	0.0	Nosník
27	Prut	510	<input type="checkbox"/>	6000.0	y, z	0.0	Nosník
28	Prut	511	<input type="checkbox"/>	6000.0	y, z	0.0	Nosník
29	Prut	512	<input type="checkbox"/>	6000.0	y, z	0.0	Nosník
30	Prut	513	<input type="checkbox"/>	6000.0	y, z	0.0	Nosník
31	Prut	514	<input type="checkbox"/>	6000.0	y, z	0.0	Nosník
32	Prut	515	<input type="checkbox"/>	6000.0	y, z	0.0	Nosník
33	Prut	516	<input type="checkbox"/>	6000.0	y, z	0.0	Nosník
34	Prut	517	<input type="checkbox"/>	6000.0	y, z	0.0	Nosník
35	Prut	518	<input type="checkbox"/>	6000.0	y, z	0.0	Nosník
36	Prut	519	<input type="checkbox"/>	6000.0	y, z	0.0	Nosník
37	Prut	520	<input type="checkbox"/>	5000.0	y, z	0.0	Nosník
38	Prut	521	<input type="checkbox"/>	5000.0	y, z	0.0	Nosník
39	Prut	522	<input type="checkbox"/>	5000.0	y, z	0.0	Nosník
40	Prut	523	<input type="checkbox"/>	5000.0	y, z	0.0	Nosník
41	Prut	524	<input type="checkbox"/>	5000.0	y, z	0.0	Nosník
42	Prut	525	<input type="checkbox"/>	5000.0	y, z	0.0	Nosník
43	Prut	526	<input type="checkbox"/>	5000.0	y, z	0.0	Nosník
44	Prut	527	<input type="checkbox"/>	5000.0	y, z	0.0	Nosník
45	Prut	528	<input type="checkbox"/>	5000.0	y, z	0.0	Nosník
46	Prut	529	<input type="checkbox"/>	5000.0	y, z	0.0	Nosník
47	Prut	530	<input type="checkbox"/>	5000.0	y, z	0.0	Nosník
48	Prut	531	<input type="checkbox"/>	5000.0	y, z	0.0	Nosník
49	Prut	532	<input type="checkbox"/>	5000.0	y, z	0.0	Nosník
50	Prut	533	<input type="checkbox"/>	5000.0	y, z	0.0	Nosník
51	Prut	534	<input type="checkbox"/>	5000.0	y, z	0.0	Nosník
52	Prut	535	<input type="checkbox"/>	5000.0	y, z	0.0	Nosník
53	Prut	536	<input type="checkbox"/>	5000.0	y, z	0.0	Nosník
54	Prut	537	<input type="checkbox"/>	5000.0	y, z	0.0	Nosník
55	Prut	538	<input type="checkbox"/>	5000.0	y, z	0.0	Nosník
56	Prut	539	<input type="checkbox"/>	5000.0	y, z	0.0	Nosník
57	Prut	540	<input type="checkbox"/>	5000.0	y, z	0.0	Nosník
58	Prut	541	<input type="checkbox"/>	5000.0	y, z	0.0	Nosník
59	Prut	542	<input type="checkbox"/>	5000.0	y, z	0.0	Nosník
60	Prut	543	<input type="checkbox"/>	5000.0	y, z	0.0	Nosník
61	Prut	544	<input type="checkbox"/>	5000.0	y, z	0.0	Nosník
62	Prut	545	<input type="checkbox"/>	5000.0	y, z	0.0	Nosník
63	Prut	546	<input type="checkbox"/>	5000.0	y, z	0.0	Nosník
64	Prut	547	<input type="checkbox"/>	5000.0	y, z	0.0	Nosník
65	Prut	548	<input type="checkbox"/>	5000.0	y, z	0.0	Nosník
66	Prut	549	<input type="checkbox"/>	5000.0	y, z	0.0	Nosník
67	Prut	550	<input type="checkbox"/>	5000.0	y, z	0.0	Nosník
68	Prut	551	<input type="checkbox"/>	5000.0	y, z	0.0	Nosník
69	Prut	552	<input type="checkbox"/>	5000.0	y, z	0.0	Nosník
70	Prut	553	<input type="checkbox"/>	5000.0	y, z	0.0	Nosník
71	Prut	554	<input type="checkbox"/>	5000.0	y, z	0.0	Nosník
72	Prut	555	<input type="checkbox"/>	5000.0	y, z	0.0	Nosník
73	Prut	556	<input type="checkbox"/>	5000.0	y, z	0.0	Nosník
74	Prut	557	<input type="checkbox"/>	5000.0	y, z	0.0	Nosník
75	Prut	558	<input type="checkbox"/>	5000.0	y, z	0.0	Nosník
76	Prut	559	<input type="checkbox"/>	5000.0	y, z	0.0	Nosník
77	Prut	560	<input type="checkbox"/>	5000.0	y, z	0.0	Nosník
78	Prut	561	<input type="checkbox"/>	5000.0	y, z	0.0	Nosník
79	Prut	562	<input type="checkbox"/>	5000.0	y, z	0.0	Nosník
80	Prut	563	<input type="checkbox"/>	5000.0	y, z	0.0	Nosník
81	Prut	564	<input type="checkbox"/>	5000.0	y, z	0.0	Nosník
82	Prut	565	<input type="checkbox"/>	5000.0	y, z	0.0	Nosník
83	Prut	566	<input type="checkbox"/>	5000.0	y, z	0.0	Nosník
84	Prut	567	<input type="checkbox"/>	5000.0	y, z	0.0	Nosník
85	Prut	568	<input type="checkbox"/>	5000.0	y, z	0.0	Nosník
86	Prut	569	<input type="checkbox"/>	5000.0	y, z	0.0	Nosník
87	Prut	570	<input type="checkbox"/>	5000.0	y, z	0.0	Nosník
88	Prut	571	<input type="checkbox"/>	5000.0	y, z	0.0	Nosník
89	Prut	572	<input type="checkbox"/>	5000.0	y, z	0.0	Nosník
90	Prut	573	<input type="checkbox"/>	5000.0	y, z	0.0	Nosník
91	Prut	574	<input type="checkbox"/>	5000.0	y, z	0.0	Nosník
92	Prut	575	<input type="checkbox"/>	5000.0	y, z	0.0	Nosník
93	Prut	576	<input type="checkbox"/>	5000.0	y, z	0.0	Nosník
94	Prut	577	<input type="checkbox"/>	5000.0	y, z	0.0	Nosník
95	Prut	578	<input type="checkbox"/>	5000.0	y, z	0.0	Nosník
96	Prut	579	<input type="checkbox"/>	5000.0	y, z	0.0	Nosník
97	Prut	580	<input type="checkbox"/>	5000.0	y, z	0.0	Nosník
98	Prut	581	<input type="checkbox"/>	5000.0	y, z	0.0	Nosník
99	Prut	582	<input type="checkbox"/>	5000.0	y, z	0.0	Nosník
100	Prut	583	<input type="checkbox"/>	5000.0	y, z	0.0	Nosník
101	Prut	584	<input type="checkbox"/>	5000.0	y, z	0.0	Nosník
102	Prut	585	<input type="checkbox"/>	5000.0	y, z	0.0	Nosník
103	Prut	586	<input type="checkbox"/>	5000.0	y, z	0.0	Nosník
104	Prut	587	<input type="checkbox"/>	5000.0	y, z	0.0	Nosník
105	Prut	588	<input type="checkbox"/>	5000.0	y, z	0.0	Nosník
106	Prut	589	<input type="checkbox"/>	5000.0	y, z	0.0	Nosník
107	Prut	590	<input type="checkbox"/>	5000.0	y, z	0.0	Nosník



Projekt:

Model: HOŘICE-KONSTRUKCE\_3D\_Budova\_redukováné ..

## 1.9 ÚDAJE PRO POSOUZENÍ POUŽITELNOSTI

č.	Vztaženo na	Pruty/Sady č.	Vztažná délka		Směr	Nadvýšení e <sub>0</sub> [mm]	Typ nosníku
			Ručně	l [mm]			
108	Prut	591	<input type="checkbox"/>	5000.0	y, z	0.0	Nosník
109	Prut	592	<input type="checkbox"/>	3600.0	y, z	0.0	Nosník
110	Prut	593	<input type="checkbox"/>	3600.0	y, z	0.0	Nosník
111	Prut	594	<input type="checkbox"/>	3600.0	y, z	0.0	Nosník
112	Prut	595	<input type="checkbox"/>	3600.0	y, z	0.0	Nosník
113	Prut	596	<input type="checkbox"/>	3600.0	y, z	0.0	Nosník
114	Prut	597	<input type="checkbox"/>	3600.0	y, z	0.0	Nosník
115	Prut	598	<input type="checkbox"/>	3600.0	y, z	0.0	Nosník
116	Prut	599	<input type="checkbox"/>	3600.0	y, z	0.0	Nosník
117	Prut	600	<input type="checkbox"/>	3600.0	y, z	0.0	Nosník
118	Prut	601	<input type="checkbox"/>	3600.0	y, z	0.0	Nosník
119	Prut	602	<input type="checkbox"/>	3600.0	y, z	0.0	Nosník
120	Prut	603	<input type="checkbox"/>	3600.0	y, z	0.0	Nosník

## 2.2 POSOUZENÍ PO PRŮŘEZECH

Průř. č.	Prut č.	Místo x [mm]	ZS/KZ/ KV	Návrh		Rovnice č.	Označení
14	IPE 200						
	527	416.7	KV1	0.00	≤ 1	CS100)	Zanedbatelné vnitřní síly
	527	5000.0	KV1	0.03	≤ 1	CS101)	Posouzení průřezu - tah podle 6.2.3
	527	3750.0	KV1	0.02	≤ 1	CS102)	Posouzení průřezu - tlak podle 6.2.4
	519	1880.0	KV1	0.46	≤ 1	CS111)	Posouzení průřezu - ohyb okolo y podle 6.2.5 - třída 1 nebo 2
	518	1500.0	KV1	0.03	≤ 1	CS116)	Posouzení průřezu - ohyb okolo z podle 6.2.5 - třída 1 nebo 2
	495	6000.0	KV1	0.10	≤ 1	CS121)	Posouzení průřezu - smyk ve směru z podle 6.2.6
	513	4500.0	KV1	0.00	≤ 1	CS123)	Posouzení průřezu - smyk ve směru y podle 6.2.6
	484	0.0	KV1	0.00	≤ 1	CS126)	Posouzení průřezu - smykové boulení podle 6.2.6(6)
	513	1928.6	KV1	0.07	≤ 1	CS131)	Posouzení průřezu - kroucení podle 6.2.7
	513	1500.0	KV1	0.05	≤ 1	CS132)	Posouzení průřezu - kroucení a smyk podle 6.2.7(9)
	519	4500.0	KV1	0.00	≤ 1	CS137)	Posouzení průřezu - kroucení a smyk podle 6.2.7(9)
	519	1880.0	KV1	0.46	≤ 1	CS141)	Posouzení průřezu - ohyb a smyk podle 6.2.5 a 6.2.8
	517	4071.4	KV1	0.45	≤ 1	CS146)	Posouzení průřezu - ohyb, smyk a kroucení podle 6.2.5 až 6.2.8
	518	1500.0	KV1	0.03	≤ 1	CS151)	Posouzení průřezu - ohyb okolo z a smyk podle 6.2.5 a 6.2.8
	507	3000.0	KV1	0.36	≤ 1	CS161)	Posouzení průřezu - dvouosý ohyb a smyk podle 6.2.6, 6.2.7 a 6.2.9
	513	2785.7	KV1	0.34	≤ 1	CS166)	Posouzení průřezu - dvouosý ohyb, smyk a kroucení podle 6.2.5 až 6.2.8
	496	4000.0	KV1	0.40	≤ 1	CS181)	Posouzení průřezu - ohyb, smyk a osová síla podle 6.2.9.1
	508	4700.0	KV1	0.01	≤ 1	CS201)	Posouzení průřezu - ohyb okolo z, smyk a osová síla podle 6.2.9.1
	496	3000.0	KV1	0.27	≤ 1	CS221)	Posouzení průřezu - dvouosý ohyb, smyk a osová síla podle 6.2.10 a 6.2.9
	514	3000.0	KV1	0.25	≤ 1	CS226)	Posouzení průřezu - dvouosý ohyb, smyk, kroucení a osová síla podle 6.2.10 a 6.2.9
	513	2785.7	KV1	0.69	≤ 1	CS271)	Posouzení průřezu - normálové napětí a kroucení - elastické posouzení
	484	0.0	KV2	0.00	≤ 1	SE400)	Použitelnost - malé, resp. velmi malé deformace
	507	3000.0	KV2	0.99	≤ 1	SE401)	Použitelnost - kombinace zatížení 'charakteristická' - směr z
	592	1800.0	KV2	0.20	≤ 1	SE406)	Použitelnost - kombinace zatížení 'charakteristická' - směr y

RF-STEEL EC3

PR3

Rámová stojka\_přístřešek

## 1.1 ZÁKLADNÍ ÚDAJE

Pruty k posouzení:	238-248
Sady prutů k posouzení:	
Národní příloha:	ČSN
Posouzení mezního stavu únosnosti	
Kombinace výsledků k posouzení:	KV1 MSÚ (STR/GEO) - trvalá/dočasná - rovn. 6.10a a 6.10b

## 1.2 MATERIÁLY

Materiál - č.	Označení materiálu	Modul pruž.		Poissonův součinitel ν [-]	Mez kluzu f <sub>yk</sub> [MPa]	Max. tloušťka dílce t [mm]
		E [MPa]	G [MPa]			
3	Ocel S 235   ČSN EN 1993-1-1:2005-05	210000.000	80769.200	0.300	235.000	40.0
					215.000	80.0
					215.000	100.0
					195.000	150.0
					185.000	200.0
					175.000	250.0
					165.000	400.0
	OCEL					



KRStatic s.r.o.

Korunní 2569/108, 101 00 Praha 10

Hlavní budova\_redukovaná zatížení

RF-STEEL EC3

Projekt:

Model: HOŘICE-KONSTRUKCE\_3D\_Budova\_redukované ..

2UK UPE 160 | Fer...



### 1.3 PRŮŘEZY

Průř. č.	Materiál - č.	Označení průřezu	Typ průřezu	Max. návrhové využití	Komentář
4	3	2UK UPE 160   Ferona - DIN 1026-2 Typ Obecný - možná pouze třída 3 a třída 4	Obecné	0.90	.AREA.

### 1.5 VZPĚRNÉ DÉLKY - PRUTY

Prut č.	Vzpěr možný	Vzpěr okolo osy y			Vzpěr okolo osy z			Klopení				
		možný	$k_{cr,y}$	$L_{cr,y}$ [mm]	možný	$k_{cr,z}$	$L_{cr,z}$ [mm]	možné	$k_z$	$k_w$	$L_w$ [mm]	$L_T$ [mm]
238	<input checked="" type="checkbox"/>	<input checked="" type="checkbox"/>	2.34	9344.8	<input checked="" type="checkbox"/>	1.89	7534.1	<input type="checkbox"/>	1.0	1.0	3988.4	3988.4
239	<input checked="" type="checkbox"/>	<input checked="" type="checkbox"/>	2.34	9344.8	<input checked="" type="checkbox"/>	1.89	7534.1	<input type="checkbox"/>	1.0	1.0	3988.4	3988.4
240	<input checked="" type="checkbox"/>	<input checked="" type="checkbox"/>	2.91	11614.2	<input checked="" type="checkbox"/>	2.35	9364.8	<input type="checkbox"/>	1.0	1.0	3988.4	3988.4
241	<input checked="" type="checkbox"/>	<input checked="" type="checkbox"/>	2.62	10441.6	<input checked="" type="checkbox"/>	2.11	8419.5	<input type="checkbox"/>	1.0	1.0	3988.4	3988.4
242	<input checked="" type="checkbox"/>	<input checked="" type="checkbox"/>	2.49	9943.1	<input checked="" type="checkbox"/>	2.01	8016.7	<input type="checkbox"/>	1.0	1.0	3988.4	3988.4
243	<input checked="" type="checkbox"/>	<input checked="" type="checkbox"/>	2.46	9807.5	<input checked="" type="checkbox"/>	1.98	7909.0	<input type="checkbox"/>	1.0	1.0	3988.4	3988.4
244	<input checked="" type="checkbox"/>	<input checked="" type="checkbox"/>	2.38	9508.3	<input checked="" type="checkbox"/>	1.92	7665.7	<input type="checkbox"/>	1.0	1.0	3988.4	3988.4
245	<input checked="" type="checkbox"/>	<input checked="" type="checkbox"/>	3.06	12216.5	<input checked="" type="checkbox"/>	2.47	9851.3	<input type="checkbox"/>	1.0	1.0	3988.4	3988.4
246	<input checked="" type="checkbox"/>	<input checked="" type="checkbox"/>	2.49	9943.1	<input checked="" type="checkbox"/>	2.01	8016.7	<input type="checkbox"/>	1.0	1.0	3988.4	3988.4
247	<input checked="" type="checkbox"/>	<input checked="" type="checkbox"/>	2.49	9943.1	<input checked="" type="checkbox"/>	2.01	8016.7	<input type="checkbox"/>	1.0	1.0	3988.4	3988.4
248	<input checked="" type="checkbox"/>	<input checked="" type="checkbox"/>	2.62	10441.6	<input checked="" type="checkbox"/>	2.11	8419.5	<input type="checkbox"/>	1.0	1.0	3988.4	3988.4

### 2.2 POSOUZENÍ PO PRŮŘEZECH

Průř. č.	Prut č.	Místo x [mm]	ZS/KZ/ KV	Návrh	Rovnice č.	Označení
4	2UK UPE 160   Ferona - DIN 1026-2 - .AREA.					
	242	997.1	KV1	0.00	≤ 1	CS100) Zanedbatelné vnitřní síly
	239	3988.4	KV1	0.02	≤ 1	CS101) Posouzení průřezu - tah podle 6.2.3
	239	0.0	KV1	0.13	≤ 1	CS102) Posouzení průřezu - tlak podle 6.2.4
	239	3988.4	KV1	0.04	≤ 1	CS112) Posouzení průřezu - ohyb okolo y podle 6.2.5 - třída 3
	245	3988.4	KV1	0.01	≤ 1	CS117) Posouzení průřezu - ohyb okolo z podle 6.2.5 - třída 3
	239	0.0	KV1	0.04	≤ 1	CS122) Posouzení průřezu - smyk ve směru z podle 6.2.6(4) - třída 3 nebo 4
	245	0.0	KV1	0.01	≤ 1	CS124) Posouzení průřezu - posouvající síla ve směru y podle 6.2.6(4) - třída 3 nebo 4
	239	3988.4	KV1	0.04	≤ 1	CS143) Posouzení průřezu - ohyb a smyk podle 6.2.9.2 a 6.2.10 - třída 3 - obecný průřez
	245	3988.4	KV1	0.01	≤ 1	CS153) Posouzení průřezu - ohyb okolo z a smyk podle 6.2.9.2 a 6.2.10 - třída 3 - obecný průřez
	239	3988.4	KV1	0.64	≤ 1	CS183) Posouzení průřezu - ohyb, smyk a osová síla podle 6.2.9.2 - třída 3 - obecný průřez
	245	3988.4	KV1	0.29	≤ 1	CS203) Posouzení průřezu - ohyb okolo z, smyk a osová síla podle 6.2.9.2 - třída 3 - obecný průřez
	239	3988.4	KV1	0.45	≤ 1	CS223) Posouzení průřezu - dvoosý ohyb, smyk a osová síla podle 6.2.10 a 6.2.9 - třída 3 - obecný průřez
	239	0.0	KV1	0.05	≤ 1	ST301) Posouzení stability - vzpěr okolo y podle 6.3.1.1 a 6.3.1.2(4)
	244	0.0	KV1	0.35	≤ 1	ST302) Posouzení stability - vzpěr okolo y podle 6.3.1.1 a 6.3.1.2
	239	0.0	KV1	0.05	≤ 1	ST311) Posouzení stability - vzpěr okolo z podle 6.3.1.1 a 6.3.1.2(4)
	244	0.0	KV1	0.35	≤ 1	ST312) Posouzení stability - vzpěr okolo z podle 6.3.1.1 a 6.3.1.2
	239	0.0	KV1	0.90	≤ 1	ST354) Posouzení stability - ohyb a tlak podle 6.3.3, metoda 1

RF-STEEL EC3

PŘ4

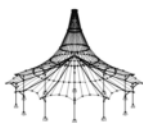
Rámová příčel

### 1.1 ZÁKLADNÍ ÚDAJE

	Pruty k posouzení:	446-456,863,907-916		
	Sady prutů k posouzení:			
	Národní příloha:	ČSN		
	Posouzení mezního stavu únosnosti			
	Kombinace výsledků k posouzení:	KV1	MSÚ (STR/GEO) - trvalá/dočasná - rovn. 6.10a a 6.10b	
	Posouzení mezního stavu použitelnosti			
	Kombinace výsledků k posouzení:	KV2	MSP - charakteristická	

### 1.2 MATERIÁLY

Materiál - č.	Označení materiálu	Modul pruž. E [MPa]	Smykový modul G [MPa]	Poissonův součinitel $\nu$ [-]	Mez kluzu $f_{yk}$ [MPa]	Max. tloušťka dílce t [mm]
3	Ocel S 235   ČSN EN 1993-1-1:2005-05	210000.000	80769.200	0.300	235.000	40.0
					215.000	80.0
					215.000	100.0
					195.000	150.0
					185.000	200.0
					175.000	250.0
	OCEL	165.000	400.0			



Projekt:

Model: HOŘICE-KONSTRUKCE\_3D\_Budova\_redukované ..

2UK UPE 180 | Fer...



## ■ 1.3 PRŮŘEZY

Průř. č.	Materiál - č.	Označení průřezu	Typ průřezu	Max. návrhové využití	Komentář
21	3	2UK UPE 180   Feron - DIN 1026-2 Typ Obecný - možná pouze třída 3 a třída 4	Obecné	0.96	

## ■ 1.4 MEZILEHLÉ PODPORY PROTI PŘÍČNÉMU POSUNUTÍ

Prut č.	Typ podpory	Délka L [mm]	Mezilehlé podpory proti příčnému posunutí [-]									
			Počet	x <sub>1</sub>	x <sub>2</sub>	x <sub>3</sub>	x <sub>4</sub>	x <sub>5</sub>	x <sub>6</sub>	x <sub>7</sub>	x <sub>8</sub>	x <sub>9</sub>
863	Proti příčnému vybočení a zkroucení	4632.8	3	0.250	0.500	0.750						
907	Proti příčnému vybočení a zkroucení	4632.8	3	0.250	0.500	0.750						
908	Proti příčnému vybočení a zkroucení	4632.8	3	0.250	0.500	0.750						
909	Proti příčnému vybočení a zkroucení	4632.8	3	0.250	0.500	0.750						
910	Proti příčnému vybočení a zkroucení	4632.8	3	0.250	0.500	0.750						
911	Proti příčnému vybočení a zkroucení	4632.8	3	0.250	0.500	0.750						
912	Proti příčnému vybočení a zkroucení	4632.8	3	0.250	0.500	0.750						
913	Proti příčnému vybočení a zkroucení	4632.8	3	0.250	0.500	0.750						
914	Proti příčnému vybočení a zkroucení	4632.8	3	0.250	0.500	0.750						
915	Proti příčnému vybočení a zkroucení	4632.8	3	0.250	0.500	0.750						
916	Proti příčnému vybočení a zkroucení	4632.8	3	0.250	0.500	0.750						

## ■ 1.5 VZPĚRNÉ DÉLKY - PRUTY

Prut č.	Vzpěr možný	Vzpěr okolo osy y				Vzpěr okolo osy z			Klopení				
		možný	k <sub>cr,y</sub>	L <sub>cr,y</sub> [mm]		možný	k <sub>cr,z</sub>	L <sub>cr,z</sub> [mm]	možné	k <sub>z</sub>	k <sub>w</sub>	L <sub>w</sub> [mm]	L <sub>T</sub> [mm]
446	<input checked="" type="checkbox"/>	<input checked="" type="checkbox"/>	1.00	1200.0		<input checked="" type="checkbox"/>	1.00	1200.0	<input type="checkbox"/>	1.0	1.0	1200.0	1200.0
447	<input checked="" type="checkbox"/>	<input checked="" type="checkbox"/>	1.00	1200.0		<input checked="" type="checkbox"/>	1.00	1200.0	<input type="checkbox"/>	1.0	1.0	1200.0	1200.0
448	<input checked="" type="checkbox"/>	<input checked="" type="checkbox"/>	1.00	1200.0		<input checked="" type="checkbox"/>	1.00	1200.0	<input type="checkbox"/>	1.0	1.0	1200.0	1200.0
449	<input checked="" type="checkbox"/>	<input checked="" type="checkbox"/>	1.00	1200.0		<input checked="" type="checkbox"/>	1.00	1200.0	<input type="checkbox"/>	1.0	1.0	1200.0	1200.0
450	<input checked="" type="checkbox"/>	<input checked="" type="checkbox"/>	1.00	1200.0		<input checked="" type="checkbox"/>	1.00	1200.0	<input type="checkbox"/>	1.0	1.0	1200.0	1200.0
451	<input checked="" type="checkbox"/>	<input checked="" type="checkbox"/>	1.00	1200.0		<input checked="" type="checkbox"/>	1.00	1200.0	<input type="checkbox"/>	1.0	1.0	1200.0	1200.0
452	<input checked="" type="checkbox"/>	<input checked="" type="checkbox"/>	1.00	1200.0		<input checked="" type="checkbox"/>	1.00	1200.0	<input type="checkbox"/>	1.0	1.0	1200.0	1200.0
453	<input checked="" type="checkbox"/>	<input checked="" type="checkbox"/>	1.00	1200.0		<input checked="" type="checkbox"/>	1.00	1200.0	<input type="checkbox"/>	1.0	1.0	1200.0	1200.0
454	<input checked="" type="checkbox"/>	<input checked="" type="checkbox"/>	1.00	1200.0		<input checked="" type="checkbox"/>	1.00	1200.0	<input type="checkbox"/>	1.0	1.0	1200.0	1200.0
455	<input checked="" type="checkbox"/>	<input checked="" type="checkbox"/>	1.00	1200.0		<input checked="" type="checkbox"/>	1.00	1200.0	<input type="checkbox"/>	1.0	1.0	1200.0	1200.0
456	<input checked="" type="checkbox"/>	<input checked="" type="checkbox"/>	1.00	1200.0		<input checked="" type="checkbox"/>	1.00	1200.0	<input type="checkbox"/>	1.0	1.0	1200.0	1200.0
863	<input checked="" type="checkbox"/>	<input checked="" type="checkbox"/>	1.00	4632.8		<input checked="" type="checkbox"/>	1.00	1158.2	<input type="checkbox"/>	1.0	1.0	1158.2	1158.2
907	<input checked="" type="checkbox"/>	<input checked="" type="checkbox"/>	1.00	4632.8		<input checked="" type="checkbox"/>	1.00	1158.2	<input type="checkbox"/>	1.0	1.0	1158.2	1158.2
908	<input checked="" type="checkbox"/>	<input checked="" type="checkbox"/>	1.00	4632.8		<input checked="" type="checkbox"/>	1.00	1158.2	<input type="checkbox"/>	1.0	1.0	1158.2	1158.2
909	<input checked="" type="checkbox"/>	<input checked="" type="checkbox"/>	1.00	4632.8		<input checked="" type="checkbox"/>	1.00	1158.2	<input type="checkbox"/>	1.0	1.0	1158.2	1158.2
910	<input checked="" type="checkbox"/>	<input checked="" type="checkbox"/>	1.00	4632.8		<input checked="" type="checkbox"/>	1.00	1158.2	<input type="checkbox"/>	1.0	1.0	1158.2	1158.2
911	<input checked="" type="checkbox"/>	<input checked="" type="checkbox"/>	1.00	4632.8		<input checked="" type="checkbox"/>	1.00	1158.2	<input type="checkbox"/>	1.0	1.0	1158.2	1158.2
912	<input checked="" type="checkbox"/>	<input checked="" type="checkbox"/>	1.00	4632.8		<input checked="" type="checkbox"/>	1.00	1158.2	<input type="checkbox"/>	1.0	1.0	1158.2	1158.2
913	<input checked="" type="checkbox"/>	<input checked="" type="checkbox"/>	1.00	4632.8		<input checked="" type="checkbox"/>	1.00	1158.2	<input type="checkbox"/>	1.0	1.0	1158.2	1158.2
914	<input checked="" type="checkbox"/>	<input checked="" type="checkbox"/>	1.00	4632.8		<input checked="" type="checkbox"/>	1.00	1158.2	<input type="checkbox"/>	1.0	1.0	1158.2	1158.2
915	<input checked="" type="checkbox"/>	<input checked="" type="checkbox"/>	1.00	4632.8		<input checked="" type="checkbox"/>	1.00	1158.2	<input type="checkbox"/>	1.0	1.0	1158.2	1158.2
916	<input checked="" type="checkbox"/>	<input checked="" type="checkbox"/>	1.00	4632.8		<input checked="" type="checkbox"/>	1.00	1158.2	<input type="checkbox"/>	1.0	1.0	1158.2	1158.2



Projekt: Model: HOŘICE-KONSTRUKCE\_3D\_Budova\_redukované ..

1.9 ÚDAJE PRO POSOUZENÍ POUŽITELNOSTI

č.	Vztaženo na	Pruty/Sady č.	Vztažná délka		Směr	Nadvýšení e <sub>0</sub> [mm]	Typ nosníku
			Ručně	l [mm]			
1	Prut	447	<input type="checkbox"/>	1200.0	y, z	0.0	Konzola volná na zač.
2	Prut	448	<input type="checkbox"/>	1200.0	y, z	0.0	Konzola volná na zač.
3	Prut	449	<input type="checkbox"/>	1200.0	y, z	0.0	Konzola volná na zač.
4	Prut	450	<input type="checkbox"/>	1200.0	y, z	0.0	Konzola volná na zač.
5	Prut	451	<input type="checkbox"/>	1200.0	y, z	0.0	Konzola volná na zač.
6	Prut	452	<input type="checkbox"/>	1200.0	y, z	0.0	Konzola volná na zač.
7	Prut	453	<input type="checkbox"/>	1200.0	y, z	0.0	Konzola volná na zač.
8	Prut	454	<input type="checkbox"/>	1200.0	y, z	0.0	Konzola volná na zač.
9	Prut	455	<input type="checkbox"/>	1200.0	y, z	0.0	Konzola volná na zač.
10	Prut	456	<input type="checkbox"/>	1200.0	y, z	0.0	Konzola volná na zač.
11	Prut	863	<input type="checkbox"/>	4632.8	y, z	0.0	Konzola volná na zač.
13	Prut	907	<input type="checkbox"/>	4632.8	y, z	0.0	Nosník
14	Prut	908	<input type="checkbox"/>	4632.8	y, z	0.0	Nosník
15	Prut	909	<input type="checkbox"/>	4632.8	y, z	0.0	Nosník
16	Prut	910	<input type="checkbox"/>	4632.8	y, z	0.0	Nosník
17	Prut	911	<input type="checkbox"/>	4632.8	y, z	0.0	Nosník
18	Prut	912	<input type="checkbox"/>	4632.8	y, z	0.0	Nosník
19	Prut	913	<input type="checkbox"/>	4632.8	y, z	0.0	Nosník
20	Prut	914	<input type="checkbox"/>	4632.8	y, z	0.0	Nosník
21	Prut	915	<input type="checkbox"/>	4632.8	y, z	0.0	Nosník
22	Prut	916	<input type="checkbox"/>	4632.8	y, z	0.0	Nosník

2.2 POSOUZENÍ PO PRŮŘEZECH

Průř. č.	Prut č.	Místo x [mm]	ZS/KZ/ KV	Návrh		Rovnice č.	Označení
21	2UK UPE 180   Ferona - DIN 1026-2						
	912	3978.7	KV1	0.00	≤ 1	CS100)	Zanedbatelné vnitřní síly
	915	4632.8	KV1	0.01	≤ 1	CS101)	Posouzení průřezu - tah podle 6.2.3
	907	4482.8	KV1	0.01	≤ 1	CS102)	Posouzení průřezu - tlak podle 6.2.4
	916	2316.4	KV1	0.45	≤ 1	CS112)	Posouzení průřezu - ohyb okolo y podle 6.2.5 - třída 3
	910	4482.8	KV1	0.03	≤ 1	CS117)	Posouzení průřezu - ohyb okolo z podle 6.2.5 - třída 3
	907	0.0	KV1	0.30	≤ 1	CS122)	Posouzení průřezu - smyk ve směru z podle 6.2.6(4) - třída 3 nebo 4
	910	4632.8	KV1	0.06	≤ 1	CS124)	Posouzení průřezu - posouvající síla ve směru y podle 6.2.6(4) - třída 3 nebo 4
	916	2316.4	KV1	0.45	≤ 1	CS143)	Posouzení průřezu - ohyb a smyk podle 6.2.9.2 a 6.2.10 - třída 3 - obecný průřez
	910	4482.8	KV1	0.03	≤ 1	CS153)	Posouzení průřezu - ohyb okolo z a smyk podle 6.2.9.2 a 6.2.10 - třída 3 - obecný průřez
	915	3474.6	KV1	0.41	≤ 1	CS163)	Posouzení průřezu - dvousý ohyb a smyk podle 6.2.9.2 a 6.2.10 - třída 3 - obecný průřez
	907	2316.4	KV1	0.90	≤ 1	CS183)	Posouzení průřezu - ohyb, smyk a osová síla podle 6.2.9.2 - třída 3 - obecný průřez
	907	3088.5	KV1	0.81	≤ 1	CS223)	Posouzení průřezu - dvousý ohyb, smyk a osová síla podle 6.2.10 a 6.2.9 - třída 3 - obecný průřez
	447	1200.0	KV2	0.00	≤ 1	SE400)	Použitelnost - malé, resp. velmi malé deformace
	908	2316.4	KV2	0.96	≤ 1	SE401)	Použitelnost - kombinace zatížení 'charakteristická' - směr z
	907	3088.5	KV2	0.01	≤ 1	SE406)	Použitelnost - kombinace zatížení 'charakteristická' - směr y
	448	0.0	KV2	0.65	≤ 1	SE411)	Použitelnost - kombinace zatížení 'charakteristická' - směr z, konzola
	863	0.0	KV2	0.01	≤ 1	SE416)	Použitelnost - kombinace zatížení 'charakteristická' - směr y, konzola



Projekt:

Model: HOŘICE-KONSTRUKCE\_3D\_Budova\_redukováne ..

## 1.1 ZÁKLADNÍ ÚDAJE

Posouzení betonu podle

CSN EN 1992-1-1/NA:2006

### MEZNÍ STAV ÚNOSNOSTI

Kombinace výsledků k posouzení:

KV1

MSÚ (STR/GEO) - trvalá/dočasná - rovn. 6.10a a 6.10b  
Trvalá a dočasná

### MEZNÍ STAV POUŽITELNOSTI

Kombinace zatížení k posouzení:

KZ435

ZS1 + ZS2

Charakteristická s přímým zatížením, k-t: 0.600, β: 0.500

KZ436

ZS1 + ZS2 + ZS3

Charakteristická s přímým zatížením, k-t: 0.467, β: 0.500

KZ437

ZS1 + ZS2 + ZS4

Charakteristická s přímým zatížením, k-t: 0.467, β: 0.500

KZ438

ZS1 + ZS2 + ZS5

Charakteristická s přímým zatížením, k-t: 0.467, β: 0.500

KZ439

ZS1 + ZS2 + ZS3 + 0.6\*ZS6

Charakteristická s přímým zatížením, k-t: 0.489, β: 0.500

KZ440

ZS1 + ZS2 + ZS3 + 0.6\*ZS7

Charakteristická s přímým zatížením, k-t: 0.489, β: 0.500

KZ441

ZS1 + ZS2 + ZS3 + 0.6\*ZS8

Charakteristická s přímým zatížením, k-t: 0.489, β: 0.500

KZ442

ZS1 + ZS2 + ZS3 + 0.6\*ZS9

Charakteristická s přímým zatížením, k-t: 0.489, β: 0.500

KZ443

ZS1 + ZS2 + ZS3 + 0.6\*ZS10

Charakteristická s přímým zatížením, k-t: 0.489, β: 0.500

KZ444

ZS1 + ZS2 + ZS3 + 0.6\*ZS11

Charakteristická s přímým zatížením, k-t: 0.489, β: 0.500

KZ445

ZS1 + ZS2 + ZS3 + 0.6\*ZS12

Charakteristická s přímým zatížením, k-t: 0.489, β: 0.500

KZ446

ZS1 + ZS2 + ZS3 + 0.6\*ZS13

Charakteristická s přímým zatížením, k-t: 0.489, β: 0.500

KZ447

ZS1 + ZS2 + ZS3 + 0.6\*ZS14

Charakteristická s přímým zatížením, k-t: 0.489, β: 0.500

KZ448

ZS1 + ZS2 + ZS3 + 0.6\*ZS15

Charakteristická s přímým zatížením, k-t: 0.489, β: 0.500

KZ449

ZS1 + ZS2 + ZS3 + 0.6\*ZS16

Charakteristická s přímým zatížením, k-t: 0.489, β: 0.500

KZ450

ZS1 + ZS2 + ZS3 + 0.6\*ZS17

Charakteristická s přímým zatížením, k-t: 0.489, β: 0.500

KZ451

ZS1 + ZS2 + ZS4 + 0.6\*ZS6

Charakteristická s přímým zatížením, k-t: 0.489, β: 0.500

KZ452

ZS1 + ZS2 + ZS4 + 0.6\*ZS7

Charakteristická s přímým zatížením, k-t: 0.489, β: 0.500

KZ453

ZS1 + ZS2 + ZS4 + 0.6\*ZS8

Charakteristická s přímým zatížením, k-t: 0.489, β: 0.500

KZ454

ZS1 + ZS2 + ZS4 + 0.6\*ZS9

Charakteristická s přímým zatížením, k-t: 0.489, β: 0.500

KZ455

ZS1 + ZS2 + ZS4 + 0.6\*ZS10

Charakteristická s přímým zatížením, k-t: 0.489, β: 0.500

KZ456

ZS1 + ZS2 + ZS4 + 0.6\*ZS11

Charakteristická s přímým zatížením, k-t: 0.489, β: 0.500

KZ457

ZS1 + ZS2 + ZS4 + 0.6\*ZS12

Charakteristická s přímým zatížením, k-t: 0.489, β: 0.500

KZ458

ZS1 + ZS2 + ZS4 + 0.6\*ZS13

Charakteristická s přímým zatížením, k-t: 0.489, β: 0.500

KZ459

ZS1 + ZS2 + ZS4 + 0.6\*ZS14

Charakteristická s přímým zatížením, k-t: 0.489, β: 0.500

KZ460

ZS1 + ZS2 + ZS4 + 0.6\*ZS15

Charakteristická s přímým zatížením, k-t: 0.489, β: 0.500

KZ461

ZS1 + ZS2 + ZS4 + 0.6\*ZS16

Charakteristická s přímým zatížením, k-t: 0.489, β: 0.500

KZ462

ZS1 + ZS2 + ZS4 + 0.6\*ZS17

Charakteristická s přímým zatížením, k-t: 0.489, β: 0.500

KZ463

ZS1 + ZS2 + ZS5 + 0.6\*ZS6

Charakteristická s přímým zatížením, k-t: 0.489, β: 0.500

KZ464

ZS1 + ZS2 + ZS5 + 0.6\*ZS7

Charakteristická s přímým zatížením, k-t: 0.489, β: 0.500

KZ465

ZS1 + ZS2 + ZS5 + 0.6\*ZS8

Charakteristická s přímým zatížením, k-t: 0.489, β: 0.500

KZ466

ZS1 + ZS2 + ZS5 + 0.6\*ZS9

Charakteristická s přímým zatížením, k-t: 0.489, β: 0.500

KZ467

ZS1 + ZS2 + ZS5 + 0.6\*ZS10

Charakteristická s přímým zatížením, k-t: 0.489, β: 0.500

KZ468

ZS1 + ZS2 + ZS5 + 0.6\*ZS11

Charakteristická s přímým zatížením, k-t: 0.489, β: 0.500

KZ469

ZS1 + ZS2 + ZS5 + 0.6\*ZS12

Charakteristická s přímým zatížením, k-t: 0.489, β: 0.500

KZ470

ZS1 + ZS2 + ZS5 + 0.6\*ZS13

Charakteristická s přímým zatížením, k-t: 0.489, β: 0.500

KZ471

ZS1 + ZS2 + ZS5 + 0.6\*ZS14

Charakteristická s přímým zatížením, k-t: 0.489, β: 0.500

KZ472

ZS1 + ZS2 + ZS5 + 0.6\*ZS15

Charakteristická s přímým zatížením, k-t: 0.489, β: 0.500

KZ473

ZS1 + ZS2 + ZS5 + 0.6\*ZS16

Charakteristická s přímým zatížením, k-t: 0.489, β: 0.500

KZ474

ZS1 + ZS2 + ZS5 + 0.6\*ZS17

Charakteristická s přímým zatížením, k-t: 0.489, β: 0.500

KZ475

ZS1 + ZS2 + ZS3 + 0.6\*ZS6 + 0.7\*ZS18

Charakteristická s přímým zatížením, k-t: 0.507, β: 0.500

KZ476

ZS1 + ZS2 + ZS3 + 0.6\*ZS7 + 0.7\*ZS18

Charakteristická s přímým zatížením, k-t: 0.507, β: 0.500

KZ477

ZS1 + ZS2 + ZS3 + 0.6\*ZS8 + 0.7\*ZS18

Charakteristická s přímým zatížením, k-t: 0.507, β: 0.500

KZ478

ZS1 + ZS2 + ZS3 + 0.6\*ZS9 + 0.7\*ZS18

Charakteristická s přímým zatížením, k-t: 0.507, β: 0.500

KZ479

ZS1 + ZS2 + ZS3 + 0.6\*ZS10 + 0.7\*ZS18



Projekt:

Model: HOŘICE-KONSTRUKCE\_3D\_Budova\_redukované ..

## 1.1 ZÁKLADNÍ ÚDAJE

	Charakteristická s přímým zatížením, k-t: 0.507, $\beta$ : 0.500
KZ480	ZS1 + ZS2 + ZS3 + 0.6*ZS11 + 0.7*ZS18
	Charakteristická s přímým zatížením, k-t: 0.507, $\beta$ : 0.500
KZ481	ZS1 + ZS2 + ZS3 + 0.6*ZS12 + 0.7*ZS18
	Charakteristická s přímým zatížením, k-t: 0.507, $\beta$ : 0.500
KZ482	ZS1 + ZS2 + ZS3 + 0.6*ZS13 + 0.7*ZS18
	Charakteristická s přímým zatížením, k-t: 0.507, $\beta$ : 0.500
KZ483	ZS1 + ZS2 + ZS3 + 0.6*ZS14 + 0.7*ZS18
	Charakteristická s přímým zatížením, k-t: 0.507, $\beta$ : 0.500
KZ484	ZS1 + ZS2 + ZS3 + 0.6*ZS15 + 0.7*ZS18
	Charakteristická s přímým zatížením, k-t: 0.507, $\beta$ : 0.500
KZ485	ZS1 + ZS2 + ZS3 + 0.6*ZS16 + 0.7*ZS18
	Charakteristická s přímým zatížením, k-t: 0.507, $\beta$ : 0.500
KZ486	ZS1 + ZS2 + ZS3 + 0.6*ZS17 + 0.7*ZS18
	Charakteristická s přímým zatížením, k-t: 0.507, $\beta$ : 0.500
KZ487	ZS1 + ZS2 + ZS4 + 0.6*ZS6 + 0.7*ZS18
	Charakteristická s přímým zatížením, k-t: 0.507, $\beta$ : 0.500
KZ488	ZS1 + ZS2 + ZS4 + 0.6*ZS7 + 0.7*ZS18
	Charakteristická s přímým zatížením, k-t: 0.507, $\beta$ : 0.500
KZ489	ZS1 + ZS2 + ZS4 + 0.6*ZS8 + 0.7*ZS18
	Charakteristická s přímým zatížením, k-t: 0.507, $\beta$ : 0.500
KZ490	ZS1 + ZS2 + ZS4 + 0.6*ZS9 + 0.7*ZS18
	Charakteristická s přímým zatížením, k-t: 0.507, $\beta$ : 0.500
KZ491	ZS1 + ZS2 + ZS4 + 0.6*ZS10 + 0.7*ZS18
	Charakteristická s přímým zatížením, k-t: 0.507, $\beta$ : 0.500
KZ492	ZS1 + ZS2 + ZS4 + 0.6*ZS11 + 0.7*ZS18
	Charakteristická s přímým zatížením, k-t: 0.507, $\beta$ : 0.500
KZ493	ZS1 + ZS2 + ZS4 + 0.6*ZS12 + 0.7*ZS18
	Charakteristická s přímým zatížením, k-t: 0.507, $\beta$ : 0.500
KZ494	ZS1 + ZS2 + ZS4 + 0.6*ZS13 + 0.7*ZS18
	Charakteristická s přímým zatížením, k-t: 0.507, $\beta$ : 0.500
KZ495	ZS1 + ZS2 + ZS4 + 0.6*ZS14 + 0.7*ZS18
	Charakteristická s přímým zatížením, k-t: 0.507, $\beta$ : 0.500
KZ496	ZS1 + ZS2 + ZS4 + 0.6*ZS15 + 0.7*ZS18
	Charakteristická s přímým zatížením, k-t: 0.507, $\beta$ : 0.500
KZ497	ZS1 + ZS2 + ZS4 + 0.6*ZS16 + 0.7*ZS18
	Charakteristická s přímým zatížením, k-t: 0.507, $\beta$ : 0.500
KZ498	ZS1 + ZS2 + ZS4 + 0.6*ZS17 + 0.7*ZS18
	Charakteristická s přímým zatížením, k-t: 0.507, $\beta$ : 0.500
KZ499	ZS1 + ZS2 + ZS5 + 0.6*ZS6 + 0.7*ZS18
	Charakteristická s přímým zatížením, k-t: 0.507, $\beta$ : 0.500
KZ500	ZS1 + ZS2 + ZS5 + 0.6*ZS7 + 0.7*ZS18
	Charakteristická s přímým zatížením, k-t: 0.507, $\beta$ : 0.500
KZ501	ZS1 + ZS2 + ZS5 + 0.6*ZS8 + 0.7*ZS18
	Charakteristická s přímým zatížením, k-t: 0.507, $\beta$ : 0.500
KZ502	ZS1 + ZS2 + ZS5 + 0.6*ZS9 + 0.7*ZS18
	Charakteristická s přímým zatížením, k-t: 0.507, $\beta$ : 0.500
KZ503	ZS1 + ZS2 + ZS5 + 0.6*ZS10 + 0.7*ZS18
	Charakteristická s přímým zatížením, k-t: 0.507, $\beta$ : 0.500
KZ504	ZS1 + ZS2 + ZS5 + 0.6*ZS11 + 0.7*ZS18
	Charakteristická s přímým zatížením, k-t: 0.507, $\beta$ : 0.500
KZ505	ZS1 + ZS2 + ZS5 + 0.6*ZS12 + 0.7*ZS18
	Charakteristická s přímým zatížením, k-t: 0.507, $\beta$ : 0.500
KZ506	ZS1 + ZS2 + ZS5 + 0.6*ZS13 + 0.7*ZS18
	Charakteristická s přímým zatížením, k-t: 0.507, $\beta$ : 0.500
KZ507	ZS1 + ZS2 + ZS5 + 0.6*ZS14 + 0.7*ZS18
	Charakteristická s přímým zatížením, k-t: 0.507, $\beta$ : 0.500
KZ508	ZS1 + ZS2 + ZS5 + 0.6*ZS15 + 0.7*ZS18
	Charakteristická s přímým zatížením, k-t: 0.507, $\beta$ : 0.500
KZ509	ZS1 + ZS2 + ZS5 + 0.6*ZS16 + 0.7*ZS18
	Charakteristická s přímým zatížením, k-t: 0.507, $\beta$ : 0.500
KZ510	ZS1 + ZS2 + ZS5 + 0.6*ZS17 + 0.7*ZS18
	Charakteristická s přímým zatížením, k-t: 0.507, $\beta$ : 0.500
KZ511	ZS1 + ZS2 + ZS3 + 0.7*ZS18
	Charakteristická s přímým zatížením, k-t: 0.492, $\beta$ : 0.500
KZ512	ZS1 + ZS2 + ZS4 + 0.7*ZS18
	Charakteristická s přímým zatížením, k-t: 0.492, $\beta$ : 0.500
KZ513	ZS1 + ZS2 + ZS5 + 0.7*ZS18
	Charakteristická s přímým zatížením, k-t: 0.492, $\beta$ : 0.500
KZ514	ZS1 + ZS2 + ZS6
	Charakteristická s přímým zatížením, k-t: 0.467, $\beta$ : 0.500
KZ515	ZS1 + ZS2 + ZS7
	Charakteristická s přímým zatížením, k-t: 0.467, $\beta$ : 0.500
KZ516	ZS1 + ZS2 + ZS8
	Charakteristická s přímým zatížením, k-t: 0.467, $\beta$ : 0.500
KZ517	ZS1 + ZS2 + ZS9
	Charakteristická s přímým zatížením, k-t: 0.467, $\beta$ : 0.500
KZ518	ZS1 + ZS2 + ZS10
	Charakteristická s přímým zatížením, k-t: 0.467, $\beta$ : 0.500
KZ519	ZS1 + ZS2 + ZS11
	Charakteristická s přímým zatížením, k-t: 0.467, $\beta$ : 0.500
KZ520	ZS1 + ZS2 + ZS12
	Charakteristická s přímým zatížením, k-t: 0.467, $\beta$ : 0.500
KZ521	ZS1 + ZS2 + ZS13
	Charakteristická s přímým zatížením, k-t: 0.467, $\beta$ : 0.500
KZ522	ZS1 + ZS2 + ZS14
	Charakteristická s přímým zatížením, k-t: 0.467, $\beta$ : 0.500
KZ523	ZS1 + ZS2 + ZS15
	Charakteristická s přímým zatížením, k-t: 0.467, $\beta$ : 0.500
KZ524	ZS1 + ZS2 + ZS16
	Charakteristická s přímým zatížením, k-t: 0.467, $\beta$ : 0.500
KZ525	ZS1 + ZS2 + ZS17
	Charakteristická s přímým zatížením, k-t: 0.467, $\beta$ : 0.500
KZ526	ZS1 + ZS2 + 0.5*ZS3 + ZS6
	Charakteristická s přímým zatížením, k-t: 0.486, $\beta$ : 0.500
KZ527	ZS1 + ZS2 + 0.5*ZS3 + ZS7
	Charakteristická s přímým zatížením, k-t: 0.486, $\beta$ : 0.500





Projekt:

Model: HOŘICE-KONSTRUKCE\_3D\_Budova\_redukováné ..

## 1.1 ZÁKLADNÍ ÚDAJE

KZ528	VS1 + VS2 + 0.5*VS3 + VS8
	Charakteristická s přímým zatížením, k-t: 0.486, β: 0.500
KZ529	VS1 + VS2 + 0.5*VS3 + VS9
	Charakteristická s přímým zatížením, k-t: 0.486, β: 0.500
KZ530	VS1 + VS2 + 0.5*VS3 + VS10
	Charakteristická s přímým zatížením, k-t: 0.486, β: 0.500
KZ531	VS1 + VS2 + 0.5*VS3 + VS11
	Charakteristická s přímým zatížením, k-t: 0.486, β: 0.500
KZ532	VS1 + VS2 + 0.5*VS3 + VS12
	Charakteristická s přímým zatížením, k-t: 0.486, β: 0.500
KZ533	VS1 + VS2 + 0.5*VS3 + VS13
	Charakteristická s přímým zatížením, k-t: 0.486, β: 0.500
KZ534	VS1 + VS2 + 0.5*VS3 + VS14
	Charakteristická s přímým zatížením, k-t: 0.486, β: 0.500
KZ535	VS1 + VS2 + 0.5*VS3 + VS15
	Charakteristická s přímým zatížením, k-t: 0.486, β: 0.500
KZ536	VS1 + VS2 + 0.5*VS3 + VS16
	Charakteristická s přímým zatížením, k-t: 0.486, β: 0.500
KZ537	VS1 + VS2 + 0.5*VS3 + VS17
	Charakteristická s přímým zatížením, k-t: 0.486, β: 0.500
KZ538	VS1 + VS2 + 0.5*VS4 + VS6
	Charakteristická s přímým zatížením, k-t: 0.486, β: 0.500
KZ539	VS1 + VS2 + 0.5*VS4 + VS7
	Charakteristická s přímým zatížením, k-t: 0.486, β: 0.500
KZ540	VS1 + VS2 + 0.5*VS4 + VS8
	Charakteristická s přímým zatížením, k-t: 0.486, β: 0.500
KZ541	VS1 + VS2 + 0.5*VS4 + VS9
	Charakteristická s přímým zatížením, k-t: 0.486, β: 0.500
KZ542	VS1 + VS2 + 0.5*VS4 + VS10
	Charakteristická s přímým zatížením, k-t: 0.486, β: 0.500
KZ543	VS1 + VS2 + 0.5*VS4 + VS11
	Charakteristická s přímým zatížením, k-t: 0.486, β: 0.500
KZ544	VS1 + VS2 + 0.5*VS4 + VS12
	Charakteristická s přímým zatížením, k-t: 0.486, β: 0.500
KZ545	VS1 + VS2 + 0.5*VS4 + VS13
	Charakteristická s přímým zatížením, k-t: 0.486, β: 0.500
KZ546	VS1 + VS2 + 0.5*VS4 + VS14
	Charakteristická s přímým zatížením, k-t: 0.486, β: 0.500
KZ547	VS1 + VS2 + 0.5*VS4 + VS15
	Charakteristická s přímým zatížením, k-t: 0.486, β: 0.500
KZ548	VS1 + VS2 + 0.5*VS4 + VS16
	Charakteristická s přímým zatížením, k-t: 0.486, β: 0.500
KZ549	VS1 + VS2 + 0.5*VS4 + VS17
	Charakteristická s přímým zatížením, k-t: 0.486, β: 0.500
KZ550	VS1 + VS2 + 0.5*VS5 + VS6
	Charakteristická s přímým zatížením, k-t: 0.486, β: 0.500
KZ551	VS1 + VS2 + 0.5*VS5 + VS7
	Charakteristická s přímým zatížením, k-t: 0.486, β: 0.500
KZ552	VS1 + VS2 + 0.5*VS5 + VS8
	Charakteristická s přímým zatížením, k-t: 0.486, β: 0.500
KZ553	VS1 + VS2 + 0.5*VS5 + VS9
	Charakteristická s přímým zatížením, k-t: 0.486, β: 0.500
KZ554	VS1 + VS2 + 0.5*VS5 + VS10
	Charakteristická s přímým zatížením, k-t: 0.486, β: 0.500
KZ555	VS1 + VS2 + 0.5*VS5 + VS11
	Charakteristická s přímým zatížením, k-t: 0.486, β: 0.500
KZ556	VS1 + VS2 + 0.5*VS5 + VS12
	Charakteristická s přímým zatížením, k-t: 0.486, β: 0.500
KZ557	VS1 + VS2 + 0.5*VS5 + VS13
	Charakteristická s přímým zatížením, k-t: 0.486, β: 0.500
KZ558	VS1 + VS2 + 0.5*VS5 + VS14
	Charakteristická s přímým zatížením, k-t: 0.486, β: 0.500
KZ559	VS1 + VS2 + 0.5*VS5 + VS15
	Charakteristická s přímým zatížením, k-t: 0.486, β: 0.500
KZ560	VS1 + VS2 + 0.5*VS5 + VS16
	Charakteristická s přímým zatížením, k-t: 0.486, β: 0.500
KZ561	VS1 + VS2 + 0.5*VS5 + VS17
	Charakteristická s přímým zatížením, k-t: 0.486, β: 0.500
KZ562	VS1 + VS2 + 0.5*VS3 + VS6 + 0.7*VS18
	Charakteristická s přímým zatížením, k-t: 0.505, β: 0.500
KZ563	VS1 + VS2 + 0.5*VS3 + VS7 + 0.7*VS18
	Charakteristická s přímým zatížením, k-t: 0.505, β: 0.500
KZ564	VS1 + VS2 + 0.5*VS3 + VS8 + 0.7*VS18
	Charakteristická s přímým zatížením, k-t: 0.505, β: 0.500
KZ565	VS1 + VS2 + 0.5*VS3 + VS9 + 0.7*VS18
	Charakteristická s přímým zatížením, k-t: 0.505, β: 0.500
KZ566	VS1 + VS2 + 0.5*VS3 + VS10 + 0.7*VS18
	Charakteristická s přímým zatížením, k-t: 0.505, β: 0.500
KZ567	VS1 + VS2 + 0.5*VS3 + VS11 + 0.7*VS18
	Charakteristická s přímým zatížením, k-t: 0.505, β: 0.500
KZ568	VS1 + VS2 + 0.5*VS3 + VS12 + 0.7*VS18
	Charakteristická s přímým zatížením, k-t: 0.505, β: 0.500
KZ569	VS1 + VS2 + 0.5*VS3 + VS13 + 0.7*VS18
	Charakteristická s přímým zatížením, k-t: 0.505, β: 0.500
KZ570	VS1 + VS2 + 0.5*VS3 + VS14 + 0.7*VS18
	Charakteristická s přímým zatížením, k-t: 0.505, β: 0.500
KZ571	VS1 + VS2 + 0.5*VS3 + VS15 + 0.7*VS18
	Charakteristická s přímým zatížením, k-t: 0.505, β: 0.500
KZ572	VS1 + VS2 + 0.5*VS3 + VS16 + 0.7*VS18
	Charakteristická s přímým zatížením, k-t: 0.505, β: 0.500
KZ573	VS1 + VS2 + 0.5*VS3 + VS17 + 0.7*VS18
	Charakteristická s přímým zatížením, k-t: 0.505, β: 0.500
KZ574	VS1 + VS2 + 0.5*VS4 + VS6 + 0.7*VS18
	Charakteristická s přímým zatížením, k-t: 0.505, β: 0.500
KZ575	VS1 + VS2 + 0.5*VS4 + VS7 + 0.7*VS18
	Charakteristická s přímým zatížením, k-t: 0.505, β: 0.500
KZ576	VS1 + VS2 + 0.5*VS4 + VS8 + 0.7*VS18



Projekt:

Model: HOŘICE-KONSTRUKCE\_3D\_Budova\_redukováné ..

## 1.1 ZÁKLADNÍ ÚDAJE

	Charakteristická s přímým zatížením, k-t: 0.505, β: 0.500
KZ577	ZS1 + ZS2 + 0.5*ZS4 + ZS9 + 0.7*ZS18
	Charakteristická s přímým zatížením, k-t: 0.505, β: 0.500
KZ578	ZS1 + ZS2 + 0.5*ZS4 + ZS10 + 0.7*ZS18
	Charakteristická s přímým zatížením, k-t: 0.505, β: 0.500
KZ579	ZS1 + ZS2 + 0.5*ZS4 + ZS11 + 0.7*ZS18
	Charakteristická s přímým zatížením, k-t: 0.505, β: 0.500
KZ580	ZS1 + ZS2 + 0.5*ZS4 + ZS12 + 0.7*ZS18
	Charakteristická s přímým zatížením, k-t: 0.505, β: 0.500
KZ581	ZS1 + ZS2 + 0.5*ZS4 + ZS13 + 0.7*ZS18
	Charakteristická s přímým zatížením, k-t: 0.505, β: 0.500
KZ582	ZS1 + ZS2 + 0.5*ZS4 + ZS14 + 0.7*ZS18
	Charakteristická s přímým zatížením, k-t: 0.505, β: 0.500
KZ583	ZS1 + ZS2 + 0.5*ZS4 + ZS15 + 0.7*ZS18
	Charakteristická s přímým zatížením, k-t: 0.505, β: 0.500
KZ584	ZS1 + ZS2 + 0.5*ZS4 + ZS16 + 0.7*ZS18
	Charakteristická s přímým zatížením, k-t: 0.505, β: 0.500
KZ585	ZS1 + ZS2 + 0.5*ZS4 + ZS17 + 0.7*ZS18
	Charakteristická s přímým zatížením, k-t: 0.505, β: 0.500
KZ586	ZS1 + ZS2 + 0.5*ZS5 + ZS6 + 0.7*ZS18
	Charakteristická s přímým zatížením, k-t: 0.505, β: 0.500
KZ587	ZS1 + ZS2 + 0.5*ZS5 + ZS7 + 0.7*ZS18
	Charakteristická s přímým zatížením, k-t: 0.505, β: 0.500
KZ588	ZS1 + ZS2 + 0.5*ZS5 + ZS8 + 0.7*ZS18
	Charakteristická s přímým zatížením, k-t: 0.505, β: 0.500
KZ589	ZS1 + ZS2 + 0.5*ZS5 + ZS9 + 0.7*ZS18
	Charakteristická s přímým zatížením, k-t: 0.505, β: 0.500
KZ590	ZS1 + ZS2 + 0.5*ZS5 + ZS10 + 0.7*ZS18
	Charakteristická s přímým zatížením, k-t: 0.505, β: 0.500
KZ591	ZS1 + ZS2 + 0.5*ZS5 + ZS11 + 0.7*ZS18
	Charakteristická s přímým zatížením, k-t: 0.505, β: 0.500
KZ592	ZS1 + ZS2 + 0.5*ZS5 + ZS12 + 0.7*ZS18
	Charakteristická s přímým zatížením, k-t: 0.505, β: 0.500
KZ593	ZS1 + ZS2 + 0.5*ZS5 + ZS13 + 0.7*ZS18
	Charakteristická s přímým zatížením, k-t: 0.505, β: 0.500
KZ594	ZS1 + ZS2 + 0.5*ZS5 + ZS14 + 0.7*ZS18
	Charakteristická s přímým zatížením, k-t: 0.505, β: 0.500
KZ595	ZS1 + ZS2 + 0.5*ZS5 + ZS15 + 0.7*ZS18
	Charakteristická s přímým zatížením, k-t: 0.505, β: 0.500
KZ596	ZS1 + ZS2 + 0.5*ZS5 + ZS16 + 0.7*ZS18
	Charakteristická s přímým zatížením, k-t: 0.505, β: 0.500
KZ597	ZS1 + ZS2 + 0.5*ZS5 + ZS17 + 0.7*ZS18
	Charakteristická s přímým zatížením, k-t: 0.505, β: 0.500
KZ598	ZS1 + ZS2 + ZS6 + 0.7*ZS18
	Charakteristická s přímým zatížením, k-t: 0.492, β: 0.500
KZ599	ZS1 + ZS2 + ZS7 + 0.7*ZS18
	Charakteristická s přímým zatížením, k-t: 0.492, β: 0.500
KZ600	ZS1 + ZS2 + ZS8 + 0.7*ZS18
	Charakteristická s přímým zatížením, k-t: 0.492, β: 0.500
KZ601	ZS1 + ZS2 + ZS9 + 0.7*ZS18
	Charakteristická s přímým zatížením, k-t: 0.492, β: 0.500
KZ602	ZS1 + ZS2 + ZS10 + 0.7*ZS18
	Charakteristická s přímým zatížením, k-t: 0.492, β: 0.500
KZ603	ZS1 + ZS2 + ZS11 + 0.7*ZS18
	Charakteristická s přímým zatížením, k-t: 0.492, β: 0.500
KZ604	ZS1 + ZS2 + ZS12 + 0.7*ZS18
	Charakteristická s přímým zatížením, k-t: 0.492, β: 0.500
KZ605	ZS1 + ZS2 + ZS13 + 0.7*ZS18
	Charakteristická s přímým zatížením, k-t: 0.492, β: 0.500
KZ606	ZS1 + ZS2 + ZS14 + 0.7*ZS18
	Charakteristická s přímým zatížením, k-t: 0.492, β: 0.500
KZ607	ZS1 + ZS2 + ZS15 + 0.7*ZS18
	Charakteristická s přímým zatížením, k-t: 0.492, β: 0.500
KZ608	ZS1 + ZS2 + ZS16 + 0.7*ZS18
	Charakteristická s přímým zatížením, k-t: 0.492, β: 0.500
KZ609	ZS1 + ZS2 + ZS17 + 0.7*ZS18
	Charakteristická s přímým zatížením, k-t: 0.492, β: 0.500
KZ610	ZS1 + ZS2 + ZS18
	Charakteristická s přímým zatížením, k-t: 0.467, β: 0.500
KZ611	ZS1 + ZS2 + 0.5*ZS3 + ZS18
	Charakteristická s přímým zatížením, k-t: 0.486, β: 0.500
KZ612	ZS1 + ZS2 + 0.5*ZS4 + ZS18
	Charakteristická s přímým zatížením, k-t: 0.486, β: 0.500
KZ613	ZS1 + ZS2 + 0.5*ZS5 + ZS18
	Charakteristická s přímým zatížením, k-t: 0.486, β: 0.500
KZ614	ZS1 + ZS2 + 0.5*ZS3 + 0.6*ZS6 + ZS18
	Charakteristická s přímým zatížením, k-t: 0.502, β: 0.500
KZ615	ZS1 + ZS2 + 0.5*ZS3 + 0.6*ZS7 + ZS18
	Charakteristická s přímým zatížením, k-t: 0.502, β: 0.500
KZ616	ZS1 + ZS2 + 0.5*ZS3 + 0.6*ZS8 + ZS18
	Charakteristická s přímým zatížením, k-t: 0.502, β: 0.500
KZ617	ZS1 + ZS2 + 0.5*ZS3 + 0.6*ZS9 + ZS18
	Charakteristická s přímým zatížením, k-t: 0.502, β: 0.500
KZ618	ZS1 + ZS2 + 0.5*ZS3 + 0.6*ZS10 + ZS18
	Charakteristická s přímým zatížením, k-t: 0.502, β: 0.500
KZ619	ZS1 + ZS2 + 0.5*ZS3 + 0.6*ZS11 + ZS18
	Charakteristická s přímým zatížením, k-t: 0.502, β: 0.500
KZ620	ZS1 + ZS2 + 0.5*ZS3 + 0.6*ZS12 + ZS18
	Charakteristická s přímým zatížením, k-t: 0.502, β: 0.500
KZ621	ZS1 + ZS2 + 0.5*ZS3 + 0.6*ZS13 + ZS18
	Charakteristická s přímým zatížením, k-t: 0.502, β: 0.500
KZ622	ZS1 + ZS2 + 0.5*ZS3 + 0.6*ZS14 + ZS18
	Charakteristická s přímým zatížením, k-t: 0.502, β: 0.500
KZ623	ZS1 + ZS2 + 0.5*ZS3 + 0.6*ZS15 + ZS18
	Charakteristická s přímým zatížením, k-t: 0.502, β: 0.500
KZ624	ZS1 + ZS2 + 0.5*ZS3 + 0.6*ZS16 + ZS18
	Charakteristická s přímým zatížením, k-t: 0.502, β: 0.500



Projekt:

Model: HOŘICE-KONSTRUKCE\_3D\_Budova\_redukováné ..

## 1.1 ZÁKLADNÍ ÚDAJE

KZ625	VS1 + VS2 + 0.5*VS3 + 0.6*VS17 + VS18 Charakteristická s přímým zatížením, k-t: 0.502, β: 0.500
KZ626	VS1 + VS2 + 0.5*VS4 + 0.6*VS6 + VS18 Charakteristická s přímým zatížením, k-t: 0.502, β: 0.500
KZ627	VS1 + VS2 + 0.5*VS4 + 0.6*VS7 + VS18 Charakteristická s přímým zatížením, k-t: 0.502, β: 0.500
KZ628	VS1 + VS2 + 0.5*VS4 + 0.6*VS8 + VS18 Charakteristická s přímým zatížením, k-t: 0.502, β: 0.500
KZ629	VS1 + VS2 + 0.5*VS4 + 0.6*VS9 + VS18 Charakteristická s přímým zatížením, k-t: 0.502, β: 0.500
KZ630	VS1 + VS2 + 0.5*VS4 + 0.6*VS10 + VS18 Charakteristická s přímým zatížením, k-t: 0.502, β: 0.500
KZ631	VS1 + VS2 + 0.5*VS4 + 0.6*VS11 + VS18 Charakteristická s přímým zatížením, k-t: 0.502, β: 0.500
KZ632	VS1 + VS2 + 0.5*VS4 + 0.6*VS12 + VS18 Charakteristická s přímým zatížením, k-t: 0.502, β: 0.500
KZ633	VS1 + VS2 + 0.5*VS4 + 0.6*VS13 + VS18 Charakteristická s přímým zatížením, k-t: 0.502, β: 0.500
KZ634	VS1 + VS2 + 0.5*VS4 + 0.6*VS14 + VS18 Charakteristická s přímým zatížením, k-t: 0.502, β: 0.500
KZ635	VS1 + VS2 + 0.5*VS4 + 0.6*VS15 + VS18 Charakteristická s přímým zatížením, k-t: 0.502, β: 0.500
KZ636	VS1 + VS2 + 0.5*VS4 + 0.6*VS16 + VS18 Charakteristická s přímým zatížením, k-t: 0.502, β: 0.500
KZ637	VS1 + VS2 + 0.5*VS4 + 0.6*VS17 + VS18 Charakteristická s přímým zatížením, k-t: 0.502, β: 0.500
KZ638	VS1 + VS2 + 0.5*VS5 + 0.6*VS6 + VS18 Charakteristická s přímým zatížením, k-t: 0.502, β: 0.500
KZ639	VS1 + VS2 + 0.5*VS5 + 0.6*VS7 + VS18 Charakteristická s přímým zatížením, k-t: 0.502, β: 0.500
KZ640	VS1 + VS2 + 0.5*VS5 + 0.6*VS8 + VS18 Charakteristická s přímým zatížením, k-t: 0.502, β: 0.500
KZ641	VS1 + VS2 + 0.5*VS5 + 0.6*VS9 + VS18 Charakteristická s přímým zatížením, k-t: 0.502, β: 0.500
KZ642	VS1 + VS2 + 0.5*VS5 + 0.6*VS10 + VS18 Charakteristická s přímým zatížením, k-t: 0.502, β: 0.500
KZ643	VS1 + VS2 + 0.5*VS5 + 0.6*VS11 + VS18 Charakteristická s přímým zatížením, k-t: 0.502, β: 0.500
KZ644	VS1 + VS2 + 0.5*VS5 + 0.6*VS12 + VS18 Charakteristická s přímým zatížením, k-t: 0.502, β: 0.500
KZ645	VS1 + VS2 + 0.5*VS5 + 0.6*VS13 + VS18 Charakteristická s přímým zatížením, k-t: 0.502, β: 0.500
KZ646	VS1 + VS2 + 0.5*VS5 + 0.6*VS14 + VS18 Charakteristická s přímým zatížením, k-t: 0.502, β: 0.500
KZ647	VS1 + VS2 + 0.5*VS5 + 0.6*VS15 + VS18 Charakteristická s přímým zatížením, k-t: 0.502, β: 0.500
KZ648	VS1 + VS2 + 0.5*VS5 + 0.6*VS16 + VS18 Charakteristická s přímým zatížením, k-t: 0.502, β: 0.500
KZ649	VS1 + VS2 + 0.5*VS5 + 0.6*VS17 + VS18 Charakteristická s přímým zatížením, k-t: 0.502, β: 0.500
KZ650	VS1 + VS2 + 0.6*VS6 + VS18 Charakteristická s přímým zatížením, k-t: 0.489, β: 0.500
KZ651	VS1 + VS2 + 0.6*VS7 + VS18 Charakteristická s přímým zatížením, k-t: 0.489, β: 0.500
KZ652	VS1 + VS2 + 0.6*VS8 + VS18 Charakteristická s přímým zatížením, k-t: 0.489, β: 0.500
KZ653	VS1 + VS2 + 0.6*VS9 + VS18 Charakteristická s přímým zatížením, k-t: 0.489, β: 0.500
KZ654	VS1 + VS2 + 0.6*VS10 + VS18 Charakteristická s přímým zatížením, k-t: 0.489, β: 0.500
KZ655	VS1 + VS2 + 0.6*VS11 + VS18 Charakteristická s přímým zatížením, k-t: 0.489, β: 0.500
KZ656	VS1 + VS2 + 0.6*VS12 + VS18 Charakteristická s přímým zatížením, k-t: 0.489, β: 0.500
KZ657	VS1 + VS2 + 0.6*VS13 + VS18 Charakteristická s přímým zatížením, k-t: 0.489, β: 0.500
KZ658	VS1 + VS2 + 0.6*VS14 + VS18 Charakteristická s přímým zatížením, k-t: 0.489, β: 0.500
KZ659	VS1 + VS2 + 0.6*VS15 + VS18 Charakteristická s přímým zatížením, k-t: 0.489, β: 0.500
KZ660	VS1 + VS2 + 0.6*VS16 + VS18 Charakteristická s přímým zatížením, k-t: 0.489, β: 0.500
KZ661	VS1 + VS2 + 0.6*VS17 + VS18 Charakteristická s přímým zatížením, k-t: 0.489, β: 0.500
KZ662	VS1 + VS2 + VS25 Charakteristická s přímým zatížením, k-t: 0.467, β: 0.500
KZ663	VS1 + VS2 + 0.5*VS3 + VS25 Charakteristická s přímým zatížením, k-t: 0.486, β: 0.500
KZ664	VS1 + VS2 + 0.5*VS4 + VS25 Charakteristická s přímým zatížením, k-t: 0.486, β: 0.500
KZ665	VS1 + VS2 + 0.5*VS5 + VS25 Charakteristická s přímým zatížením, k-t: 0.486, β: 0.500
KZ666	VS1 + VS2 + 0.5*VS3 + 0.6*VS6 + VS25 Charakteristická s přímým zatížením, k-t: 0.502, β: 0.500
KZ667	VS1 + VS2 + 0.5*VS3 + 0.6*VS7 + VS25 Charakteristická s přímým zatížením, k-t: 0.502, β: 0.500
KZ668	VS1 + VS2 + 0.5*VS3 + 0.6*VS8 + VS25 Charakteristická s přímým zatížením, k-t: 0.502, β: 0.500
KZ669	VS1 + VS2 + 0.5*VS3 + 0.6*VS9 + VS25 Charakteristická s přímým zatížením, k-t: 0.502, β: 0.500
KZ670	VS1 + VS2 + 0.5*VS3 + 0.6*VS10 + VS25 Charakteristická s přímým zatížením, k-t: 0.502, β: 0.500
KZ671	VS1 + VS2 + 0.5*VS3 + 0.6*VS11 + VS25 Charakteristická s přímým zatížením, k-t: 0.502, β: 0.500
KZ672	VS1 + VS2 + 0.5*VS3 + 0.6*VS12 + VS25 Charakteristická s přímým zatížením, k-t: 0.502, β: 0.500
KZ673	VS1 + VS2 + 0.5*VS3 + 0.6*VS13 + VS25

Projekt:

Model: HOŘICE-KONSTRUKCE 3D Budova redukované...

## ■ 1.1 ZÁKLADNÍ ÚDAJE

[illegible]



Projekt:

Model: HOŘICE-KONSTRUKCE\_3D\_Budova\_redukováné ..

## 1.1 ZÁKLADNÍ ÚDAJE

KZ722	KS1 + KS2 + 0.5*KS4 + 0.6*KS14 + 0.7*KS18 + KS25
	Charakteristická s přímým zatížením, k-t: 0.517, β: 0.500
KZ723	KS1 + KS2 + 0.5*KS4 + 0.6*KS15 + 0.7*KS18 + KS25
	Charakteristická s přímým zatížením, k-t: 0.517, β: 0.500
KZ724	KS1 + KS2 + 0.5*KS4 + 0.6*KS16 + 0.7*KS18 + KS25
	Charakteristická s přímým zatížením, k-t: 0.517, β: 0.500
KZ725	KS1 + KS2 + 0.5*KS4 + 0.6*KS17 + 0.7*KS18 + KS25
	Charakteristická s přímým zatížením, k-t: 0.517, β: 0.500
KZ726	KS1 + KS2 + 0.5*KS5 + 0.6*KS6 + 0.7*KS18 + KS25
	Charakteristická s přímým zatížením, k-t: 0.517, β: 0.500
KZ727	KS1 + KS2 + 0.5*KS5 + 0.6*KS7 + 0.7*KS18 + KS25
	Charakteristická s přímým zatížením, k-t: 0.517, β: 0.500
KZ728	KS1 + KS2 + 0.5*KS5 + 0.6*KS8 + 0.7*KS18 + KS25
	Charakteristická s přímým zatížením, k-t: 0.517, β: 0.500
KZ729	KS1 + KS2 + 0.5*KS5 + 0.6*KS9 + 0.7*KS18 + KS25
	Charakteristická s přímým zatížením, k-t: 0.517, β: 0.500
KZ730	KS1 + KS2 + 0.5*KS5 + 0.6*KS10 + 0.7*KS18 + KS25
	Charakteristická s přímým zatížením, k-t: 0.517, β: 0.500
KZ731	KS1 + KS2 + 0.5*KS5 + 0.6*KS11 + 0.7*KS18 + KS25
	Charakteristická s přímým zatížením, k-t: 0.517, β: 0.500
KZ732	KS1 + KS2 + 0.5*KS5 + 0.6*KS12 + 0.7*KS18 + KS25
	Charakteristická s přímým zatížením, k-t: 0.517, β: 0.500
KZ733	KS1 + KS2 + 0.5*KS5 + 0.6*KS13 + 0.7*KS18 + KS25
	Charakteristická s přímým zatížením, k-t: 0.517, β: 0.500
KZ734	KS1 + KS2 + 0.5*KS5 + 0.6*KS14 + 0.7*KS18 + KS25
	Charakteristická s přímým zatížením, k-t: 0.517, β: 0.500
KZ735	KS1 + KS2 + 0.5*KS5 + 0.6*KS15 + 0.7*KS18 + KS25
	Charakteristická s přímým zatížením, k-t: 0.517, β: 0.500
KZ736	KS1 + KS2 + 0.5*KS5 + 0.6*KS16 + 0.7*KS18 + KS25
	Charakteristická s přímým zatížením, k-t: 0.517, β: 0.500
KZ737	KS1 + KS2 + 0.5*KS5 + 0.6*KS17 + 0.7*KS18 + KS25
	Charakteristická s přímým zatížením, k-t: 0.517, β: 0.500
KZ738	KS1 + KS2 + 0.5*KS3 + 0.7*KS18 + KS25
	Charakteristická s přímým zatížením, k-t: 0.505, β: 0.500
KZ739	KS1 + KS2 + 0.5*KS4 + 0.7*KS18 + KS25
	Charakteristická s přímým zatížením, k-t: 0.505, β: 0.500
KZ740	KS1 + KS2 + 0.5*KS5 + 0.7*KS18 + KS25
	Charakteristická s přímým zatížením, k-t: 0.505, β: 0.500
KZ741	KS1 + KS2 + 0.6*KS6 + KS25
	Charakteristická s přímým zatížením, k-t: 0.489, β: 0.500
KZ742	KS1 + KS2 + 0.6*KS7 + KS25
	Charakteristická s přímým zatížením, k-t: 0.489, β: 0.500
KZ743	KS1 + KS2 + 0.6*KS8 + KS25
	Charakteristická s přímým zatížením, k-t: 0.489, β: 0.500
KZ744	KS1 + KS2 + 0.6*KS9 + KS25
	Charakteristická s přímým zatížením, k-t: 0.489, β: 0.500
KZ745	KS1 + KS2 + 0.6*KS10 + KS25
	Charakteristická s přímým zatížením, k-t: 0.489, β: 0.500
KZ746	KS1 + KS2 + 0.6*KS11 + KS25
	Charakteristická s přímým zatížením, k-t: 0.489, β: 0.500
KZ747	KS1 + KS2 + 0.6*KS12 + KS25
	Charakteristická s přímým zatížením, k-t: 0.489, β: 0.500
KZ748	KS1 + KS2 + 0.6*KS13 + KS25
	Charakteristická s přímým zatížením, k-t: 0.489, β: 0.500
KZ749	KS1 + KS2 + 0.6*KS14 + KS25
	Charakteristická s přímým zatížením, k-t: 0.489, β: 0.500
KZ750	KS1 + KS2 + 0.6*KS15 + KS25
	Charakteristická s přímým zatížením, k-t: 0.489, β: 0.500
KZ751	KS1 + KS2 + 0.6*KS16 + KS25
	Charakteristická s přímým zatížením, k-t: 0.489, β: 0.500
KZ752	KS1 + KS2 + 0.6*KS17 + KS25
	Charakteristická s přímým zatížením, k-t: 0.489, β: 0.500
KZ753	KS1 + KS2 + 0.6*KS6 + 0.7*KS18 + KS25
	Charakteristická s přímým zatížením, k-t: 0.507, β: 0.500
KZ754	KS1 + KS2 + 0.6*KS7 + 0.7*KS18 + KS25
	Charakteristická s přímým zatížením, k-t: 0.507, β: 0.500
KZ755	KS1 + KS2 + 0.6*KS8 + 0.7*KS18 + KS25
	Charakteristická s přímým zatížením, k-t: 0.507, β: 0.500
KZ756	KS1 + KS2 + 0.6*KS9 + 0.7*KS18 + KS25
	Charakteristická s přímým zatížením, k-t: 0.507, β: 0.500
KZ757	KS1 + KS2 + 0.6*KS10 + 0.7*KS18 + KS25
	Charakteristická s přímým zatížením, k-t: 0.507, β: 0.500
KZ758	KS1 + KS2 + 0.6*KS11 + 0.7*KS18 + KS25
	Charakteristická s přímým zatížením, k-t: 0.507, β: 0.500
KZ759	KS1 + KS2 + 0.6*KS12 + 0.7*KS18 + KS25
	Charakteristická s přímým zatížením, k-t: 0.507, β: 0.500
KZ760	KS1 + KS2 + 0.6*KS13 + 0.7*KS18 + KS25
	Charakteristická s přímým zatížením, k-t: 0.507, β: 0.500
KZ761	KS1 + KS2 + 0.6*KS14 + 0.7*KS18 + KS25
	Charakteristická s přímým zatížením, k-t: 0.507, β: 0.500
KZ762	KS1 + KS2 + 0.6*KS15 + 0.7*KS18 + KS25
	Charakteristická s přímým zatížením, k-t: 0.507, β: 0.500
KZ763	KS1 + KS2 + 0.6*KS16 + 0.7*KS18 + KS25
	Charakteristická s přímým zatížením, k-t: 0.507, β: 0.500
KZ764	KS1 + KS2 + 0.6*KS17 + 0.7*KS18 + KS25
	Charakteristická s přímým zatížením, k-t: 0.507, β: 0.500
KZ765	KS1 + KS2 + 0.7*KS18 + KS25
	Charakteristická s přímým zatížením, k-t: 0.492, β: 0.500
KZ766	KS1 + KS2
	Kvazistálá, k-t: 0.400, β: 0.500
KZ767	KS1 + KS2 + 0.6*KS18
	Kvazistálá, k-t: 0.446, β: 0.500

Nastavení návrhové situace pro posouzení mezního stavu použitelnosti

Kombinace zatížení:

Charakteristická s přímým zatížením

Charakteristická s vneseným přetvořením

Posouzení:  $k_1 \cdot f_{ck}$ ,  $k_3 \cdot f_{yk}$ Posouzení:  $k_1 \cdot f_{ck}$ ,  $k_4 \cdot f_{yk}$



Projekt:

Model: HOŘICE-KONSTRUKCE\_3D\_Budova\_redukováne ..

## 1.1 ZÁKLADNÍ ÚDAJE

Částá	Posouzení: $w_k$
Kvazistálá	Posouzení: $k_2 \cdot f_{ck}$ , $w_k$ , $U_l$
Deformaci vztáhnout na:	Nedeformovaný systém

## 1.2 MATERIÁLY

Mat.	Označení materiálu		Komentář
č.	Třída pevnosti betonu	Výztužná ocel	
4	Beton C35/45	B 500 S (A)	

## 1.3 PRŮŘEZY

Průřez č.	Mat. č.	Označení průřezu	Upozornění	Komentář
5	4	UZU 550/150/0/285/0/500		.AREA.
6	4	Obdélník 400/550		lfcRectangleProfileDef
7	4	Obdélník 400/550		lfcRectangleProfileDef
10	4	UZ 550/800/285/500		

UZU 550/150/0/285...



## 1.5 PODPORY

Podpora č.	Uzel č.	Šířka podpory b [mm]	Přímé Podpora	Monolitické spojení	Koncová Podpora	Komentář
1	489	0.0	<input checked="" type="checkbox"/>	<input type="checkbox"/>	<input type="checkbox"/>	
2	491	0.0	<input checked="" type="checkbox"/>	<input type="checkbox"/>	<input type="checkbox"/>	
3	493	0.0	<input checked="" type="checkbox"/>	<input type="checkbox"/>	<input type="checkbox"/>	
4	495	0.0	<input checked="" type="checkbox"/>	<input type="checkbox"/>	<input type="checkbox"/>	
5	500	0.0	<input checked="" type="checkbox"/>	<input type="checkbox"/>	<input type="checkbox"/>	
6	503	0.0	<input checked="" type="checkbox"/>	<input type="checkbox"/>	<input type="checkbox"/>	
7	506	0.0	<input checked="" type="checkbox"/>	<input type="checkbox"/>	<input type="checkbox"/>	
8	509	0.0	<input checked="" type="checkbox"/>	<input type="checkbox"/>	<input type="checkbox"/>	
9	512	0.0	<input checked="" type="checkbox"/>	<input type="checkbox"/>	<input type="checkbox"/>	
10	518	0.0	<input checked="" type="checkbox"/>	<input type="checkbox"/>	<input type="checkbox"/>	
11	521	0.0	<input checked="" type="checkbox"/>	<input type="checkbox"/>	<input type="checkbox"/>	
12	560	0.0	<input checked="" type="checkbox"/>	<input type="checkbox"/>	<input type="checkbox"/>	
13	563	0.0	<input checked="" type="checkbox"/>	<input type="checkbox"/>	<input type="checkbox"/>	
14	566	0.0	<input checked="" type="checkbox"/>	<input type="checkbox"/>	<input type="checkbox"/>	
15	568	0.0	<input checked="" type="checkbox"/>	<input type="checkbox"/>	<input type="checkbox"/>	
16	570	0.0	<input checked="" type="checkbox"/>	<input type="checkbox"/>	<input type="checkbox"/>	
17	572	0.0	<input checked="" type="checkbox"/>	<input type="checkbox"/>	<input type="checkbox"/>	
18	576	0.0	<input checked="" type="checkbox"/>	<input type="checkbox"/>	<input type="checkbox"/>	
19	662	0.0	<input checked="" type="checkbox"/>	<input type="checkbox"/>	<input type="checkbox"/>	
20	664	0.0	<input checked="" type="checkbox"/>	<input type="checkbox"/>	<input type="checkbox"/>	
21	667	0.0	<input checked="" type="checkbox"/>	<input type="checkbox"/>	<input type="checkbox"/>	
22	670	0.0	<input checked="" type="checkbox"/>	<input type="checkbox"/>	<input type="checkbox"/>	
23	673	0.0	<input checked="" type="checkbox"/>	<input type="checkbox"/>	<input type="checkbox"/>	
24	676	0.0	<input checked="" type="checkbox"/>	<input type="checkbox"/>	<input type="checkbox"/>	
25	679	0.0	<input checked="" type="checkbox"/>	<input type="checkbox"/>	<input type="checkbox"/>	
26	685	0.0	<input checked="" type="checkbox"/>	<input type="checkbox"/>	<input type="checkbox"/>	
27	695	0.0	<input checked="" type="checkbox"/>	<input type="checkbox"/>	<input type="checkbox"/>	
28	697	0.0	<input checked="" type="checkbox"/>	<input type="checkbox"/>	<input type="checkbox"/>	
29	700	0.0	<input checked="" type="checkbox"/>	<input type="checkbox"/>	<input type="checkbox"/>	

### NASTAVENÍ

- ☐ Zohlednění limitované redistribuce podporových momentů  
☐ Redukce momentů resp. dimenzování pro momenty v lici monolitické podpory  
☒ Redukce posouvajících sil v oblasti podpory podle 6.2.2  
☒ Zmenšení posouvajících sil s osamělým zatížením podle 6.2.2(6) a 6.2.3(8)

## 1.6 SADA VÝZTUŽE Č. 1

Použito na prutech:	251,254,256,260,261,307,309,311,313,315,317,335,337,339,341,343,345-357
PODÉLNÁ VÝZTUŽ	
Možné průměry:	20.0 mm
Max. počet vrstev	1
Min. vzdál. pro 1. vrstvu:	20.0 mm
Typ kotvení:	Přímý prut
Povrch výztuže:	Žebrovaný
Odstupňování výztuže:	Žádné
TRMÍNKOVÁ VÝZTUŽ	
Možné průměry:	8.0 mm
Počet stříhů:	4
Sklon:	90°
Typ kotvení:	Hák
Uspořádání trmínek:	Stejně vzdálenosti ve všech částech
USPOŘÁDÁNÍ VÝZTUŽE	
Krytí výztuže podle normy	<input checked="" type="checkbox"/>
Krytí výztuže c-horní:	28.0 mm
Parametry pro určení krytí výztuže	



Projekt:

Model: HOŘICE-KONSTRUKCE\_3D\_Budova\_redukováné ..

## 1.6 SADA VÝZTUŽE Č. 1

Nastavení stejné jako pro krytí	C+z (dolní)		
Krytí výztuže c-dolní:	28.0 mm		
Parametry pro určení krytí výztuže			
Stupeň vlivu prostředí podle 4.4.1.2(5)	XC1		
Třída obruš podle 4.4.1.2(13)	Žádná		
Návrhová životnost podle 4.4.1.2(5) tabulky 4.3N	50 Let		
Typ výztuže		Třmínek	Podélná
Maximální průměr výztuže		8.0 mm	20.0 mm
Minimální krytí výztuže od požadavků na soudržnost podle 4.4.1.2(3)		8.0 mm	20.0 mm
Minimální krytí výztuže od podmínek prostředí podle 4.4.1.2(5)		10.0 mm	10.0 mm
Přídavná bezpečnostní složka podle 4.4.1.2(6)		0.0 mm	0.0 mm
Minimální krytí výztuže podle 4.4.1.2(2)		10.0 mm	20.0 mm
Přídavek na návrhovou odchylku podle 4.4.1.3		10.0 mm	10.0 mm
Nominální krycí vrstva výztuže pro výztuž podle 4.4.1.1		20.0 mm	20.0 mm
Minimální krytí výztuže		20.0 mm	28.0 mm
Způsob betonování podle 4.4.1.3(4)	na rovný povrch		
Zvláštní kontrola kvality výroby betonu podle 4.4.1.2(5) tabulky 4.3N	<input type="checkbox"/>		
Jmenovitý maximální rozměr kameniva větší než 32 mm podle 4.4.1.2(3) tabulky 4.2	<input type="checkbox"/>		
Krytí výztuže c-po stranách:	28.0 mm		
Parametry pro určení krytí výztuže			
Nastavení stejné jako pro krytí	C+z (dolní)		
Uspořádání výztuže:	-z (horní) - +z (dolní) (optimaliz. rozdělení)		
Přes celou šířku průřezu:	<input checked="" type="checkbox"/>		
Torzní výztuž rozmístěná po obvodu:	<input checked="" type="checkbox"/>		
Zohledněné vnitřní síly:	N, V-y, V-z, M-T, M-y, M-z		
MINIMÁLNÍ VÝZTUŽ			
Min. plocha výztuže (min A-s,horní):	0.00 mm²		
Min. plocha výztuže (min A-s,dolní):	0.00 mm²		
Minimální podélná výztuž podle normy:	<input checked="" type="checkbox"/>		
Minimální smyková výztuž podle normy:	<input checked="" type="checkbox"/>		
Podélná výztuž pro posouzení posouvající síly:	Použít nutnou podélnou výztuž		
SMYK VE STYČNÉ PLOŠE			
Smyk ve styčné ploše možný:	<input type="checkbox"/>		
Posouzení spojů pásnice na členěných průřezech	<input type="checkbox"/>		
NASTAVENÍ PRO EN 1992-1-1:2004/A1:2014			
Max. stupeň vyztužení:	8.00 %		
Omezení tlakové zóny	<input checked="" type="checkbox"/>		
Souč. spolehlivosti Gamma-c	TD 1.50, MM 1.20, MSP 1.00		
Souč. spolehlivosti Gamma-s	TD 1.15, MM 1.00, MSP 1.00		
Redukční součinitel Alpha-cc	TD 1.00, MM 1.00, MSP 1.00		
Redukční součinitel Alpha-ct	TD 1.00, MM 1.00, MSP 1.00		
Min. proměnný sklon tlakových diagonál	21.80 °		
Max. proměnný sklon tlakových diagonál	45.00 °		
SERVICEABILITY			
Posouzení trhlin			
Mezní hodnota přípustné šířky trhlin $w_{k,max,-z}$ (horní):	0.3 mm		
Mezní hodnota přípustné šířky trhlin $w_{k,max,+z}$ (dolní):	0.3 mm		
Posouzení bez přímého výpočtu šířky trhlin:	<input type="checkbox"/>		
Posouzení s přímým výpočtem šířky trhlin:	<input checked="" type="checkbox"/>		
Pro $S_{r,max}$ zohlednit vztah (7.14) :	<input type="checkbox"/>		
Účinná pevnost betonu v tahu při vzniku trhlin:	1.000 * $f_{ctm}$		
$A_{s,min}$ pro účinky od přetvoření:	<input type="checkbox"/>		
Analýza napětí			
Omezení napětí betonu v tlaku $\sigma_c$ :	<input checked="" type="checkbox"/>		
Podle návrhové situace s $k_1 \cdot f_{ck}$ a			
Součinitel $k_1$ pro omezení tlakového napětí v betonu $k_1$ :	0.600		
Součinitel $k_2$ pro omezení tlakového napětí v betonu $k_2$ :	0.450		
Omezení napětí v oceli $\sigma_s$ :	<input checked="" type="checkbox"/>		

## 1.6 SADA VÝZTUŽE Č. 2

Použito na prutech:	252,253,255,257-259,262,263,358-361
PODÉLNÁ VÝZTUŽ	
Možné průměry:	14.0, 16.0 mm
Max. počet vrstev	2
Min. vzdál. pro 1. vrstvu:	20.0 mm
Min. vzdál. pro další vrstvu:	20.0 mm
Typ kotvení:	Přímý prut
Povrch výztuže:	Žebrovaný
Odstupňování výztuže:	Žádné
TŘMÍNKOVÁ VÝZTUŽ	
Možné průměry:	8.0 mm
Počet střihů:	2
Sklon:	90°
Typ kotvení:	Hák
Uspořádání třmínků:	Stejně vzdálenosti ve všech částech
USPOŘÁDÁNÍ VÝZTUŽE	
Krytí výztuže podle normy	<input type="checkbox"/>
Krytí výztuže c-horní:	30.0 mm
Krytí výztuže c-dolní:	30.0 mm
Krytí výztuže c-po stranách:	30.0 mm
Uspořádání výztuže:	-z (horní) - +z (dolní) (optimaliz. rozdělení)
Torzní výztuž rozmístěná po obvodu:	<input checked="" type="checkbox"/>
Zohledněné vnitřní síly:	N, V-y, V-z, M-T, M-y, M-z
MINIMÁLNÍ VÝZTUŽ	



Projekt:

Model: HOŘICE-KONSTRUKCE\_3D\_Budova\_redukováne ..

## 1.6 SADA VÝZTUŽE Č. 2

Min. plocha výztuže (min A-s, horní):	0.00 mm <sup>2</sup>
Min. plocha výztuže (min A-s, dolní):	0.00 mm <sup>2</sup>
Minimální podélná výztuž podle normy:	<input checked="" type="checkbox"/>
Minimální smyková výztuž podle normy:	<input checked="" type="checkbox"/>
Podélná výztuž pro posouzení posouvající síly:	Použít nutnou podélnou výztuž
SMYK VE STYČNÉ PLOŠE	
Smyk ve styčné ploše možný:	<input type="checkbox"/>
Posouzení spojů pásnice na členěných průřezech	<input type="checkbox"/>
NASTAVENÍ PRO EN 1992-1-1:2004/A1:2014	
Max. stupeň výztužení:	8.00 %
Omezení tlakové zóny	<input checked="" type="checkbox"/>
Souč. spolehlivosti Gamma-c	TD 1.50, MM 1.20, MSP 1.00
Souč. spolehlivosti Gamma-s	TD 1.15, MM 1.00, MSP 1.00
Redukční součinitel Alpha-cc	TD 1.00, MM 1.00, MSP 1.00
Redukční součinitel Alpha-ct	TD 1.00, MM 1.00, MSP 1.00
Min. proměnný sklon tlakových diagonál	21.80 °
Max. proměnný sklon tlakových diagonál	45.00 °
SERVICEABILITY	
Posouzení trhlin	
Mezní hodnota přípustné šířky trhlin $w_{k,max,z}$ (horní):	0.3 mm
Mezní hodnota přípustné šířky trhlin $w_{k,max,z}$ (dolní):	0.3 mm
Posouzení bez přímého výpočtu šířky trhlin:	<input type="checkbox"/>
Posouzení s přímým výpočtem šířky trhlin:	<input checked="" type="checkbox"/>
Pro $s_{r,max}$ zohlednit vztah (7.14):	<input type="checkbox"/>
Účinná pevnost betonu v tahu při vzniku trhlin:	1.000 * $f_{ctm}$
$A_{s,min}$ pro účinky od přetvoření:	<input type="checkbox"/>
Analýza napětí	
Omezení napětí betonu v tlaku $\sigma_c$ :	<input checked="" type="checkbox"/>
Podle návrhové situace s $k_1 \cdot f_{ck}$ a	
$k_2 \cdot f_{ctd}$ podle EN 1992-1-1 (2004) (2004) v betonu $k_1$ :	0.600
Součinitel $k_2$ pro omezení tlakového napětí v betonu $k_2$ :	0.450
Omezení napětí v oceli $\sigma_s$ :	<input checked="" type="checkbox"/>
Podle návrhové situace s $k_3 \cdot f_{yk}$ a	
$k_4 \cdot f_{yk}$ podle EN 1992-1-1 (2004) (2004) v oceli $k_3$ :	0.800
Součinitel $k_4$ pro omezení napětí v oceli $k_4$ :	1.000
Posouzení deformací	
Průhyb $u_{L,z}$ :	<input checked="" type="checkbox"/>
Stanovení podélné výztuže	
Automaticky navýšit požadovanou podélnou výztuž pro posouzení mezního stavu použitelnosti:	<input checked="" type="checkbox"/>

## 2.1 NUTNÁ VÝZTUŽ PO PRŮŘEZECH

Výztuž	Prut č.	Místo x [m]	Zatížení	Plocha výztuže	Jednotky	Chybová zpráva Upozornění
Průřez č.5 - UZU 550/150/0/285/0/500						
A <sub>s,z</sub> (horní)	343	0.000	KV1	1043.74	mm <sup>2</sup>	58)
A <sub>s,z</sub> (dolní)	339	2.400	KV1	747.55	mm <sup>2</sup>	
A <sub>s,T</sub>	339	5.000	KV1	595.87	mm <sup>2</sup>	
a <sub>sw,V,řminky</sub>	339	5.000	KV1	666.80	mm <sup>2</sup> /m	
a <sub>sw,T,řminky</sub>	339	5.000	KV1	60.48	mm <sup>2</sup> /m	
Průřez č.6 - Obdélník 400/550						
A <sub>s,z</sub> (horní)	253	0.000	KV1	341.45	mm <sup>2</sup>	26)
A <sub>s,z</sub> (dolní)	253	2.475	KV1	341.47	mm <sup>2</sup>	27)
A <sub>s,T</sub>	257	2.475	KV1	382.02	mm <sup>2</sup>	58) 69)
a <sub>sw,V,řminky</sub>	252	0.000	KV1	378.63	mm <sup>2</sup> /m	
a <sub>sw,T,řminky</sub>	257	2.475	KV1	42.53	mm <sup>2</sup> /m	
Průřez č.7 - Obdélník 400/550						
A <sub>s,z</sub> (horní)	258	0.000	KV1	1346.96	mm <sup>2</sup>	26) 28)
A <sub>s,z</sub> (dolní)	258	0.000	KV1	1346.96	mm <sup>2</sup>	27) 29)
A <sub>s,T</sub>	259	0.000	KV1	388.43	mm <sup>2</sup>	58) 69)
a <sub>sw,V,řminky</sub>	258	0.000	KV1	378.63	mm <sup>2</sup> /m	
a <sub>sw,T,řminky</sub>	259	0.000	KV1	43.25	mm <sup>2</sup> /m	
Průřez č.10 - UZ 550/800/285/500						
A <sub>s,z</sub> (horní)	346	0.000	KV1	1431.64	mm <sup>2</sup>	
A <sub>s,z</sub> (dolní)	346	3.200	KV1	1093.56	mm <sup>2</sup>	
A <sub>s,T</sub>	346	3.200	KV1	146.67	mm <sup>2</sup>	
a <sub>sw,V,řminky</sub>	350	5.000	KV1	981.79	mm <sup>2</sup> /m	
a <sub>sw,T,řminky</sub>	346	3.200	KV1	14.89	mm <sup>2</sup> /m	

## 3.1 NAVRŽENÁ PODÉLNÁ VÝZTUŽ

Položka č.	Poloha výztuže	Počet prutů	d <sub>s</sub> [mm]	A <sub>s</sub> [cm²]	Délka [m]	Místo x [m]		Hmotnost [kg]	Poznámka
						z	do		
Prut č.251 - UZU 550/150/0/285/0/500									
1	-z (horní)	4	20.0	1256.64	5.400	-0.200	5.200	53.27	158)
2	+z (dolní)	4	20.0	1256.64	5.544	-0.200	5.344	54.69	
3	+y (strana)	2	20.0	628.32	5.400	-0.200	5.200	26.63	
Prut č.252 - Obdélník 400/550									
1	-z (horní)	3	14.0	461.81	4.330	-0.140	4.190	15.70	158)
2	+z (dolní)	3	14.0	461.81	4.330	-0.140	4.190	15.70	
3	+y (strana)	2	14.0	307.88	4.330	-0.140	4.190	10.46	
Prut č.253 - Obdélník 400/550									
1	-z (horní)	3	14.0	461.81	5.230	-0.140	5.090	18.96	158)
2	+z (dolní)	3	14.0	461.81	5.230	-0.140	5.090	18.96	
3	+y (strana)	2	14.0	307.88	5.230	-0.140	5.090	12.64	





Projekt:

Model: HOŘICE-KONSTRUKCE\_3D\_Budova\_redukováne ...

## ■ 3.1 NAVRŽENÁ PODÉLNÁ VÝZTUŽ

Položka č.	Poloha výztuže	Počet prutů	d <sub>s</sub> [mm]	A <sub>s</sub> [cm <sup>2</sup> ]	Délka [m]	Místo x [m]		Hmotnost [kg]	Poznámka
						z	do		
Prut č.254 - UZ 550/800/285/500									
1	-z (horní)	5	20.0	1570.80	5.400	-0.200	5.200	66.59	
2	+z (dolní)	5	20.0	1570.80	5.598	-0.200	5.398	69.03	
3	+y (strana)	2	20.0	628.32	5.400	-0.200	5.200	26.63	158)
Prut č.255 - Obdélník 400/550									
1	-z (horní)	3	14.0	461.81	3.880	-0.140	3.740	14.07	
2	+z (dolní)	3	14.0	461.81	3.880	-0.140	3.740	14.07	
3	+y (strana)	2	14.0	307.88	3.880	-0.140	3.740	9.38	158)
Prut č.256 - UZ 550/800/285/500									
1	-z (horní)	5	20.0	1570.80	5.400	-0.200	5.200	66.59	
2	+z (dolní)	5	20.0	1570.80	5.404	-0.200	5.204	66.64	
3	+y (strana)	2	20.0	628.32	5.400	-0.200	5.200	26.63	158)
Prut č.257 - Obdélník 400/550									
1	-z (horní)	3	14.0	461.81	5.230	-0.140	5.090	18.96	
2	+z (dolní)	3	14.0	461.81	5.230	-0.140	5.090	18.96	
3	+y (strana)	2	14.0	307.88	5.230	-0.140	5.090	12.64	158)
Prut č.258 - Obdélník 400/550									
1	-z (horní)	9	14.0	1385.44	7.230	-0.140	7.090	78.63	
2	+z (dolní)	9	14.0	1385.44	7.230	-0.140	7.090	78.63	
3	+y (strana)	2	14.0	307.88	7.230	-0.140	7.090	17.47	158)
Prut č.259 - Obdélník 400/550									
1	-z (horní)	8	14.0	1231.50	7.230	-0.140	7.090	69.89	
2	+z (dolní)	8	14.0	1231.50	7.230	-0.140	7.090	69.89	
3	+y (strana)	2	14.0	307.88	7.230	-0.140	7.090	17.47	158)
Prut č.260 - UZU 550/150/0/285/0/500									
1	-z (horní)	4	20.0	1256.64	5.401	-0.200	5.201	53.28	
2	+z (dolní)	4	20.0	1256.64	5.569	-0.200	5.369	54.93	
3	+y (strana)	2	20.0	628.32	5.401	-0.200	5.201	26.64	158)
Prut č.261 - UZU 550/150/0/285/0/500									
1	-z (horní)	3	20.0	942.48	4.000	-0.200	3.800	29.59	158)
2	+z (dolní)	4	20.0	1256.64	4.000	-0.200	3.800	39.46	158)
3	+y (strana)	2	20.0	628.32	4.000	-0.200	3.800	19.73	158)
Prut č.262 - Obdélník 400/550									
1	-z (horní)	2	14.0	307.88	4.330	-0.140	4.190	10.46	
2	+z (dolní)	3	14.0	461.81	4.330	-0.140	4.190	15.70	
3	+y (strana)	2	14.0	307.88	4.330	-0.140	4.190	10.46	158)
Prut č.263 - Obdélník 400/550									
1	-z (horní)	3	14.0	461.81	3.880	-0.140	3.740	14.07	
2	+z (dolní)	3	14.0	461.81	3.880	-0.140	3.740	14.07	
3	+y (strana)	2	14.0	307.88	3.880	-0.140	3.740	9.38	158)
Prut č.307 - UZU 550/150/0/285/0/500									
1	-z (horní)	3	20.0	942.48	5.400	-0.200	5.200	39.95	
2	+z (dolní)	4	20.0	1256.64	5.774	-0.372	5.402	56.96	158)
3	+y (strana)	2	20.0	628.32	5.400	-0.200	5.200	26.63	158)
Prut č.309 - UZU 550/150/0/285/0/500									
1	-z (horní)	4	20.0	1256.64	5.400	-0.200	5.200	53.27	
2	+z (dolní)	4	20.0	1256.64	5.527	-0.327	5.200	54.52	
3	+y (strana)	2	20.0	628.32	5.400	-0.200	5.200	26.63	158)
Prut č.311 - UZU 550/150/0/285/0/500									
1	-z (horní)	3	20.0	942.48	4.000	-0.200	3.800	29.59	158)
2	+z (dolní)	4	20.0	1256.64	4.000	-0.200	3.800	39.46	158)
3	+y (strana)	2	20.0	628.32	4.000	-0.200	3.800	19.73	158)
Prut č.313 - UZU 550/150/0/285/0/500									
1	-z (horní)	4	20.0	1256.64	5.400	-0.200	5.200	53.27	
2	+z (dolní)	4	20.0	1256.64	5.582	-0.200	5.382	55.07	
3	+y (strana)	2	20.0	628.32	5.400	-0.200	5.200	26.63	158)
Prut č.315 - UZU 550/150/0/285/0/500									
1	-z (horní)	4	20.0	1256.64	5.400	-0.200	5.200	53.27	
2	+z (dolní)	4	20.0	1256.64	5.652	-0.350	5.302	55.76	158)
3	+y (strana)	2	20.0	628.32	5.400	-0.200	5.200	26.63	158)
Prut č.317 - UZU 550/150/0/285/0/500									
1	-z (horní)	4	20.0	1256.64	5.400	-0.200	5.200	53.27	
2	+z (dolní)	4	20.0	1256.64	5.559	-0.359	5.200	54.84	
3	+y (strana)	2	20.0	628.32	5.400	-0.200	5.200	26.63	158)
Prut č.335 - UZU 550/150/0/285/0/500									
1	-z (horní)	4	20.0	1256.64	5.411	-0.211	5.200	53.38	
2	+z (dolní)	4	20.0	1256.64	5.587	-0.387	5.200	55.12	
3	+y (strana)	2	20.0	628.32	5.411	-0.211	5.200	26.69	158)
Prut č.337 - UZU 550/150/0/285/0/500									
1	-z (horní)	4	20.0	1256.64	5.400	-0.200	5.200	53.27	
2	+z (dolní)	4	20.0	1256.64	5.693	-0.367	5.326	56.16	158)
3	+y (strana)	2	20.0	628.32	5.400	-0.200	5.200	26.63	158)
Prut č.339 - UZU 550/150/0/285/0/500									
1	-z (horní)	4	20.0	1256.64	5.410	-0.200	5.210	53.37	
2	+z (dolní)	4	20.0	1256.64	5.571	-0.200	5.371	54.95	
3	+y (strana)	2	20.0	628.32	5.410	-0.200	5.210	26.68	158)
Prut č.341 - UZU 550/150/0/285/0/500									
1	-z (horní)	3	20.0	942.48	4.000	-0.200	3.800	29.59	158)
2	+z (dolní)	4	20.0	1256.64	4.000	-0.200	3.800	39.46	158)
3	+y (strana)	2	20.0	628.32	4.000	-0.200	3.800	19.73	158)
Prut č.343 - UZU 550/150/0/285/0/500									
1	-z (horní)	4	20.0	1256.64	5.412	-0.212	5.200	53.39	
2	+z (dolní)	4	20.0	1256.64	5.602	-0.402	5.200	55.27	
3	+y (strana)	2	20.0	628.32	5.412	-0.212	5.200	26.70	158)
Prut č.345 - UZU 550/150/0/285/0/500									
1	-z (horní)	4	20.0	1256.64	5.400	-0.200	5.200	53.27	
2	+z (dolní)	4	20.0	1256.64	5.690	-0.323	5.367	56.13	158)
3	+y (strana)	2	20.0	628.32	5.400	-0.200	5.200	26.63	158)
Prut č.346 - UZ 550/800/285/500									
1	-z (horní)	5	20.0	1570.80	5.400	-0.200	5.200	66.59	
2	+z (dolní)	5	20.0	1570.80	5.620	-0.420	5.200	69.30	
3	+y (strana)	2	20.0	628.32	5.400	-0.200	5.200	26.63	158)
Prut č.347 - UZ 550/800/285/500									
1	-z (horní)	5	20.0	1570.80	5.400	-0.200	5.200	66.59	



Projekt:

Model: HOŘICE-KONSTRUKCE\_3D\_Budova\_redukované ..

### ■ 3.1 NAVRŽENÁ PODÉLNÁ VÝZTUŽ

Položka č.	Poloha výztuže	Počet prutů	d <sub>s</sub> [mm]	A <sub>s</sub> [cm <sup>2</sup> ]	Délka [m]	Místo x [m]		Hmotnost [kg]	Poznámka
						z	do		
2	+z (dolní)	5	20.0	1570.80	5.582	-0.382	5.200	68.83	
3	+y (strana)	2	20.0	628.32	5.400	-0.200	5.200	26.63	158)
Prut č.348 - UZ 550/800/285/500									
1	-z (horní)	5	20.0	1570.80	5.400	-0.200	5.200	66.59	
2	+z (dolní)	5	20.0	1570.80	5.766	-0.378	5.388	71.10	158)
3	+y (strana)	2	20.0	628.32	5.400	-0.200	5.200	26.63	158)
Prut č.349 - UZ 550/800/285/500									
1	-z (horní)	4	20.0	1256.64	5.400	-0.200	5.200	53.27	
2	+z (dolní)	5	20.0	1570.80	5.656	-0.424	5.233	69.75	158)
3	+y (strana)	2	20.0	628.32	5.400	-0.200	5.200	26.63	158)
Prut č.350 - UZ 550/800/285/500									
1	-z (horní)	5	20.0	1570.80	5.400	-0.200	5.200	66.59	
2	+z (dolní)	5	20.0	1570.80	5.569	-0.200	5.369	68.66	
3	+y (strana)	2	20.0	628.32	5.400	-0.200	5.200	26.63	158)
Prut č.351 - UZ 550/800/285/500									
1	-z (horní)	4	20.0	1256.64	5.400	-0.200	5.200	53.27	
2	+z (dolní)	5	20.0	1570.80	5.421	-0.200	5.221	66.84	
3	+y (strana)	2	20.0	628.32	5.400	-0.200	5.200	26.63	158)
Prut č.352 - UZ 550/800/285/500									
1	-z (horní)	3	20.0	942.48	4.000	-0.200	3.800	29.59	158)
2	+z (dolní)	5	20.0	1570.80	4.000	-0.200	3.800	49.32	158)
3	+y (strana)	2	20.0	628.32	4.000	-0.200	3.800	19.73	158)
Prut č.353 - UZ 550/800/285/500									
1	-z (horní)	3	20.0	942.48	4.000	-0.200	3.800	29.59	158)
2	+z (dolní)	5	20.0	1570.80	4.000	-0.200	3.800	49.32	
3	+y (strana)	2	20.0	628.32	4.000	-0.200	3.800	19.73	158)
Prut č.354 - UZ 550/800/285/500									
1	-z (horní)	5	20.0	1570.80	5.400	-0.200	5.200	66.59	
2	+z (dolní)	5	20.0	1570.80	5.602	-0.402	5.200	69.07	
3	+y (strana)	2	20.0	628.32	5.400	-0.200	5.200	26.63	158)
Prut č.355 - UZ 550/800/285/500									
1	-z (horní)	5	20.0	1570.80	5.400	-0.200	5.200	66.59	
2	+z (dolní)	5	20.0	1570.80	5.596	-0.396	5.200	69.00	
3	+y (strana)	2	20.0	628.32	5.400	-0.200	5.200	26.63	158)
Prut č.356 - UZ 550/800/285/500									
1	-z (horní)	5	20.0	1570.80	5.400	-0.200	5.200	66.59	
2	+z (dolní)	5	20.0	1570.80	5.746	-0.368	5.378	70.85	158)
3	+y (strana)	2	20.0	628.32	5.400	-0.200	5.200	26.63	158)
Prut č.357 - UZ 550/800/285/500									
1	-z (horní)	5	20.0	1570.80	5.400	-0.200	5.200	66.59	
2	+z (dolní)	5	20.0	1570.80	5.716	-0.340	5.377	70.49	158)
3	+y (strana)	2	20.0	628.32	5.400	-0.200	5.200	26.63	158)
Prut č.358 - Obdélník 400/550									
1	-z (horní)	3	14.0	461.81	4.330	-0.140	4.190	15.70	
2	+z (dolní)	3	14.0	461.81	4.330	-0.140	4.190	15.70	
3	+y (strana)	2	14.0	307.88	4.330	-0.140	4.190	10.46	158)
Prut č.359 - Obdélník 400/550									
1	-z (horní)	3	14.0	461.81	4.330	-0.140	4.190	15.70	
2	+z (dolní)	3	14.0	461.81	4.330	-0.140	4.190	15.70	
3	+y (strana)	2	14.0	307.88	4.330	-0.140	4.190	10.46	158)
Prut č.360 - Obdélník 400/550									
1	-z (horní)	2	14.0	307.88	5.230	-0.140	5.090	12.64	
2	+z (dolní)	3	14.0	461.81	5.230	-0.140	5.090	18.96	
3	+y (strana)	2	14.0	307.88	5.230	-0.140	5.090	12.64	158)
Prut č.361 - Obdélník 400/550									
1	-z (horní)	2	14.0	307.88	5.230	-0.140	5.090	12.64	
2	+z (dolní)	3	14.0	461.81	5.230	-0.140	5.090	18.96	
3	+y (strana)	2	14.0	307.88	5.230	-0.140	5.090	12.64	158)

#### ■ 3.1.1 NAVRŽENÁ PODÉLNÁ VÝZTUŽ - UKOTVENÍ

Položka č.	Typ kotvení	Spřažení	l <sub>bd</sub> [m]	l <sub>1</sub> [m]	l <sub>2</sub> [m]	Celkové [m]	d <sub>br</sub> [m]
Prut č.251 - UZU 550/150/0/285/0/500							
1 Začátek	Přímý prut	průměrné	0.200	0.200	-	0.200	-
1 Konec	Přímý prut	průměrné	0.200	0.200	-	0.200	-
2 Začátek	Přímý prut	dobré	0.200	0.200	-	0.200	-
2 Konec	Přímý prut	dobré	0.344	0.344	-	0.344	-
3 Začátek	Přímý prut	průměrné	0.200	0.200	-	0.200	-
3 Konec	Přímý prut	průměrné	0.200	0.200	-	0.200	-
Prut č.252 - Obdélník 400/550							
1 Začátek	Přímý prut	průměrné	0.140	0.140	-	0.140	-
1 Konec	Přímý prut	průměrné	0.140	0.140	-	0.140	-
2 Začátek	Přímý prut	dobré	0.140	0.140	-	0.140	-
2 Konec	Přímý prut	dobré	0.140	0.140	-	0.140	-
3 Začátek	Přímý prut	průměrné	0.140	0.140	-	0.140	-
3 Konec	Přímý prut	průměrné	0.140	0.140	-	0.140	-
Prut č.253 - Obdélník 400/550							
1 Začátek	Přímý prut	průměrné	0.140	0.140	-	0.140	-
1 Konec	Přímý prut	průměrné	0.140	0.140	-	0.140	-
2 Začátek	Přímý prut	dobré	0.140	0.140	-	0.140	-
2 Konec	Přímý prut	dobré	0.140	0.140	-	0.140	-
3 Začátek	Přímý prut	průměrné	0.140	0.140	-	0.140	-
3 Konec	Přímý prut	průměrné	0.140	0.140	-	0.140	-
Prut č.254 - UZ 550/800/285/500							
1 Začátek	Přímý prut	průměrné	0.200	0.200	-	0.200	-
1 Konec	Přímý prut	průměrné	0.200	0.200	-	0.200	-
2 Začátek	Přímý prut	dobré	0.200	0.200	-	0.200	-
2 Konec	Přímý prut	dobré	0.398	0.398	-	0.398	-
3 Začátek	Přímý prut	průměrné	0.200	0.200	-	0.200	-
3 Konec	Přímý prut	průměrné	0.200	0.200	-	0.200	-
Prut č.255 - Obdélník 400/550							



Projekt:

Model: HOŘICE-KONSTRUKCE\_3D\_Budova\_redukované ..

## ■ 3.1.1 NAVRŽENÁ PODÉLNÁ VÝZTUŽ - UKOTVENÍ

Položka č.	Typ kotvení	Spřažení	$l_{bd}$ [m]	$l_1$ [m]	$l_2$ [m]	Celkové [m]	$d_{br}$ [m]
1 Začátek	Přímý prut	průměrné	0.140	0.140	-	0.140	-
1 Konec	Přímý prut	průměrné	0.140	0.140	-	0.140	-
2 Začátek	Přímý prut	dobré	0.140	0.140	-	0.140	-
2 Konec	Přímý prut	dobré	0.140	0.140	-	0.140	-
3 Začátek	Přímý prut	průměrné	0.140	0.140	-	0.140	-
3 Konec	Přímý prut	průměrné	0.140	0.140	-	0.140	-
Prut č.256 - UZ 550/800/285/500							
1 Začátek	Přímý prut	průměrné	0.200	0.200	-	0.200	-
1 Konec	Přímý prut	průměrné	0.200	0.200	-	0.200	-
2 Začátek	Přímý prut	dobré	0.200	0.200	-	0.200	-
2 Konec	Přímý prut	dobré	0.204	0.204	-	0.204	-
3 Začátek	Přímý prut	průměrné	0.200	0.200	-	0.200	-
3 Konec	Přímý prut	průměrné	0.200	0.200	-	0.200	-
Prut č.257 - Obdélník 400/550							
1 Začátek	Přímý prut	průměrné	0.140	0.140	-	0.140	-
1 Konec	Přímý prut	průměrné	0.140	0.140	-	0.140	-
2 Začátek	Přímý prut	dobré	0.140	0.140	-	0.140	-
2 Konec	Přímý prut	dobré	0.140	0.140	-	0.140	-
3 Začátek	Přímý prut	průměrné	0.140	0.140	-	0.140	-
3 Konec	Přímý prut	průměrné	0.140	0.140	-	0.140	-
Prut č.258 - Obdélník 400/550							
1 Začátek	Přímý prut	průměrné	0.140	0.140	-	0.140	-
1 Konec	Přímý prut	průměrné	0.140	0.140	-	0.140	-
2 Začátek	Přímý prut	dobré	0.140	0.140	-	0.140	-
2 Konec	Přímý prut	dobré	0.140	0.140	-	0.140	-
3 Začátek	Přímý prut	průměrné	0.140	0.140	-	0.140	-
3 Konec	Přímý prut	průměrné	0.140	0.140	-	0.140	-
Prut č.259 - Obdélník 400/550							
1 Začátek	Přímý prut	průměrné	0.140	0.140	-	0.140	-
1 Konec	Přímý prut	průměrné	0.140	0.140	-	0.140	-
2 Začátek	Přímý prut	dobré	0.140	0.140	-	0.140	-
2 Konec	Přímý prut	dobré	0.140	0.140	-	0.140	-
3 Začátek	Přímý prut	průměrné	0.140	0.140	-	0.140	-
3 Konec	Přímý prut	průměrné	0.140	0.140	-	0.140	-
Prut č.260 - UZU 550/150/0/285/0/500							
1 Začátek	Přímý prut	průměrné	0.200	0.200	-	0.200	-
1 Konec	Přímý prut	průměrné	0.201	0.201	-	0.201	-
2 Začátek	Přímý prut	dobré	0.200	0.200	-	0.200	-
2 Konec	Přímý prut	dobré	0.369	0.369	-	0.369	-
3 Začátek	Přímý prut	průměrné	0.200	0.200	-	0.200	-
3 Konec	Přímý prut	průměrné	0.201	0.201	-	0.201	-
Prut č.261 - UZU 550/150/0/285/0/500							
1 Začátek	Přímý prut	průměrné	0.200	0.200	-	0.200	-
1 Konec	Přímý prut	průměrné	0.200	0.200	-	0.200	-
2 Začátek	Přímý prut	dobré	0.200	0.200	-	0.200	-
2 Konec	Přímý prut	dobré	0.200	0.200	-	0.200	-
3 Začátek	Přímý prut	průměrné	0.200	0.200	-	0.200	-
3 Konec	Přímý prut	průměrné	0.200	0.200	-	0.200	-
Prut č.262 - Obdélník 400/550							
1 Začátek	Přímý prut	průměrné	0.140	0.140	-	0.140	-
1 Konec	Přímý prut	průměrné	0.140	0.140	-	0.140	-
2 Začátek	Přímý prut	dobré	0.140	0.140	-	0.140	-
2 Konec	Přímý prut	dobré	0.140	0.140	-	0.140	-
3 Začátek	Přímý prut	průměrné	0.140	0.140	-	0.140	-
3 Konec	Přímý prut	průměrné	0.140	0.140	-	0.140	-
Prut č.263 - Obdélník 400/550							
1 Začátek	Přímý prut	průměrné	0.140	0.140	-	0.140	-
1 Konec	Přímý prut	průměrné	0.140	0.140	-	0.140	-
2 Začátek	Přímý prut	dobré	0.140	0.140	-	0.140	-
2 Konec	Přímý prut	dobré	0.140	0.140	-	0.140	-
3 Začátek	Přímý prut	průměrné	0.140	0.140	-	0.140	-
3 Konec	Přímý prut	průměrné	0.140	0.140	-	0.140	-
Prut č.307 - UZU 550/150/0/285/0/500							
1 Začátek	Přímý prut	průměrné	0.200	0.200	-	0.200	-
1 Konec	Přímý prut	průměrné	0.200	0.200	-	0.200	-
2 Začátek	Přímý prut	dobré	0.372	0.372	-	0.372	-
2 Konec	Přímý prut	dobré	0.402	0.402	-	0.402	-
3 Začátek	Přímý prut	průměrné	0.200	0.200	-	0.200	-
3 Konec	Přímý prut	průměrné	0.200	0.200	-	0.200	-
Prut č.309 - UZU 550/150/0/285/0/500							
1 Začátek	Přímý prut	průměrné	0.200	0.200	-	0.200	-
1 Konec	Přímý prut	průměrné	0.200	0.200	-	0.200	-
2 Začátek	Přímý prut	dobré	0.327	0.327	-	0.327	-
2 Konec	Přímý prut	dobré	0.200	0.200	-	0.200	-
3 Začátek	Přímý prut	průměrné	0.200	0.200	-	0.200	-
3 Konec	Přímý prut	průměrné	0.200	0.200	-	0.200	-
Prut č.311 - UZU 550/150/0/285/0/500							
1 Začátek	Přímý prut	průměrné	0.200	0.200	-	0.200	-
1 Konec	Přímý prut	průměrné	0.200	0.200	-	0.200	-
2 Začátek	Přímý prut	dobré	0.200	0.200	-	0.200	-
2 Konec	Přímý prut	dobré	0.200	0.200	-	0.200	-
3 Začátek	Přímý prut	průměrné	0.200	0.200	-	0.200	-
3 Konec	Přímý prut	průměrné	0.200	0.200	-	0.200	-
Prut č.313 - UZU 550/150/0/285/0/500							
1 Začátek	Přímý prut	průměrné	0.200	0.200	-	0.200	-
1 Konec	Přímý prut	průměrné	0.200	0.200	-	0.200	-
2 Začátek	Přímý prut	dobré	0.200	0.200	-	0.200	-
2 Konec	Přímý prut	dobré	0.382	0.382	-	0.382	-
3 Začátek	Přímý prut	průměrné	0.200	0.200	-	0.200	-
3 Konec	Přímý prut	průměrné	0.200	0.200	-	0.200	-
Prut č.315 - UZU 550/150/0/285/0/500							
1 Začátek	Přímý prut	průměrné	0.200	0.200	-	0.200	-
1 Konec	Přímý prut	průměrné	0.200	0.200	-	0.200	-
2 Začátek	Přímý prut	dobré	0.350	0.350	-	0.350	-

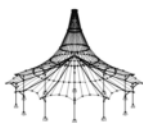


Projekt:

Model: HOŘICE-KONSTRUKCE\_3D\_Budova\_redukované ..

## ■ 3.1.1 NAVRŽENÁ PODÉLNÁ VÝZTUŽ - UKOTVENÍ

Položka č.	Typ kotvení	Spřažení	$l_{bd}$ [m]	$l_1$ [m]	$l_2$ [m]	Celkové [m]	$d_{br}$ [m]
2 Konec	Přímý prut	dobré	0.302	0.302	-	0.302	-
3 Začátek	Přímý prut	průměrné	0.200	0.200	-	0.200	-
3 Konec	Přímý prut	průměrné	0.200	0.200	-	0.200	-
Prut č.317 - UZU 550/150/0/285/0/500							
1 Začátek	Přímý prut	průměrné	0.200	0.200	-	0.200	-
1 Konec	Přímý prut	průměrné	0.200	0.200	-	0.200	-
2 Začátek	Přímý prut	dobré	0.359	0.359	-	0.359	-
2 Konec	Přímý prut	dobré	0.200	0.200	-	0.200	-
3 Začátek	Přímý prut	průměrné	0.200	0.200	-	0.200	-
3 Konec	Přímý prut	průměrné	0.200	0.200	-	0.200	-
Prut č.335 - UZU 550/150/0/285/0/500							
1 Začátek	Přímý prut	průměrné	0.211	0.211	-	0.211	-
1 Konec	Přímý prut	průměrné	0.200	0.200	-	0.200	-
2 Začátek	Přímý prut	dobré	0.387	0.387	-	0.387	-
2 Konec	Přímý prut	dobré	0.200	0.200	-	0.200	-
3 Začátek	Přímý prut	průměrné	0.211	0.211	-	0.211	-
3 Konec	Přímý prut	průměrné	0.200	0.200	-	0.200	-
Prut č.337 - UZU 550/150/0/285/0/500							
1 Začátek	Přímý prut	průměrné	0.200	0.200	-	0.200	-
1 Konec	Přímý prut	průměrné	0.200	0.200	-	0.200	-
2 Začátek	Přímý prut	dobré	0.367	0.367	-	0.367	-
2 Konec	Přímý prut	dobré	0.326	0.326	-	0.326	-
3 Začátek	Přímý prut	průměrné	0.200	0.200	-	0.200	-
3 Konec	Přímý prut	průměrné	0.200	0.200	-	0.200	-
Prut č.339 - UZU 550/150/0/285/0/500							
1 Začátek	Přímý prut	průměrné	0.200	0.200	-	0.200	-
1 Konec	Přímý prut	průměrné	0.210	0.210	-	0.210	-
2 Začátek	Přímý prut	dobré	0.200	0.200	-	0.200	-
2 Konec	Přímý prut	dobré	0.371	0.371	-	0.371	-
3 Začátek	Přímý prut	průměrné	0.200	0.200	-	0.200	-
3 Konec	Přímý prut	průměrné	0.210	0.210	-	0.210	-
Prut č.341 - UZU 550/150/0/285/0/500							
1 Začátek	Přímý prut	průměrné	0.200	0.200	-	0.200	-
1 Konec	Přímý prut	průměrné	0.200	0.200	-	0.200	-
2 Začátek	Přímý prut	dobré	0.200	0.200	-	0.200	-
2 Konec	Přímý prut	dobré	0.200	0.200	-	0.200	-
3 Začátek	Přímý prut	průměrné	0.200	0.200	-	0.200	-
3 Konec	Přímý prut	průměrné	0.200	0.200	-	0.200	-
Prut č.343 - UZU 550/150/0/285/0/500							
1 Začátek	Přímý prut	průměrné	0.212	0.212	-	0.212	-
1 Konec	Přímý prut	průměrné	0.200	0.200	-	0.200	-
2 Začátek	Přímý prut	dobré	0.402	0.402	-	0.402	-
2 Konec	Přímý prut	dobré	0.200	0.200	-	0.200	-
3 Začátek	Přímý prut	průměrné	0.212	0.212	-	0.212	-
3 Konec	Přímý prut	průměrné	0.200	0.200	-	0.200	-
Prut č.345 - UZU 550/150/0/285/0/500							
1 Začátek	Přímý prut	průměrné	0.200	0.200	-	0.200	-
1 Konec	Přímý prut	průměrné	0.200	0.200	-	0.200	-
2 Začátek	Přímý prut	dobré	0.323	0.323	-	0.323	-
2 Konec	Přímý prut	dobré	0.367	0.367	-	0.367	-
3 Začátek	Přímý prut	průměrné	0.200	0.200	-	0.200	-
3 Konec	Přímý prut	průměrné	0.200	0.200	-	0.200	-
Prut č.346 - UZ 550/800/285/500							
1 Začátek	Přímý prut	průměrné	0.200	0.200	-	0.200	-
1 Konec	Přímý prut	průměrné	0.200	0.200	-	0.200	-
2 Začátek	Přímý prut	dobré	0.420	0.420	-	0.420	-
2 Konec	Přímý prut	dobré	0.200	0.200	-	0.200	-
3 Začátek	Přímý prut	průměrné	0.200	0.200	-	0.200	-
3 Konec	Přímý prut	průměrné	0.200	0.200	-	0.200	-
Prut č.347 - UZ 550/800/285/500							
1 Začátek	Přímý prut	průměrné	0.200	0.200	-	0.200	-
1 Konec	Přímý prut	průměrné	0.200	0.200	-	0.200	-
2 Začátek	Přímý prut	dobré	0.382	0.382	-	0.382	-
2 Konec	Přímý prut	dobré	0.200	0.200	-	0.200	-
3 Začátek	Přímý prut	průměrné	0.200	0.200	-	0.200	-
3 Konec	Přímý prut	průměrné	0.200	0.200	-	0.200	-
Prut č.348 - UZ 550/800/285/500							
1 Začátek	Přímý prut	průměrné	0.200	0.200	-	0.200	-
1 Konec	Přímý prut	průměrné	0.200	0.200	-	0.200	-
2 Začátek	Přímý prut	dobré	0.378	0.378	-	0.378	-
2 Konec	Přímý prut	dobré	0.388	0.388	-	0.388	-
3 Začátek	Přímý prut	průměrné	0.200	0.200	-	0.200	-
3 Konec	Přímý prut	průměrné	0.200	0.200	-	0.200	-
Prut č.349 - UZ 550/800/285/500							
1 Začátek	Přímý prut	průměrné	0.200	0.200	-	0.200	-
1 Konec	Přímý prut	průměrné	0.200	0.200	-	0.200	-
2 Začátek	Přímý prut	dobré	0.424	0.424	-	0.424	-
2 Konec	Přímý prut	dobré	0.233	0.233	-	0.233	-
3 Začátek	Přímý prut	průměrné	0.200	0.200	-	0.200	-
3 Konec	Přímý prut	průměrné	0.200	0.200	-	0.200	-
Prut č.350 - UZ 550/800/285/500							
1 Začátek	Přímý prut	průměrné	0.200	0.200	-	0.200	-
1 Konec	Přímý prut	průměrné	0.200	0.200	-	0.200	-
2 Začátek	Přímý prut	dobré	0.200	0.200	-	0.200	-
2 Konec	Přímý prut	dobré	0.369	0.369	-	0.369	-
3 Začátek	Přímý prut	průměrné	0.200	0.200	-	0.200	-
3 Konec	Přímý prut	průměrné	0.200	0.200	-	0.200	-
Prut č.351 - UZ 550/800/285/500							
1 Začátek	Přímý prut	průměrné	0.200	0.200	-	0.200	-
1 Konec	Přímý prut	průměrné	0.200	0.200	-	0.200	-
2 Začátek	Přímý prut	dobré	0.200	0.200	-	0.200	-
2 Konec	Přímý prut	dobré	0.221	0.221	-	0.221	-
3 Začátek	Přímý prut	průměrné	0.200	0.200	-	0.200	-
3 Konec	Přímý prut	průměrné	0.200	0.200	-	0.200	-



Projekt:

Model: HOŘICE-KONSTRUKCE\_3D\_Budova\_redukováne ..

## 3.1.1 NAVRŽENÁ PODÉLNÁ VÝZTUŽ - UKOTVENÍ

Položka č.	Typ kotvení	Spřažení	$l_{bd}$ [m]	$l_1$ [m]	$l_2$ [m]	Celkové [m]	$d_{br}$ [m]
Prut č.352 - UZ 550/800/285/500							
1 Začátek	Přímý prut	průměrné	0.200	0.200	-	0.200	-
1 Konec	Přímý prut	průměrné	0.200	0.200	-	0.200	-
2 Začátek	Přímý prut	dobré	0.200	0.200	-	0.200	-
2 Konec	Přímý prut	dobré	0.200	0.200	-	0.200	-
3 Začátek	Přímý prut	průměrné	0.200	0.200	-	0.200	-
3 Konec	Přímý prut	průměrné	0.200	0.200	-	0.200	-
Prut č.353 - UZ 550/800/285/500							
1 Začátek	Přímý prut	průměrné	0.200	0.200	-	0.200	-
1 Konec	Přímý prut	průměrné	0.200	0.200	-	0.200	-
2 Začátek	Přímý prut	dobré	0.200	0.200	-	0.200	-
2 Konec	Přímý prut	dobré	0.200	0.200	-	0.200	-
3 Začátek	Přímý prut	průměrné	0.200	0.200	-	0.200	-
3 Konec	Přímý prut	průměrné	0.200	0.200	-	0.200	-
Prut č.354 - UZ 550/800/285/500							
1 Začátek	Přímý prut	průměrné	0.200	0.200	-	0.200	-
1 Konec	Přímý prut	průměrné	0.200	0.200	-	0.200	-
2 Začátek	Přímý prut	dobré	0.402	0.402	-	0.402	-
2 Konec	Přímý prut	dobré	0.200	0.200	-	0.200	-
3 Začátek	Přímý prut	průměrné	0.200	0.200	-	0.200	-
3 Konec	Přímý prut	průměrné	0.200	0.200	-	0.200	-
Prut č.355 - UZ 550/800/285/500							
1 Začátek	Přímý prut	průměrné	0.200	0.200	-	0.200	-
1 Konec	Přímý prut	průměrné	0.200	0.200	-	0.200	-
2 Začátek	Přímý prut	dobré	0.396	0.396	-	0.396	-
2 Konec	Přímý prut	dobré	0.200	0.200	-	0.200	-
3 Začátek	Přímý prut	průměrné	0.200	0.200	-	0.200	-
3 Konec	Přímý prut	průměrné	0.200	0.200	-	0.200	-
Prut č.356 - UZ 550/800/285/500							
1 Začátek	Přímý prut	průměrné	0.200	0.200	-	0.200	-
1 Konec	Přímý prut	průměrné	0.200	0.200	-	0.200	-
2 Začátek	Přímý prut	dobré	0.368	0.368	-	0.368	-
2 Konec	Přímý prut	dobré	0.378	0.378	-	0.378	-
3 Začátek	Přímý prut	průměrné	0.200	0.200	-	0.200	-
3 Konec	Přímý prut	průměrné	0.200	0.200	-	0.200	-
Prut č.357 - UZ 550/800/285/500							
1 Začátek	Přímý prut	průměrné	0.200	0.200	-	0.200	-
1 Konec	Přímý prut	průměrné	0.200	0.200	-	0.200	-
2 Začátek	Přímý prut	dobré	0.340	0.340	-	0.340	-
2 Konec	Přímý prut	dobré	0.377	0.377	-	0.377	-
3 Začátek	Přímý prut	průměrné	0.200	0.200	-	0.200	-
3 Konec	Přímý prut	průměrné	0.200	0.200	-	0.200	-
Prut č.358 - Obdélník 400/550							
1 Začátek	Přímý prut	průměrné	0.140	0.140	-	0.140	-
1 Konec	Přímý prut	průměrné	0.140	0.140	-	0.140	-
2 Začátek	Přímý prut	dobré	0.140	0.140	-	0.140	-
2 Konec	Přímý prut	dobré	0.140	0.140	-	0.140	-
3 Začátek	Přímý prut	průměrné	0.140	0.140	-	0.140	-
3 Konec	Přímý prut	průměrné	0.140	0.140	-	0.140	-
Prut č.359 - Obdélník 400/550							
1 Začátek	Přímý prut	průměrné	0.140	0.140	-	0.140	-
1 Konec	Přímý prut	průměrné	0.140	0.140	-	0.140	-
2 Začátek	Přímý prut	dobré	0.140	0.140	-	0.140	-
2 Konec	Přímý prut	dobré	0.140	0.140	-	0.140	-
3 Začátek	Přímý prut	průměrné	0.140	0.140	-	0.140	-
3 Konec	Přímý prut	průměrné	0.140	0.140	-	0.140	-
Prut č.360 - Obdélník 400/550							
1 Začátek	Přímý prut	průměrné	0.140	0.140	-	0.140	-
1 Konec	Přímý prut	průměrné	0.140	0.140	-	0.140	-
2 Začátek	Přímý prut	dobré	0.140	0.140	-	0.140	-
2 Konec	Přímý prut	dobré	0.140	0.140	-	0.140	-
3 Začátek	Přímý prut	průměrné	0.140	0.140	-	0.140	-
3 Konec	Přímý prut	průměrné	0.140	0.140	-	0.140	-
Prut č.361 - Obdélník 400/550							
1 Začátek	Přímý prut	průměrné	0.140	0.140	-	0.140	-
1 Konec	Přímý prut	průměrné	0.140	0.140	-	0.140	-
2 Začátek	Přímý prut	dobré	0.140	0.140	-	0.140	-
2 Konec	Přímý prut	dobré	0.140	0.140	-	0.140	-
3 Začátek	Přímý prut	průměrné	0.140	0.140	-	0.140	-
3 Konec	Přímý prut	průměrné	0.140	0.140	-	0.140	-

## 3.2 NAVRŽENÁ TŘMÍNKOVÁ VÝZTUŽ

Položka č.	Počet třmínků	$d_s$ [mm]	Délka [m]	Místo x [m]		Vzdálenost $s_{ii}$ [m]	Rozměry třmínků [mm]	Počet střihů	Hmotnost [kg]	Poznámka
Prut č. 251	-	UZU 550/150/0/285/0/500								
1	21	8.0	5.000	0.000	5.000	0.250	510.0/460.0/97.1	4	29.02	(115)
Prut č. 252	-	Obdélník 400/550								
2	19	8.0	4.050	0.000	4.050	0.225	506.0/356.0/97.1	2	14.38	(115)
Prut č. 253	-	Obdélník 400/550								
3	22	8.0	4.950	0.000	4.950	0.236	506.0/356.0/97.1	2	16.65	(115)
Prut č. 254	-	UZ 550/800/285/500								
4	21	8.0	5.000	0.000	5.000	0.250	510.0/460.0/97.1	4	29.02	(115)
Prut č. 255	-	Obdélník 400/550								
5	17	8.0	3.600	0.000	3.600	0.225	506.0/356.0/97.1	2	12.87	(115)
Prut č. 256	-	UZ 550/800/285/500								
6	21	8.0	5.000	0.000	5.000	0.250	510.0/460.0/97.1	4	29.02	(115)
Prut č. 257	-	Obdélník 400/550								
7	24	8.0	4.950	0.000	4.950	0.215	506.0/356.0/97.1	2	18.17	
Prut č. 258	-	Obdélník 400/550								
8	33	8.0	6.950	0.000	6.950	0.217	506.0/356.0/97.1	2	24.98	



Projekt:

Model: HOŘICE-KONSTRUKCE\_3D\_Budova\_redukováné ..

## ■ 3.2 NAVRŽENÁ TŘMÍNKOVÁ VÝZTUŽ

Položka č.	Počet třmínek	d <sub>s</sub> [mm]	Délka [m]	Místo x [m]		Vzdálenost s <sub>i</sub> [m]	Rozměry třmínek [mm]	Počet střihů	Hmotnost [kg]	Poznámka
				z	do					
Prut č. 259	-	Obdélník 400/550								
9	34	8.0	6.950	0.000	6.950	0.211	506.0/356.0/97.1	2	25.73	
Prut č. 260	-	UZU 550/150/0/285/0/500								
10	21	8.0	5.000	0.000	5.000	0.250	510.0/460.0/97.1	4	29.02	115)
Prut č. 261	-	UZU 550/150/0/285/0/500								
11	15	8.0	3.600	0.000	3.600	0.257	510.0/460.0/97.1	4	20.73	115)
Prut č. 262	-	Obdélník 400/550								
12	19	8.0	4.050	0.000	4.050	0.225	506.0/356.0/97.1	2	14.38	115)
Prut č. 263	-	Obdélník 400/550								
13	17	8.0	3.600	0.000	3.600	0.225	506.0/356.0/97.1	2	12.87	115)
Prut č. 307	-	UZU 550/150/0/285/0/500								
14	21	8.0	5.000	0.000	5.000	0.250	510.0/460.0/97.1	4	29.02	115)
Prut č. 309	-	UZU 550/150/0/285/0/500								
15	21	8.0	5.000	0.000	5.000	0.250	510.0/460.0/97.1	4	29.02	115)
Prut č. 311	-	UZU 550/150/0/285/0/500								
16	15	8.0	3.600	0.000	3.600	0.257	510.0/460.0/97.1	4	20.73	115)
Prut č. 313	-	UZU 550/150/0/285/0/500								
17	21	8.0	5.000	0.000	5.000	0.250	510.0/460.0/97.1	4	29.02	115)
Prut č. 315	-	UZU 550/150/0/285/0/500								
18	21	8.0	5.000	0.000	5.000	0.250	510.0/460.0/97.1	4	29.02	115)
Prut č. 317	-	UZU 550/150/0/285/0/500								
19	21	8.0	5.000	0.000	5.000	0.250	510.0/460.0/97.1	4	29.02	115)
Prut č. 335	-	UZU 550/150/0/285/0/500								
20	21	8.0	5.000	0.000	5.000	0.250	510.0/460.0/97.1	4	29.02	115)
Prut č. 337	-	UZU 550/150/0/285/0/500								
21	21	8.0	5.000	0.000	5.000	0.250	510.0/460.0/97.1	4	29.02	115)
Prut č. 339	-	UZU 550/150/0/285/0/500								
22	21	8.0	5.000	0.000	5.000	0.250	510.0/460.0/97.1	4	29.02	
Prut č. 341	-	UZU 550/150/0/285/0/500								
23	15	8.0	3.600	0.000	3.600	0.257	510.0/460.0/97.1	4	20.73	115)
Prut č. 343	-	UZU 550/150/0/285/0/500								
24	21	8.0	5.000	0.000	5.000	0.250	510.0/460.0/97.1	4	29.02	115)
Prut č. 345	-	UZU 550/150/0/285/0/500								
25	21	8.0	5.000	0.000	5.000	0.250	510.0/460.0/97.1	4	29.02	115)
Prut č. 346	-	UZ 550/800/285/500								
26	21	8.0	5.000	0.000	5.000	0.250	510.0/460.0/97.1	4	29.02	
Prut č. 347	-	UZ 550/800/285/500								
27	21	8.0	5.000	0.000	5.000	0.250	510.0/460.0/97.1	4	29.02	115)
Prut č. 348	-	UZ 550/800/285/500								
28	21	8.0	5.000	0.000	5.000	0.250	510.0/460.0/97.1	4	29.02	115)
Prut č. 349	-	UZ 550/800/285/500								
29	21	8.0	5.000	0.000	5.000	0.250	510.0/460.0/97.1	4	29.02	115)
Prut č. 350	-	UZ 550/800/285/500								
30	26	8.0	5.000	0.000	5.000	0.200	510.0/460.0/97.1	4	35.93	
Prut č. 351	-	UZ 550/800/285/500								
31	24	8.0	5.000	0.000	5.000	0.217	510.0/460.0/97.1	4	33.16	
Prut č. 352	-	UZ 550/800/285/500								
32	15	8.0	3.600	0.000	3.600	0.257	510.0/460.0/97.1	4	20.73	115)
Prut č. 353	-	UZ 550/800/285/500								
33	15	8.0	3.600	0.000	3.600	0.257	510.0/460.0/97.1	4	20.73	115)
Prut č. 354	-	UZ 550/800/285/500								
34	23	8.0	5.000	0.000	5.000	0.227	510.0/460.0/97.1	4	31.78	
Prut č. 355	-	UZ 550/800/285/500								
35	23	8.0	5.000	0.000	5.000	0.227	510.0/460.0/97.1	4	31.78	
Prut č. 356	-	UZ 550/800/285/500								
36	23	8.0	5.000	0.000	5.000	0.227	510.0/460.0/97.1	4	31.78	
Prut č. 357	-	UZ 550/800/285/500								
37	22	8.0	5.000	0.000	5.000	0.238	510.0/460.0/97.1	4	30.40	
Prut č. 358	-	Obdélník 400/550								
38	20	8.0	4.050	0.000	4.050	0.213	506.0/356.0/97.1	2	15.14	
Prut č. 359	-	Obdélník 400/550								
39	19	8.0	4.050	0.000	4.050	0.225	506.0/356.0/97.1	2	14.38	115)
Prut č. 360	-	Obdélník 400/550								
40	22	8.0	4.950	0.000	4.950	0.236	506.0/356.0/97.1	2	16.65	115)
Prut č. 361	-	Obdélník 400/550								
41	22	8.0	4.950	0.000	4.950	0.236	506.0/356.0/97.1	2	16.65	115)

## ■ 4.1 POSOUZENÍ POUŽITELNOSTI PO PRŮŘEZECH

Průřez č.	Místo x [m]	Zatížení	Typ	Navržená hodnota	Posouzení			Využití	Poznámka
					Mezní hodn.	Jedn.			
Průřez č.5 - UZU 550/150/0/285/0/500									
339	2.500	KZ767	U <sub>z,local</sub>	5.8	10.0	mm	0.59		
339	5.000	KZ767	σ <sub>c</sub>	-10.64	-15.75	MPa	0.68		
343	0.000	KZ655	σ <sub>s</sub>	282.93	400.00	MPa	0.71		
307	5.000	KZ767	w <sub>k</sub>	0.189	0.300	mm	0.63		
Průřez č.6 - Obdélník 400/550									
253	2.475	KZ767	U <sub>z,local</sub>	1.9	9.9	mm	0.20		
253	2.475	KZ767	σ <sub>c</sub>	-3.45	-15.75	MPa	0.22		
253	2.475	KZ628	σ <sub>s</sub>	107.15	400.00	MPa	0.27		
252	0.000	KZ766	w <sub>k</sub>	0.000	0.300	mm	0.00	204)	215)
Průřez č.7 - Obdélník 400/550									
259	3.475	KZ767	U <sub>z,local</sub>	13.1	13.9	mm	0.95		
259	3.475	KZ767	σ <sub>c</sub>	-8.18	-15.75	MPa	0.52		
259	3.475	KZ628	σ <sub>s</sub>	178.78	400.00	MPa	0.45		
259	3.475	KZ767	w <sub>k</sub>	0.102	0.300	mm	0.35		
Průřez č.10 - UZ 550/800/285/500									



Projekt:

Model: HOŘICE-KONSTRUKCE\_3D\_Budova\_redukováne ..

## 4.1 POSOUZENÍ POUŽITELNOSTI PO PRŮŘEZECH

Průřez č.	Místo x [m]	Zatížení	Typ	Posouzení				
				Navržená hodnota	Mezní hodn.	Jedn.	Využití	Poznámka
351	2.400	KZ767	$U_{z,local}$	7.8	10.0	mm	0.79	
346	0.000	KZ767	$\sigma_c$	-10.11	-15.75	MPa	0.65	
349	5.000	KZ653	$\sigma_s$	316.58	400.00	MPa	0.80	
351	5.000	KZ767	$w_k$	0.206	0.300	mm	0.69	

RF-CONCRETE Members  
PR2  
ztužidla\_střecha\_beton

## 1.1 ZÁKLADNÍ ÚDAJE

Posouzení betonu podle		CSN EN 1992-1-1/NA:2006	
MEZNÍ STAV ÚNOSNOSTI			
Kombinace výsledků k posouzení:	KV1	MSÚ (STR/GEO) - trvalá/dočasná - rovn. 6.10a a 6.10b Trvalá a dočasná	
MEZNÍ STAV POUŽITELNOSTI			
Kombinace zatížení k posouzení:	KZ435	ZS1 + ZS2 Charakteristická s přímým zatížením, k-t: 0.600, β: 0.500	
	KZ436	ZS1 + ZS2 + ZS3 Charakteristická s přímým zatížením, k-t: 0.467, β: 0.500	
	KZ437	ZS1 + ZS2 + ZS4 Charakteristická s přímým zatížením, k-t: 0.467, β: 0.500	
	KZ438	ZS1 + ZS2 + ZS5 Charakteristická s přímým zatížením, k-t: 0.467, β: 0.500	
	KZ439	ZS1 + ZS2 + ZS3 + 0.6*ZS6 Charakteristická s přímým zatížením, k-t: 0.489, β: 0.500	
	KZ440	ZS1 + ZS2 + ZS3 + 0.6*ZS7 Charakteristická s přímým zatížením, k-t: 0.489, β: 0.500	
	KZ441	ZS1 + ZS2 + ZS3 + 0.6*ZS8 Charakteristická s přímým zatížením, k-t: 0.489, β: 0.500	
	KZ442	ZS1 + ZS2 + ZS3 + 0.6*ZS9 Charakteristická s přímým zatížením, k-t: 0.489, β: 0.500	
	KZ443	ZS1 + ZS2 + ZS3 + 0.6*ZS10 Charakteristická s přímým zatížením, k-t: 0.489, β: 0.500	
	KZ444	ZS1 + ZS2 + ZS3 + 0.6*ZS11 Charakteristická s přímým zatížením, k-t: 0.489, β: 0.500	
	KZ445	ZS1 + ZS2 + ZS3 + 0.6*ZS12 Charakteristická s přímým zatížením, k-t: 0.489, β: 0.500	
	KZ446	ZS1 + ZS2 + ZS3 + 0.6*ZS13 Charakteristická s přímým zatížením, k-t: 0.489, β: 0.500	
	KZ447	ZS1 + ZS2 + ZS3 + 0.6*ZS14 Charakteristická s přímým zatížením, k-t: 0.489, β: 0.500	
	KZ448	ZS1 + ZS2 + ZS3 + 0.6*ZS15 Charakteristická s přímým zatížením, k-t: 0.489, β: 0.500	
	KZ449	ZS1 + ZS2 + ZS3 + 0.6*ZS16 Charakteristická s přímým zatížením, k-t: 0.489, β: 0.500	
	KZ450	ZS1 + ZS2 + ZS3 + 0.6*ZS17 Charakteristická s přímým zatížením, k-t: 0.489, β: 0.500	
	KZ451	ZS1 + ZS2 + ZS4 + 0.6*ZS6 Charakteristická s přímým zatížením, k-t: 0.489, β: 0.500	
	KZ452	ZS1 + ZS2 + ZS4 + 0.6*ZS7 Charakteristická s přímým zatížením, k-t: 0.489, β: 0.500	
	KZ453	ZS1 + ZS2 + ZS4 + 0.6*ZS8 Charakteristická s přímým zatížením, k-t: 0.489, β: 0.500	
	KZ454	ZS1 + ZS2 + ZS4 + 0.6*ZS9 Charakteristická s přímým zatížením, k-t: 0.489, β: 0.500	
	KZ455	ZS1 + ZS2 + ZS4 + 0.6*ZS10 Charakteristická s přímým zatížením, k-t: 0.489, β: 0.500	
	KZ456	ZS1 + ZS2 + ZS4 + 0.6*ZS11 Charakteristická s přímým zatížením, k-t: 0.489, β: 0.500	
	KZ457	ZS1 + ZS2 + ZS4 + 0.6*ZS12 Charakteristická s přímým zatížením, k-t: 0.489, β: 0.500	
	KZ458	ZS1 + ZS2 + ZS4 + 0.6*ZS13 Charakteristická s přímým zatížením, k-t: 0.489, β: 0.500	
	KZ459	ZS1 + ZS2 + ZS4 + 0.6*ZS14 Charakteristická s přímým zatížením, k-t: 0.489, β: 0.500	
	KZ460	ZS1 + ZS2 + ZS4 + 0.6*ZS15 Charakteristická s přímým zatížením, k-t: 0.489, β: 0.500	
	KZ461	ZS1 + ZS2 + ZS4 + 0.6*ZS16 Charakteristická s přímým zatížením, k-t: 0.489, β: 0.500	
	KZ462	ZS1 + ZS2 + ZS4 + 0.6*ZS17 Charakteristická s přímým zatížením, k-t: 0.489, β: 0.500	
	KZ463	ZS1 + ZS2 + ZS5 + 0.6*ZS6 Charakteristická s přímým zatížením, k-t: 0.489, β: 0.500	
	KZ464	ZS1 + ZS2 + ZS5 + 0.6*ZS7 Charakteristická s přímým zatížením, k-t: 0.489, β: 0.500	
	KZ465	ZS1 + ZS2 + ZS5 + 0.6*ZS8 Charakteristická s přímým zatížením, k-t: 0.489, β: 0.500	
	KZ466	ZS1 + ZS2 + ZS5 + 0.6*ZS9 Charakteristická s přímým zatížením, k-t: 0.489, β: 0.500	
	KZ467	ZS1 + ZS2 + ZS5 + 0.6*ZS10 Charakteristická s přímým zatížením, k-t: 0.489, β: 0.500	
	KZ468	ZS1 + ZS2 + ZS5 + 0.6*ZS11 Charakteristická s přímým zatížením, k-t: 0.489, β: 0.500	
	KZ469	ZS1 + ZS2 + ZS5 + 0.6*ZS12 Charakteristická s přímým zatížením, k-t: 0.489, β: 0.500	
	KZ470	ZS1 + ZS2 + ZS5 + 0.6*ZS13 Charakteristická s přímým zatížením, k-t: 0.489, β: 0.500	
	KZ471	ZS1 + ZS2 + ZS5 + 0.6*ZS14 Charakteristická s přímým zatížením, k-t: 0.489, β: 0.500	
	KZ472	ZS1 + ZS2 + ZS5 + 0.6*ZS15 Charakteristická s přímým zatížením, k-t: 0.489, β: 0.500	
	KZ473	ZS1 + ZS2 + ZS5 + 0.6*ZS16 Charakteristická s přímým zatížením, k-t: 0.489, β: 0.500	



Projekt:

Model: HOŘICE-KONSTRUKCE\_3D\_Budova\_redukováne ..

## 1.1 ZÁKLADNÍ ÚDAJE

KZ474	VS1 + VS2 + VS5 + 0.6*VS17 Charakteristická s přímým zatížením, k-t: 0.489, β: 0.500
KZ475	VS1 + VS2 + VS3 + 0.6*VS6 + 0.7*VS18 Charakteristická s přímým zatížením, k-t: 0.507, β: 0.500
KZ476	VS1 + VS2 + VS3 + 0.6*VS7 + 0.7*VS18 Charakteristická s přímým zatížením, k-t: 0.507, β: 0.500
KZ477	VS1 + VS2 + VS3 + 0.6*VS8 + 0.7*VS18 Charakteristická s přímým zatížením, k-t: 0.507, β: 0.500
KZ478	VS1 + VS2 + VS3 + 0.6*VS9 + 0.7*VS18 Charakteristická s přímým zatížením, k-t: 0.507, β: 0.500
KZ479	VS1 + VS2 + VS3 + 0.6*VS10 + 0.7*VS18 Charakteristická s přímým zatížením, k-t: 0.507, β: 0.500
KZ480	VS1 + VS2 + VS3 + 0.6*VS11 + 0.7*VS18 Charakteristická s přímým zatížením, k-t: 0.507, β: 0.500
KZ481	VS1 + VS2 + VS3 + 0.6*VS12 + 0.7*VS18 Charakteristická s přímým zatížením, k-t: 0.507, β: 0.500
KZ482	VS1 + VS2 + VS3 + 0.6*VS13 + 0.7*VS18 Charakteristická s přímým zatížením, k-t: 0.507, β: 0.500
KZ483	VS1 + VS2 + VS3 + 0.6*VS14 + 0.7*VS18 Charakteristická s přímým zatížením, k-t: 0.507, β: 0.500
KZ484	VS1 + VS2 + VS3 + 0.6*VS15 + 0.7*VS18 Charakteristická s přímým zatížením, k-t: 0.507, β: 0.500
KZ485	VS1 + VS2 + VS3 + 0.6*VS16 + 0.7*VS18 Charakteristická s přímým zatížením, k-t: 0.507, β: 0.500
KZ486	VS1 + VS2 + VS3 + 0.6*VS17 + 0.7*VS18 Charakteristická s přímým zatížením, k-t: 0.507, β: 0.500
KZ487	VS1 + VS2 + VS4 + 0.6*VS6 + 0.7*VS18 Charakteristická s přímým zatížením, k-t: 0.507, β: 0.500
KZ488	VS1 + VS2 + VS4 + 0.6*VS7 + 0.7*VS18 Charakteristická s přímým zatížením, k-t: 0.507, β: 0.500
KZ489	VS1 + VS2 + VS4 + 0.6*VS8 + 0.7*VS18 Charakteristická s přímým zatížením, k-t: 0.507, β: 0.500
KZ490	VS1 + VS2 + VS4 + 0.6*VS9 + 0.7*VS18 Charakteristická s přímým zatížením, k-t: 0.507, β: 0.500
KZ491	VS1 + VS2 + VS4 + 0.6*VS10 + 0.7*VS18 Charakteristická s přímým zatížením, k-t: 0.507, β: 0.500
KZ492	VS1 + VS2 + VS4 + 0.6*VS11 + 0.7*VS18 Charakteristická s přímým zatížením, k-t: 0.507, β: 0.500
KZ493	VS1 + VS2 + VS4 + 0.6*VS12 + 0.7*VS18 Charakteristická s přímým zatížením, k-t: 0.507, β: 0.500
KZ494	VS1 + VS2 + VS4 + 0.6*VS13 + 0.7*VS18 Charakteristická s přímým zatížením, k-t: 0.507, β: 0.500
KZ495	VS1 + VS2 + VS4 + 0.6*VS14 + 0.7*VS18 Charakteristická s přímým zatížením, k-t: 0.507, β: 0.500
KZ496	VS1 + VS2 + VS4 + 0.6*VS15 + 0.7*VS18 Charakteristická s přímým zatížením, k-t: 0.507, β: 0.500
KZ497	VS1 + VS2 + VS4 + 0.6*VS16 + 0.7*VS18 Charakteristická s přímým zatížením, k-t: 0.507, β: 0.500
KZ498	VS1 + VS2 + VS4 + 0.6*VS17 + 0.7*VS18 Charakteristická s přímým zatížením, k-t: 0.507, β: 0.500
KZ499	VS1 + VS2 + VS5 + 0.6*VS6 + 0.7*VS18 Charakteristická s přímým zatížením, k-t: 0.507, β: 0.500
KZ500	VS1 + VS2 + VS5 + 0.6*VS7 + 0.7*VS18 Charakteristická s přímým zatížením, k-t: 0.507, β: 0.500
KZ501	VS1 + VS2 + VS5 + 0.6*VS8 + 0.7*VS18 Charakteristická s přímým zatížením, k-t: 0.507, β: 0.500
KZ502	VS1 + VS2 + VS5 + 0.6*VS9 + 0.7*VS18 Charakteristická s přímým zatížením, k-t: 0.507, β: 0.500
KZ503	VS1 + VS2 + VS5 + 0.6*VS10 + 0.7*VS18 Charakteristická s přímým zatížením, k-t: 0.507, β: 0.500
KZ504	VS1 + VS2 + VS5 + 0.6*VS11 + 0.7*VS18 Charakteristická s přímým zatížením, k-t: 0.507, β: 0.500
KZ505	VS1 + VS2 + VS5 + 0.6*VS12 + 0.7*VS18 Charakteristická s přímým zatížením, k-t: 0.507, β: 0.500
KZ506	VS1 + VS2 + VS5 + 0.6*VS13 + 0.7*VS18 Charakteristická s přímým zatížením, k-t: 0.507, β: 0.500
KZ507	VS1 + VS2 + VS5 + 0.6*VS14 + 0.7*VS18 Charakteristická s přímým zatížením, k-t: 0.507, β: 0.500
KZ508	VS1 + VS2 + VS5 + 0.6*VS15 + 0.7*VS18 Charakteristická s přímým zatížením, k-t: 0.507, β: 0.500
KZ509	VS1 + VS2 + VS5 + 0.6*VS16 + 0.7*VS18 Charakteristická s přímým zatížením, k-t: 0.507, β: 0.500
KZ510	VS1 + VS2 + VS5 + 0.6*VS17 + 0.7*VS18 Charakteristická s přímým zatížením, k-t: 0.507, β: 0.500
KZ511	VS1 + VS2 + VS3 + 0.7*VS18 Charakteristická s přímým zatížením, k-t: 0.492, β: 0.500
KZ512	VS1 + VS2 + VS4 + 0.7*VS18 Charakteristická s přímým zatížením, k-t: 0.492, β: 0.500
KZ513	VS1 + VS2 + VS5 + 0.7*VS18 Charakteristická s přímým zatížením, k-t: 0.492, β: 0.500
KZ514	VS1 + VS2 + VS6 Charakteristická s přímým zatížením, k-t: 0.467, β: 0.500
KZ515	VS1 + VS2 + VS7 Charakteristická s přímým zatížením, k-t: 0.467, β: 0.500
KZ516	VS1 + VS2 + VS8 Charakteristická s přímým zatížením, k-t: 0.467, β: 0.500
KZ517	VS1 + VS2 + VS9 Charakteristická s přímým zatížením, k-t: 0.467, β: 0.500
KZ518	VS1 + VS2 + VS10 Charakteristická s přímým zatížením, k-t: 0.467, β: 0.500
KZ519	VS1 + VS2 + VS11 Charakteristická s přímým zatížením, k-t: 0.467, β: 0.500
KZ520	VS1 + VS2 + VS12 Charakteristická s přímým zatížením, k-t: 0.467, β: 0.500
KZ521	VS1 + VS2 + VS13 Charakteristická s přímým zatížením, k-t: 0.467, β: 0.500
KZ522	VS1 + VS2 + VS14





Projekt:

Model: HOŘICE-KONSTRUKCE\_3D\_Budova\_redukováne ..

## 1.1 ZÁKLADNÍ ÚDAJE

	Charakteristická s přímým zatížením, k-t: 0.467, $\beta$ : 0.500
KZ523	ZS1 + ZS2 + ZS15
	Charakteristická s přímým zatížením, k-t: 0.467, $\beta$ : 0.500
KZ524	ZS1 + ZS2 + ZS16
	Charakteristická s přímým zatížením, k-t: 0.467, $\beta$ : 0.500
KZ525	ZS1 + ZS2 + ZS17
	Charakteristická s přímým zatížením, k-t: 0.467, $\beta$ : 0.500
KZ526	ZS1 + ZS2 + 0.5*ZS3 + ZS6
	Charakteristická s přímým zatížením, k-t: 0.486, $\beta$ : 0.500
KZ527	ZS1 + ZS2 + 0.5*ZS3 + ZS7
	Charakteristická s přímým zatížením, k-t: 0.486, $\beta$ : 0.500
KZ528	ZS1 + ZS2 + 0.5*ZS3 + ZS8
	Charakteristická s přímým zatížením, k-t: 0.486, $\beta$ : 0.500
KZ529	ZS1 + ZS2 + 0.5*ZS3 + ZS9
	Charakteristická s přímým zatížením, k-t: 0.486, $\beta$ : 0.500
KZ530	ZS1 + ZS2 + 0.5*ZS3 + ZS10
	Charakteristická s přímým zatížením, k-t: 0.486, $\beta$ : 0.500
KZ531	ZS1 + ZS2 + 0.5*ZS3 + ZS11
	Charakteristická s přímým zatížením, k-t: 0.486, $\beta$ : 0.500
KZ532	ZS1 + ZS2 + 0.5*ZS3 + ZS12
	Charakteristická s přímým zatížením, k-t: 0.486, $\beta$ : 0.500
KZ533	ZS1 + ZS2 + 0.5*ZS3 + ZS13
	Charakteristická s přímým zatížením, k-t: 0.486, $\beta$ : 0.500
KZ534	ZS1 + ZS2 + 0.5*ZS3 + ZS14
	Charakteristická s přímým zatížením, k-t: 0.486, $\beta$ : 0.500
KZ535	ZS1 + ZS2 + 0.5*ZS3 + ZS15
	Charakteristická s přímým zatížením, k-t: 0.486, $\beta$ : 0.500
KZ536	ZS1 + ZS2 + 0.5*ZS3 + ZS16
	Charakteristická s přímým zatížením, k-t: 0.486, $\beta$ : 0.500
KZ537	ZS1 + ZS2 + 0.5*ZS3 + ZS17
	Charakteristická s přímým zatížením, k-t: 0.486, $\beta$ : 0.500
KZ538	ZS1 + ZS2 + 0.5*ZS4 + ZS6
	Charakteristická s přímým zatížením, k-t: 0.486, $\beta$ : 0.500
KZ539	ZS1 + ZS2 + 0.5*ZS4 + ZS7
	Charakteristická s přímým zatížením, k-t: 0.486, $\beta$ : 0.500
KZ540	ZS1 + ZS2 + 0.5*ZS4 + ZS8
	Charakteristická s přímým zatížením, k-t: 0.486, $\beta$ : 0.500
KZ541	ZS1 + ZS2 + 0.5*ZS4 + ZS9
	Charakteristická s přímým zatížením, k-t: 0.486, $\beta$ : 0.500
KZ542	ZS1 + ZS2 + 0.5*ZS4 + ZS10
	Charakteristická s přímým zatížením, k-t: 0.486, $\beta$ : 0.500
KZ543	ZS1 + ZS2 + 0.5*ZS4 + ZS11
	Charakteristická s přímým zatížením, k-t: 0.486, $\beta$ : 0.500
KZ544	ZS1 + ZS2 + 0.5*ZS4 + ZS12
	Charakteristická s přímým zatížením, k-t: 0.486, $\beta$ : 0.500
KZ545	ZS1 + ZS2 + 0.5*ZS4 + ZS13
	Charakteristická s přímým zatížením, k-t: 0.486, $\beta$ : 0.500
KZ546	ZS1 + ZS2 + 0.5*ZS4 + ZS14
	Charakteristická s přímým zatížením, k-t: 0.486, $\beta$ : 0.500
KZ547	ZS1 + ZS2 + 0.5*ZS4 + ZS15
	Charakteristická s přímým zatížením, k-t: 0.486, $\beta$ : 0.500
KZ548	ZS1 + ZS2 + 0.5*ZS4 + ZS16
	Charakteristická s přímým zatížením, k-t: 0.486, $\beta$ : 0.500
KZ549	ZS1 + ZS2 + 0.5*ZS4 + ZS17
	Charakteristická s přímým zatížením, k-t: 0.486, $\beta$ : 0.500
KZ550	ZS1 + ZS2 + 0.5*ZS5 + ZS6
	Charakteristická s přímým zatížením, k-t: 0.486, $\beta$ : 0.500
KZ551	ZS1 + ZS2 + 0.5*ZS5 + ZS7
	Charakteristická s přímým zatížením, k-t: 0.486, $\beta$ : 0.500
KZ552	ZS1 + ZS2 + 0.5*ZS5 + ZS8
	Charakteristická s přímým zatížením, k-t: 0.486, $\beta$ : 0.500
KZ553	ZS1 + ZS2 + 0.5*ZS5 + ZS9
	Charakteristická s přímým zatížením, k-t: 0.486, $\beta$ : 0.500
KZ554	ZS1 + ZS2 + 0.5*ZS5 + ZS10
	Charakteristická s přímým zatížením, k-t: 0.486, $\beta$ : 0.500
KZ555	ZS1 + ZS2 + 0.5*ZS5 + ZS11
	Charakteristická s přímým zatížením, k-t: 0.486, $\beta$ : 0.500
KZ556	ZS1 + ZS2 + 0.5*ZS5 + ZS12
	Charakteristická s přímým zatížením, k-t: 0.486, $\beta$ : 0.500
KZ557	ZS1 + ZS2 + 0.5*ZS5 + ZS13
	Charakteristická s přímým zatížením, k-t: 0.486, $\beta$ : 0.500
KZ558	ZS1 + ZS2 + 0.5*ZS5 + ZS14
	Charakteristická s přímým zatížením, k-t: 0.486, $\beta$ : 0.500
KZ559	ZS1 + ZS2 + 0.5*ZS5 + ZS15
	Charakteristická s přímým zatížením, k-t: 0.486, $\beta$ : 0.500
KZ560	ZS1 + ZS2 + 0.5*ZS5 + ZS16
	Charakteristická s přímým zatížením, k-t: 0.486, $\beta$ : 0.500
KZ561	ZS1 + ZS2 + 0.5*ZS5 + ZS17
	Charakteristická s přímým zatížením, k-t: 0.486, $\beta$ : 0.500
KZ562	ZS1 + ZS2 + 0.5*ZS3 + ZS6 + 0.7*ZS18
	Charakteristická s přímým zatížením, k-t: 0.505, $\beta$ : 0.500
KZ563	ZS1 + ZS2 + 0.5*ZS3 + ZS7 + 0.7*ZS18
	Charakteristická s přímým zatížením, k-t: 0.505, $\beta$ : 0.500
KZ564	ZS1 + ZS2 + 0.5*ZS3 + ZS8 + 0.7*ZS18
	Charakteristická s přímým zatížením, k-t: 0.505, $\beta$ : 0.500
KZ565	ZS1 + ZS2 + 0.5*ZS3 + ZS9 + 0.7*ZS18
	Charakteristická s přímým zatížením, k-t: 0.505, $\beta$ : 0.500
KZ566	ZS1 + ZS2 + 0.5*ZS3 + ZS10 + 0.7*ZS18
	Charakteristická s přímým zatížením, k-t: 0.505, $\beta$ : 0.500
KZ567	ZS1 + ZS2 + 0.5*ZS3 + ZS11 + 0.7*ZS18
	Charakteristická s přímým zatížením, k-t: 0.505, $\beta$ : 0.500
KZ568	ZS1 + ZS2 + 0.5*ZS3 + ZS12 + 0.7*ZS18
	Charakteristická s přímým zatížením, k-t: 0.505, $\beta$ : 0.500
KZ569	ZS1 + ZS2 + 0.5*ZS3 + ZS13 + 0.7*ZS18
	Charakteristická s přímým zatížením, k-t: 0.505, $\beta$ : 0.500
KZ570	ZS1 + ZS2 + 0.5*ZS3 + ZS14 + 0.7*ZS18
	Charakteristická s přímým zatížením, k-t: 0.505, $\beta$ : 0.500



Projekt:

Model: HOŘICE-KONSTRUKCE\_3D\_Budova\_redukované ..

## 1.1 ZÁKLADNÍ ÚDAJE

KZ571	VS1 + VS2 + 0.5*VS3 + VS15 + 0.7*VS18 Charakteristická s přímým zatížením, k-t: 0.505, β: 0.500
KZ572	VS1 + VS2 + 0.5*VS3 + VS16 + 0.7*VS18 Charakteristická s přímým zatížením, k-t: 0.505, β: 0.500
KZ573	VS1 + VS2 + 0.5*VS3 + VS17 + 0.7*VS18 Charakteristická s přímým zatížením, k-t: 0.505, β: 0.500
KZ574	VS1 + VS2 + 0.5*VS4 + VS6 + 0.7*VS18 Charakteristická s přímým zatížením, k-t: 0.505, β: 0.500
KZ575	VS1 + VS2 + 0.5*VS4 + VS7 + 0.7*VS18 Charakteristická s přímým zatížením, k-t: 0.505, β: 0.500
KZ576	VS1 + VS2 + 0.5*VS4 + VS8 + 0.7*VS18 Charakteristická s přímým zatížením, k-t: 0.505, β: 0.500
KZ577	VS1 + VS2 + 0.5*VS4 + VS9 + 0.7*VS18 Charakteristická s přímým zatížením, k-t: 0.505, β: 0.500
KZ578	VS1 + VS2 + 0.5*VS4 + VS10 + 0.7*VS18 Charakteristická s přímým zatížením, k-t: 0.505, β: 0.500
KZ579	VS1 + VS2 + 0.5*VS4 + VS11 + 0.7*VS18 Charakteristická s přímým zatížením, k-t: 0.505, β: 0.500
KZ580	VS1 + VS2 + 0.5*VS4 + VS12 + 0.7*VS18 Charakteristická s přímým zatížením, k-t: 0.505, β: 0.500
KZ581	VS1 + VS2 + 0.5*VS4 + VS13 + 0.7*VS18 Charakteristická s přímým zatížením, k-t: 0.505, β: 0.500
KZ582	VS1 + VS2 + 0.5*VS4 + VS14 + 0.7*VS18 Charakteristická s přímým zatížením, k-t: 0.505, β: 0.500
KZ583	VS1 + VS2 + 0.5*VS4 + VS15 + 0.7*VS18 Charakteristická s přímým zatížením, k-t: 0.505, β: 0.500
KZ584	VS1 + VS2 + 0.5*VS4 + VS16 + 0.7*VS18 Charakteristická s přímým zatížením, k-t: 0.505, β: 0.500
KZ585	VS1 + VS2 + 0.5*VS4 + VS17 + 0.7*VS18 Charakteristická s přímým zatížením, k-t: 0.505, β: 0.500
KZ586	VS1 + VS2 + 0.5*VS5 + VS6 + 0.7*VS18 Charakteristická s přímým zatížením, k-t: 0.505, β: 0.500
KZ587	VS1 + VS2 + 0.5*VS5 + VS7 + 0.7*VS18 Charakteristická s přímým zatížením, k-t: 0.505, β: 0.500
KZ588	VS1 + VS2 + 0.5*VS5 + VS8 + 0.7*VS18 Charakteristická s přímým zatížením, k-t: 0.505, β: 0.500
KZ589	VS1 + VS2 + 0.5*VS5 + VS9 + 0.7*VS18 Charakteristická s přímým zatížením, k-t: 0.505, β: 0.500
KZ590	VS1 + VS2 + 0.5*VS5 + VS10 + 0.7*VS18 Charakteristická s přímým zatížením, k-t: 0.505, β: 0.500
KZ591	VS1 + VS2 + 0.5*VS5 + VS11 + 0.7*VS18 Charakteristická s přímým zatížením, k-t: 0.505, β: 0.500
KZ592	VS1 + VS2 + 0.5*VS5 + VS12 + 0.7*VS18 Charakteristická s přímým zatížením, k-t: 0.505, β: 0.500
KZ593	VS1 + VS2 + 0.5*VS5 + VS13 + 0.7*VS18 Charakteristická s přímým zatížením, k-t: 0.505, β: 0.500
KZ594	VS1 + VS2 + 0.5*VS5 + VS14 + 0.7*VS18 Charakteristická s přímým zatížením, k-t: 0.505, β: 0.500
KZ595	VS1 + VS2 + 0.5*VS5 + VS15 + 0.7*VS18 Charakteristická s přímým zatížením, k-t: 0.505, β: 0.500
KZ596	VS1 + VS2 + 0.5*VS5 + VS16 + 0.7*VS18 Charakteristická s přímým zatížením, k-t: 0.505, β: 0.500
KZ597	VS1 + VS2 + 0.5*VS5 + VS17 + 0.7*VS18 Charakteristická s přímým zatížením, k-t: 0.505, β: 0.500
KZ598	VS1 + VS2 + VS6 + 0.7*VS18 Charakteristická s přímým zatížením, k-t: 0.492, β: 0.500
KZ599	VS1 + VS2 + VS7 + 0.7*VS18 Charakteristická s přímým zatížením, k-t: 0.492, β: 0.500
KZ600	VS1 + VS2 + VS8 + 0.7*VS18 Charakteristická s přímým zatížením, k-t: 0.492, β: 0.500
KZ601	VS1 + VS2 + VS9 + 0.7*VS18 Charakteristická s přímým zatížením, k-t: 0.492, β: 0.500
KZ602	VS1 + VS2 + VS10 + 0.7*VS18 Charakteristická s přímým zatížením, k-t: 0.492, β: 0.500
KZ603	VS1 + VS2 + VS11 + 0.7*VS18 Charakteristická s přímým zatížením, k-t: 0.492, β: 0.500
KZ604	VS1 + VS2 + VS12 + 0.7*VS18 Charakteristická s přímým zatížením, k-t: 0.492, β: 0.500
KZ605	VS1 + VS2 + VS13 + 0.7*VS18 Charakteristická s přímým zatížením, k-t: 0.492, β: 0.500
KZ606	VS1 + VS2 + VS14 + 0.7*VS18 Charakteristická s přímým zatížením, k-t: 0.492, β: 0.500
KZ607	VS1 + VS2 + VS15 + 0.7*VS18 Charakteristická s přímým zatížením, k-t: 0.492, β: 0.500
KZ608	VS1 + VS2 + VS16 + 0.7*VS18 Charakteristická s přímým zatížením, k-t: 0.492, β: 0.500
KZ609	VS1 + VS2 + VS17 + 0.7*VS18 Charakteristická s přímým zatížením, k-t: 0.492, β: 0.500
KZ610	VS1 + VS2 + VS18 Charakteristická s přímým zatížením, k-t: 0.467, β: 0.500
KZ611	VS1 + VS2 + 0.5*VS3 + VS18 Charakteristická s přímým zatížením, k-t: 0.486, β: 0.500
KZ612	VS1 + VS2 + 0.5*VS4 + VS18 Charakteristická s přímým zatížením, k-t: 0.486, β: 0.500
KZ613	VS1 + VS2 + 0.5*VS5 + VS18 Charakteristická s přímým zatížením, k-t: 0.486, β: 0.500
KZ614	VS1 + VS2 + 0.5*VS3 + 0.6*VS6 + VS18 Charakteristická s přímým zatížením, k-t: 0.502, β: 0.500
KZ615	VS1 + VS2 + 0.5*VS3 + 0.6*VS7 + VS18 Charakteristická s přímým zatížením, k-t: 0.502, β: 0.500
KZ616	VS1 + VS2 + 0.5*VS3 + 0.6*VS8 + VS18 Charakteristická s přímým zatížením, k-t: 0.502, β: 0.500
KZ617	VS1 + VS2 + 0.5*VS3 + 0.6*VS9 + VS18 Charakteristická s přímým zatížením, k-t: 0.502, β: 0.500
KZ618	VS1 + VS2 + 0.5*VS3 + 0.6*VS10 + VS18 Charakteristická s přímým zatížením, k-t: 0.502, β: 0.500
KZ619	VS1 + VS2 + 0.5*VS3 + 0.6*VS11 + VS18



Projekt:

Model: HOŘICE-KONSTRUKCE\_3D\_Budova\_redukováné ..

## 1.1 ZÁKLADNÍ ÚDAJE

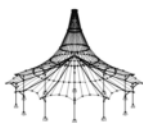
	Charakteristická s přímým zatížením, k-t: 0.502, $\beta$ : 0.500
KZ620	ZS1 + ZS2 + 0.5*ZS3 + 0.6*ZS12 + ZS18
	Charakteristická s přímým zatížením, k-t: 0.502, $\beta$ : 0.500
KZ621	ZS1 + ZS2 + 0.5*ZS3 + 0.6*ZS13 + ZS18
	Charakteristická s přímým zatížením, k-t: 0.502, $\beta$ : 0.500
KZ622	ZS1 + ZS2 + 0.5*ZS3 + 0.6*ZS14 + ZS18
	Charakteristická s přímým zatížením, k-t: 0.502, $\beta$ : 0.500
KZ623	ZS1 + ZS2 + 0.5*ZS3 + 0.6*ZS15 + ZS18
	Charakteristická s přímým zatížením, k-t: 0.502, $\beta$ : 0.500
KZ624	ZS1 + ZS2 + 0.5*ZS3 + 0.6*ZS16 + ZS18
	Charakteristická s přímým zatížením, k-t: 0.502, $\beta$ : 0.500
KZ625	ZS1 + ZS2 + 0.5*ZS3 + 0.6*ZS17 + ZS18
	Charakteristická s přímým zatížením, k-t: 0.502, $\beta$ : 0.500
KZ626	ZS1 + ZS2 + 0.5*ZS4 + 0.6*ZS6 + ZS18
	Charakteristická s přímým zatížením, k-t: 0.502, $\beta$ : 0.500
KZ627	ZS1 + ZS2 + 0.5*ZS4 + 0.6*ZS7 + ZS18
	Charakteristická s přímým zatížením, k-t: 0.502, $\beta$ : 0.500
KZ628	ZS1 + ZS2 + 0.5*ZS4 + 0.6*ZS8 + ZS18
	Charakteristická s přímým zatížením, k-t: 0.502, $\beta$ : 0.500
KZ629	ZS1 + ZS2 + 0.5*ZS4 + 0.6*ZS9 + ZS18
	Charakteristická s přímým zatížením, k-t: 0.502, $\beta$ : 0.500
KZ630	ZS1 + ZS2 + 0.5*ZS4 + 0.6*ZS10 + ZS18
	Charakteristická s přímým zatížením, k-t: 0.502, $\beta$ : 0.500
KZ631	ZS1 + ZS2 + 0.5*ZS4 + 0.6*ZS11 + ZS18
	Charakteristická s přímým zatížením, k-t: 0.502, $\beta$ : 0.500
KZ632	ZS1 + ZS2 + 0.5*ZS4 + 0.6*ZS12 + ZS18
	Charakteristická s přímým zatížením, k-t: 0.502, $\beta$ : 0.500
KZ633	ZS1 + ZS2 + 0.5*ZS4 + 0.6*ZS13 + ZS18
	Charakteristická s přímým zatížením, k-t: 0.502, $\beta$ : 0.500
KZ634	ZS1 + ZS2 + 0.5*ZS4 + 0.6*ZS14 + ZS18
	Charakteristická s přímým zatížením, k-t: 0.502, $\beta$ : 0.500
KZ635	ZS1 + ZS2 + 0.5*ZS4 + 0.6*ZS15 + ZS18
	Charakteristická s přímým zatížením, k-t: 0.502, $\beta$ : 0.500
KZ636	ZS1 + ZS2 + 0.5*ZS4 + 0.6*ZS16 + ZS18
	Charakteristická s přímým zatížením, k-t: 0.502, $\beta$ : 0.500
KZ637	ZS1 + ZS2 + 0.5*ZS4 + 0.6*ZS17 + ZS18
	Charakteristická s přímým zatížením, k-t: 0.502, $\beta$ : 0.500
KZ638	ZS1 + ZS2 + 0.5*ZS5 + 0.6*ZS6 + ZS18
	Charakteristická s přímým zatížením, k-t: 0.502, $\beta$ : 0.500
KZ639	ZS1 + ZS2 + 0.5*ZS5 + 0.6*ZS7 + ZS18
	Charakteristická s přímým zatížením, k-t: 0.502, $\beta$ : 0.500
KZ640	ZS1 + ZS2 + 0.5*ZS5 + 0.6*ZS8 + ZS18
	Charakteristická s přímým zatížením, k-t: 0.502, $\beta$ : 0.500
KZ641	ZS1 + ZS2 + 0.5*ZS5 + 0.6*ZS9 + ZS18
	Charakteristická s přímým zatížením, k-t: 0.502, $\beta$ : 0.500
KZ642	ZS1 + ZS2 + 0.5*ZS5 + 0.6*ZS10 + ZS18
	Charakteristická s přímým zatížením, k-t: 0.502, $\beta$ : 0.500
KZ643	ZS1 + ZS2 + 0.5*ZS5 + 0.6*ZS11 + ZS18
	Charakteristická s přímým zatížením, k-t: 0.502, $\beta$ : 0.500
KZ644	ZS1 + ZS2 + 0.5*ZS5 + 0.6*ZS12 + ZS18
	Charakteristická s přímým zatížením, k-t: 0.502, $\beta$ : 0.500
KZ645	ZS1 + ZS2 + 0.5*ZS5 + 0.6*ZS13 + ZS18
	Charakteristická s přímým zatížením, k-t: 0.502, $\beta$ : 0.500
KZ646	ZS1 + ZS2 + 0.5*ZS5 + 0.6*ZS14 + ZS18
	Charakteristická s přímým zatížením, k-t: 0.502, $\beta$ : 0.500
KZ647	ZS1 + ZS2 + 0.5*ZS5 + 0.6*ZS15 + ZS18
	Charakteristická s přímým zatížením, k-t: 0.502, $\beta$ : 0.500
KZ648	ZS1 + ZS2 + 0.5*ZS5 + 0.6*ZS16 + ZS18
	Charakteristická s přímým zatížením, k-t: 0.502, $\beta$ : 0.500
KZ649	ZS1 + ZS2 + 0.5*ZS5 + 0.6*ZS17 + ZS18
	Charakteristická s přímým zatížením, k-t: 0.502, $\beta$ : 0.500
KZ650	ZS1 + ZS2 + 0.6*ZS6 + ZS18
	Charakteristická s přímým zatížením, k-t: 0.489, $\beta$ : 0.500
KZ651	ZS1 + ZS2 + 0.6*ZS7 + ZS18
	Charakteristická s přímým zatížením, k-t: 0.489, $\beta$ : 0.500
KZ652	ZS1 + ZS2 + 0.6*ZS8 + ZS18
	Charakteristická s přímým zatížením, k-t: 0.489, $\beta$ : 0.500
KZ653	ZS1 + ZS2 + 0.6*ZS9 + ZS18
	Charakteristická s přímým zatížením, k-t: 0.489, $\beta$ : 0.500
KZ654	ZS1 + ZS2 + 0.6*ZS10 + ZS18
	Charakteristická s přímým zatížením, k-t: 0.489, $\beta$ : 0.500
KZ655	ZS1 + ZS2 + 0.6*ZS11 + ZS18
	Charakteristická s přímým zatížením, k-t: 0.489, $\beta$ : 0.500
KZ656	ZS1 + ZS2 + 0.6*ZS12 + ZS18
	Charakteristická s přímým zatížením, k-t: 0.489, $\beta$ : 0.500
KZ657	ZS1 + ZS2 + 0.6*ZS13 + ZS18
	Charakteristická s přímým zatížením, k-t: 0.489, $\beta$ : 0.500
KZ658	ZS1 + ZS2 + 0.6*ZS14 + ZS18
	Charakteristická s přímým zatížením, k-t: 0.489, $\beta$ : 0.500
KZ659	ZS1 + ZS2 + 0.6*ZS15 + ZS18
	Charakteristická s přímým zatížením, k-t: 0.489, $\beta$ : 0.500
KZ660	ZS1 + ZS2 + 0.6*ZS16 + ZS18
	Charakteristická s přímým zatížením, k-t: 0.489, $\beta$ : 0.500
KZ661	ZS1 + ZS2 + 0.6*ZS17 + ZS18
	Charakteristická s přímým zatížením, k-t: 0.489, $\beta$ : 0.500
KZ662	ZS1 + ZS2 + ZS25
	Charakteristická s přímým zatížením, k-t: 0.467, $\beta$ : 0.500
KZ663	ZS1 + ZS2 + 0.5*ZS3 + ZS25
	Charakteristická s přímým zatížením, k-t: 0.486, $\beta$ : 0.500
KZ664	ZS1 + ZS2 + 0.5*ZS4 + ZS25
	Charakteristická s přímým zatížením, k-t: 0.486, $\beta$ : 0.500
KZ665	ZS1 + ZS2 + 0.5*ZS5 + ZS25
	Charakteristická s přímým zatížením, k-t: 0.486, $\beta$ : 0.500
KZ666	ZS1 + ZS2 + 0.5*ZS3 + 0.6*ZS6 + ZS25
	Charakteristická s přímým zatížením, k-t: 0.502, $\beta$ : 0.500
KZ667	ZS1 + ZS2 + 0.5*ZS3 + 0.6*ZS7 + ZS25
	Charakteristická s přímým zatížením, k-t: 0.502, $\beta$ : 0.500

Projekt:

Model: HOŘICE-KONSTRUKCE 3D Budova redukované...

## ■ 1.1 ZÁKLADNÍ ÚDAJE

[illegible]



Projekt:

Model: HOŘICE-KONSTRUKCE\_3D\_Budova\_redukováné ..

## 1.1 ZÁKLADNÍ ÚDAJE

	Charakteristická s přímým zatížením, k-t: 0.517, $\beta$ : 0.500
KZ717	ZS1 + ZS2 + 0.5*ZS4 + 0.6*ZS9 + 0.7*ZS18 + ZS25
	Charakteristická s přímým zatížením, k-t: 0.517, $\beta$ : 0.500
KZ718	ZS1 + ZS2 + 0.5*ZS4 + 0.6*ZS10 + 0.7*ZS18 + ZS25
	Charakteristická s přímým zatížením, k-t: 0.517, $\beta$ : 0.500
KZ719	ZS1 + ZS2 + 0.5*ZS4 + 0.6*ZS11 + 0.7*ZS18 + ZS25
	Charakteristická s přímým zatížením, k-t: 0.517, $\beta$ : 0.500
KZ720	ZS1 + ZS2 + 0.5*ZS4 + 0.6*ZS12 + 0.7*ZS18 + ZS25
	Charakteristická s přímým zatížením, k-t: 0.517, $\beta$ : 0.500
KZ721	ZS1 + ZS2 + 0.5*ZS4 + 0.6*ZS13 + 0.7*ZS18 + ZS25
	Charakteristická s přímým zatížením, k-t: 0.517, $\beta$ : 0.500
KZ722	ZS1 + ZS2 + 0.5*ZS4 + 0.6*ZS14 + 0.7*ZS18 + ZS25
	Charakteristická s přímým zatížením, k-t: 0.517, $\beta$ : 0.500
KZ723	ZS1 + ZS2 + 0.5*ZS4 + 0.6*ZS15 + 0.7*ZS18 + ZS25
	Charakteristická s přímým zatížením, k-t: 0.517, $\beta$ : 0.500
KZ724	ZS1 + ZS2 + 0.5*ZS4 + 0.6*ZS16 + 0.7*ZS18 + ZS25
	Charakteristická s přímým zatížením, k-t: 0.517, $\beta$ : 0.500
KZ725	ZS1 + ZS2 + 0.5*ZS4 + 0.6*ZS17 + 0.7*ZS18 + ZS25
	Charakteristická s přímým zatížením, k-t: 0.517, $\beta$ : 0.500
KZ726	ZS1 + ZS2 + 0.5*ZS5 + 0.6*ZS6 + 0.7*ZS18 + ZS25
	Charakteristická s přímým zatížením, k-t: 0.517, $\beta$ : 0.500
KZ727	ZS1 + ZS2 + 0.5*ZS5 + 0.6*ZS7 + 0.7*ZS18 + ZS25
	Charakteristická s přímým zatížením, k-t: 0.517, $\beta$ : 0.500
KZ728	ZS1 + ZS2 + 0.5*ZS5 + 0.6*ZS8 + 0.7*ZS18 + ZS25
	Charakteristická s přímým zatížením, k-t: 0.517, $\beta$ : 0.500
KZ729	ZS1 + ZS2 + 0.5*ZS5 + 0.6*ZS9 + 0.7*ZS18 + ZS25
	Charakteristická s přímým zatížením, k-t: 0.517, $\beta$ : 0.500
KZ730	ZS1 + ZS2 + 0.5*ZS5 + 0.6*ZS10 + 0.7*ZS18 + ZS25
	Charakteristická s přímým zatížením, k-t: 0.517, $\beta$ : 0.500
KZ731	ZS1 + ZS2 + 0.5*ZS5 + 0.6*ZS11 + 0.7*ZS18 + ZS25
	Charakteristická s přímým zatížením, k-t: 0.517, $\beta$ : 0.500
KZ732	ZS1 + ZS2 + 0.5*ZS5 + 0.6*ZS12 + 0.7*ZS18 + ZS25
	Charakteristická s přímým zatížením, k-t: 0.517, $\beta$ : 0.500
KZ733	ZS1 + ZS2 + 0.5*ZS5 + 0.6*ZS13 + 0.7*ZS18 + ZS25
	Charakteristická s přímým zatížením, k-t: 0.517, $\beta$ : 0.500
KZ734	ZS1 + ZS2 + 0.5*ZS5 + 0.6*ZS14 + 0.7*ZS18 + ZS25
	Charakteristická s přímým zatížením, k-t: 0.517, $\beta$ : 0.500
KZ735	ZS1 + ZS2 + 0.5*ZS5 + 0.6*ZS15 + 0.7*ZS18 + ZS25
	Charakteristická s přímým zatížením, k-t: 0.517, $\beta$ : 0.500
KZ736	ZS1 + ZS2 + 0.5*ZS5 + 0.6*ZS16 + 0.7*ZS18 + ZS25
	Charakteristická s přímým zatížením, k-t: 0.517, $\beta$ : 0.500
KZ737	ZS1 + ZS2 + 0.5*ZS5 + 0.6*ZS17 + 0.7*ZS18 + ZS25
	Charakteristická s přímým zatížením, k-t: 0.517, $\beta$ : 0.500
KZ738	ZS1 + ZS2 + 0.5*ZS3 + 0.7*ZS18 + ZS25
	Charakteristická s přímým zatížením, k-t: 0.505, $\beta$ : 0.500
KZ739	ZS1 + ZS2 + 0.5*ZS4 + 0.7*ZS18 + ZS25
	Charakteristická s přímým zatížením, k-t: 0.505, $\beta$ : 0.500
KZ740	ZS1 + ZS2 + 0.5*ZS5 + 0.7*ZS18 + ZS25
	Charakteristická s přímým zatížením, k-t: 0.505, $\beta$ : 0.500
KZ741	ZS1 + ZS2 + 0.6*ZS6 + ZS25
	Charakteristická s přímým zatížením, k-t: 0.489, $\beta$ : 0.500
KZ742	ZS1 + ZS2 + 0.6*ZS7 + ZS25
	Charakteristická s přímým zatížením, k-t: 0.489, $\beta$ : 0.500
KZ743	ZS1 + ZS2 + 0.6*ZS8 + ZS25
	Charakteristická s přímým zatížením, k-t: 0.489, $\beta$ : 0.500
KZ744	ZS1 + ZS2 + 0.6*ZS9 + ZS25
	Charakteristická s přímým zatížením, k-t: 0.489, $\beta$ : 0.500
KZ745	ZS1 + ZS2 + 0.6*ZS10 + ZS25
	Charakteristická s přímým zatížením, k-t: 0.489, $\beta$ : 0.500
KZ746	ZS1 + ZS2 + 0.6*ZS11 + ZS25
	Charakteristická s přímým zatížením, k-t: 0.489, $\beta$ : 0.500
KZ747	ZS1 + ZS2 + 0.6*ZS12 + ZS25
	Charakteristická s přímým zatížením, k-t: 0.489, $\beta$ : 0.500
KZ748	ZS1 + ZS2 + 0.6*ZS13 + ZS25
	Charakteristická s přímým zatížením, k-t: 0.489, $\beta$ : 0.500
KZ749	ZS1 + ZS2 + 0.6*ZS14 + ZS25
	Charakteristická s přímým zatížením, k-t: 0.489, $\beta$ : 0.500
KZ750	ZS1 + ZS2 + 0.6*ZS15 + ZS25
	Charakteristická s přímým zatížením, k-t: 0.489, $\beta$ : 0.500
KZ751	ZS1 + ZS2 + 0.6*ZS16 + ZS25
	Charakteristická s přímým zatížením, k-t: 0.489, $\beta$ : 0.500
KZ752	ZS1 + ZS2 + 0.6*ZS17 + ZS25
	Charakteristická s přímým zatížením, k-t: 0.489, $\beta$ : 0.500
KZ753	ZS1 + ZS2 + 0.6*ZS6 + 0.7*ZS18 + ZS25
	Charakteristická s přímým zatížením, k-t: 0.507, $\beta$ : 0.500
KZ754	ZS1 + ZS2 + 0.6*ZS7 + 0.7*ZS18 + ZS25
	Charakteristická s přímým zatížením, k-t: 0.507, $\beta$ : 0.500
KZ755	ZS1 + ZS2 + 0.6*ZS8 + 0.7*ZS18 + ZS25
	Charakteristická s přímým zatížením, k-t: 0.507, $\beta$ : 0.500
KZ756	ZS1 + ZS2 + 0.6*ZS9 + 0.7*ZS18 + ZS25
	Charakteristická s přímým zatížením, k-t: 0.507, $\beta$ : 0.500
KZ757	ZS1 + ZS2 + 0.6*ZS10 + 0.7*ZS18 + ZS25
	Charakteristická s přímým zatížením, k-t: 0.507, $\beta$ : 0.500
KZ758	ZS1 + ZS2 + 0.6*ZS11 + 0.7*ZS18 + ZS25
	Charakteristická s přímým zatížením, k-t: 0.507, $\beta$ : 0.500
KZ759	ZS1 + ZS2 + 0.6*ZS12 + 0.7*ZS18 + ZS25
	Charakteristická s přímým zatížením, k-t: 0.507, $\beta$ : 0.500
KZ760	ZS1 + ZS2 + 0.6*ZS13 + 0.7*ZS18 + ZS25
	Charakteristická s přímým zatížením, k-t: 0.507, $\beta$ : 0.500
KZ761	ZS1 + ZS2 + 0.6*ZS14 + 0.7*ZS18 + ZS25
	Charakteristická s přímým zatížením, k-t: 0.507, $\beta$ : 0.500
KZ762	ZS1 + ZS2 + 0.6*ZS15 + 0.7*ZS18 + ZS25
	Charakteristická s přímým zatížením, k-t: 0.507, $\beta$ : 0.500
KZ763	ZS1 + ZS2 + 0.6*ZS16 + 0.7*ZS18 + ZS25
	Charakteristická s přímým zatížením, k-t: 0.507, $\beta$ : 0.500
KZ764	ZS1 + ZS2 + 0.6*ZS17 + 0.7*ZS18 + ZS25
	Charakteristická s přímým zatížením, k-t: 0.507, $\beta$ : 0.500



Projekt: Model: HOŘICE-KONSTRUKCE\_3D\_Budova\_redukované ..

## 1.1 ZÁKLADNÍ ÚDAJE

KZ765	ZS1 + ZS2 + 0.7*ZS18 + ZS25
	Charakteristická s přímým zatížením, k-t: 0.492, β: 0.500
KZ766	ZS1 + ZS2
	Kvazistálá, k-t: 0.400, β: 0.500
KZ767	ZS1 + ZS2 + 0.6*ZS18
	Kvazistálá, k-t: 0.446, β: 0.500
Nastavení návrhové situace pro posouzení mezního stavu použitelnosti	
Kombinace zatížení:	
Charakteristická s přímým zatížením	Posouzení: $k_1 \cdot f_{ck}$ , $k_3 \cdot f_{yk}$
Charakteristická s vneseným přetvořením	Posouzení: $k_1 \cdot f_{ck}$ , $k_4 \cdot f_{yk}$
Častá	Posouzení: $w_k$
Kvazistálá	Posouzení: $k_2 \cdot f_{ck}$ , $w_k$ , $u_l$
Deformaci vztáhnout na:	
Nedeformovaný systém	

## 1.2 MATERIÁLY

Mat. č.	Označení materiálu		Komentář
	Třída pevnosti betonu	Výztužná ocel	
4	Beton C35/45	B 500 S (A)	

## 1.3 PRŮŘEZY

Průřez č.	Mat. č.	Označení průřezu	Upozornění	Komentář
3	4	Obdélník 200/400		lfcRectangleProfileDef

## 1.5 PODPORY

Podpora č.	Uzel č.	Šířka podpory b [mm]	Přímé Podpora	Monolitické spojení	Koncová Podpora	Komentář
1	489	0.0	<input checked="" type="checkbox"/>	<input type="checkbox"/>	<input type="checkbox"/>	
2	491	0.0	<input checked="" type="checkbox"/>	<input type="checkbox"/>	<input type="checkbox"/>	
3	493	0.0	<input checked="" type="checkbox"/>	<input type="checkbox"/>	<input type="checkbox"/>	
4	495	0.0	<input checked="" type="checkbox"/>	<input type="checkbox"/>	<input type="checkbox"/>	
5	500	0.0	<input checked="" type="checkbox"/>	<input type="checkbox"/>	<input type="checkbox"/>	
6	503	0.0	<input checked="" type="checkbox"/>	<input type="checkbox"/>	<input type="checkbox"/>	
7	506	0.0	<input checked="" type="checkbox"/>	<input type="checkbox"/>	<input type="checkbox"/>	
8	509	0.0	<input checked="" type="checkbox"/>	<input type="checkbox"/>	<input type="checkbox"/>	
9	512	0.0	<input checked="" type="checkbox"/>	<input type="checkbox"/>	<input type="checkbox"/>	
10	518	0.0	<input checked="" type="checkbox"/>	<input type="checkbox"/>	<input type="checkbox"/>	
11	521	0.0	<input checked="" type="checkbox"/>	<input type="checkbox"/>	<input type="checkbox"/>	
12	560	0.0	<input checked="" type="checkbox"/>	<input type="checkbox"/>	<input type="checkbox"/>	
13	563	0.0	<input checked="" type="checkbox"/>	<input type="checkbox"/>	<input type="checkbox"/>	
14	566	0.0	<input checked="" type="checkbox"/>	<input type="checkbox"/>	<input type="checkbox"/>	
15	568	0.0	<input checked="" type="checkbox"/>	<input type="checkbox"/>	<input type="checkbox"/>	
16	570	0.0	<input checked="" type="checkbox"/>	<input type="checkbox"/>	<input type="checkbox"/>	
17	572	0.0	<input checked="" type="checkbox"/>	<input type="checkbox"/>	<input type="checkbox"/>	
18	576	0.0	<input checked="" type="checkbox"/>	<input type="checkbox"/>	<input type="checkbox"/>	
19	662	0.0	<input checked="" type="checkbox"/>	<input type="checkbox"/>	<input type="checkbox"/>	
20	664	0.0	<input checked="" type="checkbox"/>	<input type="checkbox"/>	<input type="checkbox"/>	
21	667	0.0	<input checked="" type="checkbox"/>	<input type="checkbox"/>	<input type="checkbox"/>	
22	670	0.0	<input checked="" type="checkbox"/>	<input type="checkbox"/>	<input type="checkbox"/>	
23	673	0.0	<input checked="" type="checkbox"/>	<input type="checkbox"/>	<input type="checkbox"/>	
24	676	0.0	<input checked="" type="checkbox"/>	<input type="checkbox"/>	<input type="checkbox"/>	
25	679	0.0	<input checked="" type="checkbox"/>	<input type="checkbox"/>	<input type="checkbox"/>	
26	685	0.0	<input checked="" type="checkbox"/>	<input type="checkbox"/>	<input type="checkbox"/>	
27	695	0.0	<input checked="" type="checkbox"/>	<input type="checkbox"/>	<input type="checkbox"/>	
28	697	0.0	<input checked="" type="checkbox"/>	<input type="checkbox"/>	<input type="checkbox"/>	
29	700	0.0	<input checked="" type="checkbox"/>	<input type="checkbox"/>	<input type="checkbox"/>	

### NASTAVENÍ

- ☐ Zohlednění limitované redistribuce podporových momentů  
☐ Redukce momentů resp. dimenzování pro momenty v lici monolitické podpory  
☒ Redukce posouvajících sil v oblasti podpory podle 6.2.2  
☒ Zmenšení posouvajících sil s osamělým zatížením podle 6.2.2(6) a 6.2.3(8)

## 1.6 SADA VÝZTUŽE Č. 1

Použito na prutech:	32,33,283-288,306,308,310,312,314,316,334,336,338,340,342,344
PODÉLNÁ VÝZTUŽ	
Možné průměry:	16.0 mm
Max. počet vrstev	2
Min. vzdál. pro 1. vrstvu:	20.0 mm
Min. vzdál. pro další vrstvu:	20.0 mm
Typ kotvení:	Přímý prut
Povrch výztuže:	Žebrovaný
Odstupňování výztuže:	Žádné
TRMÍNKOVÁ VÝZTUŽ	
Možné průměry:	8.0 mm
Počet stříhů:	4
Sklon:	90°
Typ kotvení:	Hák
Uspořádání trmínek:	Stejně vzdálenosti ve všech částech



Projekt:

Model: HOŘICE-KONSTRUKCE\_3D\_Budova\_redukováné ..

## 1.6 SADA VÝZTUŽE Č. 1

USPOŘÁDÁNÍ VÝZTUŽE			
Krytí výztuže podle normy	<input checked="" type="checkbox"/>		
Krytí výztuže c-horní:		28.0 mm	
Parametry pro určení krytí výztuže			
Nastavení stejné jako pro krytí		C+z (dolní)	
Krytí výztuže c-dolní:		28.0 mm	
Parametry pro určení krytí výztuže			
Stupeň vlivu prostředí podle 4.4.1.2(5)		XC1	
Třída obruš podle 4.4.1.2(13)		Žádná	
Návrhová životnost podle 4.4.1.2(5) tabulky 4.3N		50 Let	
Typ výztuže			
Maximální průměr výztuže		Třmínek	Podélná
Minimální krytí výztuže od požadavků na soudržnost podle 4.4.1.2(3)		8.0 mm	16.0 mm
Minimální krytí výztuže od podmínek prostředí podle 4.4.1.2(5)		8.0 mm	16.0 mm
Přídavná bezpečnostní složka podle 4.4.1.2(6)		10.0 mm	10.0 mm
Minimální krytí výztuže podle 4.4.1.2(2)		0.0 mm	0.0 mm
Přídavek na návrhovou odchylku podle 4.4.1.3		10.0 mm	16.0 mm
Nominální krycí vrstva výztuže pro výztuž podle 4.4.1.1		10.0 mm	10.0 mm
Minimální krytí výztuže		20.0 mm	20.0 mm
Způsob betonování podle 4.4.1.3(4)		na rovný povrch	
Zvláštní kontrola kvality výroby betonu podle 4.4.1.2(5) tabulky 4.3N	<input type="checkbox"/>		
Jmenovitý maximální rozměr kameniva větší než 32 mm podle 4.4.1.2(3) tabulky 4.2	<input type="checkbox"/>		
Krytí výztuže c-po stranách:		28.0 mm	
Parametry pro určení krytí výztuže			
Nastavení stejné jako pro krytí		C+z (dolní)	
Uspořádání výztuže:		-z (horní) - +z (dolní) (optimaliz. rozdělení)	
Torzní výztuž rozmístěná po obvodu:	<input checked="" type="checkbox"/>		
Zohledněné vnitřní síly:		N, V-y, V-z, M-T, M-y, M-z	
MINIMÁLNÍ VÝZTUŽ			
Min. plocha výztuže (min A-s,horní):		0.00 mm <sup>2</sup>	
Min. plocha výztuže (min A-s,dolní):		0.00 mm <sup>2</sup>	
Minimální podélná výztuž podle normy:	<input checked="" type="checkbox"/>		
Minimální smyková výztuž podle normy:	<input checked="" type="checkbox"/>		
Podélná výztuž pro posouzení posouvající síly:		Použít nutnou podélnou výztuž	
SMYK VE STYČNÉ PLOŠE			
Smyk ve styčné ploše možný:	<input type="checkbox"/>		
Posouzení spojů pásnice na členěných průřezech	<input type="checkbox"/>		
NASTAVENÍ PRO EN 1992-1-1:2004/A1:2014			
Max. stupeň vyztužení:		8.00 %	
Omezení tlakové zóny	<input checked="" type="checkbox"/>		
Souč. spolehlivosti Gamma-c		TD 1.50, MM 1.20, MSP 1.00	
Souč. spolehlivosti Gamma-s		TD 1.15, MM 1.00, MSP 1.00	
Redukční součinitel Alpha-cc		TD 1.00, MM 1.00, MSP 1.00	
Redukční součinitel Alpha-ct		TD 1.00, MM 1.00, MSP 1.00	
Min. proměnný sklon tlakových diagonál		21.80 °	
Max. proměnný sklon tlakových diagonál		45.00 °	
SERVICEABILITY			
Posouzení trhlin			
Mezní hodnota přípustné šířky trhlin $w_{k,max,-z}$ (horní):		0.3 mm	
Mezní hodnota přípustné šířky trhlin $w_{k,max,+z}$ (dolní):		0.3 mm	
Posouzení bez přímého výpočtu šířky trhlin:	<input type="checkbox"/>		
Posouzení s přímým výpočtem šířky trhlin:	<input checked="" type="checkbox"/>		
Pro $s_{r,max}$ zohlednit vztah (7.14) :	<input type="checkbox"/>		
Účinná pevnost betonu v tahu při vzniku trhlin:		1.000 * $f_{ctm}$	
$A_{s,min}$ pro účinky od přetvoření:	<input type="checkbox"/>		
Analýza napětí			
Omezení napětí betonu v tlaku $\sigma_c$ :	<input checked="" type="checkbox"/>		
Podle návrhové situace s $k_1 \cdot f_{ck}$ a			
$k_2 \cdot f_{ct,eff}$ podle EN 1992-1-1:2004/A1:2014		0.600	
Součinitel $k_2$ pro omezení tlakového napětí v betonu $k_2$ :		0.450	
Omezení napětí v oceli $\sigma_s$ :	<input checked="" type="checkbox"/>		

## 2.1 NUTNÁ VÝZTUŽ PO PRŮŘEZECH

Výztuž	Prut č.	Místo x [m]	Zatížení	Plocha výztuže	Jednotky	Chybová zpráva Upozornění
Průřez č.3 - Obdélník 200/400						
$A_{s,-z}$ (horní)	314	0.000	KV1	121.14	mm <sup>2</sup>	26)
$A_{s,+z}$ (dolní)	287	6.000	KV1	125.30	mm <sup>2</sup>	13)
$A_{s,T}$	286	3.000	KV1	279.83	mm <sup>2</sup>	
$a_{sw,V}$ třmínky	32	0.250	KV1	189.31	mm <sup>2</sup> /m	58) 69)
$a_{sw,T}$ třmínky	286	3.000	KV1	49.09	mm <sup>2</sup> /m	

## 3.1 NAVRŽENÁ PODÉLNÁ VÝZTUŽ

Položka č.	Poloha výztuže	Počet prutů	$d_s$ [mm]	$A_s$ [cm <sup>2</sup> ]	Délka [m]	Místo x [m] z do	Hmotnost [kg]	Poznámka
Prut č.32 - Obdélník 200/400								
1	-z (horní)	2	16.0	402.12	5.320	-0.160 5.160	16.79	158)
2	+z (dolní)	2	16.0	402.12	5.320	-0.160 5.160	16.79	158)
Prut č.33 - Obdélník 200/400								
1	-z (horní)	2	16.0	402.12	5.320	-0.160 5.160	16.79	158)
2	+z (dolní)	2	16.0	402.12	5.320	-0.160 5.160	16.79	158)
Prut č.283 - Obdélník 200/400								
1	-z (horní)	2	16.0	402.12	6.320	-0.160 6.160	19.95	158)
2	+z (dolní)	2	16.0	402.12	6.320	-0.160 6.160	19.95	



Projekt:

Model: HOŘICE-KONSTRUKCE\_3D\_Budova\_redukované ..

### ■ 3.1 NAVRŽENÁ PODÉLNÁ VÝZTUŽ

Položka č.	Poloha výztuže	Počet prutů	d <sub>s</sub> [mm]	A <sub>s</sub> [cm <sup>2</sup> ]	Délka [m]	Místo x [m]		Hmotnost [kg]	Poznámka
						z	do		
Prut č.284 - Obdélník 200/400									
1	-z (horní)	2	16.0	402.12	6.320	-0.160	6.160	19.95	158)
2	+z (dolní)	2	16.0	402.12	6.320	-0.160	6.160	19.95	158)
Prut č.285 - Obdélník 200/400									
1	-z (horní)	2	16.0	402.12	6.320	-0.160	6.160	19.95	158)
2	+z (dolní)	2	16.0	402.12	6.320	-0.160	6.160	19.95	158)
Prut č.286 - Obdélník 200/400									
1	-z (horní)	2	16.0	402.12	6.320	-0.160	6.160	19.95	158)
2	+z (dolní)	2	16.0	402.12	6.320	-0.160	6.160	19.95	158)
Prut č.287 - Obdélník 200/400									
1	-z (horní)	2	16.0	402.12	6.320	-0.160	6.160	19.95	158)
2	+z (dolní)	2	16.0	402.12	6.320	-0.160	6.160	19.95	158)
Prut č.288 - Obdélník 200/400									
1	-z (horní)	2	16.0	402.12	6.320	-0.160	6.160	19.95	158)
2	+z (dolní)	2	16.0	402.12	6.320	-0.160	6.160	19.95	158)
Prut č.306 - Obdélník 200/400									
1	-z (horní)	2	16.0	402.12	5.320	-0.160	5.160	16.79	158)
2	+z (dolní)	2	16.0	402.12	5.320	-0.160	5.160	16.79	158)
Prut č.308 - Obdélník 200/400									
1	-z (horní)	2	16.0	402.12	5.320	-0.160	5.160	16.79	158)
2	+z (dolní)	2	16.0	402.12	5.320	-0.160	5.160	16.79	158)
Prut č.310 - Obdélník 200/400									
1	-z (horní)	2	16.0	402.12	3.920	-0.160	3.760	12.37	158)
2	+z (dolní)	2	16.0	402.12	3.920	-0.160	3.760	12.37	158)
Prut č.312 - Obdélník 200/400									
1	-z (horní)	2	16.0	402.12	5.320	-0.160	5.160	16.79	158)
2	+z (dolní)	2	16.0	402.12	5.320	-0.160	5.160	16.79	158)
Prut č.314 - Obdélník 200/400									
1	-z (horní)	2	16.0	402.12	5.320	-0.160	5.160	16.79	158)
2	+z (dolní)	2	16.0	402.12	5.320	-0.160	5.160	16.79	158)
Prut č.316 - Obdélník 200/400									
1	-z (horní)	2	16.0	402.12	5.320	-0.160	5.160	16.79	158)
2	+z (dolní)	2	16.0	402.12	5.320	-0.160	5.160	16.79	158)
Prut č.334 - Obdélník 200/400									
1	-z (horní)	2	16.0	402.12	5.320	-0.160	5.160	16.79	158)
2	+z (dolní)	2	16.0	402.12	5.320	-0.160	5.160	16.79	158)
Prut č.336 - Obdélník 200/400									
1	-z (horní)	2	16.0	402.12	5.320	-0.160	5.160	16.79	158)
2	+z (dolní)	2	16.0	402.12	5.320	-0.160	5.160	16.79	158)
Prut č.338 - Obdélník 200/400									
1	-z (horní)	2	16.0	402.12	5.320	-0.160	5.160	16.79	158)
2	+z (dolní)	2	16.0	402.12	5.320	-0.160	5.160	16.79	158)
Prut č.340 - Obdélník 200/400									
1	-z (horní)	2	16.0	402.12	3.920	-0.160	3.760	12.37	158)
2	+z (dolní)	2	16.0	402.12	3.920	-0.160	3.760	12.37	158)
Prut č.342 - Obdélník 200/400									
1	-z (horní)	2	16.0	402.12	5.320	-0.160	5.160	16.79	158)
2	+z (dolní)	2	16.0	402.12	5.320	-0.160	5.160	16.79	158)
Prut č.344 - Obdélník 200/400									
1	-z (horní)	2	16.0	402.12	5.320	-0.160	5.160	16.79	158)
2	+z (dolní)	2	16.0	402.12	5.320	-0.160	5.160	16.79	158)

#### ■ 3.1.1 NAVRŽENÁ PODÉLNÁ VÝZTUŽ - UKOTVENÍ

Položka č.	Typ kotvení	Spřažení	l <sub>bd</sub> [m]	l <sub>1</sub> [m]	l <sub>2</sub> [m]	Celkové [m]	d <sub>br</sub> [m]
Prut č.32 - Obdélník 200/400							
1 Začátek	Přímý prut	průměrné	0.160	0.160	-	0.160	-
1 Konec	Přímý prut	průměrné	0.160	0.160	-	0.160	-
2 Začátek	Přímý prut	dobré	0.160	0.160	-	0.160	-
2 Konec	Přímý prut	dobré	0.160	0.160	-	0.160	-
Prut č.33 - Obdélník 200/400							
1 Začátek	Přímý prut	průměrné	0.160	0.160	-	0.160	-
1 Konec	Přímý prut	průměrné	0.160	0.160	-	0.160	-
2 Začátek	Přímý prut	dobré	0.160	0.160	-	0.160	-
2 Konec	Přímý prut	dobré	0.160	0.160	-	0.160	-
Prut č.283 - Obdélník 200/400							
1 Začátek	Přímý prut	průměrné	0.160	0.160	-	0.160	-
1 Konec	Přímý prut	průměrné	0.160	0.160	-	0.160	-
2 Začátek	Přímý prut	dobré	0.160	0.160	-	0.160	-
2 Konec	Přímý prut	dobré	0.160	0.160	-	0.160	-
Prut č.284 - Obdélník 200/400							
1 Začátek	Přímý prut	průměrné	0.160	0.160	-	0.160	-
1 Konec	Přímý prut	průměrné	0.160	0.160	-	0.160	-
2 Začátek	Přímý prut	dobré	0.160	0.160	-	0.160	-
2 Konec	Přímý prut	dobré	0.160	0.160	-	0.160	-
Prut č.285 - Obdélník 200/400							
1 Začátek	Přímý prut	průměrné	0.160	0.160	-	0.160	-
1 Konec	Přímý prut	průměrné	0.160	0.160	-	0.160	-
2 Začátek	Přímý prut	dobré	0.160	0.160	-	0.160	-
2 Konec	Přímý prut	dobré	0.160	0.160	-	0.160	-
Prut č.286 - Obdélník 200/400							
1 Začátek	Přímý prut	průměrné	0.160	0.160	-	0.160	-
1 Konec	Přímý prut	průměrné	0.160	0.160	-	0.160	-
2 Začátek	Přímý prut	dobré	0.160	0.160	-	0.160	-
2 Konec	Přímý prut	dobré	0.160	0.160	-	0.160	-
Prut č.287 - Obdélník 200/400							
1 Začátek	Přímý prut	průměrné	0.160	0.160	-	0.160	-
1 Konec	Přímý prut	průměrné	0.160	0.160	-	0.160	-
2 Začátek	Přímý prut	dobré	0.160	0.160	-	0.160	-
2 Konec	Přímý prut	dobré	0.160	0.160	-	0.160	-
Prut č.288 - Obdélník 200/400							





Projekt:

Model: HOŘICE-KONSTRUKCE\_3D\_Budova\_redukované ..

### 3.1.1 NAVRŽENÁ PODÉLNÁ VÝZTUŽ - UKOTVENÍ

Položka č.	Typ kotvení	Spřažení	$l_{bd}$ [m]	$l_1$ [m]	$l_2$ [m]	Celkové [m]	$d_{br}$ [m]
1 Začátek	Přímý prut	průměrné	0.160	0.160	-	0.160	-
1 Konec	Přímý prut	průměrné	0.160	0.160	-	0.160	-
2 Začátek	Přímý prut	dobré	0.160	0.160	-	0.160	-
2 Konec	Přímý prut	dobré	0.160	0.160	-	0.160	-
Prut č.306 - Obdélník 200/400							
1 Začátek	Přímý prut	průměrné	0.160	0.160	-	0.160	-
1 Konec	Přímý prut	průměrné	0.160	0.160	-	0.160	-
2 Začátek	Přímý prut	dobré	0.160	0.160	-	0.160	-
2 Konec	Přímý prut	dobré	0.160	0.160	-	0.160	-
Prut č.308 - Obdélník 200/400							
1 Začátek	Přímý prut	průměrné	0.160	0.160	-	0.160	-
1 Konec	Přímý prut	průměrné	0.160	0.160	-	0.160	-
2 Začátek	Přímý prut	dobré	0.160	0.160	-	0.160	-
2 Konec	Přímý prut	dobré	0.160	0.160	-	0.160	-
Prut č.310 - Obdélník 200/400							
1 Začátek	Přímý prut	průměrné	0.160	0.160	-	0.160	-
1 Konec	Přímý prut	průměrné	0.160	0.160	-	0.160	-
2 Začátek	Přímý prut	dobré	0.160	0.160	-	0.160	-
2 Konec	Přímý prut	dobré	0.160	0.160	-	0.160	-
Prut č.312 - Obdélník 200/400							
1 Začátek	Přímý prut	průměrné	0.160	0.160	-	0.160	-
1 Konec	Přímý prut	průměrné	0.160	0.160	-	0.160	-
2 Začátek	Přímý prut	dobré	0.160	0.160	-	0.160	-
2 Konec	Přímý prut	dobré	0.160	0.160	-	0.160	-
Prut č.314 - Obdélník 200/400							
1 Začátek	Přímý prut	průměrné	0.160	0.160	-	0.160	-
1 Konec	Přímý prut	průměrné	0.160	0.160	-	0.160	-
2 Začátek	Přímý prut	dobré	0.160	0.160	-	0.160	-
2 Konec	Přímý prut	dobré	0.160	0.160	-	0.160	-
Prut č.316 - Obdélník 200/400							
1 Začátek	Přímý prut	průměrné	0.160	0.160	-	0.160	-
1 Konec	Přímý prut	průměrné	0.160	0.160	-	0.160	-
2 Začátek	Přímý prut	dobré	0.160	0.160	-	0.160	-
2 Konec	Přímý prut	dobré	0.160	0.160	-	0.160	-
Prut č.334 - Obdélník 200/400							
1 Začátek	Přímý prut	průměrné	0.160	0.160	-	0.160	-
1 Konec	Přímý prut	průměrné	0.160	0.160	-	0.160	-
2 Začátek	Přímý prut	dobré	0.160	0.160	-	0.160	-
2 Konec	Přímý prut	dobré	0.160	0.160	-	0.160	-
Prut č.336 - Obdélník 200/400							
1 Začátek	Přímý prut	průměrné	0.160	0.160	-	0.160	-
1 Konec	Přímý prut	průměrné	0.160	0.160	-	0.160	-
2 Začátek	Přímý prut	dobré	0.160	0.160	-	0.160	-
2 Konec	Přímý prut	dobré	0.160	0.160	-	0.160	-
Prut č.338 - Obdélník 200/400							
1 Začátek	Přímý prut	průměrné	0.160	0.160	-	0.160	-
1 Konec	Přímý prut	průměrné	0.160	0.160	-	0.160	-
2 Začátek	Přímý prut	dobré	0.160	0.160	-	0.160	-
2 Konec	Přímý prut	dobré	0.160	0.160	-	0.160	-
Prut č.340 - Obdélník 200/400							
1 Začátek	Přímý prut	průměrné	0.160	0.160	-	0.160	-
1 Konec	Přímý prut	průměrné	0.160	0.160	-	0.160	-
2 Začátek	Přímý prut	dobré	0.160	0.160	-	0.160	-
2 Konec	Přímý prut	dobré	0.160	0.160	-	0.160	-
Prut č.342 - Obdélník 200/400							
1 Začátek	Přímý prut	průměrné	0.160	0.160	-	0.160	-
1 Konec	Přímý prut	průměrné	0.160	0.160	-	0.160	-
2 Začátek	Přímý prut	dobré	0.160	0.160	-	0.160	-
2 Konec	Přímý prut	dobré	0.160	0.160	-	0.160	-
Prut č.344 - Obdélník 200/400							
1 Začátek	Přímý prut	průměrné	0.160	0.160	-	0.160	-
1 Konec	Přímý prut	průměrné	0.160	0.160	-	0.160	-
2 Začátek	Přímý prut	dobré	0.160	0.160	-	0.160	-
2 Konec	Přímý prut	dobré	0.160	0.160	-	0.160	-

### 3.2 NAVRŽENÁ TŘMÍNKOVÁ VÝZTUŽ

Položka č.	Počet třmínek	$d_s$ [mm]	Délka [m]	Místo x [m]		Vzdálenost $s_s$ [m]	Rozměry třmínek [mm]	Počet střihů	Hmotnost [kg]	Poznámka
Prut č. 32 - Obdélník 200/400	35	8.0	5.000	0.000	5.000	0.147	360.0/160.0/97.1	4	30.41	115)
Prut č. 33 - Obdélník 200/400	35	8.0	5.000	0.000	5.000	0.147	360.0/160.0/97.1	4	30.41	115)
Prut č. 283 - Obdélník 200/400	41	8.0	6.000	0.000	6.000	0.150	360.0/160.0/97.1	4	35.62	115)
Prut č. 284 - Obdélník 200/400	41	8.0	6.000	0.000	6.000	0.150	360.0/160.0/97.1	4	35.62	115)
Prut č. 285 - Obdélník 200/400	41	8.0	6.000	0.000	6.000	0.150	360.0/160.0/97.1	4	35.62	115)
Prut č. 286 - Obdélník 200/400	41	8.0	6.000	0.000	6.000	0.150	360.0/160.0/97.1	4	35.62	115)
Prut č. 287 - Obdélník 200/400	41	8.0	6.000	0.000	6.000	0.150	360.0/160.0/97.1	4	35.62	115)
Prut č. 288 - Obdélník 200/400	41	8.0	6.000	0.000	6.000	0.150	360.0/160.0/97.1	4	35.62	115)
Prut č. 306 - Obdélník 200/400	35	8.0	5.000	0.000	5.000	0.147	360.0/160.0/97.1	4	30.41	115)
Prut č. 308 - Obdélník 200/400	35	8.0	5.000	0.000	5.000	0.147	360.0/160.0/97.1	4	30.41	115)
Prut č. 310 - Obdélník 200/400	25	8.0	3.600	0.000	3.600	0.150	360.0/160.0/97.1	4	21.72	115)



Projekt:

Model: HOŘICE-KONSTRUKCE\_3D\_Budova\_redukováné ..

### 3.2 NAVRŽENÁ TŘMÍNKOVÁ VÝZTUŽ

Položka	Počet	d <sub>s</sub>	Délka	Místo x [m]		Vzdálenost	Rozměry třmínek	Počet	Hmotnost	
č.	třmíneků	[mm]	[m]	z	do	s <sub>l</sub> [m]	[mm]	střihů	[kg]	Poznámka
Prut č. 312 - 12	Obdélník 200/400 35   8.0	5.000	0.000	5.000	0.147	360.0/160.0/97.1	4	30.41	115)	
Prut č. 314 - 13	Obdélník 200/400 35   8.0									
Prut č. 316 - 14	Obdélník 200/400 35   8.0	5.000	0.000	5.000	0.147	360.0/160.0/97.1	4	30.41	115)	
Prut č. 334 - 15	Obdélník 200/400 35   8.0									
Prut č. 336 - 16	Obdélník 200/400 35   8.0	5.000	0.000	5.000	0.147	360.0/160.0/97.1	4	30.41	115)	
Prut č. 338 - 17	Obdélník 200/400 35   8.0									
Prut č. 340 - 18	Obdélník 200/400 25   8.0	3.600	0.000	3.600	0.150	360.0/160.0/97.1	4	21.72	115)	
Prut č. 342 - 19	Obdélník 200/400 35   8.0									
Prut č. 344 - 20	Obdélník 200/400 35   8.0	5.000	0.000	5.000	0.147	360.0/160.0/97.1	4	30.41	115)	

### 4.1 POSOUZENÍ POUŽITELNOSTI PO PRŮŘEZECH

Průřez č.	Místo x [m]	Zatížení	Typ	Navržená hodnota	Posouzení				Poznámka
					Mezní hodn.	Jedn.	Využití		
Průřez č.3 - Obdélník 200/400									
344	2.500	KZ767	u <sub>z,local</sub>	3.2	20.0	mm	0.16		
285	3.000	KZ766	σ <sub>c</sub>	-3.81	-15.75	MPa	0.25		
283	3.000	KZ676	σ <sub>s</sub>	109.48	400.00	MPa	0.28		
32	0.000	KZ766	w <sub>k</sub>	0.000	0.300	mm	0.00		

RF-CONCRETE Members  
PŘ3  
Vazníky\_2NP\_beton

### 1.1 ZÁKLADNÍ ÚDAJE

Posouzení betonu podle CSN EN 1992-1-1/NA:2006

#### MEZNÍ STAV ÚNOSNOSTI

Kombinace výsledků k posouzení: KV1 MSÚ (STR/GEO) - trvalá/dočasná - rovn. 6.10a a 6.10b  
Trvalá a dočasná

#### MEZNÍ STAV POUŽITELNOSTI

Kombinace zatížení k posouzení: KZ435 ZS1 + ZS2  
Charakteristická s přímým zatížením, k-t: 0.600, β: 0.500  
KZ436 ZS1 + ZS2 + ZS3  
Charakteristická s přímým zatížením, k-t: 0.467, β: 0.500  
KZ437 ZS1 + ZS2 + ZS4  
Charakteristická s přímým zatížením, k-t: 0.467, β: 0.500  
KZ438 ZS1 + ZS2 + ZS5  
Charakteristická s přímým zatížením, k-t: 0.467, β: 0.500  
KZ439 ZS1 + ZS2 + ZS3 + 0.6\*ZS6  
Charakteristická s přímým zatížením, k-t: 0.489, β: 0.500  
KZ440 ZS1 + ZS2 + ZS3 + 0.6\*ZS7  
Charakteristická s přímým zatížením, k-t: 0.489, β: 0.500  
KZ441 ZS1 + ZS2 + ZS3 + 0.6\*ZS8  
Charakteristická s přímým zatížením, k-t: 0.489, β: 0.500  
KZ442 ZS1 + ZS2 + ZS3 + 0.6\*ZS9  
Charakteristická s přímým zatížením, k-t: 0.489, β: 0.500  
KZ443 ZS1 + ZS2 + ZS3 + 0.6\*ZS10  
Charakteristická s přímým zatížením, k-t: 0.489, β: 0.500  
KZ444 ZS1 + ZS2 + ZS3 + 0.6\*ZS11  
Charakteristická s přímým zatížením, k-t: 0.489, β: 0.500  
KZ445 ZS1 + ZS2 + ZS3 + 0.6\*ZS12  
Charakteristická s přímým zatížením, k-t: 0.489, β: 0.500  
KZ446 ZS1 + ZS2 + ZS3 + 0.6\*ZS13  
Charakteristická s přímým zatížením, k-t: 0.489, β: 0.500  
KZ447 ZS1 + ZS2 + ZS3 + 0.6\*ZS14  
Charakteristická s přímým zatížením, k-t: 0.489, β: 0.500  
KZ448 ZS1 + ZS2 + ZS3 + 0.6\*ZS15  
Charakteristická s přímým zatížením, k-t: 0.489, β: 0.500  
KZ449 ZS1 + ZS2 + ZS3 + 0.6\*ZS16  
Charakteristická s přímým zatížením, k-t: 0.489, β: 0.500  
KZ450 ZS1 + ZS2 + ZS3 + 0.6\*ZS17  
Charakteristická s přímým zatížením, k-t: 0.489, β: 0.500  
KZ451 ZS1 + ZS2 + ZS4 + 0.6\*ZS6  
Charakteristická s přímým zatížením, k-t: 0.489, β: 0.500  
KZ452 ZS1 + ZS2 + ZS4 + 0.6\*ZS7  
Charakteristická s přímým zatížením, k-t: 0.489, β: 0.500  
KZ453 ZS1 + ZS2 + ZS4 + 0.6\*ZS8  
Charakteristická s přímým zatížením, k-t: 0.489, β: 0.500  
KZ454 ZS1 + ZS2 + ZS4 + 0.6\*ZS9  
Charakteristická s přímým zatížením, k-t: 0.489, β: 0.500  
KZ455 ZS1 + ZS2 + ZS4 + 0.6\*ZS10  
Charakteristická s přímým zatížením, k-t: 0.489, β: 0.500  
KZ456 ZS1 + ZS2 + ZS4 + 0.6\*ZS11  
Charakteristická s přímým zatížením, k-t: 0.489, β: 0.500  
KZ457 ZS1 + ZS2 + ZS4 + 0.6\*ZS12  
Charakteristická s přímým zatížením, k-t: 0.489, β: 0.500  
KZ458 ZS1 + ZS2 + ZS4 + 0.6\*ZS13  
Charakteristická s přímým zatížením, k-t: 0.489, β: 0.500  
KZ459 ZS1 + ZS2 + ZS4 + 0.6\*ZS14  
Charakteristická s přímým zatížením, k-t: 0.489, β: 0.500



Projekt:

Model: HOŘICE-KONSTRUKCE\_3D\_Budova\_redukované ..

## 1.1 ZÁKLADNÍ ÚDAJE

KZ460	ZS1 + ZS2 + ZS4 + 0.6*ZS15 Charakteristická s přímým zatížením, k-t: 0.489, β: 0.500
KZ461	ZS1 + ZS2 + ZS4 + 0.6*ZS16 Charakteristická s přímým zatížením, k-t: 0.489, β: 0.500
KZ462	ZS1 + ZS2 + ZS4 + 0.6*ZS17 Charakteristická s přímým zatížením, k-t: 0.489, β: 0.500
KZ463	ZS1 + ZS2 + ZS5 + 0.6*ZS6 Charakteristická s přímým zatížením, k-t: 0.489, β: 0.500
KZ464	ZS1 + ZS2 + ZS5 + 0.6*ZS7 Charakteristická s přímým zatížením, k-t: 0.489, β: 0.500
KZ465	ZS1 + ZS2 + ZS5 + 0.6*ZS8 Charakteristická s přímým zatížením, k-t: 0.489, β: 0.500
KZ466	ZS1 + ZS2 + ZS5 + 0.6*ZS9 Charakteristická s přímým zatížením, k-t: 0.489, β: 0.500
KZ467	ZS1 + ZS2 + ZS5 + 0.6*ZS10 Charakteristická s přímým zatížením, k-t: 0.489, β: 0.500
KZ468	ZS1 + ZS2 + ZS5 + 0.6*ZS11 Charakteristická s přímým zatížením, k-t: 0.489, β: 0.500
KZ469	ZS1 + ZS2 + ZS5 + 0.6*ZS12 Charakteristická s přímým zatížením, k-t: 0.489, β: 0.500
KZ470	ZS1 + ZS2 + ZS5 + 0.6*ZS13 Charakteristická s přímým zatížením, k-t: 0.489, β: 0.500
KZ471	ZS1 + ZS2 + ZS5 + 0.6*ZS14 Charakteristická s přímým zatížením, k-t: 0.489, β: 0.500
KZ472	ZS1 + ZS2 + ZS5 + 0.6*ZS15 Charakteristická s přímým zatížením, k-t: 0.489, β: 0.500
KZ473	ZS1 + ZS2 + ZS5 + 0.6*ZS16 Charakteristická s přímým zatížením, k-t: 0.489, β: 0.500
KZ474	ZS1 + ZS2 + ZS5 + 0.6*ZS17 Charakteristická s přímým zatížením, k-t: 0.489, β: 0.500
KZ475	ZS1 + ZS2 + ZS3 + 0.6*ZS6 + 0.7*ZS18 Charakteristická s přímým zatížením, k-t: 0.507, β: 0.500
KZ476	ZS1 + ZS2 + ZS3 + 0.6*ZS7 + 0.7*ZS18 Charakteristická s přímým zatížením, k-t: 0.507, β: 0.500
KZ477	ZS1 + ZS2 + ZS3 + 0.6*ZS8 + 0.7*ZS18 Charakteristická s přímým zatížením, k-t: 0.507, β: 0.500
KZ478	ZS1 + ZS2 + ZS3 + 0.6*ZS9 + 0.7*ZS18 Charakteristická s přímým zatížením, k-t: 0.507, β: 0.500
KZ479	ZS1 + ZS2 + ZS3 + 0.6*ZS10 + 0.7*ZS18 Charakteristická s přímým zatížením, k-t: 0.507, β: 0.500
KZ480	ZS1 + ZS2 + ZS3 + 0.6*ZS11 + 0.7*ZS18 Charakteristická s přímým zatížením, k-t: 0.507, β: 0.500
KZ481	ZS1 + ZS2 + ZS3 + 0.6*ZS12 + 0.7*ZS18 Charakteristická s přímým zatížením, k-t: 0.507, β: 0.500
KZ482	ZS1 + ZS2 + ZS3 + 0.6*ZS13 + 0.7*ZS18 Charakteristická s přímým zatížením, k-t: 0.507, β: 0.500
KZ483	ZS1 + ZS2 + ZS3 + 0.6*ZS14 + 0.7*ZS18 Charakteristická s přímým zatížením, k-t: 0.507, β: 0.500
KZ484	ZS1 + ZS2 + ZS3 + 0.6*ZS15 + 0.7*ZS18 Charakteristická s přímým zatížením, k-t: 0.507, β: 0.500
KZ485	ZS1 + ZS2 + ZS3 + 0.6*ZS16 + 0.7*ZS18 Charakteristická s přímým zatížením, k-t: 0.507, β: 0.500
KZ486	ZS1 + ZS2 + ZS3 + 0.6*ZS17 + 0.7*ZS18 Charakteristická s přímým zatížením, k-t: 0.507, β: 0.500
KZ487	ZS1 + ZS2 + ZS4 + 0.6*ZS6 + 0.7*ZS18 Charakteristická s přímým zatížením, k-t: 0.507, β: 0.500
KZ488	ZS1 + ZS2 + ZS4 + 0.6*ZS7 + 0.7*ZS18 Charakteristická s přímým zatížením, k-t: 0.507, β: 0.500
KZ489	ZS1 + ZS2 + ZS4 + 0.6*ZS8 + 0.7*ZS18 Charakteristická s přímým zatížením, k-t: 0.507, β: 0.500
KZ490	ZS1 + ZS2 + ZS4 + 0.6*ZS9 + 0.7*ZS18 Charakteristická s přímým zatížením, k-t: 0.507, β: 0.500
KZ491	ZS1 + ZS2 + ZS4 + 0.6*ZS10 + 0.7*ZS18 Charakteristická s přímým zatížením, k-t: 0.507, β: 0.500
KZ492	ZS1 + ZS2 + ZS4 + 0.6*ZS11 + 0.7*ZS18 Charakteristická s přímým zatížením, k-t: 0.507, β: 0.500
KZ493	ZS1 + ZS2 + ZS4 + 0.6*ZS12 + 0.7*ZS18 Charakteristická s přímým zatížením, k-t: 0.507, β: 0.500
KZ494	ZS1 + ZS2 + ZS4 + 0.6*ZS13 + 0.7*ZS18 Charakteristická s přímým zatížením, k-t: 0.507, β: 0.500
KZ495	ZS1 + ZS2 + ZS4 + 0.6*ZS14 + 0.7*ZS18 Charakteristická s přímým zatížením, k-t: 0.507, β: 0.500
KZ496	ZS1 + ZS2 + ZS4 + 0.6*ZS15 + 0.7*ZS18 Charakteristická s přímým zatížením, k-t: 0.507, β: 0.500
KZ497	ZS1 + ZS2 + ZS4 + 0.6*ZS16 + 0.7*ZS18 Charakteristická s přímým zatížením, k-t: 0.507, β: 0.500
KZ498	ZS1 + ZS2 + ZS4 + 0.6*ZS17 + 0.7*ZS18 Charakteristická s přímým zatížením, k-t: 0.507, β: 0.500
KZ499	ZS1 + ZS2 + ZS5 + 0.6*ZS6 + 0.7*ZS18 Charakteristická s přímým zatížením, k-t: 0.507, β: 0.500
KZ500	ZS1 + ZS2 + ZS5 + 0.6*ZS7 + 0.7*ZS18 Charakteristická s přímým zatížením, k-t: 0.507, β: 0.500
KZ501	ZS1 + ZS2 + ZS5 + 0.6*ZS8 + 0.7*ZS18 Charakteristická s přímým zatížením, k-t: 0.507, β: 0.500
KZ502	ZS1 + ZS2 + ZS5 + 0.6*ZS9 + 0.7*ZS18 Charakteristická s přímým zatížením, k-t: 0.507, β: 0.500
KZ503	ZS1 + ZS2 + ZS5 + 0.6*ZS10 + 0.7*ZS18 Charakteristická s přímým zatížením, k-t: 0.507, β: 0.500
KZ504	ZS1 + ZS2 + ZS5 + 0.6*ZS11 + 0.7*ZS18 Charakteristická s přímým zatížením, k-t: 0.507, β: 0.500
KZ505	ZS1 + ZS2 + ZS5 + 0.6*ZS12 + 0.7*ZS18 Charakteristická s přímým zatížením, k-t: 0.507, β: 0.500
KZ506	ZS1 + ZS2 + ZS5 + 0.6*ZS13 + 0.7*ZS18 Charakteristická s přímým zatížením, k-t: 0.507, β: 0.500
KZ507	ZS1 + ZS2 + ZS5 + 0.6*ZS14 + 0.7*ZS18 Charakteristická s přímým zatížením, k-t: 0.507, β: 0.500
KZ508	ZS1 + ZS2 + ZS5 + 0.6*ZS15 + 0.7*ZS18



Projekt:

Model: HOŘICE-KONSTRUKCE\_3D\_Budova\_redukováne ..

## 1.1 ZÁKLADNÍ ÚDAJE

	Charakteristická s přímým zatížením, k-t: 0.507, β: 0.500
KZ509	ZS1 + ZS2 + ZS5 + 0.6*ZS16 + 0.7*ZS18
	Charakteristická s přímým zatížením, k-t: 0.507, β: 0.500
KZ510	ZS1 + ZS2 + ZS5 + 0.6*ZS17 + 0.7*ZS18
	Charakteristická s přímým zatížením, k-t: 0.507, β: 0.500
KZ511	ZS1 + ZS2 + ZS3 + 0.7*ZS18
	Charakteristická s přímým zatížením, k-t: 0.492, β: 0.500
KZ512	ZS1 + ZS2 + ZS4 + 0.7*ZS18
	Charakteristická s přímým zatížením, k-t: 0.492, β: 0.500
KZ513	ZS1 + ZS2 + ZS5 + 0.7*ZS18
	Charakteristická s přímým zatížením, k-t: 0.492, β: 0.500
KZ514	ZS1 + ZS2 + ZS6
	Charakteristická s přímým zatížením, k-t: 0.467, β: 0.500
KZ515	ZS1 + ZS2 + ZS7
	Charakteristická s přímým zatížením, k-t: 0.467, β: 0.500
KZ516	ZS1 + ZS2 + ZS8
	Charakteristická s přímým zatížením, k-t: 0.467, β: 0.500
KZ517	ZS1 + ZS2 + ZS9
	Charakteristická s přímým zatížením, k-t: 0.467, β: 0.500
KZ518	ZS1 + ZS2 + ZS10
	Charakteristická s přímým zatížením, k-t: 0.467, β: 0.500
KZ519	ZS1 + ZS2 + ZS11
	Charakteristická s přímým zatížením, k-t: 0.467, β: 0.500
KZ520	ZS1 + ZS2 + ZS12
	Charakteristická s přímým zatížením, k-t: 0.467, β: 0.500
KZ521	ZS1 + ZS2 + ZS13
	Charakteristická s přímým zatížením, k-t: 0.467, β: 0.500
KZ522	ZS1 + ZS2 + ZS14
	Charakteristická s přímým zatížením, k-t: 0.467, β: 0.500
KZ523	ZS1 + ZS2 + ZS15
	Charakteristická s přímým zatížením, k-t: 0.467, β: 0.500
KZ524	ZS1 + ZS2 + ZS16
	Charakteristická s přímým zatížením, k-t: 0.467, β: 0.500
KZ525	ZS1 + ZS2 + ZS17
	Charakteristická s přímým zatížením, k-t: 0.467, β: 0.500
KZ526	ZS1 + ZS2 + 0.5*ZS3 + ZS6
	Charakteristická s přímým zatížením, k-t: 0.486, β: 0.500
KZ527	ZS1 + ZS2 + 0.5*ZS3 + ZS7
	Charakteristická s přímým zatížením, k-t: 0.486, β: 0.500
KZ528	ZS1 + ZS2 + 0.5*ZS3 + ZS8
	Charakteristická s přímým zatížením, k-t: 0.486, β: 0.500
KZ529	ZS1 + ZS2 + 0.5*ZS3 + ZS9
	Charakteristická s přímým zatížením, k-t: 0.486, β: 0.500
KZ530	ZS1 + ZS2 + 0.5*ZS3 + ZS10
	Charakteristická s přímým zatížením, k-t: 0.486, β: 0.500
KZ531	ZS1 + ZS2 + 0.5*ZS3 + ZS11
	Charakteristická s přímým zatížením, k-t: 0.486, β: 0.500
KZ532	ZS1 + ZS2 + 0.5*ZS3 + ZS12
	Charakteristická s přímým zatížením, k-t: 0.486, β: 0.500
KZ533	ZS1 + ZS2 + 0.5*ZS3 + ZS13
	Charakteristická s přímým zatížením, k-t: 0.486, β: 0.500
KZ534	ZS1 + ZS2 + 0.5*ZS3 + ZS14
	Charakteristická s přímým zatížením, k-t: 0.486, β: 0.500
KZ535	ZS1 + ZS2 + 0.5*ZS3 + ZS15
	Charakteristická s přímým zatížením, k-t: 0.486, β: 0.500
KZ536	ZS1 + ZS2 + 0.5*ZS3 + ZS16
	Charakteristická s přímým zatížením, k-t: 0.486, β: 0.500
KZ537	ZS1 + ZS2 + 0.5*ZS3 + ZS17
	Charakteristická s přímým zatížením, k-t: 0.486, β: 0.500
KZ538	ZS1 + ZS2 + 0.5*ZS4 + ZS6
	Charakteristická s přímým zatížením, k-t: 0.486, β: 0.500
KZ539	ZS1 + ZS2 + 0.5*ZS4 + ZS7
	Charakteristická s přímým zatížením, k-t: 0.486, β: 0.500
KZ540	ZS1 + ZS2 + 0.5*ZS4 + ZS8
	Charakteristická s přímým zatížením, k-t: 0.486, β: 0.500
KZ541	ZS1 + ZS2 + 0.5*ZS4 + ZS9
	Charakteristická s přímým zatížením, k-t: 0.486, β: 0.500
KZ542	ZS1 + ZS2 + 0.5*ZS4 + ZS10
	Charakteristická s přímým zatížením, k-t: 0.486, β: 0.500
KZ543	ZS1 + ZS2 + 0.5*ZS4 + ZS11
	Charakteristická s přímým zatížením, k-t: 0.486, β: 0.500
KZ544	ZS1 + ZS2 + 0.5*ZS4 + ZS12
	Charakteristická s přímým zatížením, k-t: 0.486, β: 0.500
KZ545	ZS1 + ZS2 + 0.5*ZS4 + ZS13
	Charakteristická s přímým zatížením, k-t: 0.486, β: 0.500
KZ546	ZS1 + ZS2 + 0.5*ZS4 + ZS14
	Charakteristická s přímým zatížením, k-t: 0.486, β: 0.500
KZ547	ZS1 + ZS2 + 0.5*ZS4 + ZS15
	Charakteristická s přímým zatížením, k-t: 0.486, β: 0.500
KZ548	ZS1 + ZS2 + 0.5*ZS4 + ZS16
	Charakteristická s přímým zatížením, k-t: 0.486, β: 0.500
KZ549	ZS1 + ZS2 + 0.5*ZS4 + ZS17
	Charakteristická s přímým zatížením, k-t: 0.486, β: 0.500
KZ550	ZS1 + ZS2 + 0.5*ZS5 + ZS6
	Charakteristická s přímým zatížením, k-t: 0.486, β: 0.500
KZ551	ZS1 + ZS2 + 0.5*ZS5 + ZS7
	Charakteristická s přímým zatížením, k-t: 0.486, β: 0.500
KZ552	ZS1 + ZS2 + 0.5*ZS5 + ZS8
	Charakteristická s přímým zatížením, k-t: 0.486, β: 0.500
KZ553	ZS1 + ZS2 + 0.5*ZS5 + ZS9
	Charakteristická s přímým zatížením, k-t: 0.486, β: 0.500
KZ554	ZS1 + ZS2 + 0.5*ZS5 + ZS10
	Charakteristická s přímým zatížením, k-t: 0.486, β: 0.500
KZ555	ZS1 + ZS2 + 0.5*ZS5 + ZS11
	Charakteristická s přímým zatížením, k-t: 0.486, β: 0.500
KZ556	ZS1 + ZS2 + 0.5*ZS5 + ZS12
	Charakteristická s přímým zatížením, k-t: 0.486, β: 0.500



Projekt:

Model: HOŘICE-KONSTRUKCE\_3D\_Budova\_redukované ..

## 1.1 ZÁKLADNÍ ÚDAJE

KZ557	ZS1 + ZS2 + 0.5*ZS5 + ZS13 Charakteristická s přímým zatížením, k-t: 0.486, β: 0.500
KZ558	ZS1 + ZS2 + 0.5*ZS5 + ZS14 Charakteristická s přímým zatížením, k-t: 0.486, β: 0.500
KZ559	ZS1 + ZS2 + 0.5*ZS5 + ZS15 Charakteristická s přímým zatížením, k-t: 0.486, β: 0.500
KZ560	ZS1 + ZS2 + 0.5*ZS5 + ZS16 Charakteristická s přímým zatížením, k-t: 0.486, β: 0.500
KZ561	ZS1 + ZS2 + 0.5*ZS5 + ZS17 Charakteristická s přímým zatížením, k-t: 0.486, β: 0.500
KZ562	ZS1 + ZS2 + 0.5*ZS3 + ZS6 + 0.7*ZS18 Charakteristická s přímým zatížením, k-t: 0.505, β: 0.500
KZ563	ZS1 + ZS2 + 0.5*ZS3 + ZS7 + 0.7*ZS18 Charakteristická s přímým zatížením, k-t: 0.505, β: 0.500
KZ564	ZS1 + ZS2 + 0.5*ZS3 + ZS8 + 0.7*ZS18 Charakteristická s přímým zatížením, k-t: 0.505, β: 0.500
KZ565	ZS1 + ZS2 + 0.5*ZS3 + ZS9 + 0.7*ZS18 Charakteristická s přímým zatížením, k-t: 0.505, β: 0.500
KZ566	ZS1 + ZS2 + 0.5*ZS3 + ZS10 + 0.7*ZS18 Charakteristická s přímým zatížením, k-t: 0.505, β: 0.500
KZ567	ZS1 + ZS2 + 0.5*ZS3 + ZS11 + 0.7*ZS18 Charakteristická s přímým zatížením, k-t: 0.505, β: 0.500
KZ568	ZS1 + ZS2 + 0.5*ZS3 + ZS12 + 0.7*ZS18 Charakteristická s přímým zatížením, k-t: 0.505, β: 0.500
KZ569	ZS1 + ZS2 + 0.5*ZS3 + ZS13 + 0.7*ZS18 Charakteristická s přímým zatížením, k-t: 0.505, β: 0.500
KZ570	ZS1 + ZS2 + 0.5*ZS3 + ZS14 + 0.7*ZS18 Charakteristická s přímým zatížením, k-t: 0.505, β: 0.500
KZ571	ZS1 + ZS2 + 0.5*ZS3 + ZS15 + 0.7*ZS18 Charakteristická s přímým zatížením, k-t: 0.505, β: 0.500
KZ572	ZS1 + ZS2 + 0.5*ZS3 + ZS16 + 0.7*ZS18 Charakteristická s přímým zatížením, k-t: 0.505, β: 0.500
KZ573	ZS1 + ZS2 + 0.5*ZS3 + ZS17 + 0.7*ZS18 Charakteristická s přímým zatížením, k-t: 0.505, β: 0.500
KZ574	ZS1 + ZS2 + 0.5*ZS4 + ZS6 + 0.7*ZS18 Charakteristická s přímým zatížením, k-t: 0.505, β: 0.500
KZ575	ZS1 + ZS2 + 0.5*ZS4 + ZS7 + 0.7*ZS18 Charakteristická s přímým zatížením, k-t: 0.505, β: 0.500
KZ576	ZS1 + ZS2 + 0.5*ZS4 + ZS8 + 0.7*ZS18 Charakteristická s přímým zatížením, k-t: 0.505, β: 0.500
KZ577	ZS1 + ZS2 + 0.5*ZS4 + ZS9 + 0.7*ZS18 Charakteristická s přímým zatížením, k-t: 0.505, β: 0.500
KZ578	ZS1 + ZS2 + 0.5*ZS4 + ZS10 + 0.7*ZS18 Charakteristická s přímým zatížením, k-t: 0.505, β: 0.500
KZ579	ZS1 + ZS2 + 0.5*ZS4 + ZS11 + 0.7*ZS18 Charakteristická s přímým zatížením, k-t: 0.505, β: 0.500
KZ580	ZS1 + ZS2 + 0.5*ZS4 + ZS12 + 0.7*ZS18 Charakteristická s přímým zatížením, k-t: 0.505, β: 0.500
KZ581	ZS1 + ZS2 + 0.5*ZS4 + ZS13 + 0.7*ZS18 Charakteristická s přímým zatížením, k-t: 0.505, β: 0.500
KZ582	ZS1 + ZS2 + 0.5*ZS4 + ZS14 + 0.7*ZS18 Charakteristická s přímým zatížením, k-t: 0.505, β: 0.500
KZ583	ZS1 + ZS2 + 0.5*ZS4 + ZS15 + 0.7*ZS18 Charakteristická s přímým zatížením, k-t: 0.505, β: 0.500
KZ584	ZS1 + ZS2 + 0.5*ZS4 + ZS16 + 0.7*ZS18 Charakteristická s přímým zatížením, k-t: 0.505, β: 0.500
KZ585	ZS1 + ZS2 + 0.5*ZS4 + ZS17 + 0.7*ZS18 Charakteristická s přímým zatížením, k-t: 0.505, β: 0.500
KZ586	ZS1 + ZS2 + 0.5*ZS5 + ZS6 + 0.7*ZS18 Charakteristická s přímým zatížením, k-t: 0.505, β: 0.500
KZ587	ZS1 + ZS2 + 0.5*ZS5 + ZS7 + 0.7*ZS18 Charakteristická s přímým zatížením, k-t: 0.505, β: 0.500
KZ588	ZS1 + ZS2 + 0.5*ZS5 + ZS8 + 0.7*ZS18 Charakteristická s přímým zatížením, k-t: 0.505, β: 0.500
KZ589	ZS1 + ZS2 + 0.5*ZS5 + ZS9 + 0.7*ZS18 Charakteristická s přímým zatížením, k-t: 0.505, β: 0.500
KZ590	ZS1 + ZS2 + 0.5*ZS5 + ZS10 + 0.7*ZS18 Charakteristická s přímým zatížením, k-t: 0.505, β: 0.500
KZ591	ZS1 + ZS2 + 0.5*ZS5 + ZS11 + 0.7*ZS18 Charakteristická s přímým zatížením, k-t: 0.505, β: 0.500
KZ592	ZS1 + ZS2 + 0.5*ZS5 + ZS12 + 0.7*ZS18 Charakteristická s přímým zatížením, k-t: 0.505, β: 0.500
KZ593	ZS1 + ZS2 + 0.5*ZS5 + ZS13 + 0.7*ZS18 Charakteristická s přímým zatížením, k-t: 0.505, β: 0.500
KZ594	ZS1 + ZS2 + 0.5*ZS5 + ZS14 + 0.7*ZS18 Charakteristická s přímým zatížením, k-t: 0.505, β: 0.500
KZ595	ZS1 + ZS2 + 0.5*ZS5 + ZS15 + 0.7*ZS18 Charakteristická s přímým zatížením, k-t: 0.505, β: 0.500
KZ596	ZS1 + ZS2 + 0.5*ZS5 + ZS16 + 0.7*ZS18 Charakteristická s přímým zatížením, k-t: 0.505, β: 0.500
KZ597	ZS1 + ZS2 + 0.5*ZS5 + ZS17 + 0.7*ZS18 Charakteristická s přímým zatížením, k-t: 0.505, β: 0.500
KZ598	ZS1 + ZS2 + ZS6 + 0.7*ZS18 Charakteristická s přímým zatížením, k-t: 0.492, β: 0.500
KZ599	ZS1 + ZS2 + ZS7 + 0.7*ZS18 Charakteristická s přímým zatížením, k-t: 0.492, β: 0.500
KZ600	ZS1 + ZS2 + ZS8 + 0.7*ZS18 Charakteristická s přímým zatížením, k-t: 0.492, β: 0.500
KZ601	ZS1 + ZS2 + ZS9 + 0.7*ZS18 Charakteristická s přímým zatížením, k-t: 0.492, β: 0.500
KZ602	ZS1 + ZS2 + ZS10 + 0.7*ZS18 Charakteristická s přímým zatížením, k-t: 0.492, β: 0.500
KZ603	ZS1 + ZS2 + ZS11 + 0.7*ZS18 Charakteristická s přímým zatížením, k-t: 0.492, β: 0.500
KZ604	ZS1 + ZS2 + ZS12 + 0.7*ZS18 Charakteristická s přímým zatížením, k-t: 0.492, β: 0.500
KZ605	ZS1 + ZS2 + ZS13 + 0.7*ZS18



Projekt:

Model: HOŘICE-KONSTRUKCE\_3D\_Budova\_redukováné ..

## 1.1 ZÁKLADNÍ ÚDAJE

	Charakteristická s přímým zatížením, k-t: 0.492, β: 0.500
KZ606	ZS1 + ZS2 + ZS14 + 0.7*ZS18
	Charakteristická s přímým zatížením, k-t: 0.492, β: 0.500
KZ607	ZS1 + ZS2 + ZS15 + 0.7*ZS18
	Charakteristická s přímým zatížením, k-t: 0.492, β: 0.500
KZ608	ZS1 + ZS2 + ZS16 + 0.7*ZS18
	Charakteristická s přímým zatížením, k-t: 0.492, β: 0.500
KZ609	ZS1 + ZS2 + ZS17 + 0.7*ZS18
	Charakteristická s přímým zatížením, k-t: 0.492, β: 0.500
KZ610	ZS1 + ZS2 + ZS18
	Charakteristická s přímým zatížením, k-t: 0.467, β: 0.500
KZ611	ZS1 + ZS2 + 0.5*ZS3 + ZS18
	Charakteristická s přímým zatížením, k-t: 0.486, β: 0.500
KZ612	ZS1 + ZS2 + 0.5*ZS4 + ZS18
	Charakteristická s přímým zatížením, k-t: 0.486, β: 0.500
KZ613	ZS1 + ZS2 + 0.5*ZS5 + ZS18
	Charakteristická s přímým zatížením, k-t: 0.486, β: 0.500
KZ614	ZS1 + ZS2 + 0.5*ZS3 + 0.6*ZS6 + ZS18
	Charakteristická s přímým zatížením, k-t: 0.502, β: 0.500
KZ615	ZS1 + ZS2 + 0.5*ZS3 + 0.6*ZS7 + ZS18
	Charakteristická s přímým zatížením, k-t: 0.502, β: 0.500
KZ616	ZS1 + ZS2 + 0.5*ZS3 + 0.6*ZS8 + ZS18
	Charakteristická s přímým zatížením, k-t: 0.502, β: 0.500
KZ617	ZS1 + ZS2 + 0.5*ZS3 + 0.6*ZS9 + ZS18
	Charakteristická s přímým zatížením, k-t: 0.502, β: 0.500
KZ618	ZS1 + ZS2 + 0.5*ZS3 + 0.6*ZS10 + ZS18
	Charakteristická s přímým zatížením, k-t: 0.502, β: 0.500
KZ619	ZS1 + ZS2 + 0.5*ZS3 + 0.6*ZS11 + ZS18
	Charakteristická s přímým zatížením, k-t: 0.502, β: 0.500
KZ620	ZS1 + ZS2 + 0.5*ZS3 + 0.6*ZS12 + ZS18
	Charakteristická s přímým zatížením, k-t: 0.502, β: 0.500
KZ621	ZS1 + ZS2 + 0.5*ZS3 + 0.6*ZS13 + ZS18
	Charakteristická s přímým zatížením, k-t: 0.502, β: 0.500
KZ622	ZS1 + ZS2 + 0.5*ZS3 + 0.6*ZS14 + ZS18
	Charakteristická s přímým zatížením, k-t: 0.502, β: 0.500
KZ623	ZS1 + ZS2 + 0.5*ZS3 + 0.6*ZS15 + ZS18
	Charakteristická s přímým zatížením, k-t: 0.502, β: 0.500
KZ624	ZS1 + ZS2 + 0.5*ZS3 + 0.6*ZS16 + ZS18
	Charakteristická s přímým zatížením, k-t: 0.502, β: 0.500
KZ625	ZS1 + ZS2 + 0.5*ZS3 + 0.6*ZS17 + ZS18
	Charakteristická s přímým zatížením, k-t: 0.502, β: 0.500
KZ626	ZS1 + ZS2 + 0.5*ZS4 + 0.6*ZS6 + ZS18
	Charakteristická s přímým zatížením, k-t: 0.502, β: 0.500
KZ627	ZS1 + ZS2 + 0.5*ZS4 + 0.6*ZS7 + ZS18
	Charakteristická s přímým zatížením, k-t: 0.502, β: 0.500
KZ628	ZS1 + ZS2 + 0.5*ZS4 + 0.6*ZS8 + ZS18
	Charakteristická s přímým zatížením, k-t: 0.502, β: 0.500
KZ629	ZS1 + ZS2 + 0.5*ZS4 + 0.6*ZS9 + ZS18
	Charakteristická s přímým zatížením, k-t: 0.502, β: 0.500
KZ630	ZS1 + ZS2 + 0.5*ZS4 + 0.6*ZS10 + ZS18
	Charakteristická s přímým zatížením, k-t: 0.502, β: 0.500
KZ631	ZS1 + ZS2 + 0.5*ZS4 + 0.6*ZS11 + ZS18
	Charakteristická s přímým zatížením, k-t: 0.502, β: 0.500
KZ632	ZS1 + ZS2 + 0.5*ZS4 + 0.6*ZS12 + ZS18
	Charakteristická s přímým zatížením, k-t: 0.502, β: 0.500
KZ633	ZS1 + ZS2 + 0.5*ZS4 + 0.6*ZS13 + ZS18
	Charakteristická s přímým zatížením, k-t: 0.502, β: 0.500
KZ634	ZS1 + ZS2 + 0.5*ZS4 + 0.6*ZS14 + ZS18
	Charakteristická s přímým zatížením, k-t: 0.502, β: 0.500
KZ635	ZS1 + ZS2 + 0.5*ZS4 + 0.6*ZS15 + ZS18
	Charakteristická s přímým zatížením, k-t: 0.502, β: 0.500
KZ636	ZS1 + ZS2 + 0.5*ZS4 + 0.6*ZS16 + ZS18
	Charakteristická s přímým zatížením, k-t: 0.502, β: 0.500
KZ637	ZS1 + ZS2 + 0.5*ZS4 + 0.6*ZS17 + ZS18
	Charakteristická s přímým zatížením, k-t: 0.502, β: 0.500
KZ638	ZS1 + ZS2 + 0.5*ZS5 + 0.6*ZS6 + ZS18
	Charakteristická s přímým zatížením, k-t: 0.502, β: 0.500
KZ639	ZS1 + ZS2 + 0.5*ZS5 + 0.6*ZS7 + ZS18
	Charakteristická s přímým zatížením, k-t: 0.502, β: 0.500
KZ640	ZS1 + ZS2 + 0.5*ZS5 + 0.6*ZS8 + ZS18
	Charakteristická s přímým zatížením, k-t: 0.502, β: 0.500
KZ641	ZS1 + ZS2 + 0.5*ZS5 + 0.6*ZS9 + ZS18
	Charakteristická s přímým zatížením, k-t: 0.502, β: 0.500
KZ642	ZS1 + ZS2 + 0.5*ZS5 + 0.6*ZS10 + ZS18
	Charakteristická s přímým zatížením, k-t: 0.502, β: 0.500
KZ643	ZS1 + ZS2 + 0.5*ZS5 + 0.6*ZS11 + ZS18
	Charakteristická s přímým zatížením, k-t: 0.502, β: 0.500
KZ644	ZS1 + ZS2 + 0.5*ZS5 + 0.6*ZS12 + ZS18
	Charakteristická s přímým zatížením, k-t: 0.502, β: 0.500
KZ645	ZS1 + ZS2 + 0.5*ZS5 + 0.6*ZS13 + ZS18
	Charakteristická s přímým zatížením, k-t: 0.502, β: 0.500
KZ646	ZS1 + ZS2 + 0.5*ZS5 + 0.6*ZS14 + ZS18
	Charakteristická s přímým zatížením, k-t: 0.502, β: 0.500
KZ647	ZS1 + ZS2 + 0.5*ZS5 + 0.6*ZS15 + ZS18
	Charakteristická s přímým zatížením, k-t: 0.502, β: 0.500
KZ648	ZS1 + ZS2 + 0.5*ZS5 + 0.6*ZS16 + ZS18
	Charakteristická s přímým zatížením, k-t: 0.502, β: 0.500
KZ649	ZS1 + ZS2 + 0.5*ZS5 + 0.6*ZS17 + ZS18
	Charakteristická s přímým zatížením, k-t: 0.502, β: 0.500
KZ650	ZS1 + ZS2 + 0.6*ZS6 + ZS18
	Charakteristická s přímým zatížením, k-t: 0.489, β: 0.500
KZ651	ZS1 + ZS2 + 0.6*ZS7 + ZS18
	Charakteristická s přímým zatížením, k-t: 0.489, β: 0.500
KZ652	ZS1 + ZS2 + 0.6*ZS8 + ZS18
	Charakteristická s přímým zatížením, k-t: 0.489, β: 0.500
KZ653	ZS1 + ZS2 + 0.6*ZS9 + ZS18
	Charakteristická s přímým zatížením, k-t: 0.489, β: 0.500



Projekt:

Model: HOŘICE-KONSTRUKCE\_3D\_Budova\_redukováné ..

## 1.1 ZÁKLADNÍ ÚDAJE

KZ654	VS1 + VS2 + 0.6*VS10 + VS18 Charakteristická s přímým zatížením, k-t: 0.489, β: 0.500
KZ655	VS1 + VS2 + 0.6*VS11 + VS18 Charakteristická s přímým zatížením, k-t: 0.489, β: 0.500
KZ656	VS1 + VS2 + 0.6*VS12 + VS18 Charakteristická s přímým zatížením, k-t: 0.489, β: 0.500
KZ657	VS1 + VS2 + 0.6*VS13 + VS18 Charakteristická s přímým zatížením, k-t: 0.489, β: 0.500
KZ658	VS1 + VS2 + 0.6*VS14 + VS18 Charakteristická s přímým zatížením, k-t: 0.489, β: 0.500
KZ659	VS1 + VS2 + 0.6*VS15 + VS18 Charakteristická s přímým zatížením, k-t: 0.489, β: 0.500
KZ660	VS1 + VS2 + 0.6*VS16 + VS18 Charakteristická s přímým zatížením, k-t: 0.489, β: 0.500
KZ661	VS1 + VS2 + 0.6*VS17 + VS18 Charakteristická s přímým zatížením, k-t: 0.489, β: 0.500
KZ662	VS1 + VS2 + VS25 Charakteristická s přímým zatížením, k-t: 0.467, β: 0.500
KZ663	VS1 + VS2 + 0.5*VS3 + VS25 Charakteristická s přímým zatížením, k-t: 0.486, β: 0.500
KZ664	VS1 + VS2 + 0.5*VS4 + VS25 Charakteristická s přímým zatížením, k-t: 0.486, β: 0.500
KZ665	VS1 + VS2 + 0.5*VS5 + VS25 Charakteristická s přímým zatížením, k-t: 0.486, β: 0.500
KZ666	VS1 + VS2 + 0.5*VS3 + 0.6*VS6 + VS25 Charakteristická s přímým zatížením, k-t: 0.502, β: 0.500
KZ667	VS1 + VS2 + 0.5*VS3 + 0.6*VS7 + VS25 Charakteristická s přímým zatížením, k-t: 0.502, β: 0.500
KZ668	VS1 + VS2 + 0.5*VS3 + 0.6*VS8 + VS25 Charakteristická s přímým zatížením, k-t: 0.502, β: 0.500
KZ669	VS1 + VS2 + 0.5*VS3 + 0.6*VS9 + VS25 Charakteristická s přímým zatížením, k-t: 0.502, β: 0.500
KZ670	VS1 + VS2 + 0.5*VS3 + 0.6*VS10 + VS25 Charakteristická s přímým zatížením, k-t: 0.502, β: 0.500
KZ671	VS1 + VS2 + 0.5*VS3 + 0.6*VS11 + VS25 Charakteristická s přímým zatížením, k-t: 0.502, β: 0.500
KZ672	VS1 + VS2 + 0.5*VS3 + 0.6*VS12 + VS25 Charakteristická s přímým zatížením, k-t: 0.502, β: 0.500
KZ673	VS1 + VS2 + 0.5*VS3 + 0.6*VS13 + VS25 Charakteristická s přímým zatížením, k-t: 0.502, β: 0.500
KZ674	VS1 + VS2 + 0.5*VS3 + 0.6*VS14 + VS25 Charakteristická s přímým zatížením, k-t: 0.502, β: 0.500
KZ675	VS1 + VS2 + 0.5*VS3 + 0.6*VS15 + VS25 Charakteristická s přímým zatížením, k-t: 0.502, β: 0.500
KZ676	VS1 + VS2 + 0.5*VS3 + 0.6*VS16 + VS25 Charakteristická s přímým zatížením, k-t: 0.502, β: 0.500
KZ677	VS1 + VS2 + 0.5*VS3 + 0.6*VS17 + VS25 Charakteristická s přímým zatížením, k-t: 0.502, β: 0.500
KZ678	VS1 + VS2 + 0.5*VS4 + 0.6*VS6 + VS25 Charakteristická s přímým zatížením, k-t: 0.502, β: 0.500
KZ679	VS1 + VS2 + 0.5*VS4 + 0.6*VS7 + VS25 Charakteristická s přímým zatížením, k-t: 0.502, β: 0.500
KZ680	VS1 + VS2 + 0.5*VS4 + 0.6*VS8 + VS25 Charakteristická s přímým zatížením, k-t: 0.502, β: 0.500
KZ681	VS1 + VS2 + 0.5*VS4 + 0.6*VS9 + VS25 Charakteristická s přímým zatížením, k-t: 0.502, β: 0.500
KZ682	VS1 + VS2 + 0.5*VS4 + 0.6*VS10 + VS25 Charakteristická s přímým zatížením, k-t: 0.502, β: 0.500
KZ683	VS1 + VS2 + 0.5*VS4 + 0.6*VS11 + VS25 Charakteristická s přímým zatížením, k-t: 0.502, β: 0.500
KZ684	VS1 + VS2 + 0.5*VS4 + 0.6*VS12 + VS25 Charakteristická s přímým zatížením, k-t: 0.502, β: 0.500
KZ685	VS1 + VS2 + 0.5*VS4 + 0.6*VS13 + VS25 Charakteristická s přímým zatížením, k-t: 0.502, β: 0.500
KZ686	VS1 + VS2 + 0.5*VS4 + 0.6*VS14 + VS25 Charakteristická s přímým zatížením, k-t: 0.502, β: 0.500
KZ687	VS1 + VS2 + 0.5*VS4 + 0.6*VS15 + VS25 Charakteristická s přímým zatížením, k-t: 0.502, β: 0.500
KZ688	VS1 + VS2 + 0.5*VS4 + 0.6*VS16 + VS25 Charakteristická s přímým zatížením, k-t: 0.502, β: 0.500
KZ689	VS1 + VS2 + 0.5*VS4 + 0.6*VS17 + VS25 Charakteristická s přímým zatížením, k-t: 0.502, β: 0.500
KZ690	VS1 + VS2 + 0.5*VS5 + 0.6*VS6 + VS25 Charakteristická s přímým zatížením, k-t: 0.502, β: 0.500
KZ691	VS1 + VS2 + 0.5*VS5 + 0.6*VS7 + VS25 Charakteristická s přímým zatížením, k-t: 0.502, β: 0.500
KZ692	VS1 + VS2 + 0.5*VS5 + 0.6*VS8 + VS25 Charakteristická s přímým zatížením, k-t: 0.502, β: 0.500
KZ693	VS1 + VS2 + 0.5*VS5 + 0.6*VS9 + VS25 Charakteristická s přímým zatížením, k-t: 0.502, β: 0.500
KZ694	VS1 + VS2 + 0.5*VS5 + 0.6*VS10 + VS25 Charakteristická s přímým zatížením, k-t: 0.502, β: 0.500
KZ695	VS1 + VS2 + 0.5*VS5 + 0.6*VS11 + VS25 Charakteristická s přímým zatížením, k-t: 0.502, β: 0.500
KZ696	VS1 + VS2 + 0.5*VS5 + 0.6*VS12 + VS25 Charakteristická s přímým zatížením, k-t: 0.502, β: 0.500
KZ697	VS1 + VS2 + 0.5*VS5 + 0.6*VS13 + VS25 Charakteristická s přímým zatížením, k-t: 0.502, β: 0.500
KZ698	VS1 + VS2 + 0.5*VS5 + 0.6*VS14 + VS25 Charakteristická s přímým zatížením, k-t: 0.502, β: 0.500
KZ699	VS1 + VS2 + 0.5*VS5 + 0.6*VS15 + VS25 Charakteristická s přímým zatížením, k-t: 0.502, β: 0.500
KZ700	VS1 + VS2 + 0.5*VS5 + 0.6*VS16 + VS25 Charakteristická s přímým zatížením, k-t: 0.502, β: 0.500
KZ701	VS1 + VS2 + 0.5*VS5 + 0.6*VS17 + VS25 Charakteristická s přímým zatížením, k-t: 0.502, β: 0.500
KZ702	VS1 + VS2 + 0.5*VS3 + 0.6*VS6 + 0.7*VS18 + VS25



Projekt:

Model: HOŘICE-KONSTRUKCE\_3D\_Budova\_redukováné ..

## 1.1 ZÁKLADNÍ ÚDAJE

	Charakteristická s přímým zatížením, k-t: 0.517, $\beta$ : 0.500
KZ703	Charakteristická s přímým zatížením, k-t: 0.517, $\beta$ : 0.500
KZ704	Charakteristická s přímým zatížením, k-t: 0.517, $\beta$ : 0.500
KZ705	Charakteristická s přímým zatížením, k-t: 0.517, $\beta$ : 0.500
KZ706	Charakteristická s přímým zatížením, k-t: 0.517, $\beta$ : 0.500
KZ707	Charakteristická s přímým zatížením, k-t: 0.517, $\beta$ : 0.500
KZ708	Charakteristická s přímým zatížením, k-t: 0.517, $\beta$ : 0.500
KZ709	Charakteristická s přímým zatížením, k-t: 0.517, $\beta$ : 0.500
KZ710	Charakteristická s přímým zatížením, k-t: 0.517, $\beta$ : 0.500
KZ711	Charakteristická s přímým zatížením, k-t: 0.517, $\beta$ : 0.500
KZ712	Charakteristická s přímým zatížením, k-t: 0.517, $\beta$ : 0.500
KZ713	Charakteristická s přímým zatížením, k-t: 0.517, $\beta$ : 0.500
KZ714	Charakteristická s přímým zatížením, k-t: 0.517, $\beta$ : 0.500
KZ715	Charakteristická s přímým zatížením, k-t: 0.517, $\beta$ : 0.500
KZ716	Charakteristická s přímým zatížením, k-t: 0.517, $\beta$ : 0.500
KZ717	Charakteristická s přímým zatížením, k-t: 0.517, $\beta$ : 0.500
KZ718	Charakteristická s přímým zatížením, k-t: 0.517, $\beta$ : 0.500
KZ719	Charakteristická s přímým zatížením, k-t: 0.517, $\beta$ : 0.500
KZ720	Charakteristická s přímým zatížením, k-t: 0.517, $\beta$ : 0.500
KZ721	Charakteristická s přímým zatížením, k-t: 0.517, $\beta$ : 0.500
KZ722	Charakteristická s přímým zatížením, k-t: 0.517, $\beta$ : 0.500
KZ723	Charakteristická s přímým zatížením, k-t: 0.517, $\beta$ : 0.500
KZ724	Charakteristická s přímým zatížením, k-t: 0.517, $\beta$ : 0.500
KZ725	Charakteristická s přímým zatížením, k-t: 0.517, $\beta$ : 0.500
KZ726	Charakteristická s přímým zatížením, k-t: 0.517, $\beta$ : 0.500
KZ727	Charakteristická s přímým zatížením, k-t: 0.517, $\beta$ : 0.500
KZ728	Charakteristická s přímým zatížením, k-t: 0.517, $\beta$ : 0.500
KZ729	Charakteristická s přímým zatížením, k-t: 0.517, $\beta$ : 0.500
KZ730	Charakteristická s přímým zatížením, k-t: 0.517, $\beta$ : 0.500
KZ731	Charakteristická s přímým zatížením, k-t: 0.517, $\beta$ : 0.500
KZ732	Charakteristická s přímým zatížením, k-t: 0.517, $\beta$ : 0.500
KZ733	Charakteristická s přímým zatížením, k-t: 0.517, $\beta$ : 0.500
KZ734	Charakteristická s přímým zatížením, k-t: 0.517, $\beta$ : 0.500
KZ735	Charakteristická s přímým zatížením, k-t: 0.517, $\beta$ : 0.500
KZ736	Charakteristická s přímým zatížením, k-t: 0.517, $\beta$ : 0.500
KZ737	Charakteristická s přímým zatížením, k-t: 0.517, $\beta$ : 0.500
KZ738	Charakteristická s přímým zatížením, k-t: 0.505, $\beta$ : 0.500
KZ739	Charakteristická s přímým zatížením, k-t: 0.505, $\beta$ : 0.500
KZ740	Charakteristická s přímým zatížením, k-t: 0.505, $\beta$ : 0.500
KZ741	Charakteristická s přímým zatížením, k-t: 0.489, $\beta$ : 0.500
KZ742	Charakteristická s přímým zatížením, k-t: 0.489, $\beta$ : 0.500
KZ743	Charakteristická s přímým zatížením, k-t: 0.489, $\beta$ : 0.500
KZ744	Charakteristická s přímým zatížením, k-t: 0.489, $\beta$ : 0.500
KZ745	Charakteristická s přímým zatížením, k-t: 0.489, $\beta$ : 0.500
KZ746	Charakteristická s přímým zatížením, k-t: 0.489, $\beta$ : 0.500
KZ747	Charakteristická s přímým zatížením, k-t: 0.489, $\beta$ : 0.500
KZ748	Charakteristická s přímým zatížením, k-t: 0.489, $\beta$ : 0.500
KZ749	Charakteristická s přímým zatížením, k-t: 0.489, $\beta$ : 0.500
KZ750	Charakteristická s přímým zatížením, k-t: 0.489, $\beta$ : 0.500





Projekt:

Model: HOŘICE-KONSTRUKCE\_3D\_Budova\_redukované ..

## 1.1 ZÁKLADNÍ ÚDAJE

KZ751	ZS1 + ZS2 + 0.6*ZS16 + ZS25
	Charakteristická s přímým zatížením, k-t: 0.489, β: 0.500
KZ752	ZS1 + ZS2 + 0.6*ZS17 + ZS25
	Charakteristická s přímým zatížením, k-t: 0.489, β: 0.500
KZ753	ZS1 + ZS2 + 0.6*ZS6 + 0.7*ZS18 + ZS25
	Charakteristická s přímým zatížením, k-t: 0.507, β: 0.500
KZ754	ZS1 + ZS2 + 0.6*ZS7 + 0.7*ZS18 + ZS25
	Charakteristická s přímým zatížením, k-t: 0.507, β: 0.500
KZ755	ZS1 + ZS2 + 0.6*ZS8 + 0.7*ZS18 + ZS25
	Charakteristická s přímým zatížením, k-t: 0.507, β: 0.500
KZ756	ZS1 + ZS2 + 0.6*ZS9 + 0.7*ZS18 + ZS25
	Charakteristická s přímým zatížením, k-t: 0.507, β: 0.500
KZ757	ZS1 + ZS2 + 0.6*ZS10 + 0.7*ZS18 + ZS25
	Charakteristická s přímým zatížením, k-t: 0.507, β: 0.500
KZ758	ZS1 + ZS2 + 0.6*ZS11 + 0.7*ZS18 + ZS25
	Charakteristická s přímým zatížením, k-t: 0.507, β: 0.500
KZ759	ZS1 + ZS2 + 0.6*ZS12 + 0.7*ZS18 + ZS25
	Charakteristická s přímým zatížením, k-t: 0.507, β: 0.500
KZ760	ZS1 + ZS2 + 0.6*ZS13 + 0.7*ZS18 + ZS25
	Charakteristická s přímým zatížením, k-t: 0.507, β: 0.500
KZ761	ZS1 + ZS2 + 0.6*ZS14 + 0.7*ZS18 + ZS25
	Charakteristická s přímým zatížením, k-t: 0.507, β: 0.500
KZ762	ZS1 + ZS2 + 0.6*ZS15 + 0.7*ZS18 + ZS25
	Charakteristická s přímým zatížením, k-t: 0.507, β: 0.500
KZ763	ZS1 + ZS2 + 0.6*ZS16 + 0.7*ZS18 + ZS25
	Charakteristická s přímým zatížením, k-t: 0.507, β: 0.500
KZ764	ZS1 + ZS2 + 0.6*ZS17 + 0.7*ZS18 + ZS25
	Charakteristická s přímým zatížením, k-t: 0.507, β: 0.500
KZ765	ZS1 + ZS2 + 0.7*ZS18 + ZS25
	Charakteristická s přímým zatížením, k-t: 0.492, β: 0.500
KZ766	ZS1 + ZS2
	Kvazistálá, k-t: 0.400, β: 0.500
KZ767	ZS1 + ZS2 + 0.6*ZS18
	Kvazistálá, k-t: 0.446, β: 0.500

Nastavení návrhové situace pro posouzení mezního stavu použitelnosti

Kombinace zatížení:

Charakteristická s přímým zatížením

Posouzení:  $k_1^*f_{ck}$ ,  $k_3^*f_{yk}$ 

Charakteristická s vneseným přetvořením

Posouzení:  $k_1^*f_{ck}$ ,  $k_4^*f_{yk}$ 

Častá

Posouzení:  $w_k$ 

Kvazistálá

Posouzení:  $k_2^*f_{ck}$ ,  $w_k$ ,  $u_l$ 

Deformaci vztáhnout na:

Nedeformovaný systém

## 1.2 MATERIÁLY

Mat. č.	Označení materiálu		Výztužná ocel	Komentář
	Třída pevnosti betonu			
4	Beton C35/45		B 500 S (A)	

## 1.3 PRŮŘEZY

Průřez č.	Mat. č.	Označení průřezu	Upozornění	Komentář
8	4	Obdélník 200/500		
9	4	Obdélník 200/750		
13	4	Obdélník 200/700		

Obdélník 200/750



Obdélník 200/500 Obdélník 200/700



## 1.5 PODPORY

Podpora č.	Uzel č.	Šířka podpory b [mm]	Přímé Podpora	Monolitické spojení	Koncová Podpora	Komentář
1	489	0.0	<input checked="" type="checkbox"/>	<input type="checkbox"/>	<input type="checkbox"/>	
2	491	0.0	<input checked="" type="checkbox"/>	<input type="checkbox"/>	<input type="checkbox"/>	
3	493	0.0	<input checked="" type="checkbox"/>	<input type="checkbox"/>	<input type="checkbox"/>	
4	495	0.0	<input checked="" type="checkbox"/>	<input type="checkbox"/>	<input type="checkbox"/>	
5	500	0.0	<input checked="" type="checkbox"/>	<input type="checkbox"/>	<input type="checkbox"/>	
6	503	0.0	<input checked="" type="checkbox"/>	<input type="checkbox"/>	<input type="checkbox"/>	
7	506	0.0	<input checked="" type="checkbox"/>	<input type="checkbox"/>	<input type="checkbox"/>	
8	509	0.0	<input checked="" type="checkbox"/>	<input type="checkbox"/>	<input type="checkbox"/>	
9	512	0.0	<input checked="" type="checkbox"/>	<input type="checkbox"/>	<input type="checkbox"/>	
10	518	0.0	<input checked="" type="checkbox"/>	<input type="checkbox"/>	<input type="checkbox"/>	
11	521	0.0	<input checked="" type="checkbox"/>	<input type="checkbox"/>	<input type="checkbox"/>	
12	560	0.0	<input checked="" type="checkbox"/>	<input type="checkbox"/>	<input type="checkbox"/>	
13	563	0.0	<input checked="" type="checkbox"/>	<input type="checkbox"/>	<input type="checkbox"/>	
14	566	0.0	<input checked="" type="checkbox"/>	<input type="checkbox"/>	<input type="checkbox"/>	
15	568	0.0	<input checked="" type="checkbox"/>	<input type="checkbox"/>	<input type="checkbox"/>	
16	570	0.0	<input checked="" type="checkbox"/>	<input type="checkbox"/>	<input type="checkbox"/>	
17	572	0.0	<input checked="" type="checkbox"/>	<input type="checkbox"/>	<input type="checkbox"/>	
18	576	0.0	<input checked="" type="checkbox"/>	<input type="checkbox"/>	<input type="checkbox"/>	
19	662	0.0	<input checked="" type="checkbox"/>	<input type="checkbox"/>	<input type="checkbox"/>	
20	664	0.0	<input checked="" type="checkbox"/>	<input type="checkbox"/>	<input type="checkbox"/>	
21	667	0.0	<input checked="" type="checkbox"/>	<input type="checkbox"/>	<input type="checkbox"/>	
22	670	0.0	<input checked="" type="checkbox"/>	<input type="checkbox"/>	<input type="checkbox"/>	
23	673	0.0	<input checked="" type="checkbox"/>	<input type="checkbox"/>	<input type="checkbox"/>	



Projekt:

Model: HOŘICE-KONSTRUKCE\_3D\_Budova\_redukováne ..

## 1.5 PODPORY

Podpora č.	Uzel č.	Šířka podpory b [mm]	Přímé Podpora	Monolitické spojení	Koncová Podpora	Komentář
24	676	0.0	<input checked="" type="checkbox"/>	<input type="checkbox"/>	<input type="checkbox"/>	
25	679	0.0	<input checked="" type="checkbox"/>	<input type="checkbox"/>	<input type="checkbox"/>	
26	685	0.0	<input checked="" type="checkbox"/>	<input type="checkbox"/>	<input type="checkbox"/>	
27	695	0.0	<input checked="" type="checkbox"/>	<input type="checkbox"/>	<input type="checkbox"/>	
28	697	0.0	<input checked="" type="checkbox"/>	<input type="checkbox"/>	<input type="checkbox"/>	
29	700	0.0	<input checked="" type="checkbox"/>	<input type="checkbox"/>	<input type="checkbox"/>	

### NASTAVENÍ

- ☐ Zohlednění limitované redistribuce podporových momentů  
☐ Redukce momentů resp. dimenzování pro momenty v lici monolitické podpory  
☒ Redukce posouvajících sil v oblasti podpory podle 6.2.2  
☒ Zmenšení posouvajících sil s osamělým zatížením podle 6.2.2(6) a 6.2.3(8)

## 1.6 SADA VÝZTUŽE Č. 1

Použito na prutech:	40,46,61-63,65,79,80,281,282,289,290,293-302,304,305,318-333
<b>PODÉLNÁ VÝZTUŽ</b>	
Možné průměry:	16.0, 20.0, 25.0 mm
Max. počet vrstev	2
Min. vzdál. pro 1. vrstvu:	20.0 mm
Min. vzdál. pro další vrstvu:	20.0 mm
Typ kotvení:	Přímý prut
Povrch výztuže:	Žebrovaný
Odstupňování výztuže:	Žádné
<b>TRMÍNKOVÁ VÝZTUŽ</b>	
Možné průměry:	8.0 mm
Počet stříhů:	2
Sklon:	90°
Typ kotvení:	Hák
Uspořádání trmínek:	Stejně vzdálenosti ve všech částech
<b>USPOŘÁDÁNÍ VÝZTUŽE</b>	
Krytí výztuže podle normy	<input type="checkbox"/>
Krytí výztuže c-horní:	30.0 mm
Krytí výztuže c-dolní:	30.0 mm
Krytí výztuže c-po stranách:	30.0 mm
Uspořádání výztuže:	-z (horní) - +z (dolní) (optimaliz. rozdělení)
Torzí výztuž rozmístěná po obvodu:	<input checked="" type="checkbox"/>
Zohledněné vnitřní síly:	N, V-y, V-z, M-T, M-y, M-z
<b>MINIMÁLNÍ VÝZTUŽ</b>	
Min. plocha výztuže (min A-s,horní):	0.00 mm <sup>2</sup>
Min. plocha výztuže (min A-s,dolní):	0.00 mm <sup>2</sup>
Minimální podélná výztuž podle normy:	<input checked="" type="checkbox"/>
Minimální smyková výztuž podle normy:	<input checked="" type="checkbox"/>
Podélná výztuž pro posouzení posouvající síly:	Použít nutnou podélnou výztuž
<b>SMYK VE STYČNÉ PLOŠE</b>	
Smyk ve styčné ploše možný:	<input type="checkbox"/>
Posouzení spojů pásnice na členěných průřezích	<input type="checkbox"/>
<b>NASTAVENÍ PRO EN 1992-1-1:2004/A1:2014</b>	
Max. stupeň výztužení:	8.00 %
Omezení tlakové zóny	<input checked="" type="checkbox"/>
Souč. spolehlivosti Gamma-c	TD 1.50, MM 1.20, MSP 1.00
Souč. spolehlivosti Gamma-s	TD 1.15, MM 1.00, MSP 1.00
Redukční součinitel Alpha-cc	TD 1.00, MM 1.00, MSP 1.00
Redukční součinitel Alpha-ct	TD 1.00, MM 1.00, MSP 1.00
Min. proměnný sklon tlakových diagonál	21.80 °
Max. proměnný sklon tlakových diagonál	45.00 °
<b>SERVICEABILITY</b>	
Posouzení trhlin	
Mezní hodnota přípustné šířky trhlin $w_{k,max,-z}$ (horní):	0.3 mm
Mezní hodnota přípustné šířky trhlin $w_{k,max,+z}$ (dolní):	0.3 mm
Posouzení bez přímého výpočtu šířky trhlin:	<input type="checkbox"/>
Posouzení s přímým výpočtem šířky trhlin:	<input checked="" type="checkbox"/>
Pro $s_{r,max}$ zohlednit vztah (7.14) :	<input checked="" type="checkbox"/>
Účinná pevnost betonu v tahu při vzniku trhlin:	1.000 * $f_{ctm}$
$A_{s,min}$ pro účinky od přetvoření:	<input type="checkbox"/>
<b>Analýza napětí</b>	
Omezení napětí betonu v tlaku $\sigma_c$ :	<input checked="" type="checkbox"/>
Podle návrhové situace s $k_1 \cdot f_{yk}$ a	
$k_2 \cdot f_{yk}$ podle EN 1992-1-1:2004/A1:2014	0.600
Součinitel $k_2$ pro omezení tlakového napětí v betonu $k_2$ :	0.450
Omezení napětí v oceli $\sigma_s$ :	<input checked="" type="checkbox"/>
Podle návrhové situace s $k_3 \cdot f_{yk}$ a	
$k_4 \cdot f_{yk}$ podle EN 1992-1-1:2004/A1:2014	0.800
Součinitel $k_4$ pro omezení napětí v oceli $k_4$ :	1.000
Posouzení deformací	
Průhyb $u_{l,z}$ :	<input checked="" type="checkbox"/>
Stanovení podélné výztuže	
Automaticky navýšit požadovanou podélnou výztuž pro posouzení mezního stavu použitelnosti:	<input checked="" type="checkbox"/>



Projekt:

Model: HOŘICE-KONSTRUKCE\_3D\_Budova\_redukováné ..

## 2.1 NUTNÁ VÝZTUŽ PO PRŮŘEZECH

Výztuž	Prut č.	Místo x [m]	Zatížení	Plocha výztuže	Jednotky	Chybová zpráva Upozornění
Průřez č.8 - Obdélník 200/500						
A <sub>s,z</sub> (horní)	282	2.057	KV1	451.74	mm <sup>2</sup>	
A <sub>s,z</sub> (dolní)	282	2.057	KV1	333.15	mm <sup>2</sup>	
A <sub>s,T</sub>	282	0.510	KV1	526.15	mm <sup>2</sup>	
a <sub>sw,V</sub> (tříminky)	281	0.000	KV1	189.31	mm <sup>2</sup> /m	58) 69)
a <sub>sw,T</sub> (tříminky)	282	0.510	KV1	75.54	mm <sup>2</sup> /m	
Průřez č.9 - Obdélník 200/750						
A <sub>s,z</sub> (horní)	46	4.065	KV1	236.96	mm <sup>2</sup>	26)
A <sub>s,z</sub> (dolní)	61	0.246	KV1	1309.19	mm <sup>2</sup>	13)
A <sub>s,T</sub>	65	3.449	KV1	221.46	mm <sup>2</sup>	
a <sub>sw,V</sub> (tříminky)	61	10.839	KV1	193.85	mm <sup>2</sup> /m	58)
a <sub>sw,T</sub> (tříminky)	65	3.449	KV1	22.36	mm <sup>2</sup> /m	
Průřez č.13 - Obdélník 200/700						
A <sub>s,z</sub> (horní)	297	2.057	KV1	270.24	mm <sup>2</sup>	
A <sub>s,z</sub> (dolní)	295	9.033	KV1	719.90	mm <sup>2</sup>	13)
A <sub>s,T</sub>	299	0.510	KV1	112.71	mm <sup>2</sup>	
a <sub>sw,V</sub> (tříminky)	293	0.000	KV1	189.31	mm <sup>2</sup> /m	58) 69)
a <sub>sw,T</sub> (tříminky)	299	0.510	KV1	12.11	mm <sup>2</sup> /m	

## 3.1 NAVRŽENÁ PODÉLNÁ VÝZTUŽ

Položka	Poloha	Počet	d <sub>s</sub>	A <sub>s</sub>	Délka	Místo x [m]		Hmotnost	Poznámka
č.	výztuže	prutů	[mm]	[cm <sup>2</sup> ]	[m]	z	do	[kg]	
Prut č.40 - Obdélník 200/750									
1	-z (horní)	2	16.0	402.12	9.353	-0.160	9.193	29.52	158)
2	+z (dolní)	2	16.0	402.12	9.353	-0.160	9.193	29.52	
3	+y (strana)	2	16.0	402.12	9.353	-0.160	9.193	29.52	
Prut č.46 - Obdélník 200/750									
1	-z (horní)	2	16.0	402.12	9.353	-0.160	9.193	29.52	158)
2	+z (dolní)	3	16.0	603.19	9.353	-0.160	9.193	44.29	
3	+y (strana)	2	16.0	402.12	9.353	-0.160	9.193	29.52	
Prut č.61 - Obdélník 200/750									
1	-z (horní)	2	16.0	402.12	11.159	-0.160	10.999	35.23	158)
2	+z (dolní)	3	16.0	603.19	11.159	-0.160	10.999	52.84	
3	+z (dolní)	4	16.0	804.25	11.159	-0.160	10.999	70.45	
4	+y (strana)	2	16.0	402.12	11.159	-0.160	10.999	35.23	
Prut č.62 - Obdélník 200/750									
1	-z (horní)	2	16.0	402.12	11.159	-0.160	10.999	35.23	158)
2	+z (dolní)	2	16.0	402.12	11.159	-0.160	10.999	35.23	
3	+z (dolní)	4	16.0	804.25	11.159	-0.160	10.999	70.45	
4	+y (strana)	2	16.0	402.12	11.159	-0.160	10.999	35.23	
Prut č.63 - Obdélník 200/750									
1	-z (horní)	2	16.0	402.12	11.159	-0.160	10.999	35.23	158)
2	+z (dolní)	2	16.0	402.12	11.159	-0.160	10.999	35.23	
3	+z (dolní)	4	16.0	804.25	11.159	-0.160	10.999	70.45	
4	+y (strana)	2	16.0	402.12	11.159	-0.160	10.999	35.23	
Prut č.65 - Obdélník 200/750									
1	-z (horní)	2	16.0	402.12	11.159	-0.160	10.999	35.23	158)
2	+z (dolní)	2	16.0	402.12	11.159	-0.160	10.999	35.23	
3	+z (dolní)	4	16.0	804.25	11.159	-0.160	10.999	70.45	
4	+y (strana)	2	16.0	402.12	11.159	-0.160	10.999	35.23	
Prut č.79 - Obdélník 200/750									
1	-z (horní)	2	16.0	402.12	11.159	-0.160	10.999	35.23	158)
2	+z (dolní)	2	16.0	402.12	11.159	-0.160	10.999	35.23	
3	+z (dolní)	4	16.0	804.25	11.159	-0.160	10.999	70.45	
4	+y (strana)	2	16.0	402.12	11.159	-0.160	10.999	35.23	
Prut č.80 - Obdélník 200/750									
1	-z (horní)	2	16.0	402.12	11.159	-0.160	10.999	35.23	158)
2	+z (dolní)	4	16.0	804.25	11.159	-0.160	10.999	70.45	
3	+y (strana)	2	16.0	402.12	11.159	-0.160	10.999	35.23	
Prut č.281 - Obdélník 200/500									
1	-z (horní)	3	16.0	603.19	11.159	-0.160	10.999	52.84	158)
2	+z (dolní)	2	16.0	402.12	11.159	-0.160	10.999	35.23	
3	+y (strana)	2	16.0	402.12	11.159	-0.160	10.999	35.23	
Prut č.282 - Obdélník 200/500									
1	-z (horní)	3	16.0	603.19	11.159	-0.160	10.999	52.84	158)
2	+z (dolní)	2	16.0	402.12	11.159	-0.160	10.999	35.23	
3	+y (strana)	4	16.0	804.25	11.159	-0.160	10.999	70.45	
Prut č.289 - Obdélník 200/500									
1	-z (horní)	2	16.0	402.12	9.353	-0.160	9.193	29.52	158)
2	+z (dolní)	2	16.0	402.12	9.353	-0.160	9.193	29.52	
3	+y (strana)	2	16.0	402.12	9.353	-0.160	9.193	29.52	
Prut č.290 - Obdélník 200/500									
1	-z (horní)	2	16.0	402.12	9.353	-0.160	9.193	29.52	158)
2	+z (dolní)	2	16.0	402.12	9.353	-0.160	9.193	29.52	
3	+y (strana)	2	16.0	402.12	9.353	-0.160	9.193	29.52	
Prut č.293 - Obdélník 200/700									
1	-z (horní)	2	16.0	402.12	9.353	-0.160	9.193	29.52	158)
2	+z (dolní)	4	16.0	804.25	9.353	-0.160	9.193	59.05	
3	+y (strana)	2	16.0	402.12	9.353	-0.160	9.193	29.52	
Prut č.294 - Obdélník 200/700									
1	-z (horní)	2	16.0	402.12	9.353	-0.160	9.193	29.52	158)
2	+z (dolní)	4	16.0	804.25	9.353	-0.160	9.193	59.05	
3	+y (strana)	2	16.0	402.12	9.353	-0.160	9.193	29.52	
Prut č.295 - Obdélník 200/700									
1	-z (horní)	2	16.0	402.12	9.353	-0.160	9.193	29.52	158)
2	+z (dolní)	4	16.0	804.25	9.353	-0.160	9.193	59.05	
3	+y (strana)	2	16.0	402.12	9.353	-0.160	9.193	29.52	
Prut č.296 - Obdélník 200/700									
1	-z (horní)	2	16.0	402.12	9.353	-0.160	9.193	29.52	59.05
2	+z (dolní)	4	16.0	804.25	9.353	-0.160	9.193	59.05	



Projekt:

Model: HOŘICE-KONSTRUKCE\_3D\_Budova\_redukováne ...

**3.1 NAVRŽENÁ PODÉLNÁ VÝZTUŽ**

Položka č.	Poloha výztuže	Počet prutů	d <sub>s</sub> [mm]	A <sub>s</sub> [cm <sup>2</sup> ]	Délka [m]	Místo x [m]		Hmotnost [kg]	Poznámka
						z	do		
3	+y (strana)	2	16.0	402.12	9.353	-0.160	9.193	29.52	158)
Prut č.297 - Obdélník 200/700									
1	-z (horní)	2	16.0	402.12	9.353	-0.160	9.193	29.52	
2	+z (dolní)	2	16.0	402.12	9.353	-0.160	9.193	29.52	
3	+y (strana)	2	16.0	402.12	9.353	-0.160	9.193	29.52	158)
Prut č.298 - Obdélník 200/700									
1	-z (horní)	2	16.0	402.12	9.353	-0.160	9.193	29.52	
2	+z (dolní)	4	16.0	804.25	9.353	-0.160	9.193	59.05	
3	+y (strana)	2	16.0	402.12	9.353	-0.160	9.193	29.52	158)
Prut č.299 - Obdélník 200/700									
1	-z (horní)	2	16.0	402.12	9.353	-0.160	9.193	29.52	
2	+z (dolní)	2	16.0	402.12	9.353	-0.160	9.193	29.52	
3	+y (strana)	2	16.0	402.12	9.353	-0.160	9.193	29.52	158)
Prut č.300 - Obdélník 200/700									
1	-z (horní)	2	16.0	402.12	9.353	-0.160	9.193	29.52	
2	+z (dolní)	4	16.0	804.25	9.353	-0.160	9.193	59.05	
3	+y (strana)	2	16.0	402.12	9.353	-0.160	9.193	29.52	158)
Prut č.301 - Obdélník 200/700									
1	-z (horní)	2	16.0	402.12	9.353	-0.160	9.193	29.52	
2	+z (dolní)	4	16.0	804.25	9.353	-0.160	9.193	59.05	
3	+y (strana)	2	16.0	402.12	9.353	-0.160	9.193	29.52	158)
Prut č.302 - Obdélník 200/700									
1	-z (horní)	2	16.0	402.12	9.353	-0.160	9.193	29.52	
2	+z (dolní)	4	16.0	804.25	9.353	-0.160	9.193	59.05	
3	+y (strana)	2	16.0	402.12	9.353	-0.160	9.193	29.52	158)
Prut č.304 - Obdélník 200/700									
1	-z (horní)	2	16.0	402.12	9.353	-0.160	9.193	29.52	
2	+z (dolní)	4	16.0	804.25	9.353	-0.160	9.193	59.05	
3	+y (strana)	2	16.0	402.12	9.353	-0.160	9.193	29.52	158)
Prut č.305 - Obdélník 200/700									
1	-z (horní)	2	16.0	402.12	9.353	-0.160	9.193	29.52	
2	+z (dolní)	4	16.0	804.25	9.353	-0.160	9.193	59.05	
3	+y (strana)	2	16.0	402.12	9.353	-0.160	9.193	29.52	158)
Prut č.318 - Obdélník 200/500									
1	-z (horní)	2	16.0	402.12	2.127	-0.160	1.967	6.71	158)
2	+z (dolní)	2	16.0	402.12	2.127	-0.160	1.967	6.71	158)
3	+y (strana)	2	16.0	402.12	2.127	-0.160	1.967	6.71	158)
Prut č.319 - Obdélník 200/500									
1	-z (horní)	2	16.0	402.12	2.127	-0.160	1.967	6.71	158)
2	+z (dolní)	2	16.0	402.12	2.127	-0.160	1.967	6.71	158)
3	+y (strana)	2	16.0	402.12	2.127	-0.160	1.967	6.71	158)
Prut č.320 - Obdélník 200/500									
1	-z (horní)	2	16.0	402.12	2.127	-0.160	1.967	6.71	158)
2	+z (dolní)	2	16.0	402.12	2.127	-0.160	1.967	6.71	158)
3	+y (strana)	2	16.0	402.12	2.127	-0.160	1.967	6.71	158)
Prut č.321 - Obdélník 200/500									
1	-z (horní)	2	16.0	402.12	2.127	-0.160	1.967	6.71	158)
2	+z (dolní)	2	16.0	402.12	2.178	-0.160	2.018	6.87	158)
3	+y (strana)	2	16.0	402.12	2.127	-0.160	1.967	6.71	158)
Prut č.322 - Obdélník 200/500									
1	-z (horní)	2	16.0	402.12	2.127	-0.160	1.967	6.71	158)
2	+z (dolní)	2	16.0	402.12	2.178	-0.160	2.018	6.88	158)
3	+y (strana)	2	16.0	402.12	2.127	-0.160	1.967	6.71	158)
Prut č.323 - Obdélník 200/500									
1	-z (horní)	2	16.0	402.12	2.127	-0.160	1.967	6.71	158)
2	+z (dolní)	2	16.0	402.12	2.180	-0.160	2.020	6.88	158)
3	+y (strana)	2	16.0	402.12	2.127	-0.160	1.967	6.71	158)
Prut č.324 - Obdélník 200/500									
1	-z (horní)	2	16.0	402.12	2.127	-0.160	1.967	6.71	158)
2	+z (dolní)	2	16.0	402.12	2.181	-0.160	2.021	6.88	158)
3	+y (strana)	2	16.0	402.12	2.127	-0.160	1.967	6.71	158)
Prut č.325 - Obdélník 200/500									
1	-z (horní)	2	16.0	402.12	2.127	-0.160	1.967	6.71	158)
2	+z (dolní)	2	16.0	402.12	2.157	-0.160	1.997	6.81	158)
3	+y (strana)	2	16.0	402.12	2.127	-0.160	1.967	6.71	158)
Prut č.326 - Obdélník 200/500									
1	-z (horní)	2	16.0	402.12	2.127	-0.160	1.967	6.71	158)
2	+z (dolní)	2	16.0	402.12	2.157	-0.160	1.997	6.81	158)
3	+y (strana)	2	16.0	402.12	2.127	-0.160	1.967	6.71	158)
Prut č.327 - Obdélník 200/500									
1	-z (horní)	2	16.0	402.12	2.127	-0.160	1.967	6.71	158)
2	+z (dolní)	2	16.0	402.12	2.138	-0.160	1.978	6.75	158)
3	+y (strana)	2	16.0	402.12	2.127	-0.160	1.967	6.71	158)
Prut č.328 - Obdélník 200/500									
1	-z (horní)	2	16.0	402.12	2.127	-0.160	1.967	6.71	158)
2	+z (dolní)	2	16.0	402.12	2.138	-0.160	1.978	6.75	158)
3	+y (strana)	2	16.0	402.12	2.127	-0.160	1.967	6.71	158)
Prut č.329 - Obdélník 200/500									
1	-z (horní)	2	16.0	402.12	2.127	-0.160	1.967	6.71	158)
2	+z (dolní)	2	16.0	402.12	2.150	-0.160	1.990	6.79	158)
3	+y (strana)	2	16.0	402.12	2.127	-0.160	1.967	6.71	158)
Prut č.330 - Obdélník 200/500									
1	-z (horní)	2	16.0	402.12	2.127	-0.160	1.967	6.71	158)
2	+z (dolní)	2	16.0	402.12	2.151	-0.160	1.991	6.79	158)
3	+y (strana)	2	16.0	402.12	2.127	-0.160	1.967	6.71	158)
Prut č.331 - Obdélník 200/500									
1	-z (horní)	2	16.0	402.12	2.127	-0.160	1.967	6.71	158)
2	+z (dolní)	2	16.0	402.12	2.198	-0.160	2.038	6.94	
3	+y (strana)	2	16.0	402.12	2.127	-0.160	1.967	6.71	158)
Prut č.332 - Obdélník 200/500									
1	-z (horní)	2	16.0	402.12	2.127	-0.160	1.967	6.71	158)
2	+z (dolní)	2	16.0	402.12	2.199	-0.160	2.039	6.94	
3	+y (strana)	2	16.0	402.12	2.127	-0.160	1.967	6.71	158)
Prut č.333 - Obdélník 200/500									



Projekt:

Model: HOŘICE-KONSTRUKCE\_3D\_Budova\_redukované ..

### 3.1 NAVRŽENÁ PODÉLNÁ VÝZTUŽ

Položka	Poloha	Počet	d <sub>s</sub>	A <sub>s</sub>	Délka	Místo x [m]		Hmotnost	Poznámka
č.	výztuže	prutů	[mm]	[cm <sup>2</sup> ]	[m]	z	do	[kg]	
1	-z (horní)	2	16.0	402.12	2.127	-0.160	1.967	6.71	158)
2	+z (dolní)	2	16.0	402.12	2.127	-0.160	1.967	6.71	158)
3	+y (strana)	2	16.0	402.12	2.127	-0.160	1.967	6.71	158)

#### 3.1.1 NAVRŽENÁ PODÉLNÁ VÝZTUŽ - UKOTVENÍ

Položka	Typ kotvení	Spřažení	l <sub>bd</sub> [m]	l <sub>1</sub> [m]	l <sub>2</sub> [m]	Celkové [m]	d <sub>br</sub> [m]
č.							
Prut č.40 - Obdélník 200/750							
1 Začátek	Přímý prut	průměrné	0.160	0.160	-	0.160	-
1 Konec	Přímý prut	průměrné	0.160	0.160	-	0.160	-
2 Začátek	Přímý prut	dobré	0.160	0.160	-	0.160	-
2 Konec	Přímý prut	dobré	0.160	0.160	-	0.160	-
3 Začátek	Přímý prut	průměrné	0.160	0.160	-	0.160	-
3 Konec	Přímý prut	průměrné	0.160	0.160	-	0.160	-
Prut č.46 - Obdélník 200/750							
1 Začátek	Přímý prut	průměrné	0.160	0.160	-	0.160	-
1 Konec	Přímý prut	průměrné	0.160	0.160	-	0.160	-
2 Začátek	Přímý prut	dobré	0.160	0.160	-	0.160	-
2 Konec	Přímý prut	dobré	0.160	0.160	-	0.160	-
3 Začátek	Přímý prut	průměrné	0.160	0.160	-	0.160	-
3 Konec	Přímý prut	průměrné	0.160	0.160	-	0.160	-
Prut č.61 - Obdélník 200/750							
1 Začátek	Přímý prut	průměrné	0.160	0.160	-	0.160	-
1 Konec	Přímý prut	průměrné	0.160	0.160	-	0.160	-
2 Začátek	Přímý prut	dobré	0.160	0.160	-	0.160	-
2 Konec	Přímý prut	dobré	0.160	0.160	-	0.160	-
3 Začátek	Přímý prut	dobré	0.160	0.160	-	0.160	-
3 Konec	Přímý prut	dobré	0.160	0.160	-	0.160	-
4 Začátek	Přímý prut	průměrné	0.160	0.160	-	0.160	-
4 Konec	Přímý prut	průměrné	0.160	0.160	-	0.160	-
Prut č.62 - Obdélník 200/750							
1 Začátek	Přímý prut	průměrné	0.160	0.160	-	0.160	-
1 Konec	Přímý prut	průměrné	0.160	0.160	-	0.160	-
2 Začátek	Přímý prut	dobré	0.160	0.160	-	0.160	-
2 Konec	Přímý prut	dobré	0.160	0.160	-	0.160	-
3 Začátek	Přímý prut	dobré	0.160	0.160	-	0.160	-
3 Konec	Přímý prut	dobré	0.160	0.160	-	0.160	-
4 Začátek	Přímý prut	průměrné	0.160	0.160	-	0.160	-
4 Konec	Přímý prut	průměrné	0.160	0.160	-	0.160	-
Prut č.63 - Obdélník 200/750							
1 Začátek	Přímý prut	průměrné	0.160	0.160	-	0.160	-
1 Konec	Přímý prut	průměrné	0.160	0.160	-	0.160	-
2 Začátek	Přímý prut	dobré	0.160	0.160	-	0.160	-
2 Konec	Přímý prut	dobré	0.160	0.160	-	0.160	-
3 Začátek	Přímý prut	dobré	0.160	0.160	-	0.160	-
3 Konec	Přímý prut	dobré	0.160	0.160	-	0.160	-
4 Začátek	Přímý prut	průměrné	0.160	0.160	-	0.160	-
4 Konec	Přímý prut	průměrné	0.160	0.160	-	0.160	-
Prut č.65 - Obdélník 200/750							
1 Začátek	Přímý prut	průměrné	0.160	0.160	-	0.160	-
1 Konec	Přímý prut	průměrné	0.160	0.160	-	0.160	-
2 Začátek	Přímý prut	dobré	0.160	0.160	-	0.160	-
2 Konec	Přímý prut	dobré	0.160	0.160	-	0.160	-
3 Začátek	Přímý prut	dobré	0.160	0.160	-	0.160	-
3 Konec	Přímý prut	dobré	0.160	0.160	-	0.160	-
4 Začátek	Přímý prut	průměrné	0.160	0.160	-	0.160	-
4 Konec	Přímý prut	průměrné	0.160	0.160	-	0.160	-
Prut č.79 - Obdélník 200/750							
1 Začátek	Přímý prut	průměrné	0.160	0.160	-	0.160	-
1 Konec	Přímý prut	průměrné	0.160	0.160	-	0.160	-
2 Začátek	Přímý prut	dobré	0.160	0.160	-	0.160	-
2 Konec	Přímý prut	dobré	0.160	0.160	-	0.160	-
3 Začátek	Přímý prut	dobré	0.160	0.160	-	0.160	-
3 Konec	Přímý prut	dobré	0.160	0.160	-	0.160	-
4 Začátek	Přímý prut	průměrné	0.160	0.160	-	0.160	-
4 Konec	Přímý prut	průměrné	0.160	0.160	-	0.160	-
Prut č.80 - Obdélník 200/750							
1 Začátek	Přímý prut	průměrné	0.160	0.160	-	0.160	-
1 Konec	Přímý prut	průměrné	0.160	0.160	-	0.160	-
2 Začátek	Přímý prut	dobré	0.160	0.160	-	0.160	-
2 Konec	Přímý prut	dobré	0.160	0.160	-	0.160	-
3 Začátek	Přímý prut	průměrné	0.160	0.160	-	0.160	-
3 Konec	Přímý prut	průměrné	0.160	0.160	-	0.160	-
Prut č.281 - Obdélník 200/500							
1 Začátek	Přímý prut	průměrné	0.160	0.160	-	0.160	-
1 Konec	Přímý prut	průměrné	0.160	0.160	-	0.160	-
2 Začátek	Přímý prut	dobré	0.160	0.160	-	0.160	-
2 Konec	Přímý prut	dobré	0.160	0.160	-	0.160	-
3 Začátek	Přímý prut	průměrné	0.160	0.160	-	0.160	-
3 Konec	Přímý prut	průměrné	0.160	0.160	-	0.160	-
Prut č.282 - Obdélník 200/500							
1 Začátek	Přímý prut	průměrné	0.160	0.160	-	0.160	-
1 Konec	Přímý prut	průměrné	0.160	0.160	-	0.160	-
2 Začátek	Přímý prut	dobré	0.160	0.160	-	0.160	-
2 Konec	Přímý prut	dobré	0.160	0.160	-	0.160	-
3 Začátek	Přímý prut	průměrné	0.160	0.160	-	0.160	-
3 Konec	Přímý prut	průměrné	0.160	0.160	-	0.160	-
Prut č.289 - Obdélník 200/500							
1 Začátek	Přímý prut	průměrné	0.160	0.160	-	0.160	-
1 Konec	Přímý prut	průměrné	0.160	0.160	-	0.160	-
2 Začátek	Přímý prut	dobré	0.160	0.160	-	0.160	-

Projekt:

Model: HOŘICE-KONSTRUKCE 3D Budova redukované...

### 3.1.1 NAVRŽENÁ PODÉLNÁ VÝZTUŽ - UKOTVENÍ

[illegible]

Projekt:

Model: HOŘICE-KONSTRUKCE 3D Budova redukované ..

### ■ 3.1.1 NAVRŽENÁ PODÉLNÁ VÝZTUŽ - UKOTVENÍ

[illegible]



Projekt:

Model: HOŘICE-KONSTRUKCE\_3D\_Budova\_redukováne ...

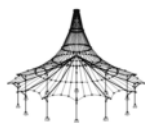
**3.1.1 NAVRŽENÁ PODÉLNÁ VÝZTUŽ - UKOTVENÍ**

Položka č.	Typ kotvení	Spřažení	$l_{bd}$ [m]	$l_1$ [m]	$l_2$ [m]	Celkové [m]	$d_{br}$ [m]
2 Začátek	Přímý prut	dobré	0.160	0.160	-	0.160	-
2 Konec	Přímý prut	dobré	0.231	0.231	-	0.231	-
3 Začátek	Přímý prut	průměrné	0.160	0.160	-	0.160	-
3 Konec	Přímý prut	průměrné	0.160	0.160	-	0.160	-
Prut č.332 - Obdélník 200/500							
1 Začátek	Přímý prut	průměrné	0.160	0.160	-	0.160	-
1 Konec	Přímý prut	průměrné	0.160	0.160	-	0.160	-
2 Začátek	Přímý prut	dobré	0.160	0.160	-	0.160	-
2 Konec	Přímý prut	dobré	0.232	0.232	-	0.232	-
3 Začátek	Přímý prut	průměrné	0.160	0.160	-	0.160	-
3 Konec	Přímý prut	průměrné	0.160	0.160	-	0.160	-
Prut č.333 - Obdélník 200/500							
1 Začátek	Přímý prut	průměrné	0.160	0.160	-	0.160	-
1 Konec	Přímý prut	průměrné	0.160	0.160	-	0.160	-
2 Začátek	Přímý prut	dobré	0.160	0.160	-	0.160	-
2 Konec	Přímý prut	dobré	0.160	0.160	-	0.160	-
3 Začátek	Přímý prut	průměrné	0.160	0.160	-	0.160	-
3 Konec	Přímý prut	průměrné	0.160	0.160	-	0.160	-

**3.2 NAVRŽENÁ TŘMÍNKOVÁ VÝZTUŽ**

Položka č.	Počet třmínek	$d_s$ [mm]	Délka [m]	Místo x [m]		Vzdálenost $s_t$ [m]	Rozměry třmínek [mm]	Počet střihů	Hmotnost [kg]	Poznámka
Prut č. 40	Obdélník 200/750									
1	40	8.0	9.033	0.000	9.033	0.232	706.0/156.0/97.1	2	30.28	115)
Prut č. 46	Obdélník 200/750									
2	40	8.0	9.033	0.000	9.033	0.232	706.0/156.0/97.1	2	30.28	115)
Prut č. 61	Obdélník 200/750									
3	47	8.0	10.839	0.000	10.839	0.236	706.0/156.0/97.1	2	35.57	115)
Prut č. 62	Obdélník 200/750									
4	47	8.0	10.839	0.000	10.839	0.236	706.0/156.0/97.1	2	35.57	115)
Prut č. 63	Obdélník 200/750									
5	47	8.0	10.839	0.000	10.839	0.236	706.0/156.0/97.1	2	35.57	115)
Prut č. 65	Obdélník 200/750									
6	47	8.0	10.839	0.000	10.839	0.236	706.0/156.0/97.1	2	35.57	115)
Prut č. 79	Obdélník 200/750									
7	47	8.0	10.839	0.000	10.839	0.236	706.0/156.0/97.1	2	35.57	115)
Prut č. 80	Obdélník 200/750									
8	47	8.0	10.839	0.000	10.839	0.236	706.0/156.0/97.1	2	35.57	115)
Prut č. 281	Obdélník 200/500									
9	63	8.0	10.839	0.000	10.839	0.175	456.0/156.0/97.1	2	35.26	115)
Prut č. 282	Obdélník 200/500									
10	63	8.0	10.839	0.000	10.839	0.175	456.0/156.0/97.1	2	35.26	115)
Prut č. 289	Obdélník 200/500									
11	53	8.0	9.033	0.000	9.033	0.174	456.0/156.0/97.1	2	29.66	115)
Prut č. 290	Obdélník 200/500									
12	53	8.0	9.033	0.000	9.033	0.174	456.0/156.0/97.1	2	29.66	115)
Prut č. 293	Obdélník 200/700									
13	42	8.0	9.033	0.000	9.033	0.220	656.0/156.0/97.1	2	30.13	115)
Prut č. 294	Obdélník 200/700									
14	42	8.0	9.033	0.000	9.033	0.220	656.0/156.0/97.1	2	30.13	115)
Prut č. 295	Obdélník 200/700									
15	42	8.0	9.033	0.000	9.033	0.220	656.0/156.0/97.1	2	30.13	115)
Prut č. 296	Obdélník 200/700									
16	42	8.0	9.033	0.000	9.033	0.220	656.0/156.0/97.1	2	30.13	115)
Prut č. 297	Obdélník 200/700									
17	42	8.0	9.033	0.000	9.033	0.220	656.0/156.0/97.1	2	30.13	115)
Prut č. 298	Obdélník 200/700									
18	42	8.0	9.033	0.000	9.033	0.220	656.0/156.0/97.1	2	30.13	115)
Prut č. 299	Obdélník 200/700									
19	42	8.0	9.033	0.000	9.033	0.220	656.0/156.0/97.1	2	30.13	115)
Prut č. 300	Obdélník 200/700									
20	42	8.0	9.033	0.000	9.033	0.220	656.0/156.0/97.1	2	30.13	115)
Prut č. 301	Obdélník 200/700									
21	42	8.0	9.033	0.000	9.033	0.220	656.0/156.0/97.1	2	30.13	115)
Prut č. 302	Obdélník 200/700									
22	42	8.0	9.033	0.000	9.033	0.220	656.0/156.0/97.1	2	30.13	115)
Prut č. 304	Obdélník 200/700									
23	42	8.0	9.033	0.000	9.033	0.220	656.0/156.0/97.1	2	30.13	115)
Prut č. 305	Obdélník 200/700									
24	42	8.0	9.033	0.000	9.033	0.220	656.0/156.0/97.1	2	30.13	115)
Prut č. 318	Obdélník 200/500									
25	12	8.0	1.807	0.000	1.807	0.164	456.0/156.0/97.1	2	6.72	115)
Prut č. 319	Obdélník 200/500									
26	12	8.0	1.807	0.000	1.807	0.164	456.0/156.0/97.1	2	6.72	115)
Prut č. 320	Obdélník 200/500									
27	12	8.0	1.807	0.000	1.807	0.164	456.0/156.0/97.1	2	6.72	115)
Prut č. 321	Obdélník 200/500									
28	12	8.0	1.807	0.000	1.807	0.164	456.0/156.0/97.1	2	6.72	115)
Prut č. 322	Obdélník 200/500									
29	12	8.0	1.807	0.000	1.807	0.164	456.0/156.0/97.1	2	6.72	115)
Prut č. 323	Obdélník 200/500									
30	12	8.0	1.807	0.000	1.807	0.164	456.0/156.0/97.1	2	6.72	115)
Prut č. 324	Obdélník 200/500									
31	12	8.0	1.807	0.000	1.807	0.164	456.0/156.0/97.1	2	6.72	115)
Prut č. 325	Obdélník 200/500									
32	12	8.0	1.807	0.000	1.807	0.164	456.0/156.0/97.1	2	6.72	115)
Prut č. 326	Obdélník 200/500									
33	12	8.0	1.807	0.000	1.807	0.164	456.0/156.0/97.1	2	6.72	115)
Prut č. 327	Obdélník 200/500									
34	12	8.0	1.807	0.000	1.807	0.164	456.0/156.0/97.1	2	6.72	115)





Projekt:

Model: HOŘICE-KONSTRUKCE\_3D\_Budova\_redukováne ..

### 3.2 NAVRŽENÁ TŘMÍNKOVÁ VÝZTUŽ

Položka č.	Počet třmínek	d <sub>s</sub> [mm]	Délka [m]	Místo x [m]		Vzdálenost s <sub>tr</sub> [m]	Rozměry třmínek [mm]	Počet střihů	Hmotnost [kg]	Poznámka
				z	do					
Prut č. 328	-	Obdélník 200/500								
35	12	8.0	1.807	0.000	1.807	0.164	456.0/156.0/97.1	2	6.72	115)
Prut č. 329	-	Obdélník 200/500								
36	12	8.0	1.807	0.000	1.807	0.164	456.0/156.0/97.1	2	6.72	115)
Prut č. 330	-	Obdélník 200/500								
37	12	8.0	1.807	0.000	1.807	0.164	456.0/156.0/97.1	2	6.72	115)
Prut č. 331	-	Obdélník 200/500								
38	12	8.0	1.807	0.000	1.807	0.164	456.0/156.0/97.1	2	6.72	115)
Prut č. 332	-	Obdélník 200/500								
39	12	8.0	1.807	0.000	1.807	0.164	456.0/156.0/97.1	2	6.72	115)
Prut č. 333	-	Obdélník 200/500								
40	12	8.0	1.807	0.000	1.807	0.164	456.0/156.0/97.1	2	6.72	115)

### 4.1 POSOUZENÍ POUŽITELNOSTI PO PRŮŘEZECH

Průřez č.	Místo x [m]	Zatížení	Typ	Posouzení					Poznámka
				Navržená hodnota	Mezní hodn.	Jedn.	Využití		
Průřez č.8 - Obdélník 200/500									
322	1.807	KZ767	$U_{z,local}$	1.9	14.4	mm	0.14		
282	2.057	KZ518	$\sigma_c$	-14.00	-21.00	MPa	0.67		
281	2.559	KZ596	$\sigma_s$	223.52	400.00	MPa	0.56		
281	0.000	KZ766	$w_k$	0.000	0.300	mm	0.00	204)	215)
Průřez č.9 - Obdélník 200/750									
62	8.376	KZ766	$U_{z,local}$	35.5	43.4	mm	0.82		
61	4.510	KZ680	$\sigma_c$	-20.36	-21.00	MPa	0.97		
62	4.510	KZ704	$\sigma_s$	320.43	400.00	MPa	0.81		
62	4.927	KZ766	$w_k$	0.106	0.300	mm	0.36		
Průřez č.13 - Obdélník 200/700									
294	6.510	KZ767	$U_{z,local}$	19.1	36.1	mm	0.53		
304	4.510	KZ710	$\sigma_c$	-14.40	-21.00	MPa	0.69		
296	4.510	KZ726	$\sigma_s$	287.14	400.00	MPa	0.72		
296	4.510	KZ766	$w_k$	0.093	0.300	mm	0.31		



## KRStatic s.r.o.

Korunní 2569/108, 101 00 Praha 10

Hlavní budova\_redukována zatížení

RF-CONCRETE Columns

RF-CONCRETE  
Columns  
PR1  
sloupy\_hala

Projekt:

Model: HOŘICE-KONSTRUKCE\_3D\_Budova\_redukováne ..

### 1.1 ZÁKLADNÍ ÚDAJE

Posouzení podle normy:	CSN EN 1992-1-1/NA:2016-05		
MEZNÍ STAV ÚNOSNOSTI			
Navrhované kombinace výsledků:	KV1	MSÚ (STR/GEO) - trvalá/dočasná - rovn. 6.10a a 6.10b	Trvalá a dočasná
STÁLÉ ZATÍŽENÍ ZPŮSOBUJÍCÍ DOTVAROVÁNÍ			
Zatěžovací stavy k posouzení:	ZS2	ostatní stálé	

### 1.2 MATERIÁLY

Materiál č.	Označení materiálu		Upozornění	Komentář
	Třída pevnosti betonu	Výztužná ocel		
3	Ocel S 235	B 500 S (A)	2)	
4	Beton C35/45	B 500 S (A)		
5	Beton C40/50	B 500 S (A)		
Upozornění:				
2) Horní omezení třídy pevnosti betonu je překročeno!				

### 1.3 PRŮŘEZY

Řez	Materiál č.	Označení průřezu	Upozornění	Komentář
č.				
18	5	Obdélník 400/500		
19	5	Obdélník 400/400		

### 1.4 SADA VÝZTUŽE Č. 1

Použito na prutech:	Vše (202-205,229-234,249,250,264,274-276)
PODÉLNÁ VÝZTUŽ	
Možné průměry:	28.0 mm
Uspořádání výztuže - obdélník:	Stejněměrně po obvodu
Minim. vzdálenost 1. vrstvy výztuže:	20.0 mm
Typ ukotvení:	Přímý
Povrch výztuže:	Žebrovaný
TŘMÍNKY	
Možné průměry:	10.0 mm
Počet stříhů - obdélník:	2
Min. smyková výztuž $A_{sw}$ :	podle normy
Typ ukotvení:	Hák
KONSTRUKČNÍ VÝZTUŽ	
Max. vzdálenost konstrukční výztuže:	300.0 mm
KRYTÍ BETONEM	
Krytí výztuže podle normy	<input type="checkbox"/>
Osová vzdálenost krytí betonu - obdélník $C_z$ :	30.0 mm
Osová vzdálenost krytí betonu - obdélník $C_y$ :	30.0 mm
Rozhodující vnitřní síly:	N, V-y, V-z, M-y, M-z
NASTAVENÍ PRO CSN EN 1992-1-1/NA:2016-05	
Maximální podélná výztuž podle normy	<input checked="" type="checkbox"/>
Minimální podélná výztuž podle normy	<input checked="" type="checkbox"/>
Dílčí součinitel spolehlivosti podle tabulky 2.1N: $\gamma_c$ :	1.5000
Dílčí součinitel spolehlivosti podle tabulky 2.1N: $\gamma_s$ :	1.1500
Faktor $\alpha_{cc}$ :	1.0000
Min. sklon tlakové diagonály betonu:	45.000 °
Max. sklon tlakové diagonály betonu:	45.000 °

### 1.5 PARAMETRY - PODLE PRUTŮ

Prut č.	Průřez	Směr	Nebezpečí vzpěru	Systém neztužený	Délka [m]	Poměr $\beta$	Účinná délka [m] / Štíhlost
202	18 - Obdélník 400/500	okolo osy y	+	+	8.458	2.1800	18.439 / 127.7
		okolo osy z	+	+	8.458	2.1800	18.439 / 159.7
203	18 - Obdélník 400/500	okolo osy y	+	+	8.458	2.1800	18.439 / 127.7
		okolo osy z	+	+	8.458	2.1800	18.439 / 159.7
204	18 - Obdélník 400/500	okolo osy y	+	+	8.458	2.1800	18.439 / 127.7
		okolo osy z	+	+	8.458	2.1800	18.439 / 159.7
205	18 - Obdélník 400/500	okolo osy y	+	+	8.458	2.1800	18.439 / 127.7
		okolo osy z	+	+	8.458	2.1800	18.439 / 159.7
229	19 - Obdélník 400/400	okolo osy y	+	+	8.676	2.1800	18.914 / 163.8
		okolo osy z	+	+	8.676	2.1800	18.914 / 163.8
230	19 - Obdélník 400/400	okolo osy y	+	+	9.138	2.1800	19.920 / 172.5
		okolo osy z	+	+	9.138	2.1800	19.920 / 172.5
231	19 - Obdélník 400/400	okolo osy y	+	+	9.095	2.1800	19.827 / 171.7
		okolo osy z	+	+	9.095	2.1800	19.827 / 171.7
232	19 - Obdélník 4	okolo osy y	+	+	8.633	2.1800	18.821 / 163.0



Projekt:

Model: HOŘICE-KONSTRUKCE\_3D\_Budova\_redukováne ..

## ■ 1.5 PARAMETRY - PODLE PRUTŮ

Prut č.	Průřez	Směr	Nebezpečí vzpěru	Systém neztužený	Délka [m]	Poměr $\beta$	Účinná délka [m] / Štíhlost
233	400/400						
	18 - Obdélník 400/500	okolo osy z okolo osy y	+ +	+ +	8.633 9.381	2.1800 2.1800	18.821 / 163.0 20.451 / 141.7
234	18 - Obdélník 400/500	okolo osy z okolo osy y	+ +	+ +	9.381 9.381	2.1800 2.1800	20.451 / 177.1 20.451 / 141.7
249	18 - Obdélník 400/500	okolo osy z okolo osy y	+ +	+ +	9.381 9.381	2.1800 2.1800	20.451 / 177.1 20.451 / 141.7
250	18 - Obdélník 400/500	okolo osy z okolo osy y	+ +	+ +	9.381 9.381	2.1800 2.1800	20.451 / 177.1 20.451 / 141.7
264	18 - Obdélník 400/500	okolo osy z okolo osy y	+ +	+ +	9.381 8.458	2.1800 2.1800	20.451 / 177.1 18.439 / 127.7
274	18 - Obdélník 400/500	okolo osy z okolo osy y	+ +	+ +	8.458 8.458	2.1800 2.5310	18.439 / 159.7 21.408 / 148.3
275	18 - Obdélník 400/500	okolo osy z okolo osy y	+ +	+ +	8.458 8.458	2.0250 2.4800	17.128 / 148.3 20.976 / 145.3
276	18 - Obdélník 400/500	okolo osy z okolo osy y	+ +	+ +	8.458 8.458	1.9840 2.1800	16.781 / 145.3 18.439 / 127.7
		okolo osy z	+	+	8.458	2.1800	18.439 / 159.7

## ■ 2.1 POSOUZENÍ PRUTŮ

Prut č.	Rozhodující ZS	Posouzení poměru	Kritérium	Upozornění
202	Průřez č.18 - Obdélník 400/500			
	KV1	0.6904	$\leq 1$	100) POSOUZENÍ V KRITICKÉM PRŮŘEZU MODELOVÉHO SLOUPU PODLE ODS. 5.8.8
202	Průřez č.18 - Obdélník 400/500			
	KV1	0.0404	$\leq 1$	201) POSOUZENÍ POSOUVAJÍCÍCH SIL ( $V_{Ed} / V_{Rd,c} \leq 1$ ) PODLE 6.2.2 (2) S (6.4)
202	Průřez č.18 - Obdélník 400/500			
	KV1	0.3586	$\leq 1$	202) POSOUZENÍ POSOUVAJÍCÍCH SIL ( $V_{Ed} / V_{Rd,c} \leq 1$ ) PODLE 6.2.2 (1) S (6.2.a)
203	Průřez č.18 - Obdélník 400/500			
	KV1	0.6193	$\leq 1$	100) POSOUZENÍ V KRITICKÉM PRŮŘEZU MODELOVÉHO SLOUPU PODLE ODS. 5.8.8
203	Průřez č.18 - Obdélník 400/500			
	KV1	0.0656	$\leq 1$	201) POSOUZENÍ POSOUVAJÍCÍCH SIL ( $V_{Ed} / V_{Rd,c} \leq 1$ ) PODLE 6.2.2 (2) S (6.4)
203	Průřez č.18 - Obdélník 400/500			
	KV1	0.2237	$\leq 1$	202) POSOUZENÍ POSOUVAJÍCÍCH SIL ( $V_{Ed} / V_{Rd,c} \leq 1$ ) PODLE 6.2.2 (1) S (6.2.a)
204	Průřez č.18 - Obdélník 400/500			
		0.8512	$\leq 1$	100) POSOUZENÍ V KRITICKÉM PRŮŘEZU MODELOVÉHO SLOUPU PODLE ODS. 5.8.8
204	Průřez č.18 - Obdélník 400/500			
	KV1	0.3156	$\leq 1$	202) POSOUZENÍ POSOUVAJÍCÍCH SIL ( $V_{Ed} / V_{Rd,c} \leq 1$ ) PODLE 6.2.2 (1) S (6.2.a)
205	Průřez č.18 - Obdélník 400/500			
		0.7647	$\leq 1$	100) POSOUZENÍ V KRITICKÉM PRŮŘEZU MODELOVÉHO SLOUPU PODLE ODS. 5.8.8
205	Průřez č.18 - Obdélník 400/500			
	KV1	0.0903	$\leq 1$	201) POSOUZENÍ POSOUVAJÍCÍCH SIL ( $V_{Ed} / V_{Rd,c} \leq 1$ ) PODLE 6.2.2 (2) S (6.4)
205	Průřez č.18 - Obdélník 400/500			
	KV1	0.1717	$\leq 1$	202) POSOUZENÍ POSOUVAJÍCÍCH SIL ( $V_{Ed} / V_{Rd,c} \leq 1$ ) PODLE 6.2.2 (1) S (6.2.a)
229	Průřez č.19 - Obdélník 400/400			
		0.3851	$\leq 1$	100) POSOUZENÍ V KRITICKÉM PRŮŘEZU MODELOVÉHO SLOUPU PODLE ODS. 5.8.8
229	Průřez č.19 - Obdélník 400/400			
	KV1	0.0283	$\leq 1$	201) POSOUZENÍ POSOUVAJÍCÍCH SIL ( $V_{Ed} / V_{Rd,c} \leq 1$ ) PODLE 6.2.2 (2) S (6.4)
229	Průřez č.19 - Obdélník 400/400			
		0.1762	$\leq 1$	202) POSOUZENÍ POSOUVAJÍCÍCH SIL ( $V_{Ed} / V_{Rd,c} \leq 1$ ) PODLE 6.2.2 (1) S (6.2.a)
230	Průřez č.19 - Obdélník 400/400			
		0.5452	$\leq 1$	100) POSOUZENÍ V KRITICKÉM PRŮŘEZU MODELOVÉHO SLOUPU PODLE ODS. 5.8.8
230	Průřez č.19 - Obdélník 400/400			
	KV1	0.0167	$\leq 1$	201) POSOUZENÍ POSOUVAJÍCÍCH SIL ( $V_{Ed} / V_{Rd,c} \leq 1$ ) PODLE 6.2.2 (2) S (6.4)
230	Průřez č.19 - Obdélník 400/400			
	KV1	0.1887	$\leq 1$	202) POSOUZENÍ POSOUVAJÍCÍCH SIL ( $V_{Ed} / V_{Rd,c} \leq 1$ ) PODLE 6.2.2 (1) S (6.2.a)
231	Průřez č.19 - Obdélník 400/400			
		0.5150	$\leq 1$	100) POSOUZENÍ V KRITICKÉM PRŮŘEZU MODELOVÉHO SLOUPU PODLE ODS. 5.8.8
231	Průřez č.19 - Obdélník 400/400			
	KV1	0.0408	$\leq 1$	201) POSOUZENÍ POSOUVAJÍCÍCH SIL ( $V_{Ed} / V_{Rd,c} \leq 1$ ) PODLE 6.2.2 (2) S (6.4)
231	Průřez č.19 - Obdélník 400/400			
	KV1	0.2265	$\leq 1$	202) POSOUZENÍ POSOUVAJÍCÍCH SIL ( $V_{Ed} / V_{Rd,c} \leq 1$ ) PODLE 6.2.2 (1) S (6.2.a)
232	Průřez č.19 - Obdélník 400/400			
		0.3770	$\leq 1$	100) POSOUZENÍ V KRITICKÉM PRŮŘEZU MODELOVÉHO SLOUPU PODLE ODS. 5.8.8
232	Průřez č.19 - Obdélník 400/400			
	KV1	0.0665	$\leq 1$	201) POSOUZENÍ POSOUVAJÍCÍCH SIL ( $V_{Ed} / V_{Rd,c} \leq 1$ ) PODLE 6.2.2 (2) S (6.4)
232	Průřez č.19 - Obdélník 400/400			
	KV1	0.2210	$\leq 1$	202) POSOUZENÍ POSOUVAJÍCÍCH SIL ( $V_{Ed} / V_{Rd,c} \leq 1$ ) PODLE 6.2.2 (1) S (6.2.a)
233	Průřez č.18 - Obdélník 400/500			
	KV1	0.9198	$\leq 1$	100) POSOUZENÍ V KRITICKÉM PRŮŘEZU MODELOVÉHO SLOUPU PODLE ODS. 5.8.8
233	Průřez č.18 - Obdélník 400/500			
	KV1	0.1357	$\leq 1$	201) POSOUZENÍ POSOUVAJÍCÍCH SIL ( $V_{Ed} / V_{Rd,c} \leq 1$ ) PODLE 6.2.2 (2) S (6.4)
233	Průřez č.18 - Obdélník 400/500			



Projekt:

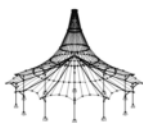
Model: HOŘICE-KONSTRUKCE\_3D\_Budova\_redukované ..

## 2.1 POSOUZENÍ PRUTŮ

Prut č.	Rozhodující ZS	Posouzení		Upozornění
		poměru	Kritérium	
234	KV1	0.2530	$\leq 1$	202) POSOUZENÍ POSOUVAJÍCÍCH SIL ( $V_{Ed} / V_{Rd,c} \leq 1$ ) PODLE 6.2.2 (1) S (6.2.a)
		Průřez č.18 - Obdélník 400/500		
234	KV1	0.7540	$\leq 1$	100) POSOUZENÍ V KRITICKÉM PRŮŘEZU MODELOVÉHO SLOUPU PODLE ODS. 5.8.8
		Průřez č.18 - Obdélník 400/500		
249	KV1	0.2951	$\leq 1$	202) POSOUZENÍ POSOUVAJÍCÍCH SIL ( $V_{Ed} / V_{Rd,c} \leq 1$ ) PODLE 6.2.2 (1) S (6.2.a)
		Průřez č.18 - Obdélník 400/500		
249	KV1	0.8087	$\leq 1$	100) POSOUZENÍ V KRITICKÉM PRŮŘEZU MODELOVÉHO SLOUPU PODLE ODS. 5.8.8
		Průřez č.18 - Obdélník 400/500		
249	KV1	0.0310	$\leq 1$	201) POSOUZENÍ POSOUVAJÍCÍCH SIL ( $V_{Ed} / V_{Rd,c} \leq 1$ ) PODLE 6.2.2 (2) S (6.4)
		Průřez č.18 - Obdélník 400/500		
250	KV1	0.5297	$\leq 1$	202) POSOUZENÍ POSOUVAJÍCÍCH SIL ( $V_{Ed} / V_{Rd,c} \leq 1$ ) PODLE 6.2.2 (1) S (6.2.a)
		Průřez č.18 - Obdélník 400/500		
250	KV1	0.8013	$\leq 1$	100) POSOUZENÍ V KRITICKÉM PRŮŘEZU MODELOVÉHO SLOUPU PODLE ODS. 5.8.8
		Průřez č.18 - Obdélník 400/500		
250	KV1	0.0455	$\leq 1$	201) POSOUZENÍ POSOUVAJÍCÍCH SIL ( $V_{Ed} / V_{Rd,c} \leq 1$ ) PODLE 6.2.2 (2) S (6.4)
		Průřez č.18 - Obdélník 400/500		
250	KV1	0.0838	$\leq 1$	202) POSOUZENÍ POSOUVAJÍCÍCH SIL ( $V_{Ed} / V_{Rd,c} \leq 1$ ) PODLE 6.2.2 (1) S (6.2.a)
		Průřez č.18 - Obdélník 400/500		
264	KV1	0.2792	$\leq 1$	100) POSOUZENÍ V KRITICKÉM PRŮŘEZU MODELOVÉHO SLOUPU PODLE ODS. 5.8.8
		Průřez č.18 - Obdélník 400/500		
264	KV1	0.1222	$\leq 1$	202) POSOUZENÍ POSOUVAJÍCÍCH SIL ( $V_{Ed} / V_{Rd,c} \leq 1$ ) PODLE 6.2.2 (1) S (6.2.a)
		Průřez č.18 - Obdélník 400/500		
274	KV1	0.6104	$\leq 1$	100) POSOUZENÍ V KRITICKÉM PRŮŘEZU MODELOVÉHO SLOUPU PODLE ODS. 5.8.8
		Průřez č.18 - Obdélník 400/500		
274	KV1	0.0286	$\leq 1$	201) POSOUZENÍ POSOUVAJÍCÍCH SIL ( $V_{Ed} / V_{Rd,c} \leq 1$ ) PODLE 6.2.2 (2) S (6.4)
		Průřez č.18 - Obdélník 400/500		
274	KV1	0.1385	$\leq 1$	202) POSOUZENÍ POSOUVAJÍCÍCH SIL ( $V_{Ed} / V_{Rd,c} \leq 1$ ) PODLE 6.2.2 (1) S (6.2.a)
		Průřez č.18 - Obdélník 400/500		
275	KV1	0.5203	$\leq 1$	100) POSOUZENÍ V KRITICKÉM PRŮŘEZU MODELOVÉHO SLOUPU PODLE ODS. 5.8.8
		Průřez č.18 - Obdélník 400/500		
275	KV1	0.0132	$\leq 1$	201) POSOUZENÍ POSOUVAJÍCÍCH SIL ( $V_{Ed} / V_{Rd,c} \leq 1$ ) PODLE 6.2.2 (2) S (6.4)
		Průřez č.18 - Obdélník 400/500		
275	KV1	0.1453	$\leq 1$	202) POSOUZENÍ POSOUVAJÍCÍCH SIL ( $V_{Ed} / V_{Rd,c} \leq 1$ ) PODLE 6.2.2 (1) S (6.2.a)
		Průřez č.18 - Obdélník 400/500		
276	KV1	0.4011	$\leq 1$	100) POSOUZENÍ V KRITICKÉM PRŮŘEZU MODELOVÉHO SLOUPU PODLE ODS. 5.8.8
		Průřez č.18 - Obdélník 400/500		
276	KV1	0.1419	$\leq 1$	202) POSOUZENÍ POSOUVAJÍCÍCH SIL ( $V_{Ed} / V_{Rd,c} \leq 1$ ) PODLE 6.2.2 (1) S (6.2.a)
		Průřez č.18 - Obdélník 400/500		

## 3.1 NUTNÁ VÝZTUŽ PO PRŮŘEZECH

Průřez č.	Typ výztuže	Prut č.	Místo x [ m ]	ZS / KZ KV	Výztuž			Chybová zpráva						
						Plocha	Jednotky	Upozornění						
18	Obdélník 400/500	233	0.247	KV1	As	5701.7	mm²							
18	Podélná výztuž													
	Obdélník 400/500	202	-	-	a <sub>sw</sub>	523.6	mm²/m							
	Smyková													
Štíhlost okolo osy y							λ <sub>y</sub>	127.7490						
Účinná délka							l <sub>0,y</sub>	18.439	m					
Součinitel vzpěrné délky							β <sub>y</sub>	2.180						
Geometrická délka							l <sub>y</sub>	8.458	m					
Štíhlost okolo osy z							λ <sub>z</sub>	159.6860						
Účinná délka							l <sub>0,z</sub>	18.439	m					
Součinitel vzpěrné délky							β <sub>z</sub>	2.180						
Geometrická délka							l <sub>z</sub>	8.458	m					
Vyhovuje předpokladu pro typické posouzení?								Ne						
Posouzení stability je nezbytné														
Momenty podle teorie I. řádu														
Působící normálová síla							N <sub>Ed</sub>	-242.315	kN					
Moment okolo osy y							M <sub>Ed,1,y</sub>	141.427	kNm					
Moment okolo osy z							M <sub>Ed,1,z</sub>	8.410	kNm					
Momenty podle teorie II. řádu (dotvarování)														
Působící normálová síla							N <sub>Ed</sub>	-242.315	kN					
Moment okolo osy y							M <sub>Ed,y2</sub>	234.041	kNm					
Moment okolo osy z							M <sub>Ed,z2</sub>	125.852	kNm					
19	Obdélník 400/400	230	0.000		As	2482.7	mm²							
19	Podélná výztuž													
	Obdélník 400/400	229	-	-	a <sub>sw</sub>	523.6	mm²/m							
	Smyková													
Štíhlost okolo osy y							λ <sub>y</sub>	163.8010						
Účinná délka							l <sub>0,y</sub>	18.914	m					
Součinitel vzpěrné délky							β <sub>y</sub>	2.180						
Geometrická délka							l <sub>y</sub>	8.676	m					
Štíhlost okolo osy z							λ <sub>z</sub>	163.8010						
Účinná délka							l <sub>0,z</sub>	18.914	m					
Součinitel vzpěrné délky							β <sub>z</sub>	2.180						
Geometrická délka							l <sub>z</sub>	8.676	m					
Vyhovuje předpokladu pro typické posouzení?								Ne						
Posouzení stability je nezbytné														



Projekt:

Model: HOŘICE-KONSTRUKCE\_3D\_Budova\_redukováne ...

### 3.1 NUTNÁ VÝZTUŽ PO PRŮŘEZECH

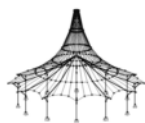
Průřez č.	Typ výztuže	Prut č.	Místo x [ m ]	ZS / KZ KV	Výztuž		Chybová zpráva	
					Plocha	Jednotky	Upozornění	
Momenty podle teorie I. řádu								
Působící normálová síla					N <sub>Ed</sub>		-63.911	kN
Moment okolo osy y					M <sub>Ed,1,y</sub>		99.774	kNm
Moment okolo osy z					M <sub>Ed,1,z</sub>		42.448	kNm
Momenty podle teorie II. řádu (dotvarování)								
Působící normálová síla					N <sub>Ed</sub>		-63.911	kN
Moment okolo osy y					M <sub>Ed,y2</sub>		132.366	kNm
Moment okolo osy z					M <sub>Ed,z2</sub>		45.287	kNm

### 4.1 NAVRŽENÁ PODÉLNÁ VÝZTUŽ

Průřez	Položka	Počet	d <sub>s</sub> [ mm ]	Místo x [ m ]		Ukotvení	Upozornění
	č.	prutů		od	do		
1	Prut č. 202 - Obdélník 400/500						
	1	6	28.0	-0.564	9.022	<input checked="" type="checkbox"/>	
1	Prut č. 203 - Obdélník 400/500						
	2	6	28.0	-0.495	8.953	<input checked="" type="checkbox"/>	
1	Prut č. 204 - Obdélník 400/500						
	3	6	28.0	-0.739	9.198	<input checked="" type="checkbox"/>	
1	Prut č. 205 - Obdélník 400/500						
	4	6	28.0	-0.656	9.114	<input checked="" type="checkbox"/>	
1	Prut č. 229 - Obdélník 400/400						
	5	8	28.0	-0.288	8.964	<input checked="" type="checkbox"/>	
1	Prut č. 230 - Obdélník 400/400						
	6	8	28.0	-0.429	9.567	<input checked="" type="checkbox"/>	
1	Prut č. 231 - Obdélník 400/400						
	7	8	28.0	-0.401	9.496	<input checked="" type="checkbox"/>	
1	Prut č. 232 - Obdélník 400/400						
	8	8	28.0	-0.280	8.913	<input checked="" type="checkbox"/>	
1	Prut č. 233 - Obdélník 400/500						
	9	10	28.0	-0.789	10.170	<input checked="" type="checkbox"/>	
1	Prut č. 234 - Obdélník 400/500						
	10	6	28.0	-0.703	10.084	<input checked="" type="checkbox"/>	
1	Prut č. 249 - Obdélník 400/500						
	11	6	28.0	-0.726	10.107	<input checked="" type="checkbox"/>	
1	Prut č. 250 - Obdélník 400/500						
	12	6	28.0	-0.724	10.105	<input checked="" type="checkbox"/>	
1	Prut č. 264 - Obdélník 400/500						
	13	6	28.0	-0.280	8.738	<input checked="" type="checkbox"/>	
1	Prut č. 274 - Obdélník 400/500						
	14	6	28.0	-0.480	8.939	<input checked="" type="checkbox"/>	
1	Prut č. 275 - Obdélník 400/500						
	15	6	28.0	-0.392	8.850	<input checked="" type="checkbox"/>	
1	Prut č. 276 - Obdélník 400/500						
	16	6	28.0	-0.301	8.760	<input checked="" type="checkbox"/>	

### 4.2 NAVRŽENÁ TŘMÍNKOVÁ VÝZTUŽ

Průřez	Položka	Počet	d <sub>s</sub> [ mm ]	Místo x [ m ]		Vzdál. s <sub>sw</sub> [mm]	Počet střihů	Upozorně
	č.	třmínků		od	do			
Prut č. 202 - Obdélník 400/500								
1	17	4	10.0	0.035	0.575	180.0	2	
2	17	24	10.0	0.575	7.775	300.0	2	
3	17	3	10.0	7.775	8.315	180.0	2	
Prut č. 203 - Obdélník 400/500								
1	17	4	10.0	0.035	0.575	180.0	2	
2	17	24	10.0	0.575	7.775	300.0	2	
3	17	3	10.0	7.775	8.315	180.0	2	
Prut č. 204 - Obdélník 400/500								
1	17	4	10.0	0.035	0.575	180.0	2	
2	17	24	10.0	0.575	7.775	300.0	2	
3	17	3	10.0	7.775	8.315	180.0	2	
Prut č. 205 - Obdélník 400/500								



Projekt:

Model: HOŘICE-KONSTRUKCE\_3D\_Budova\_redukováne ..

## ■ 4.2 NAVRŽENÁ TŘMÍNKOVÁ VÝZTUŽ

Průřez	Položka	Počet	d <sub>s</sub> [ mm ]	Místo x [ m ]		Vzdál. s <sub>sw</sub> [mm]	Počet	Upozorně
	č.	třmíneků		od	do		střihů	
1	17	4	10.0	0.035	0.575	180.0	2	
2	17	24	10.0	0.575	7.775	300.0	2	
3	17	3	10.0	7.775	8.315	180.0	2	
Prut č. 229 - Obdélník 400/400								
1	18	4	10.0	0.035	0.575	180.0	2	
2	18	25	10.0	0.575	8.075	300.0	2	
3	18	3	10.0	8.075	8.615	180.0	2	
Prut č. 230 - Obdélník 400/400								
1	18	4	10.0	0.035	0.575	180.0	2	
2	18	27	10.0	0.575	8.675	300.0	2	
3	18	2	10.0	8.675	9.035	180.0	2	
Prut č. 231 - Obdélník 400/400								
1	18	4	10.0	0.035	0.575	180.0	2	
2	18	27	10.0	0.575	8.675	300.0	2	
3	18	2	10.0	8.675	9.035	180.0	2	
Prut č. 232 - Obdélník 400/400								
1	18	4	10.0	0.035	0.575	180.0	2	
2	18	25	10.0	0.575	8.075	300.0	2	
3	18	2	10.0	8.075	8.435	180.0	2	
Prut č. 233 - Obdélník 400/500								
1	17	4	10.0	0.030	0.570	180.0	2	
2	17	27	10.0	0.570	8.670	300.0	2	
3	17	3	10.0	8.670	9.210	180.0	2	
Prut č. 234 - Obdélník 400/500								
1	17	4	10.0	0.035	0.575	180.0	2	
2	17	27	10.0	0.575	8.675	300.0	2	
3	17	3	10.0	8.675	9.215	180.0	2	
Prut č. 249 - Obdélník 400/500								
1	17	4	10.0	0.030	0.570	180.0	2	
2	17	27	10.0	0.570	8.670	300.0	2	
3	17	3	10.0	8.670	9.210	180.0	2	
Prut č. 250 - Obdélník 400/500								
1	17	4	10.0	0.030	0.570	180.0	2	
2	17	27	10.0	0.570	8.670	300.0	2	
3	17	3	10.0	8.670	9.210	180.0	2	
Prut č. 264 - Obdélník 400/500								
1	17	4	10.0	0.035	0.575	180.0	2	
2	17	24	10.0	0.575	7.775	300.0	2	
3	17	3	10.0	7.775	8.315	180.0	2	
Prut č. 274 - Obdélník 400/500								
1	17	4	10.0	0.035	0.575	180.0	2	
2	17	24	10.0	0.575	7.775	300.0	2	
3	17	3	10.0	7.775	8.315	180.0	2	
Prut č. 275 - Obdélník 400/500								
1	17	4	10.0	0.035	0.575	180.0	2	
2	17	24	10.0	0.575	7.775	300.0	2	
3	17	3	10.0	7.775	8.315	180.0	2	
Prut č. 276 - Obdélník 400/500								
1	17	4	10.0	0.035	0.575	180.0	2	
2	17	24	10.0	0.575	7.775	300.0	2	
3	17	3	10.0	7.775	8.315	180.0	2	



## KRStatic s.r.o.

Korunní 2569/108, 101 00 Praha 10

Hlavní budova\_redukováná zatížení

RF-CONCRETE Columns

Projekt: Model: HOŘICE-KONSTRUKCE\_3D\_Budova\_redukováné ..

### 4.3 VÝKAZ VÝZTUŽE

Položka	Typ	d <sub>s</sub>	Typ	Počet	Délka	Typ ukotvení		Průměr	Hmotnost	
č.	výztuže	[mm]	povrchu	prutů	[m]	Začátek	Konec	ohybu [mm]	[kg]	Upozornění
Materiál č. 5 - výztužná ocel B 500 S (A)										
1	Podélná	28.0	Žebrovaný	6	9.586	Přímý	Přímý		278.02	
2	Podélná	28.0	Žebrovaný	6	9.448	Přímý	Přímý		274.02	
3	Podélná	28.0	Žebrovaný	6	9.937	Přímý	Přímý		288.19	
4	Podélná	28.0	Žebrovaný	6	9.769	Přímý	Přímý		283.33	
5	Podélná	28.0	Žebrovaný	8	9.252	Přímý	Přímý		357.76	
6	Podélná	28.0	Žebrovaný	8	9.997	Přímý	Přímý		386.56	
7	Podélná	28.0	Žebrovaný	8	9.898	Přímý	Přímý		382.74	
8	Podélná	28.0	Žebrovaný	8	9.193	Přímý	Přímý		355.50	
9	Podélná	28.0	Žebrovaný	10	10.959	Přímý	Přímý		529.74	
10	Podélná	28.0	Žebrovaný	6	10.786	Přímý	Přímý		312.83	
11	Podélná	28.0	Žebrovaný	6	10.833	Přímý	Přímý		314.18	
12	Podélná	28.0	Žebrovaný	6	10.828	Přímý	Přímý		314.05	
13	Podélná	28.0	Žebrovaný	6	9.018	Přímý	Přímý		261.55	
14	Podélná	28.0	Žebrovaný	6	9.419	Přímý	Přímý		273.16	
15	Podélná	28.0	Žebrovaný	6	9.242	Přímý	Přímý		268.03	
16	Podélná	28.0	Žebrovaný	6	9.061	Přímý	Přímý		262.78	
17	Smyková	10.0	Žebrovaný	384	1.872	Hák	Hák		443.20	
18	Smyková	10.0	Žebrovaný	129	1.672	Hák	Hák		132.98	
Součet				621					5718.61	

RF-CONCRETE  
Columns  
PŘ2  
sloupy\_škola\_2NP

### 1.1 ZÁKLADNÍ ÚDAJE

Posouzení podle normy:	CSN EN 1992-1-1/NA:2016-05		
MEZNÍ STAV ÚNOSNOSTI			
Navrhované kombinace výsledků:	KV1	MSÚ (STR/GEO) - trvalá/dočasná - rovn. 6.10a a 6.10b	Trvalá a dočasná
STÁLÉ ZATÍŽENÍ ZPŮSOBUJÍCÍ DOTVAROVÁNÍ			
Zatěžovací stavy k posouzení:	ZS2	ostatní stálé	

### 1.2 MATERIÁLY

Materiál	Označení materiálu		Upozornění	Komentář
č.	Třída pevnosti betonu	Výztužná ocel		
3	Ocel S 235	B 500 S (A)	2)	
4	Beton C35/45	B 500 S (A)		
5	Beton C40/50	B 500 S (A)		
Upozornění:				
2) Horní omezení třídy pevnosti betonu je překročeno!				

### 1.3 PRŮŘEZY

Řez	Materiál	Označení průřezu	Upozornění	Komentář
č.	č.			
1	4	Obdélník 400/500		
2	4	Obdélník 400/400		

### 1.4 SADA VÝZTUŽE Č. 1

Použito na prutech:	Vše (2,4,8-12,15-17,20-22, 25-31,34,42,43,48-50,81-90)
PODÉLNÁ VÝZTUŽ	
Možné průměry:	16.0 mm
Uspořádání výztuže - obdélník:	Stejněměrně po obvodu
Minim. vzdálenost 1. vrstvy výztuže:	20.0 mm
Typ ukotvení:	Přímý
Povrch výztuže:	Žebrovaný
TŘMÍNKY	
Možné průměry:	10.0 mm
Počet střihů - obdélník:	2
Min. smyková výztuž A <sub>sw</sub> :	podle normy
Typ ukotvení:	Hák
KONSTRUKČNÍ VÝZTUŽ	
Max. vzdálenost konstrukční výztuže:	300.0 mm
KRYTÍ BETONEM	
Krytí výztuže podle normy	□
Osová vzdálenost krytí betonu - obdélník C <sub>z</sub> :	30.0 mm
Osová vzdálenost krytí betonu - obdélník C <sub>y</sub> :	30.0 mm
Rozhodující vnitřní síly:	N, V-y, V-z, M-y, M-z
NASTAVENÍ PRO CSN EN 1992-1-1/NA:2016-05	
Maximální podélná výztuž podle normy	☑
Minimální podélná výztuž podle normy	☑
Dílčí součinitel spolehlivosti podle tabulky 2.1N: γ <sub>c</sub> :	1.5000
Dílčí součinitel spolehlivosti podle tabulky 2.1N: γ <sub>s</sub> :	1.1500
Faktor α <sub>cc</sub> :	1.0000
Min. sklon tlakové diagonály betonu:	45.000 °
Max. sklon tlakové diagonály betonu:	45.000 °



Projekt:

Model: HOŘICE-KONSTRUKCE\_3D\_Budova\_redukové ..

## 1.5 PARAMETRY - PODLE PRUTŮ

Prut č.	Průřez	Směr	Nebezpečí vzpěru	Systém neztužený	Délka [m]	Poměr $\beta$	Účinná délka [m] / Štíhlost
2	1 - Obdélník 400/500	okolo osy y	+	+	4.098	2.0000	8.196 / 56.8
		okolo osy z	+	+	4.098	2.0000	8.196 / 71.0
4	1 - Obdélník 400/500	okolo osy y	+	+	4.867	2.0000	9.735 / 67.4
		okolo osy z	+	+	4.867	2.0000	9.735 / 84.3
8	1 - Obdélník 400/500	okolo osy y	-	-	4.867	-	- / -
		okolo osy z	-	-	4.867	-	- / -
9	1 - Obdélník 400/500	okolo osy y	-	-	4.867	-	- / -
		okolo osy z	-	-	4.867	-	- / -
10	2 - Obdélník 400/400	okolo osy y	-	-	4.444	-	- / -
		okolo osy z	-	-	4.444	-	- / -
11	2 - Obdélník 400/400	okolo osy y	-	-	4.521	-	- / -
		okolo osy z	-	-	4.521	-	- / -
12	1 - Obdélník 400/500	okolo osy y	-	-	4.098	-	- / -
		okolo osy z	-	-	4.098	-	- / -
15	1 - Obdélník 400/500	okolo osy y	-	-	4.098	-	- / -
		okolo osy z	+	-	4.098	0.7755	3.178 / 27.5
16	1 - Obdélník 400/500	okolo osy y	-	-	4.098	-	- / -
		okolo osy z	+	-	4.098	0.7755	3.178 / 27.5
17	1 - Obdélník 400/500	okolo osy y	+	+	4.098	2.0000	8.196 / 56.8
		okolo osy z	+	+	4.098	2.0000	8.196 / 71.0
20	1 - Obdélník 400/500	okolo osy y	+	+	4.098	2.0000	8.196 / 56.8
		okolo osy z	+	+	4.098	2.0000	8.196 / 71.0
21	1 - Obdélník 400/500	okolo osy y	-	-	4.098	-	- / -
		okolo osy z	-	-	4.098	-	- / -
22	1 - Obdélník 400/500	okolo osy y	+	+	4.098	2.0000	8.196 / 56.8
		okolo osy z	+	+	4.098	2.0000	8.196 / 71.0
25	1 - Obdélník 400/500	okolo osy y	+	+	4.098	2.0000	8.196 / 56.8
		okolo osy z	+	+	4.098	2.0000	8.196 / 71.0
26	1 - Obdélník 400/500	okolo osy y	+	+	4.098	2.0000	8.196 / 56.8
		okolo osy z	+	+	4.098	2.0000	8.196 / 71.0
27	1 - Obdélník 400/500	okolo osy y	+	+	4.098	2.0000	8.196 / 56.8
		okolo osy z	+	+	4.098	2.0000	8.196 / 71.0
28	1 - Obdélník 400/500	okolo osy y	+	+	4.098	2.0000	8.196 / 56.8
		okolo osy z	+	+	4.098	2.0000	8.196 / 71.0
29	1 - Obdélník 400/500	okolo osy y	+	+	4.098	2.0000	8.196 / 56.8
		okolo osy z	+	+	4.098	2.0000	8.196 / 71.0
30	1 - Obdélník 400/500	okolo osy y	-	-	4.098	-	- / -
		okolo osy z	+	-	4.098	0.7755	3.178 / 27.5
31	1 - Obdélník 400/500	okolo osy y	+	+	4.098	2.0000	8.196 / 56.8
		okolo osy z	+	+	4.098	2.0000	8.196 / 71.0
34	1 - Obdélník 400/500	okolo osy y	+	+	4.098	2.0000	8.196 / 56.8
		okolo osy z	+	+	4.098	2.0000	8.196 / 71.0
42	1 - Obdélník 400/500	okolo osy y	+	+	4.886	2.0000	9.771 / 67.7
		okolo osy z	+	+	4.886	2.0000	9.771 / 84.6
43	1 - Obdélník 400/500	okolo osy y	+	+	4.867	2.0000	9.735 / 67.4
		okolo osy z	+	+	4.867	2.0000	9.735 / 84.3
48	1 - Obdélník 400/500	okolo osy y	+	+	4.886	2.0000	9.771 / 67.7
		okolo osy z	+	+	4.886	2.0000	9.771 / 84.6
49	1 - Obdélník 400/500	okolo osy y	+	+	4.886	2.0000	9.771 / 67.7
		okolo osy z	+	+	4.886	2.0000	9.771 / 84.6
50	1 - Obdélník 400/500	okolo osy y	+	+	4.886	2.0000	9.771 / 67.7
		okolo osy z	+	+	4.886	2.0000	9.771 / 84.6
81	1 - Obdélník 400/500	okolo osy y	+	+	4.886	2.0000	9.771 / 67.7
		okolo osy z	+	+	4.886	2.0000	9.771 / 84.6
82	2 - Obdélník 400/400	okolo osy y	-	-	4.273	-	- / -
		okolo osy z	-	-	4.273	-	- / -
83	2 - Obdélník 400/400	okolo osy y	-	-	4.273	-	- / -
		okolo osy z	-	-	4.273	-	- / -
84	1 - Obdélník 400/500	okolo osy y	-	-	4.886	-	- / -
		okolo osy z	+	-	4.886	0.7687	3.756 / 32.5
85	1 - Obdélník 400/500	okolo osy y	-	-	4.886	-	- / -
		okolo osy z	+	-	4.886	0.7687	3.756 / 32.5
86	1 - Obdélník 400/500	okolo osy y	-	-	4.886	-	- / -
		okolo osy z	+	-	4.886	0.7971	3.894 / 33.7
87	1 - Obdélník 400/500	okolo osy y	-	-	4.886	-	- / -
		okolo osy z	+	-	4.886	0.7971	3.894 / 33.7
88	1 - Obdélník 400/500	okolo osy y	-	-	4.886	-	- / -
		okolo osy z	+	-	4.886	0.7687	3.756 / 32.5
89	1 - Obdélník 400/500	okolo osy y	-	-	4.886	-	- / -
		okolo osy z	+	-	4.886	0.7687	3.756 / 32.5
90	1 - Obdélník 400/500	okolo osy y	-	-	4.886	-	- / -
		okolo osy z	+	-	4.886	0.7971	3.894 / 33.7

## 2.1 POSOUZENÍ PRUTŮ

Prut č.	Rozhodující ZS	Posouzení poměru	Kritérium	Upozornění
2	Průřez č.1 - Obdélník 400/500			
	KV1	0.0465	$\leq 1$	100) POSOUZENÍ V KRITICKÉM PRŮŘEZU MODELOVÉHO SLOUPU PODLE Odst. 5.8.8
2	Průřez č.1 - Obdélník 400/500			
	KV1	0.0110	$\leq 1$	201) POSOUZENÍ POSOUVAJÍCÍCH SIL ( $V_{Ed} / V_{Rd,c} \leq 1$ ) PODLE 6.2.2 (2) S (6.4)
2	Průřez č.1 - Obdélník 400/500			
	KV1	0.1997	$\leq 1$	202) POSOUZENÍ POSOUVAJÍCÍCH SIL ( $V_{Ed} / V_{Rd,c} \leq 1$ ) PODLE 6.2.2 (1) S (6.2.a)
4	Průřez č.1 - Obdélník 400/500			
		0.0172	$\leq 1$	100) POSOUZENÍ V KRITICKÉM PRŮŘEZU MODELOVÉHO SLOUPU PODLE Odst. 5.8.8
4	Průřez č.1 - Obdélník 400/500			
	KV1	0.0018	$\leq 1$	201) POSOUZENÍ POSOUVAJÍCÍCH SIL ( $V_{Ed} / V_{Rd,c} \leq 1$ ) PODLE 6.2.2 (2) S (6.4)
8	Průřez č.1 - Obdélník 400/500			
	KV1	0.4366	$\leq 1$	100) POSOUZENÍ V KRITICKÉM PRŮŘEZU MODELOVÉHO SLOUPU PODLE Odst. 5.8.8





Projekt:

Model: HOŘICE-KONSTRUKCE\_3D\_Budova\_redukováne ..

## ■ 2.1 POSOUZENÍ PRUTŮ

Prut č.	Rozhodující ZS	Posouzení		Upozornění
		poměru	Kritérium	
8	Průřez č.1 - Obdélník 400/500			
	KV1	0.1977	≤ 1	202) POSOUZENÍ POSOUVAJÍCÍCH SIL ( $V_{Ed} / V_{Rd,c} \leq 1$ ) PODLE 6.2.2 (1) S (6.2.a)
9	Průřez č.1 - Obdélník 400/500			
	KV1	0.4261	≤ 1	100) POSOUZENÍ V KRITICKÉM PRŮŘEZU MODELOVÉHO SLOUPU PODLE ODS. 5.8.8
9	Průřez č.1 - Obdélník 400/500			
	KV1	0.1858	≤ 1	202) POSOUZENÍ POSOUVAJÍCÍCH SIL ( $V_{Ed} / V_{Rd,c} \leq 1$ ) PODLE 6.2.2 (1) S (6.2.a)
10	Průřez č.2 - Obdélník 400/400			
		0.0953	≤ 1	100) POSOUZENÍ V KRITICKÉM PRŮŘEZU MODELOVÉHO SLOUPU PODLE ODS. 5.8.8
10	Průřez č.2 - Obdélník 400/400			
	KV1	0.0760	≤ 1	201) POSOUZENÍ POSOUVAJÍCÍCH SIL ( $V_{Ed} / V_{Rd,c} \leq 1$ ) PODLE 6.2.2 (2) S (6.4)
10	Průřez č.2 - Obdélník 400/400			
	KV1	0.0930	≤ 1	202) POSOUZENÍ POSOUVAJÍCÍCH SIL ( $V_{Ed} / V_{Rd,c} \leq 1$ ) PODLE 6.2.2 (1) S (6.2.a)
11	Průřez č.2 - Obdélník 400/400			
		0.0759	≤ 1	100) POSOUZENÍ V KRITICKÉM PRŮŘEZU MODELOVÉHO SLOUPU PODLE ODS. 5.8.8
11	Průřez č.2 - Obdélník 400/400			
	KV1	0.0747	≤ 1	201) POSOUZENÍ POSOUVAJÍCÍCH SIL ( $V_{Ed} / V_{Rd,c} \leq 1$ ) PODLE 6.2.2 (2) S (6.4)
11	Průřez č.2 - Obdélník 400/400			
	KV1	0.3890	≤ 1	202) POSOUZENÍ POSOUVAJÍCÍCH SIL ( $V_{Ed} / V_{Rd,c} \leq 1$ ) PODLE 6.2.2 (1) S (6.2.a)
12	Průřez č.1 - Obdélník 400/500			
	KV1	0.0353	≤ 1	100) POSOUZENÍ V KRITICKÉM PRŮŘEZU MODELOVÉHO SLOUPU PODLE ODS. 5.8.8
12	Průřez č.1 - Obdélník 400/500			
	KV1	0.0540	≤ 1	201) POSOUZENÍ POSOUVAJÍCÍCH SIL ( $V_{Ed} / V_{Rd,c} \leq 1$ ) PODLE 6.2.2 (2) S (6.4)
12	Průřez č.1 - Obdélník 400/500			
	KV1	0.1613	≤ 1	202) POSOUZENÍ POSOUVAJÍCÍCH SIL ( $V_{Ed} / V_{Rd,c} \leq 1$ ) PODLE 6.2.2 (1) S (6.2.a)
15	Průřez č.1 - Obdélník 400/500			
		0.0741	≤ 1	100) POSOUZENÍ V KRITICKÉM PRŮŘEZU MODELOVÉHO SLOUPU PODLE ODS. 5.8.8
15	Průřez č.1 - Obdélník 400/500			
	KV1	0.0224	≤ 1	201) POSOUZENÍ POSOUVAJÍCÍCH SIL ( $V_{Ed} / V_{Rd,c} \leq 1$ ) PODLE 6.2.2 (2) S (6.4)
15	Průřez č.1 - Obdélník 400/500			
		0.3644	≤ 1	202) POSOUZENÍ POSOUVAJÍCÍCH SIL ( $V_{Ed} / V_{Rd,c} \leq 1$ ) PODLE 6.2.2 (1) S (6.2.a)
16	Průřez č.1 - Obdélník 400/500			
	KV1	0.1282	≤ 1	100) POSOUZENÍ V KRITICKÉM PRŮŘEZU MODELOVÉHO SLOUPU PODLE ODS. 5.8.8
16	Průřez č.1 - Obdélník 400/500			
	KV1	0.0294	≤ 1	201) POSOUZENÍ POSOUVAJÍCÍCH SIL ( $V_{Ed} / V_{Rd,c} \leq 1$ ) PODLE 6.2.2 (2) S (6.4)
16	Průřez č.1 - Obdélník 400/500			
	KV1	0.2585	≤ 1	202) POSOUZENÍ POSOUVAJÍCÍCH SIL ( $V_{Ed} / V_{Rd,c} \leq 1$ ) PODLE 6.2.2 (1) S (6.2.a)
17	Průřez č.1 - Obdélník 400/500			
		0.1574	≤ 1	100) POSOUZENÍ V KRITICKÉM PRŮŘEZU MODELOVÉHO SLOUPU PODLE ODS. 5.8.8
17	Průřez č.1 - Obdélník 400/500			
	KV1	0.0563	≤ 1	201) POSOUZENÍ POSOUVAJÍCÍCH SIL ( $V_{Ed} / V_{Rd,c} \leq 1$ ) PODLE 6.2.2 (2) S (6.4)
17	Průřez č.1 - Obdélník 400/500			
	KV1	0.2995	≤ 1	202) POSOUZENÍ POSOUVAJÍCÍCH SIL ( $V_{Ed} / V_{Rd,c} \leq 1$ ) PODLE 6.2.2 (1) S (6.2.a)
20	Průřez č.1 - Obdélník 400/500			
	KV1	0.0637	≤ 1	100) POSOUZENÍ V KRITICKÉM PRŮŘEZU MODELOVÉHO SLOUPU PODLE ODS. 5.8.8
20	Průřez č.1 - Obdélník 400/500			
	KV1	0.0524	≤ 1	201) POSOUZENÍ POSOUVAJÍCÍCH SIL ( $V_{Ed} / V_{Rd,c} \leq 1$ ) PODLE 6.2.2 (2) S (6.4)
20	Průřez č.1 - Obdélník 400/500			
	KV1	0.2714	≤ 1	202) POSOUZENÍ POSOUVAJÍCÍCH SIL ( $V_{Ed} / V_{Rd,c} \leq 1$ ) PODLE 6.2.2 (1) S (6.2.a)
21	Průřez č.1 - Obdélník 400/500			
	KV1	0.0480	≤ 1	100) POSOUZENÍ V KRITICKÉM PRŮŘEZU MODELOVÉHO SLOUPU PODLE ODS. 5.8.8
21	Průřez č.1 - Obdélník 400/500			
	KV1	0.0619	≤ 1	201) POSOUZENÍ POSOUVAJÍCÍCH SIL ( $V_{Ed} / V_{Rd,c} \leq 1$ ) PODLE 6.2.2 (2) S (6.4)
21	Průřez č.1 - Obdélník 400/500			
		0.3453	≤ 1	202) POSOUZENÍ POSOUVAJÍCÍCH SIL ( $V_{Ed} / V_{Rd,c} \leq 1$ ) PODLE 6.2.2 (1) S (6.2.a)
22	Průřez č.1 - Obdélník 400/500			
		0.1930	≤ 1	100) POSOUZENÍ V KRITICKÉM PRŮŘEZU MODELOVÉHO SLOUPU PODLE ODS. 5.8.8
22	Průřez č.1 - Obdélník 400/500			
	KV1	0.0183	≤ 1	201) POSOUZENÍ POSOUVAJÍCÍCH SIL ( $V_{Ed} / V_{Rd,c} \leq 1$ ) PODLE 6.2.2 (2) S (6.4)
22	Průřez č.1 - Obdélník 400/500			
	KV1	0.5602	≤ 1	202) POSOUZENÍ POSOUVAJÍCÍCH SIL ( $V_{Ed} / V_{Rd,c} \leq 1$ ) PODLE 6.2.2 (1) S (6.2.a)
25	Průřez č.1 - Obdélník 400/500			
	KV1	0.0947	≤ 1	100) POSOUZENÍ V KRITICKÉM PRŮŘEZU MODELOVÉHO SLOUPU PODLE ODS. 5.8.8
25	Průřez č.1 - Obdélník 400/500			
	KV1	0.1486	≤ 1	202) POSOUZENÍ POSOUVAJÍCÍCH SIL ( $V_{Ed} / V_{Rd,c} \leq 1$ ) PODLE 6.2.2 (1) S (6.2.a)
26	Průřez č.1 - Obdélník 400/500			
	KV1	0.0929	≤ 1	100) POSOUZENÍ V KRITICKÉM PRŮŘEZU MODELOVÉHO SLOUPU PODLE ODS. 5.8.8
26	Průřez č.1 - Obdélník 400/500			
	KV1	0.1580	≤ 1	202) POSOUZENÍ POSOUVAJÍCÍCH SIL ( $V_{Ed} / V_{Rd,c} \leq 1$ ) PODLE 6.2.2 (1) S (6.2.a)
27	Průřez č.1 - Obdélník 400/500			
	KV1	0.0427	≤ 1	100) POSOUZENÍ V KRITICKÉM PRŮŘEZU MODELOVÉHO SLOUPU PODLE ODS. 5.8.8
27	Průřez č.1 - Obdélník 400/500			
	KV1	0.1263	≤ 1	202) POSOUZENÍ POSOUVAJÍCÍCH SIL ( $V_{Ed} / V_{Rd,c} \leq 1$ ) PODLE 6.2.2 (1) S (6.2.a)
28	Průřez č.1 - Obdélník 400/500			
	KV1	0.1607	≤ 1	100) POSOUZENÍ V KRITICKÉM PRŮŘEZU MODELOVÉHO SLOUPU PODLE ODS. 5.8.8
28	Průřez č.1 - Obdélník 400/500			
	KV1	0.0309	≤ 1	201) POSOUZENÍ POSOUVAJÍCÍCH SIL ( $V_{Ed} / V_{Rd,c} \leq 1$ ) PODLE 6.2.2 (2) S (6.4)
28	Průřez č.1 - Obdélník 400/500			
	KV1	0.2637	≤ 1	202) POSOUZENÍ POSOUVAJÍCÍCH SIL ( $V_{Ed} / V_{Rd,c} \leq 1$ ) PODLE 6.2.2 (1) S (6.2.a)



Projekt:

Model: HOŘICE-KONSTRUKCE\_3D\_Budova\_redukováné ..

## ■ 2.1 POSOUZENÍ PRUTŮ

Prut č.	Rozhodující ZS	Posouzení		Upozornění
		poměru	Kritérium	
29	Průřez č.1 - Obdélník 400/500	0.1564	$\leq 1$	100) POSOUZENÍ V KRITICKÉM PRŮŘEZU MODELOVÉHO SLOUPU PODLE ODS. 5.8.8
29	KV1 Průřez č.1 - Obdélník 400/500	0.0305	$\leq 1$	201) POSOUZENÍ POSOUVAJÍCÍCH SIL ( $V_{Ed} / V_{Rd,c} \leq 1$ ) PODLE 6.2.2 (2) S (6.4)
29	Průřez č.1 - Obdélník 400/500	0.3319	$\leq 1$	202) POSOUZENÍ POSOUVAJÍCÍCH SIL ( $V_{Ed} / V_{Rd,c} \leq 1$ ) PODLE 6.2.2 (1) S (6.2.a)
30	KV1 Průřez č.1 - Obdélník 400/500	0.0988	$\leq 1$	100) POSOUZENÍ V KRITICKÉM PRŮŘEZU MODELOVÉHO SLOUPU PODLE ODS. 5.8.8
30	KV1 Průřez č.1 - Obdélník 400/500	0.0189	$\leq 1$	201) POSOUZENÍ POSOUVAJÍCÍCH SIL ( $V_{Ed} / V_{Rd,c} \leq 1$ ) PODLE 6.2.2 (2) S (6.4)
30	KV1 Průřez č.1 - Obdélník 400/500	0.2198	$\leq 1$	202) POSOUZENÍ POSOUVAJÍCÍCH SIL ( $V_{Ed} / V_{Rd,c} \leq 1$ ) PODLE 6.2.2 (1) S (6.2.a)
31	Průřez č.1 - Obdélník 400/500	0.0921	$\leq 1$	100) POSOUZENÍ V KRITICKÉM PRŮŘEZU MODELOVÉHO SLOUPU PODLE ODS. 5.8.8
31	KV1 Průřez č.1 - Obdélník 400/500	0.0235	$\leq 1$	201) POSOUZENÍ POSOUVAJÍCÍCH SIL ( $V_{Ed} / V_{Rd,c} \leq 1$ ) PODLE 6.2.2 (2) S (6.4)
31	KV1 Průřez č.1 - Obdélník 400/500	0.2026	$\leq 1$	202) POSOUZENÍ POSOUVAJÍCÍCH SIL ( $V_{Ed} / V_{Rd,c} \leq 1$ ) PODLE 6.2.2 (1) S (6.2.a)
34	KV1 Průřez č.1 - Obdélník 400/500	0.0395	$\leq 1$	100) POSOUZENÍ V KRITICKÉM PRŮŘEZU MODELOVÉHO SLOUPU PODLE ODS. 5.8.8
34	KV1 Průřez č.1 - Obdélník 400/500	0.0206	$\leq 1$	201) POSOUZENÍ POSOUVAJÍCÍCH SIL ( $V_{Ed} / V_{Rd,c} \leq 1$ ) PODLE 6.2.2 (2) S (6.4)
34	KV1 Průřez č.1 - Obdélník 400/500	0.1990	$\leq 1$	202) POSOUZENÍ POSOUVAJÍCÍCH SIL ( $V_{Ed} / V_{Rd,c} \leq 1$ ) PODLE 6.2.2 (1) S (6.2.a)
42	KV1 Průřez č.1 - Obdélník 400/500	0.0776	$\leq 1$	100) POSOUZENÍ V KRITICKÉM PRŮŘEZU MODELOVÉHO SLOUPU PODLE ODS. 5.8.8
42	KV1 Průřez č.1 - Obdélník 400/500	0.0039	$\leq 1$	201) POSOUZENÍ POSOUVAJÍCÍCH SIL ( $V_{Ed} / V_{Rd,c} \leq 1$ ) PODLE 6.2.2 (2) S (6.4)
43	Průřez č.1 - Obdélník 400/500	0.0187	$\leq 1$	100) POSOUZENÍ V KRITICKÉM PRŮŘEZU MODELOVÉHO SLOUPU PODLE ODS. 5.8.8
43	KV1 Průřez č.1 - Obdélník 400/500	0.0018	$\leq 1$	201) POSOUZENÍ POSOUVAJÍCÍCH SIL ( $V_{Ed} / V_{Rd,c} \leq 1$ ) PODLE 6.2.2 (2) S (6.4)
48	KV1 Průřez č.1 - Obdélník 400/500	0.0769	$\leq 1$	100) POSOUZENÍ V KRITICKÉM PRŮŘEZU MODELOVÉHO SLOUPU PODLE ODS. 5.8.8
48	KV1 Průřez č.1 - Obdélník 400/500	0.0044	$\leq 1$	201) POSOUZENÍ POSOUVAJÍCÍCH SIL ( $V_{Ed} / V_{Rd,c} \leq 1$ ) PODLE 6.2.2 (2) S (6.4)
49	Průřez č.1 - Obdélník 400/500	0.0757	$\leq 1$	100) POSOUZENÍ V KRITICKÉM PRŮŘEZU MODELOVÉHO SLOUPU PODLE ODS. 5.8.8
49	KV1 Průřez č.1 - Obdélník 400/500	0.0039	$\leq 1$	201) POSOUZENÍ POSOUVAJÍCÍCH SIL ( $V_{Ed} / V_{Rd,c} \leq 1$ ) PODLE 6.2.2 (2) S (6.4)
50	KV1 Průřez č.1 - Obdélník 400/500	0.0796	$\leq 1$	100) POSOUZENÍ V KRITICKÉM PRŮŘEZU MODELOVÉHO SLOUPU PODLE ODS. 5.8.8
50	KV1 Průřez č.1 - Obdélník 400/500	0.0035	$\leq 1$	201) POSOUZENÍ POSOUVAJÍCÍCH SIL ( $V_{Ed} / V_{Rd,c} \leq 1$ ) PODLE 6.2.2 (2) S (6.4)
81	Průřez č.1 - Obdélník 400/500	0.0777	$\leq 1$	100) POSOUZENÍ V KRITICKÉM PRŮŘEZU MODELOVÉHO SLOUPU PODLE ODS. 5.8.8
81	KV1 Průřez č.1 - Obdélník 400/500	0.0041	$\leq 1$	201) POSOUZENÍ POSOUVAJÍCÍCH SIL ( $V_{Ed} / V_{Rd,c} \leq 1$ ) PODLE 6.2.2 (2) S (6.4)
81	Průřez č.1 - Obdélník 400/500	0.0099	$\leq 1$	202) POSOUZENÍ POSOUVAJÍCÍCH SIL ( $V_{Ed} / V_{Rd,c} \leq 1$ ) PODLE 6.2.2 (1) S (6.2.a)
82	Průřez č.2 - Obdélník 400/400	0.0392	$\leq 1$	100) POSOUZENÍ V KRITICKÉM PRŮŘEZU MODELOVÉHO SLOUPU PODLE ODS. 5.8.8
82	KV1 Průřez č.2 - Obdélník 400/400	0.0067	$\leq 1$	201) POSOUZENÍ POSOUVAJÍCÍCH SIL ( $V_{Ed} / V_{Rd,c} \leq 1$ ) PODLE 6.2.2 (2) S (6.4)
82	KV1 Průřez č.2 - Obdélník 400/400	0.0410	$\leq 1$	202) POSOUZENÍ POSOUVAJÍCÍCH SIL ( $V_{Ed} / V_{Rd,c} \leq 1$ ) PODLE 6.2.2 (1) S (6.2.a)
83	KV1 Průřez č.2 - Obdélník 400/400	0.0378	$\leq 1$	100) POSOUZENÍ V KRITICKÉM PRŮŘEZU MODELOVÉHO SLOUPU PODLE ODS. 5.8.8
83	KV1 Průřez č.2 - Obdélník 400/400	0.0113	$\leq 1$	201) POSOUZENÍ POSOUVAJÍCÍCH SIL ( $V_{Ed} / V_{Rd,c} \leq 1$ ) PODLE 6.2.2 (2) S (6.4)
83	Průřez č.2 - Obdélník 400/400	0.0670	$\leq 1$	202) POSOUZENÍ POSOUVAJÍCÍCH SIL ( $V_{Ed} / V_{Rd,c} \leq 1$ ) PODLE 6.2.2 (1) S (6.2.a)
84	KV1 Průřez č.1 - Obdélník 400/500	0.0332	$\leq 1$	100) POSOUZENÍ V KRITICKÉM PRŮŘEZU MODELOVÉHO SLOUPU PODLE ODS. 5.8.8
84	KV1 Průřez č.1 - Obdélník 400/500	0.0045	$\leq 1$	201) POSOUZENÍ POSOUVAJÍCÍCH SIL ( $V_{Ed} / V_{Rd,c} \leq 1$ ) PODLE 6.2.2 (2) S (6.4)
84	Průřez č.1 - Obdélník 400/500	0.0366	$\leq 1$	202) POSOUZENÍ POSOUVAJÍCÍCH SIL ( $V_{Ed} / V_{Rd,c} \leq 1$ ) PODLE 6.2.2 (1) S (6.2.a)
84	Průřez č.1 - Obdélník 400/500	0.0012	$\leq 1$	203) POSOUZENÍ POSOUVAJÍCÍCH SIL ( $V_{Ed} / V_{Rd,max} \leq 1$ ) PODLE 6.2.3 (3) S (6.9)
84	Průřez č.1 - Obdélník 400/500	0.0028	$\leq 1$	204) POSOUZENÍ POSOUVAJÍCÍCH SIL ( $V_{Ed} / V_{Rd,s} \leq 1$ ) PODLE 6.2.3 (3) S (6.8)
16) Minim. smyková výztuž podle odst. 9.5.3 (3) je rozhodující.				
85	KV1 Průřez č.1 - Obdélník 400/500	0.0334	$\leq 1$	100) POSOUZENÍ V KRITICKÉM PRŮŘEZU MODELOVÉHO SLOUPU PODLE ODS. 5.8.8
85	KV1 Průřez č.1 - Obdélník 400/500	0.0047	$\leq 1$	201) POSOUZENÍ POSOUVAJÍCÍCH SIL ( $V_{Ed} / V_{Rd,c} \leq 1$ ) PODLE 6.2.2 (2) S (6.4)
85	Průřez č.1 - Obdélník 400/500			



Projekt:

Model: HOŘICE-KONSTRUKCE\_3D\_Budova\_redukované ..

## 2.1 POSOUZENÍ PRUTŮ

Prut č.	Rozhodující ZS	Posouzení		Upozornění
		poměru	Kritérium	
86	KV1	0.0120	$\leq 1$	202) POSOUZENÍ POSOUVAJÍCÍCH SIL ( $V_{Ed} / V_{Rd,c} \leq 1$ ) PODLE 6.2.2 (1) S (6.2.a)
		0.0255	$\leq 1$	100) POSOUZENÍ V KRITICKÉM PRŮŘEZU MODELOVÉHO SLOUPU PODLE Odst. 5.8.8
86	Průřez č.1 - Obdélník 400/500			
86	KV1	0.0027	$\leq 1$	201) POSOUZENÍ POSOUVAJÍCÍCH SIL ( $V_{Ed} / V_{Rd,c} \leq 1$ ) PODLE 6.2.2 (2) S (6.4)
		0.0300	$\leq 1$	202) POSOUZENÍ POSOUVAJÍCÍCH SIL ( $V_{Ed} / V_{Rd,c} \leq 1$ ) PODLE 6.2.2 (1) S (6.2.a)
87	Průřez č.1 - Obdélník 400/500			
87	KV1	0.0268	$\leq 1$	100) POSOUZENÍ V KRITICKÉM PRŮŘEZU MODELOVÉHO SLOUPU PODLE Odst. 5.8.8
		0.0031	$\leq 1$	201) POSOUZENÍ POSOUVAJÍCÍCH SIL ( $V_{Ed} / V_{Rd,c} \leq 1$ ) PODLE 6.2.2 (2) S (6.4)
87	Průřez č.1 - Obdélník 400/500			
88	KV1	0.0071	$\leq 1$	202) POSOUZENÍ POSOUVAJÍCÍCH SIL ( $V_{Ed} / V_{Rd,c} \leq 1$ ) PODLE 6.2.2 (1) S (6.2.a)
		0.0323	$\leq 1$	100) POSOUZENÍ V KRITICKÉM PRŮŘEZU MODELOVÉHO SLOUPU PODLE Odst. 5.8.8
88	Průřez č.1 - Obdélník 400/500			
89	KV1	0.0044	$\leq 1$	201) POSOUZENÍ POSOUVAJÍCÍCH SIL ( $V_{Ed} / V_{Rd,c} \leq 1$ ) PODLE 6.2.2 (2) S (6.4)
		0.0334	$\leq 1$	100) POSOUZENÍ V KRITICKÉM PRŮŘEZU MODELOVÉHO SLOUPU PODLE Odst. 5.8.8
89	Průřez č.1 - Obdélník 400/500			
90	KV1	0.0045	$\leq 1$	201) POSOUZENÍ POSOUVAJÍCÍCH SIL ( $V_{Ed} / V_{Rd,c} \leq 1$ ) PODLE 6.2.2 (2) S (6.4)
		0.0307	$\leq 1$	100) POSOUZENÍ V KRITICKÉM PRŮŘEZU MODELOVÉHO SLOUPU PODLE Odst. 5.8.8
90	Průřez č.1 - Obdélník 400/500			
90	KV1	0.0037	$\leq 1$	201) POSOUZENÍ POSOUVAJÍCÍCH SIL ( $V_{Ed} / V_{Rd,c} \leq 1$ ) PODLE 6.2.2 (2) S (6.4)
		0.0304	$\leq 1$	202) POSOUZENÍ POSOUVAJÍCÍCH SIL ( $V_{Ed} / V_{Rd,c} \leq 1$ ) PODLE 6.2.2 (1) S (6.2.a)

## 3.1 NUTNÁ VÝZTUŽ PO PRŮŘEZECH

Průřez č.	Typ výztuže	Prut č.	Místo x [ m ]	ZS / KZ KV	Výztuž			Chybová zpráva Upozornění
					Plocha	Jednotky		
1	Obdélník 400/500 Podélná výztuž	8	0.000	KV1	As	504.6	mm <sup>2</sup>	Rozhodující minimální výztuž pro určení nutné výztuže
1	Obdélník 400/500 Smyková	2	-	-	a <sub>sw</sub>	654.5	mm <sup>2</sup> /m	
2	Obdélník 400/400 Podélná výztuž	10	0.222	KV1	As	320.0	mm <sup>2</sup>	
2	Obdélník 400/400 Smyková	10	-	-	a <sub>sw</sub>	654.5	mm <sup>2</sup> /m	

## 4.1 NAVRŽENÁ PODÉLNÁ VÝZTUŽ

Průřez	Položka č.	Počet prutů	d <sub>s</sub> [ mm ]	Místo x [ m ]		Ukotvení	Upozornění
				od	do		
1	Prut č. 2 - Obdélník 400/500						
	1	6	16.0	-0.183	4.282	<input checked="" type="checkbox"/>	
1	Prut č. 4 - Obdélník 400/500						
	2	6	16.0	-0.183	5.051	<input checked="" type="checkbox"/>	
1	Prut č. 8 - Obdélník 400/500						
	3	6	16.0	-0.231	5.099	<input checked="" type="checkbox"/>	
1	Prut č. 9 - Obdélník 400/500						
	4	6	16.0	-0.226	5.093	<input checked="" type="checkbox"/>	
1	Prut č. 10 - Obdélník 400/400						
	5	8	16.0	-0.160	4.604	<input checked="" type="checkbox"/>	
1	Prut č. 11 - Obdélník 400/400						
	6	8	16.0	-0.160	4.681	<input checked="" type="checkbox"/>	
1	Prut č. 12 - Obdélník 400/500						
	1	6	16.0	-0.183	4.282	<input checked="" type="checkbox"/>	
1	Prut č. 15 - Obdélník 400/500						
	1	6	16.0	-0.183	4.282	<input checked="" type="checkbox"/>	
1	Prut č. 16 - Obdélník 400/500						
	1	6	16.0	-0.183	4.282	<input checked="" type="checkbox"/>	
1	Prut č. 17 - Obdélník 400/500						
	1	6	16.0	-0.183	4.282	<input checked="" type="checkbox"/>	
1	Prut č. 20 - Obdélník 400/500						
	1	6	16.0	-0.183	4.282	<input checked="" type="checkbox"/>	
1	Prut č. 21 - Obdélník 400/500						
	1	6	16.0	-0.183	4.282	<input checked="" type="checkbox"/>	
1	Prut č. 22 - Obdélník 400/500						
	1	6	16.0	-0.183	4.282	<input checked="" type="checkbox"/>	



Projekt:

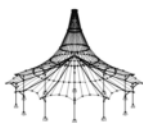
Model: HOŘICE-KONSTRUKCE\_3D\_Budova\_redukované ..

## ■ 4.1 NAVRŽENÁ PODÉLNÁ VÝZTUŽ

Průřez	Položka	Počet	d <sub>s</sub>	Místo x [ m ]		Ukotvení	Upozornění
	č.	prutů	[ mm ]	od	do		
1	Prut č. 25 - Obdélník 400/500						
	1	6	16.0	-0.183	4.282	<input checked="" type="checkbox"/>	
1	Prut č. 26 - Obdélník 400/500						
	1	6	16.0	-0.183	4.282	<input checked="" type="checkbox"/>	
1	Prut č. 27 - Obdélník 400/500						
	1	6	16.0	-0.183	4.282	<input checked="" type="checkbox"/>	
1	Prut č. 28 - Obdélník 400/500						
	1	6	16.0	-0.183	4.282	<input checked="" type="checkbox"/>	
1	Prut č. 29 - Obdélník 400/500						
	1	6	16.0	-0.183	4.282	<input checked="" type="checkbox"/>	
1	Prut č. 30 - Obdélník 400/500						
	1	6	16.0	-0.183	4.282	<input checked="" type="checkbox"/>	
1	Prut č. 31 - Obdélník 400/500						
	1	6	16.0	-0.183	4.282	<input checked="" type="checkbox"/>	
1	Prut č. 34 - Obdélník 400/500						
	1	6	16.0	-0.183	4.282	<input checked="" type="checkbox"/>	
1	Prut č. 42 - Obdélník 400/500						
	7	6	16.0	-0.183	5.069	<input checked="" type="checkbox"/>	
1	Prut č. 43 - Obdélník 400/500						
	2	6	16.0	-0.183	5.051	<input checked="" type="checkbox"/>	
1	Prut č. 48 - Obdélník 400/500						
	7	6	16.0	-0.183	5.069	<input checked="" type="checkbox"/>	
1	Prut č. 49 - Obdélník 400/500						
	7	6	16.0	-0.183	5.069	<input checked="" type="checkbox"/>	
1	Prut č. 50 - Obdélník 400/500						
	7	6	16.0	-0.183	5.069	<input checked="" type="checkbox"/>	
1	Prut č. 81 - Obdélník 400/500						
	7	6	16.0	-0.183	5.069	<input checked="" type="checkbox"/>	
1	Prut č. 82 - Obdélník 400/400						
	8	8	16.0	-0.160	4.433	<input checked="" type="checkbox"/>	
1	Prut č. 83 - Obdélník 400/400						
	8	8	16.0	-0.160	4.433	<input checked="" type="checkbox"/>	
1	Prut č. 84 - Obdélník 400/500						
	7	6	16.0	-0.183	5.069	<input checked="" type="checkbox"/>	
1	Prut č. 85 - Obdélník 400/500						
	7	6	16.0	-0.183	5.069	<input checked="" type="checkbox"/>	
1	Prut č. 86 - Obdélník 400/500						
	7	6	16.0	-0.183	5.069	<input checked="" type="checkbox"/>	
1	Prut č. 87 - Obdélník 400/500						
	7	6	16.0	-0.183	5.069	<input checked="" type="checkbox"/>	
1	Prut č. 88 - Obdélník 400/500						
	7	6	16.0	-0.183	5.069	<input checked="" type="checkbox"/>	
1	Prut č. 89 - Obdélník 400/500						
	7	6	16.0	-0.183	5.069	<input checked="" type="checkbox"/>	
1	Prut č. 90 - Obdélník 400/500						
	7	6	16.0	-0.183	5.069	<input checked="" type="checkbox"/>	

## ■ 4.2 NAVRŽENÁ TŘMÍNKOVÁ VÝZTUŽ

Průřez	Položka	Počet třmíneků	d <sub>s</sub> [ mm ]	Místo x [ m ]		Vzdál. s <sub>sw</sub> [mm]	Počet střihů	Upozorně
	č.			od	do			
Prut č. 2 - Obdélník 400/500								
1	9	5	10.0	0.034	0.610	144.0	2	
2	9	12	10.0	0.610	3.490	240.0	2	
3	9	3	10.0	3.490	3.922	144.0	2	
Prut č. 4 - Obdélník 400/500								
1	9	5	10.0	0.033	0.609	144.0	2	
2	9	15	10.0	0.609	4.209	240.0	2	
3	9	4	10.0	4.209	4.785	144.0	2	
Prut č. 8 - Obdélník 400/500								
1	9	5	10.0	0.033	0.609	144.0	2	



Projekt:

Model: HOŘICE-KONSTRUKCE\_3D\_Budova\_redukované ..

## ■ 4.2 NAVRŽENÁ TŘMÍNKOVÁ VÝZTUŽ

Průřez	Položka	Počet třmíneků	d <sub>s</sub> [ mm ]	Místo x [ m ]		Vzdál. s <sub>sw</sub> [mm]	Počet střihů	Upozorně
	č.			od	do			
2	9	15	10.0	0.609	4.209	240.0	2	
3	9	4	10.0	4.209	4.785	144.0	2	
Prut č. 9 - Obdélník 400/500								
1	9	5	10.0	0.033	0.609	144.0	2	
2	9	15	10.0	0.609	4.209	240.0	2	
3	9	4	10.0	4.209	4.785	144.0	2	
Prut č. 10 - Obdélník 400/400								
1	10	4	10.0	0.030	0.462	144.0	2	
2	10	14	10.0	0.462	3.822	240.0	2	
3	10	4	10.0	3.822	4.398	144.0	2	
Prut č. 11 - Obdélník 400/400								
1	10	4	10.0	0.030	0.462	144.0	2	
2	10	15	10.0	0.462	4.062	240.0	2	
3	10	2	10.0	4.062	4.350	144.0	2	
Prut č. 12 - Obdélník 400/500								
1	9	5	10.0	0.034	0.610	144.0	2	
2	9	12	10.0	0.610	3.490	240.0	2	
3	9	4	10.0	3.490	4.066	144.0	2	
Prut č. 15 - Obdélník 400/500								
1	9	5	10.0	0.034	0.610	144.0	2	
2	9	12	10.0	0.610	3.490	240.0	2	
3	9	4	10.0	3.490	4.066	144.0	2	
Prut č. 16 - Obdélník 400/500								
1	9	5	10.0	0.034	0.610	144.0	2	
2	9	12	10.0	0.610	3.490	240.0	2	
3	9	4	10.0	3.490	4.066	144.0	2	
Prut č. 17 - Obdélník 400/500								
1	9	5	10.0	0.034	0.610	144.0	2	
2	9	12	10.0	0.610	3.490	240.0	2	
3	9	4	10.0	3.490	4.066	144.0	2	
Prut č. 20 - Obdélník 400/500								
1	9	5	10.0	0.034	0.610	144.0	2	
2	9	12	10.0	0.610	3.490	240.0	2	
3	9	4	10.0	3.490	4.066	144.0	2	
Prut č. 21 - Obdélník 400/500								
1	9	5	10.0	0.034	0.610	144.0	2	
2	9	12	10.0	0.610	3.490	240.0	2	
3	9	4	10.0	3.490	4.066	144.0	2	
Prut č. 22 - Obdélník 400/500								
1	9	5	10.0	0.034	0.610	144.0	2	
2	9	12	10.0	0.610	3.490	240.0	2	
3	9	4	10.0	3.490	4.066	144.0	2	
Prut č. 25 - Obdélník 400/500								
1	9	5	10.0	0.034	0.610	144.0	2	
2	9	12	10.0	0.610	3.490	240.0	2	
3	9	4	10.0	3.490	4.066	144.0	2	
Prut č. 26 - Obdélník 400/500								
1	9	5	10.0	0.034	0.610	144.0	2	
2	9	12	10.0	0.610	3.490	240.0	2	
3	9	4	10.0	3.490	4.066	144.0	2	
Prut č. 27 - Obdélník 400/500								
1	9	5	10.0	0.030	0.606	144.0	2	
2	9	12	10.0	0.606	3.486	240.0	2	



Projekt:

Model: HOŘICE-KONSTRUKCE\_3D\_Budova\_redukováne ...

## ■ 4.2 NAVRŽENÁ TŘMÍNKOVÁ VÝZTUŽ

Průřez	Položka č.	Počet	d <sub>s</sub> [ mm ]	Místo x [ m ]		Vzdál. s <sub>sw</sub> [mm]	Počet	Upozorně
		třmíneků		od	do		střihů	
3	9	4	10.0	3.486	4.062	144.0	2	
		Prut č. 28 - Obdélník 400/500						
1	9	5	10.0	0.034	0.610	144.0	2	
2	9	12	10.0	0.610	3.490	240.0	2	
3	9	4	10.0	3.490	4.066	144.0	2	
		Prut č. 29 - Obdélník 400/500						
1	9	5	10.0	0.034	0.610	144.0	2	
2	9	12	10.0	0.610	3.490	240.0	2	
3	9	4	10.0	3.490	4.066	144.0	2	
		Prut č. 30 - Obdélník 400/500						
1	9	5	10.0	0.034	0.610	144.0	2	
2	9	12	10.0	0.610	3.490	240.0	2	
3	9	4	10.0	3.490	4.066	144.0	2	
		Prut č. 31 - Obdélník 400/500						
1	9	5	10.0	0.034	0.610	144.0	2	
2	9	12	10.0	0.610	3.490	240.0	2	
3	9	4	10.0	3.490	4.066	144.0	2	
		Prut č. 34 - Obdélník 400/500						
1	9	5	10.0	0.034	0.610	144.0	2	
2	9	12	10.0	0.610	3.490	240.0	2	
3	9	4	10.0	3.490	4.066	144.0	2	
		Prut č. 42 - Obdélník 400/500						
1	9	5	10.0	0.033	0.609	144.0	2	
2	9	15	10.0	0.609	4.209	240.0	2	
3	9	4	10.0	4.209	4.785	144.0	2	
		Prut č. 43 - Obdélník 400/500						
1	9	5	10.0	0.033	0.609	144.0	2	
2	9	15	10.0	0.609	4.209	240.0	2	
3	9	4	10.0	4.209	4.785	144.0	2	
		Prut č. 48 - Obdélník 400/500						
1	9	5	10.0	0.033	0.609	144.0	2	
2	9	15	10.0	0.609	4.209	240.0	2	
3	9	4	10.0	4.209	4.785	144.0	2	
		Prut č. 49 - Obdélník 400/500						
1	9	5	10.0	0.033	0.609	144.0	2	
2	9	15	10.0	0.609	4.209	240.0	2	
3	9	4	10.0	4.209	4.785	144.0	2	
		Prut č. 50 - Obdélník 400/500						
1	9	5	10.0	0.033	0.609	144.0	2	
2	9	15	10.0	0.609	4.209	240.0	2	
3	9	4	10.0	4.209	4.785	144.0	2	
		Prut č. 81 - Obdélník 400/500						
1	9	5	10.0	0.033	0.609	144.0	2	
2	9	15	10.0	0.609	4.209	240.0	2	
3	9	4	10.0	4.209	4.785	144.0	2	
		Prut č. 82 - Obdélník 400/400						
1	10	4	10.0	0.034	0.466	144.0	2	
2	10	14	10.0	0.466	3.826	240.0	2	
3	10	2	10.0	3.826	4.114	144.0	2	
		Prut č. 83 - Obdélník 400/400						
1	10	4	10.0	0.034	0.466	144.0	2	
2	10	14	10.0	0.466	3.826	240.0	2	
3	10	2	10.0	3.826	4.114	144.0	2	
		Prut č. 84 - Obdélník 400/500						



Projekt:

Model: HOŘICE-KONSTRUKCE\_3D\_Budova\_redukováné ..

## 4.2 NAVRŽENÁ TŘMÍNKOVÁ VÝZTUŽ

Průřez	Položka č.	Počet třmíneků	d <sub>s</sub> [ mm ]	Místo x [ m ]		Vzdál. s <sub>sw</sub> [mm]	Počet střihů	Upozorně
				od	do			
1	9	5	10.0	0.033	0.609	144.0	2	
2	9	15	10.0	0.609	4.209	240.0	2	
3	9	4	10.0	4.209	4.785	144.0	2	
Prut č. 85 - Obdélník 400/500								
1	9	5	10.0	0.033	0.609	144.0	2	
2	9	15	10.0	0.609	4.209	240.0	2	
3	9	4	10.0	4.209	4.785	144.0	2	
Prut č. 86 - Obdélník 400/500								
1	9	5	10.0	0.033	0.609	144.0	2	
2	9	15	10.0	0.609	4.209	240.0	2	
3	9	4	10.0	4.209	4.785	144.0	2	
Prut č. 87 - Obdélník 400/500								
1	9	5	10.0	0.033	0.609	144.0	2	
2	9	15	10.0	0.609	4.209	240.0	2	
3	9	4	10.0	4.209	4.785	144.0	2	
Prut č. 88 - Obdélník 400/500								
1	9	5	10.0	0.033	0.609	144.0	2	
2	9	15	10.0	0.609	4.209	240.0	2	
3	9	4	10.0	4.209	4.785	144.0	2	
Prut č. 89 - Obdélník 400/500								
1	9	5	10.0	0.033	0.609	144.0	2	
2	9	15	10.0	0.609	4.209	240.0	2	
3	9	4	10.0	4.209	4.785	144.0	2	
Prut č. 90 - Obdélník 400/500								
1	9	5	10.0	0.033	0.609	144.0	2	
2	9	15	10.0	0.609	4.209	240.0	2	
3	9	4	10.0	4.209	4.785	144.0	2	

## 4.3 VÝKAZ VÝZTUŽE

Položka č.	Typ výztuže	d <sub>s</sub> [mm]	Typ povrchu	Počet prutů	Délka [m]	Typ ukotvení		Průměr ohybu [mm]	Hmotnost [kg]	Upozornění
Materiál č. 4 - výztužná ocel B 500 S (A)										
1	Podélná	16.0	Žebrovaný	96	4.465	Přímý	Přímý		676.57	
2	Podélná	16.0	Žebrovaný	12	5.234	Přímý	Přímý		99.14	
3	Podélná	16.0	Žebrovaný	6	5.330	Přímý	Přímý		50.48	
4	Podélná	16.0	Žebrovaný	6	5.318	Přímý	Přímý		50.37	
5	Podélná	16.0	Žebrovaný	8	4.764	Přímý	Přímý		60.16	
6	Podélná	16.0	Žebrovaný	8	4.841	Přímý	Přímý		61.13	
7	Podélná	16.0	Žebrovaný	72	5.253	Přímý	Přímý		596.91	
8	Podélná	16.0	Žebrovaný	16	4.593	Přímý	Přímý		116.00	
9	Smyková	10.0	Žebrovaný	719	1.824	Hák	Hák		808.56	
10	Smyková	10.0	Žebrovaný	83	1.624	Hák	Hák		83.10	
Součet				1026					2602.41	

RF-CONCRETE  
Columns  
PŘ3  
sloupy\_škola\_1NP

## 1.1 ZÁKLADNÍ ÚDAJE

Posouzení podle normy:

CSN EN 1992-1-1/NA:2016-05

MEZNÍ STAV ÚNOSNOSTI

Navrhované kombinace výsledků:

KV1

MSÚ (STR/GEO) - trvalá/dočasná - rovn. 6.10a a 6.10b  
Trvalá a dočasná

STÁLÉ ZATÍŽENÍ ZPŮSOBUJÍCÍ DOTVAROVÁNÍ

Zatěžovací stavy k posouzení:

ZS2

ostatní stálé

## 1.2 MATERIÁLY

Materiál č.	Označení materiálu		Upozornění	Komentář
	Třída pevnosti betonu	Výztužná ocel		
3	Ocel S 235	B 500 S (A)	2)	
4	Beton C35/45	B 500 S (A)		
5	Beton C40/50	B 500 S (A)		

Upozornění:

2) Horní omezení třídy pevnosti betonu je překročeno!



Projekt:

Model: HOŘICE-KONSTRUKCE\_3D\_Budova\_redukováne ..

### 1.3 PRŮŘEZY

Řez	Materiál	Označení	Upozornění	Komentář
	č.	průřezu		
č.				
1	4	Obdélník 400/500		
2	4	Obdélník 400/400		

### 1.4 SADA VÝZTUŽE Č. 1

Použito na prutech:	Vše (206-208,210,211, 213-228,235,236,265-272, 277-280,303)
PODÉLNÁ VÝZTUŽ	
Možné průměry:	16.0 mm
Uspořádání výztuže - obdélník:	Stejněměrně po obvodu
Minim. vzdálenost 1. vrstvy výztuže:	20.0 mm
Typ ukotvení:	Přímý
Povrch výztuže:	Žebrovaný
TŘMÍNKY	
Možné průměry:	10.0 mm
Počet střihů - obdélník:	2
Min. smyková výztuž $A_{sw}$ :	podle normy
Typ ukotvení:	Hák
KONSTRUKČNÍ VÝZTUŽ	
Max. vzdálenost konstrukční výztuže:	300.0 mm
KRYTÍ BETONEM	
Krytí výztuže podle normy	□
Osová vzdálenost krytí betonu - obdélník $C_z$ :	30.0 mm
Osová vzdálenost krytí betonu - obdélník $C_y$ :	30.0 mm
Rozhodující vnitřní síly:	N, V-y, V-z, M-y, M-z
NASTAVENÍ PRO CSN EN 1992-1-1/NA:2016-05	
Maximální podélná výztuž podle normy	☑
Minimální podélná výztuž podle normy	☑
Dílicí součinitel spolehlivosti podle tabulky 2.1N: $\gamma_c$ :	1.5000
Dílicí součinitel spolehlivosti podle tabulky 2.1N: $\gamma_s$ :	1.1500
Faktor $\alpha_{cc}$ :	1.0000
Min. sklon tlakové diagonály betonu:	45.000 °
Max. sklon tlakové diagonály betonu:	45.000 °

### 1.5 PARAMETRY - PODLE PRUTŮ

Prut č.	Průřez	Směr	Nebezpečí vzpěru	Systém neztužený	Délka [m]	Poměr $\beta$	Účinná délka [m] / Štíhlost
206	1 - Obdélník 400/500	okolo osy y	+	+	4.360	3.4890	15.212 / 105.4
		okolo osy z	+	+	4.360	2.7910	12.169 / 105.4
207	1 - Obdélník 400/500	okolo osy y	+	+	4.360	2.4820	10.822 / 75.0
		okolo osy z	+	+	4.360	1.9850	8.655 / 75.0
208	1 - Obdélník 400/500	okolo osy y	+	+	4.360	2.4770	10.800 / 74.8
		okolo osy z	+	+	4.360	1.9820	8.642 / 74.8
210	1 - Obdélník 400/500	okolo osy y	+	+	4.360	2.4780	10.804 / 74.9
		okolo osy z	+	+	4.360	1.9820	8.642 / 74.8
211	1 - Obdélník 400/500	okolo osy y	+	+	4.360	3.4960	15.243 / 105.6
		okolo osy z	+	+	4.360	2.7970	12.195 / 105.6
213	2 - Obdélník 400/400	okolo osy y	+	+	4.360	3.2900	14.344 / 124.2
		okolo osy z	+	+	4.360	3.2900	14.344 / 124.2
214	1 - Obdélník 400/500	okolo osy y	+	+	4.360	3.1670	13.808 / 95.7
		okolo osy z	+	+	4.360	2.5340	11.048 / 95.7
215	1 - Obdélník 400/500	okolo osy y	+	+	4.360	3.1340	13.664 / 94.7
		okolo osy z	+	+	4.360	2.5070	10.931 / 94.7
216	1 - Obdélník 400/500	okolo osy y	+	+	4.360	2.2720	9.906 / 68.6
		okolo osy z	+	+	4.360	1.8180	7.926 / 68.6
217	1 - Obdélník 400/500	okolo osy y	+	+	4.360	2.2720	9.906 / 68.6
		okolo osy z	+	+	4.360	1.8180	7.926 / 68.6
218	1 - Obdélník 400/500	okolo osy y	+	+	4.360	2.6740	11.659 / 80.8
		okolo osy z	+	+	4.360	2.1390	9.326 / 80.8
219	1 - Obdélník 400/500	okolo osy y	+	+	4.360	2.6730	11.654 / 80.7
		okolo osy z	+	+	4.360	2.1390	9.326 / 80.8
220	1 - Obdélník 400/500	okolo osy y	+	+	4.360	2.3100	10.072 / 69.8
		okolo osy z	+	+	4.360	1.8480	8.057 / 69.8
221	1 - Obdélník 400/500	okolo osy y	+	+	4.360	2.3110	10.076 / 69.8
		okolo osy z	+	+	4.360	1.8480	8.057 / 69.8
222	1 - Obdélník 400/500	okolo osy y	+	+	4.360	3.1820	13.874 / 96.1
		okolo osy z	+	+	4.360	2.5460	11.101 / 96.1
223	1 - Obdélník 400/500	okolo osy y	+	+	4.360	2.2720	9.906 / 68.6
		okolo osy z	+	+	4.360	1.8180	7.926 / 68.6
224	1 - Obdélník 400/500	okolo osy y	+	+	4.360	2.2720	9.906 / 68.6
		okolo osy z	+	+	4.360	1.8180	7.926 / 68.6
225	1 - Obdélník 400/500	okolo osy y	+	+	4.360	2.3120	10.080 / 69.8
		okolo osy z	+	+	4.360	1.8500	8.066 / 69.9
226	1 - Obdélník 400/500	okolo osy y	+	+	4.360	2.3120	10.080 / 69.8
		okolo osy z	+	+	4.360	1.8500	8.066 / 69.9
227	1 - Obdélník 400/500	okolo osy y	+	+	4.360	3.2040	13.969 / 96.8
		okolo osy z	+	+	4.360	2.5640	11.179 / 96.8
228	2 - Obdélník 400/400	okolo osy y	+	+	4.360	3.2850	14.323 / 124.0
		okolo osy z	+	+	4.360	3.2850	14.323 / 124.0
235	2 - Obdélník 400/400	okolo osy y	+	+	4.360	2.4980	10.891 / 94.3
		okolo osy z	+	+	4.360	2.4980	10.891 / 94.3
236	2 - Obdélník 400/400	okolo osy y	+	+	4.360	2.4980	10.891 / 94.3





Projekt:

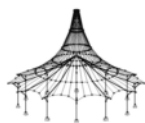
Model: HOŘICE-KONSTRUKCE\_3D\_Budova\_redukované ..

## ■ 1.5 PARAMETRY - PODLE PRUTŮ

Prut č.	Průřez	Směr	Nebezpečí vzpěru	Systém neztužený	Délka [m]	Poměr $\beta$	Účinná délka [m] / Štíhlost
265	1 - Obdélník 400/500	okolo osy z	+	+	4.360	2.4980	10.891 / 94.3
		okolo osy y	+	+	4.360	3.4040	14.841 / 102.8
		okolo osy z	+	+	4.360	2.7230	11.872 / 102.8
266	1 - Obdélník 400/500	okolo osy y	+	+	4.360	3.3940	14.798 / 102.5
		okolo osy z	+	+	4.360	2.7160	11.842 / 102.6
267	1 - Obdélník 400/500	okolo osy y	+	+	4.360	2.4990	10.896 / 75.5
		okolo osy z	+	+	4.360	1.9990	8.716 / 75.5
268	1 - Obdélník 400/500	okolo osy y	+	+	4.360	2.4950	10.878 / 75.4
		okolo osy z	+	+	4.360	1.9960	8.703 / 75.4
269	1 - Obdélník 400/500	okolo osy y	+	+	4.360	2.1800	9.505 / 65.9
		okolo osy z	+	+	4.360	1.2200	5.319 / 46.1
270	1 - Obdélník 400/500	okolo osy y	+	+	4.360	2.1800	9.505 / 65.9
		okolo osy z	+	+	4.360	1.2200	5.319 / 46.1
271	1 - Obdélník 400/500	okolo osy y	-	-	4.360	-	- / -
		okolo osy z	-	-	4.360	-	- / -
272	1 - Obdélník 400/500	okolo osy y	+	+	4.360	2.1800	9.505 / 65.9
		okolo osy z	+	+	4.360	2.1800	9.505 / 82.3
277	1 - Obdélník 400/500	okolo osy y	+	+	4.360	2.1800	9.505 / 65.9
		okolo osy z	+	+	4.360	2.1800	9.505 / 82.3
278	1 - Obdélník 400/500	okolo osy y	+	+	4.360	2.1800	9.505 / 65.9
		okolo osy z	+	+	4.360	2.1800	9.505 / 82.3
279	1 - Obdélník 400/500	okolo osy y	+	+	4.360	2.1800	9.505 / 65.9
		okolo osy z	+	+	4.360	1.2400	5.406 / 46.8
280	1 - Obdélník 400/500	okolo osy y	+	+	4.360	2.1800	9.505 / 65.9
		okolo osy z	+	+	4.360	1.2400	5.406 / 46.8
303	1 - Obdélník 400/500	okolo osy y	+	+	4.360	2.1800	9.505 / 65.9
		okolo osy z	+	+	4.360	1.2200	5.319 / 46.1

## ■ 2.1 POSOUZENÍ PRUTŮ

Prut č.	Rozhodující ZS	Posouzení poměru	Kritérium	Upozornění
206	Průřez č.1 - Obdélník 400/500			
	KV1	0.5112	$\leq 1$	100) POSOUZENÍ V KRITICKÉM PRŮŘEZU MODELOVÉHO SLOUPU PODLE ODS. 5.8.8
206	Průřez č.1 - Obdélník 400/500			
	KV1	0.0140	$\leq 1$	201) POSOUZENÍ POSOUVAJÍCÍCH SIL ( $V_{Ed} / V_{Rd,c} \leq 1$ ) PODLE 6.2.2 (2) S (6.4)
206	Průřez č.1 - Obdélník 400/500			
	KV1	0.0606	$\leq 1$	202) POSOUZENÍ POSOUVAJÍCÍCH SIL ( $V_{Ed} / V_{Rd,c} \leq 1$ ) PODLE 6.2.2 (1) S (6.2.a)
207	Průřez č.1 - Obdélník 400/500			
	KV1	0.5618	$\leq 1$	100) POSOUZENÍ V KRITICKÉM PRŮŘEZU MODELOVÉHO SLOUPU PODLE ODS. 5.8.8
207	Průřez č.1 - Obdélník 400/500			
	KV1	0.0349	$\leq 1$	201) POSOUZENÍ POSOUVAJÍCÍCH SIL ( $V_{Ed} / V_{Rd,c} \leq 1$ ) PODLE 6.2.2 (2) S (6.4)
207	Průřez č.1 - Obdélník 400/500			
	KV1	0.2323	$\leq 1$	202) POSOUZENÍ POSOUVAJÍCÍCH SIL ( $V_{Ed} / V_{Rd,c} \leq 1$ ) PODLE 6.2.2 (1) S (6.2.a)
208	Průřez č.1 - Obdélník 400/500			
	KV1	0.5231	$\leq 1$	100) POSOUZENÍ V KRITICKÉM PRŮŘEZU MODELOVÉHO SLOUPU PODLE ODS. 5.8.8
208	Průřez č.1 - Obdélník 400/500			
		0.0361	$\leq 1$	201) POSOUZENÍ POSOUVAJÍCÍCH SIL ( $V_{Ed} / V_{Rd,c} \leq 1$ ) PODLE 6.2.2 (2) S (6.4)
208	Průřez č.1 - Obdélník 400/500			
	KV1	0.2318	$\leq 1$	202) POSOUZENÍ POSOUVAJÍCÍCH SIL ( $V_{Ed} / V_{Rd,c} \leq 1$ ) PODLE 6.2.2 (1) S (6.2.a)
210	Průřez č.1 - Obdélník 400/500			
	KV1	0.5335	$\leq 1$	100) POSOUZENÍ V KRITICKÉM PRŮŘEZU MODELOVÉHO SLOUPU PODLE ODS. 5.8.8
210	Průřez č.1 - Obdélník 400/500			
	KV1	0.0266	$\leq 1$	201) POSOUZENÍ POSOUVAJÍCÍCH SIL ( $V_{Ed} / V_{Rd,c} \leq 1$ ) PODLE 6.2.2 (2) S (6.4)
210	Průřez č.1 - Obdélník 400/500			
	KV1	0.1962	$\leq 1$	202) POSOUZENÍ POSOUVAJÍCÍCH SIL ( $V_{Ed} / V_{Rd,c} \leq 1$ ) PODLE 6.2.2 (1) S (6.2.a)
211	Průřez č.1 - Obdélník 400/500			
	KV1	0.5526	$\leq 1$	100) POSOUZENÍ V KRITICKÉM PRŮŘEZU MODELOVÉHO SLOUPU PODLE ODS. 5.8.8
211	Průřez č.1 - Obdélník 400/500			
	KV1	0.0175	$\leq 1$	201) POSOUZENÍ POSOUVAJÍCÍCH SIL ( $V_{Ed} / V_{Rd,c} \leq 1$ ) PODLE 6.2.2 (2) S (6.4)
211	Průřez č.1 - Obdélník 400/500			
		0.2001	$\leq 1$	202) POSOUZENÍ POSOUVAJÍCÍCH SIL ( $V_{Ed} / V_{Rd,c} \leq 1$ ) PODLE 6.2.2 (1) S (6.2.a)
213	Průřez č.2 - Obdélník 400/400			
		0.7057	$\leq 1$	100) POSOUZENÍ V KRITICKÉM PRŮŘEZU MODELOVÉHO SLOUPU PODLE ODS. 5.8.8
213	Průřez č.2 - Obdélník 400/400			
	KV1	0.2296	$\leq 1$	202) POSOUZENÍ POSOUVAJÍCÍCH SIL ( $V_{Ed} / V_{Rd,c} \leq 1$ ) PODLE 6.2.2 (1) S (6.2.a)
214	Průřez č.1 - Obdélník 400/500			
		0.6987	$\leq 1$	100) POSOUZENÍ V KRITICKÉM PRŮŘEZU MODELOVÉHO SLOUPU PODLE ODS. 5.8.8
214	Průřez č.1 - Obdélník 400/500			
	KV1	0.0194	$\leq 1$	201) POSOUZENÍ POSOUVAJÍCÍCH SIL ( $V_{Ed} / V_{Rd,c} \leq 1$ ) PODLE 6.2.2 (2) S (6.4)
214	Průřez č.1 - Obdélník 400/500			
	KV1	0.2747	$\leq 1$	202) POSOUZENÍ POSOUVAJÍCÍCH SIL ( $V_{Ed} / V_{Rd,c} \leq 1$ ) PODLE 6.2.2 (1) S (6.2.a)
215	Průřez č.1 - Obdélník 400/500			
	KV1	0.5845	$\leq 1$	100) POSOUZENÍ V KRITICKÉM PRŮŘEZU MODELOVÉHO SLOUPU PODLE ODS. 5.8.8
215	Průřez č.1 - Obdélník 400/500			
	KV1	0.0207	$\leq 1$	201) POSOUZENÍ POSOUVAJÍCÍCH SIL ( $V_{Ed} / V_{Rd,c} \leq 1$ ) PODLE 6.2.2 (2) S (6.4)
215	Průřez č.1 - Obdélník 400/500			
		0.1549	$\leq 1$	202) POSOUZENÍ POSOUVAJÍCÍCH SIL ( $V_{Ed} / V_{Rd,c} \leq 1$ ) PODLE 6.2.2 (1) S (6.2.a)
216	Průřez č.1 - Obdélník 400/500			
	KV1	0.6380	$\leq 1$	100) POSOUZENÍ V KRITICKÉM PRŮŘEZU MODELOVÉHO SLOUPU PODLE ODS. 5.8.8
216	Průřez č.1 - Obdélník 400/500			
	KV1	0.0435	$\leq 1$	201) POSOUZENÍ POSOUVAJÍCÍCH SIL ( $V_{Ed} / V_{Rd,c} \leq 1$ ) PODLE 6.2.2 (2) S (6.4)



Projekt:

Model: HOŘICE-KONSTRUKCE\_3D\_Budova\_redukováne ..

## 2.1 POSOUZENÍ PRUTŮ

Prut č.	Rozhodující ZS	Posouzení		Upozornění
		poměru	Kritérium	
216	Průřez č.1 - Obdélník 400/500	0.3185	$\leq 1$	202) POSOUZENÍ POSOUVAJÍCÍCH SIL ( $V_{Ed} / V_{Rd,c} \leq 1$ ) PODLE 6.2.2 (1) S (6.2.a)
217	Průřez č.1 - Obdélník 400/500	0.6160	$\leq 1$	100) POSOUZENÍ V KRITICKÉM PRŮŘEZU MODELOVÉHO SLOUPU PODLE ODS. 5.8.8
217	Průřez č.1 - Obdélník 400/500	0.0268	$\leq 1$	201) POSOUZENÍ POSOUVAJÍCÍCH SIL ( $V_{Ed} / V_{Rd,c} \leq 1$ ) PODLE 6.2.2 (2) S (6.4)
217	Průřez č.1 - Obdélník 400/500	0.2136	$\leq 1$	202) POSOUZENÍ POSOUVAJÍCÍCH SIL ( $V_{Ed} / V_{Rd,c} \leq 1$ ) PODLE 6.2.2 (1) S (6.2.a)
218	Průřez č.1 - Obdélník 400/500	0.8448	$\leq 1$	100) POSOUZENÍ V KRITICKÉM PRŮŘEZU MODELOVÉHO SLOUPU PODLE ODS. 5.8.8
218	Průřez č.1 - Obdélník 400/500	0.0890	$\leq 1$	201) POSOUZENÍ POSOUVAJÍCÍCH SIL ( $V_{Ed} / V_{Rd,c} \leq 1$ ) PODLE 6.2.2 (2) S (6.4)
218	Průřez č.1 - Obdélník 400/500	0.4271	$\leq 1$	202) POSOUZENÍ POSOUVAJÍCÍCH SIL ( $V_{Ed} / V_{Rd,c} \leq 1$ ) PODLE 6.2.2 (1) S (6.2.a)
219	Průřez č.1 - Obdélník 400/500	0.7417	$\leq 1$	100) POSOUZENÍ V KRITICKÉM PRŮŘEZU MODELOVÉHO SLOUPU PODLE ODS. 5.8.8
219	Průřez č.1 - Obdélník 400/500	0.0830	$\leq 1$	201) POSOUZENÍ POSOUVAJÍCÍCH SIL ( $V_{Ed} / V_{Rd,c} \leq 1$ ) PODLE 6.2.2 (2) S (6.4)
219	Průřez č.1 - Obdélník 400/500	0.4994	$\leq 1$	202) POSOUZENÍ POSOUVAJÍCÍCH SIL ( $V_{Ed} / V_{Rd,c} \leq 1$ ) PODLE 6.2.2 (1) S (6.2.a)
220	Průřez č.1 - Obdélník 400/500	0.6220	$\leq 1$	100) POSOUZENÍ V KRITICKÉM PRŮŘEZU MODELOVÉHO SLOUPU PODLE ODS. 5.8.8
220	Průřez č.1 - Obdélník 400/500	0.0299	$\leq 1$	201) POSOUZENÍ POSOUVAJÍCÍCH SIL ( $V_{Ed} / V_{Rd,c} \leq 1$ ) PODLE 6.2.2 (2) S (6.4)
220	Průřez č.1 - Obdélník 400/500	0.2109	$\leq 1$	202) POSOUZENÍ POSOUVAJÍCÍCH SIL ( $V_{Ed} / V_{Rd,c} \leq 1$ ) PODLE 6.2.2 (1) S (6.2.a)
221	Průřez č.1 - Obdélník 400/500	0.6545	$\leq 1$	100) POSOUZENÍ V KRITICKÉM PRŮŘEZU MODELOVÉHO SLOUPU PODLE ODS. 5.8.8
221	Průřez č.1 - Obdélník 400/500	0.0433	$\leq 1$	201) POSOUZENÍ POSOUVAJÍCÍCH SIL ( $V_{Ed} / V_{Rd,c} \leq 1$ ) PODLE 6.2.2 (2) S (6.4)
221	Průřez č.1 - Obdélník 400/500	0.3148	$\leq 1$	202) POSOUZENÍ POSOUVAJÍCÍCH SIL ( $V_{Ed} / V_{Rd,c} \leq 1$ ) PODLE 6.2.2 (1) S (6.2.a)
222	Průřez č.1 - Obdélník 400/500	0.5715	$\leq 1$	100) POSOUZENÍ V KRITICKÉM PRŮŘEZU MODELOVÉHO SLOUPU PODLE ODS. 5.8.8
222	Průřez č.1 - Obdélník 400/500	0.0208	$\leq 1$	201) POSOUZENÍ POSOUVAJÍCÍCH SIL ( $V_{Ed} / V_{Rd,c} \leq 1$ ) PODLE 6.2.2 (2) S (6.4)
222	Průřez č.1 - Obdélník 400/500	0.1595	$\leq 1$	202) POSOUZENÍ POSOUVAJÍCÍCH SIL ( $V_{Ed} / V_{Rd,c} \leq 1$ ) PODLE 6.2.2 (1) S (6.2.a)
223	Průřez č.1 - Obdélník 400/500	0.5939	$\leq 1$	100) POSOUZENÍ V KRITICKÉM PRŮŘEZU MODELOVÉHO SLOUPU PODLE ODS. 5.8.8
223	Průřez č.1 - Obdélník 400/500	0.0311	$\leq 1$	201) POSOUZENÍ POSOUVAJÍCÍCH SIL ( $V_{Ed} / V_{Rd,c} \leq 1$ ) PODLE 6.2.2 (2) S (6.4)
223	Průřez č.1 - Obdélník 400/500	0.2393	$\leq 1$	202) POSOUZENÍ POSOUVAJÍCÍCH SIL ( $V_{Ed} / V_{Rd,c} \leq 1$ ) PODLE 6.2.2 (1) S (6.2.a)
224	Průřez č.1 - Obdélník 400/500	0.6020	$\leq 1$	100) POSOUZENÍ V KRITICKÉM PRŮŘEZU MODELOVÉHO SLOUPU PODLE ODS. 5.8.8
224	Průřez č.1 - Obdélník 400/500	0.0434	$\leq 1$	201) POSOUZENÍ POSOUVAJÍCÍCH SIL ( $V_{Ed} / V_{Rd,c} \leq 1$ ) PODLE 6.2.2 (2) S (6.4)
224	Průřez č.1 - Obdélník 400/500	0.3129	$\leq 1$	202) POSOUZENÍ POSOUVAJÍCÍCH SIL ( $V_{Ed} / V_{Rd,c} \leq 1$ ) PODLE 6.2.2 (1) S (6.2.a)
225	Průřez č.1 - Obdélník 400/500	0.5913	$\leq 1$	100) POSOUZENÍ V KRITICKÉM PRŮŘEZU MODELOVÉHO SLOUPU PODLE ODS. 5.8.8
225	Průřez č.1 - Obdélník 400/500	0.0306	$\leq 1$	201) POSOUZENÍ POSOUVAJÍCÍCH SIL ( $V_{Ed} / V_{Rd,c} \leq 1$ ) PODLE 6.2.2 (2) S (6.4)
225	Průřez č.1 - Obdélník 400/500	0.2217	$\leq 1$	202) POSOUZENÍ POSOUVAJÍCÍCH SIL ( $V_{Ed} / V_{Rd,c} \leq 1$ ) PODLE 6.2.2 (1) S (6.2.a)
226	Průřez č.1 - Obdélník 400/500	0.6411	$\leq 1$	100) POSOUZENÍ V KRITICKÉM PRŮŘEZU MODELOVÉHO SLOUPU PODLE ODS. 5.8.8
226	Průřez č.1 - Obdélník 400/500	0.0421	$\leq 1$	201) POSOUZENÍ POSOUVAJÍCÍCH SIL ( $V_{Ed} / V_{Rd,c} \leq 1$ ) PODLE 6.2.2 (2) S (6.4)
226	Průřez č.1 - Obdélník 400/500	0.3052	$\leq 1$	202) POSOUZENÍ POSOUVAJÍCÍCH SIL ( $V_{Ed} / V_{Rd,c} \leq 1$ ) PODLE 6.2.2 (1) S (6.2.a)
227	Průřez č.1 - Obdélník 400/500	0.6917	$\leq 1$	100) POSOUZENÍ V KRITICKÉM PRŮŘEZU MODELOVÉHO SLOUPU PODLE ODS. 5.8.8
227	Průřez č.1 - Obdélník 400/500	0.0102	$\leq 1$	201) POSOUZENÍ POSOUVAJÍCÍCH SIL ( $V_{Ed} / V_{Rd,c} \leq 1$ ) PODLE 6.2.2 (2) S (6.4)
227	Průřez č.1 - Obdélník 400/500	0.3083	$\leq 1$	202) POSOUZENÍ POSOUVAJÍCÍCH SIL ( $V_{Ed} / V_{Rd,c} \leq 1$ ) PODLE 6.2.2 (1) S (6.2.a)
228	Průřez č.2 - Obdélník 400/400	0.7227	$\leq 1$	100) POSOUZENÍ V KRITICKÉM PRŮŘEZU MODELOVÉHO SLOUPU PODLE ODS. 5.8.8
228	Průřez č.2 - Obdélník 400/400	0.2382	$\leq 1$	202) POSOUZENÍ POSOUVAJÍCÍCH SIL ( $V_{Ed} / V_{Rd,c} \leq 1$ ) PODLE 6.2.2 (1) S (6.2.a)
235	Průřez č.2 - Obdélník 400/400	0.4674	$\leq 1$	100) POSOUZENÍ V KRITICKÉM PRŮŘEZU MODELOVÉHO SLOUPU PODLE ODS. 5.8.8
235	Průřez č.2 - Obdélník 400/400	0.0206	$\leq 1$	201) POSOUZENÍ POSOUVAJÍCÍCH SIL ( $V_{Ed} / V_{Rd,c} \leq 1$ ) PODLE 6.2.2 (2) S (6.4)
235	Průřez č.2 - Obdélník 400/400	0.0955	$\leq 1$	202) POSOUZENÍ POSOUVAJÍCÍCH SIL ( $V_{Ed} / V_{Rd,c} \leq 1$ ) PODLE 6.2.2 (1) S (6.2.a)
236	Průřez č.2 - Obdélník 400/400			



Projekt:

Model: HOŘICE-KONSTRUKCE\_3D\_Budova\_redukováne ..

## 2.1 POSOUZENÍ PRUTŮ

Prut č.	Rozhodující ZS	Posouzení		Upozornění
		poměru	Kritérium	
236	KV1	0.4438	$\leq 1$	100) POSOUZENÍ V KRITICKÉM PRŮŘEZU MODELOVÉHO SLOUPU PODLE ODS. 5.8.8
	Průřez č.2 - Obdélník 400/400	0.0173	$\leq 1$	201) POSOUZENÍ POSOUVAJÍCÍCH SIL ( $V_{Ed} / V_{Rd,c}$ ) $\leq 1$ ) PODLE 6.2.2 (2) S (6.4)
236	KV1	0.1104	$\leq 1$	202) POSOUZENÍ POSOUVAJÍCÍCH SIL ( $V_{Ed} / V_{Rd,c}$ ) $\leq 1$ ) PODLE 6.2.2 (1) S (6.2.a)
	Průřez č.1 - Obdélník 400/500	0.6559	$\leq 1$	100) POSOUZENÍ V KRITICKÉM PRŮŘEZU MODELOVÉHO SLOUPU PODLE ODS. 5.8.8
265	KV1	0.0363	$\leq 1$	201) POSOUZENÍ POSOUVAJÍCÍCH SIL ( $V_{Ed} / V_{Rd,c}$ ) $\leq 1$ ) PODLE 6.2.2 (2) S (6.4)
	Průřez č.1 - Obdélník 400/500	0.0935	$\leq 1$	202) POSOUZENÍ POSOUVAJÍCÍCH SIL ( $V_{Ed} / V_{Rd,c}$ ) $\leq 1$ ) PODLE 6.2.2 (1) S (6.2.a)
266	KV1	0.6466	$\leq 1$	100) POSOUZENÍ V KRITICKÉM PRŮŘEZU MODELOVÉHO SLOUPU PODLE ODS. 5.8.8
	Průřez č.1 - Obdélník 400/500	0.0308	$\leq 1$	201) POSOUZENÍ POSOUVAJÍCÍCH SIL ( $V_{Ed} / V_{Rd,c}$ ) $\leq 1$ ) PODLE 6.2.2 (2) S (6.4)
266	KV1	0.1574	$\leq 1$	202) POSOUZENÍ POSOUVAJÍCÍCH SIL ( $V_{Ed} / V_{Rd,c}$ ) $\leq 1$ ) PODLE 6.2.2 (1) S (6.2.a)
	Průřez č.1 - Obdélník 400/500	0.5786	$\leq 1$	100) POSOUZENÍ V KRITICKÉM PRŮŘEZU MODELOVÉHO SLOUPU PODLE ODS. 5.8.8
267	KV1	0.0379	$\leq 1$	201) POSOUZENÍ POSOUVAJÍCÍCH SIL ( $V_{Ed} / V_{Rd,c}$ ) $\leq 1$ ) PODLE 6.2.2 (2) S (6.4)
	Průřez č.1 - Obdélník 400/500	0.2428	$\leq 1$	202) POSOUZENÍ POSOUVAJÍCÍCH SIL ( $V_{Ed} / V_{Rd,c}$ ) $\leq 1$ ) PODLE 6.2.2 (1) S (6.2.a)
268	KV1	0.6101	$\leq 1$	100) POSOUZENÍ V KRITICKÉM PRŮŘEZU MODELOVÉHO SLOUPU PODLE ODS. 5.8.8
	Průřez č.1 - Obdélník 400/500	0.0383	$\leq 1$	201) POSOUZENÍ POSOUVAJÍCÍCH SIL ( $V_{Ed} / V_{Rd,c}$ ) $\leq 1$ ) PODLE 6.2.2 (2) S (6.4)
268	KV1	0.3310	$\leq 1$	202) POSOUZENÍ POSOUVAJÍCÍCH SIL ( $V_{Ed} / V_{Rd,c}$ ) $\leq 1$ ) PODLE 6.2.2 (1) S (6.2.a)
	Průřez č.1 - Obdélník 400/500	0.4164	$\leq 1$	100) POSOUZENÍ V KRITICKÉM PRŮŘEZU MODELOVÉHO SLOUPU PODLE ODS. 5.8.8
269	KV1	0.0329	$\leq 1$	201) POSOUZENÍ POSOUVAJÍCÍCH SIL ( $V_{Ed} / V_{Rd,c}$ ) $\leq 1$ ) PODLE 6.2.2 (2) S (6.4)
	Průřez č.1 - Obdélník 400/500	0.2253	$\leq 1$	202) POSOUZENÍ POSOUVAJÍCÍCH SIL ( $V_{Ed} / V_{Rd,c}$ ) $\leq 1$ ) PODLE 6.2.2 (1) S (6.2.a)
270	KV1	0.3865	$\leq 1$	100) POSOUZENÍ V KRITICKÉM PRŮŘEZU MODELOVÉHO SLOUPU PODLE ODS. 5.8.8
	Průřez č.1 - Obdélník 400/500	0.0382	$\leq 1$	201) POSOUZENÍ POSOUVAJÍCÍCH SIL ( $V_{Ed} / V_{Rd,c}$ ) $\leq 1$ ) PODLE 6.2.2 (2) S (6.4)
270	KV1	0.3337	$\leq 1$	202) POSOUZENÍ POSOUVAJÍCÍCH SIL ( $V_{Ed} / V_{Rd,c}$ ) $\leq 1$ ) PODLE 6.2.2 (1) S (6.2.a)
271	KV1	0.0900	$\leq 1$	100) POSOUZENÍ V KRITICKÉM PRŮŘEZU MODELOVÉHO SLOUPU PODLE ODS. 5.8.8
	Průřez č.1 - Obdélník 400/500	0.0145	$\leq 1$	201) POSOUZENÍ POSOUVAJÍCÍCH SIL ( $V_{Ed} / V_{Rd,c}$ ) $\leq 1$ ) PODLE 6.2.2 (2) S (6.4)
271	KV1	0.1530	$\leq 1$	202) POSOUZENÍ POSOUVAJÍCÍCH SIL ( $V_{Ed} / V_{Rd,c}$ ) $\leq 1$ ) PODLE 6.2.2 (1) S (6.2.a)
272	KV1	0.1816	$\leq 1$	100) POSOUZENÍ V KRITICKÉM PRŮŘEZU MODELOVÉHO SLOUPU PODLE ODS. 5.8.8
	Průřez č.1 - Obdélník 400/500	0.0276	$\leq 1$	201) POSOUZENÍ POSOUVAJÍCÍCH SIL ( $V_{Ed} / V_{Rd,c}$ ) $\leq 1$ ) PODLE 6.2.2 (2) S (6.4)
272	KV1	0.2328	$\leq 1$	202) POSOUZENÍ POSOUVAJÍCÍCH SIL ( $V_{Ed} / V_{Rd,c}$ ) $\leq 1$ ) PODLE 6.2.2 (1) S (6.2.a)
277	KV1	0.3414	$\leq 1$	100) POSOUZENÍ V KRITICKÉM PRŮŘEZU MODELOVÉHO SLOUPU PODLE ODS. 5.8.8
	Průřez č.1 - Obdélník 400/500	0.0192	$\leq 1$	201) POSOUZENÍ POSOUVAJÍCÍCH SIL ( $V_{Ed} / V_{Rd,c}$ ) $\leq 1$ ) PODLE 6.2.2 (2) S (6.4)
277	KV1	0.0897	$\leq 1$	202) POSOUZENÍ POSOUVAJÍCÍCH SIL ( $V_{Ed} / V_{Rd,c}$ ) $\leq 1$ ) PODLE 6.2.2 (1) S (6.2.a)
278	KV1	0.4412	$\leq 1$	100) POSOUZENÍ V KRITICKÉM PRŮŘEZU MODELOVÉHO SLOUPU PODLE ODS. 5.8.8
	Průřez č.1 - Obdélník 400/500	0.0288	$\leq 1$	201) POSOUZENÍ POSOUVAJÍCÍCH SIL ( $V_{Ed} / V_{Rd,c}$ ) $\leq 1$ ) PODLE 6.2.2 (2) S (6.4)
278	KV1	0.0809	$\leq 1$	202) POSOUZENÍ POSOUVAJÍCÍCH SIL ( $V_{Ed} / V_{Rd,c}$ ) $\leq 1$ ) PODLE 6.2.2 (1) S (6.2.a)
279	KV1	0.5006	$\leq 1$	100) POSOUZENÍ V KRITICKÉM PRŮŘEZU MODELOVÉHO SLOUPU PODLE ODS. 5.8.8
	Průřez č.1 - Obdélník 400/500	0.0789	$\leq 1$	201) POSOUZENÍ POSOUVAJÍCÍCH SIL ( $V_{Ed} / V_{Rd,c}$ ) $\leq 1$ ) PODLE 6.2.2 (2) S (6.4)
279	KV1	0.5585	$\leq 1$	202) POSOUZENÍ POSOUVAJÍCÍCH SIL ( $V_{Ed} / V_{Rd,c}$ ) $\leq 1$ ) PODLE 6.2.2 (1) S (6.2.a)
280	KV1	0.5214	$\leq 1$	100) POSOUZENÍ V KRITICKÉM PRŮŘEZU MODELOVÉHO SLOUPU PODLE ODS. 5.8.8
	Průřez č.1 - Obdélník 400/500	0.0740	$\leq 1$	201) POSOUZENÍ POSOUVAJÍCÍCH SIL ( $V_{Ed} / V_{Rd,c}$ ) $\leq 1$ ) PODLE 6.2.2 (2) S (6.4)
280	KV1	0.3583	$\leq 1$	202) POSOUZENÍ POSOUVAJÍCÍCH SIL ( $V_{Ed} / V_{Rd,c}$ ) $\leq 1$ ) PODLE 6.2.2 (1) S (6.2.a)
	Průřez č.1 - Obdélník 400/500	0.3720	$\leq 1$	100) POSOUZENÍ V KRITICKÉM PRŮŘEZU MODELOVÉHO SLOUPU PODLE ODS. 5



Projekt:

Model: HOŘICE-KONSTRUKCE\_3D\_Budova\_redukováne ..

## 2.1 POSOUZENÍ PRUTŮ

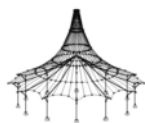
Prut č.	Rozhodující ZS	Posouzení		Upozornění
		poměru	Kritérium	
303	Průřez č.1 - Obdélník 400/500			5.8.8
	KV1	0.0297	$\leq 1$	201) POSOUZENÍ POSOUVAJÍCÍCH SIL ( $V_{Ed} / V_{Rd,c} \leq 1$ ) PODLE 6.2.2 (2) S (6.4)
303	Průřez č.1 - Obdélník 400/500			
	KV1	0.0918	$\leq 1$	202) POSOUZENÍ POSOUVAJÍCÍCH SIL ( $V_{Ed} / V_{Rd,c} \leq 1$ ) PODLE 6.2.2 (1) S (6.2.a)

## 3.1 NUTNÁ VÝZTUŽ PO PRŮŘEZECH

Průřez č.	Typ výztuže	Prut č.	Místo x [ m ]	ZS / KZ KV	Výztuž		Chybová zpráva	
					Plocha	Jednotky	Upozornění	
1	Obdélník 400/500							
	Podélná výztuž	218	4.360	KV1	As	1131.4	mm <sup>2</sup>	
1	Obdélník 400/500							
	Smyková	206	-	-	a <sub>sw</sub>	654.5	mm <sup>2</sup> /m	
Štíhlost okolo osy y								105.3920
Účinná délka						λ <sub>y</sub>		15.212 m
Součinitel vzpěrné délky						β <sub>y</sub>		3.489
Geometrická délka						l <sub>y</sub>		4.360 m
Štíhlost okolo osy z								105.3850
Účinná délka						λ <sub>z</sub>		12.169 m
Součinitel vzpěrné délky						β <sub>z</sub>		2.791
Geometrická délka						l <sub>z</sub>		4.360 m
Vyhovuje předpokladu pro typické posouzení?								Ne
Posouzení stability je nezbytné								
Momenty podle teorie I. řádu								
Působící normálová síla						N <sub>Ed</sub>		-203.190 kN
Moment okolo osy y						M <sub>Ed,1,y</sub>		-34.420 kNm
Moment okolo osy z						M <sub>Ed,1,z</sub>		-6.259 kNm
Momenty podle teorie II. řádu (dotvarování)								
Působící normálová síla						N <sub>Ed</sub>		-203.190 kN
Moment okolo osy y						M <sub>Ed,y2</sub>		-87.277 kNm
Moment okolo osy z						M <sub>Ed,z2</sub>		-49.150 kNm
2	Obdélník 400/400							
	Podélná výztuž	228	0.000	KV1	As	1117.3	mm <sup>2</sup>	
2	Obdélník 400/400							
	Smyková	213	-	-	a <sub>sw</sub>	654.5	mm <sup>2</sup> /m	
Štíhlost okolo osy y								124.2260
Účinná délka						λ <sub>y</sub>		14.344 m
Součinitel vzpěrné délky						β <sub>y</sub>		3.290
Geometrická délka						l <sub>y</sub>		4.360 m
Štíhlost okolo osy z								124.2260
Účinná délka						λ <sub>z</sub>		14.344 m
Součinitel vzpěrné délky						β <sub>z</sub>		3.290
Geometrická délka						l <sub>z</sub>		4.360 m
Vyhovuje předpokladu pro typické posouzení?								Ne
Posouzení stability je nezbytné								
Momenty podle teorie I. řádu								
Působící normálová síla						N <sub>Ed</sub>		-119.783 kN
Moment okolo osy y						M <sub>Ed,1,y</sub>		18.444 kNm
Moment okolo osy z						M <sub>Ed,1,z</sub>		58.987 kNm
Momenty podle teorie II. řádu (dotvarování)								
Působící normálová síla						N <sub>Ed</sub>		-119.783 kN
Moment okolo osy y						M <sub>Ed,y2</sub>		53.579 kNm
Moment okolo osy z						M <sub>Ed,z2</sub>		94.121 kNm

## 4.1 NAVRŽENÁ PODÉLNÁ VÝZTUŽ

Průřez	Položka	Počet prutů	d <sub>s</sub> [ mm ]	Místo x [ m ]		Ukotvení	Upozornění
	č.			od	do		
1	Prut č. 206 - Obdélník 400/500						
	1	6	16.0	-0.234	4.594	<input checked="" type="checkbox"/>	
1	Prut č. 207 - Obdélník 400/500						
	2	6	16.0	-0.183	4.543	<input checked="" type="checkbox"/>	
1	Prut č. 208 - Obdélník 400/500						
	2	6	16.0	-0.183	4.543	<input checked="" type="checkbox"/>	
1	Prut č. 210 - Obdélník 400/500						
	2	6	16.0	-0.183	4.543	<input checked="" type="checkbox"/>	
1	Prut č. 211 - Obdélník 400/500						
	3	6	16.0	-0.260	4.620	<input checked="" type="checkbox"/>	
1	Prut č. 213 - Obdélník 400/400						
	4	8	16.0	-0.373	4.733	<input checked="" type="checkbox"/>	
1	Prut č. 214 - Obdélník 400/500						
	5	6	16.0	-0.401	4.761	<input checked="" type="checkbox"/>	
1	Prut č. 215 - Obdélník 400/500						
	6	6	16.0	-0.265	4.625	<input checked="" type="checkbox"/>	



Projekt:

Model: HOŘICE-KONSTRUKCE\_3D\_Budova\_redukované ..

## ■ 4.1 NAVRŽENÁ PODÉLNÁ VÝZTUŽ

Průřez	Položka č.	Počet	d <sub>s</sub>	Místo x [ m ]		Ukotvení	Upozornění
		prutů	[ mm ]	od	do		
1		Prut č. 216 - Obdélník 400/500					
	7	6	16.0	-0.190	4.550	<input checked="" type="checkbox"/>	
1		Prut č. 217 - Obdélník 400/500					
	2	6	16.0	-0.183	4.543	<input checked="" type="checkbox"/>	
1		Prut č. 218 - Obdélník 400/500					
	8	6	16.0	-0.519	4.879	<input checked="" type="checkbox"/>	
1		Prut č. 219 - Obdélník 400/500					
	9	6	16.0	-0.441	4.801	<input checked="" type="checkbox"/>	
1		Prut č. 220 - Obdélník 400/500					
	2	6	16.0	-0.183	4.543	<input checked="" type="checkbox"/>	
1		Prut č. 221 - Obdélník 400/500					
	10	6	16.0	-0.216	4.576	<input checked="" type="checkbox"/>	
1		Prut č. 222 - Obdélník 400/500					
	11	6	16.0	-0.259	4.619	<input checked="" type="checkbox"/>	
1		Prut č. 223 - Obdélník 400/500					
	2	6	16.0	-0.183	4.543	<input checked="" type="checkbox"/>	
1		Prut č. 224 - Obdélník 400/500					
	2	6	16.0	-0.183	4.543	<input checked="" type="checkbox"/>	
1		Prut č. 225 - Obdélník 400/500					
	2	6	16.0	-0.183	4.543	<input checked="" type="checkbox"/>	
1		Prut č. 226 - Obdélník 400/500					
	12	6	16.0	-0.207	4.567	<input checked="" type="checkbox"/>	
1		Prut č. 227 - Obdélník 400/500					
	13	6	16.0	-0.397	4.757	<input checked="" type="checkbox"/>	
1		Prut č. 228 - Obdélník 400/400					
	14	8	16.0	-0.384	4.744	<input checked="" type="checkbox"/>	
1		Prut č. 235 - Obdélník 400/400					
	15	8	16.0	-0.169	4.529	<input checked="" type="checkbox"/>	
1		Prut č. 236 - Obdélník 400/400					
	16	8	16.0	-0.161	4.521	<input checked="" type="checkbox"/>	
1		Prut č. 265 - Obdélník 400/500					
	17	6	16.0	-0.330	4.690	<input checked="" type="checkbox"/>	
1		Prut č. 266 - Obdélník 400/500					
	18	6	16.0	-0.324	4.684	<input checked="" type="checkbox"/>	
1		Prut č. 267 - Obdélník 400/500					
	19	6	16.0	-0.187	4.547	<input checked="" type="checkbox"/>	
1		Prut č. 268 - Obdélník 400/500					
	20	6	16.0	-0.227	4.587	<input checked="" type="checkbox"/>	
1		Prut č. 269 - Obdélník 400/500					
	2	6	16.0	-0.183	4.543	<input checked="" type="checkbox"/>	
1		Prut č. 270 - Obdélník 400/500					
	2	6	16.0	-0.183	4.543	<input checked="" type="checkbox"/>	
1		Prut č. 271 - Obdélník 400/500					
	2	6	16.0	-0.183	4.543	<input checked="" type="checkbox"/>	
1		Prut č. 272 - Obdélník 400/500					
	2	6	16.0	-0.183	4.543	<input checked="" type="checkbox"/>	
1		Prut č. 277 - Obdélník 400/500					
	2	6	16.0	-0.183	4.543	<input checked="" type="checkbox"/>	
1		Prut č. 278 - Obdélník 400/500					
	2	6	16.0	-0.183	4.543	<input checked="" type="checkbox"/>	
1		Prut č. 279 - Obdélník 400/500					
	2	6	16.0	-0.183	4.543	<input checked="" type="checkbox"/>	
1		Prut č. 280 - Obdélník 400/500					
	2	6	16.0	-0.183	4.543	<input checked="" type="checkbox"/>	
1		Prut č. 303 - Obdélník 400/500					
	2	6	16.0	-0.183	4.543	<input checked="" type="checkbox"/>	



Projekt:

Model: HOŘICE-KONSTRUKCE\_3D\_Budova\_redukováne ...

## ■ 4.2 NAVRŽENÁ TŘMÍNKOVÁ VÝZTUŽ

Průřez	Položka	Počet	d <sub>s</sub> [ mm ]	Místo x [ m ]		Vzdál. s <sub>sw</sub> [mm]	Počet	Upozorně
	č.	třmínků		od	do		střihů	
Prut č. 206 - Obdélník 400/500								
1	21	5	10.0	0.035	0.611	144.0	2	
2	21	13	10.0	0.611	3.731	240.0	2	
3	21	4	10.0	3.731	4.307	144.0	2	
Prut č. 207 - Obdélník 400/500								
1	21	5	10.0	0.035	0.611	144.0	2	
2	21	13	10.0	0.611	3.731	240.0	2	
3	21	4	10.0	3.731	4.307	144.0	2	
Prut č. 208 - Obdélník 400/500								
1	21	5	10.0	0.035	0.611	144.0	2	
2	21	13	10.0	0.611	3.731	240.0	2	
3	21	4	10.0	3.731	4.307	144.0	2	
Prut č. 210 - Obdélník 400/500								
1	21	5	10.0	0.035	0.611	144.0	2	
2	21	13	10.0	0.611	3.731	240.0	2	
3	21	4	10.0	3.731	4.307	144.0	2	
Prut č. 211 - Obdélník 400/500								
1	21	5	10.0	0.035	0.611	144.0	2	
2	21	13	10.0	0.611	3.731	240.0	2	
3	21	4	10.0	3.731	4.307	144.0	2	
Prut č. 213 - Obdélník 400/400								
1	22	4	10.0	0.035	0.467	144.0	2	
2	22	14	10.0	0.467	3.827	240.0	2	
3	22	3	10.0	3.827	4.259	144.0	2	
Prut č. 214 - Obdélník 400/500								
1	21	5	10.0	0.035	0.611	144.0	2	
2	21	13	10.0	0.611	3.731	240.0	2	
3	21	4	10.0	3.731	4.307	144.0	2	
Prut č. 215 - Obdélník 400/500								
1	21	5	10.0	0.030	0.606	144.0	2	
2	21	13	10.0	0.606	3.726	240.0	2	
3	21	4	10.0	3.726	4.302	144.0	2	
Prut č. 216 - Obdélník 400/500								
1	21	5	10.0	0.030	0.606	144.0	2	
2	21	13	10.0	0.606	3.726	240.0	2	
3	21	4	10.0	3.726	4.302	144.0	2	
Prut č. 217 - Obdélník 400/500								
1	21	5	10.0	0.030	0.606	144.0	2	
2	21	13	10.0	0.606	3.726	240.0	2	
3	21	4	10.0	3.726	4.302	144.0	2	
Prut č. 218 - Obdélník 400/500								
1	21	5	10.0	0.030	0.606	144.0	2	
2	21	13	10.0	0.606	3.726	240.0	2	
3	21	4	10.0	3.726	4.302	144.0	2	
Prut č. 219 - Obdélník 400/500								
1	21	5	10.0	0.030	0.606	144.0	2	
2	21	13	10.0	0.606	3.726	240.0	2	
3	21	4	10.0	3.726	4.302	144.0	2	
Prut č. 220 - Obdélník 400/500								
1	21	5	10.0	0.030	0.606	144.0	2	
2	21	13	10.0	0.606	3.726	240.0	2	
3	21	4	10.0	3.726	4.302	144.0	2	
Prut č. 221 - Obdélník 400/500								
1	21	5	10.0	0.030	0.606	144.0	2	



Projekt:

Model: HOŘICE-KONSTRUKCE\_3D\_Budova\_redukováne ...

## ■ 4.2 NAVRŽENÁ TŘMÍNKOVÁ VÝZTUŽ

Průřez	Položka	Počet	d <sub>s</sub>	Místo x [ m ]		Vzdál.	Počet	Upozorně
	č.	třmíneků	[ mm ]	od	do	s <sub>sw</sub> [mm]	střihů	
2	21	13	10.0	0.606	3.726	240.0	2	
3	21	4	10.0	3.726	4.302	144.0	2	
Prut č. 222 - Obdélník 400/500								
1	21	5	10.0	0.030	0.606	144.0	2	
2	21	13	10.0	0.606	3.726	240.0	2	
3	21	4	10.0	3.726	4.302	144.0	2	
Prut č. 223 - Obdélník 400/500								
1	21	5	10.0	0.030	0.606	144.0	2	
2	21	13	10.0	0.606	3.726	240.0	2	
3	21	4	10.0	3.726	4.302	144.0	2	
Prut č. 224 - Obdélník 400/500								
1	21	5	10.0	0.030	0.606	144.0	2	
2	21	13	10.0	0.606	3.726	240.0	2	
3	21	4	10.0	3.726	4.302	144.0	2	
Prut č. 225 - Obdélník 400/500								
1	21	5	10.0	0.030	0.606	144.0	2	
2	21	13	10.0	0.606	3.726	240.0	2	
3	21	4	10.0	3.726	4.302	144.0	2	
Prut č. 226 - Obdélník 400/500								
1	21	5	10.0	0.030	0.606	144.0	2	
2	21	13	10.0	0.606	3.726	240.0	2	
3	21	4	10.0	3.726	4.302	144.0	2	
Prut č. 227 - Obdélník 400/500								
1	21	5	10.0	0.035	0.611	144.0	2	
2	21	13	10.0	0.611	3.731	240.0	2	
3	21	4	10.0	3.731	4.307	144.0	2	
Prut č. 228 - Obdélník 400/400								
1	22	4	10.0	0.035	0.467	144.0	2	
2	22	14	10.0	0.467	3.827	240.0	2	
3	22	3	10.0	3.827	4.259	144.0	2	
Prut č. 235 - Obdélník 400/400								
1	22	4	10.0	0.030	0.462	144.0	2	
2	22	14	10.0	0.462	3.822	240.0	2	
3	22	3	10.0	3.822	4.254	144.0	2	
Prut č. 236 - Obdélník 400/400								
1	22	4	10.0	0.030	0.462	144.0	2	
2	22	14	10.0	0.462	3.822	240.0	2	
3	22	3	10.0	3.822	4.254	144.0	2	
Prut č. 265 - Obdélník 400/500								
1	21	5	10.0	0.035	0.611	144.0	2	
2	21	13	10.0	0.611	3.731	240.0	2	
3	21	4	10.0	3.731	4.307	144.0	2	
Prut č. 266 - Obdélník 400/500								
1	21	5	10.0	0.034	0.610	144.0	2	
2	21	13	10.0	0.610	3.730	240.0	2	
3	21	4	10.0	3.730	4.306	144.0	2	
Prut č. 267 - Obdélník 400/500								
1	21	5	10.0	0.035	0.611	144.0	2	
2	21	13	10.0	0.611	3.731	240.0	2	
3	21	4	10.0	3.731	4.307	144.0	2	
Prut č. 268 - Obdélník 400/500								
1	21	5	10.0	0.035	0.611	144.0	2	
2	21	13	10.0	0.611	3.731	240.0	2	
3	21	4	10.0	3.731	4.307	144.0	2	



Projekt:

Model: HOŘICE-KONSTRUKCE\_3D\_Budova\_redukováné ..

## ■ 4.2 NAVRŽENÁ TŘMÍNKOVÁ VÝZTUŽ

Průřez	Položka	Počet	d <sub>s</sub>	Místo x [ m ]		Vzdál.	Počet	Upozorně
	č.	třmínků	[ mm ]	od	do	s <sub>sw</sub> [mm]	střihů	
	Prut č. 269 - Obdélník 400/500							
1	21	5	10.0	0.035	0.611	144.0	2	
2	21	13	10.0	0.611	3.731	240.0	2	
3	21	4	10.0	3.731	4.307	144.0	2	
	Prut č. 270 - Obdélník 400/500							
1	21	5	10.0	0.035	0.611	144.0	2	
2	21	13	10.0	0.611	3.731	240.0	2	
3	21	4	10.0	3.731	4.307	144.0	2	
	Prut č. 271 - Obdélník 400/500							
1	21	5	10.0	0.035	0.611	144.0	2	
2	21	13	10.0	0.611	3.731	240.0	2	
3	21	4	10.0	3.731	4.307	144.0	2	
	Prut č. 272 - Obdélník 400/500							
1	21	5	10.0	0.035	0.611	144.0	2	
2	21	13	10.0	0.611	3.731	240.0	2	
3	21	4	10.0	3.731	4.307	144.0	2	
	Prut č. 277 - Obdélník 400/500							
1	21	5	10.0	0.034	0.610	144.0	2	
2	21	13	10.0	0.610	3.730	240.0	2	
3	21	4	10.0	3.730	4.306	144.0	2	
	Prut č. 278 - Obdélník 400/500							
1	21	5	10.0	0.035	0.611	144.0	2	
2	21	13	10.0	0.611	3.731	240.0	2	
3	21	4	10.0	3.731	4.307	144.0	2	
	Prut č. 279 - Obdélník 400/500							
1	21	5	10.0	0.030	0.606	144.0	2	
2	21	13	10.0	0.606	3.726	240.0	2	
3	21	4	10.0	3.726	4.302	144.0	2	
	Prut č. 280 - Obdélník 400/500							
1	21	5	10.0	0.030	0.606	144.0	2	
2	21	13	10.0	0.606	3.726	240.0	2	
3	21	4	10.0	3.726	4.302	144.0	2	
	Prut č. 303 - Obdélník 400/500							
1	21	5	10.0	0.035	0.611	144.0	2	
2	21	13	10.0	0.611	3.731	240.0	2	
3	21	4	10.0	3.731	4.307	144.0	2	

## ■ 4.3 VÝKAZ VÝZTUŽE

Položka	Typ	d <sub>s</sub>	Typ	Počet	Délka	Typ ukotvení		Průměr	Hmotnost	Upozornění
č.	výztuže	[mm]	povrchu	prutů	[m]	Začátek	Konec	ohybu [mm]	[kg]	
Materiál č. 4 - výztužná ocel B 500 S (A)										
1	Podélná	16.0	Žebrovaný	6	4.828	Přímý	Přímý		45.72	
2	Podélná	16.0	Žebrovaný	102	4.727	Přímý	Přímý		760.99	
3	Podélná	16.0	Žebrovaný	6	4.880	Přímý	Přímý		46.21	
4	Podélná	16.0	Žebrovaný	8	5.106	Přímý	Přímý		64.47	
5	Podélná	16.0	Žebrovaný	6	5.163	Přímý	Přímý		48.89	
6	Podélná	16.0	Žebrovaný	6	4.889	Přímý	Přímý		46.30	
7	Podélná	16.0	Žebrovaný	6	4.740	Přímý	Přímý		44.89	
8	Podélná	16.0	Žebrovaný	6	5.398	Přímý	Přímý		51.12	
9	Podélná	16.0	Žebrovaný	6	5.242	Přímý	Přímý		49.64	
10	Podélná	16.0	Žebrovaný	6	4.792	Přímý	Přímý		45.38	
11	Podélná	16.0	Žebrovaný	6	4.879	Přímý	Přímý		46.20	
12	Podélná	16.0	Žebrovaný	6	4.774	Přímý	Přímý		45.21	
13	Podélná	16.0	Žebrovaný	6	5.155	Přímý	Přímý		48.82	
14	Podélná	16.0	Žebrovaný	8	5.129	Přímý	Přímý		64.76	
15	Podélná	16.0	Žebrovaný	8	4.697	Přímý	Přímý		59.31	
16	Podélná	16.0	Žebrovaný	8	4.682	Přímý	Přímý		59.11	
17	Podélná	16.0	Žebrovaný	6	5.021	Přímý	Přímý		47.55	
18	Podélná	16.0	Žebrovaný	6	5.008	Přímý	Přímý		47.42	
19	Podélná	16.0	Žebrovaný	6	4.734	Přímý	Přímý		44.83	
20	Podélná	16.0	Žebrovaný	6	4.815	Přímý	Přímý		45.60	
21	Smyková	10.0	Žebrovaný	704	1.824	Hák	Hák		791.69	





Projekt: Model: HOŘICE-KONSTRUKCE\_3D\_Budova\_redukováne ..

4.3 VÝKAZ VÝZTUŽE

Položka	Typ	d <sub>s</sub>	Typ	Počet	Délka	Typ ukotvení		Průměr	Hmotnost	
č.	výztuže	[mm]	povrchu	prutů	[m]	Začátek	Konec	ohybu [mm]	[kg]	Upozornění
22	Smyková	10.0	Žebrovaný	84	1.624	Hák	Hák		84.11	
Součet				1012					2588.23	

Projekt:  
Číslo projektu:  
Autor:



## Obsah

- 1 Data projektu
- 2 Průřezy
- 3 Materiál
- 4 Geometrie
- 5 Zatěžovací stavy
- 6 Zatížení
- 7 Kombinace zatížení
- 8 Fáze výstavby
- 9 Výsledky
- 10 Posouzení betonu

## 1 Data projektu

Název projektu	
Číslo projektu	
Autor	
Popis	
Datum	30.03.2022
Národní norma	EN
Národní příloha	Čeština
Typ nosníku	Prefabrikovaný spřažený předem předpjatý betonový nosník

## 2 Průřezy

### 1. Panel\_265(General)

Symbol	Hodnota	Jednotka	
Materiál	C45/55		
A	172615	[mm <sup>2</sup> ]	
$S_y$	0	[mm <sup>3</sup> ]	
$S_z$	0	[mm <sup>3</sup> ]	
$I_y$	1475098986	[mm <sup>4</sup> ]	
$I_z$	21175058088	[mm <sup>4</sup> ]	
$C_{gy}$	0	[mm]	
$C_{gz}$	0	[mm]	
$i_y$	92	[mm]	
$i_z$	350	[mm]	

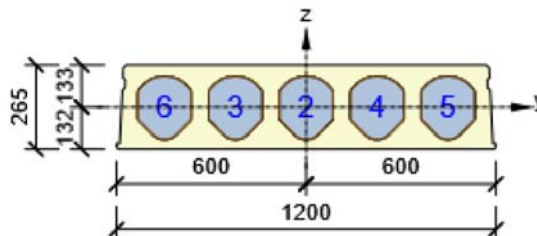
### 2. Panel\_plný(General)

Symbol	Hodnota	Jednotka	
Materiál 1	C45/55		

Projekt:  
Číslo projektu:  
Autor:



Symbol	Hodnota	Jednotka
Materiál 2	C25/30	
Materiál 3	C25/30	
Materiál 4	C25/30	
Materiál 5	C25/30	
Materiál 6	C25/30	
A	291305	[mm <sup>2</sup> ]
S <sub>y</sub>	0	[mm <sup>3</sup> ]
S <sub>z</sub>	0	[mm <sup>3</sup> ]
I <sub>y</sub>	1768238390	[mm <sup>4</sup> ]
I <sub>z</sub>	33316571063	[mm <sup>4</sup> ]
C <sub>gy</sub>	0	[mm]
C <sub>gz</sub>	0	[mm]
i <sub>y</sub>	78	[mm]
i <sub>z</sub>	338	[mm]



### 3 Materiál

#### Beton

Název	f <sub>ck</sub> [MPa]	f <sub>cm</sub> [MPa]	f <sub>ctm</sub> [MPa]	E <sub>cm</sub> [MPa]	ν [-]	Jednotková hmotnost [kg/m <sup>3</sup> ]
C45/55	45,0	53,0	3,8	36283,2	0,20	2500
ε <sub>c2</sub> = 20,0 1e-4, ε <sub>cu2</sub> = 35,0 1e-4, ε <sub>c3</sub> = 17,5 1e-4, ε <sub>cu3</sub> = 35,0 1e-4, Exponent - n: 2,00, Rozměr zrna kameniva = 16 mm, Třída cementu: R (s = 0,20), Typ diagramu: Parabolický						
C25/30	25,0	33,0	2,6	31475,8	0,20	2500
ε <sub>c2</sub> = 20,0 1e-4, ε <sub>cu2</sub> = 35,0 1e-4, ε <sub>c3</sub> = 17,5 1e-4, ε <sub>cu3</sub> = 35,0 1e-4, Exponent - n: 2,00, Rozměr zrna kameniva = 16 mm, Třída cementu: R (s = 0,20), Typ diagramu: Parabolický						

#### Výztuž

Název	f <sub>yk</sub> [MPa]	f <sub>tk</sub> [MPa]	E [MPa]	ν [-]	Jednotková hmotnost [kg/m <sup>3</sup> ]
B 500B	500,0	540,0	200000,0	0,20	7850
f <sub>tk</sub> /f <sub>yk</sub> = 1,08, ε <sub>uk</sub> = 500,0 1e-4, Typ: Vložky, Povrch výztuže: Žebírkový, Třída: B, Výroba: Za tepla válcovaná, Typ diagramu: Bilineární se stoupající horní větví					

#### Předpínací výztuž

Název	f <sub>pk</sub> [MPa]	f <sub>p01k</sub> [MPa]	E [MPa]	Jednotková hmotnost [kg/m <sup>3</sup> ]
Y1860S7-12.5	1860,0	1640,0	195000,0	7850
F <sub>m</sub> = 173,0 kN, F <sub>p01</sub> = 152,2 kN, F <sub>r</sub> = 190,0 MPa, p <sub>1000</sub> = 0,03, p <sub>∞</sub> = 0,06, Φ = 13 mm, Plocha = 93 mm <sup>2</sup> , ε <sub>uk</sub> = 350,0 1e-4, A <sub>gt</sub> = 350,0 1e-4, Typ: Lano Povrchová úprava: Povrch hladký, Třída relaxace: Třída 2, Výroba: Lano s nízkou relaxací, Typ diagramu: Bilineární se stoupající horní větví, Počet drátů: 7				

### 4 Geometrie

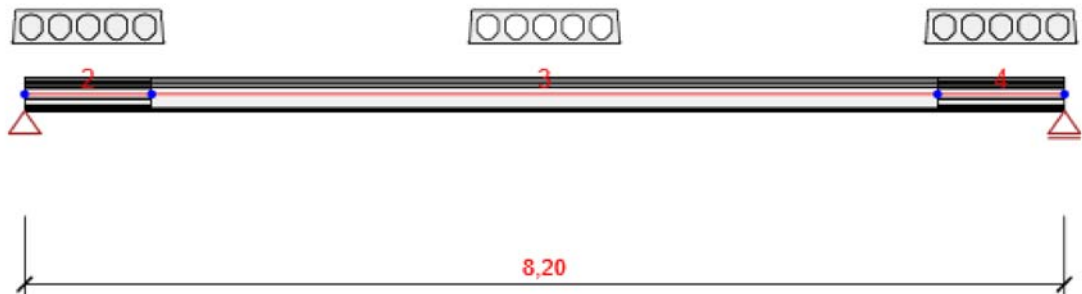


Schéma konstrukce

Prvky

Prvek	Délka [m]	Konec prvku [m]	Průřez
2	1,00	1,00	2 - Panel_plný (General)
3	6,20	7,20	1 - Panel_265 (General)
4	1,00	8,20	2 - Panel_plný (General)

Uzly

Uzel	X [m]	Podpora
1	0,00	XZ
3	1,00	
4	7,20	
5	8,20	Z

5 Zatěžovací stavy

Název	Typ	Fáze	Skupina zatížení	Zatížení [kN/m]
SW (1)	Stálé	1	LG1	0,0
R (2)	Stálé	2	LG1	0,0
G (2)	Stálé	2	LG1	0,0
PRE (2)	Stálé	2	LG1	0,0
R (5)	Stálé	5	LG1	0,0
G (5)	Stálé	5	LG1	0,0

Projekt:

Číslo projektu:

Autor:



Název	Typ	Fáze	Skupina zatížení	Zatížení [kN/m]
R (6)	Stálé	6	LG1	0,0
SWS (6)	Stálé	6	LG1	0,0
R (7)	Stálé	7	LG1	0,0
G (7)	Stálé	7	LG1	0,0
R (8)	Stálé	8	LG1	0,0
G (8)	Stálé	8	LG1	0,0
R (9)	Stálé	9	LG1	0,0
G (9)	Stálé	9	LG1	0,0
Q	Proměnné		LG2	0,0

#### Skupiny stálých zatížení

Název	Y <sub>G, sub</sub> [-]	Y <sub>G, inf</sub> [-]	ξ [-]
LG1	1,35	1,00	0,85

#### Skupiny proměnných zatížení

Název	Typ	Y <sub>q</sub> [-]	ψ <sub>0</sub> [-]	ψ <sub>1</sub> [-]	ψ <sub>2</sub> [-]
LG2	Standardní	1,50	0,70	0,70	0,60

## 6 Zatížení

### Zatěžovací stav PRE (2)

#### Liniová zatížení

Prvek	Hodnota p1 [kN/m]	Hodnota p2 [kN/m]	X1 [m]	X2 [m]	Směr	Úhel [°]	Umístění
4	-1525,5	-1525,5	0,25	0,50	Globální X	0,0	Délka
4	-1769,8	-1769,8	0,50	1,00	Globální X	0,0	Délka
2	1769,8	1769,8	0,00	0,50	Globální X	0,0	Délka
2	1525,5	1525,5	0,50	0,75	Globální X	0,0	Délka

### Zatěžovací stav G (9)

#### Rovnoměrná zatížení

Prvek	Velikost [kN/m]	Směr	Úhel [°]	Umístění
2	-13,6	Globální Z	0,0	Délka
3	-13,6	Globální Z	0,0	Délka
4	-13,6	Globální Z	0,0	Délka

Projekt:

Číslo projektu:

Autor:



## Zatěžovací stav Q

### Rovnoměrná zatížení

Prvek	Velikost [kN/m]	Směr	Úhel [°]	Umístění
2	-7,2	Globální Z	0,0	Délka
3	-7,2	Globální Z	0,0	Délka
4	-7,2	Globální Z	0,0	Délka

## 7 Kombinace zatížení

Název	Typ	Fáze	Vyhodnocení
<b>MSÚZ ST(2)</b>	MSÚ základní	2	Eurokód, vzorec 6.10 a,b
SW (1); R (2); G (2); PRE (2)			
<b>MSPCh ST(2)</b>	MSP char	2	Eurokód, vzorec 6.14b
SW (1); R (2); G (2); PRE (2)			
<b>MSPČ ST(2)</b>	MSP častá	2	Eurokód, vzorec 6.15b
SW (1); R (2); G (2); PRE (2)			
<b>MSPK ST(2)</b>	MSP kvazi	2	Eurokód, vzorec 6.16b
SW (1); R (2); G (2); PRE (2)			
<b>MSÚZ ST(7)</b>	MSÚ základní	7	Eurokód, vzorec 6.10 a,b
SW (1); R (2); G (2); PRE (2); R (5); G (5); R (6); SWS (6); R (7); G (7)			
<b>MSPCh ST(7)</b>	MSP char	7	Eurokód, vzorec 6.14b
SW (1); R (2); G (2); PRE (2); R (5); G (5); R (6); SWS (6); R (7); G (7)			
<b>MSPČ ST(7)</b>	MSP častá	7	Eurokód, vzorec 6.15b
SW (1); R (2); G (2); PRE (2); R (5); G (5); R (6); SWS (6); R (7); G (7)			
<b>MSPK ST(7)</b>	MSP kvazi	7	Eurokód, vzorec 6.16b
SW (1); R (2); G (2); PRE (2); R (5); G (5); R (6); SWS (6); R (7); G (7)			
<b>MSÚZ ST(8)</b>	MSÚ základní	8	Eurokód, vzorec 6.10 a,b
SW (1); R (2); G (2); PRE (2); R (5); G (5); R (6); SWS (6); R (7); G (7); R (8); G (8); Q			
<b>MSPCh ST(8)</b>	MSP char	8	Eurokód, vzorec 6.14b
SW (1); R (2); G (2); PRE (2); R (5); G (5); R (6); SWS (6); R (7); G (7); R (8); G (8); Q			
<b>MSPČ ST(8)</b>	MSP častá	8	Eurokód, vzorec 6.15b
SW (1); R (2); G (2); PRE (2); R (5); G (5); R (6); SWS (6); R (7); G (7); R (8); G (8); Q			
<b>MSPK ST(8)</b>	MSP kvazi	8	Eurokód, vzorec 6.16b
SW (1); R (2); G (2); PRE (2); R (5); G (5); R (6); SWS (6); R (7); G (7); R (8); G (8); Q			
<b>MSÚZ ST(9)</b>	MSÚ základní	9	Eurokód, vzorec 6.10 a,b
SW (1); R (2); G (2); PRE (2); R (5); G (5); R (6); SWS (6); R (7); G (7); R (8); G (8); R (9); G (9); Q			
<b>MSPCh ST(9)</b>	MSP char	9	Eurokód, vzorec 6.14b
SW (1); R (2); G (2); PRE (2); R (5); G (5); R (6); SWS (6); R (7); G (7); R (8); G (8); R (9); G (9); Q			
<b>MSPČ ST(9)</b>	MSP častá	9	Eurokód, vzorec 6.15b
SW (1); R (2); G (2); PRE (2); R (5); G (5); R (6); SWS (6); R (7); G (7); R (8); G (8); R (9); G (9); Q			
<b>MSPK ST(9)</b>	MSP kvazi	9	Eurokód, vzorec 6.16b
SW (1); R (2); G (2); PRE (2); R (5); G (5); R (6); SWS (6); R (7); G (7); R (8); G (8); R (9); G (9); Q			

Projekt:

Číslo projektu:

Autor:



## 8 Fáze výstavby

	Název	Čas [d]	Pole nosníků [m]
1	Betonáž	0,0	
2	Vnesení předpětí	5,0	8,20
	Podpora 0,00 m: do projektované polohy Podpora 8,20 m: do projektované polohy		
5	Dočasné podpory	26,0	1,64 - 4,92 - 1,64
	Podpora 1,64 m: do projektované polohy Podpora 6,56 m: do projektované polohy		
6	Betonáž spřažené desky	28,0	8,20
	Podpora 0,00 m: do projektované polohy Podpora 8,20 m: do projektované polohy		
7	Konečné podpory	35,0	
8	Ostatní stálé zatížení	60,0	
9	Konec návrhové životnosti	18250,0	

## 9 Výsledky

**Upozornění:** Pro výpočet časové analýzy se používá tečnový modul pružnosti  $E_c$  podle článku 3.1.4(2)

Projekt:

Číslo projektu:

Autor:



## Obálky

### Vnitřní síly, Extrém na prvku, Síly k těžišti, Těžiště celého

Prvek	Kombinace	Pozice [m]	N [kN]	V <sub>z</sub> [kN]	M <sub>y</sub> [kNm]
2	MSÚZ ST(2)(3)	1,00	-1198,1	17,7	-91,2
2	MSÚZ ST(8)(18)	0,00	0,0	59,0	0,0
2	MSÚZ ST(7)(9)	1,00	-1078,3	7,0	-89,8
2	MSÚZ ST(9)(43)	0,00	0,0	140,3	0,0
2	MSÚZ ST(2)(2)	0,75	-1197,0	14,2	-99,9
2	MSÚZ ST(9)(43)	1,00	-966,1	104,1	32,1
3	MSÚZ ST(2)(3)	3,10	-1204,4	0,0	-61,8
3	MSÚZ ST(9)(33)	0,00	-976,0	83,3	9,5
3	MSÚZ ST(9)(43)	6,20	-976,0	-104,1	32,7
3	MSÚZ ST(9)(43)	0,00	-976,0	104,1	32,7
3	MSÚZ ST(2)(2)	0,00	-1198,1	13,1	-94,7
3	MSÚZ ST(9)(43)	3,10	-1014,4	0,0	185,8
4	MSÚZ ST(2)(3)	0,00	-1198,1	-17,7	-91,2
4	MSÚZ ST(8)(18)	1,00	0,0	-59,0	0,0
4	MSÚZ ST(9)(43)	1,00	0,0	-140,3	0,0
4	MSÚZ ST(7)(9)	0,00	-1078,3	-7,0	-89,8
4	MSÚZ ST(2)(2)	0,25	-1197,0	-14,2	-99,9
4	MSÚZ ST(9)(43)	0,00	-966,1	-104,1	32,1

Kombinace	Popis kritických účinků zatížení
MSÚZ ST(2)(3)	1,35*SW (1) + R (2) + 1,35*G (2) + PRE (2)
MSÚZ ST(8)(18)	SW (1) + R (2) + 1,35*G (2) + PRE (2) + R (5) + 1,35*G (5) + R (6) + 1,35*SWS (6) + R (7) + G (7) + R (8) + G (8) + 1,05*Q
MSÚZ ST(7)(9)	1,35*SW (1) + R (2) + G (2) + PRE (2) + R (5) + 1,35*G (5) + R (6) + SWS (6) + R (7) + G (7)
MSÚZ ST(9)(43)	1,35*SW (1) + R (2) + 1,35*G (2) + PRE (2) + R (5) + G (5) + R (6) + 1,35*SWS (6) + R (7) + 1,35*G (7) + R (8) + 1,35*G (8) + 1,05*Q + R (9) + 1,35*G (9)
MSÚZ ST(2)(2)	SW (1) + R (2) + G (2) + PRE (2)
MSÚZ ST(9)(33)	SW (1) + R (2) + 1,35*G (2) + PRE (2) + R (5) + 1,35*G (5) + R (6) + 1,35*SWS (6) + R (7) + G (7) + R (8) + G (8) + 1,05*Q + R (9) + G (9)



Projekt:

Číslo projektu:

Autor:



## Deformace, Extrém na prvku,

Prvek	Kombinace	Pozice [m]	$u_x$ [mm]	$u_z$ [mm]	$f_{iy}$ [mrad]
2	MSPCh ST(2)(173)	1,00	-0,9	5,6	-4,9
2	MSPCh ST(9)(177)	0,00	0,6	0,0	-5,5
2	MSPCh ST(2)(173)	0,00	-0,8	0,0	-6,1
2	MSPCh ST(8)(176)	1,00	-0,7	9,5	-8,2
2	MSPCh ST(8)(176)	0,00	-0,1	0,0	-10,3
2	MSPCh ST(9)(177)	1,00	-0,3	4,7	-3,3
3	MSPCh ST(9)(178)	6,20	-7,0	7,4	5,9
3	MSPCh ST(8)(175)	0,00	-0,3	6,8	-5,6
3	MSPCh ST(9)(177)	0,00	-0,4	4,7	-3,3
3	MSPCh ST(8)(176)	3,10	-2,7	21,6	0,0
3	MSPCh ST(8)(176)	0,00	-0,7	9,5	-8,2
3	MSPCh ST(8)(176)	6,20	-4,7	9,5	8,2
4	MSPCh ST(9)(178)	1,00	-7,9	0,0	8,3
4	MSPCh ST(2)(173)	0,00	-2,2	5,6	4,9
4	MSPCh ST(2)(173)	1,00	-2,3	0,0	6,1
4	MSPCh ST(8)(176)	0,00	-4,7	9,5	8,2
4	MSPCh ST(9)(177)	0,00	-6,6	4,7	3,3
4	MSPCh ST(8)(176)	1,00	-5,2	0,0	10,3

Kombinace	Popis kritických účinků zatížení
MSPCh ST(2)(173)	SW (1) + R (2) + G (2) + PRE (2)
MSPCh ST(9)(177)	SW (1) + R (2) + G (2) + PRE (2) + R (5) + G (5) + R (6) + SWS (6) + R (7) + G (7) + R (8) + G (8) + Q + R (9) + G (9)
MSPCh ST(8)(176)	SW (1) + R (2) + G (2) + PRE (2) + R (5) + G (5) + R (6) + SWS (6) + R (7) + G (7) + R (8) + G (8)
MSPCh ST(9)(178)	SW (1) + R (2) + G (2) + PRE (2) + R (5) + G (5) + R (6) + SWS (6) + R (7) + G (7) + R (8) + G (8) + R (9) + G (9)
MSPCh ST(8)(175)	SW (1) + R (2) + G (2) + PRE (2) + R (5) + G (5) + R (6) + SWS (6) + R (7) + G (7) + R (8) + G (8) + Q

Projekt:

Číslo projektu:

Autor:



## Reakce

Uzel	Kombinace	$R_x$ [kN]	$R_z$ [kN]	$M_y$ [kNm]
1	MSÚZ ST(9)(194)	0,0	103,2	0,0
1	MSÚZ ST(8)(21)	0,0	68,0	0,0
1	MSÚZ ST(7)(192)	0,0	20,7	0,0
1	MSÚZ ST(9)(36)	0,0	134,2	0,0
1	MSÚZ ST(7)(7)	0,0	28,0	0,0
2	MSÚZ ST(7)(7)	0,0	28,0	0,0
2	MSÚZ ST(7)(192)	0,0	20,7	0,0
2	MSÚZ ST(9)(36)	0,0	134,2	0,0
7	MSÚZ ST(2)(3)	0,0	23,4	0,0
7	MSÚZ ST(2)(191)	0,0	17,4	0,0
8	MSÚZ ST(2)(3)	0,0	23,4	0,0
8	MSÚZ ST(2)(191)	0,0	17,4	0,0

Kombinace	Popis kritických účinků zatížení
MSÚZ ST(9)(194)	$1,35 \cdot SW (1) + R (2) + 1,35 \cdot G (2) + PRE (2) + R (5) + 1,35 \cdot G (5) + R (6) + 1,35 \cdot SWS (6) + R (7) + 1,35 \cdot G (7) + R (8) + 1,35 \cdot G (8) + R (9) + 1,35 \cdot G (9)$
MSÚZ ST(8)(21)	$1,15 \cdot SW (1) + R (2) + 1,15 \cdot G (2) + PRE (2) + R (5) + 1,15 \cdot G (5) + R (6) + 1,15 \cdot SWS (6) + R (7) + 1,15 \cdot G (7) + R (8) + 1,15 \cdot G (8) + 1,5 \cdot Q$
MSÚZ ST(7)(192)	$1,35 \cdot SW (1) + R (2) + G (2) + PRE (2) + R (5) + G (5) + R (6) + SWS (6) + R (7) + G (7)$
MSÚZ ST(9)(36)	$1,35 \cdot SW (1) + R (2) + 1,35 \cdot G (2) + PRE (2) + R (5) + 1,35 \cdot G (5) + R (6) + 1,35 \cdot SWS (6) + R (7) + 1,35 \cdot G (7) + R (8) + 1,35 \cdot G (8) + 1,05 \cdot Q + R (9) + 1,35 \cdot G (9)$
MSÚZ ST(7)(7)	$1,35 \cdot SW (1) + R (2) + 1,35 \cdot G (2) + PRE (2) + R (5) + 1,35 \cdot G (5) + R (6) + 1,35 \cdot SWS (6) + R (7) + 1,35 \cdot G (7)$
MSÚZ ST(2)(3)	$1,35 \cdot SW (1) + R (2) + 1,35 \cdot G (2) + PRE (2)$
MSÚZ ST(2)(191)	$1,35 \cdot SW (1) + R (2) + G (2) + PRE (2)$

## 10 Posouzení betonu

### Národní norma

Národní norma	EN 1992-1-1:2014-12, CSN:2016-04/NA:2012-01
Životnost	50 let

Upozornění: Pro výpočet časové analýzy se používá tečnový modul pružnosti  $E_c$  podle článku 3.1.4(2).

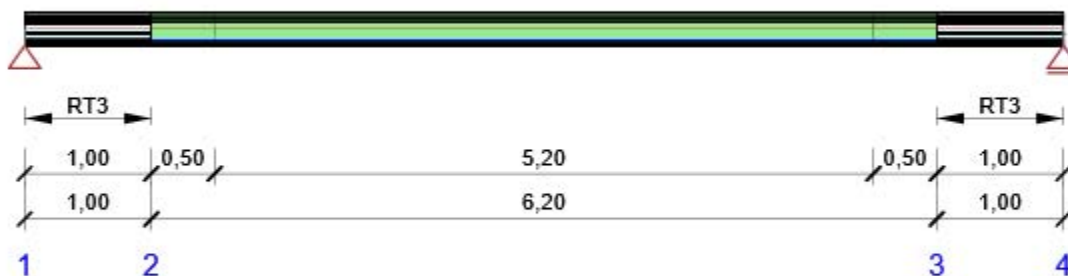
Projekt:

Číslo projektu:

Autor:



## Schéma vyztužení



## Souhrn posudků

Fáze výstavby	Typ posudku	Kombinace	Pozice	Hodnota [%]	Posudek
Vnesení předpětí (5,0d)	Interakce	MSÚZ ST(2)(2)	Řez 1 (0,10m)	100,0	OK
Konec návrhové životnosti (18250,0d)	Interakce	MSÚZ ST(9)(39)	Řez 1 (0,10m)	100,0	OK

## Fáze výstavby: Vnesení předpětí (5,0d)



Souhrnné posouzení řezů

Kombinace	$N_{Ed}$ [kN]	$M_{Ed,y}$ [kNm]	$V_{Ed}$ [kN]	Hodnota [%]	Posudek
Únosnost N-M-M, Pozice: Řez 2 (3,61m)					
MSÚZ ST(2)(3)	-0,2	48,1	2,8	17,9	OK
Smyk, Pozice: Řez 1 (0,10m)					
MSÚZ ST(2)(3)	-177,0	-14,2	22,9	43,4	OK
Kroucení, Pozice: Řez 1 (0,10m)					
MSÚZ ST(2)(3)	-177,0	-14,2	22,9	0,0	OK
Interakce, Pozice: Řez 1 (0,10m)					
MSÚZ ST(2)(2)	-177,0	-14,8	16,9	100,0	OK
Omezení napětí, Pozice: Řez 2 (3,61m)					
MSPCh ST(2)(173)	-1204,2	-74,9	2,1	92,8	OK

Projekt:

Číslo projektu:

Autor:



Kombinace	$N_{Ed}$ [kN]	$M_{Ed,y}$ [kNm]	$V_{Ed}$ [kN]	Hodnota [%]	Posudek
Šířka trhliny, Pozice: Řez 1 (0,10m)					
MSPČ ST(2)(179)	-186,9	-15,7	16,9	0,0	OK
Kombinace	Popis kritických účinků zatížení				
MSÚZ ST(2)(3)	1,35*SW (1) + R (2) + 1,35*G (2) + PRE (2)				
MSÚZ ST(2)(2)	SW (1) + R (2) + G (2) + PRE (2)				
MSPCh ST(2)(173)	SW (1) + R (2) + G (2) + PRE (2)				
MSPČ ST(2)(179)	SW (1) + R (2) + G (2) + PRE (2)				

### Fáze výstavby: Konec návrhové životnosti (18250,0d)



Kombinace	$N_{Ed}$ [kN]	$M_{Ed,y}$ [kNm]	$V_{Ed}$ [kN]	Hodnota [%]	Posudek
Únosnost N-M-M, Pozice: Řez 2 (3,61m)					
MSÚZ ST(9)(43)	-0,2	275,0	15,5	95,9	OK
Smyk, Pozice: Řez 1 (0,10m)					
MSÚZ ST(9)(43)	-177,0	-2,7	124,5	84,9	OK
Kroucení, Pozice: Řez 1 (0,10m)					
MSÚZ ST(9)(44)	-177,0	-5,8	95,5	0,0	OK
Interakce, Pozice: Řez 1 (0,10m)					
MSÚZ ST(9)(39)	-177,0	-4,1	111,8	100,0	OK
Omezení napětí, Pozice: Řez 2 (3,61m)					
MSPCh ST(9)(177)	-1013,3	116,6	12,3	83,2	OK
Šířka trhliny, Pozice: Řez 2 (3,61m)					
MSPČ ST(9)(183)	-962,6	103,4	11,2	38,3	OK
Kombinace	Popis kritických účinků zatížení				
MSÚZ ST(9) (43)	1,35*SW (1) + R (2) + 1,35*G (2) + PRE (2) + R (5) + G (5) + R (6) + 1,35*SWS (6) + R (7) + 1,35*G (7) + R (8) + 1,35*G (8) + 1,05*Q + R (9) + 1,35*G (9)				
MSÚZ ST(9) (44)	SW (1) + R (2) + G (2) + PRE (2) + R (5) + 1,35*G (5) + R (6) + 1,35*SWS (6) + R (7) + G (7) + R (8) + G (8) + 1,05*Q + R (9) + G (9)				
MSÚZ ST(9) (39)	SW (1) + R (2) + 1,15*G (2) + PRE (2) + R (5) + G (5) + R (6) + 1,15*SWS (6) + R (7) + G (7) + R (8) + G (8) + 1,5*Q + R (9) + G (9)				
MSPCh ST(9)(177)	SW (1) + R (2) + G (2) + PRE (2) + R (5) + G (5) + R (6) + SWS (6) + R (7) + G (7) + R (8) + G (8) + Q + R (9) + G (9)				

Projekt:

Číslo projektu:

Autor:



Kombinace	Popis kritických účinků zatížení
MSPČ ST(9) (183)	SW (1) + R (2) + G (2) + PRE (2) + R (5) + G (5) + R (6) + SWS (6) + R (7) + G (7) + R (8) + G (8) + 0,7*Q + R (9) + G (9)

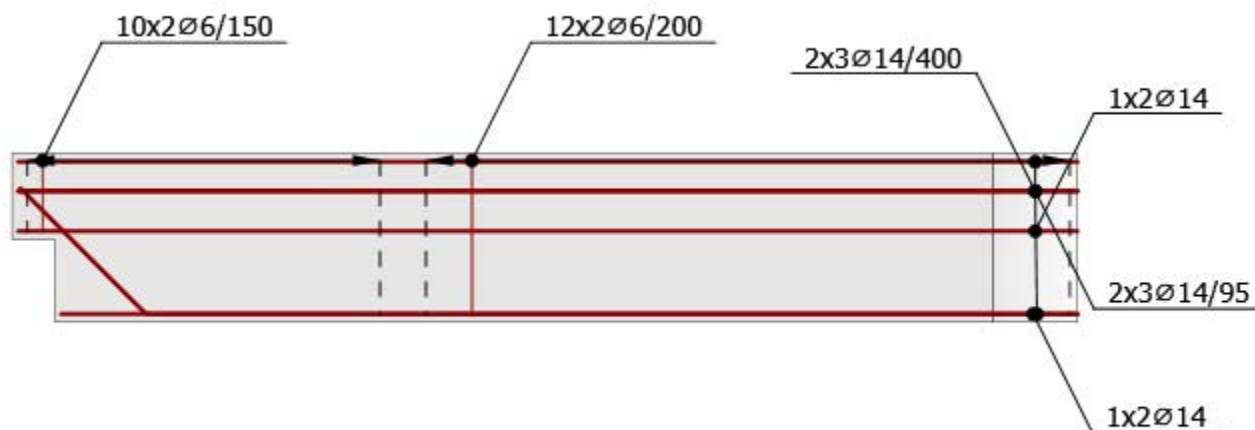
## Výkaz materiálu

Beton			[m <sup>3</sup> ]	[kg]		
C45/55			1,42	3539		
C25/30			0,27	684		
Délka [m]	Beton		Výztuž [kg]	Celková hmotnost [kg]	Výztuž /m³ betonu [kg/m³]	
	[m³]	[kg]				
8,20	1,69	4223	43	4266	25	
Φ [mm]	Materiál		Typ vyztužení		Délka [m]	Hmotnost [kg]
12	B 500B		Výztužné vložky		40,00	36
6	B 500B		Třmínky		33,32	7

Projekt:  
Číslo projektu:  
Autor:



## DRM1



Beton: C25/30; Ocel : B 500B

### Celková tabulka

Položka posudku		Kombinace	Přírůstek	Položka		
MSÚ		C1	G100,0%, V100,0%	Pevnost výztuže		✓
Položka posudku		Položka	Využití			
Pevnost betonu		M1	σc/σc,lim: 40,8%			✓
Pevnost výztuže		ST1	εs/εs,lim: 15,6%, σs/σs,lim: 77,1%			✓
Kotevní délka		ST1	τb/fbd: 99,7%			✓
MSP		C2 (ST)	G100,0%, V100,0%	Omezení napětí		✓
Položka posudku	Kombinace	Přírůstek	Kritický posudek	Položka	Využití	
Omezení napětí	C2 (ST)	G100,0%, V100,0%	7.2(5)	ST1	68,9%	✓
Šířka trhlin	C3 (LT)	G100,0%, V100,0%	w/wlim	ST1	52,1%	✓

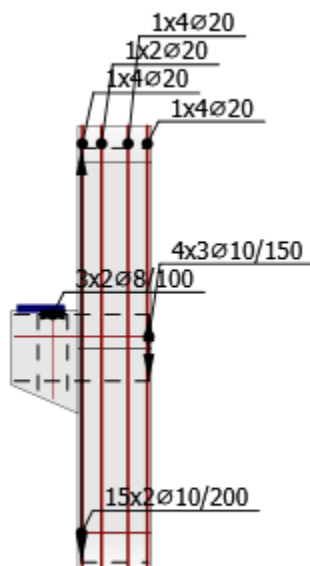
## Předpoklady výpočtu

- V oblastech s trhlínami musí být zadáno minimálním množství výztuže vzdorující alespoň tahovému namáhání před vznikem trhlin.
- Aby bylo zajištěno plné ukotvení trmínků, je nutné zajistit příčné vyztužení nebo příslušný přesah výztuže.
- Výpočet a posouzení podle normy se provádí pro okrajové podmínky zadané v projektu. Neuvažuje se se změnou podpor ve fázi výstavby/provozní fázi.
- Šířka trhliny se posuzuje pouze v blízkosti výztuže. V nevyztužených oblastech se posouzení trhlin neprovádí.
- Prezence rozestupů trhlin je pouze schéma. Nepředstavuje spočtenou rozteč trhlin ve výpočtu.

Projekt:  
Číslo projektu:  
Autor:



## DRM1



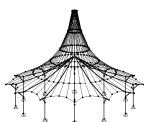
Beton: C45/55; Ocel : B 500B

### Celková tabulka

Položka posudku	Kombinace	Přírůstek	Položka			
MSÚ	C1	G100,0%, V100,0%	Pevnost výztuže	✔		
Položka posudku	Položka	Využití				
Pevnost betonu	Spodní sloup	σc/σc,lim: 41,4%		✔		
Pevnost výztuže	ST1	εs/εs,lim: 2,2%, σs/σs,lim: 27,8%		✔		
Kotevní délka	ST1	tb/fbd: 65,6%		✔		
MSP	C2 (LT)	G100,0%, V100,0%	Omezení napětí	✔		
Položka posudku	Kombinace	Přírůstek	Kritický posudek	Položka	Využití	
Omezení napětí	C2 (LT)	G100,0%, V100,0%	7.2(5)	GB3	22,9%	✔
Šířka trhlin	C3 (LT)	G100,0%	w/wlim	GB1	3,8%	✔

## Předpoklady výpočtu

- V oblastech s trhlínami musí být zadáno minimálním množství výztuže vzdorující alespoň tahovému namáhání před vznikem trhlin.
- Aby bylo zajištěno plné ukotvení trmínků, je nutné zajistit příčné vyztužení nebo příslušný přesah výztuže.
- Výpočet a posouzení podle normy se provádí pro okrajové podmínky zadané v projektu. Neuvažuje se se změnou podpor ve fázi výstavby/provozní fázi.
- Vypočtené průhyby se zobrazují se zohledněním náhradních okrajových podmínek, které byly vygenerovány automaticky jako součást výpočetního modelu.
- Šířka trhlin se posuzuje pouze v blízkosti výztuže. V nevyztužených oblastech se posouzení trhlin neprovádí.
- Prezentace rozestupů trhlin je pouze schéma. Nepředstavuje spočtenou rozteč trhlin ve výpočtu.



## RF-STEEL EC3

PR1

Posouzení ocelových prutů  
podle Eurokódu 3

Projekt:

Model: HOŘICE-KONSTRUKCE\_3D\_Budova\_obvodový plášť

## 1.1 ZÁKLADNÍ ÚDAJE

	Pruty k posouzení:	1157,1190-1245,1250,1267-1269		
	Sady prutů k posouzení:			
	Národní příloha:	ČSN		
	Posouzení mezního stavu únosnosti			
	Kombinace výsledků k posouzení:	KV1	MSÚ (STR/GEO) - trvalá/dočasná - rovň. 6.10a a 6.10b	
	Posouzení mezního stavu použitelnosti			
	Kombinace výsledků k posouzení:	KV2	MSP - charakteristická	

## 1.2 MATERIÁLY

Materiál - č.	Označení materiálu	Modul pruž. E [MPa]	Smykový modul G [MPa]	Poissonův součinitel $\nu$ [-]	Mez kluzu $f_{yk}$ [MPa]	Max. tloušťka dílce t [mm]
5	Ocel S 355   ČSN EN 1993-1-1:2005-05	210000.000	80769.200	0.300	355.000 335.000 315.000 295.000 285.000 275.000	40.0 80.0 100.0 150.0 200.0 250.0

KCO 140/40x2.5 KCO 140/40x2.25



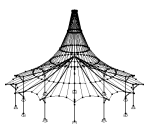
## 1.3 PRŮŘEZY

Průř. č.	Materiál - č.	Označení průřezu	Typ průřezu	Max. návrhové využití	Komentář
19	5	KCO 140/40x2.5	Obecné	0.17	
Průřez v RFEM a RF-STEEL EC3 není identický.					
20	5	KCO 140/40x2.25	Obecné	0.90	

## 1.4 MEZILEHLÉ PODPORY PROTI PŘÍČNÉMU POSUNUTÍ

Prut č.	Typ podpory	Délka L [mm]	Mezilehlé podpory proti příčnému posunutí [-]									
			Počet	$x_1$	$x_2$	$x_3$	$x_4$	$x_5$	$x_6$	$x_7$	$x_8$	$x_9$
1194	Proti příčnému vybočení a zkroucení	4360.0	1	0.500								
1195	Proti příčnému vybočení a zkroucení	4360.0	1	0.500								
1196	Proti příčnému vybočení a zkroucení	4360.0	1	0.500								
1197	Proti příčnému vybočení a zkroucení	4360.0	1	0.500								
1199	Proti příčnému vybočení a zkroucení	4360.0	1	0.500								
1201	Proti příčnému vybočení a zkroucení	4360.0	1	0.500								
1203	Proti příčnému vybočení a zkroucení	4360.0	1	0.500								
1205	Proti příčnému vybočení a zkroucení	4360.0	1	0.500								
1207	Proti příčnému vybočení a zkroucení	4360.0	1	0.500								
1209	Proti příčnému vybočení a zkroucení	4360.0	1	0.500								
1211	Proti příčnému vybočení a zkroucení	4360.0	1	0.500								
1213	Proti příčnému vybočení a zkroucení	4360.0	1	0.500								
1215	Proti příčnému vybočení a zkroucení	4360.0	1	0.500								
1219	Proti příčnému vybočení a zkroucení	4360.0	1	0.500								





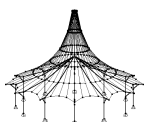
Projekt: Model: HOŘICE-KONSTRUKCE\_3D\_Budova\_obvodový plášť

## ■ 1.4 MEZILEHLÉ PODPORY PROTI PŘÍČNÉMU POSUNUTÍ

Prut č.	Typ podpory	Délka L [mm]	Mezilehlé podpory proti příčnému posunutí [-]									
			Počet	X <sub>1</sub>	X <sub>2</sub>	X <sub>3</sub>	X <sub>4</sub>	X <sub>5</sub>	X <sub>6</sub>	X <sub>7</sub>	X <sub>8</sub>	X <sub>9</sub>
1221	Proti příčnému vybočení a zkroucení	4360.0	1	0.500								
1222	Proti příčnému vybočení a zkroucení	4117.9	1	0.500								
1223	Proti příčnému vybočení a zkroucení	4360.0	1	0.500								
1224	Proti příčnému vybočení a zkroucení	4424.7	1	0.500								
1225	Proti příčnému vybočení a zkroucení	4360.0	1	0.500								
1226	Proti příčnému vybočení a zkroucení	4322.2	1	0.500								
1227	Proti příčnému vybočení a zkroucení	4360.0	1	0.500								
1228	Proti příčnému vybočení a zkroucení	4220.5	1	0.500								
1229	Proti příčnému vybočení a zkroucení	4360.0	1	0.500								
1250	Proti příčnému vybočení a zkroucení	4360.0	1	0.500								
1267	Proti příčnému vybočení a zkroucení	4360.0	1	0.500								

## ■ 1.5 VZPĚRNÉ DÉLKY - PRUTY

Prut č.	Vzpěr	Vzpěr okolo osy y			Vzpěr okolo osy z			Klopení				
	možný	možný	k <sub>cr,y</sub>	L <sub>cr,y</sub> [mm]	možný	k <sub>cr,z</sub>	L <sub>cr,z</sub> [mm]	možné	k <sub>z</sub>	k <sub>w</sub>	L <sub>w</sub> [mm]	L <sub>T</sub> [mm]
1157	☑	☑	1.00	2240.0	☑	1.00	2240.0	☑	1.0	1.0	2240.0	2240.0
1190	☑	☑	1.00	1580.0	☑	1.00	1580.0	☑	1.0	1.0	1580.0	1580.0
1191	☑	☑	1.00	1580.0	☑	1.00	1580.0	☑	1.0	1.0	1580.0	1580.0
1192	☑	☑	1.00	1580.0	☑	1.00	1580.0	☑	1.0	1.0	1580.0	1580.0
1193	☑	☑	1.00	1580.0	☑	1.00	1580.0	☑	1.0	1.0	1580.0	1580.0
1194	☑	☑	1.00	4360.0	☑	1.00	2180.0	☑	1.0	1.0	2180.0	2180.0
1195	☑	☑	1.00	4360.0	☑	1.00	2180.0	☑	1.0	1.0	2180.0	2180.0
1196	☑	☑	1.00	4360.0	☑	1.00	2180.0	☑	1.0	1.0	2180.0	2180.0
1197	☑	☑	1.00	4360.0	☑	1.00	2180.0	☑	1.0	1.0	2180.0	2180.0
1198	☑	☑	1.00	1580.0	☑	1.00	1580.0	☑	1.0	1.0	1580.0	1580.0
1199	☑	☑	1.00	4360.0	☑	1.00	2180.0	☑	1.0	1.0	2180.0	2180.0
1200	☑	☑	1.00	1580.0	☑	1.00	1580.0	☑	1.0	1.0	1580.0	1580.0
1201	☑	☑	1.00	4360.0	☑	1.00	2180.0	☑	1.0	1.0	2180.0	2180.0
1202	☑	☑	1.00	1580.0	☑	1.00	1580.0	☑	1.0	1.0	1580.0	1580.0
1203	☑	☑	1.00	4360.0	☑	1.00	2180.0	☑	1.0	1.0	2180.0	2180.0
1204	☑	☑	1.00	1580.0	☑	1.00	1580.0	☑	1.0	1.0	1580.0	1580.0
1205	☑	☑	1.00	4360.0	☑	1.00	2180.0	☑	1.0	1.0	2180.0	2180.0
1206	☑	☑	1.00	1580.0	☑	1.00	1580.0	☑	1.0	1.0	1580.0	1580.0
1207	☑	☑	1.00	4360.0	☑	1.00	2180.0	☑	1.0	1.0	2180.0	2180.0
1208	☑	☑	1.00	1580.0	☑	1.00	1580.0	☑	1.0	1.0	1580.0	1580.0
1209	☑	☑	1.00	4360.0	☑	1.00	2180.0	☑	1.0	1.0	2180.0	2180.0
1210	☑	☑	1.00	1580.0	☑	1.00	1580.0	☑	1.0	1.0	1580.0	1580.0
1211	☑	☑	1.00	4360.0	☑	1.00	2180.0	☑	1.0	1.0	2180.0	2180.0
1212	☑	☑	1.00	1580.0	☑	1.00	1580.0	☑	1.0	1.0	1580.0	1580.0
1213	☑	☑	1.00	4360.0	☑	1.00	2180.0	☑	1.0	1.0	2180.0	2180.0
1214	☑	☑	1.00	1580.0	☑	1.00	1580.0	☑	1.0	1.0	1580.0	1580.0
1215	☑	☑	1.00	4360.0	☑	1.00	2180.0	☑	1.0	1.0	2180.0	2180.0
1216	☑	☑	1.00	1580.0	☑	1.00	1580.0	☑	1.0	1.0	1580.0	1580.0
1217	☑	☑	1.00	4360.0	☑	1.00	4360.0	☑	1.0	1.0	4360.0	4360.0
1218	☑	☑	1.00	1580.0	☑	1.00	1580.0	☑	1.0	1.0	1580.0	1580.0
1219	☑	☑	1.00	4360.0	☑	1.00	2180.0	☑	1.0	1.0	2180.0	2180.0
1220	☑	☑	1.00	1580.0	☑	1.00	1580.0	☑	1.0	1.0	1580.0	1580.0
1221	☑	☑	1.00	4360.0	☑	1.00	2180.0	☑	1.0	1.0	2180.0	2180.0
1222	☑	☑	1.00	4117.9	☑	1.00	2058.9	☑	1.0	1.0	2058.9	2058.9
1223	☑	☑	1.00	4360.0	☑	1.00	2180.0	☑	1.0	1.0	2180.0	2180.0
1224	☑	☑	1.00	4424.7	☑	1.00	2212.4	☑	1.0	1.0	2212.4	2212.4
1225	☑	☑	1.00	4360.0	☑	1.00	2180.0	☑	1.0	1.0	2180.0	2180.0
1226	☑	☑	1.00	4322.2	☑	1.00	2161.1	☑	1.0	1.0	2161.1	2161.1
1227	☑	☑	1.00	4360.0	☑	1.00	2180.0	☑	1.0	1.0	2180.0	2180.0
1228	☑	☑	1.00	4220.5	☑	1.00	2110.2	☑	1.0	1.0	2110.2	2110.2
1229	☑	☑	1.00	4360.0	☑	1.00	2180.0	☑	1.0	1.0	2180.0	2180.0
1230	☑	☑	1.00	637.9	☑	1.00	637.9	☑	1.0	1.0	637.9	637.9
1231	☑	☑	1.00	766.1	☑	1.00	766.1	☑	1.0	1.0	766.1	766.1



Projekt:

Model: HOŘICE-KONSTRUKCE\_3D\_Budova\_obvodový plášť

## ■ 1.5 VZPĚRNÉ DÉLKY - PRUTY

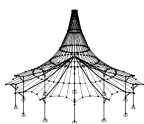
Prut č.	Vzpěr možný	Vzpěr okolo osy y			Vzpěr okolo osy z			Klopení				
		možný	$k_{cr,y}$	$L_{cr,y}$ [mm]	možný	$k_{cr,z}$	$L_{cr,z}$ [mm]	možné	$k_z$	$k_w$	$L_w$ [mm]	$L_T$ [mm]
1232	☑	☑	1.00	1021.6	☑	1.00	1021.6	☑	1.0	1.0	1021.6	1021.6
1233	☑	☑	1.00	893.4	☑	1.00	893.4	☑	1.0	1.0	893.4	893.4
1234	☑	☑	1.00	1060.9	☑	1.00	1060.9	☑	1.0	1.0	1060.9	1060.9
1235	☑	☑	1.00	1407.1	☑	1.00	1407.1	☑	1.0	1.0	1407.1	1407.1
1236	☑	☑	1.00	1367.8	☑	1.00	1367.8	☑	1.0	1.0	1367.8	1367.8
1237	☑	☑	1.00	1367.8	☑	1.00	1367.8	☑	1.0	1.0	1367.8	1367.8
1238	☑	☑	1.00	1407.1	☑	1.00	1407.1	☑	1.0	1.0	1407.1	1407.1
1239	☑	☑	1.00	984.0	☑	1.00	984.0	☑	1.0	1.0	984.0	984.0
1240	☑	☑	1.00	1163.5	☑	1.00	1163.5	☑	1.0	1.0	1163.5	1163.5
1241	☑	☑	1.00	1265.2	☑	1.00	1265.2	☑	1.0	1.0	1265.2	1265.2
1242	☑	☑	1.00	1496.8	☑	1.00	1496.8	☑	1.0	1.0	1496.8	1496.8
1243	☑	☑	1.00	1496.8	☑	1.00	1496.8	☑	1.0	1.0	1496.8	1496.8
1244	☑	☑	1.00	1239.6	☑	1.00	1239.6	☑	1.0	1.0	1239.6	1239.6
1245	☑	☑	1.00	1112.2	☑	1.00	1112.2	☑	1.0	1.0	1112.2	1112.2
1250	☑	☑	1.00	4360.0	☑	1.00	2180.0	☑	1.0	1.0	2180.0	2180.0
1267	☑	☑	1.00	4360.0	☑	1.00	2180.0	☑	1.0	1.0	2180.0	2180.0
1268	☑	☑	1.00	1580.0	☑	1.00	1580.0	☑	1.0	1.0	1580.0	1580.0
1269	☑	☑	1.00	1580.0	☑	1.00	1580.0	☑	1.0	1.0	1580.0	1580.0

## ■ 1.9 ÚDAJE PRO POSOUZENÍ POUŽITELNOSTI

č.	Vztaženo na	Pruty/Sady č.	Vztažná délka		Směr	Nadvýšení $e_0$ [mm]	Typ nosníku
			Ručně	$l$ [mm]			
1	Prut	1194	☐	4360.0	y, z	0.0	Nosník
2	Prut	1195	☐	4360.0	y, z	0.0	Nosník
3	Prut	1196	☐	4360.0	y, z	0.0	Nosník
4	Prut	1197	☐	4360.0	y, z	0.0	Nosník
5	Prut	1199	☐	4360.0	y, z	0.0	Nosník
6	Prut	1201	☐	4360.0	y, z	0.0	Nosník
7	Prut	1203	☐	4360.0	y, z	0.0	Nosník
8	Prut	1205	☐	4360.0	y, z	0.0	Nosník
9	Prut	1207	☐	4360.0	y, z	0.0	Nosník
10	Prut	1209	☐	4360.0	y, z	0.0	Nosník
11	Prut	1211	☐	4360.0	y, z	0.0	Nosník
12	Prut	1213	☐	4360.0	y, z	0.0	Nosník
13	Prut	1215	☐	4360.0	y, z	0.0	Nosník
14	Prut	1217	☐	4360.0	y, z	0.0	Nosník
15	Prut	1219	☐	4360.0	y, z	0.0	Nosník
16	Prut	1221	☐	4360.0	y, z	0.0	Nosník
17	Prut	1223	☐	4360.0	y, z	0.0	Nosník
18	Prut	1225	☐	4360.0	y, z	0.0	Nosník
19	Prut	1227	☐	4360.0	y, z	0.0	Nosník
20	Prut	1229	☐	4360.0	y, z	0.0	Nosník

## ■ 2.2 POSOUZENÍ PO PRŮŘEZECH

Průř. č.	Prut č.	Místo x [mm]	ZS/KZ/ KV	Návrh		Rovnice č.	Označení
19	KCO 140/40x2.5						
	1204	1350.0	KV1	0.00	≤ 1	CS100)	Zanedbatelné vnitřní síly
	1157	2240.0	KV1	0.02	≤ 1	CS102)	Posouzení průřezu - tlak podle 6.2.4
	1269	790.0	KV1	0.03	≤ 1	CS112)	Posouzení průřezu - ohyb okolo y podle 6.2.5 - třída 3
	1269	1580.0	KV1	0.01	≤ 1	CS122)	Posouzení průřezu - smyk ve směru z podle 6.2.6(4) - třída 3 nebo 4
	1269	790.0	KV1	0.03	≤ 1	CS143)	Posouzení průřezu - ohyb a smyk podle 6.2.9.2 a 6.2.10 - třída 3 - obecný průřez
	1157	1344.0	KV1	0.06	≤ 1	CS183)	Posouzení průřezu - ohyb, smyk a osová síla podle 6.2.9.2 - třída 3 - obecný průřez
	1157	2240.0	KV1	0.02	≤ 1	ST301)	Posouzení stability - vzpěr okolo y podle 6.3.1.1 a 6.3.1.2(4)
	1157	1344.0	KV1	0.05	≤ 1	ST311)	Posouzení stability - vzpěr okolo z podle 6.3.1.1 a 6.3.1.2(4)
	1157	2240.0	KV1	0.07	≤ 1	ST312)	Posouzení stability - vzpěr okolo z podle 6.3.1.1 a 6.3.1.2
	1157	2240.0	KV1	0.04	≤ 1	ST321)	Posouzení stability - vzpěr zkroucením podle 6.3.1.4 a 6.3.1.2(4)
	1269	790.0	KV1	0.03	≤ 1	ST332)	Posouzení stability - klopení podle 6.3.2.1 a 6.3.2.2(4) - obecný případ
1157	2125.0	KV1	0.17	≤ 1	ST354)	Posouzení stability - ohyb a tlak podle 6.3.3, metoda 1	
20	KCO 140/40x2.25						
	1217	1660.0	KV1	0.00	≤ 1	CS100)	Zanedbatelné vnitřní síly
	1224	0.0	KV1	0.01	≤ 1	CS101)	Posouzení průřezu - tah podle 6.2.3
	1213	4360.0	KV1	0.01	≤ 1	CS102)	Posouzení průřezu - tlak podle 6.2.4
	1227	1585.0	KV1	0.24	≤ 1	CS112)	Posouzení průřezu - ohyb okolo y podle 6.2.5 - třída 3
	1227	0.0	KV1	0.03	≤ 1	CS122)	Posouzení průřezu - smyk ve směru z podle 6.2.6(4) - třída 3 nebo 4
	1227	1585.0	KV1	0.24	≤ 1	CS143)	Posouzení průřezu - ohyb a smyk podle 6.2.9.2 a 6.2.10 - třída 3 - obecný průřez
	1227	2180.0	KV1	0.27	≤ 1	CS183)	Posouzení průřezu - ohyb, smyk a osová síla podle 6.2.9.2 - třída 3 - obecný průřez
	1226	2161.1	KV1	0.17	≤ 1	ST332)	Posouzení stability - klopení podle 6.3.2.1 a 6.3.2.2(4) - obecný případ
	1217	2180.0	KV1	0.90	≤ 1	ST333)	Posouzení stability - klopení podle 6.3.2.1 a 6.3.2.2 - obecný případ
	1194	0.0	KV2	0.00	≤ 1	SE400)	Použitelnost - malé, resp. velmi malé deformace
	1227	2180.0	KV2	0.48	≤ 1	SE401)	Použitelnost - kombinace zatížení 'charakteristická' - s



KRStatic s.r.o.

Korunní 2569/108, 101 00 Praha 10

Obvodový plášť

RF-STEEL EC3

Projekt: Model: HOŘICE-KONSTRUKCE\_3D\_Budova\_obvodový plášť

## 2.2 POSOUZENÍ PO PRŮŘEZÍCH

Průř. č.	Prut č.	Místo x [mm]	ZS/KZ/ KV	Návrh		Rovnice č.	Označení
	1196	2180.0	KV2	0.00	≤ 1	SE406)	směr z Použitelnost - kombinace zatížení 'charakteristická' - směr y

RF-STEEL EC3

PŘ2

Posouzení ocelových prutů  
podle Eurokódu 3

## 1.1 ZÁKLADNÍ ÚDAJE

	Pruty k posouzení:	1253-1266,1270-1273		
	Sady prutů k posouzení:			
	Národní příloha:	ČSN		
	Posouzení mezního stavu únosnosti			
	Kombinace výsledků k posouzení:	KV1	MSÚ (STR/GEO) - trvalá/dočasná - rovn. 6.10a a 6.10b	
	Posouzení mezního stavu použitelnosti			
	Kombinace výsledků k posouzení:	KV2	MSP - charakteristická	

## 1.2 MATERIÁLY

Materiál - č.	Označení materiálu	Modul pruž. E [MPa]	Smykový modul G [MPa]	Poissonův součinitel ν [-]	Mez kluzu f <sub>yk</sub> [MPa]	Max. tloušťka dílce t [mm]
5	Ocel S 355   ČSN EN 1993-1-1:2005-05	210000.000	80769.200	0.300	355.000	40.0
					335.000	80.0
					315.000	100.0
					295.000	150.0
					285.000	200.0
					275.000	250.0

KCO 140/40x2.25

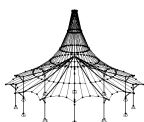


## 1.3 PRŮŘEZY

Průř. č.	Materiál - č.	Označení průřezu	Typ průřezu	Max. návrhové využití	Komentář
20	5	KCO 140/40x2.25	Obecné	0.82	

## 1.4 MEZILEHLÉ PODPORY PROTI PŘÍČNÉMU POSUNUTÍ

Prut č.	Typ podpory	Délka L [mm]	Mezilehlé podpory proti příčnému posunutí [-]									
			Počet	x <sub>1</sub>	x <sub>2</sub>	x <sub>3</sub>	x <sub>4</sub>	x <sub>5</sub>	x <sub>6</sub>	x <sub>7</sub>	x <sub>8</sub>	x <sub>9</sub>
1253	Proti příčnému vybočení a zkroucení	4690.6	1	0.500								
1254	Proti příčnému vybočení a zkroucení	4690.6	1	0.500								
1255	Proti příčnému vybočení a zkroucení	3855.2	1	0.500								
1256	Proti příčnému vybočení a zkroucení	3876.6	1	0.500								
1257	Proti příčnému vybočení a zkroucení	4690.6	1	0.500								
1258	Proti příčnému vybočení a zkroucení	4690.6	1	0.500								
1259	Proti příčnému vybočení a zkroucení	4595.2	1	0.500								
1260	Proti příčnému vybočení a zkroucení	4528.2	1	0.500								
1270	Proti příčnému vybočení a zkroucení	4690.6	1	0.500								
1271	Proti příčnému vybočení a zkroucení	4499.8	1	0.500								
1272	Proti příčnému vybočení a zkroucení	4690.6	1	0.500								
1273	Proti příčnému vybočení a zkroucení	4609.4	1	0.500								



Projekt:

Model: HOŘICE-KONSTRUKCE\_3D\_Budova\_obvodový plášť

## ■ 1.5 VZPĚRNÉ DÉLKY - PRUTY

Prut č.	Vzpěr možný	Vzpěr okolo osy y			Vzpěr okolo osy z			Klopení				
		možný	$k_{cr,y}$	$L_{cr,y}$ [mm]	možný	$k_{cr,z}$	$L_{cr,z}$ [mm]	možné	$k_z$	$k_w$	$L_w$ [mm]	$L_T$ [mm]
1253	☑	☑	1.00	4690.6	☑	1.00	2345.3	☑	1.0	1.0	2345.3	2345.3
1254	☑	☑	1.00	4690.6	☑	1.00	2345.3	☑	1.0	1.0	2345.3	2345.3
1255	☑	☑	1.00	3855.2	☑	1.00	1927.6	☑	1.0	1.0	1927.6	1927.6
1256	☑	☑	1.00	3876.6	☑	1.00	1938.3	☑	1.0	1.0	1938.3	1938.3
1257	☑	☑	1.00	4690.6	☑	1.00	2345.3	☑	1.0	1.0	2345.3	2345.3
1258	☑	☑	1.00	4690.6	☑	1.00	2345.3	☑	1.0	1.0	2345.3	2345.3
1259	☑	☑	1.00	4595.2	☑	1.00	2297.6	☑	1.0	1.0	2297.6	2297.6
1260	☑	☑	1.00	4528.2	☑	1.00	2264.1	☑	1.0	1.0	2264.1	2264.1
1261	☑	☑	1.00	2698.8	☑	1.00	2698.8	☑	1.0	1.0	2698.8	2698.8
1262	☑	☑	1.00	2814.2	☑	1.00	2814.2	☑	1.0	1.0	2814.2	2814.2
1263	☑	☑	1.00	2929.6	☑	1.00	2929.6	☑	1.0	1.0	2929.6	2929.6
1264	☑	☑	1.00	2972.3	☑	1.00	2972.3	☑	1.0	1.0	2972.3	2972.3
1265	☑	☑	1.00	2856.9	☑	1.00	2856.9	☑	1.0	1.0	2856.9	2856.9
1266	☑	☑	1.00	2741.5	☑	1.00	2741.5	☑	1.0	1.0	2741.5	2741.5
1270	☑	☑	1.00	4690.6	☑	1.00	2345.3	☑	1.0	1.0	2345.3	2345.3
1271	☑	☑	1.00	4499.8	☑	1.00	2249.9	☑	1.0	1.0	2249.9	2249.9
1272	☑	☑	1.00	4690.6	☑	1.00	2345.3	☑	1.0	1.0	2345.3	2345.3
1273	☑	☑	1.00	4609.4	☑	1.00	2304.7	☑	1.0	1.0	2304.7	2304.7

## ■ 1.9 ÚDAJE PRO POSOUZENÍ POUŽITELNOSTI

č.	Vztaženo na	Pruty/Sady č.	Vztažná délka		Směr	Nadvýšení $e_0$ [mm]	Typ nosníku
			Ručně	$l$ [mm]			
1	Prut	1253	☐	4690.6	y, z	0.0	Nosník
2	Prut	1254	☐	4690.6	y, z	0.0	Nosník
3	Prut	1255	☐	3855.2	y, z	0.0	Nosník
4	Prut	1256	☐	3876.6	y, z	0.0	Nosník
5	Prut	1257	☐	4690.6	y, z	0.0	Nosník
6	Prut	1258	☐	4690.6	y, z	0.0	Nosník
7	Prut	1259	☐	4595.2	y, z	0.0	Nosník
8	Prut	1260	☐	4528.2	y, z	0.0	Nosník
9	Prut	1261	☐	2698.8	y, z	0.0	Nosník
10	Prut	1262	☐	2814.2	y, z	0.0	Nosník
11	Prut	1263	☐	2929.6	y, z	0.0	Nosník
12	Prut	1264	☐	2972.3	y, z	0.0	Nosník
13	Prut	1265	☐	2856.9	y, z	0.0	Nosník
14	Prut	1266	☐	2741.5	y, z	0.0	Nosník
15	Prut	1270	☐	4690.6	y, z	0.0	Nosník
16	Prut	1271	☐	4499.8	y, z	0.0	Nosník
17	Prut	1272	☐	4690.6	y, z	0.0	Nosník
18	Prut	1273	☐	4609.4	y, z	0.0	Nosník

## ■ 2.2 POSOUZENÍ PO PRŮŘEZECH

Průř. č.	Prut č.	Místo x [mm]	ZS/KZ/ KV	Návrh		Rovnice č.	Označení
20	KCO 140/40x2.25						
	1266	913.8	KV1	0.00	≤ 1	CS100)	Zanedbatelné vnitřní síly
	1254	4690.6	KV1	0.02	≤ 1	CS102)	Posouzení průřezu - tlak podle 6.2.4
	1271	999.9	KV1	0.13	≤ 1	CS112)	Posouzení průřezu - ohyb okolo y podle 6.2.5 - třída 3
	1254	4690.6	KV1	0.03	≤ 1	CS122)	Posouzení průřezu - smyk ve směru z podle 6.2.6(4) - třída 3 nebo 4
	1271	999.9	KV1	0.13	≤ 1	CS143)	Posouzení průřezu - ohyb a smyk podle 6.2.9.2 a 6.2.10 - třída 3 - obecný průřez
	1261	899.6	KV1	0.09	≤ 1	CS163)	Posouzení průřezu - dvousóý ohyb a smyk podle 6.2.9.2 a 6.2.10 - třída 3 - obecný průřez
	1254	2345.3	KV1	0.34	≤ 1	CS183)	Posouzení průřezu - ohyb, smyk a osová síla podle 6.2.9.2 - třída 3 - obecný průřez
	1253	2345.3	KV1	0.28	≤ 1	CS223)	Posouzení průřezu - dvousóý ohyb, smyk a osová síla podle 6.2.10 a 6.2.9 - třída 3 - obecný průřez
	1254	4690.6	KV1	0.04	≤ 1	ST301)	Posouzení stability - vzpěr okolo y podle 6.3.1.1 a 6.3.1.2(4)
	1257	1876.2	KV1	0.05	≤ 1	ST311)	Posouzení stability - vzpěr okolo z podle 6.3.1.1 a 6.3.1.2(4)
	1254	4690.6	KV1	0.08	≤ 1	ST312)	Posouzení stability - vzpěr okolo z podle 6.3.1.1 a 6.3.1.2
	1254	4690.6	KV1	0.04	≤ 1	ST321)	Posouzení stability - vzpěr zkroucením podle 6.3.1.4 a 6.3.1.2(4)
	1255	1927.6	KV1	0.18	≤ 1	ST332)	Posouzení stability - klopení podle 6.3.2.1 a 6.3.2.2(4) - obecný případ
	1259	2297.6	KV1	0.44	≤ 1	ST333)	Posouzení stability - klopení podle 6.3.2.1 a 6.3.2.2 - obecný případ
	1254	4221.6	KV1	0.82	≤ 1	ST354)	Posouzení stability - ohyb a tlak podle 6.3.3, metoda 1
	1253	0.0	KV2	0.00	≤ 1	SE400)	Použitelnost - malé, resp. velmi malé deformace
1254	2345.3	KV2	0.64	≤ 1	SE401)	Použitelnost - kombinace zatížení 'charakteristická' - směr z	
1271	2499.9	KV2	0.00	≤ 1	SE406)	Použitelnost - kombinace zatížení 'charakteristická' - směr y	

RF-STEEL EC3

PR3

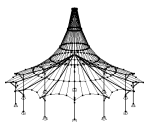
Posouzení ocelových prutů podle Eurokódu 3

## ■ 1.1 ZÁKLADNÍ ÚDAJE

Pruty k posouzení:

866-873,875-878,882-889,891-894,898-905,907-910,960,961,963,966-986,1100,1101,1103-1107,1110-1117,1120-1123,1125-1128,1130-1133,1136-1138,1148,1149,1151-1157,1159-1161,1163,1164,1167-1176,1178-1180

Sady prutů k posouzení:



Projekt:

Model: HOŘICE-KONSTRUKCE\_3D\_Budova\_obvodový plášť

## 1.1 ZÁKLADNÍ ÚDAJE

Národní příloha:

ČSN

Posouzení mezního stavu únosnosti

Kombinace výsledků k posouzení:

KV1

MSÚ (STR/GEO) - trvalá/dočasná - rovn. 6.10a a 6.10b

Posouzení mezního stavu použitelnosti

Kombinace výsledků k posouzení:

KV2

MSP - charakteristická

## 1.2 MATERIÁLY

Materiál - č.	Označení materiálu	Modul pruž. E [MPa]	Smykový modul G [MPa]	Poissonův součinitel $\nu$ [-]	Mez kluzu $f_{yk}$ [MPa]	Max. tloušťka dílce t [mm]
5	Ocel S 355   ČSN EN 1993-1-1:2005-05	210000.000	80769.200	0.300	355.000	40.0
					335.000	80.0
					315.000	100.0
					295.000	150.0
					285.000	200.0
					275.000	250.0

KC 140/40x2.25 KCO 140/40x2.25



## 1.3 PRŮŘEZY

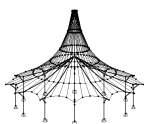
Průř. č.	Materiál - č.	Označení průřezu	Typ průřezu	Max. návrhové využití	Komentář
19	5	KC 140/40x2.25	Obecné	0.95	
20	5	KCO 140/40x2.25	Obecné	0.60	

## 1.4 MEZILEHLÉ PODPORY PROTI PŘÍČNÉMU POSUNUTÍ

Prut č.	Typ podpory	Délka L [mm]	Počet	Mezilehlé podpory proti příčnému posunutí [-]								
				$x_1$	$x_2$	$x_3$	$x_4$	$x_5$	$x_6$	$x_7$	$x_8$	$x_9$
1148	Proti příčnému vybočení a zkroucení	4360.0	1	0.500								
1149	Proti příčnému vybočení a zkroucení	4360.0	1	0.500								
1178	Proti příčnému vybočení a zkroucení	4360.0	1	0.500								
1180	Proti příčnému vybočení a zkroucení	4360.0	1	0.500								

## 1.5 VZPĚRNÉ DÉLKY - PRUTY

Prut č.	Vzpěr možný	Vzpěr okolo osy y		Vzpěr okolo osy z			Klopení					
		možný	$k_{cr,y}$	$L_{cr,y}$ [mm]	možný	$k_{cr,z}$	$L_{cr,z}$ [mm]	možné	$k_z$	$k_w$	$L_w$ [mm]	$L_T$ [mm]
866	<input checked="" type="checkbox"/>	<input checked="" type="checkbox"/>	1.00	2240.0	<input checked="" type="checkbox"/>	1.00	2240.0	<input checked="" type="checkbox"/>	1.0	1.0	2240.0	2240.0
867	<input checked="" type="checkbox"/>	<input checked="" type="checkbox"/>	1.00	1800.0	<input checked="" type="checkbox"/>	1.00	1800.0	<input checked="" type="checkbox"/>	1.0	1.0	1800.0	1800.0
868	<input checked="" type="checkbox"/>	<input checked="" type="checkbox"/>	1.00	2240.0	<input checked="" type="checkbox"/>	1.00	2240.0	<input checked="" type="checkbox"/>	1.0	1.0	2240.0	2240.0
869	<input checked="" type="checkbox"/>	<input checked="" type="checkbox"/>	1.00	2240.0	<input checked="" type="checkbox"/>	1.00	2240.0	<input checked="" type="checkbox"/>	1.0	1.0	2240.0	2240.0
870	<input checked="" type="checkbox"/>	<input checked="" type="checkbox"/>	1.00	2240.0	<input checked="" type="checkbox"/>	1.00	2240.0	<input checked="" type="checkbox"/>	1.0	1.0	2240.0	2240.0
871	<input checked="" type="checkbox"/>	<input checked="" type="checkbox"/>	1.00	1800.0	<input checked="" type="checkbox"/>	1.00	1800.0	<input checked="" type="checkbox"/>	1.0	1.0	1800.0	1800.0
872	<input checked="" type="checkbox"/>	<input checked="" type="checkbox"/>	1.00	1800.0	<input checked="" type="checkbox"/>	1.00	1800.0	<input checked="" type="checkbox"/>	1.0	1.0	1800.0	1800.0
873	<input checked="" type="checkbox"/>	<input checked="" type="checkbox"/>	1.00	1800.0	<input checked="" type="checkbox"/>	1.00	1800.0	<input checked="" type="checkbox"/>	1.0	1.0	1800.0	1800.0
875	<input checked="" type="checkbox"/>	<input checked="" type="checkbox"/>	1.00	618.2	<input checked="" type="checkbox"/>	1.00	618.2	<input checked="" type="checkbox"/>	1.0	1.0	618.2	618.2
876	<input checked="" type="checkbox"/>	<input checked="" type="checkbox"/>	1.00	618.2	<input checked="" type="checkbox"/>	1.00	618.2	<input checked="" type="checkbox"/>	1.0	1.0	618.2	618.2
877	<input checked="" type="checkbox"/>	<input checked="" type="checkbox"/>	1.00	618.2	<input checked="" type="checkbox"/>	1.00	618.2	<input checked="" type="checkbox"/>	1.0	1.0	618.2	618.2
878	<input checked="" type="checkbox"/>	<input checked="" type="checkbox"/>	1.00	618.2	<input checked="" type="checkbox"/>	1.00	618.2	<input checked="" type="checkbox"/>	1.0	1.0	618.2	618.2
882	<input checked="" type="checkbox"/>	<input checked="" type="checkbox"/>	1.00	2240.0	<input checked="" type="checkbox"/>	1.00	2240.0	<input checked="" type="checkbox"/>	1.0	1.0	2240.0	2240.0
883	<input checked="" type="checkbox"/>	<input checked="" type="checkbox"/>	1.00	1800.0	<input checked="" type="checkbox"/>	1.00	1800.0	<input checked="" type="checkbox"/>	1.0	1.0	1800.0	1800.0
884	<input checked="" type="checkbox"/>	<input checked="" type="checkbox"/>	1.00	2240.0	<input checked="" type="checkbox"/>	1.00	2240.0	<input checked="" type="checkbox"/>	1.0	1.0	2240.0	2240.0
885	<input checked="" type="checkbox"/>	<input checked="" type="checkbox"/>	1.00	2240.0	<input checked="" type="checkbox"/>	1.00	2240.0	<input checked="" type="checkbox"/>	1.0	1.0	2240.0	2240.0
886	<input checked="" type="checkbox"/>	<input checked="" type="checkbox"/>	1.00	2240.0	<input checked="" type="checkbox"/>	1.00	2240.0	<input checked="" type="checkbox"/>	1.0	1.0	2240.0	2240.0
887	<input checked="" type="checkbox"/>	<input checked="" type="checkbox"/>	1.00	1800.0	<input checked="" type="checkbox"/>	1.00	1800.0	<input checked="" type="checkbox"/>	1.0	1.0	1800.0	1800.0
888	<input checked="" type="checkbox"/>	<input checked="" type="checkbox"/>	1.00	1800.0	<input checked="" type="checkbox"/>	1.00	1800.0	<input checked="" type="checkbox"/>	1.0	1.0	1800.0	1800.0
889	<input checked="" type="checkbox"/>	<input checked="" type="checkbox"/>	1.00	1800.0	<input checked="" type="checkbox"/>	1.00	1800.0	<input checked="" type="checkbox"/>	1.0	1.0	1800.0	1800.0
891	<input checked="" type="checkbox"/>	<input checked="" type="checkbox"/>	1.00	618.2	<input checked="" type="checkbox"/>	1.00	618.2	<input checked="" type="checkbox"/>	1.0	1.0	618.2	618.2
892	<input checked="" type="checkbox"/>	<input checked="" type="checkbox"/>	1.00	618.2	<input checked="" type="checkbox"/>	1.00	618.2	<input checked="" type="checkbox"/>	1.0	1.0	618.2	618.2
893	<input checked="" type="checkbox"/>	<input checked="" type="checkbox"/>	1.00	618.2	<input checked="" type="checkbox"/>	1.00	618.2	<input checked="" type="checkbox"/>	1.0	1.0	618.2	618.2
894	<input checked="" type="checkbox"/>	<input checked="" type="checkbox"/>	1.00	618.2	<input checked="" type="checkbox"/>	1.00	618.2	<input checked="" type="checkbox"/>	1.0	1.0	618.2	618.2
898	<input checked="" type="checkbox"/>	<input checked="" type="checkbox"/>	1.00	2240.0	<input checked="" type="checkbox"/>	1.00	2240.0	<input checked="" type="checkbox"/>	1.0	1.0	2240.0	2240.0
899	<input checked="" type="checkbox"/>	<input checked="" type="checkbox"/>	1.00	1800.0	<input checked="" type="checkbox"/>	1.00	1800.0	<input checked="" type="checkbox"/>	1.0	1.0	1800.0	1800.0
900	<input checked="" type="checkbox"/>	<input checked="" type="checkbox"/>	1.00	2240.0	<input checked="" type="checkbox"/>	1.00	2240.0	<input checked="" type="checkbox"/>	1.0	1.0	2240.0	2240.0
901	<input checked="" type="checkbox"/>	<input checked="" type="checkbox"/>	1.00	2240.0	<input checked="" type="checkbox"/>	1.00	2240.0	<input checked="" type="checkbox"/>	1.0	1.0	2240.0	2240.0
902	<input checked="" type="checkbox"/>	<input checked="" type="checkbox"/>	1.00	2240.0	<input checked="" type="checkbox"/>	1.00	2240.0	<input checked="" type="checkbox"/>	1.0	1.0	2240.0	2240.0
903	<input checked="" type="checkbox"/>	<input checked="" type="checkbox"/>	1.00	1800.0	<input checked="" type="checkbox"/>	1.00	1800.0	<input checked="" type="checkbox"/>	1.0	1.0	1800.0	1800.0
904	<input checked="" type="checkbox"/>	<input checked="" type="checkbox"/>	1.00	1800.0	<input checked="" type="checkbox"/>	1.00	1800.0	<input checked="" type="checkbox"/>	1.0	1.0	1800.0	1800.0
905	<input checked="" type="checkbox"/>	<input checked="" type="checkbox"/>	1.00	1800.0	<input checked="" type="checkbox"/>	1.00	1800.0	<input checked="" type="checkbox"/>	1.0	1.0	1800.0	1800.0
907	<input checked="" type="checkbox"/>	<input checked="" type="checkbox"/>	1.00	618.2	<input checked="" type="checkbox"/>	1.00	618.2	<input checked="" type="checkbox"/>	1.0	1.0	618.2	618.2
908	<input checked="" type="checkbox"/>	<input checked="" type="checkbox"/>	1.00	618.2	<input checked="" type="checkbox"/>	1.00	618.2	<input checked="" type="checkbox"/>	1.0	1.0	618.2	618.2
909	<input checked="" type="checkbox"/>	<input checked="" type="checkbox"/>	1.00	618.2	<input checked="" type="checkbox"/>	1.00	618.2	<input checked="" type="checkbox"/>	1.0	1.0	618.2	618.2
910	<input checked="" type="checkbox"/>	<input checked="" type="checkbox"/>	1.00	618.2	<input checked="" type="checkbox"/>	1.00	618.2	<input checked="" type="checkbox"/>	1.0	1.0	618.2	618.2
960	<input checked="" type="checkbox"/>	<input checked="" type="checkbox"/>	1.00	2240.0	<input checked="" type="checkbox"/>	1.00	2240.0	<input checked="" type="checkbox"/>	1.0	1.0	2240.0	2240.0



Projekt:

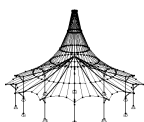
Model: HOŘICE-KONSTRUKCE\_3D\_Budova\_obvodový plášť

## ■ 1.5 VZPĚRNÉ DÉLKY - PRUTY

Prut č.	Vzpěr možný	Vzpěr okolo osy y			Vzpěr okolo osy z			Klopení				
		možný	$k_{cr,y}$	$L_{cr,y}$ [mm]	možný	$k_{cr,z}$	$L_{cr,z}$ [mm]	možné	$k_z$	$k_w$	$L_w$ [mm]	$L_T$ [mm]
961	<input checked="" type="checkbox"/>	<input checked="" type="checkbox"/>	1.00	1580.0	<input checked="" type="checkbox"/>	1.00	1580.0	<input checked="" type="checkbox"/>	1.0	1.0	1580.0	1580.0
963	<input checked="" type="checkbox"/>	<input checked="" type="checkbox"/>	1.00	618.2	<input checked="" type="checkbox"/>	1.00	618.2	<input checked="" type="checkbox"/>	1.0	1.0	618.2	618.2
966	<input checked="" type="checkbox"/>	<input checked="" type="checkbox"/>	1.00	2240.0	<input checked="" type="checkbox"/>	1.00	2240.0	<input checked="" type="checkbox"/>	1.0	1.0	2240.0	2240.0
967	<input checked="" type="checkbox"/>	<input checked="" type="checkbox"/>	1.00	1580.0	<input checked="" type="checkbox"/>	1.00	1580.0	<input checked="" type="checkbox"/>	1.0	1.0	1580.0	1580.0
968	<input checked="" type="checkbox"/>	<input checked="" type="checkbox"/>	1.00	618.2	<input checked="" type="checkbox"/>	1.00	618.2	<input checked="" type="checkbox"/>	1.0	1.0	618.2	618.2
969	<input checked="" type="checkbox"/>	<input checked="" type="checkbox"/>	1.00	2240.0	<input checked="" type="checkbox"/>	1.00	2240.0	<input checked="" type="checkbox"/>	1.0	1.0	2240.0	2240.0
970	<input checked="" type="checkbox"/>	<input checked="" type="checkbox"/>	1.00	1580.0	<input checked="" type="checkbox"/>	1.00	1580.0	<input checked="" type="checkbox"/>	1.0	1.0	1580.0	1580.0
971	<input checked="" type="checkbox"/>	<input checked="" type="checkbox"/>	1.00	618.2	<input checked="" type="checkbox"/>	1.00	618.2	<input checked="" type="checkbox"/>	1.0	1.0	618.2	618.2
972	<input checked="" type="checkbox"/>	<input checked="" type="checkbox"/>	1.00	2240.0	<input checked="" type="checkbox"/>	1.00	2240.0	<input checked="" type="checkbox"/>	1.0	1.0	2240.0	2240.0
973	<input checked="" type="checkbox"/>	<input checked="" type="checkbox"/>	1.00	1580.0	<input checked="" type="checkbox"/>	1.00	1580.0	<input checked="" type="checkbox"/>	1.0	1.0	1580.0	1580.0
974	<input checked="" type="checkbox"/>	<input checked="" type="checkbox"/>	1.00	618.2	<input checked="" type="checkbox"/>	1.00	618.2	<input checked="" type="checkbox"/>	1.0	1.0	618.2	618.2
975	<input checked="" type="checkbox"/>	<input checked="" type="checkbox"/>	1.00	2240.0	<input checked="" type="checkbox"/>	1.00	2240.0	<input checked="" type="checkbox"/>	1.0	1.0	2240.0	2240.0
976	<input checked="" type="checkbox"/>	<input checked="" type="checkbox"/>	1.00	1580.0	<input checked="" type="checkbox"/>	1.00	1580.0	<input checked="" type="checkbox"/>	1.0	1.0	1580.0	1580.0
977	<input checked="" type="checkbox"/>	<input checked="" type="checkbox"/>	1.00	618.2	<input checked="" type="checkbox"/>	1.00	618.2	<input checked="" type="checkbox"/>	1.0	1.0	618.2	618.2
978	<input checked="" type="checkbox"/>	<input checked="" type="checkbox"/>	1.00	2240.0	<input checked="" type="checkbox"/>	1.00	2240.0	<input checked="" type="checkbox"/>	1.0	1.0	2240.0	2240.0
979	<input checked="" type="checkbox"/>	<input checked="" type="checkbox"/>	1.00	1580.0	<input checked="" type="checkbox"/>	1.00	1580.0	<input checked="" type="checkbox"/>	1.0	1.0	1580.0	1580.0
980	<input checked="" type="checkbox"/>	<input checked="" type="checkbox"/>	1.00	618.2	<input checked="" type="checkbox"/>	1.00	618.2	<input checked="" type="checkbox"/>	1.0	1.0	618.2	618.2
981	<input checked="" type="checkbox"/>	<input checked="" type="checkbox"/>	1.00	2240.0	<input checked="" type="checkbox"/>	1.00	2240.0	<input checked="" type="checkbox"/>	1.0	1.0	2240.0	2240.0
982	<input checked="" type="checkbox"/>	<input checked="" type="checkbox"/>	1.00	1580.0	<input checked="" type="checkbox"/>	1.00	1580.0	<input checked="" type="checkbox"/>	1.0	1.0	1580.0	1580.0
983	<input checked="" type="checkbox"/>	<input checked="" type="checkbox"/>	1.00	618.2	<input checked="" type="checkbox"/>	1.00	618.2	<input checked="" type="checkbox"/>	1.0	1.0	618.2	618.2
984	<input checked="" type="checkbox"/>	<input checked="" type="checkbox"/>	1.00	2240.0	<input checked="" type="checkbox"/>	1.00	2240.0	<input checked="" type="checkbox"/>	1.0	1.0	2240.0	2240.0
985	<input checked="" type="checkbox"/>	<input checked="" type="checkbox"/>	1.00	1580.0	<input checked="" type="checkbox"/>	1.00	1580.0	<input checked="" type="checkbox"/>	1.0	1.0	1580.0	1580.0
986	<input checked="" type="checkbox"/>	<input checked="" type="checkbox"/>	1.00	618.2	<input checked="" type="checkbox"/>	1.00	618.2	<input checked="" type="checkbox"/>	1.0	1.0	618.2	618.2
1100	<input checked="" type="checkbox"/>	<input checked="" type="checkbox"/>	1.00	1580.0	<input checked="" type="checkbox"/>	1.00	1580.0	<input checked="" type="checkbox"/>	1.0	1.0	1580.0	1580.0
1101	<input checked="" type="checkbox"/>	<input checked="" type="checkbox"/>	1.00	618.2	<input checked="" type="checkbox"/>	1.00	618.2	<input checked="" type="checkbox"/>	1.0	1.0	618.2	618.2
1103	<input checked="" type="checkbox"/>	<input checked="" type="checkbox"/>	1.00	618.2	<input checked="" type="checkbox"/>	1.00	618.2	<input checked="" type="checkbox"/>	1.0	1.0	618.2	618.2
1104	<input checked="" type="checkbox"/>	<input checked="" type="checkbox"/>	1.00	1580.0	<input checked="" type="checkbox"/>	1.00	1580.0	<input checked="" type="checkbox"/>	1.0	1.0	1580.0	1580.0
1105	<input checked="" type="checkbox"/>	<input checked="" type="checkbox"/>	1.00	618.2	<input checked="" type="checkbox"/>	1.00	618.2	<input checked="" type="checkbox"/>	1.0	1.0	618.2	618.2
1106	<input checked="" type="checkbox"/>	<input checked="" type="checkbox"/>	1.00	1580.0	<input checked="" type="checkbox"/>	1.00	1580.0	<input checked="" type="checkbox"/>	1.0	1.0	1580.0	1580.0
1107	<input checked="" type="checkbox"/>	<input checked="" type="checkbox"/>	1.00	618.2	<input checked="" type="checkbox"/>	1.00	618.2	<input checked="" type="checkbox"/>	1.0	1.0	618.2	618.2
1110	<input checked="" type="checkbox"/>	<input checked="" type="checkbox"/>	1.00	1580.0	<input checked="" type="checkbox"/>	1.00	1580.0	<input checked="" type="checkbox"/>	1.0	1.0	1580.0	1580.0
1111	<input checked="" type="checkbox"/>	<input checked="" type="checkbox"/>	1.00	618.2	<input checked="" type="checkbox"/>	1.00	618.2	<input checked="" type="checkbox"/>	1.0	1.0	618.2	618.2
1112	<input checked="" type="checkbox"/>	<input checked="" type="checkbox"/>	1.00	1580.0	<input checked="" type="checkbox"/>	1.00	1580.0	<input checked="" type="checkbox"/>	1.0	1.0	1580.0	1580.0
1113	<input checked="" type="checkbox"/>	<input checked="" type="checkbox"/>	1.00	618.2	<input checked="" type="checkbox"/>	1.00	618.2	<input checked="" type="checkbox"/>	1.0	1.0	618.2	618.2
1114	<input checked="" type="checkbox"/>	<input checked="" type="checkbox"/>	1.00	1580.0	<input checked="" type="checkbox"/>	1.00	1580.0	<input checked="" type="checkbox"/>	1.0	1.0	1580.0	1580.0
1115	<input checked="" type="checkbox"/>	<input checked="" type="checkbox"/>	1.00	618.2	<input checked="" type="checkbox"/>	1.00	618.2	<input checked="" type="checkbox"/>	1.0	1.0	618.2	618.2
1116	<input checked="" type="checkbox"/>	<input checked="" type="checkbox"/>	1.00	1580.0	<input checked="" type="checkbox"/>	1.00	1580.0	<input checked="" type="checkbox"/>	1.0	1.0	1580.0	1580.0
1117	<input checked="" type="checkbox"/>	<input checked="" type="checkbox"/>	1.00	618.2	<input checked="" type="checkbox"/>	1.00	618.2	<input checked="" type="checkbox"/>	1.0	1.0	618.2	618.2
1120	<input checked="" type="checkbox"/>	<input checked="" type="checkbox"/>	1.00	618.2	<input checked="" type="checkbox"/>	1.00	618.2	<input checked="" type="checkbox"/>	1.0	1.0	618.2	618.2
1121	<input checked="" type="checkbox"/>	<input checked="" type="checkbox"/>	1.00	618.2	<input checked="" type="checkbox"/>	1.00	618.2	<input checked="" type="checkbox"/>	1.0	1.0	618.2	618.2
1122	<input checked="" type="checkbox"/>	<input checked="" type="checkbox"/>	1.00	618.2	<input checked="" type="checkbox"/>	1.00	618.2	<input checked="" type="checkbox"/>	1.0	1.0	618.2	618.2
1123	<input checked="" type="checkbox"/>	<input checked="" type="checkbox"/>	1.00	618.2	<input checked="" type="checkbox"/>	1.00	618.2	<input checked="" type="checkbox"/>	1.0	1.0	618.2	618.2
1125	<input checked="" type="checkbox"/>	<input checked="" type="checkbox"/>	1.00	618.2	<input checked="" type="checkbox"/>	1.00	618.2	<input checked="" type="checkbox"/>	1.0	1.0	618.2	618.2
1126	<input checked="" type="checkbox"/>	<input checked="" type="checkbox"/>	1.00	618.2	<input checked="" type="checkbox"/>	1.00	618.2	<input checked="" type="checkbox"/>	1.0	1.0	618.2	618.2
1127	<input checked="" type="checkbox"/>	<input checked="" type="checkbox"/>	1.00	618.2	<input checked="" type="checkbox"/>	1.00	618.2	<input checked="" type="checkbox"/>	1.0	1.0	618.2	618.2
1128	<input checked="" type="checkbox"/>	<input checked="" type="checkbox"/>	1.00	618.2	<input checked="" type="checkbox"/>	1.00	618.2	<input checked="" type="checkbox"/>	1.0	1.0	618.2	618.2
1130	<input checked="" type="checkbox"/>	<input checked="" type="checkbox"/>	1.00	2480.0	<input checked="" type="checkbox"/>	1.00	2480.0	<input checked="" type="checkbox"/>	1.0	1.0	2480.0	2480.0
1131	<input checked="" type="checkbox"/>	<input checked="" type="checkbox"/>	1.00	2480.0	<input checked="" type="checkbox"/>	1.00	2480.0	<input checked="" type="checkbox"/>	1.0	1.0	2480.0	2480.0
1132	<input checked="" type="checkbox"/>	<input checked="" type="checkbox"/>	1.00	2480.0	<input checked="" type="checkbox"/>	1.00	2480.0	<input checked="" type="checkbox"/>	1.0	1.0	2480.0	2480.0
1133	<input checked="" type="checkbox"/>	<input checked="" type="checkbox"/>	1.00	2480.0	<input checked="" type="checkbox"/>	1.00	2480.0	<input checked="" type="checkbox"/>	1.0	1.0	2480.0	2480.0
1136	<input checked="" type="checkbox"/>	<input checked="" type="checkbox"/>	1.00	1580.0	<input checked="" type="checkbox"/>	1.00	1580.0	<input checked="" type="checkbox"/>	1.0	1.0	1580.0	1580.0
1137	<input checked="" type="checkbox"/>	<input checked="" type="checkbox"/>	1.00	1580.0	<input checked="" type="checkbox"/>	1.00	1580.0	<input checked="" type="checkbox"/>	1.0	1.0	1580.0	1580.0
1138	<input checked="" type="checkbox"/>	<input checked="" type="checkbox"/>	1.00	1580.0	<input checked="" type="checkbox"/>	1.00	1580.0	<input checked="" type="checkbox"/>	1.0	1.0	1580.0	1580.0
1148	<input checked="" type="checkbox"/>	<input checked="" type="checkbox"/>	1.00	4360.0	<input checked="" type="checkbox"/>	1.00	2180.0	<input checked="" type="checkbox"/>	1.0	1.0	2180.0	2180.0
1149	<input checked="" type="checkbox"/>	<input checked="" type="checkbox"/>	1.00	4360.0	<input checked="" type="checkbox"/>	1.00	2180.0	<input checked="" type="checkbox"/>	1.0	1.0	2180.0	2180.0
1151	<input checked="" type="checkbox"/>	<input checked="" type="checkbox"/>	1.00	1580.0	<input checked="" type="checkbox"/>	1.00	1580.0	<input checked="" type="checkbox"/>	1.0	1.0	1580.0	1580.0
1152	<input checked="" type="checkbox"/>	<input checked="" type="checkbox"/>	1.00	618.2	<input checked="" type="checkbox"/>	1.00	618.2	<input checked="" type="checkbox"/>	1.0	1.0	618.2	618.2
1153	<input checked="" type="checkbox"/>	<input checked="" type="checkbox"/>	1.00	1580.0	<input checked="" type="checkbox"/>	1.00	1580.0	<input checked="" type="checkbox"/>	1.0	1.0	1580.0	1580.0
1154	<input checked="" type="checkbox"/>	<input checked="" type="checkbox"/>	1.00	618.2	<input checked="" type="checkbox"/>	1.00	618.2	<input checked="" type="checkbox"/>	1.0	1.0	618.2	618.2
1155	<input checked="" type="checkbox"/>	<input checked="" type="checkbox"/>	1.00	1580.0	<input checked="" type="checkbox"/>	1.00	1580.0	<input checked="" type="checkbox"/>	1.0	1.0	1580.0	1580.0
1156	<input checked="" type="checkbox"/>	<input checked="" type="checkbox"/>	1.00	618.2	<input checked="" type="checkbox"/>	1.00	618.2	<input checked="" type="checkbox"/>	1.0	1.0	618.2	618.2
1157	<input checked="" type="checkbox"/>	<input checked="" type="checkbox"/>	1.00	2240.0	<input checked="" type="checkbox"/>	1.00	2240.0	<input checked="" type="checkbox"/>	1.0	1.0	2240.0	2240.0
1159	<input checked="" type="checkbox"/>	<input checked="" type="checkbox"/>	1.00	2240.0	<input checked="" type="checkbox"/>	1.00	2240.0	<input checked="" type="checkbox"/>	1.0	1.0	2240.0	2240.0
1160	<input checked="" type="checkbox"/>	<input checked="" type="checkbox"/>	1.00	2240.0	<input checked="" type="checkbox"/>	1.00	2240.0	<input checked="" type="checkbox"/>	1.0	1.0	2240.0	2240.0
1161	<input checked="" type="checkbox"/>	<input checked="" type="checkbox"/>	1.00	2240.0	<input checked="" type="checkbox"/>	1.00	2240.0	<input checked="" type="checkbox"/>	1.0	1.0	2240.0	2240.0
1163	<input checked="" type="checkbox"/>	<input checked="" type="checkbox"/>	1.00	2120.0	<input checked="" type="checkbox"/>	1.00	2120.0	<input checked="" type="checkbox"/>	1.0	1.0	2120.0	2120.0
1164	<input checked="" type="checkbox"/>	<input checked="" type="checkbox"/>	1.00	2120.0	<input checked="" type="checkbox"/>	1.00	2120.0	<input checked="" type="checkbox"/>	1.0	1.0	2120.0	2120.0
1167	<input checked="" type="checkbox"/>	<input checked="" type="checkbox"/>	1.00	3440.0	<input checked="" type="checkbox"/>	1.00	3440.0	<input checked="" type="checkbox"/>	1.0	1.0	3440.0	3440.0
1168	<input checked="" type="checkbox"/>	<input checked="" type="checkbox"/>	1.00	3440.0	<input checked="" type="checkbox"/>	1.00	3440.0	<input checked="" type="checkbox"/>	1.0	1.0	3440.0	3440.0
1169	<input checked="" type="checkbox"/>	<input checked="" type="checkbox"/>	1.00	3440.0	<input checked="" type="checkbox"/>	1.00	3440.0	<input checked="" type="checkbox"/>	1.0	1.0	3440.0	3440.0
1170	<input checked="" type="checkbox"/>	<input checked="" type="checkbox"/>	1.00	3440.0	<input checked="" type="checkbox"/>	1.00	3440.0	<input checked="" type="checkbox"/>	1.0	1.0	3440.0	3440.0
1171	<input checked="" type="checkbox"/>	<input checked="" type="checkbox"/>	1.00	3440.0	<input checked="" type="checkbox"/>	1.00	3440.0	<input checked="" type="checkbox"/>	1.0	1.0	3440.0	3440.0
1172	<input checked="" type="checkbox"/>	<input checked="" type="checkbox"/>	1.00	3440.0	<input checked="" type="checkbox"/>	1.00	3440.0	<input checked="" type="checkbox"/>	1.0	1.0	3440.0	3440.0
1173	<input checked="" type="checkbox"/>	<input checked="" type="checkbox"/>	1.00	3440.0	<input checked="" type="checkbox"/>	1.00	3440.0	<input checked="" type="checkbox"/>	1.0	1.0	3440.0	3440.0
1174	<input checked="" type="checkbox"/>	<input checked="" type="checkbox"/>	1.00	3440.0	<input checked="" type="checkbox"/>	1.00	3440.0	<input checked="" type="checkbox"/>	1.0	1.0	3440.0	3440.0
1175	<input checked="" type="checkbox"/>	<input checked="" type="checkbox"/>	1.00	2120.0	<input checked="" type="checkbox"/>	1.00	2120.0	<input checked="" type="checkbox"/>	1.0	1.0	2120.0	2120.0
1176	<input checked="" type="checkbox"/>	<input checked="" type="checkbox"/>	1.00	1580.0	<input checked="" type="checkbox"/>	1.00	1580.0	<input checked="" type="checkbox"/>	1.0	1.0	1580.0	1580.0
1178	<input checked="" type="checkbox"/>	<input checked="" type="checkbox"/>	1.00	4360.0	<input checked="" type="checkbox"/>	1.00	2180.0	<input checked="" type="checkbox"/>	1.0	1.0	2180.0	2180.0
1179	<input checked="" type="checkbox"/>	<input checked="" type="checkbox"/>	1.00	1580.0	<input checked="" type="checkbox"/>	1.00	1580.0	<input checked="" type="checkbox"/>	1.0	1.0	1580.0	1580.0
1180	<input checked="" type="checkbox"/>	<input checked="" type="checkbox"/>	1.00	4360.0	<input checked="" type="checkbox"/>	1.00	2180.0	<input checked="" type="checkbox"/>	1.0	1.0	2180.0	2180.0

## ■ 1.9 ÚDAJE PRO POSOUZENÍ POUŽITELNOSTI

č.	Vztaženo na	Pruty/Sady č.	Vztažná délka		Směr	Nadvýšení $e_0$ [mm]	Typ nosníku
			Ručně	$l$ [mm]			
1	Prut	866	<input type="checkbox"/>	2240.0	y, z	0.0	Nosník
2	Prut	867	<input type="checkbox"/>	1800.0	y, z	0.0	Nosník
3	Prut	868	<input type="checkbox"/>	2240.0	y, z	0.0	Nosník
4	Prut	869	<input type="checkbox"/>	2240.0	y, z	0.0	Nosník
5	Prut	870	<input type="checkbox"/>	2240.0	y, z	0.0	Nosník
6	Prut	871	<input type="checkbox"/>	1800.0	y, z	0.0	Nosník
7	Prut	872	<input type="checkbox"/>	1800.0	y, z	0.0	Nosník

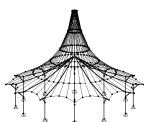


Projekt:

Model: HOŘICE-KONSTRUKCE\_3D\_Budova\_obvodový plášť

## ■ 1.9 ÚDAJE PRO POSOUZENÍ POUŽITELNOSTI

č.	Vztaženo na	Pruty/Sady č.	Vztažná délka		Směr	Nadvýšení $e_0$ [mm]	Typ nosníku
			Ručně	$l$ [mm]			
8	Prut	873	<input type="checkbox"/>	1800.0	y, z	0.0	Nosník
9	Prut	875	<input type="checkbox"/>	618.2	y, z	0.0	Nosník
10	Prut	876	<input type="checkbox"/>	618.2	y, z	0.0	Nosník
11	Prut	877	<input type="checkbox"/>	618.2	y, z	0.0	Nosník
12	Prut	878	<input type="checkbox"/>	618.2	y, z	0.0	Nosník
13	Prut	882	<input type="checkbox"/>	2240.0	y, z	0.0	Nosník
14	Prut	883	<input type="checkbox"/>	1800.0	y, z	0.0	Nosník
15	Prut	884	<input type="checkbox"/>	2240.0	y, z	0.0	Nosník
16	Prut	885	<input type="checkbox"/>	2240.0	y, z	0.0	Nosník
17	Prut	886	<input type="checkbox"/>	2240.0	y, z	0.0	Nosník
18	Prut	887	<input type="checkbox"/>	1800.0	y, z	0.0	Nosník
19	Prut	888	<input type="checkbox"/>	1800.0	y, z	0.0	Nosník
20	Prut	889	<input type="checkbox"/>	1800.0	y, z	0.0	Nosník
21	Prut	891	<input type="checkbox"/>	618.2	y, z	0.0	Nosník
22	Prut	892	<input type="checkbox"/>	618.2	y, z	0.0	Nosník
23	Prut	893	<input type="checkbox"/>	618.2	y, z	0.0	Nosník
24	Prut	894	<input type="checkbox"/>	618.2	y, z	0.0	Nosník
25	Prut	898	<input type="checkbox"/>	2240.0	y, z	0.0	Nosník
26	Prut	899	<input type="checkbox"/>	1800.0	y, z	0.0	Nosník
27	Prut	900	<input type="checkbox"/>	2240.0	y, z	0.0	Nosník
28	Prut	901	<input type="checkbox"/>	2240.0	y, z	0.0	Nosník
29	Prut	902	<input type="checkbox"/>	2240.0	y, z	0.0	Nosník
30	Prut	903	<input type="checkbox"/>	1800.0	y, z	0.0	Nosník
31	Prut	904	<input type="checkbox"/>	1800.0	y, z	0.0	Nosník
32	Prut	905	<input type="checkbox"/>	1800.0	y, z	0.0	Nosník
33	Prut	907	<input type="checkbox"/>	618.2	y, z	0.0	Nosník
34	Prut	908	<input type="checkbox"/>	618.2	y, z	0.0	Nosník
35	Prut	909	<input type="checkbox"/>	618.2	y, z	0.0	Nosník
36	Prut	910	<input type="checkbox"/>	618.2	y, z	0.0	Nosník
37	Prut	960	<input type="checkbox"/>	2240.0	y, z	0.0	Nosník
38	Prut	961	<input type="checkbox"/>	1580.0	y, z	0.0	Nosník
39	Prut	963	<input type="checkbox"/>	618.2	y, z	0.0	Nosník
40	Prut	966	<input type="checkbox"/>	2240.0	y, z	0.0	Nosník
41	Prut	967	<input type="checkbox"/>	1580.0	y, z	0.0	Nosník
42	Prut	968	<input type="checkbox"/>	618.2	y, z	0.0	Nosník
43	Prut	969	<input type="checkbox"/>	2240.0	y, z	0.0	Nosník
44	Prut	970	<input type="checkbox"/>	1580.0	y, z	0.0	Nosník
45	Prut	971	<input type="checkbox"/>	618.2	y, z	0.0	Nosník
46	Prut	972	<input type="checkbox"/>	2240.0	y, z	0.0	Nosník
47	Prut	973	<input type="checkbox"/>	1580.0	y, z	0.0	Nosník
48	Prut	974	<input type="checkbox"/>	618.2	y, z	0.0	Nosník
49	Prut	975	<input type="checkbox"/>	2240.0	y, z	0.0	Nosník
50	Prut	976	<input type="checkbox"/>	1580.0	y, z	0.0	Nosník
51	Prut	977	<input type="checkbox"/>	618.2	y, z	0.0	Nosník
52	Prut	978	<input type="checkbox"/>	2240.0	y, z	0.0	Nosník
53	Prut	979	<input type="checkbox"/>	1580.0	y, z	0.0	Nosník
54	Prut	980	<input type="checkbox"/>	618.2	y, z	0.0	Nosník
55	Prut	981	<input type="checkbox"/>	2240.0	y, z	0.0	Nosník
56	Prut	982	<input type="checkbox"/>	1580.0	y, z	0.0	Nosník
57	Prut	983	<input type="checkbox"/>	618.2	y, z	0.0	Nosník
58	Prut	984	<input type="checkbox"/>	2240.0	y, z	0.0	Nosník
59	Prut	985	<input type="checkbox"/>	1580.0	y, z	0.0	Nosník
60	Prut	986	<input type="checkbox"/>	618.2	y, z	0.0	Nosník
61	Prut	1100	<input type="checkbox"/>	1580.0	y, z	0.0	Nosník
62	Prut	1101	<input type="checkbox"/>	618.2	y, z	0.0	Nosník
63	Prut	1103	<input type="checkbox"/>	618.2	y, z	0.0	Nosník
64	Prut	1104	<input type="checkbox"/>	1580.0	y, z	0.0	Nosník
65	Prut	1105	<input type="checkbox"/>	618.2	y, z	0.0	Nosník
66	Prut	1106	<input type="checkbox"/>	1580.0	y, z	0.0	Nosník
67	Prut	1107	<input type="checkbox"/>	618.2	y, z	0.0	Nosník
68	Prut	1110	<input type="checkbox"/>	1580.0	y, z	0.0	Nosník
69	Prut	1111	<input type="checkbox"/>	618.2	y, z	0.0	Nosník
70	Prut	1112	<input type="checkbox"/>	1580.0	y, z	0.0	Nosník
71	Prut	1113	<input type="checkbox"/>	618.2	y, z	0.0	Nosník
72	Prut	1114	<input type="checkbox"/>	1580.0	y, z	0.0	Nosník
73	Prut	1115	<input type="checkbox"/>	618.2	y, z	0.0	Nosník
74	Prut	1116	<input type="checkbox"/>	1580.0	y, z	0.0	Nosník
75	Prut	1117	<input type="checkbox"/>	618.2	y, z	0.0	Nosník
76	Prut	1120	<input type="checkbox"/>	618.2	y, z	0.0	Nosník
77	Prut	1121	<input type="checkbox"/>	618.2	y, z	0.0	Nosník
78	Prut	1122	<input type="checkbox"/>	618.2	y, z	0.0	Nosník
79	Prut	1123	<input type="checkbox"/>	618.2	y, z	0.0	Nosník
80	Prut	1125	<input type="checkbox"/>	618.2	y, z	0.0	Nosník
81	Prut	1126	<input type="checkbox"/>	618.2	y, z	0.0	Nosník
82	Prut	1127	<input type="checkbox"/>	618.2	y, z	0.0	Nosník
83	Prut	1128	<input type="checkbox"/>	618.2	y, z	0.0	Nosník
84	Prut	1130	<input type="checkbox"/>	2480.0	y, z	0.0	Nosník
85	Prut	1131	<input type="checkbox"/>	2480.0	y, z	0.0	Nosník
86	Prut	1132	<input type="checkbox"/>	2480.0	y, z	0.0	Nosník
87	Prut	1133	<input type="checkbox"/>	2480.0	y, z	0.0	Nosník
88	Prut	1136	<input type="checkbox"/>	1580.0	y, z	0.0	Nosník
89	Prut	1137	<input type="checkbox"/>	1580.0	y, z	0.0	Nosník
90	Prut	1138	<input type="checkbox"/>	1580.0	y, z	0.0	Nosník
91	Prut	1148	<input type="checkbox"/>	4360.0	y, z	0.0	Nosník
92	Prut	1149	<input type="checkbox"/>	4360.0	y, z	0.0	Nosník
93	Prut	1151	<input type="checkbox"/>	1580.0	y, z	0.0	Nosník
94	Prut	1152	<input type="checkbox"/>	618.2	y, z	0.0	Nosník
95	Prut	1153	<input type="checkbox"/>	1580.0	y, z	0.0	Nosník
96	Prut	1154	<input type="checkbox"/>	618.2	y, z	0.0	Nosník
97	Prut	1155	<input type="checkbox"/>	1580.0	y, z	0.0	Nosník
98	Prut	1156	<input type="checkbox"/>	618.2	y, z	0.0	Nosník
99	Prut	1157	<input type="checkbox"/>	2240.0	y, z	0.0	Nosník
100	Prut	1159	<input type="checkbox"/>	2240.0	y, z	0.0	Nosník
101	Prut	1160	<input type="checkbox"/>	2240.0	y, z	0.0	Nosník



Projekt:

Model: HOŘICE-KONSTRUKCE\_3D\_Budova\_obvodový plášť

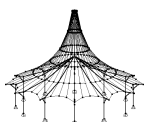
## ■ 1.9 ÚDAJE PRO POSOUZENÍ POUŽITELNOSTI

č.	Vztaženo na	Pruty/Sady č.	Vztažná délka		Směr	Nadvýšení e <sub>0</sub> [mm]	Typ nosníku
			Ručně	l [mm]			
102	Prut	1161	<input type="checkbox"/>	2240.0	y, z	0.0	Nosník
103	Prut	1163	<input type="checkbox"/>	2120.0	y, z	0.0	Nosník
104	Prut	1164	<input type="checkbox"/>	2120.0	y, z	0.0	Nosník
105	Prut	1167	<input type="checkbox"/>	3440.0	y, z	0.0	Nosník
106	Prut	1168	<input type="checkbox"/>	3440.0	y, z	0.0	Nosník
107	Prut	1169	<input type="checkbox"/>	3440.0	y, z	0.0	Nosník
108	Prut	1170	<input type="checkbox"/>	3440.0	y, z	0.0	Nosník
109	Prut	1171	<input type="checkbox"/>	3440.0	y, z	0.0	Nosník
110	Prut	1172	<input type="checkbox"/>	3440.0	y, z	0.0	Nosník
111	Prut	1173	<input type="checkbox"/>	3440.0	y, z	0.0	Nosník
112	Prut	1174	<input type="checkbox"/>	3440.0	y, z	0.0	Nosník
113	Prut	1175	<input type="checkbox"/>	2120.0	y, z	0.0	Nosník
114	Prut	1176	<input type="checkbox"/>	1580.0	y, z	0.0	Nosník
115	Prut	1178	<input type="checkbox"/>	4360.0	y, z	0.0	Nosník
116	Prut	1179	<input type="checkbox"/>	1580.0	y, z	0.0	Nosník
117	Prut	1180	<input type="checkbox"/>	4360.0	y, z	0.0	Nosník

## ■ 2.2 POSOUZENÍ PO PRŮREZECH

Průř. č.	Prut č.	Místo x [mm]	ZS/KZ/ KV	Návrh		Rovnice č.	Označení
19	KC 140/40x2.25						
	1125	618.2	KV1	0.00	≤ 1	CS100)	Zanedbatelné vnitřní síly
	1114	0.0	KV1	0.00	≤ 1	CS101)	Posouzení průřezu - tah podle 6.2.3
	1161	1520.0	KV1	0.06	≤ 1	CS102)	Posouzení průřezu - tlak podle 6.2.4
	1161	2240.0	KV1	0.15	≤ 1	CS103)	Posouzení průřezu - tlak podle 6.2.4 - třída 4
	873	900.0	KV1	0.09	≤ 1	CS112)	Posouzení průřezu - ohyb okolo y podle 6.2.5 - třída 3
	893	309.1	KV1	0.00	≤ 1	CS113)	Posouzení průřezu - ohyb okolo y podle 6.2.5 - třída 4
	870	0.0	KV1	0.03	≤ 1	CS122)	Posouzení průřezu - smyk ve směru z podle 6.2.6(4) - třída 3 nebo 4
	1176	0.0	KV1	0.02	≤ 1	CS124)	Posouzení průřezu - posouvající síla ve směru y podle 6.2.6(4) - třída 3 nebo 4
	873	900.0	KV1	0.09	≤ 1	CS143)	Posouzení průřezu - ohyb a smyk podle 6.2.9.2 a 6.2.10 - třída 3 - obecný průřez
	893	309.1	KV1	0.00	≤ 1	CS145)	Posouzení průřezu - ohyb a smyk podle 6.2.9.3 a 6.2.10 - třída 4
	1161	1344.0	KV1	0.21	≤ 1	CS183)	Posouzení průřezu - ohyb, smyk a osová síla podle 6.2.9.2 - třída 3 - obecný průřez
	1164	1272.0	KV1	0.18	≤ 1	CS191)	Posouzení průřezu - ohyb, smyk a osová síla podle 6.2.9.3 - třída 4
	1179	790.0	KV1	0.13	≤ 1	CS203)	Posouzení průřezu - ohyb okolo z, smyk a osová síla podle 6.2.9.2 - třída 3 - obecný průřez
	1176	790.0	KV1	0.20	≤ 1	CS211)	Posouzení průřezu - ohyb okolo z, smyk a osová síla podle 6.2.9.3 - třída 4
	866	925.0	KV1	0.10	≤ 1	CS223)	Posouzení průřezu - dvouosý ohyb, smyk a osová síla podle 6.2.10 a 6.2.9 - třída 3 - obecný průřez
	1161	1344.0	KV1	0.24	≤ 1	CS231)	Posouzení průřezu - dvouosý ohyb, smyk a osová síla podle 6.2.10 a 6.2.9.3 - třída 4
	1161	1520.0	KV1	0.07	≤ 1	ST302)	Posouzení stability - vzpěr okolo y podle 6.3.1.1 a 6.3.1.2
	1157	230.0	KV1	0.06	≤ 1	ST303)	Posouzení stability - vzpěr okolo y podle 6.3.1.1 a 6.3.1.2(4) - třída 4
	1161	2240.0	KV1	0.17	≤ 1	ST304)	Posouzení stability - vzpěr okolo y podle 6.3.1.1 a 6.3.1.2 - třída 4
	976	1185.0	KV1	0.05	≤ 1	ST313)	Posouzení stability - vzpěr okolo z podle 6.3.1.1 a 6.3.1.2(4) - třída 4
	1157	230.0	KV1	0.22	≤ 1	ST314)	Posouzení stability - vzpěr okolo z podle 6.3.1.1 a 6.3.1.2 - třída 4
	976	1185.0	KV1	0.05	≤ 1	ST327)	Posouzení stability - prostorový vzpěr podle 6.3.1.4 a 6.3.1.2(4) - třída 4
	1157	230.0	KV1	0.22	≤ 1	ST328)	Posouzení stability - prostorový vzpěr podle 6.3.1.4 a 6.3.1.2 - třída 4
	888	900.0	KV1	0.06	≤ 1	ST332)	Posouzení stability - klopení podle 6.3.2.1 a 6.3.2.2(4) - obecný případ
	870	448.0	KV1	0.67	≤ 1	ST333)	Posouzení stability - klopení podle 6.3.2.1 a 6.3.2.2 - obecný případ
	1161	1344.0	KV1	0.95	≤ 1	ST373)	Posouzení stability - ohyb a tlak podle 6.3.4, obecná metoda, Johannes Naumes
	866	0.0	KV2	0.00	≤ 1	SE400)	Použitelnost - malé, resp. velmi malé deformace
	870	1120.0	KV2	0.15	≤ 1	SE401)	Použitelnost - kombinace zatížení 'charakteristická' - směr z
	1176	790.0	KV2	0.32	≤ 1	SE406)	Použitelnost - kombinace zatížení 'charakteristická' - směr y
20	KCO 140/40x2.25						
	1170	775.0	KV1	0.00	≤ 1	CS100)	Zanedbatelné vnitřní síly
	1149	4360.0	KV1	0.06	≤ 1	CS102)	Posouzení průřezu - tlak podle 6.2.4
	1170	1474.3	KV1	0.14	≤ 1	CS112)	Posouzení průřezu - ohyb okolo y podle 6.2.5 - třída 3
	1169	3440.0	KV1	0.02	≤ 1	CS122)	Posouzení průřezu - smyk ve směru z podle 6.2.6(4) - třída 3 nebo 4
	1170	1474.3	KV1	0.14	≤ 1	CS143)	Posouzení průřezu - ohyb a smyk podle 6.2.9.2 a 6.2.10 - třída 3 - obecný průřez
	1149	2422.2	KV1	0.19	≤ 1	CS183)	Posouzení průřezu - ohyb, smyk a osová síla podle 6.2.9.2 - třída 3 - obecný průřez
	1180	0.0	KV1	0.06	≤ 1	ST301)	Posouzení stability - vzpěr okolo y podle 6.3.1.1 a 6.3.1.2(4)
	1149	4360.0	KV1	0.10	≤ 1	ST302)	Posouzení stability - vzpěr okolo y podle 6.3.1.1 a 6.3.1.2





KRStatic s.r.o.

Korunní 2569/108, 101 00 Praha 10

Obvodový plášť

RF-STEEL EC3

Projekt:

Model: HOŘICE-KONSTRUKCE\_3D\_Budova\_obvodový plášť

## 2.2 POSOUZENÍ PO PRŮŘEZECH

Průř. č.	Prut č.	Místo x [mm]	ZS/KZ/ KV	Návrh		Rovnice č.	Označení
	1171	3440.0	KV1	0.22	≤ 1	ST312)	Posouzení stability - vzpěr okolo z podle 6.3.1.1 a 6.3.1.2
	1148	3875.6	KV1	0.06	≤ 1	ST321)	Posouzení stability - vzpěr zkroucením podle 6.3.1.4 a 6.3.1.2(4)
	1149	4360.0	KV1	0.11	≤ 1	ST322)	Posouzení stability - vzpěr zkroucením podle 6.3.1.4 a 6.3.1.2
	1169	1965.7	KV1	0.05	≤ 1	ST332)	Posouzení stability - klopení podle 6.3.2.1 a 6.3.2.2(4) - obecný případ
	1169	1965.7	KV1	0.60	≤ 1	ST333)	Posouzení stability - klopení podle 6.3.2.1 a 6.3.2.2 - obecný případ
	1167	3325.0	KV1	0.54	≤ 1	ST354)	Posouzení stability - ohyb a tlak podle 6.3.3, metoda 1
	1148	0.0	KV2	0.00	≤ 1	SE400)	Použitelnost - malé, resp. velmi malé deformace
	1149	2422.2	KV2	0.25	≤ 1	SE401)	Použitelnost - kombinace zatížení 'charakteristická' - směr z
	1149	2422.2	KV2	0.00	≤ 1	SE406)	Použitelnost - kombinace zatížení 'charakteristická' - směr y

RF-STEEL EC3

PR4

Posouzení ocelových prutů podle Eurokódu 3

## 1.1 ZÁKLADNÍ ÚDAJE

Pruty k posouzení:	914-921,923-926,930-937,939-942,946-953,955-958,992,993,995,998-1006,1008,1009,1011,1014-1022,1024,1025,1027,1030-1038,1040,1041,1043,1046-1054,1056,1057,1059,1062-1070,1072,1073,1075,1078-1086,1091-1099		
Sady prutů k posouzení:			
Národní příloha:	ČSN		
Posouzení mezního stavu únosnosti			
Kombinace výsledků k posouzení:	KV1	MSÚ (STR/GEO) - trvalá/dočasná - rovn. 6.10a a 6.10b	
Posouzení mezního stavu použitelnosti			
Kombinace výsledků k posouzení:	KV2	MSP - charakteristická	

## 1.2 MATERIÁLY

Materiál - č.	Označení materiálu	Modul pruž. E [MPa]	Smykový modul G [MPa]	Poissonův součinitel ν [-]	Mez kluzu f <sub>yk</sub> [MPa]	Max. tloušťka dílce t [mm]
5	Ocel S 355   ČSN EN 1993-1-1:2005-05	210000.000	80769.200	0.300	355.000	40.0
					335.000	80.0
					315.000	100.0
					295.000	150.0
					285.000	200.0
					275.000	250.0

## 1.3 PRŮŘEZY

Průř. č.	Materiál - č.	Označení průřezu	Typ průřezu	Max. návrhové využití	Komentář
19	5	KC 140/40x2.25	Obecné	0.74	

## 1.5 VZPĚRNÉ DÉLKY - PRUTY

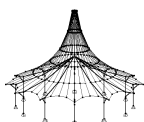
Prut č.	Vzpěr	Vzpěr okolo osy y			Vzpěr okolo osy z			Klopení				
	možný	možný	k <sub>cr,y</sub>	L <sub>cr,y</sub> [mm]	možný	k <sub>cr,z</sub>	L <sub>cr,z</sub> [mm]	možné	k <sub>z</sub>	k <sub>w</sub>	L <sub>w</sub> [mm]	L <sub>T</sub> [mm]
914	☑	☑	1.00	2240.0	☑	1.00	2240.0	☑	1.0	1.0	2240.0	2240.0
915	☑	☑	1.00	1800.0	☑	1.00	1800.0	☑	1.0	1.0	1800.0	1800.0
916	☑	☑	1.00	2240.0	☑	1.00	2240.0	☑	1.0	1.0	2240.0	2240.0
917	☑	☑	1.00	2240.0	☑	1.00	2240.0	☑	1.0	1.0	2240.0	2240.0
918	☑	☑	1.00	2240.0	☑	1.00	2240.0	☑	1.0	1.0	2240.0	2240.0
919	☑	☑	1.00	1800.0	☑	1.00	1800.0	☑	1.0	1.0	1800.0	1800.0
920	☑	☑	1.00	1800.0	☑	1.00	1800.0	☑	1.0	1.0	1800.0	1800.0
921	☑	☑	1.00	1800.0	☑	1.00	1800.0	☑	1.0	1.0	1800.0	1800.0
923	☑	☑	1.00	618.2	☑	1.00	618.2	☑	1.0	1.0	618.2	618.2
924	☑	☑	1.00	618.2	☑	1.00	618.2	☑	1.0	1.0	618.2	618.2
925	☑	☑	1.00	618.2	☑	1.00	618.2	☑	1.0	1.0	618.2	618.2
926	☑	☑	1.00	618.2	☑	1.00	618.2	☑	1.0	1.0	618.2	618.2
930	☑	☑	1.00	2240.0	☑	1.00	2240.0	☑	1.0	1.0	2240.0	2240.0
931	☑	☑	1.00	1800.0	☑	1.00	1800.0	☑	1.0	1.0	1800.0	1800.0
932	☑	☑	1.00	2240.0	☑	1.00	2240.0	☑	1.0	1.0	2240.0	2240.0
933	☑	☑	1.00	2240.0	☑	1.00	2240.0	☑	1.0	1.0	2240.0	2240.0
934	☑	☑	1.00	2240.0	☑	1.00	2240.0	☑	1.0	1.0	2240.0	2240.0
935	☑	☑	1.00	1800.0	☑	1.00	1800.0	☑	1.0	1.0	1800.0	1800.0
936	☑	☑	1.00	1800.0	☑	1.00	1800.0	☑	1.0	1.0	1800.0	1800.0
937	☑	☑	1.00	1800.0	☑	1.00	1800.0	☑	1.0	1.0	1800.0	1800.0
939	☑	☑	1.00	618.2	☑	1.00	618.2	☑	1.0	1.0	618.2	618.2
940	☑	☑	1.00	618.2	☑	1.00	618.2	☑	1.0	1.0	618.2	618.2
941	☑	☑	1.00	618.2	☑	1.00	618.2	☑	1.0	1.0	618.2	618.2
942	☑	☑	1.00	618.2	☑	1.00	618.2	☑	1.0	1.0	618.2	618.2
946	☑	☑	1.00	2240.0	☑	1.00	2240.0	☑	1.0	1.0	2240.0	2240.0
947	☑	☑	1.00	1800.0	☑	1.00	1800.0	☑	1.0	1.0	1800.0	1800.0
948	☑	☑	1.00	2240.0	☑	1.00	2240.0	☑	1.0	1.0	2240.0	2240.0
949	☑	☑	1.00	2240.0	☑	1.00	2240.0	☑	1.0	1.0	2240.0	2240.0
950	☑	☑	1.00	2240.0	☑	1.00	2240.0	☑	1.0	1.0	2240.0	2240.0
951	☑	☑	1.00	1800.0	☑	1.00	1800.0	☑	1.0	1.0	1800.0	1800.0
952	☑	☑	1.00	1800.0	☑	1.00	1800.0	☑	1.0	1.0	1800.0	1800.0

Projekt:

Model: HOŘICE-KONSTRUKCE 3D Budova obvodový plášť

## ■ 1.5 VZPĚRNÉ DÉLKY - PRUTY

Prut	Vzpěr		Vzpěr okolo osy y		Vzpěr okolo osy z			Klopení					
	č.	možný	možný	$k_{cr,y}$	$L_{cr,y}$ [mm]	možný	$k_{cr,z}$	$L_{cr,z}$ [mm]	možné	$k_z$	$k_w$	$L_w$ [mm]	$L_T$ [mm]
953	<input checked="" type="checkbox"/>	<input checked="" type="checkbox"/>	<input checked="" type="checkbox"/>	1.00	1800.0	<input checked="" type="checkbox"/>	1.00	1800.0	<input checked="" type="checkbox"/>	1.0	1.0	1800.0	1800.0
955	<input checked="" type="checkbox"/>	<input checked="" type="checkbox"/>	<input checked="" type="checkbox"/>	1.00	618.2	<input checked="" type="checkbox"/>	1.00	618.2	<input checked="" type="checkbox"/>	1.0	1.0	618.2	618.2
956	<input checked="" type="checkbox"/>	<input checked="" type="checkbox"/>	<input checked="" type="checkbox"/>	1.00	618.2	<input checked="" type="checkbox"/>	1.00	618.2	<input checked="" type="checkbox"/>	1.0	1.0	618.2	618.2
957	<input checked="" type="checkbox"/>	<input checked="" type="checkbox"/>	<input checked="" type="checkbox"/>	1.00	618.2	<input checked="" type="checkbox"/>	1.00	618.2	<input checked="" type="checkbox"/>	1.0	1.0	618.2	618.2
958	<input checked="" type="checkbox"/>	<input checked="" type="checkbox"/>	<input checked="" type="checkbox"/>	1.00	618.2	<input checked="" type="checkbox"/>	1.00	618.2	<input checked="" type="checkbox"/>	1.0	1.0	618.2	618.2
992	<input checked="" type="checkbox"/>	<input checked="" type="checkbox"/>	<input checked="" type="checkbox"/>	1.00	2240.0	<input checked="" type="checkbox"/>	1.00	2240.0	<input checked="" type="checkbox"/>	1.0	1.0	2240.0	2240.0
993	<input checked="" type="checkbox"/>	<input checked="" type="checkbox"/>	<input checked="" type="checkbox"/>	1.00	1580.0	<input checked="" type="checkbox"/>	1.00	1580.0	<input checked="" type="checkbox"/>	1.0	1.0	1580.0	1580.0
995	<input checked="" type="checkbox"/>	<input checked="" type="checkbox"/>	<input checked="" type="checkbox"/>	1.00	618.2	<input checked="" type="checkbox"/>	1.00	618.2	<input checked="" type="checkbox"/>	1.0	1.0	618.2	618.2
998	<input checked="" type="checkbox"/>	<input checked="" type="checkbox"/>	<input checked="" type="checkbox"/>	1.00	2240.0	<input checked="" type="checkbox"/>	1.00	2240.0	<input checked="" type="checkbox"/>	1.0	1.0	2240.0	2240.0
999	<input checked="" type="checkbox"/>	<input checked="" type="checkbox"/>	<input checked="" type="checkbox"/>	1.00	1580.0	<input checked="" type="checkbox"/>	1.00	1580.0	<input checked="" type="checkbox"/>	1.0	1.0	1580.0	1580.0
1000	<input checked="" type="checkbox"/>	<input checked="" type="checkbox"/>	<input checked="" type="checkbox"/>	1.00	618.2	<input checked="" type="checkbox"/>	1.00	618.2	<input checked="" type="checkbox"/>	1.0	1.0	618.2	618.2
1001	<input checked="" type="checkbox"/>	<input checked="" type="checkbox"/>	<input checked="" type="checkbox"/>	1.00	2240.0	<input checked="" type="checkbox"/>	1.00	2240.0	<input checked="" type="checkbox"/>	1.0	1.0	2240.0	2240.0
1002	<input checked="" type="checkbox"/>	<input checked="" type="checkbox"/>	<input checked="" type="checkbox"/>	1.00	1580.0	<input checked="" type="checkbox"/>	1.00	1580.0	<input checked="" type="checkbox"/>	1.0	1.0	1580.0	1580.0
1003	<input checked="" type="checkbox"/>	<input checked="" type="checkbox"/>	<input checked="" type="checkbox"/>	1.00	618.2	<input checked="" type="checkbox"/>	1.00	618.2	<input checked="" type="checkbox"/>	1.0	1.0	618.2	618.2
1004	<input checked="" type="checkbox"/>	<input checked="" type="checkbox"/>	<input checked="" type="checkbox"/>	1.00	2240.0	<input checked="" type="checkbox"/>	1.00	2240.0	<input checked="" type="checkbox"/>	1.0	1.0	2240.0	2240.0
1005	<input checked="" type="checkbox"/>	<input checked="" type="checkbox"/>	<input checked="" type="checkbox"/>	1.00	1580.0	<input checked="" type="checkbox"/>	1.00	1580.0	<input checked="" type="checkbox"/>	1.0	1.0	1580.0	1580.0
1006	<input checked="" type="checkbox"/>	<input checked="" type="checkbox"/>	<input checked="" type="checkbox"/>	1.00	618.2	<input checked="" type="checkbox"/>	1.00	618.2	<input checked="" type="checkbox"/>	1.0	1.0	618.2	618.2
1008	<input checked="" type="checkbox"/>	<input checked="" type="checkbox"/>	<input checked="" type="checkbox"/>	1.00	2240.0	<input checked="" type="checkbox"/>	1.00	2240.0	<input checked="" type="checkbox"/>	1.0	1.0	2240.0	2240.0
1009	<input checked="" type="checkbox"/>	<input checked="" type="checkbox"/>	<input checked="" type="checkbox"/>	1.00	1580.0	<input checked="" type="checkbox"/>	1.00	1580.0	<input checked="" type="checkbox"/>	1.0	1.0	1580.0	1580.0
1011	<input checked="" type="checkbox"/>	<input checked="" type="checkbox"/>	<input checked="" type="checkbox"/>	1.00	618.2	<input checked="" type="checkbox"/>	1.00	618.2	<input checked="" type="checkbox"/>	1.0	1.0	618.2	618.2
1014	<input checked="" type="checkbox"/>	<input checked="" type="checkbox"/>	<input checked="" type="checkbox"/>	1.00	2240.0	<input checked="" type="checkbox"/>	1.00	2240.0	<input checked="" type="checkbox"/>	1.0	1.0	2240.0	2240.0
1015	<input checked="" type="checkbox"/>	<input checked="" type="checkbox"/>	<input checked="" type="checkbox"/>	1.00	1580.0	<input checked="" type="checkbox"/>	1.00	1580.0	<input checked="" type="checkbox"/>	1.0	1.0	1580.0	1580.0
1016	<input checked="" type="checkbox"/>	<input checked="" type="checkbox"/>	<input checked="" type="checkbox"/>	1.00	618.2	<input checked="" type="checkbox"/>	1.00	618.2	<input checked="" type="checkbox"/>	1.0	1.0	618.2	618.2
1017	<input checked="" type="checkbox"/>	<input checked="" type="checkbox"/>	<input checked="" type="checkbox"/>	1.00	2240.0	<input checked="" type="checkbox"/>	1.00	2240.0	<input checked="" type="checkbox"/>	1.0	1.0	2240.0	2240.0
1018	<input checked="" type="checkbox"/>	<input checked="" type="checkbox"/>	<input checked="" type="checkbox"/>	1.00	1580.0	<input checked="" type="checkbox"/>	1.00	1580.0	<input checked="" type="checkbox"/>	1.0	1.0	1580.0	1580.0
1019	<input checked="" type="checkbox"/>	<input checked="" type="checkbox"/>	<input checked="" type="checkbox"/>	1.00	618.2	<input checked="" type="checkbox"/>	1.00	618.2	<input checked="" type="checkbox"/>	1.0	1.0	618.2	618.2
1020	<input checked="" type="checkbox"/>	<input checked="" type="checkbox"/>	<input checked="" type="checkbox"/>	1.00	2240.0	<input checked="" type="checkbox"/>	1.00	2240.0	<input checked="" type="checkbox"/>	1.0	1.0	2240.0	2240.0
1021	<input checked="" type="checkbox"/>	<input checked="" type="checkbox"/>	<input checked="" type="checkbox"/>	1.00	1580.0	<input checked="" type="checkbox"/>	1.00	1580.0	<input checked="" type="checkbox"/>	1.0	1.0	1580.0	1580.0
1022	<input checked="" type="checkbox"/>	<input checked="" type="checkbox"/>	<input checked="" type="checkbox"/>	1.00	618.2	<input checked="" type="checkbox"/>	1.00	618.2	<input checked="" type="checkbox"/>	1.0	1.0	618.2	618.2
1024	<input checked="" type="checkbox"/>	<input checked="" type="checkbox"/>	<input checked="" type="checkbox"/>	1.00	2240.0	<input checked="" type="checkbox"/>	1.00	2240.0	<input checked="" type="checkbox"/>	1.0	1.0	2240.0	2240.0
1025	<input checked="" type="checkbox"/>	<input checked="" type="checkbox"/>	<input checked="" type="checkbox"/>	1.00	1580.0	<input checked="" type="checkbox"/>	1.00	1580.0	<input checked="" type="checkbox"/>	1.0	1.0	1580.0	1580.0
1027	<input checked="" type="checkbox"/>	<input checked="" type="checkbox"/>	<input checked="" type="checkbox"/>	1.00	618.2	<input checked="" type="checkbox"/>	1.00	618.2	<input checked="" type="checkbox"/>	1.0	1.0	618.2	618.2
1030	<input checked="" type="checkbox"/>	<input checked="" type="checkbox"/>	<input checked="" type="checkbox"/>	1.00	2240.0	<input checked="" type="checkbox"/>	1.00	2240.0	<input checked="" type="checkbox"/>	1.0	1.0	2240.0	2240.0
1031	<input checked="" type="checkbox"/>	<input checked="" type="checkbox"/>	<input checked="" type="checkbox"/>	1.00	1580.0	<input checked="" type="checkbox"/>	1.00	1580.0	<input checked="" type="checkbox"/>	1.0	1.0	1580.0	1580.0
1032	<input checked="" type="checkbox"/>	<input checked="" type="checkbox"/>	<input checked="" type="checkbox"/>	1.00	618.2	<input checked="" type="checkbox"/>	1.00	618.2	<input checked="" type="checkbox"/>	1.0	1.0	618.2	618.2
1033	<input checked="" type="checkbox"/>	<input checked="" type="checkbox"/>	<input checked="" type="checkbox"/>	1.00	2240.0	<input checked="" type="checkbox"/>	1.00	2240.0	<input checked="" type="checkbox"/>	1.0	1.0	2240.0	2240.0
1034	<input checked="" type="checkbox"/>	<input checked="" type="checkbox"/>	<input checked="" type="checkbox"/>	1.00	1580.0	<input checked="" type="checkbox"/>	1.00	1580.0	<input checked="" type="checkbox"/>	1.0	1.0	1580.0	1580.0
1035	<input checked="" type="checkbox"/>	<input checked="" type="checkbox"/>	<input checked="" type="checkbox"/>	1.00	618.2	<input checked="" type="checkbox"/>	1.00	618.2	<input checked="" type="checkbox"/>	1.0	1.0	618.2	618.2
1036	<input checked="" type="checkbox"/>	<input checked="" type="checkbox"/>	<input checked="" type="checkbox"/>	1.00	2240.0	<input checked="" type="checkbox"/>	1.00	2240.0	<input checked="" type="checkbox"/>	1.0	1.0	2240.0	2240.0
1037	<input checked="" type="checkbox"/>	<input checked="" type="checkbox"/>	<input checked="" type="checkbox"/>	1.00	1580.0	<input checked="" type="checkbox"/>	1.00	1580.0	<input checked="" type="checkbox"/>	1.0	1.0	1580.0	1580.0
1038	<input checked="" type="checkbox"/>	<input checked="" type="checkbox"/>	<input checked="" type="checkbox"/>	1.00	618.2	<input checked="" type="checkbox"/>	1.00	618.2	<input checked="" type="checkbox"/>	1.0	1.0	618.2	618.2
1040	<input checked="" type="checkbox"/>	<input checked="" type="checkbox"/>	<input checked="" type="checkbox"/>	1.00	2240.0	<input checked="" type="checkbox"/>	1.00	2240.0	<input checked="" type="checkbox"/>	1.0	1.0	2240.0	2240.0
1041	<input checked="" type="checkbox"/>	<input checked="" type="checkbox"/>	<input checked="" type="checkbox"/>	1.00	1580.0	<input checked="" type="checkbox"/>	1.00	1580.0	<input checked="" type="checkbox"/>	1.0	1.0	1580.0	1580.0
1043	<input checked="" type="checkbox"/>	<input checked="" type="checkbox"/>	<input checked="" type="checkbox"/>	1.00	618.2	<input checked="" type="checkbox"/>	1.00	618.2	<input checked="" type="checkbox"/>	1.0	1.0	618.2	618.2
1046	<input checked="" type="checkbox"/>	<input checked="" type="checkbox"/>	<input checked="" type="checkbox"/>	1.00	2240.0	<input checked="" type="checkbox"/>	1.00	2240.0	<input checked="" type="checkbox"/>	1.0	1.0	2240.0	2240.0
1047	<input checked="" type="checkbox"/>	<input checked="" type="checkbox"/>	<input checked="" type="checkbox"/>	1.00	1580.0	<input checked="" type="checkbox"/>	1.00	1580.0	<input checked="" type="checkbox"/>	1.0	1.0	1580.0	1580.0
1048	<input checked="" type="checkbox"/>	<input checked="" type="checkbox"/>	<input checked="" type="checkbox"/>	1.00	618.2	<input checked="" type="checkbox"/>	1.00	618.2	<input checked="" type="checkbox"/>	1.0	1.0	618.2	618.2
1049	<input checked="" type="checkbox"/>	<input checked="" type="checkbox"/>	<input checked="" type="checkbox"/>	1.00	2240.0	<input checked="" type="checkbox"/>	1.00	2240.0	<input checked="" type="checkbox"/>	1.0	1.0	2240.0	2240.0
1050	<input checked="" type="checkbox"/>	<input checked="" type="checkbox"/>	<input checked="" type="checkbox"/>	1.00	1580.0	<input checked="" type="checkbox"/>	1.00	1580.0	<input checked="" type="checkbox"/>	1.0	1.0	1580.0	1580.0
1051	<input checked="" type="checkbox"/>	<input checked="" type="checkbox"/>	<input checked="" type="checkbox"/>	1.00	618.2	<input checked="" type="checkbox"/>	1.00	618.2	<input checked="" type="checkbox"/>	1.0	1.0	618.2	618.2
1052	<input checked="" type="checkbox"/>	<input checked="" type="checkbox"/>	<input checked="" type="checkbox"/>	1.00	2240.0	<input checked="" type="checkbox"/>	1.00	2240.0	<input checked="" type="checkbox"/>	1.0	1.0	2240.0	2240.0
1053	<input checked="" type="checkbox"/>	<input checked="" type="checkbox"/>	<input checked="" type="checkbox"/>	1.00	1580.0	<input checked="" type="checkbox"/>	1.00	1580.0	<input checked="" type="checkbox"/>	1.0	1.0	1580.0	1580.0
1054	<input checked="" type="checkbox"/>	<input checked="" type="checkbox"/>	<input checked="" type="checkbox"/>	1.00	618.2	<input checked="" type="checkbox"/>	1.00	618.2	<input checked="" type="checkbox"/>	1.0	1.0	618.2	618.2
1056	<input checked="" type="checkbox"/>	<input checked="" type="checkbox"/>	<input checked="" type="checkbox"/>	1.00	2240.0	<input checked="" type="checkbox"/>	1.00	2240.0	<input checked="" type="checkbox"/>	1.0	1.0	2240.0	2240.0
1057	<input checked="" type="checkbox"/>	<input checked="" type="checkbox"/>	<input checked="" type="checkbox"/>	1.00	1580.0	<input checked="" type="checkbox"/>	1.00	1580.0	<input checked="" type="checkbox"/>	1.0	1.0	1580.0	1580.0
1059	<input checked="" type="checkbox"/>	<input checked="" type="checkbox"/>	<input checked="" type="checkbox"/>	1.00	618.2	<input checked="" type="checkbox"/>	1.00	618.2	<input checked="" type="checkbox"/>	1.0	1.0	618.2	618.2
1062	<input checked="" type="checkbox"/>	<input checked="" type="checkbox"/>	<input checked="" type="checkbox"/>	1.00	2240.0	<input checked="" type="checkbox"/>	1.00	2240.0	<input checked="" type="checkbox"/>	1.0	1.0	2240.0	2240.0
1063	<input checked="" type="checkbox"/>	<input checked="" type="checkbox"/>	<input checked="" type="checkbox"/>	1.00	1580.0	<input checked="" type="checkbox"/>	1.00	1580.0	<input checked="" type="checkbox"/>	1.0	1.0	1580.0	1580.0
1064	<input checked="" type="checkbox"/>	<input checked="" type="checkbox"/>	<input checked="" type="checkbox"/>	1.00	618.2	<input checked="" type="checkbox"/>	1.00	618.2	<input checked="" type="checkbox"/>	1.0	1.0	618.2	618.2
1065	<input checked="" type="checkbox"/>	<input checked="" type="checkbox"/>	<input checked="" type="checkbox"/>	1.00	2240.0	<input checked="" type="checkbox"/>	1.00	2240.0	<input checked="" type="checkbox"/>	1.0	1.0	2240.0	2240.0
1066	<input checked="" type="checkbox"/>	<input checked="" type="checkbox"/>	<input checked="" type="checkbox"/>	1.00	1580.0	<input checked="" type="checkbox"/>	1.00	1580.0	<input checked="" type="checkbox"/>	1.0	1.0	1580.0	1580.0
1067	<input checked="" type="checkbox"/>	<input checked="" type="checkbox"/>	<input checked="" type="checkbox"/>	1.00	618.2	<input checked="" type="checkbox"/>	1.00	618.2	<input checked="" type="checkbox"/>	1.0	1.0	618.2	618.2
1068	<input checked="" type="checkbox"/>	<input checked="" type="checkbox"/>	<input checked="" type="checkbox"/>	1.00	2240.0	<input checked="" type="checkbox"/>	1.00	2240.0	<input checked="" type="checkbox"/>	1.0	1.0	2240.0	2240.0
1069	<input checked="" type="checkbox"/>	<input checked="" type="checkbox"/>	<input checked="" type="checkbox"/>	1.00	1580.0	<input checked="" type="checkbox"/>	1.00	1580.0	<input checked="" type="checkbox"/>	1.0	1.0	1580.0	1580.0
1070	<input checked="" type="checkbox"/>	<input checked="" type="checkbox"/>	<input checked="" type="checkbox"/>	1.00	618.2	<input checked="" type="checkbox"/>	1.00	618.2	<input checked="" type="checkbox"/>	1.0	1.0	618.2	618.2
1072	<input checked="" type="checkbox"/>	<input checked="" type="checkbox"/>	<input checked="" type="checkbox"/>	1.00	2240.0	<input checked="" type="checkbox"/>	1.00	2240.0	<input checked="" type="checkbox"/>	1.0	1.0	2240.0	2240.0
1073	<input checked="" type="checkbox"/>	<input checked="" type="checkbox"/>	<input checked="" type="checkbox"/>	1.00	1580.0	<input checked="" type="checkbox"/>	1.00	1580.0	<input checked="" type="checkbox"/>	1.0	1.0	1580.0	1580.0
1075	<input checked="" type="checkbox"/>	<input checked="" type="checkbox"/>	<input checked="" type="checkbox"/>	1.00	618.2	<input checked="" type="checkbox"/>	1.00	618.2	<input checked="" type="checkbox"/>	1.0	1.0	618.2	618.2
1078	<input checked="" type="checkbox"/>	<input checked="" type="checkbox"/>	<input checked="" type="checkbox"/>	1.00	2240.0	<input checked="" type="checkbox"/>	1.00	2240.0	<input checked="" type="checkbox"/>	1.0	1.0	2240.0	2240.0
1079	<input checked="" type="checkbox"/>	<input checked="" type="checkbox"/>	<input checked="" type="checkbox"/>	1.00	1580.0	<input checked="" type="checkbox"/>	1.00	1580.0	<input checked="" type="checkbox"/>	1.0	1.0	1580.0	1580.0
1080	<input checked="" type="checkbox"/>	<input checked="" type="checkbox"/>	<input checked="" type="checkbox"/>	1.00	618.2	<input checked="" type="checkbox"/>	1.00	618.2	<input checked="" type="checkbox"/>	1.0	1.0	618.2	618.2
1081	<input checked="" type="checkbox"/>	<input checked="" type="checkbox"/>	<input checked="" type="checkbox"/>	1.00	2240.0	<input checked="" type="checkbox"/>	1.00	2240.0	<input checked="" type="checkbox"/>	1.0	1.0	2240.0	2240.0
1082	<input checked="" type="checkbox"/>	<input checked="" type="checkbox"/>	<input checked="" type="checkbox"/>	1.00	1580.0	<input checked="" type="checkbox"/>	1.00	1580.0	<input checked="" type="checkbox"/>	1.0	1.0	1580.0	1580.0
1083	<input checked="" type="checkbox"/>	<input checked="" type="checkbox"/>	<input checked="" type="checkbox"/>	1.00	618.2	<input checked="" type="checkbox"/>	1.00	618.2	<input checked="" type="checkbox"/>	1.0	1.0	618.2	618.2
1084	<input checked="" type="checkbox"/>	<input checked="" type="checkbox"/>	<input checked="" type="checkbox"/>	1.00	2240.0	<input checked="" type="checkbox"/>	1.00	2240.0	<input checked="" type="checkbox"/>	1.0	1.0	2240.0	2240.0
1085	<input checked="" type="checkbox"/>	<input checked="" type="checkbox"/>	<input checked="" type="checkbox"/>	1.00	1580.0	<input checked="" type="checkbox"/>	1.00	1580.0	<input checked="" type="checkbox"/>	1.0	1.0	1580.0	1580.0
1086	<input checked="" type="checkbox"/>	<input checked="" type="checkbox"/>	<input checked="" type="checkbox"/>	1.00	618.2	<input checked="" type="checkbox"/>	1.00	618.2	<input checked="" type="checkbox"/>	1.0	1.0	618.2	618.2
1091	<input checked="" type="checkbox"/>	<input checked="" type="checkbox"/>	<input checked="" type="checkbox"/>	1.00	2240.0	<input checked="" type="checkbox"/>	1.00	2240.0	<input checked="" type="checkbox"/>	1.0	1.0	2240.0	2240.0
1092	<input checked="" type="checkbox"/>	<input checked="" type="checkbox"/>	<input checked="" type="checkbox"/>	1.00	1580.0	<input checked="" type="checkbox"/>	1.00	1580.0	<input checked="" type="checkbox"/>	1.0	1.0	1580.0	1580.0
1093	<input checked="" type="checkbox"/>	<input checked="" type="checkbox"/>	<input checked="" type="checkbox"/>	1.00	618.2	<input checked="" type="checkbox"/>	1.00	618.2	<input checked="" type="checkbox"/>	1.0	1.0	618.2	618.2
1094	<input checked="" type="checkbox"/>	<input checked="" type="checkbox"/>	<input checked="" type="checkbox"/>	1.00	2240.0	<input checked="" type="checkbox"/>	1.00	2240.0	<input checked="" type="checkbox"/>	1.0	1.0	2240.0	2240.0
1095	<input checked="" type="checkbox"/>	<input checked="" type="checkbox"/>	<input checked="" type="checkbox"/>	1.00	1580.0	<input checked="" type="checkbox"/>	1.00	1580.0	<input checked="" type="checkbox"/>	1.0	1.0	1580.0	1580.0
1096	<input checked="" type="checkbox"/>	<input checked="" type="checkbox"/>	<input checked="" type="checkbox"/>	1.00	618.2	<input checked="" type="checkbox"/>	1.00	618.2	<input checked="" type="checkbox"/>	1.0	1.0	618.2	618.2
1097	<input checked="" type="checkbox"/>	<input checked="" type="checkbox"/>	<input checked="" type="checkbox"/>	1.00	2240.0	<input checked="" type="checkbox"/>	1.00	2240.0	<input checked="" type="checkbox"/>	1.0	1.0	2240.0	2240.0
1098	<input checked="" type="checkbox"/>	<input checked="" type="checkbox"/>											

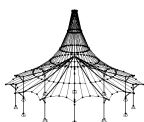


Projekt:

Model: HOŘICE-KONSTRUKCE\_3D\_Budova\_obvodový plášť

## ■ 1.9 ÚDAJE PRO POSOUZENÍ POUŽITELNOSTI

č.	Vztaženo na	Pruty/Sady č.	Vztažná délka		Směr	Nadvýšení e <sub>0</sub> [mm]	Typ nosníku
			Ručně	l [mm]			
1	Prut	914	<input type="checkbox"/>	2240.0	y, z	0.0	Nosník
2	Prut	915	<input type="checkbox"/>	1800.0	y, z	0.0	Nosník
3	Prut	916	<input type="checkbox"/>	2240.0	y, z	0.0	Nosník
4	Prut	917	<input type="checkbox"/>	2240.0	y, z	0.0	Nosník
5	Prut	918	<input type="checkbox"/>	2240.0	y, z	0.0	Nosník
6	Prut	919	<input type="checkbox"/>	1800.0	y, z	0.0	Nosník
7	Prut	920	<input type="checkbox"/>	1800.0	y, z	0.0	Nosník
8	Prut	921	<input type="checkbox"/>	1800.0	y, z	0.0	Nosník
9	Prut	923	<input type="checkbox"/>	618.2	y, z	0.0	Nosník
10	Prut	924	<input type="checkbox"/>	618.2	y, z	0.0	Nosník
11	Prut	925	<input type="checkbox"/>	618.2	y, z	0.0	Nosník
12	Prut	926	<input type="checkbox"/>	618.2	y, z	0.0	Nosník
13	Prut	930	<input type="checkbox"/>	2240.0	y, z	0.0	Nosník
14	Prut	931	<input type="checkbox"/>	1800.0	y, z	0.0	Nosník
15	Prut	932	<input type="checkbox"/>	2240.0	y, z	0.0	Nosník
16	Prut	933	<input type="checkbox"/>	2240.0	y, z	0.0	Nosník
17	Prut	934	<input type="checkbox"/>	2240.0	y, z	0.0	Nosník
18	Prut	935	<input type="checkbox"/>	1800.0	y, z	0.0	Nosník
19	Prut	936	<input type="checkbox"/>	1800.0	y, z	0.0	Nosník
20	Prut	937	<input type="checkbox"/>	1800.0	y, z	0.0	Nosník
21	Prut	939	<input type="checkbox"/>	618.2	y, z	0.0	Nosník
22	Prut	940	<input type="checkbox"/>	618.2	y, z	0.0	Nosník
23	Prut	941	<input type="checkbox"/>	618.2	y, z	0.0	Nosník
24	Prut	942	<input type="checkbox"/>	618.2	y, z	0.0	Nosník
25	Prut	946	<input type="checkbox"/>	2240.0	y, z	0.0	Nosník
26	Prut	947	<input type="checkbox"/>	1800.0	y, z	0.0	Nosník
27	Prut	948	<input type="checkbox"/>	2240.0	y, z	0.0	Nosník
28	Prut	949	<input type="checkbox"/>	2240.0	y, z	0.0	Nosník
29	Prut	950	<input type="checkbox"/>	2240.0	y, z	0.0	Nosník
30	Prut	951	<input type="checkbox"/>	1800.0	y, z	0.0	Nosník
31	Prut	952	<input type="checkbox"/>	1800.0	y, z	0.0	Nosník
32	Prut	953	<input type="checkbox"/>	1800.0	y, z	0.0	Nosník
33	Prut	955	<input type="checkbox"/>	618.2	y, z	0.0	Nosník
34	Prut	956	<input type="checkbox"/>	618.2	y, z	0.0	Nosník
35	Prut	957	<input type="checkbox"/>	618.2	y, z	0.0	Nosník
36	Prut	958	<input type="checkbox"/>	618.2	y, z	0.0	Nosník
37	Prut	992	<input type="checkbox"/>	2240.0	y, z	0.0	Nosník
38	Prut	993	<input type="checkbox"/>	1580.0	y, z	0.0	Nosník
39	Prut	995	<input type="checkbox"/>	618.2	y, z	0.0	Nosník
40	Prut	998	<input type="checkbox"/>	2240.0	y, z	0.0	Nosník
41	Prut	999	<input type="checkbox"/>	1580.0	y, z	0.0	Nosník
42	Prut	1000	<input type="checkbox"/>	618.2	y, z	0.0	Nosník
43	Prut	1001	<input type="checkbox"/>	2240.0	y, z	0.0	Nosník
44	Prut	1002	<input type="checkbox"/>	1580.0	y, z	0.0	Nosník
45	Prut	1003	<input type="checkbox"/>	618.2	y, z	0.0	Nosník
46	Prut	1004	<input type="checkbox"/>	2240.0	y, z	0.0	Nosník
47	Prut	1005	<input type="checkbox"/>	1580.0	y, z	0.0	Nosník
48	Prut	1006	<input type="checkbox"/>	618.2	y, z	0.0	Nosník
49	Prut	1008	<input type="checkbox"/>	2240.0	y, z	0.0	Nosník
50	Prut	1009	<input type="checkbox"/>	1580.0	y, z	0.0	Nosník
51	Prut	1011	<input type="checkbox"/>	618.2	y, z	0.0	Nosník
52	Prut	1014	<input type="checkbox"/>	2240.0	y, z	0.0	Nosník
53	Prut	1015	<input type="checkbox"/>	1580.0	y, z	0.0	Nosník
54	Prut	1016	<input type="checkbox"/>	618.2	y, z	0.0	Nosník
55	Prut	1017	<input type="checkbox"/>	2240.0	y, z	0.0	Nosník
56	Prut	1018	<input type="checkbox"/>	1580.0	y, z	0.0	Nosník
57	Prut	1019	<input type="checkbox"/>	618.2	y, z	0.0	Nosník
58	Prut	1020	<input type="checkbox"/>	2240.0	y, z	0.0	Nosník
59	Prut	1021	<input type="checkbox"/>	1580.0	y, z	0.0	Nosník
60	Prut	1022	<input type="checkbox"/>	618.2	y, z	0.0	Nosník
61	Prut	1024	<input type="checkbox"/>	2240.0	y, z	0.0	Nosník
62	Prut	1025	<input type="checkbox"/>	1580.0	y, z	0.0	Nosník
63	Prut	1027	<input type="checkbox"/>	618.2	y, z	0.0	Nosník
64	Prut	1030	<input type="checkbox"/>	2240.0	y, z	0.0	Nosník
65	Prut	1031	<input type="checkbox"/>	1580.0	y, z	0.0	Nosník
66	Prut	1032	<input type="checkbox"/>	618.2	y, z	0.0	Nosník
67	Prut	1033	<input type="checkbox"/>	2240.0	y, z	0.0	Nosník
68	Prut	1034	<input type="checkbox"/>	1580.0	y, z	0.0	Nosník
69	Prut	1035	<input type="checkbox"/>	618.2	y, z	0.0	Nosník
70	Prut	1036	<input type="checkbox"/>	2240.0	y, z	0.0	Nosník
71	Prut	1037	<input type="checkbox"/>	1580.0	y, z	0.0	Nosník
72	Prut	1038	<input type="checkbox"/>	618.2	y, z	0.0	Nosník
73	Prut	1040	<input type="checkbox"/>	2240.0	y, z	0.0	Nosník
74	Prut	1041	<input type="checkbox"/>	1580.0	y, z	0.0	Nosník
75	Prut	1043	<input type="checkbox"/>	618.2	y, z	0.0	Nosník
76	Prut	1046	<input type="checkbox"/>	2240.0	y, z	0.0	Nosník
77	Prut	1047	<input type="checkbox"/>	1580.0	y, z	0.0	Nosník
78	Prut	1048	<input type="checkbox"/>	618.2	y, z	0.0	Nosník
79	Prut	1049	<input type="checkbox"/>	2240.0	y, z	0.0	Nosník
80	Prut	1050	<input type="checkbox"/>	1580.0	y, z	0.0	Nosník
81	Prut	1051	<input type="checkbox"/>	618.2	y, z	0.0	Nosník
82	Prut	1052	<input type="checkbox"/>	2240.0	y, z	0.0	Nosník
83	Prut	1053	<input type="checkbox"/>	1580.0	y, z	0.0	Nosník
84	Prut	1054	<input type="checkbox"/>	618.2	y, z	0.0	Nosník
85	Prut	1056	<input type="checkbox"/>	2240.0	y, z	0.0	Nosník
86	Prut	1057	<input type="checkbox"/>	1580.0	y, z	0.0	Nosník
87	Prut	1059	<input type="checkbox"/>	618.2	y, z	0.0	Nosník
88	Prut	1062	<input type="checkbox"/>	2240.0	y, z	0.0	Nosník
89	Prut	1063	<input type="checkbox"/>	1580.0	y, z	0.0	Nosník
90	Prut	1064	<input type="checkbox"/>	618.2	y, z	0.0	Nosník
91	Prut	1065	<input type="checkbox"/>	2240.0	y, z	0.0	Nosník
92	Prut	1066	<input type="checkbox"/>	1580.0	y, z	0.0	Nosník
93	Prut	1067	<input type="checkbox"/>	618.2	y, z	0.0	Nosník
94	Prut	1068	<input type="checkbox"/>	2240.0	y, z	0.0	Nosník



Projekt:

Model: HOŘICE-KONSTRUKCE\_3D\_Budova\_obvodový plášť

## ■ 1.9 ÚDAJE PRO POSOUZENÍ POUŽITELNOSTI

č.	Vztaženo na	Pruty/Sady č.	Vztažná délka		Směr	Nadvýšení $e_0$ [mm]	Typ nosníku
			Ručně	$l$ [mm]			
95	Prut	1069	<input type="checkbox"/>	1580.0	y, z	0.0	Nosník
96	Prut	1070	<input type="checkbox"/>	618.2	y, z	0.0	Nosník
97	Prut	1072	<input type="checkbox"/>	2240.0	y, z	0.0	Nosník
98	Prut	1073	<input type="checkbox"/>	1580.0	y, z	0.0	Nosník
99	Prut	1075	<input type="checkbox"/>	618.2	y, z	0.0	Nosník
100	Prut	1078	<input type="checkbox"/>	2240.0	y, z	0.0	Nosník
101	Prut	1079	<input type="checkbox"/>	1580.0	y, z	0.0	Nosník
102	Prut	1080	<input type="checkbox"/>	618.2	y, z	0.0	Nosník
103	Prut	1081	<input type="checkbox"/>	2240.0	y, z	0.0	Nosník
104	Prut	1082	<input type="checkbox"/>	1580.0	y, z	0.0	Nosník
105	Prut	1083	<input type="checkbox"/>	618.2	y, z	0.0	Nosník
106	Prut	1084	<input type="checkbox"/>	2240.0	y, z	0.0	Nosník
107	Prut	1085	<input type="checkbox"/>	1580.0	y, z	0.0	Nosník
108	Prut	1086	<input type="checkbox"/>	618.2	y, z	0.0	Nosník
109	Prut	1091	<input type="checkbox"/>	2240.0	y, z	0.0	Nosník
110	Prut	1092	<input type="checkbox"/>	1580.0	y, z	0.0	Nosník
111	Prut	1093	<input type="checkbox"/>	618.2	y, z	0.0	Nosník
112	Prut	1094	<input type="checkbox"/>	2240.0	y, z	0.0	Nosník
113	Prut	1095	<input type="checkbox"/>	1580.0	y, z	0.0	Nosník
114	Prut	1096	<input type="checkbox"/>	618.2	y, z	0.0	Nosník
115	Prut	1097	<input type="checkbox"/>	2240.0	y, z	0.0	Nosník
116	Prut	1098	<input type="checkbox"/>	1580.0	y, z	0.0	Nosník
117	Prut	1099	<input type="checkbox"/>	618.2	y, z	0.0	Nosník

## ■ 2.2 POSOUZENÍ PO PRŮŘEZECH

Průř. č.	Prut č.	Místo $x$ [mm]	ZS/KZ/ KV	Návrh		Rovnice č.	Označení
19	KC 140/40x2.25						
	956	309.1	KV1	0.00	$\leq 1$	CS100)	Zanedbatelné vnitřní síly
	1062	1464.9	KV1	0.03	$\leq 1$	CS102)	Posouzení průřezu - tlak podle 6.2.4
	1008	2240.0	KV1	0.05	$\leq 1$	CS103)	Posouzení průřezu - tlak podle 6.2.4 - třída 4
	921	900.0	KV1	0.09	$\leq 1$	CS112)	Posouzení průřezu - ohyb okolo $y$ podle 6.2.5 - třída 3
	926	309.1	KV1	0.00	$\leq 1$	CS113)	Posouzení průřezu - ohyb okolo $y$ podle 6.2.5 - třída 4
	918	0.0	KV1	0.03	$\leq 1$	CS122)	Posouzení průřezu - smyk ve směru $z$ podle 6.2.6(4) - třída 3 nebo 4
	921	900.0	KV1	0.09	$\leq 1$	CS143)	Posouzení průřezu - ohyb a smyk podle 6.2.9.2 a 6.2.10 - třída 3 - obecný průřez
	926	309.1	KV1	0.00	$\leq 1$	CS145)	Posouzení průřezu - ohyb a smyk podle 6.2.9.3 a 6.2.10 - třída 4
	918	1120.5	KV1	0.17	$\leq 1$	CS183)	Posouzení průřezu - ohyb, smyk a osová síla podle 6.2.9.2 - třída 3 - obecný průřez
	1008	1344.0	KV1	0.08	$\leq 1$	CS191)	Posouzení průřezu - ohyb, smyk a osová síla podle 6.2.9.3 - třída 4
	1008	2240.0	KV1	0.05	$\leq 1$	CS211)	Posouzení průřezu - ohyb okolo $z$ , smyk a osová síla podle 6.2.9.3 - třída 4
	914	924.8	KV1	0.11	$\leq 1$	CS223)	Posouzení průřezu - dvousý ohyb, smyk a osová síla podle 6.2.10 a 6.2.9 - třída 3 - obecný průřez
	1078	1344.0	KV1	0.07	$\leq 1$	CS231)	Posouzení průřezu - dvousý ohyb, smyk a osová síla podle 6.2.10 a 6.2.9.3 - třída 4
	1062	1464.9	KV1	0.04	$\leq 1$	ST302)	Posouzení stability - vzpěr okolo $y$ podle 6.3.1.1 a 6.3.1.2
	1008	2240.0	KV1	0.05	$\leq 1$	ST303)	Posouzení stability - vzpěr okolo $y$ podle 6.3.1.1 a 6.3.1.2(4) - třída 4
	1008	2240.0	KV1	0.05	$\leq 1$	ST304)	Posouzení stability - vzpěr okolo $y$ podle 6.3.1.1 a 6.3.1.2 - třída 4
	1057	773.5	KV1	0.05	$\leq 1$	ST313)	Posouzení stability - vzpěr okolo $z$ podle 6.3.1.1 a 6.3.1.2(4) - třída 4
	1008	2240.0	KV1	0.20	$\leq 1$	ST314)	Posouzení stability - vzpěr okolo $z$ podle 6.3.1.1 a 6.3.1.2 - třída 4
	1057	773.5	KV1	0.05	$\leq 1$	ST327)	Posouzení stability - prostorový vzpěr podle 6.3.1.4 a 6.3.1.2(4) - třída 4
	1008	2240.0	KV1	0.20	$\leq 1$	ST328)	Posouzení stability - prostorový vzpěr podle 6.3.1.4 a 6.3.1.2 - třída 4
	1082	803.5	KV1	0.07	$\leq 1$	ST332)	Posouzení stability - klopení podle 6.3.2.1 a 6.3.2.2(4) - obecný případ
	918	925.2	KV1	0.74	$\leq 1$	ST333)	Posouzení stability - klopení podle 6.3.2.1 a 6.3.2.2 - obecný případ
	918	1120.5	KV1	0.69	$\leq 1$	ST373)	Posouzení stability - ohyb a tlak podle 6.3.4, obecná metoda, Johannes Naumes
	914	0.0	KV2	0.00	$\leq 1$	SE400)	Použitelnost - malé, resp. velmi malé deformace
	918	1120.5	KV2	0.15	$\leq 1$	SE401)	Použitelnost - kombinace zatížení 'charakteristická' - směr $z$
	951	898.8	KV2	0.00	$\leq 1$	SE406)	Použitelnost - kombinace zatížení 'charakteristická' - směr $y$

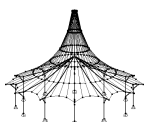
RF-STEEL EC3

PR5

Posouzení ocelových prutů  
podle Eurokódu 3

## ■ 1.1 ZÁKLADNÍ ÚDAJE

Pruty k posouzení:	469,470,863-865,874,879-881,890,895-897,906,911-913,922,927-929,938,943-945,954,959,962,965,987,988,990,991,994,997,1007,1010,1013,1023,1026,1029,1039,1042,1045,1055,1058,1061,1071,1074,1077,1087,1088,1090,1108,1109,1118,1119,1124,1129,1134,1139,1141,1158,1166,1181-1188,1246-1249,1251,1252
Sady prutů k posouzení:	
Národní příloha:	ČSN
Posouzení mezního stavu únosnosti	
Kombinace výsledků k posouzení:	KV1 MSÚ (STR/GEO) - trvalá/dočasná - rovn. 6.10a a 6.10b



KRStatic s.r.o.

Korunní 2569/108, 101 00 Praha 10

Obvodový plášť

RF-STEEL EC3

Projekt:

Model: HOŘICE-KONSTRUKCE\_3D\_Budova\_obvodový plášť

## 1.1 ZÁKLADNÍ ÚDAJE

Posouzení mezního stavu použitelnosti  
Kombinace výsledků k posouzení:

KV2

MSP - charakteristická

## 1.2 MATERIÁLY

Materiál - č.	Označení materiálu	Modul pruž. E [MPa]	Smykový modul G [MPa]	Poissonův součinitel $\nu$ [-]	Mez kluzu $f_{yk}$ [MPa]	Max. tloušťka dílce t [mm]
3	Ocel S 235   ČSN EN 1993-1-1:2005-05	210000.000	80769.200	0.300	235.000 215.000 215.000 195.000 185.000 175.000 165.000	40.0 80.0 100.0 150.0 200.0 250.0 400.0
5	OCEL Ocel S 355   ČSN EN 1993-1-1:2005-05	210000.000	80769.200	0.300	355.000 335.000 315.000 295.000 285.000 275.000	40.0 80.0 100.0 150.0 200.0 250.0

QRO 140x5 ( za tepla ) KCO 140/40x2.25

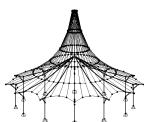


## 1.3 PRŮŘEZY

Průř. č.	Materiál - č.	Označení průřezu	Typ průřezu	Max. návrhové využití	Komentář
18	3	QRO 140x5 ( za tepla )	Dutý profil válcov.	0.56	
20	5	Průřez v RFEM a RF-STEEL EC3 není identický. KCO 140/40x2.25	Obecné	1.76	

## 1.5 VZPĚRNÉ DÉLKY - PRUTY

Prut č.	Vzpěr možný	Vzpěr okolo osy y		Vzpěr okolo osy z			Klopení					
		možný	$k_{cr,y}$	$L_{cr,y}$ [mm]	možný	$k_{cr,z}$	$L_{cr,z}$ [mm]	možné	$k_z$	$k_w$	$L_w$ [mm]	$L_T$ [mm]
469	<input checked="" type="checkbox"/>	<input checked="" type="checkbox"/>	1.00	3600.0	<input checked="" type="checkbox"/>	1.00	3600.0	<input type="checkbox"/>	1.0	1.0	3600.0	3600.0
470	<input checked="" type="checkbox"/>	<input checked="" type="checkbox"/>	1.00	3600.0	<input checked="" type="checkbox"/>	1.00	3600.0	<input type="checkbox"/>	1.0	1.0	3600.0	3600.0
863	<input checked="" type="checkbox"/>	<input checked="" type="checkbox"/>	1.00	6000.0	<input checked="" type="checkbox"/>	1.00	6000.0	<input type="checkbox"/>	1.0	1.0	6000.0	6000.0
864	<input checked="" type="checkbox"/>	<input checked="" type="checkbox"/>	1.00	6000.0	<input checked="" type="checkbox"/>	1.00	6000.0	<input type="checkbox"/>	1.0	1.0	6000.0	6000.0
865	<input checked="" type="checkbox"/>	<input checked="" type="checkbox"/>	1.00	6000.0	<input checked="" type="checkbox"/>	1.00	6000.0	<input type="checkbox"/>	1.0	1.0	6000.0	6000.0
874	<input checked="" type="checkbox"/>	<input checked="" type="checkbox"/>	1.00	6000.0	<input checked="" type="checkbox"/>	1.00	6000.0	<input type="checkbox"/>	1.0	1.0	6000.0	6000.0
879	<input checked="" type="checkbox"/>	<input checked="" type="checkbox"/>	1.00	6000.0	<input checked="" type="checkbox"/>	1.00	6000.0	<input type="checkbox"/>	1.0	1.0	6000.0	6000.0
880	<input checked="" type="checkbox"/>	<input checked="" type="checkbox"/>	1.00	6000.0	<input checked="" type="checkbox"/>	1.00	6000.0	<input type="checkbox"/>	1.0	1.0	6000.0	6000.0
881	<input checked="" type="checkbox"/>	<input checked="" type="checkbox"/>	1.00	6000.0	<input checked="" type="checkbox"/>	1.00	6000.0	<input type="checkbox"/>	1.0	1.0	6000.0	6000.0
890	<input checked="" type="checkbox"/>	<input checked="" type="checkbox"/>	1.00	6000.0	<input checked="" type="checkbox"/>	1.00	6000.0	<input type="checkbox"/>	1.0	1.0	6000.0	6000.0
895	<input checked="" type="checkbox"/>	<input checked="" type="checkbox"/>	1.00	6000.0	<input checked="" type="checkbox"/>	1.00	6000.0	<input type="checkbox"/>	1.0	1.0	6000.0	6000.0
896	<input checked="" type="checkbox"/>	<input checked="" type="checkbox"/>	1.00	6000.0	<input checked="" type="checkbox"/>	1.00	6000.0	<input type="checkbox"/>	1.0	1.0	6000.0	6000.0
897	<input checked="" type="checkbox"/>	<input checked="" type="checkbox"/>	1.00	6000.0	<input checked="" type="checkbox"/>	1.00	6000.0	<input type="checkbox"/>	1.0	1.0	6000.0	6000.0
906	<input checked="" type="checkbox"/>	<input checked="" type="checkbox"/>	1.00	6000.0	<input checked="" type="checkbox"/>	1.00	6000.0	<input type="checkbox"/>	1.0	1.0	6000.0	6000.0
911	<input checked="" type="checkbox"/>	<input checked="" type="checkbox"/>	1.00	6000.0	<input checked="" type="checkbox"/>	1.00	6000.0	<input type="checkbox"/>	1.0	1.0	6000.0	6000.0
912	<input checked="" type="checkbox"/>	<input checked="" type="checkbox"/>	1.00	6000.0	<input checked="" type="checkbox"/>	1.00	6000.0	<input type="checkbox"/>	1.0	1.0	6000.0	6000.0
913	<input checked="" type="checkbox"/>	<input checked="" type="checkbox"/>	1.00	6000.0	<input checked="" type="checkbox"/>	1.00	6000.0	<input type="checkbox"/>	1.0	1.0	6000.0	6000.0
922	<input checked="" type="checkbox"/>	<input checked="" type="checkbox"/>	1.00	6000.0	<input checked="" type="checkbox"/>	1.00	6000.0	<input type="checkbox"/>	1.0	1.0	6000.0	6000.0
927	<input checked="" type="checkbox"/>	<input checked="" type="checkbox"/>	1.00	6000.0	<input checked="" type="checkbox"/>	1.00	6000.0	<input type="checkbox"/>	1.0	1.0	6000.0	6000.0
928	<input checked="" type="checkbox"/>	<input checked="" type="checkbox"/>	1.00	6000.0	<input checked="" type="checkbox"/>	1.00	6000.0	<input type="checkbox"/>	1.0	1.0	6000.0	6000.0
929	<input checked="" type="checkbox"/>	<input checked="" type="checkbox"/>	1.00	6000.0	<input checked="" type="checkbox"/>	1.00	6000.0	<input type="checkbox"/>	1.0	1.0	6000.0	6000.0
938	<input checked="" type="checkbox"/>	<input checked="" type="checkbox"/>	1.00	6000.0	<input checked="" type="checkbox"/>	1.00	6000.0	<input type="checkbox"/>	1.0	1.0	6000.0	6000.0
943	<input checked="" type="checkbox"/>	<input checked="" type="checkbox"/>	1.00	6000.0	<input checked="" type="checkbox"/>	1.00	6000.0	<input type="checkbox"/>	1.0	1.0	6000.0	6000.0
944	<input checked="" type="checkbox"/>	<input checked="" type="checkbox"/>	1.00	6000.0	<input checked="" type="checkbox"/>	1.00	6000.0	<input type="checkbox"/>	1.0	1.0	6000.0	6000.0
945	<input checked="" type="checkbox"/>	<input checked="" type="checkbox"/>	1.00	6000.0	<input checked="" type="checkbox"/>	1.00	6000.0	<input type="checkbox"/>	1.0	1.0	6000.0	6000.0
954	<input checked="" type="checkbox"/>	<input checked="" type="checkbox"/>	1.00	6000.0	<input checked="" type="checkbox"/>	1.00	6000.0	<input type="checkbox"/>	1.0	1.0	6000.0	6000.0
959	<input checked="" type="checkbox"/>	<input checked="" type="checkbox"/>	1.00	5000.0	<input checked="" type="checkbox"/>	1.00	5000.0	<input type="checkbox"/>	1.0	1.0	5000.0	5000.0
962	<input checked="" type="checkbox"/>	<input checked="" type="checkbox"/>	1.00	5000.0	<input checked="" type="checkbox"/>	1.00	5000.0	<input type="checkbox"/>	1.0	1.0	5000.0	5000.0
965	<input checked="" type="checkbox"/>	<input checked="" type="checkbox"/>	1.00	5000.0	<input checked="" type="checkbox"/>	1.00	5000.0	<input type="checkbox"/>	1.0	1.0	5000.0	5000.0
987	<input checked="" type="checkbox"/>	<input checked="" type="checkbox"/>	1.00	5000.0	<input checked="" type="checkbox"/>	1.00	5000.0	<input type="checkbox"/>	1.0	1.0	5000.0	5000.0
988	<input checked="" type="checkbox"/>	<input checked="" type="checkbox"/>	1.00	5000.0	<input checked="" type="checkbox"/>	1.00	5000.0	<input type="checkbox"/>	1.0	1.0	5000.0	5000.0
990	<input checked="" type="checkbox"/>	<input checked="" type="checkbox"/>	1.00	5000.0	<input checked="" type="checkbox"/>	1.00	5000.0	<input type="checkbox"/>	1.0	1.0	5000.0	5000.0
991	<input checked="" type="checkbox"/>	<input checked="" type="checkbox"/>	1.00	5000.0	<input checked="" type="checkbox"/>	1.00	5000.0	<input type="checkbox"/>	1.0	1.0	5000.0	5000.0
994	<input checked="" type="checkbox"/>	<input checked="" type="checkbox"/>	1.00	5000.0	<input checked="" type="checkbox"/>	1.00	5000.0	<input type="checkbox"/>	1.0	1.0	5000.0	5000.0
997	<input checked="" type="checkbox"/>	<input checked="" type="checkbox"/>	1.00	5000.0	<input checked="" type="checkbox"/>	1.00	5000.0	<input type="checkbox"/>	1.0	1.0	5000.0	5000.0
1007	<input checked="" type="checkbox"/>	<input checked="" type="checkbox"/>	1.00	5000.0	<input checked="" type="checkbox"/>	1.00	5000.0	<input type="checkbox"/>	1.0	1.0	5000.0	5000.0
1010	<input checked="" type="checkbox"/>	<input checked="" type="checkbox"/>	1.00	5000.0	<input checked="" type="checkbox"/>	1.00	5000.0	<input type="checkbox"/>	1.0	1.0	5000.0	5000.0
1013	<input checked="" type="checkbox"/>	<input checked="" type="checkbox"/>	1.00	5000.0	<input checked="" type="checkbox"/>	1.00	5000.0	<input type="checkbox"/>	1.0	1.0	5000.0	5000.0
1023	<input checked="" type="checkbox"/>	<input checked="" type="checkbox"/>	1.00	5000.0	<input checked="" type="checkbox"/>	1.00	5000.0	<input type="checkbox"/>	1.0	1.0	5000.0	5000.0
1026	<input checked="" type="checkbox"/>	<input checked="" type="checkbox"/>	1.00	5000.0	<input checked="" type="checkbox"/>	1.00	5000.0	<input type="checkbox"/>	1.0	1.0	5000.0	5000.0
1029	<input checked="" type="checkbox"/>	<input checked="" type="checkbox"/>	1.00	5000.0	<input checked="" type="checkbox"/>	1.00	5000.0	<input type="checkbox"/>	1.0	1.0	5000.0	5000.0
1039	<input checked="" type="checkbox"/>	<input checked="" type="checkbox"/>	1.00	5000.0	<input checked="" type="checkbox"/>	1.00	5000.0	<input type="checkbox"/>	1.0	1.0	5000.0	5000.0
1042	<input checked="" type="checkbox"/>	<input checked="" type="checkbox"/>	1.00	5000.0	<input checked="" type="checkbox"/>	1.00	5000.0	<input type="checkbox"/>	1.0	1.0	5000.0	5000.0
1045	<input checked="" type="checkbox"/>	<input checked="" type="checkbox"/>	1.00	5000.0	<input checked="" type="checkbox"/>	1.00	5000.0	<input type="checkbox"/>	1.0	1.0	5000.0	5000.0
1055	<input checked="" type="checkbox"/>	<input checked="" type="checkbox"/>	1.00	5000.0	<input checked="" type="checkbox"/>	1.00	5000.0	<input type="checkbox"/>	1.0	1.0	5000.0	5000.0
1058	<input checked="" type="checkbox"/>	<input checked="" type="checkbox"/>	1.00	5000.0	<input checked="" type="checkbox"/>	1.00	5000.0	<input type="checkbox"/>	1.0	1.0	5000.0	5000.0
1061	<input checked="" type="checkbox"/>	<input checked="" type="checkbox"/>	1.00	5000.0	<input checked="" type="checkbox"/>	1.00	5000.0	<input type="checkbox"/>	1.0	1.0	5000.0	5000.0
1071	<input checked="" type="checkbox"/>	<input checked="" type="checkbox"/>	1.00	5000.0	<input checked="" type="checkbox"/>	1.00	5000.0	<input type="checkbox"/>	1.0	1.0	5000.0	5000.0
1074	<input checked="" type="checkbox"/>	<input checked="" type="checkbox"/>	1.00	5000.0	<input checked="" type="checkbox"/>	1.00	5000.0	<input type="checkbox"/>	1.0	1.0	5000.0	5000.0
1077	<input checked="" type="checkbox"/>	<input checked="" type="checkbox"/>	1.00	5000.0	<input checked="" type="checkbox"/>	1.00	5000.0	<input type="checkbox"/>	1.0	1.0	5000.0	5000.0
1087	<input checked="" type="checkbox"/>	<input checked="" type="checkbox"/>	1.00	3600.0	<input checked="" type="checkbox"/>	1.00	3600.0	<input type="checkbox"/>	1.0	1.0	3600.0	3600.0
1088	<input checked="" type="checkbox"/>	<input checked="" type="checkbox"/>	1.00	3600.0	<input checked="" type="checkbox"/>	1.00	3600.0	<input type="checkbox"/>	1.0	1.0	3600.0	3600.0
1090	<input checked="" type="checkbox"/>	<input checked="" type="checkbox"/>	1.00	3600.0	<input checked="" type="checkbox"/>	1.00	3600.0	<input type="checkbox"/>	1.0	1.0	3600.0	3600.0
1108	<input checked="" type="checkbox"/>	<input checked="" type="checkbox"/>	1.00	5000.0	<input checked="" type="checkbox"/>	1.00	5000.0	<input type="checkbox"/>	1.0	1.0	5000.0	5000.0



Projekt:

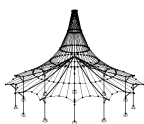
Model: HOŘICE-KONSTRUKCE\_3D\_Budova\_obvodový plášť

## ■ 1.5 VZPĚRNÉ DÉLKY - PRUTY

Prut č.	Vzpěr možný	Vzpěr okolo osy y		Vzpěr okolo osy z			Klopení					
		možný	$k_{cr,y}$	$L_{cr,y}$ [mm]	možný	$k_{cr,z}$	$L_{cr,z}$ [mm]	možné	$k_z$	$k_w$	$L_w$ [mm]	$L_T$ [mm]
1109	<input checked="" type="checkbox"/>	<input checked="" type="checkbox"/>	1.00	5000.0	<input checked="" type="checkbox"/>	1.00	5000.0	<input type="checkbox"/>	1.0	1.0	5000.0	5000.0
1118	<input checked="" type="checkbox"/>	<input checked="" type="checkbox"/>	1.00	5000.0	<input checked="" type="checkbox"/>	1.00	5000.0	<input type="checkbox"/>	1.0	1.0	5000.0	5000.0
1119	<input checked="" type="checkbox"/>	<input checked="" type="checkbox"/>	1.00	5000.0	<input checked="" type="checkbox"/>	1.00	5000.0	<input type="checkbox"/>	1.0	1.0	5000.0	5000.0
1124	<input checked="" type="checkbox"/>	<input checked="" type="checkbox"/>	1.00	5000.0	<input checked="" type="checkbox"/>	1.00	5000.0	<input type="checkbox"/>	1.0	1.0	5000.0	5000.0
1129	<input checked="" type="checkbox"/>	<input checked="" type="checkbox"/>	1.00	5000.0	<input checked="" type="checkbox"/>	1.00	5000.0	<input type="checkbox"/>	1.0	1.0	5000.0	5000.0
1134	<input checked="" type="checkbox"/>	<input checked="" type="checkbox"/>	1.00	5000.0	<input checked="" type="checkbox"/>	1.00	5000.0	<input type="checkbox"/>	1.0	1.0	5000.0	5000.0
1139	<input checked="" type="checkbox"/>	<input checked="" type="checkbox"/>	1.00	5000.0	<input checked="" type="checkbox"/>	1.00	5000.0	<input type="checkbox"/>	1.0	1.0	5000.0	5000.0
1141	<input checked="" type="checkbox"/>	<input checked="" type="checkbox"/>	1.00	5000.0	<input checked="" type="checkbox"/>	1.00	5000.0	<input type="checkbox"/>	1.0	1.0	5000.0	5000.0
1158	<input checked="" type="checkbox"/>	<input checked="" type="checkbox"/>	1.00	5000.0	<input checked="" type="checkbox"/>	1.00	5000.0	<input type="checkbox"/>	1.0	1.0	5000.0	5000.0
1166	<input checked="" type="checkbox"/>	<input checked="" type="checkbox"/>	1.00	5000.0	<input checked="" type="checkbox"/>	1.00	5000.0	<input type="checkbox"/>	1.0	1.0	5000.0	5000.0
1181	<input checked="" type="checkbox"/>	<input checked="" type="checkbox"/>	1.00	4950.0	<input checked="" type="checkbox"/>	1.00	4950.0	<input type="checkbox"/>	1.0	1.0	4950.0	4950.0
1182	<input checked="" type="checkbox"/>	<input checked="" type="checkbox"/>	1.00	4050.0	<input checked="" type="checkbox"/>	1.00	4050.0	<input type="checkbox"/>	1.0	1.0	4050.0	4050.0
1183	<input checked="" type="checkbox"/>	<input checked="" type="checkbox"/>	1.00	3600.0	<input checked="" type="checkbox"/>	1.00	3600.0	<input type="checkbox"/>	1.0	1.0	3600.0	3600.0
1184	<input checked="" type="checkbox"/>	<input checked="" type="checkbox"/>	1.00	4950.0	<input checked="" type="checkbox"/>	1.00	4950.0	<input type="checkbox"/>	1.0	1.0	4950.0	4950.0
1185	<input checked="" type="checkbox"/>	<input checked="" type="checkbox"/>	1.00	4950.0	<input checked="" type="checkbox"/>	1.00	4950.0	<input type="checkbox"/>	1.0	1.0	4950.0	4950.0
1186	<input checked="" type="checkbox"/>	<input checked="" type="checkbox"/>	1.00	4050.0	<input checked="" type="checkbox"/>	1.00	4050.0	<input type="checkbox"/>	1.0	1.0	4050.0	4050.0
1187	<input checked="" type="checkbox"/>	<input checked="" type="checkbox"/>	1.00	3600.0	<input checked="" type="checkbox"/>	1.00	3600.0	<input type="checkbox"/>	1.0	1.0	3600.0	3600.0
1188	<input checked="" type="checkbox"/>	<input checked="" type="checkbox"/>	1.00	4950.0	<input checked="" type="checkbox"/>	1.00	4950.0	<input type="checkbox"/>	1.0	1.0	4950.0	4950.0
1246	<input checked="" type="checkbox"/>	<input checked="" type="checkbox"/>	1.00	5400.0	<input checked="" type="checkbox"/>	1.00	5400.0	<input type="checkbox"/>	1.0	1.0	5400.0	5400.0
1247	<input checked="" type="checkbox"/>	<input checked="" type="checkbox"/>	1.00	5400.0	<input checked="" type="checkbox"/>	1.00	5400.0	<input type="checkbox"/>	1.0	1.0	5400.0	5400.0
1248	<input checked="" type="checkbox"/>	<input checked="" type="checkbox"/>	1.00	3350.0	<input checked="" type="checkbox"/>	1.00	3350.0	<input checked="" type="checkbox"/>	1.0	1.0	3350.0	3350.0
1249	<input checked="" type="checkbox"/>	<input checked="" type="checkbox"/>	1.00	2850.0	<input checked="" type="checkbox"/>	1.00	2850.0	<input checked="" type="checkbox"/>	1.0	1.0	2850.0	2850.0
1251	<input checked="" type="checkbox"/>	<input checked="" type="checkbox"/>	1.00	2550.0	<input checked="" type="checkbox"/>	1.00	2550.0	<input checked="" type="checkbox"/>	1.0	1.0	2550.0	2550.0
1252	<input checked="" type="checkbox"/>	<input checked="" type="checkbox"/>	1.00	2050.0	<input checked="" type="checkbox"/>	1.00	2050.0	<input checked="" type="checkbox"/>	1.0	1.0	2050.0	2050.0

## ■ 1.9 ÚDAJE PRO POSOUZENÍ POUŽITELNOSTI

č.	Vztaženo na	Pruty/Sady č.	Vztažná délka		Směr	Nadvýšení $e_0$ [mm]	Typ nosníku
			Ručně	$l$ [mm]			
1	Prut	469	<input type="checkbox"/>	3600.0	y, z	0.0	Nosník
2	Prut	470	<input type="checkbox"/>	3600.0	y, z	0.0	Nosník
3	Prut	863	<input type="checkbox"/>	6000.0	y, z	0.0	Nosník
4	Prut	864	<input type="checkbox"/>	6000.0	y, z	0.0	Nosník
5	Prut	865	<input type="checkbox"/>	6000.0	y, z	0.0	Nosník
6	Prut	874	<input type="checkbox"/>	6000.0	y, z	0.0	Nosník
7	Prut	879	<input type="checkbox"/>	6000.0	y, z	0.0	Nosník
8	Prut	880	<input type="checkbox"/>	6000.0	y, z	0.0	Nosník
9	Prut	881	<input type="checkbox"/>	6000.0	y, z	0.0	Nosník
10	Prut	890	<input type="checkbox"/>	6000.0	y, z	0.0	Nosník
11	Prut	895	<input type="checkbox"/>	6000.0	y, z	0.0	Nosník
12	Prut	896	<input type="checkbox"/>	6000.0	y, z	0.0	Nosník
13	Prut	897	<input type="checkbox"/>	6000.0	y, z	0.0	Nosník
14	Prut	906	<input type="checkbox"/>	6000.0	y, z	0.0	Nosník
15	Prut	911	<input type="checkbox"/>	6000.0	y, z	0.0	Nosník
16	Prut	912	<input type="checkbox"/>	6000.0	y, z	0.0	Nosník
17	Prut	913	<input type="checkbox"/>	6000.0	y, z	0.0	Nosník
18	Prut	922	<input type="checkbox"/>	6000.0	y, z	0.0	Nosník
19	Prut	927	<input type="checkbox"/>	6000.0	y, z	0.0	Nosník
20	Prut	928	<input type="checkbox"/>	6000.0	y, z	0.0	Nosník
21	Prut	929	<input type="checkbox"/>	6000.0	y, z	0.0	Nosník
22	Prut	938	<input type="checkbox"/>	6000.0	y, z	0.0	Nosník
23	Prut	943	<input type="checkbox"/>	6000.0	y, z	0.0	Nosník
24	Prut	944	<input type="checkbox"/>	6000.0	y, z	0.0	Nosník
25	Prut	945	<input type="checkbox"/>	6000.0	y, z	0.0	Nosník
26	Prut	954	<input type="checkbox"/>	6000.0	y, z	0.0	Nosník
27	Prut	959	<input type="checkbox"/>	5000.0	y, z	0.0	Nosník
28	Prut	962	<input type="checkbox"/>	5000.0	y, z	0.0	Nosník
29	Prut	965	<input type="checkbox"/>	5000.0	y, z	0.0	Nosník
30	Prut	987	<input type="checkbox"/>	5000.0	y, z	0.0	Nosník
31	Prut	988	<input type="checkbox"/>	5000.0	y, z	0.0	Nosník
32	Prut	990	<input type="checkbox"/>	5000.0	y, z	0.0	Nosník
33	Prut	991	<input type="checkbox"/>	5000.0	y, z	0.0	Nosník
34	Prut	994	<input type="checkbox"/>	5000.0	y, z	0.0	Nosník
35	Prut	997	<input type="checkbox"/>	5000.0	y, z	0.0	Nosník
36	Prut	1007	<input type="checkbox"/>	5000.0	y, z	0.0	Nosník
37	Prut	1010	<input type="checkbox"/>	5000.0	y, z	0.0	Nosník
38	Prut	1013	<input type="checkbox"/>	5000.0	y, z	0.0	Nosník
39	Prut	1023	<input type="checkbox"/>	5000.0	y, z	0.0	Nosník
40	Prut	1026	<input type="checkbox"/>	5000.0	y, z	0.0	Nosník
41	Prut	1029	<input type="checkbox"/>	5000.0	y, z	0.0	Nosník
42	Prut	1039	<input type="checkbox"/>	5000.0	y, z	0.0	Nosník
43	Prut	1042	<input type="checkbox"/>	5000.0	y, z	0.0	Nosník
44	Prut	1045	<input type="checkbox"/>	5000.0	y, z	0.0	Nosník
45	Prut	1055	<input type="checkbox"/>	5000.0	y, z	0.0	Nosník
46	Prut	1058	<input type="checkbox"/>	5000.0	y, z	0.0	Nosník
47	Prut	1061	<input type="checkbox"/>	5000.0	y, z	0.0	Nosník
48	Prut	1071	<input type="checkbox"/>	5000.0	y, z	0.0	Nosník
49	Prut	1074	<input type="checkbox"/>	5000.0	y, z	0.0	Nosník
50	Prut	1077	<input type="checkbox"/>	5000.0	y, z	0.0	Nosník
51	Prut	1087	<input type="checkbox"/>	3600.0	y, z	0.0	Nosník
52	Prut	1088	<input type="checkbox"/>	3600.0	y, z	0.0	Nosník
53	Prut	1090	<input type="checkbox"/>	3600.0	y, z	0.0	Nosník
54	Prut	1108	<input type="checkbox"/>	5000.0	y, z	0.0	Nosník
55	Prut	1109	<input type="checkbox"/>	5000.0	y, z	0.0	Nosník
56	Prut	1118	<input type="checkbox"/>	5000.0	y, z	0.0	Nosník
57	Prut	1119	<input type="checkbox"/>	5000.0	y, z	0.0	Nosník
58	Prut	1124	<input type="checkbox"/>	5000.0	y, z	0.0	Nosník
59	Prut	1129	<input type="checkbox"/>	5000.0	y, z	0.0	Nosník
60	Prut	1134	<input type="checkbox"/>	5000.0	y, z	0.0	Nosník
61	Prut	1139	<input type="checkbox"/>	5000.0	y, z	0.0	Nosník
62	Prut	1141	<input type="checkbox"/>	5000.0	y, z	0.0	Nosník
63	Prut	1158	<input type="checkbox"/>	5000.0	y, z	0.0	Nosník



Projekt:

Model: HOŘICE-KONSTRUKCE\_3D\_Budova\_obvodový plášť

## ■ 1.9 ÚDAJE PRO POSOUZENÍ POUŽITELNOSTI

č.	Vztaženo na	Pruty/Sady č.	Vztažná délka		Směr	Nadvýšení $e_0$ [mm]	Typ nosníku
			Ručně	$l$ [mm]			
64	Prut	1166	<input type="checkbox"/>	5000.0	y, z	0.0	Nosník
65	Prut	1181	<input type="checkbox"/>	4950.0	y, z	0.0	Nosník
66	Prut	1182	<input type="checkbox"/>	4050.0	y, z	0.0	Nosník
67	Prut	1183	<input type="checkbox"/>	3600.0	y, z	0.0	Nosník
68	Prut	1184	<input type="checkbox"/>	4950.0	y, z	0.0	Nosník
69	Prut	1185	<input type="checkbox"/>	4950.0	y, z	0.0	Nosník
70	Prut	1186	<input type="checkbox"/>	4050.0	y, z	0.0	Nosník
71	Prut	1187	<input type="checkbox"/>	3600.0	y, z	0.0	Nosník
72	Prut	1188	<input type="checkbox"/>	4950.0	y, z	0.0	Nosník
73	Prut	1246	<input type="checkbox"/>	5400.0	y, z	0.0	Nosník
74	Prut	1247	<input type="checkbox"/>	5400.0	y, z	0.0	Nosník
75	Prut		<input type="checkbox"/>	0.0	y, z	0.0	Nosník
76	Prut		<input type="checkbox"/>	0.0	y, z	0.0	Nosník
77	Prut	1248	<input type="checkbox"/>	3350.0	y, z	0.0	Nosník
78	Prut	1249	<input type="checkbox"/>	2850.0	y, z	0.0	Nosník
79	Prut	1251	<input type="checkbox"/>	2550.0	y, z	0.0	Nosník
80	Prut	1252	<input type="checkbox"/>	2050.0	y, z	0.0	Nosník

## ■ 2.2 POSOUZENÍ PO PRŮŘEZÍCH

Průř. č.	Prut č.	Místo x [mm]	ZS/KZ/ KV	Návrh		Rovnice č.	Označení
18	QRO 140x5 ( za tepla)						
	1087	2846.7	KV1	0.00	≤ 1	CS100)	Zanedbatelné vnitřní síly
	863	2310.0	KV1	0.35	≤ 1	CS111)	Posouzení průřezu - ohyb okolo y podle 6.2.5 - třída 1 nebo 2
	864	2980.0	KV1	0.19	≤ 1	CS116)	Posouzení průřezu - ohyb okolo z podle 6.2.5 - třída 1 nebo 2
	1141	5000.0	KV1	0.04	≤ 1	CS121)	Posouzení průřezu - smyk ve směru z podle 6.2.6
	1141	3220.0	KV1	0.08	≤ 1	CS123)	Posouzení průřezu - smyk ve směru y podle 6.2.6
	469	0.0	KV1	0.00	≤ 1	CS126)	Posouzení průřezu - smykové boulení podle 6.2.6(6)
	863	2310.0	KV1	0.35	≤ 1	CS141)	Posouzení průřezu - ohyb a smyk podle 6.2.5 a 6.2.8
	864	2980.0	KV1	0.19	≤ 1	CS151)	Posouzení průřezu - ohyb okolo z a smyk podle 6.2.5 a 6.2.8
	1247	2700.0	KV1	0.32	≤ 1	CS161)	Posouzení průřezu - dvousý ohyb a smyk podle 6.2.6, 6.2.7 a 6.2.9
	469	0.0	KV2	0.00	≤ 1	SE400)	Použitelnost - malé, resp. velmi malé deformace
	863	3000.0	KV2	0.56	≤ 1	SE401)	Použitelnost - kombinace zatížení 'charakteristická' - směr z
	1247	2700.0	KV2	0.56	≤ 1	SE406)	Použitelnost - kombinace zatížení 'charakteristická' - směr y
20	KCO 140/40x2.25						
	1248	1675.0	KV1	0.00	≤ 1	CS100)	Zanedbatelné vnitřní síly
	1249	1425.0	KV1	0.13	≤ 1	CS112)	Posouzení průřezu - ohyb okolo y podle 6.2.5 - třída 3
	1251	2125.0	KV1	0.09	≤ 1	CS117)	Posouzení průřezu - ohyb okolo z podle 6.2.5 - třída 3
	1248	3350.0	KV1	0.05	≤ 1	CS122)	Posouzení průřezu - smyk ve směru z podle 6.2.6(4) - třída 3 nebo 4
	1251	2550.0	KV1	0.03	≤ 1	CS124)	Posouzení průřezu - posouvající síla ve směru y podle 6.2.6(4) - třída 3 nebo 4
	1249	1425.0	KV1	0.13	≤ 1	CS143)	Posouzení průřezu - ohyb a smyk podle 6.2.9.2 a 6.2.10 - třída 3 - obecný průřez
	1251	2125.0	KV1	0.09	≤ 1	CS153)	Posouzení průřezu - ohyb okolo z a smyk podle 6.2.9.2 a 6.2.10 - třída 3 - obecný průřez
	1248	1116.7	KV1	0.42	≤ 1	CS163)	Posouzení průřezu - dvousý ohyb a smyk podle 6.2.9.2 a 6.2.10 - třída 3 - obecný průřez
	1248	0.0	KV1	1.76	> 1	ST353)	Posouzení stability - dvousý ohyb podle 6.3.3, metoda 1
	1248	0.0	KV2	0.00	≤ 1	SE400)	Použitelnost - malé, resp. velmi malé deformace
	1248	1675.0	KV2	0.68	≤ 1	SE401)	Použitelnost - kombinace zatížení 'charakteristická' - směr z
	1251	1912.5	KV2	0.04	≤ 1	SE406)	Použitelnost - kombinace zatížení 'charakteristická' - směr y

## RF-CONCRETE Members

PR1

Posouzení betonových prutů

## ■ 1.2 MATERIÁLY

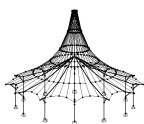
Mat. č.	Označení materiálu		Komentář
	Třída pevnosti betonu	Výztužná ocel	
1	Beton C30/37	B 500 S (A)	
4	Beton C35/45	B 500 S (A)	

Obdélník 150/1000 Obdélník 150/800



## ■ 1.3 PRŮŘEZY

Průřez č.	Mat. č.	Označení průřezu	Upozornění	Komentář
16	4	Obdélník 150/1000		
17	1	Obdélník 150/800		



Projekt:

Model: HOŘICE-KONSTRUKCE\_3D\_Budova\_obvodový plášť

## RF-CONCRETE Members

PR1

Posouzení betonových prutů

## 1.5 PODPORY

Podpora č.	Uzel č.	Šířka podpory b [mm]	Přímé Podpora	Monolitické spojení	Koncová Podpora	Komentář
1	489	0.0	<input checked="" type="checkbox"/>	<input checked="" type="checkbox"/>	<input type="checkbox"/>	
2	491	0.0	<input checked="" type="checkbox"/>	<input checked="" type="checkbox"/>	<input type="checkbox"/>	
3	493	0.0	<input checked="" type="checkbox"/>	<input checked="" type="checkbox"/>	<input type="checkbox"/>	
4	495	0.0	<input checked="" type="checkbox"/>	<input checked="" type="checkbox"/>	<input type="checkbox"/>	
5	500	0.0	<input checked="" type="checkbox"/>	<input checked="" type="checkbox"/>	<input type="checkbox"/>	
6	503	0.0	<input checked="" type="checkbox"/>	<input checked="" type="checkbox"/>	<input type="checkbox"/>	
7	506	0.0	<input checked="" type="checkbox"/>	<input checked="" type="checkbox"/>	<input type="checkbox"/>	
8	509	0.0	<input checked="" type="checkbox"/>	<input checked="" type="checkbox"/>	<input type="checkbox"/>	
9	512	0.0	<input checked="" type="checkbox"/>	<input checked="" type="checkbox"/>	<input type="checkbox"/>	
10	518	0.0	<input checked="" type="checkbox"/>	<input checked="" type="checkbox"/>	<input type="checkbox"/>	
11	521	0.0	<input checked="" type="checkbox"/>	<input checked="" type="checkbox"/>	<input type="checkbox"/>	
12	560	0.0	<input checked="" type="checkbox"/>	<input checked="" type="checkbox"/>	<input type="checkbox"/>	
13	563	0.0	<input checked="" type="checkbox"/>	<input checked="" type="checkbox"/>	<input type="checkbox"/>	
14	566	0.0	<input checked="" type="checkbox"/>	<input checked="" type="checkbox"/>	<input type="checkbox"/>	
15	568	0.0	<input checked="" type="checkbox"/>	<input checked="" type="checkbox"/>	<input type="checkbox"/>	
16	570	0.0	<input checked="" type="checkbox"/>	<input checked="" type="checkbox"/>	<input type="checkbox"/>	
17	572	0.0	<input checked="" type="checkbox"/>	<input checked="" type="checkbox"/>	<input type="checkbox"/>	
18	576	0.0	<input checked="" type="checkbox"/>	<input checked="" type="checkbox"/>	<input type="checkbox"/>	
19	662	0.0	<input checked="" type="checkbox"/>	<input checked="" type="checkbox"/>	<input type="checkbox"/>	
20	664	0.0	<input checked="" type="checkbox"/>	<input checked="" type="checkbox"/>	<input type="checkbox"/>	
21	667	0.0	<input checked="" type="checkbox"/>	<input checked="" type="checkbox"/>	<input type="checkbox"/>	
22	670	0.0	<input checked="" type="checkbox"/>	<input checked="" type="checkbox"/>	<input type="checkbox"/>	
23	673	0.0	<input checked="" type="checkbox"/>	<input checked="" type="checkbox"/>	<input type="checkbox"/>	
24	676	0.0	<input checked="" type="checkbox"/>	<input checked="" type="checkbox"/>	<input type="checkbox"/>	
25	679	0.0	<input checked="" type="checkbox"/>	<input checked="" type="checkbox"/>	<input type="checkbox"/>	
26	685	0.0	<input checked="" type="checkbox"/>	<input checked="" type="checkbox"/>	<input type="checkbox"/>	
27	695	0.0	<input checked="" type="checkbox"/>	<input checked="" type="checkbox"/>	<input type="checkbox"/>	
28	697	0.0	<input checked="" type="checkbox"/>	<input checked="" type="checkbox"/>	<input type="checkbox"/>	
29	700	0.0	<input checked="" type="checkbox"/>	<input checked="" type="checkbox"/>	<input type="checkbox"/>	

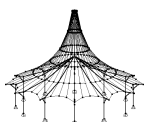
## NASTAVENÍ

- ☐ Zohlednění limitované redistribuce podporových momentů  
☐ Redukce momentů resp. dimenzování pro momenty v lici monolitické podpory  
☒ Redukce posouvajících sil v oblasti podpory podle 6.2.2  
☒ Zmenšení posouvajících sil s osamělým zatížením podle 6.2.2(6) a 6.2.3(8)

## 1.6 SADA VÝZTUŽE Č. 1

Použito na prutech:	832-862
PODÉLNÁ VÝZTUŽ	
Možné průměry:	16.0 mm
Max. počet vrstev:	2
Min. vzdál. pro 1. vrstvu:	20.0 mm
Min. vzdál. pro další vrstvu:	20.0 mm
Typ kotvení:	Přímý prut
Povrch výztuže:	Žebrovaný
Odstupňování výztuže:	Žádné
TRMÍNKOVÁ VÝZTUŽ	
Možné průměry:	8.0 mm
Počet stříhů:	2
Sklon:	90°
Typ kotvení:	Hák
Uspořádání trmínek:	Stejně vzdálenosti ve všech částech
USPOŘÁDÁNÍ VÝZTUŽE	
Krytí výztuže podle normy	<input checked="" type="checkbox"/>
Krytí výztuže c-horní:	38.0 mm
Parametry pro určení krytí výztuže	
Nastavení stejné jako pro krytí	C+z (dolní)
Krytí výztuže c-dolní:	38.0 mm
Parametry pro určení krytí výztuže	
Stupeň vlivu prostředí podle 4.4.1.2(5)	XC2
Třída obrušy podle 4.4.1.2(13)	Žádná
Návrhová životnost podle 4.4.1.2(5) tabulky 4.3N	50 Let
Typ výztuže	
Maximální průměr výztuže	8.0 mm
Minimální krytí výztuže od požadavků na soudržnost podle 4.4.1.2(3)	8.0 mm
Minimální krytí výztuže od podmínek prostředí podle 4.4.1.2(5)	20.0 mm
Přídavná bezpečnostní složka podle 4.4.1.2(6)	0.0 mm
Minimální krytí výztuže podle 4.4.1.2(2)	20.0 mm
Přídavek na návrhovou odchylku podle 4.4.1.3	10.0 mm
Nominální krycí vrstva výztuže pro výztuž podle 4.4.1.1	30.0 mm
Minimální krytí výztuže	30.0 mm
Způsob betonování podle 4.4.1.3(4)	na rovný povrch
Zvláštní kontrola kvality výroby betonu podle 4.4.1.2(5) tabulky 4.3N	<input type="checkbox"/>
Jmenovitý maximální rozměr kameniva větší než 32 mm podle 4.4.1.2(3) tabulky 4.2	<input type="checkbox"/>
Krytí výztuže c-po stranách:	38.0 mm
Parametry pro určení krytí výztuže	
Nastavení stejné jako pro krytí	C+z (dolní)
Uspořádání výztuže:	-z (horní) - +z (dolní) (optimaliz. rozdělení)
Torzní výztuž rozmístěná po obvodu:	<input checked="" type="checkbox"/>
Zohledněné vnitřní síly:	N, V-y, V-z, M-T, M-y, M-z
MINIMÁLNÍ VÝZTUŽ	
Min. plocha výztuže (min A-s,horní):	0.00 mm <sup>2</sup>
Min. plocha výztuže (min A-s,dolní):	0.00 mm <sup>2</sup>
Minimální podélná výztuž podle normy:	<input checked="" type="checkbox"/>
Minimální smyková výztuž podle normy:	<input checked="" type="checkbox"/>
Podélná výztuž pro posouzení posouvající síly:	Použít nutnou podélnou výztuž





Projekt:

Model: HOŘICE-KONSTRUKCE\_3D\_Budova\_obvodový plášť

## 1.6 SADA VÝZTUŽE Č. 1

SMYK VE STYČNÉ PLOŠE

Smyk ve styčné ploše možný:

☐

Posouzení spojů pásnice na členěných průřezích

☐

NASTAVENÍ PRO EN 1992-1-1:2004/A1:2014

Max. stupeň vyztužení:

8.00 %

Omezení tlakové zóny

☒

Souč. spolehlivosti Gamma-c

TD 1.50, MM 1.20, MSP 1.00

Souč. spolehlivosti Gamma-s

TD 1.15, MM 1.00, MSP 1.00

Redukční součinitel Alpha-cc

TD 1.00, MM 1.00, MSP 1.00

Redukční součinitel Alpha-ct

TD 1.00, MM 1.00, MSP 1.00

Min. proměnný sklon tlakových diagonál

21.80 °

Max. proměnný sklon tlakových diagonál

45.00 °

SERVICEABILITY

Posouzení trhlin

Mezní hodnota přípustné šířky trhlin  $w_{k,max,-z}$  (horní):

0.3 mm

Mezní hodnota přípustné šířky trhlin  $w_{k,max,+z}$  (dolní):

0.3 mm

Posouzení bez přímého výpočtu šířky trhlin:

☐

Posouzení s přímým výpočtem šířky trhlin:

☒Pro  $s_{r,max}$  zohlednit vztah (7.14) :☒

Účinná pevnost betonu v tahu při vzniku trhlin:

1.000 \*  $f_{ctm}$  $A_{s,min}$  pro účinky od přetvoření:☐

Analýza napětí

Omezení napětí betonu v tlaku  $\sigma_c$ :☒Podle návrhové situace s  $k_1 \cdot f_{ck}$  a $k_2 \cdot f_{ctd}$  podle EN 1992-1-1:2004/A1:2014

0.600

Součinitel  $k_2$  pro omezení tlakového napětí v betonu  $k_2$ :

0.450

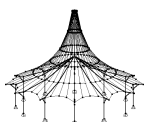
Omezení napětí v oceli  $\sigma_s$ :☒

## 2.1 NUTNÁ VÝZTUŽ PO PRŮŘEZECH

Výztuž	Prut č.	Místo x [m]	Zatížení	Plocha výztuže	Jednotky	Chybová zpráva Upozornění
Průřez č.16 - Obdélník 150/1000						
$A_{s,-z}$ (horní)	832	0.000	KV1	238.12	mm <sup>2</sup>	26)
$A_{s,+z}$ (dolní)	850	2.708	KV1	2188.78	mm <sup>2</sup>	13)
$A_{s,T}$	853	4.500	KV1	1.74	mm <sup>2</sup>	
$a_{sw,V,tfminky}$	832	0.010	KV1	141.99	mm <sup>2</sup> /m	58) 69)
$a_{sw,T,tfminky}$	853	4.500	KV1	0.14	mm <sup>2</sup> /m	
Průřez č.17 - Obdélník 150/800						
$A_{s,-z}$ (horní)	837	0.000	KV1	170.55	mm <sup>2</sup>	26)
$A_{s,+z}$ (dolní)	859	0.115	KV1	822.78	mm <sup>2</sup>	13)
$A_{s,T}$	849	1.473	KV1	3.16	mm <sup>2</sup>	
$a_{sw,V,tfminky}$	837	0.010	KV1	131.45	mm <sup>2</sup> /m	58) 69)
$a_{sw,T,tfminky}$	849	1.473	KV1	0.33	mm <sup>2</sup> /m	

## 3.1 NAVRŽENÁ PODÉLNÁ VÝZTUŽ

Položka	Poloha	Počet	d <sub>s</sub>	A <sub>s</sub>	Délka	Místo x [m]		Hmotnost	Poznámka
č.	výztuže	prutů	[mm]	[cm²]	[m]	z	do	[kg]	
Prut č.832 - Obdélník 150/1000									
1	-z (horní)	2	16.0	402.12	6.320	-0.160	6.160	19.95	158)
2	+z (dolní)	2	16.0	402.12	6.320	-0.160	6.160	19.95	
3	+y (strana)	4	16.0	804.25	6.320	-0.160	6.160	39.90	
Prut č.833 - Obdélník 150/1000									
1	-z (horní)	2	16.0	402.12	6.320	-0.160	6.160	19.95	158)
2	+z (dolní)	2	16.0	402.12	6.320	-0.160	6.160	19.95	
3	+y (strana)	4	16.0	804.25	6.320	-0.160	6.160	39.90	
Prut č.834 - Obdélník 150/1000									
1	-z (horní)	2	16.0	402.12	6.320	-0.160	6.160	19.95	158)
2	+z (dolní)	2	16.0	402.12	6.320	-0.160	6.160	19.95	
3	+y (strana)	4	16.0	804.25	6.320	-0.160	6.160	39.90	
Prut č.835 - Obdélník 150/1000									
1	-z (horní)	2	16.0	402.12	5.320	-0.160	5.160	16.79	158)
2	+z (dolní)	2	16.0	402.12	5.320	-0.160	5.160	16.79	
3	+y (strana)	4	16.0	804.25	5.320	-0.160	5.160	33.59	
Prut č.836 - Obdélník 150/1000									
1	-z (horní)	2	16.0	402.12	5.320	-0.160	5.160	16.79	158)
2	+z (dolní)	2	16.0	402.12	5.320	-0.160	5.160	16.79	
3	+y (strana)	4	16.0	804.25	5.320	-0.160	5.160	33.59	
Prut č.837 - Obdélník 150/800									
1	-z (horní)	2	16.0	402.12	5.320	-0.160	5.160	16.79	158)
2	+z (dolní)	2	16.0	402.12	5.320	-0.160	5.160	16.79	158)
3	+y (strana)	4	16.0	804.25	5.320	-0.160	5.160	33.59	158)
Prut č.838 - Obdélník 150/800									
1	-z (horní)	2	16.0	402.12	3.920	-0.160	3.760	12.37	
2	+z (dolní)	2	16.0	402.12	3.920	-0.160	3.760	12.37	
3	+z (dolní)	2	16.0	402.12	3.920	-0.160	3.760	12.37	
Prut č.839 - Obdélník 150/1000									
1	-z (horní)	2	16.0	402.12	5.320	-0.160	5.160	16.79	158)
2	+z (dolní)	2	16.0	402.12	5.320	-0.160	5.160	16.79	
3	+y (strana)	4	16.0	804.25	5.320	-0.160	5.160	33.59	
Prut č.840 - Obdélník 150/1000									
1	-z (horní)	2	16.0	402.12	5.320	-0.160	5.160	16.79	158)
2	+z (dolní)	2	16.0	402.12	5.320	-0.160	5.160	16.79	
3	+y (strana)	4	16.0	804.25	5.320	-0.160	5.160	33.59	
Prut č.841 - Obdélník 150/1000									
1	-z (horní)	2	16.0	402.12	5.320	-0.160	5.160	16.79	158)
2	+z (dolní)	2	16.0	402.12	5.320	-0.160	5.160	16.79	
3	+y (strana)	4	16.0	804.25	5.320	-0.160	5.160	33.59	



Projekt:

Model: HOŘICE-KONSTRUKCE\_3D\_Budova\_obvodový plášť

## ■ 3.1 NAVRŽENÁ PODÉLNÁ VÝZTUŽ

Položka	Poloha	Počet	d <sub>s</sub>	A <sub>s</sub>	Délka	Místo x [m]		Hmotnost	Poznámka
č.	výztuže	prutů	[mm]	[cm²]	[m]	z	do	[kg]	
Prut č.842 - Obdélník 150/1000									
1	-z (horní)	2	16.0	402.12	5.270	-0.160	5.110	16.64	158)
2	+z (dolní)	2	16.0	402.12	5.270	-0.160	5.110	16.64	
3	+y (strana)	4	16.0	804.25	5.270	-0.160	5.110	33.27	
Prut č.843 - Obdélník 150/1000									
1	-z (horní)	2	16.0	402.12	4.370	-0.160	4.210	13.79	158)
2	+z (dolní)	2	16.0	402.12	4.370	-0.160	4.210	13.79	
3	+y (strana)	4	16.0	804.25	4.370	-0.160	4.210	27.59	
Prut č.844 - Obdélník 150/1000									
1	-z (horní)	2	16.0	402.12	3.920	-0.160	3.760	12.37	101)
2	+z (dolní)	5	16.0	1005.31	3.920	-0.160	3.760	30.94	
3	+y (strana)	4	16.0	804.25	3.920	-0.160	3.760	24.75	
Prut č.845 - Obdélník 150/1000									
1	-z (horní)	2	16.0	402.12	5.270	-0.160	5.110	16.64	158)
2	+z (dolní)	2	16.0	402.12	5.270	-0.160	5.110	16.64	
3	+y (strana)	4	16.0	804.25	5.270	-0.160	5.110	33.27	
Prut č.846 - Obdélník 150/1000									
1	-z (horní)	2	16.0	402.12	4.370	-0.160	4.210	13.79	101)
2	+z (dolní)	6	16.0	1206.37	4.370	-0.160	4.210	41.38	
3	+y (strana)	4	16.0	804.25	4.370	-0.160	4.210	27.59	
Prut č.847 - Obdélník 150/1000									
1	-z (horní)	2	16.0	402.12	2.870	-0.160	2.710	9.06	101)
2	+z (dolní)	8	16.0	1608.50	2.870	-0.160	2.710	36.24	
Prut č.848 - Obdélník 150/800									
1	-z (horní)	2	16.0	402.12	5.720	-0.160	5.560	18.06	158)
2	+z (dolní)	2	16.0	402.12	5.720	-0.160	5.560	18.06	
3	+y (strana)	4	16.0	804.25	5.720	-0.160	5.560	36.11	
Prut č.849 - Obdélník 150/800									
1	-z (horní)	2	16.0	402.12	5.720	-0.160	5.560	18.06	158)
2	+z (dolní)	2	16.0	402.12	5.720	-0.160	5.560	18.06	
3	+y (strana)	4	16.0	804.25	5.720	-0.160	5.560	36.11	
Prut č.850 - Obdélník 150/1000									
1	-z (horní)	2	16.0	402.12	3.170	-0.160	3.010	10.01	101)
2	+z (dolní)	11	16.0	2211.68	3.170	-0.160	3.010	55.04	
3	+y (strana)	4	16.0	804.25	3.170	-0.160	3.010	20.01	
Prut č.851 - Obdélník 150/1000									
1	-z (horní)	2	16.0	402.12	3.670	-0.160	3.510	11.58	101)
2	+z (dolní)	6	16.0	1206.37	3.670	-0.160	3.510	34.75	
3	+y (strana)	4	16.0	804.25	3.670	-0.160	3.510	23.17	
Prut č.852 - Obdélník 150/1000									
1	-z (horní)	2	16.0	402.12	2.370	-0.160	2.210	7.48	101)
2	+z (dolní)	10	16.0	2010.62	2.370	-0.160	2.210	37.41	
Prut č.853 - Obdélník 150/1000									
1	-z (horní)	2	16.0	402.12	6.320	-0.160	6.160	19.95	158)
2	+z (dolní)	2	16.0	402.12	6.320	-0.160	6.160	19.95	
3	+y (strana)	4	16.0	804.25	6.320	-0.160	6.160	39.90	
Prut č.854 - Obdélník 150/1000									
1	-z (horní)	2	16.0	402.12	6.320	-0.160	6.160	19.95	158)
2	+z (dolní)	2	16.0	402.12	6.320	-0.160	6.160	19.95	
3	+y (strana)	4	16.0	804.25	6.320	-0.160	6.160	39.90	
Prut č.855 - Obdélník 150/1000									
1	-z (horní)	2	16.0	402.12	6.320	-0.160	6.160	19.95	158)
2	+z (dolní)	2	16.0	402.12	6.320	-0.160	6.160	19.95	
3	+y (strana)	4	16.0	804.25	6.320	-0.160	6.160	39.90	
Prut č.856 - Obdélník 150/1000									
1	-z (horní)	2	16.0	402.12	5.320	-0.160	5.160	16.79	158)
2	+z (dolní)	2	16.0	402.12	5.320	-0.160	5.160	16.79	
3	+y (strana)	4	16.0	804.25	5.320	-0.160	5.160	33.59	
Prut č.857 - Obdélník 150/1000									
1	-z (horní)	2	16.0	402.12	5.320	-0.160	5.160	16.79	158)
2	+z (dolní)	2	16.0	402.12	5.320	-0.160	5.160	16.79	
3	+y (strana)	4	16.0	804.25	5.320	-0.160	5.160	33.59	
Prut č.858 - Obdélník 150/800									
1	-z (horní)	2	16.0	402.12	5.320	-0.160	5.160	16.79	158)
2	+z (dolní)	2	16.0	402.12	5.320	-0.160	5.160	16.79	
3	+y (strana)	4	16.0	804.25	5.320	-0.160	5.160	33.59	
Prut č.859 - Obdélník 150/800									
1	-z (horní)	2	16.0	402.12	3.920	-0.160	3.760	12.37	158)
2	+z (dolní)	5	16.0	1005.31	3.920	-0.160	3.760	30.94	
3	+y (strana)	4	16.0	804.25	3.920	-0.160	3.760	24.75	
Prut č.860 - Obdélník 150/1000									
1	-z (horní)	2	16.0	402.12	5.320	-0.160	5.160	16.79	158)
2	+z (dolní)	2	16.0	402.12	5.320	-0.160	5.160	16.79	
3	+y (strana)	4	16.0	804.25	5.320	-0.160	5.160	33.59	
Prut č.861 - Obdélník 150/1000									
1	-z (horní)	2	16.0	402.12	5.320	-0.160	5.160	16.79	158)
2	+z (dolní)	2	16.0	402.12	5.320	-0.160	5.160	16.79	
3	+y (strana)	4	16.0	804.25	5.320	-0.160	5.160	33.59	
Prut č.862 - Obdélník 150/1000									
1	-z (horní)	2	16.0	402.12	5.320	-0.160	5.160	16.79	158)
2	+z (dolní)	2	16.0	402.12	5.320	-0.160	5.160	16.79	
3	+y (strana)	4	16.0	804.25	5.320	-0.160	5.160	33.59	

## ■ 3.1.1 NAVRŽENÁ PODÉLNÁ VÝZTUŽ - UKOTVENÍ

Položka č.	Typ kotvení	Spřažení	l <sub>bd</sub> [m]	l <sub>1</sub> [m]	l <sub>2</sub> [m]	Celkové [m]	d <sub>br</sub> [m]
Prut č.832 - Obdélník 150/1000							
1 Začátek	Přímý prut	průměrné	0.160	0.160	-	0.160	-
1 Konec	Přímý prut	průměrné	0.160	0.160	-	0.160	-
2 Začátek	Přímý prut	dobré	0.160	0.160	-	0.160	-
2 Konec	Přímý prut	dobré	0.160	0.160	-	0.160	-

Projekt:

Model: HOŘICE-KONSTRUKCE 3D Budova obvodový plášť

### 3.1.1 NAVRŽENÁ PODÉLNÁ VÝZTUŽ - UKOTVENÍ

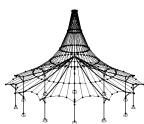
[illegible]

Projekt:

Model: HOŘICE-KONSTRUKCE 3D Budova obvodový plášť

### ■ 3.1.1 NAVRŽENÁ PODÉLNÁ VÝZTUŽ - UKOTVENÍ

Položka	Typ kotvení	Spražení	l <sub>bg</sub> [m]	l <sub>1</sub> [m]	l <sub>2</sub> [m]	Celkové [m]	d <sub>br</sub> [m]
č.							
1 Začátek	Přímý prut	přůměrné	0.160	0.160	-	0.160	-
1 Konec	Přímý prut	přůměrné	0.160	0.160	-	0.160	-
2 Začátek	Přímý prut	dobré	0.160	0.160	-	0.160	-
2 Konec	Přímý prut	dobré	0.160	0.160	-	0.160	-
3 Začátek	Přímý prut	přůměrné	0.160	0.160	-	0.160	-
3 Konec	Přímý prut	přůměrné	0.160	0.160	-	0.160	-
Prut č.847 - Obdélník 150/1000							
1 Začátek	Přímý prut	přůměrné	0.160	0.160	-	0.160	-
1 Konec	Přímý prut	přůměrné	0.160	0.160	-	0.160	-
2 Začátek	Přímý prut	dobré	0.160	0.160	-	0.160	-
2 Konec	Přímý prut	dobré	0.160	0.160	-	0.160	-
Prut č.848 - Obdélník 150/800							
1 Začátek	Přímý prut	přůměrné	0.160	0.160	-	0.160	-
1 Konec	Přímý prut	přůměrné	0.160	0.160	-	0.160	-
2 Začátek	Přímý prut	dobré	0.160	0.160	-	0.160	-
2 Konec	Přímý prut	dobré	0.160	0.160	-	0.160	-
3 Začátek	Přímý prut	přůměrné	0.160	0.160	-	0.160	-
3 Konec	Přímý prut	přůměrné	0.160	0.160	-	0.160	-
Prut č.849 - Obdélník 150/800							
1 Začátek	Přímý prut	přůměrné	0.160	0.160	-	0.160	-
1 Konec	Přímý prut	přůměrné	0.160	0.160	-	0.160	-
2 Začátek	Přímý prut	dobré	0.160	0.160	-	0.160	-
2 Konec	Přímý prut	dobré	0.160	0.160	-	0.160	-
3 Začátek	Přímý prut	přůměrné	0.160	0.160	-	0.160	-
3 Konec	Přímý prut	přůměrné	0.160	0.160	-	0.160	-
Prut č.850 - Obdélník 150/1000							
1 Začátek	Přímý prut	přůměrné	0.160	0.160	-	0.160	-
1 Konec	Přímý prut	přůměrné	0.160	0.160	-	0.160	-
2 Začátek	Přímý prut	dobré	0.160	0.160	-	0.160	-
2 Konec	Přímý prut	dobré	0.160	0.160	-	0.160	-
3 Začátek	Přímý prut	přůměrné	0.160	0.160	-	0.160	-
3 Konec	Přímý prut	přůměrné	0.160	0.160	-	0.160	-
Prut č.851 - Obdélník 150/1000							
1 Začátek	Přímý prut	přůměrné	0.160	0.160	-	0.160	-
1 Konec	Přímý prut	přůměrné	0.160	0.160	-	0.160	-
2 Začátek	Přímý prut	dobré	0.160	0.160	-	0.160	-
2 Konec	Přímý prut	dobré	0.160	0.160	-	0.160	-
3 Začátek	Přímý prut	přůměrné	0.160	0.160	-	0.160	-
3 Konec	Přímý prut	přůměrné	0.160	0.160	-	0.160	-
Prut č.852 - Obdélník 150/1000							
1 Začátek	Přímý prut	přůměrné	0.160	0.160	-	0.160	-
1 Konec	Přímý prut	přůměrné	0.160	0.160	-	0.160	-
2 Začátek	Přímý prut	dobré	0.160	0.160	-	0.160	-
2 Konec	Přímý prut	dobré	0.160	0.160	-	0.160	-
Prut č.853 - Obdélník 150/1000							
1 Začátek	Přímý prut	přůměrné	0.160	0.160	-	0.160	-
1 Konec	Přímý prut	přůměrné	0.160	0.160	-	0.160	-
2 Začátek	Přímý prut	dobré	0.160	0.160	-	0.160	-
2 Konec	Přímý prut	dobré	0.160	0.160	-	0.160	-
3 Začátek	Přímý prut	přůměrné	0.160	0.160	-	0.160	-
3 Konec	Přímý prut	přůměrné	0.160	0.160	-	0.160	-
Prut č.854 - Obdélník 150/1000							
1 Začátek	Přímý prut	přůměrné	0.160	0.160	-	0.160	-
1 Konec	Přímý prut	přůměrné	0.160	0.160	-	0.160	-
2 Začátek	Přímý prut	dobré	0.160	0.160	-	0.160	-
2 Konec	Přímý prut	dobré	0.160	0.160	-	0.160	-
3 Začátek	Přímý prut	přůměrné	0.160	0.160	-	0.160	-
3 Konec	Přímý prut	přůměrné	0.160	0.160	-	0.160	-
Prut č.855 - Obdélník 150/1000							
1 Začátek	Přímý prut	přůměrné	0.160	0.160	-	0.160	-
1 Konec	Přímý prut	přůměrné	0.160	0.160	-	0.160	-
2 Začátek	Přímý prut	dobré	0.160	0.160	-	0.160	-
2 Konec	Přímý prut	dobré	0.160	0.160	-	0.160	-
3 Začátek	Přímý prut	přůměrné	0.160	0.160	-	0.160	-
3 Konec	Přímý prut	přůměrné	0.160	0.160	-	0.160	-
Prut č.856 - Obdélník 150/1000							
1 Začátek	Přímý prut	přůměrné	0.160	0.160	-	0.160	-
1 Konec	Přímý prut	přůměrné	0.160	0.160	-	0.160	-
2 Začátek	Přímý prut	dobré	0.160	0.160	-	0.160	-
2 Konec	Přímý prut	dobré	0.160	0.160	-	0.160	-
3 Začátek	Přímý prut	přůměrné	0.160	0.160	-	0.160	-
3 Konec	Přímý prut	přůměrné	0.160	0.160	-	0.160	-
Prut č.857 - Obdélník 150/1000							
1 Začátek	Přímý prut	přůměrné	0.160	0.160	-	0.160	-
1 Konec	Přímý prut	přůměrné	0.160	0.160	-	0.160	-
2 Začátek	Přímý prut	dobré	0.160	0.160	-	0.160	-
2 Konec	Přímý prut	dobré	0.160	0.160	-	0.160	-
3 Začátek	Přímý prut	přůměrné	0.160	0.160	-	0.160	-
3 Konec	Přímý prut	přůměrné	0.160	0.160	-	0.160	-
Prut č.858 - Obdélník 150/800							
1 Začátek	Přímý prut	přůměrné	0.160	0.160	-	0.160	-
1 Konec	Přímý prut	přůměrné	0.160	0.160	-	0.160	-
2 Začátek	Přímý prut	dobré	0.160	0.160	-	0.160	-
2 Konec	Přímý prut	dobré	0.160	0.160	-	0.160	-
3 Začátek	Přímý prut	přůměrné	0.160	0.160	-	0.160	-
3 Konec	Přímý prut	přůměrné	0.160	0.160	-	0.160	-
Prut č.859 - Obdélník 150/800							
1 Začátek	Přímý prut	přůměrné	0.160	0.160	-	0.160	-
1 Konec	Přímý prut	přůměrné	0.160	0.160	-	0.160	-
2 Začátek	Přímý prut	dobré	0.160	0.160	-	0.160	-
2 Konec	Přímý prut	dobré	0.160	0.160	-	0.160	-
3 Začátek	Přímý prut	přůměrné	0.160	0.160	-	0.160	-
3 Konec	Přímý prut	přůměrné	0.160	0.160	-	0.160	-
Prut č.860 - Obdélník 150/1000							



Projekt:

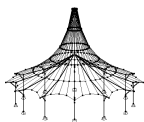
Model: HOŘICE-KONSTRUKCE\_3D\_Budova\_obvodový plášť

## ■ 3.1.1 NAVRŽENÁ PODÉLNÁ VÝZTUŽ - UKOTVENÍ

Položka č.	Typ kotvení	Spřažení	$l_{bd}$ [m]	$l_1$ [m]	$l_2$ [m]	Celkové [m]	$d_{br}$ [m]
1 Začátek	Přímý prut	průměrné	0.160	0.160	-	0.160	-
1 Konec	Přímý prut	průměrné	0.160	0.160	-	0.160	-
2 Začátek	Přímý prut	dobré	0.160	0.160	-	0.160	-
2 Konec	Přímý prut	dobré	0.160	0.160	-	0.160	-
3 Začátek	Přímý prut	průměrné	0.160	0.160	-	0.160	-
3 Konec	Přímý prut	průměrné	0.160	0.160	-	0.160	-
Prut č.861 - Obdélník 150/1000							
1 Začátek	Přímý prut	průměrné	0.160	0.160	-	0.160	-
1 Konec	Přímý prut	průměrné	0.160	0.160	-	0.160	-
2 Začátek	Přímý prut	dobré	0.160	0.160	-	0.160	-
2 Konec	Přímý prut	dobré	0.160	0.160	-	0.160	-
3 Začátek	Přímý prut	průměrné	0.160	0.160	-	0.160	-
3 Konec	Přímý prut	průměrné	0.160	0.160	-	0.160	-
Prut č.862 - Obdélník 150/1000							
1 Začátek	Přímý prut	průměrné	0.160	0.160	-	0.160	-
1 Konec	Přímý prut	průměrné	0.160	0.160	-	0.160	-
2 Začátek	Přímý prut	dobré	0.160	0.160	-	0.160	-
2 Konec	Přímý prut	dobré	0.160	0.160	-	0.160	-
3 Začátek	Přímý prut	průměrné	0.160	0.160	-	0.160	-
3 Konec	Přímý prut	průměrné	0.160	0.160	-	0.160	-

## ■ 3.2 NAVRŽENÁ TŘMÍNKOVÁ VÝZTUŽ

0.2 NÁVLEŽNOST TRIMINKOVÝCH PRUTŮ											
Položka	Počet	d <sub>s</sub>	Délka	Místo x [m]		Vzdálenost	Rozměry třminků		Počet	Hmotnost	
č.	třminků	[mm]	[m]	z	do	s <sub>tr</sub> [m]	[mm]		střihů	[kg]	Poznámka
Prut č. 832	-	Obdélník 150/1000									
1	22	8.0	6.000	0.000	6.000	0.286	940.0/90.0/97.1		2	19.57	115)
Prut č. 833	-	Obdélník 150/1000									
2	22	8.0	6.000	0.000	6.000	0.286	940.0/90.0/97.1		2	19.57	115)
Prut č. 834	-	Obdélník 150/1000									
3	22	8.0	6.000	0.000	6.000	0.286	940.0/90.0/97.1		2	19.57	115)
Prut č. 835	-	Obdélník 150/1000									
4	19	8.0	5.000	0.000	5.000	0.278	940.0/90.0/97.1		2	16.90	115)
Prut č. 836	-	Obdélník 150/1000									
5	19	8.0	5.000	0.000	5.000	0.278	940.0/90.0/97.1		2	16.90	115)
Prut č. 837	-	Obdélník 150/800									
6	23	8.0	5.000	0.000	5.000	0.227	740.0/90.0/97.1		2	16.83	115)
Prut č. 838	-	Obdélník 150/800									
7	10	8.0	3.600	0.000	3.600	0.400	740.0/90.0/97.1		2	7.32	115)
Prut č. 839	-	Obdélník 150/1000									
8	19	8.0	5.000	0.000	5.000	0.278	940.0/90.0/97.1		2	16.90	115)
Prut č. 840	-	Obdélník 150/1000									
9	19	8.0	5.000	0.000	5.000	0.278	940.0/90.0/97.1		2	16.90	115)
Prut č. 841	-	Obdélník 150/1000									
10	19	8.0	5.000	0.000	5.000	0.278	940.0/90.0/97.1		2	16.90	115)
Prut č. 842	-	Obdélník 150/1000									
11	19	8.0	4.950	0.000	4.950	0.275	940.0/90.0/97.1		2	16.90	115)
Prut č. 843	-	Obdélník 150/1000									
12	16	8.0	4.050	0.000	4.050	0.270	940.0/90.0/97.1		2	14.23	115)
Prut č. 844	-	Obdélník 150/1000									
13	14	8.0	3.600	0.000	3.600	0.277	940.0/90.0/97.1		2	12.45	115)
Prut č. 845	-	Obdélník 150/1000									
14	19	8.0	4.950	0.000	4.950	0.275	940.0/90.0/97.1		2	16.90	115)
Prut č. 846	-	Obdélník 150/1000									
15	16	8.0	4.050	0.000	4.050	0.270	940.0/90.0/97.1		2	14.23	115)
Prut č. 847	-	Obdélník 150/1000									
16	8	8.0	2.550	0.000	2.550	0.364	940.0/90.0/97.1		2	7.12	115)
Prut č. 848	-	Obdélník 150/800									
17	24	8.0	5.400	0.000	5.400	0.235	740.0/90.0/97.1		2	17.56	115)
Prut č. 849	-	Obdélník 150/800									
18	24	8.0	5.400	0.000	5.400	0.235	740.0/90.0/97.1		2	17.56	115)
Prut č. 850	-	Obdélník 150/1000									
19	11	8.0	2.850	0.000	2.850	0.285	940.0/90.0/97.1		2	9.78	115)
Prut č. 851	-	Obdélník 150/1000									
20	13	8.0	3.350	0.000	3.350	0.279	940.0/90.0/97.1		2	11.56	115)
Prut č. 852	-	Obdélník 150/1000									
21	7	8.0	2.050	0.000	2.050	0.342	940.0/90.0/97.1		2	6.23	115)
Prut č. 853	-	Obdélník 150/1000									
22	22	8.0	6.000	0.000	6.000	0.286	940.0/90.0/97.1		2	19.57	115)
Prut č. 854	-	Obdélník 150/1000									
23	22	8.0	6.000	0.000	6.000	0.286	940.0/90.0/97.1		2	19.57	115)
Prut č. 855	-	Obdélník 150/1000									
24	22	8.0	6.000	0.000	6.000	0.286	940.0/90.0/97.1		2	19.57	115)
Prut č. 856	-	Obdélník 150/1000									
25	19	8.0	5.000	0.000	5.000	0.278	940.0/90.0/97.1		2	16.90	115)
Prut č. 857	-	Obdélník 150/1000									
26	19	8.0	5.000	0.000	5.000	0.278	940.0/90.0/97.1		2	16.90	115)
Prut č. 858	-	Obdélník 150/800									
27	23	8.0	5.000	0.000	5.000	0.227	740.0/90.0/97.1		2	16.83	115)
Prut č. 859	-	Obdélník 150/800									
28	17	8.0	3.600	0.000	3.600	0.225	740.0/90.0/97.1		2	12.44	115)
Prut č. 860	-	Obdélník 150/1000									
29	19	8.0	5.000	0.000	5.000	0.278	940.0/90.0/97.1		2	16.90	115)
Prut č. 861	-	Obdélník 150/1000									
30	19	8.0	5.000	0.000	5.000	0.278	940.0/90.0/97.1		2	16.90	115)
Prut č. 862	-	Obdélník 150/1000									
31	19	8.0	5.000	0.000	5.000	0.278	940.0/90.0/97.1		2	16.90	115)



Projekt: Model: HOŘICE-KONSTRUKCE\_3D\_Budova\_obvodový plášť

#### 4.1 POSOUZENÍ POUŽITELNOSTI PO PRŮŘEZECH

Průřez č.	Místo x [m]	Zatížení	Typ	Navržená hodnota	Posouzení Mezní hodn.	Jedn.	Využití	Poznámka
Průřez č.16 - Obdélník 150/1000								
841	2.500	KZ767	$U_{z,local}$	0.2	20.0	mm	0.02	
842	2.475	KZ570	$\sigma_c$	-6.85	-21.00	MPa	0.33	
842	2.475	KZ570	$\sigma_s$	85.33	400.00	MPa	0.22	
832	3.000	KZ599	$w_k$	0.036	0.300	mm	0.13	
Průřez č.17 - Obdélník 150/800								
837	2.500	KZ767	$U_{z,local}$	0.4	20.0	mm	0.03	
849	2.700	KZ566	$\sigma_c$	-8.56	-18.00	MPa	0.48	
837	2.750	KZ638	$\sigma_s$	110.37	400.00	MPa	0.28	
837	2.750	KZ610	$w_k$	0.065	0.300	mm	0.22	

#### UPOZORNĚNÍ

Č.	Popis
13)	Symetrická výztuž při šikmém ohybu
25)	Minimální výztuž pro tlacený prvek podle 9.5.2 (2)
26)	Minimální horní výztuž pro nosník podle 9.2.1.1 (1)
27)	Minimální dolní výztuž pro nosník podle 9.2.1.1 (1)
58)	Za použití přibližné hodnoty ramene z
69)	Minimální smyková výztuž podle 9.2.2 (5)
101)	Výztuž mimo průřez, nebo nejsou splněny některé požadavky na její rozmístění.
115)	Minimální smyková výztuž pro nosník podle 9.2.2
158)	Torzní výztuž s rozdělením po obvodu

Projekt:  
Číslo projektu:  
Autor:



## Obsah

- 1 Geometrie
- 2 Zatěžovací stavy
- 3 Zatížení
- 4 Kombinace zatížení
- 5 Výsledky
- 6 Posouzení betonu

## 1 Geometrie

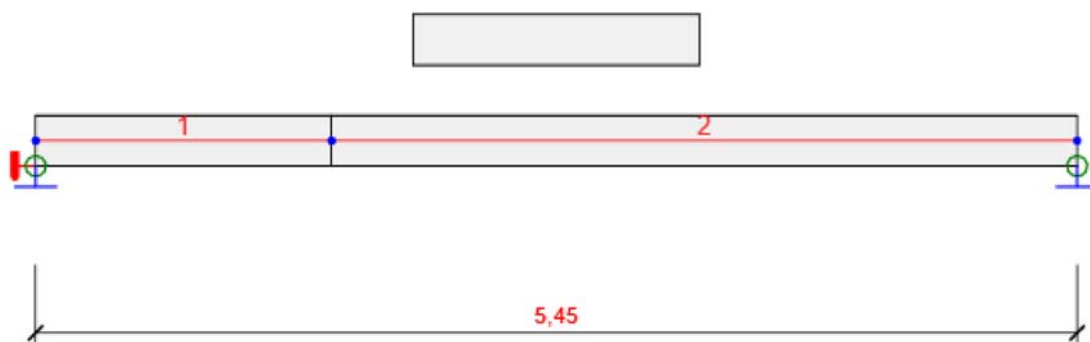


Schéma konstrukce

Směry zatížení a okrajové podmínky nemusí v rozvinutém pohledu souhlasit se skutečnými směry ve 3D

## Prvky

Prvek	Délka [m]	Delta X [m]	Delta Y [m]	Průřez
1	1,55	1,55	0,00	1 - Obdélník 265, 1500
2	3,90	3,41	0,00	1 - Obdélník 265, 1500

## Uzly

Uzel	X [m]	Y [m]	Z [m]	Podpora
1	0,00	0,00	0,00	XYZRx
2	1,55	0,00	0,00	
3	4,96	0,00	-1,90	YZ

Projekt:

Číslo projektu:

Autor:



## 2 Zatěžovací stavy

Název	Typ	Skupina zatížení	Zatížení [kN/m]
SW	Stálé	LG1	0,0
G	Stálé	LG1	0,0
Q	Proměnné	LG2	0,0

### Skupiny stálých zatížení

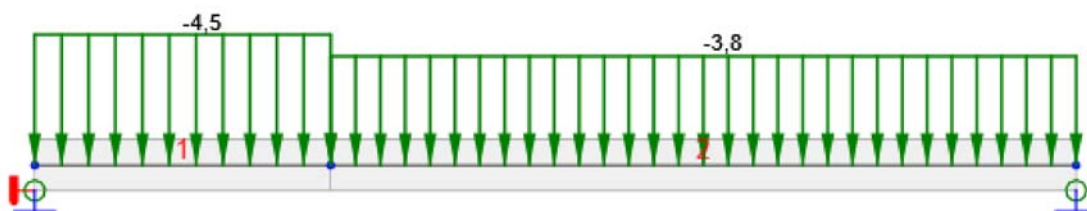
Název	$Y_{G, sub}$ [-]	$Y_{G, inf}$ [-]	$\xi$ [-]
LG1	1,35	1,00	0,85

### Skupiny proměnných zatížení

Název	Typ	$Y_q$ [-]	$\psi_0$ [-]	$\psi_1$ [-]	$\psi_2$ [-]
LG2	Výběrová	1,50	0,70	0,50	0,30
LG3	Standardní	1,50	0,70	0,50	0,60

## 3 Zatížení

### Zatěžovací stav G



### Zatěžovací stav G



Projekt:

Číslo projektu:

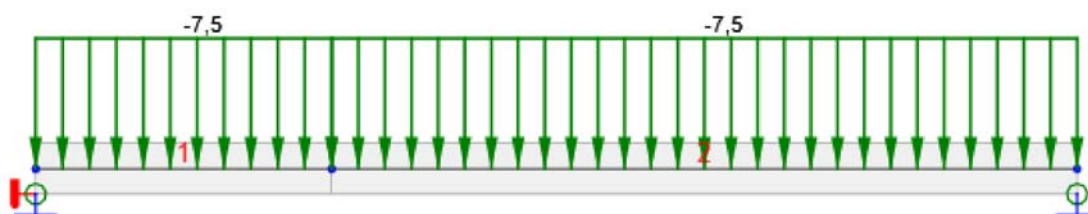
Autor:



#### Rovnoměrná zatížení

Prvek	Velikost [kN/m]	Směr	Umístění	Ey začátek [m]	Ey konec [m]	Ez začátek [m]	Ez konec [m]
1	-4,5	Globální Z	Délka	0,00	0,00	0,00	0,00
2	-3,8	Globální Z	Délka	0,00	0,00	0,00	0,00

#### Zatěžovací stav Q



#### Zatěžovací stav Q

#### Rovnoměrná zatížení

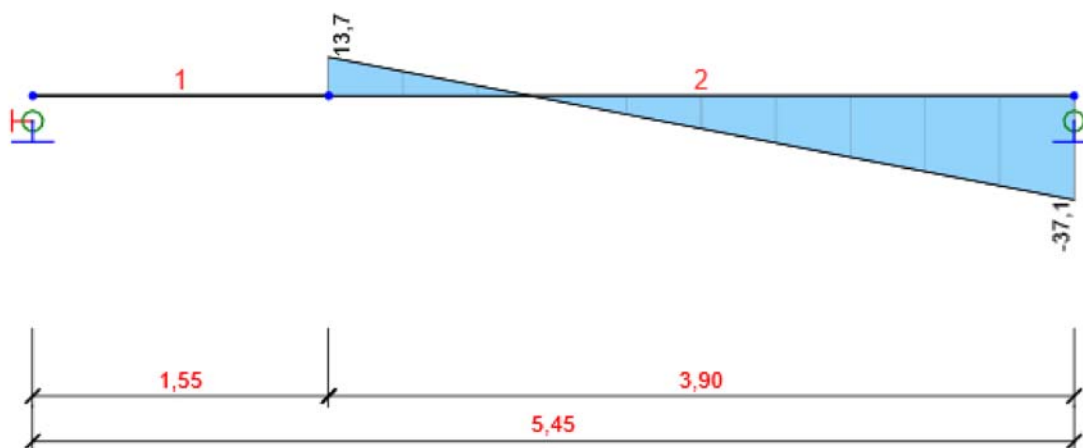
Prvek	Velikost [kN/m]	Směr	Umístění	Ey začátek [m]	Ey konec [m]	Ez začátek [m]	Ez konec [m]
1	-7,5	Globální Z	Délka	0,00	0,00	0,00	0,00
2	-7,5	Globální Z	Délka	0,00	0,00	0,00	0,00

## 4 Kombinace zatížení

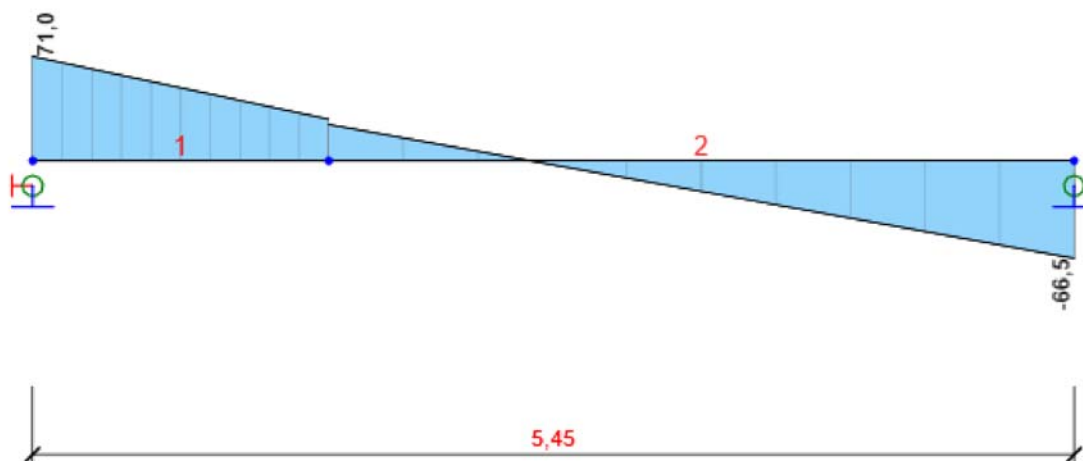
Název	Typ	Vyhodnocení
<b>MSU</b>	MSÚ základní	Eurokód, vzorec 6.10 a,b
SW; G; Q		
<b>MSCh</b>	MSP char	Eurokód, vzorec 6.14b
SW; G; Q		
<b>MSP</b>	MSP kvazi	Eurokód, vzorec 6.16b
SW; G; Q		

## 5 Výsledky

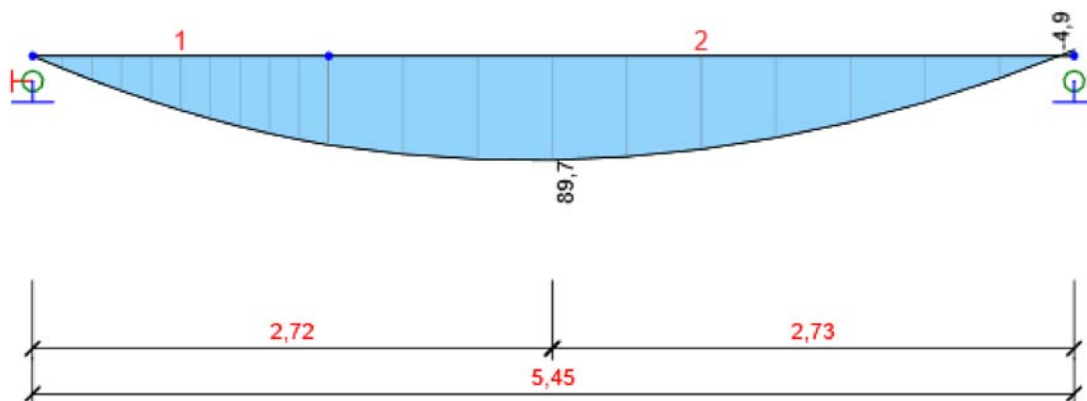
## Obálky



Všechny kombinace, N [kN], Síly k těžišti



Všechny kombinace, Vz [kN], Síly k těžišti

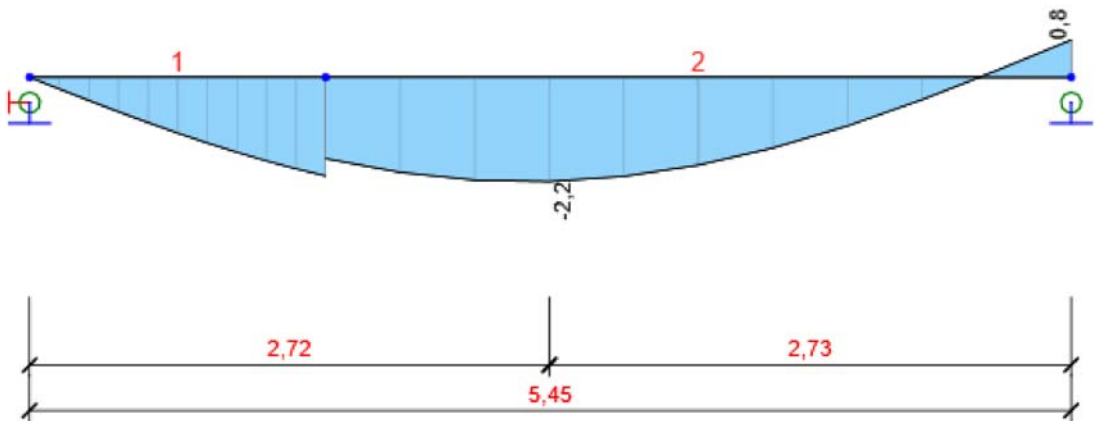


#### Všechny kombinace, $M_y$ [kNm], Síly k těžišti

#### Vnitřní síly, Globální extrém, Síly k těžišti

Prvek	Kombinace	Pozice [m]	N [kN]	$V_y$ [kN]	$V_z$ [kN]	$M_x$ [kNm]	$M_y$ [kNm]	$M_z$ [kNm]
2	MSU(2)	3,90	-37,1	0,0	-66,5	0,0	-4,9	0,0
2	MSU(2)	0,00	13,7	0,0	24,6	0,0	76,9	0,0
1	MSU(2)	0,00	0,0	0,0	71,0	0,0	0,0	0,0
2	MSU(2)	1,17	-1,5	0,0	-2,7	0,0	89,7	0,0

Kombinace	Popis kritických účinků zatížení
MSU(2)	1,15*SW + 1,15*G + 1,5*Q



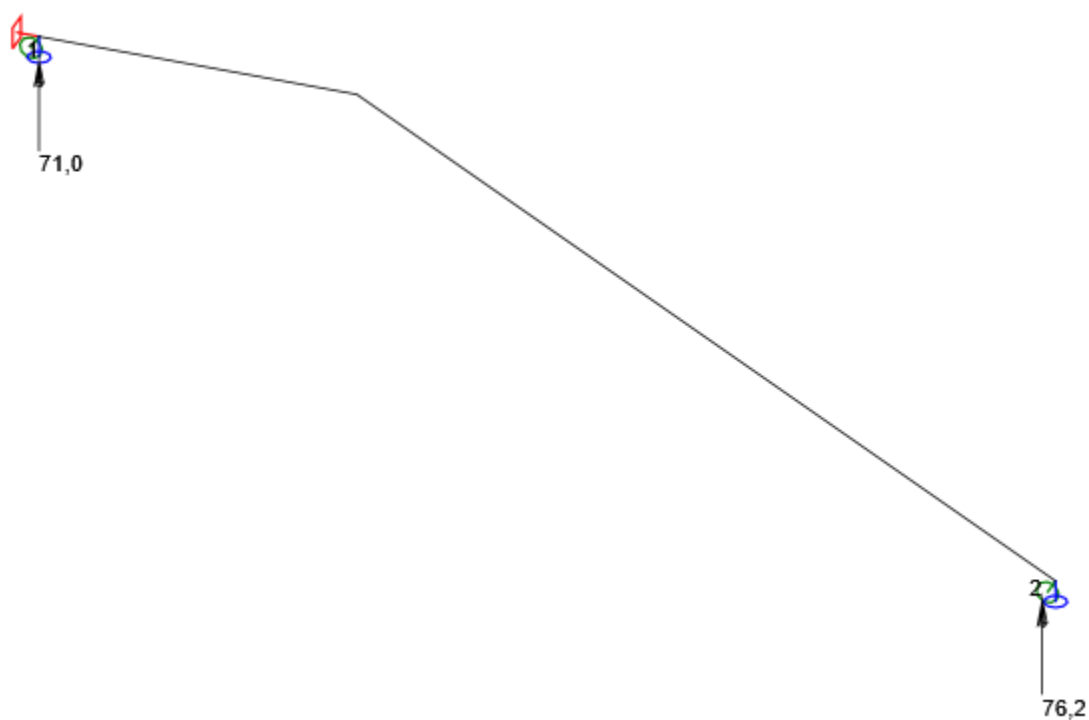
Všechny kombinace, Posun uz [mm]

Deformace, Globální extrém,

Prvek	Kombinace	Pozice [m]	u <sub>x</sub> [mm]	u <sub>y</sub> [mm]	u <sub>z</sub> [mm]	f <sub>i</sub> <sub>x</sub> [mrad]	f <sub>i</sub> <sub>y</sub> [mrad]	f <sub>i</sub> <sub>z</sub> [mrad]
1	MSCh(4)	0,00	0,2	0,0	0,0	0,0	1,6	0,0
2	MSCh(4)	1,17	1,2	0,0	-2,2	0,0	-0,1	0,0
2	MSCh(4)	3,90	1,2	0,0	0,8	0,0	-1,6	0,0

Kombinace	Popis kritických účinků zatížení
MSCh(4)	SW + G + Q

Projekt:  
Číslo projektu:  
Autor:



## Reakce

Uzel	Kombinace	$R_x$ [kN]	$R_y$ [kN]	$R_z$ [kN]	$M_x$ [kNm]	$M_y$ [kNm]	$M_z$ [kNm]
2	MSU(2)	0,0	0,0	76,2	0,0	0,0	0,0
1	MSU(2)	0,0	0,0	71,0	0,0	0,0	0,0

Kombinace	Popis kritických účinků zatížení
MSU(2)	$1,15 \cdot SW + 1,15 \cdot G + 1,5 \cdot Q$

## 6 Posouzení betonu

### Národní norma

Národní norma	EN 1992-1-1:2014-12, CSN:2016-04/NA:2012-01
Životnost	50 let

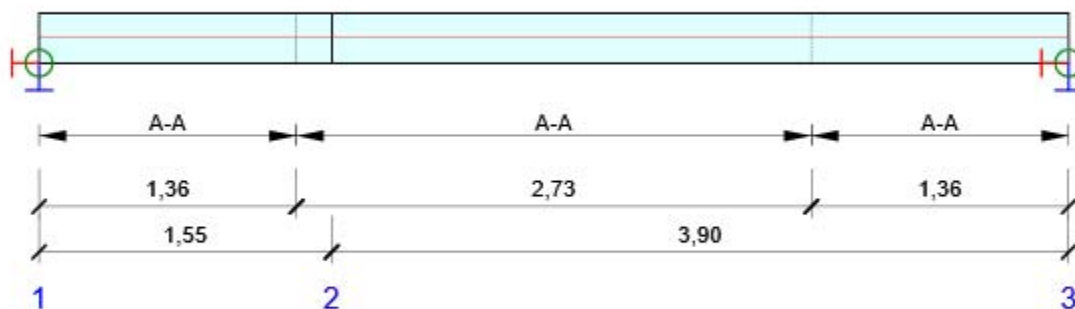
Projekt:

Číslo projektu:

Autor:



## Schéma vyztužení



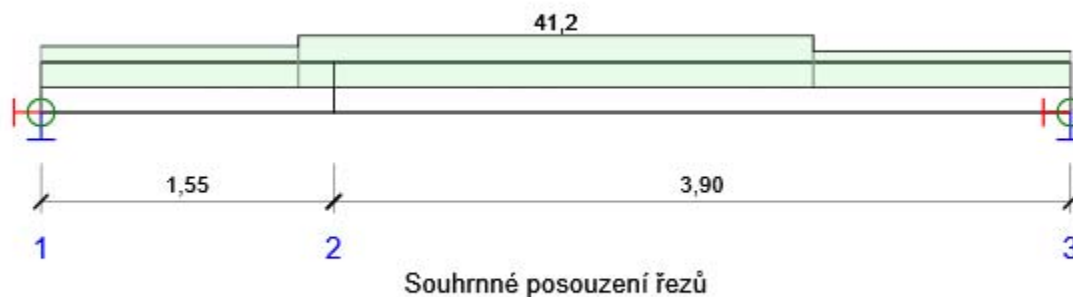
## Souhrn posudků řezů

Kombinace	$N_{Ed}$ [kN]	$M_{Ed,y}$ [kNm]	$V_{Ed}$ [kN]	Hodnota [%]	Posudek
Únosnost N-M-M, Zóna: A-A (1,36 - 4,09)					
MSU(2)	-1,5	89,7	-2,7	41,2	OK
Smyk, Zóna: A-A (0,00 - 1,36)					
MSU(2)	0,0	0,0	71,0	29,8	OK
Omezení napětí, Zóna: A-A (1,36 - 4,09)					
MSCh(4)	-1,2	70,5	-2,1	37,2	OK
Šířka trhliny, Zóna: A-A (1,36 - 4,09)					
MSP(6)	-0,9	53,0	-1,7	15,1	OK

## Souhrn posudků průhybů

$d_x$ [m]	$u_{z,lin}$ [mm]	$u_{z,st}$ [mm]	$u_{z,II}$ [mm]	$u_{z,It}$ [mm]	$u_{z,lim}(\pm)$ [mm]	Hodnota [%]	Posudek
Celkové průhyby							
2,72	-2,2	-3,2	-4,1	-5,5	21,8	25,1	OK

## Posudek řezu



x začátek [m]	x konec [m]	Vyztužení	Rozhodující typ posudku	Hodnota [%]	Posudek
0,00	1,36	A-A	Únosnost N-M-M	32,7	OK
1,36	4,09	A-A	Únosnost N-M-M	41,2	OK
4,09	5,45	A-A	Smyk	28,7	OK

Mezní hodnota využití průřezu: 100,0 %

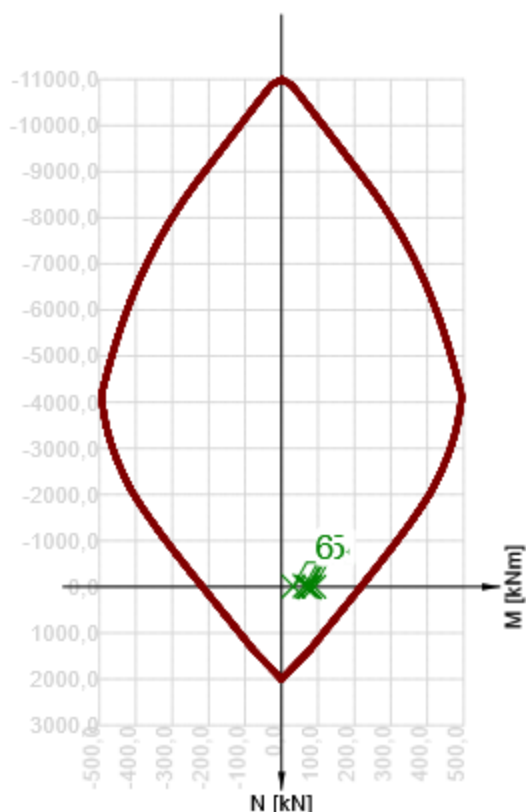
Posudek řezu pro zónu: A-A (1,36 m - 4,09 m)

Rozhodující typ posudku		Kombinace	N <sub>Ed</sub> [kN]	M <sub>Ed,y</sub> [kNm]	M <sub>Ed,z</sub> [kNm]	V <sub>Ed</sub> [kN]	T <sub>Ed</sub> [kNm]	Hodnota [%]	Posudek
Únosnost N-M-M		MSU(2)	-1,5	89,7	0,0	-2,7	0,0	41,2	OK
Kombinace	N <sub>Ed</sub> [kN]	M <sub>Ed,y</sub> [kNm]	M <sub>Ed,z</sub> [kNm]	V <sub>Ed</sub> [kN]	T <sub>Ed</sub> [kNm]	Hodnota [%]		Posudek	
Únosnost N-M-M									
MSU(2)	-1,5	89,7	0,0	-2,7	0,0	41,2		OK	
Smyk									
MSU(2)	-19,3	63,7	0,0	-34,7	0,0	14,5		OK	
Omezení napětí									
MSCh(4)	-1,2	70,5	0,0	-2,1	0,0	37,2		OK	
Šířka trhliny									
MSP(6)	-0,9	53,0	0,0	-1,7	0,0	15,1		OK	

Projekt:

Číslo projektu:

Autor:



	Extrém	N [kN]	My [kNm]	Mz [kNm]
1	MSU(2)	-1,5	89,7	0,0
2	MSU(2)	13,7	76,9	0,0
3	MSU(2)	0,0	76,9	0,0
4	MSU(2)	0,0	71,1	0,0
5	MSU(2)	-19,3	63,7	0,0
6	MSU(1)	-9,8	32,2	0,0

#### Upozornění

	Typ posudku	Upozornění
!	Smyk	Smyk je přenesen betonem, smyková výztuž je požadována z hlediska konstrukčních zásad, viz 6.2.2
!	Omezení napětí, Šířka trhliny	Horní nebo dolní návrhová hodnota vnitřních sil v řezu u jedné z kombinací MSP vyvodila napětí betonu v tahu větší, než je pevnost betonu v tahu (průřez je potrhán). Na základě nastavení výpočtu se proto předpokládá vyloučení působení betonu v tahu v posudcích MSP pro všechny kombinace daného extrému. Předpoklady výpočtu pro posudky MSP v rámci jiného extrému daného řezu nejsou ovlivněny.
!	Omezení napětí	Beton v tahu je vyloučen z působení, protože je průřez porušen trhlínami, viz čl. 7.1 (2)
!	Omezení napětí	Podmínka omezení tlakových napětí v betonu při charakteristické kombinaci zatížení platí pouze pro konstrukce vystavené stupňům vlivu prostředí XD, XF a XS, viz 7.2 (2)

#### Kritické kombinace vybrané pro posouzení řezů

Kombinace	Popis kritických účinků zatížení
MSU(1)	SW + G
MSU(2)	1,15*SW + 1,15*G + 1,5*Q
MSCh(4)	SW + G + Q



Projekt:

Číslo projektu:

Autor:



Kombinace	Popis kritických účinků zatížení
MSP(6)	SW + G + 0,3*Q

## Posouzení průhybů

Kombinace	$d_x$ [m]	$u_{z,lin}$ [mm]	$u_{z,st}$ [mm]	$u_{z,ll}$ [mm]	$u_{z,lt}$ [mm]	$u_{z,lim} (\pm)$ [mm]
Celkové průhyby						
MSCh(4)	2,72	-2,2	-3,2	-4,1	-5,5	21,8

## Průhyby: lokální extrémy v polích

Kombinace: MSCh(4), Celkové průhyby



$d_x$ [m]	$u_{y,lin}$ [mm]	$u_{z,lin}$ [mm]	$u_{y,st}$ [mm]	$u_{z,st}$ [mm]	$u_{y,ll}$ [mm]	$u_{z,ll}$ [mm]	$u_{y,lt}$ [mm]	$u_{z,lt}$ [mm]	$u_{y,lim} (\pm)$ [mm]	$u_{z,lim} (\pm)$ [mm]
2,72	0,0	-2,2	0,0	-3,2	0,0	-4,1	0,0	-5,5	21,8	21,8
3,07	0,0	-2,1	0,0	-3,1	0,0	-4,0	0,0	-5,3	21,8	21,8

## Vysvětlení

Symbol	Vysvětlení
$d_x$	Staničení od počátku dimenzačního dílce
$u_{z,lin}$	Lineární průhyb ve směru osy z
$u_{z,st}$	Okamžitý průhyb ve směru osy z od celkového zatížení
$u_{z,ll}$	Dlouhodobý průhyb ve směru osy z od dlouhodobých zatížení včetně vlivu dotvarování betonu
$u_{z,lt}$	Celkový průhyb ve směru osy z včetně vlivu dotvarování betonu
$u_{z,incr}$	Přírůstek průhybu ve směru osy z
$u_{z,lim} (\pm)$	Mezní hodnota průhybu ve směru osy z
$u_{y,lin}$	Lineární průhyb ve směru osy y
$u_{y,st}$	Okamžitý průhyb ve směru osy y od celkového zatížení
$u_{y,ll}$	Dlouhodobý průhyb ve směru osy y od dlouhodobých zatížení včetně vlivu dotvarování betonu
$u_{y,lt}$	Celkový průhyb ve směru osy y včetně vlivu dotvarování betonu
$u_{y,incr}$	Přírůstek průhybu ve směru osy y
$u_{y,lim} (\pm)$	Mezní hodnota průhybu ve směru osy y

Projekt:  
Číslo projektu:  
Autor:



## Tuhost : extrémy na dimenzačním dílci

Kombinace: MSCh(4)

Pozice		Okamžité účinky dlouhodobých zatížení			Dlouhodobé účinky dlouhodobých zatížení			
Začátek [m]	Konec [m]	EA <sub>x</sub> [MN]	EI <sub>y</sub> [MNm <sup>2</sup> ]	EI <sub>z</sub> [MNm <sup>2</sup> ]	EA <sub>x</sub> [MN]	EI <sub>y</sub> [MNm <sup>2</sup> ]	EI <sub>z</sub> [MNm <sup>2</sup> ]	φ (t,t0) [-]
0,00	0,45	14408	89	2713	5818	39	1103	1,73
2,06	2,57	14408	89	2713	5818	39	1103	1,73
5,00	5,45	14408	89	2713	5818	39	1103	1,73

Pozice		Okamžité účinky celkových zatížení		
Začátek [m]	Konec [m]	EA <sub>x</sub> [MN]	EI <sub>y</sub> [MNm <sup>2</sup> ]	EI <sub>z</sub> [MNm <sup>2</sup> ]
0,00	0,45	14408	89	2713
2,06	2,57	9192	51	1742
5,00	5,45	14408	89	2713

### Vysvětlení

Symbol	Vysvětlení
EA <sub>x</sub>	Axiální tuhost
EI <sub>y</sub>	Ohybová tuhost okolo osy y
EI <sub>z</sub>	Ohybová tuhost okolo osy z
φ (t,t0)	Vypočtená hodnota součinitele dotvarování

### Kombinace vybrané pro posudek průhybů

Název	Typ	Popis
MSCh(4)	Celkem	SW + G + Q
	Dlouhodobé	SW + G + 0,30*Q

## Data dimenzačních dílců

Typ prvku	Nosník
Stupeň vlivu prostředí	X0
Relativní vlhkost	65 %
Součinitel dotvarování	Vypočtený
Význam nosného prvku	Velký
Redistribuce momentů	Vypnuto
Redukce momentů	Vypnuto
Redukce smykové síly	Vypnuto
Omezený posudek interakce	Vypnuto

### Data prvků nosníku

Rozpětí	Rovina	Délka [m]	Posudek podle 7.4.1 (4)		Posudek podle 7.4.1 (5)	
			Posudek	Mezní průhyby [mm]	Posudek	Mezní průhyby [mm]
1	XZ	5,45	True	21,8	False	
1	XY	5,45	True	21,8	False	

Projekt:  
Číslo projektu:  
Autor:



## Zóny vyztužení

Zóna	Začátek [m]	Konec [m]	Délka [m]	Vyztužení	Posudek
1	0,00	1,36	1,36	A-A	Ano
2	1,36	4,09	2,73	A-A	Ano
3	4,09	5,45	1,36	A-A	Ano

### Vyztužení

Název	Vyztužený průřez	Vyztužení
A-A		<p>Výztuž:</p> <p>14<math>\varnothing</math>14 (2155mm<sup>2</sup>) (B 500B), z = 106 mm  14<math>\varnothing</math>14 (2155mm<sup>2</sup>) (B 500B), z = -106 mm</p> <p>Třmínky:</p> <p><math>\varnothing</math>10 (B 500B) - 170 mm, uzavřený, pro posouzení kroucení  <math>\varnothing</math>10 (B 500B) - 170 mm, uzavřený, pro posouzení kroucení  <math>\varnothing</math>10 (B 500B) - 170 mm, uzavřený, pro posouzení kroucení</p>

### Materiál výztuže

Název	$f_{yk}$ [MPa]	$f_{tk}$ [MPa]	E [MPa]	$\nu$ [-]	Jednotková hmotnost [kg/m <sup>3</sup> ]
B 500B	500,0	540,0	200000,0	0,20	7850
$f_{tk}/f_{yk} = 1,08$ , $\epsilon_{uk} = 500,0 \cdot 10^{-4}$ , Typ: Vložky, Povrch výztuže: Žebírkový, Třída: B, Výroba: Za tepla válcovaná, Typ diagramu: Bilineární se stoupající horní větví					

Projekt:

Číslo projektu:

Autor:



## Obsah

- 1 Geometrie
- 2 Zatěžovací stavy
- 3 Zatížení
- 4 Kombinace zatížení
- 5 Výsledky
- 6 Posouzení betonu

## 1 Geometrie



### Schéma konstrukce

Směry zatížení a okrajové podmínky nemusí v rozvinutém pohledu souhlasit se skutečnými směry ve 3D

## Prvky

Prvek	Délka [m]	Delta X [m]	Delta Y [m]	Průřez
1	1,10	1,10	0,00	1 - Obdélník 265, 1500
2	3,98	3,50	0,00	1 - Obdélník 265, 1500
3	1,44	1,44	0,00	1 - Obdélník 265, 1500

## Uzly

Uzel	X [m]	Y [m]	Z [m]	Podpora
1	0,00	0,00	0,00	XYZRxRz
2	1,10	0,00	0,00	

Projekt:

Číslo projektu:

Autor:



Uzel	X [m]	Y [m]	Z [m]	Podpora
3	4,60	0,00	-1,90	
4	6,04	0,00	-1,90	YZ

## 2 Zatěžovací stavy

Název	Typ	Skupina zatížení	Zatížení [kN/m]
SW	Stálé	LG1	0,0
G	Stálé	LG1	0,0
Q	Proměnné	LG2	0,0

### Skupiny stálých zatížení

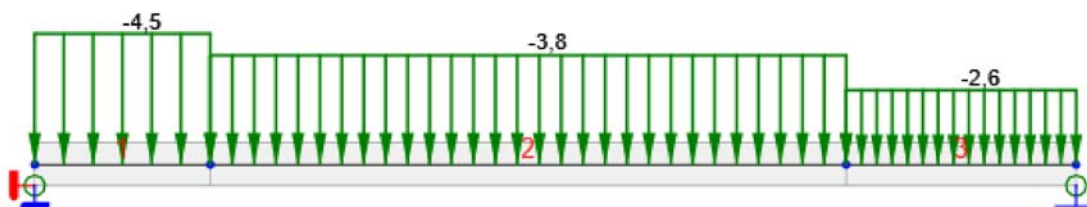
Název	Y <sub>G, sub</sub> [-]	Y <sub>G, inf</sub> [-]	ξ [-]
LG1	1,35	1,00	0,85

### Skupiny proměnných zatížení

Název	Typ	Y <sub>q</sub> [-]	ψ <sub>0</sub> [-]	ψ <sub>1</sub> [-]	ψ <sub>2</sub> [-]
LG2	Výběrová	1,50	0,70	0,50	0,30
LG3	Standardní	1,50	0,70	0,50	0,60

## 3 Zatížení

### Zatěžovací stav G



### Zatěžovací stav G

Projekt:

Číslo projektu:

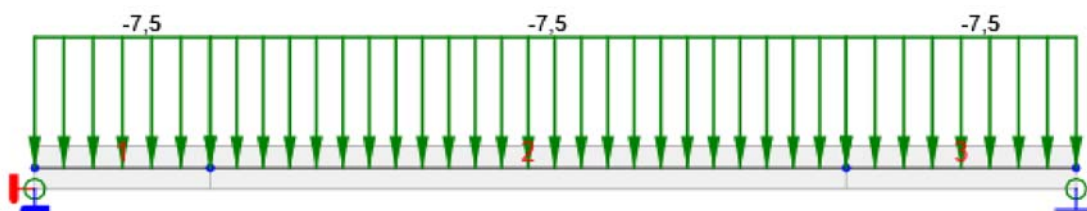
Autor:



#### Rovnoměrná zatížení

Prvek	Velikost [kN/m]	Směr	Umístění	Ey začátek [m]	Ey konec [m]	Ez začátek [m]	Ez konec [m]
1	-4,5	Globální Z	Délka	0,00	0,00	0,00	0,00
2	-3,8	Globální Z	Délka	0,00	0,00	0,00	0,00
3	-2,6	Globální Z	Délka	0,00	0,00	0,00	0,00

#### Zatěžovací stav Q



#### Zatěžovací stav Q

#### Rovnoměrná zatížení

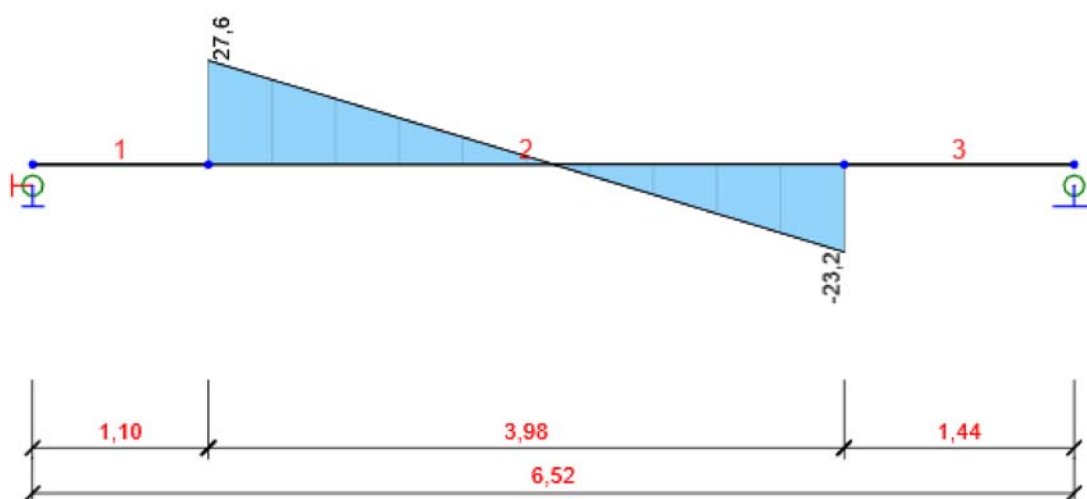
Prvek	Velikost [kN/m]	Směr	Umístění	Ey začátek [m]	Ey konec [m]	Ez začátek [m]	Ez konec [m]
1	-7,5	Globální Z	Délka	0,00	0,00	0,00	0,00
2	-7,5	Globální Z	Délka	0,00	0,00	0,00	0,00
3	-7,5	Globální Z	Délka	0,00	0,00	0,00	0,00

## 4 Kombinace zatížení

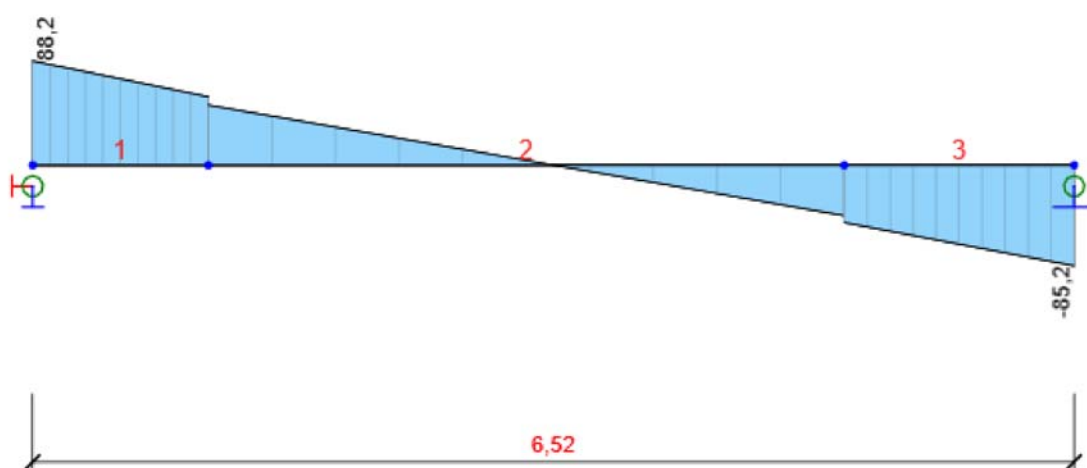
Název	Typ	Vyhodnocení
<b>MSU</b>	MSÚ základní	Eurokód, vzorec 6.10 a,b
SW; G; Q		
<b>MSCh</b>	MSP char	Eurokód, vzorec 6.14b
SW; G; Q		
<b>MSP</b>	MSP kvazi	Eurokód, vzorec 6.16b
SW; G; Q		

## 5 Výsledky

### Obálky



Všechny kombinace, N [kN], Síly k těžišti



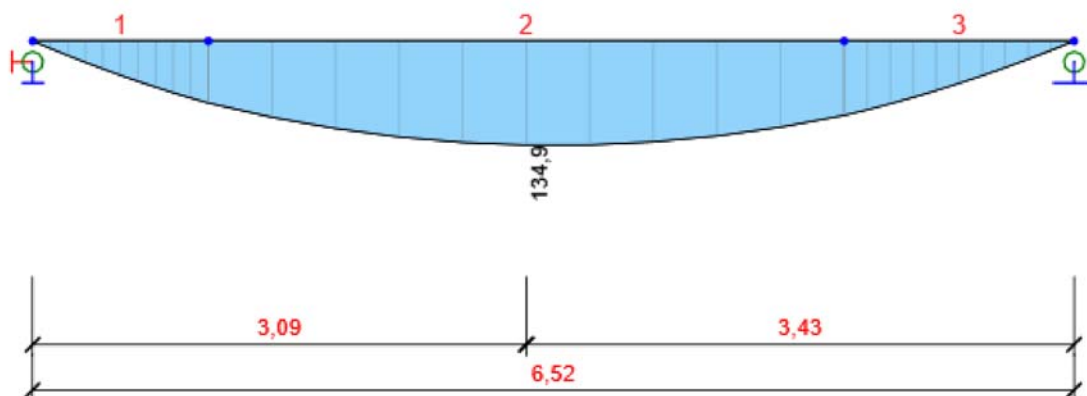
Všechny kombinace, Vz [kN], Síly k těžišti



Projekt:

Číslo projektu:

Autor:



Všechny kombinace,  $M_y$  [kNm], Síly k těžišti

Vnitřní síly, Extrém na prvku, Síly k těžišti

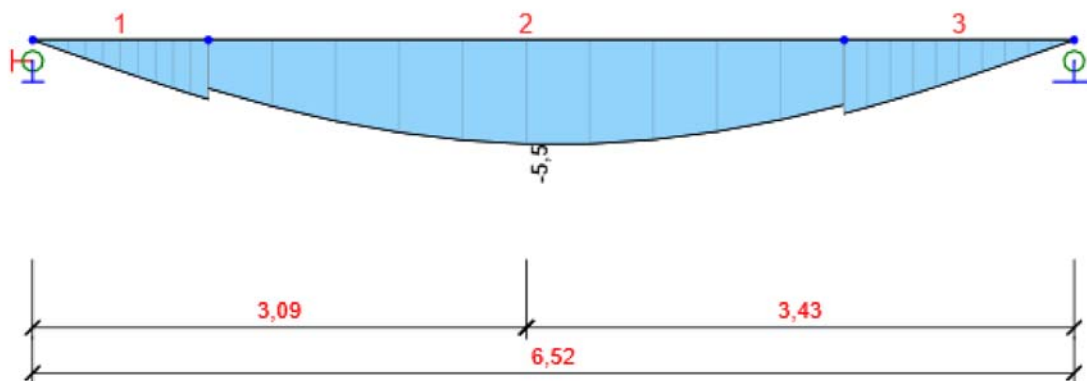
Prvek	Kombinace	Pozice [m]	N [kN]	$V_y$ [kN]	$V_z$ [kN]	$M_x$ [kNm]	$M_y$ [kNm]	$M_z$ [kNm]
1	MSU(4)	0,00	0,0	0,0	88,2	0,0	0,0	0,0
1	MSU(6)	1,10	0,0	0,0	56,7	0,0	78,6	0,0
1	MSU(4)	1,10	0,0	0,0	57,8	0,0	80,3	0,0
2	MSU(4)	3,98	-23,2	0,0	-42,8	0,0	96,4	0,0
2	MSU(4)	0,00	27,6	0,0	50,8	0,0	80,3	0,0
2	MSU(6)	0,00	27,0	0,0	49,8	0,0	78,6	0,0
2	MSU(4)	1,99	2,2	0,0	4,0	0,0	134,9	0,0
3	MSU(4)	0,00	0,0	0,0	-48,7	0,0	96,4	0,0
3	MSU(4)	1,44	0,0	0,0	-85,2	0,0	0,0	0,0
3	MSU(6)	0,00	0,0	0,0	-47,6	0,0	94,5	0,0

Kombinace	Popis kritických účinků zatížení
MSU(4)	1,15*SW + 1,15*G + 1,5*Q
MSU(6)	1,15*SW + G + 1,5*Q

Projekt:

Číslo projektu:

Autor:



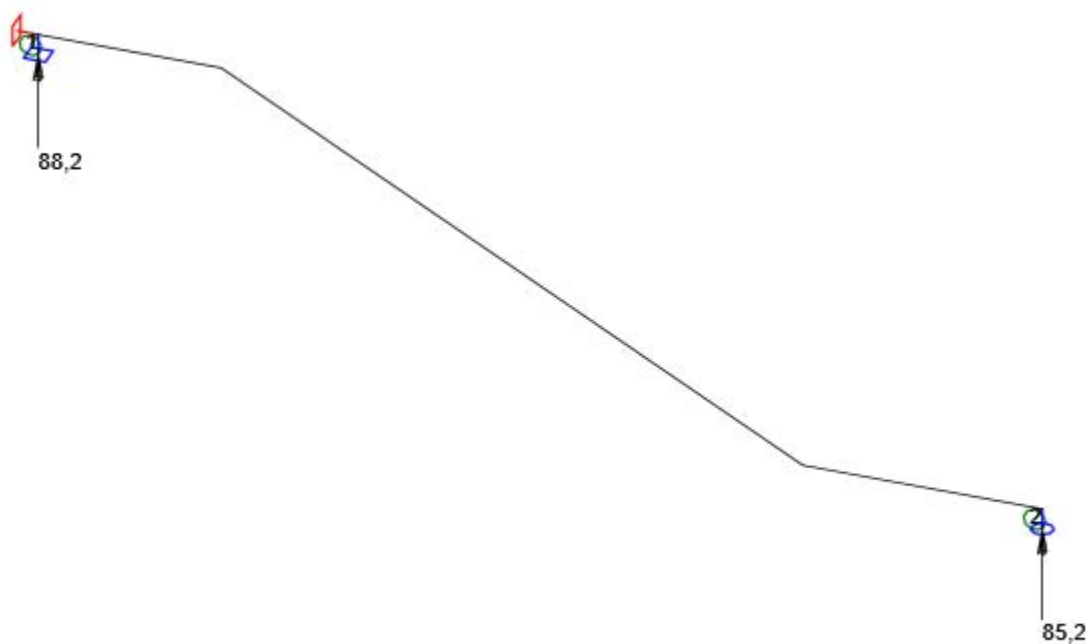
#### Všechny kombinace, Posun uz [mm]

#### Deformace, Extrém na prvku,

Prvek	Kombinace	Pozice [m]	$u_x$ [mm]	$u_y$ [mm]	$u_z$ [mm]	$f_{i_x}$ [mrad]	$f_{i_y}$ [mrad]	$f_{i_z}$ [mrad]
1	MSCh(2)	0,00	0,4	0,0	0,0	0,0	3,0	0,0
1	MSCh(2)	1,10	0,4	0,0	-3,1	0,0	2,5	0,0
2	MSCh(2)	0,00	1,8	0,0	-2,6	0,0	2,5	0,0
2	MSCh(2)	1,99	1,8	0,0	-5,5	0,0	0,2	0,0
2	MSCh(2)	3,98	1,8	0,0	-3,4	0,0	-2,2	0,0
3	MSCh(2)	0,00	0,0	0,0	-3,9	0,0	-2,2	0,0
3	MSCh(2)	1,44	0,0	0,0	0,0	0,0	-2,9	0,0

Kombinace	Popis kritických účinků zatížení
MSCh(2)	SW + G + Q

Projekt:  
Číslo projektu:  
Autor:



## Reakce

Uzel	Kombinace	$R_x$ [kN]	$R_y$ [kN]	$R_z$ [kN]	$M_x$ [kNm]	$M_y$ [kNm]	$M_z$ [kNm]
1	MSU(4)	0,0	0,0	88,2	0,0	0,0	0,0
2	MSU(4)	0,0	0,0	85,2	0,0	0,0	0,0

Kombinace	Popis kritických účinků zatížení
MSU(4)	$1,15 \cdot SW + 1,15 \cdot G + 1,5 \cdot Q$

## 6 Posouzení betonu

### Národní norma

Národní norma	EN 1992-1-1:2014-12, CSN:2016-04/NA:2012-01
Životnost	50 let

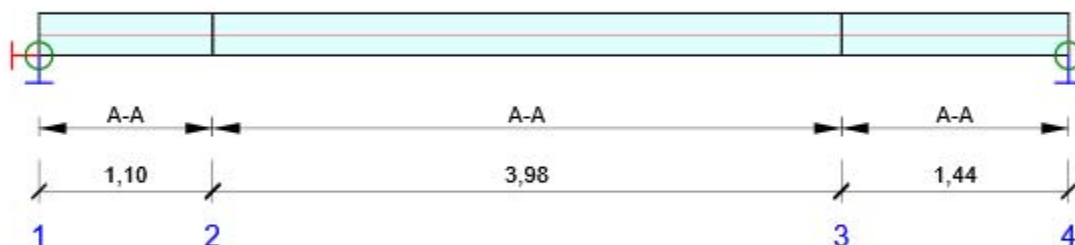
Projekt:

Číslo projektu:

Autor:



## Schéma vyztužení



## Souhrn posudků řezů

Kombinace	$N_{Ed}$ [kN]	$M_{Ed,y}$ [kNm]	$V_{Ed}$ [kN]	Hodnota [%]	Posudek
Únosnost N-M-M, Zóna: A-A (1,10 - 5,08)					
MSU(4)	2,2	134,9	4,0	62,2	OK
Smyk, Zóna: A-A (0,00 - 1,10)					
MSU(4)	0,0	0,0	88,2	37,1	OK
Omezení napětí, Zóna: A-A (1,10 - 5,08)					
MSCh(2)	1,7	105,9	3,1	57,8	OK
Šířka trhliny, Zóna: A-A (1,10 - 5,08)					
MSP(9)	1,2	79,4	2,3	23,6	OK

## Souhrn posudků průhybů

$d_x$ [m]	$u_{z,lin}$ [mm]	$u_{z,st}$ [mm]	$u_{z,II}$ [mm]	$u_{z,It}$ [mm]	$u_{z,lim}(\pm)$ [mm]	Hodnota [%]	Posudek
Celkové průhyby							
3,23	-5,5	-15,7	-14,5	-22,9	26,1	87,6	OK

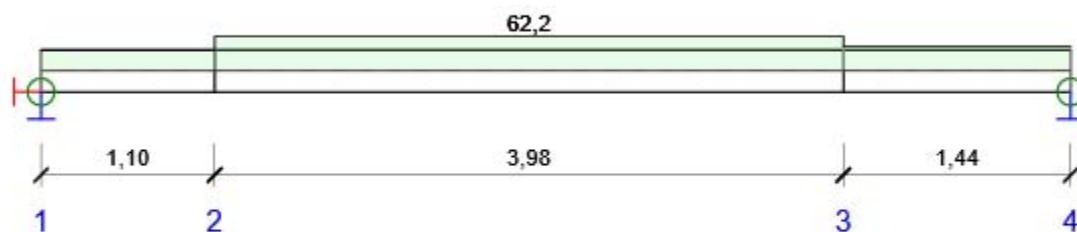
Projekt:

Číslo projektu:

Autor:



## Posudek řezu



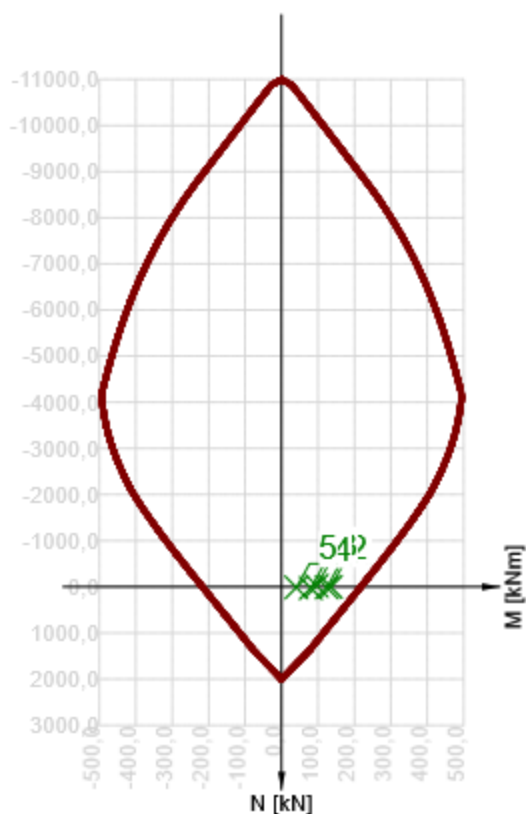
Souhrnné posouzení řezů

x začátek [m]	x konec [m]	Vyztužení	Rozhodující typ posudku	Hodnota [%]	Posudek
0,00	1,10	A-A	Smyk	37,1	OK
1,10	5,08	A-A	Únosnost N-M-M	62,2	OK
5,08	6,52	A-A	Únosnost N-M-M	44,3	OK

Mezní hodnota využití průřezu: 100,0 %





Posudek řezu pro zónu: A-A (1,10 m - 5,08 m)

Rozhodující typ posudku		Kombinace	N <sub>Ed</sub> [kN]	M <sub>Ed,y</sub> [kNm]	M <sub>Ed,z</sub> [kNm]	V <sub>Ed</sub> [kN]	T <sub>Ed</sub> [kNm]	Hodnota [%]	Posudek
Únosnost N-M-M		MSU(4)	2,2	134,9	0,0	4,0	0,0	62,2	OK
Kombinace	N <sub>Ed</sub> [kN]	M <sub>Ed,y</sub> [kNm]	M <sub>Ed,z</sub> [kNm]	V <sub>Ed</sub> [kN]	T <sub>Ed</sub> [kNm]	Hodnota [%]		Posudek	
Únosnost N-M-M									
MSU(4)	2,2	134,9	0,0	4,0	0,0	62,2		OK	
Smyk									
MSU(4)	27,6	80,3	0,0	50,8	0,0	21,2		OK	
Omezení napětí									
MSCh(2)	1,7	105,9	0,0	3,1	0,0	57,8		OK	
Šířka trhliny									
MSP(9)	1,2	79,4	0,0	2,3	0,0	23,6		OK	



	Extrém	N [kN]	My [kNm]	Mz [kNm]
1	MSU(4)	2,2	134,9	0,0
2	MSU(4)	12,3	124,3	0,0
3	MSU(4)	-23,2	96,4	0,0
4	MSU(4)	27,6	80,3	0,0
5	MSU(3)	13,9	40,6	0,0

#### Upozornění

	Typ posudku	Upozornění
	Smyk	Smyk je přenesen betonem, smyková výztuž je požadována z hlediska konstrukčních zásad, viz 6.2.2
	Omezení napětí, Šířka trhliny	Horní nebo dolní návrhová hodnota vnitřních sil v řezu u jedné z kombinací MSP vyvodila napětí betonu v tahu větší, než je pevnost betonu v tahu (průřez je potrhán). Na základě nastavení výpočtu se proto předpokládá vyloučení působení betonu v tahu v posudcích MSP pro všechny kombinace daného extrému. Předpoklady výpočtu pro posudky MSP v rámci jiného extrému daného řezu nejsou ovlivněny.
	Omezení napětí	Beton v tahu je vyloučen z působení, protože je průřez porušen trhlinami, viz čl. 7.1 (2)
	Omezení napětí	Podmínka omezení tlakových napětí v betonu při charakteristické kombinaci zatížení platí pouze pro konstrukce vystavené stupňům vlivu prostředí XD, XF a XS, viz 7.2 (2)

#### Kritické kombinace vybrané pro posouzení řezů

Kombinace	Popis kritických účinků zatížení
MSCh(2)	SW + G + Q
MSU(3)	SW + G
MSU(4)	1,15*SW + 1,15*G + 1,5*Q
MSP(9)	SW + G + 0,3*Q

**Projekt:**

**Číslo projektu:**

**Autor:**



Projekt:

Číslo projektu:

Autor:

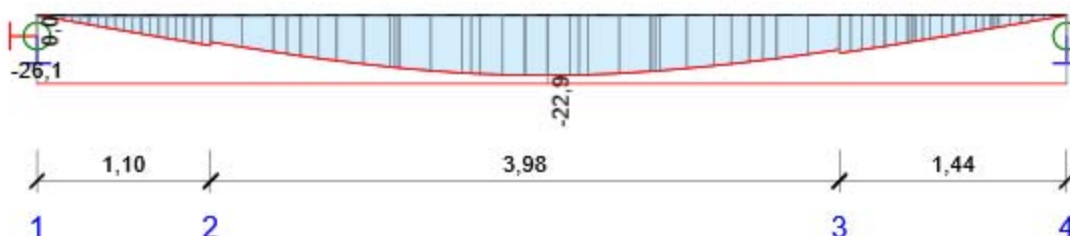


## Posouzení průhybů

Kombinace	$d_x$ [m]	$u_{z,lin}$ [mm]	$u_{z,st}$ [mm]	$u_{z,ll}$ [mm]	$u_{z,lt}$ [mm]	$u_{z,lim} (\pm)$ [mm]
Celkové průhyby						
MSCh(2)	3,23	-5,5	-15,7	-14,5	-22,9	26,1

## Průhyby: lokální extrém v polích

Kombinace: MSCh(2), Celkové průhyby



$d_x$ [m]	$u_{y,lin}$ [mm]	$u_{z,lin}$ [mm]	$u_{y,st}$ [mm]	$u_{z,st}$ [mm]	$u_{y,ll}$ [mm]	$u_{z,ll}$ [mm]	$u_{y,lt}$ [mm]	$u_{z,lt}$ [mm]	$u_{y,lim} (\pm)$ [mm]	$u_{z,lim} (\pm)$ [mm]
3,23	0,0	-5,5	0,0	-15,7	0,0	-14,5	0,0	-22,9	26,1	26,1
5,08	0,0	-3,9	0,0	-10,1	0,0	-8,9	0,0	-14,5	26,1	26,1

## Vysvětlení

Symbol	Vysvětlení
$d_x$	Staničení od počátku dimenzačního dílce
$u_{z,lin}$	Lineární průhyb ve směru osy z
$u_{z,st}$	Okamžitý průhyb ve směru osy z od celkového zatížení
$u_{z,ll}$	Dlouhodobý průhyb ve směru osy z od dlouhodobých zatížení včetně vlivu dotvarování betonu
$u_{z,lt}$	Celkový průhyb ve směru osy z včetně vlivu dotvarování betonu
$u_{z,incr}$	Přírůstek průhybu ve směru osy z
$u_{z,lim} (\pm)$	Mezní hodnota průhybu ve směru osy z
$u_{y,lin}$	Lineární průhyb ve směru osy y
$u_{y,st}$	Okamžitý průhyb ve směru osy y od celkového zatížení
$u_{y,ll}$	Dlouhodobý průhyb ve směru osy y od dlouhodobých zatížení včetně vlivu dotvarování betonu
$u_{y,lt}$	Celkový průhyb ve směru osy y včetně vlivu dotvarování betonu
$u_{y,incr}$	Přírůstek průhybu ve směru osy y
$u_{y,lim} (\pm)$	Mezní hodnota průhybu ve směru osy y



Projekt:  
Číslo projektu:  
Autor:



## Tuhost : extrémy na dimenzačním dílci

Kombinace: MSCh(2)

Pozice		Okamžité účinky dlouhodobých zatížení			Dlouhodobé účinky dlouhodobých zatížení			
Začátek [m]	Konec [m]	EA <sub>x</sub> [MN]	EI <sub>y</sub> [MNm <sup>2</sup> ]	EI <sub>z</sub> [MNm <sup>2</sup> ]	EA <sub>x</sub> [MN]	EI <sub>y</sub> [MNm <sup>2</sup> ]	EI <sub>z</sub> [MNm <sup>2</sup> ]	φ (t,t0) [-]
2,81	3,38	6750	36	1283	3084	21	592	1,73
6,04	6,52	14408	89	2713	5818	39	1103	1,73
Pozice			Okamžité účinky celkových zatížení					
Začátek [m]	Konec [m]	EA <sub>x</sub> [MN]	EI <sub>y</sub> [MNm <sup>2</sup> ]	EI <sub>z</sub> [MNm <sup>2</sup> ]				
2,81	3,38	4814	25	917				
6,04	6,52	14408	89	2713				

### Vysvětlení

Symbol	Vysvětlení
EA <sub>x</sub>	Axiální tuhost
EI <sub>y</sub>	Ohybová tuhost okolo osy y
EI <sub>z</sub>	Ohybová tuhost okolo osy z
φ (t,t0)	Vypočtená hodnota součinitele dotvarování

### Kombinace vybrané pro posudek průhybů

Název	Typ	Popis
MSCh(2)	Celkem	SW + G + Q
	Dlouhodobé	SW + G + 0,30*Q

## Data dimenzačních dílců

Typ prvku	Nosník
Stupeň vlivu prostředí	X0
Relativní vlhkost	65 %
Součinitel dotvarování	Vypočtený
Význam nosného prvku	Velký
Redistribuce momentů	Vypnuto
Redukce momentů	Vypnuto
Redukce smykové síly	Vypnuto
Omezený posudek interakce	Vypnuto

### Data prvků nosníku

Rozpětí	Rovina	Délka [m]	Posudek podle 7.4.1 (4)		Posudek podle 7.4.1 (5)	
			Posudek	Mezní průhyby [mm]	Posudek	Mezní průhyby [mm]
1	XZ	6,52	True	26,1	False	
1	XY	6,52	True	26,1	False	

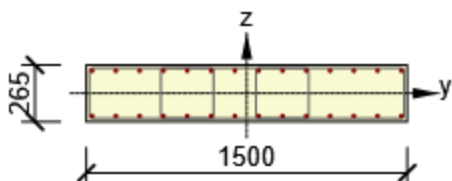
Projekt:  
Číslo projektu:  
Autor:



## Zóny vyztužení

Zóna	Začátek [m]	Konec [m]	Délka [m]	Vyztužení	Posudek
1	0,00	1,10	1,10	A-A	Ano
2	1,10	5,08	3,98	A-A	Ano
3	5,08	6,52	1,44	A-A	Ano

### Vyztužení

Název	Vyztužený průřez	Vyztužení
A-A		<p>Výztuž:</p> <p>14<math>\varnothing</math>14 (2155mm<sup>2</sup>) (B 500B), z = 106 mm</p> <p>14<math>\varnothing</math>14 (2155mm<sup>2</sup>) (B 500B), z = -106 mm</p> <p>Třmínky:</p> <p><math>\varnothing</math>10 (B 500B) - 170 mm, uzavřený, pro posouzení kroucení</p> <p><math>\varnothing</math>10 (B 500B) - 170 mm, uzavřený, pro posouzení kroucení</p> <p><math>\varnothing</math>10 (B 500B) - 170 mm, uzavřený, pro posouzení kroucení</p>

### Materiál výztuže

Název	$f_{yk}$ [MPa]	$f_{tk}$ [MPa]	E [MPa]	$\nu$ [-]	Jednotková hmotnost [kg/m <sup>3</sup> ]
B 500B	500,0	540,0	200000,0	0,20	7850
$f_{tk}/f_{yk} = 1,08$ , $\epsilon_{uk} = 500,0 \cdot 10^{-4}$ , Typ: Vložky, Povrch výztuže: Žebírkový, Třída: B, Výroba: Za tepla válcovaná, Typ diagramu: Bilineární se stoupající horní větví					

## Posouzení plošného základu - SCHODIŠTĚ

### Materiály a normy

Betonové konstrukce : EN 1992-1-1 (EC2)  
Součinitele EN 1992-1-1 : standardní

### Sedání

Metoda výpočtu : ČSN 73 1001 (Výpočet pomocí edometrického modulu)  
Omezení deformační zóny : pomocí strukturní pevnosti


### Patky

Metodika posouzení : výpočet podle EN 1997  
Posouzení tažené patky : standardní postup  
Dovolená excentricita : 0,333  
Návrhový přístup : 3 - redukce zatížení GEO, STR a materiálu

Součinitele redukce zatížení (F)					
Trvalá návrhová situace					
		Stav STR		Stav GEO	
		Nepříznivé	Příznivé	Nepříznivé	Příznivé
Stálé zatížení :	$\gamma_G =$	1,35 [-]	1,00 [-]	1,00 [-]	1,00 [-]

Součinitele redukce materiálu (M)			
Trvalá návrhová situace			
Součinitel redukce úhlu vnitřního tření :	$\gamma_\phi =$	1,25 [-]	
Součinitel redukce efektivní soudržnosti :	$\gamma_c =$	1,25 [-]	
Součinitel redukce neodv. smykové pevnosti :	$\gamma_{cu} =$	1,40 [-]	
Součinitel redukce pevnosti horniny :	$\gamma_v =$	1,40 [-]	

### Základní parametry zemín

Číslo	Název	Vzorek	$\phi_{ef}$ [°]	$c_{ef}$ [kPa]	$\gamma$ [kN/m <sup>3</sup> ]	$\gamma_{su}$ [kN/m <sup>3</sup> ]	$\delta$ [°]
1	Třída F5, konzistence tuhá		11,00	16,00	20,00	10,00	

Pro výpočet tlaku v klidu jsou všechny zeminy zadány jako nesoudržné.

### Parametry zemín

#### Třída F5, konzistence tuhá

Objemová tíha :  $\gamma = 20,00 \text{ kN/m}^3$   
Úhel vnitřního tření :  $\phi_{ef} = 11,00^\circ$   
Soudržnost zeminy :  $c_{ef} = 16,00 \text{ kPa}$   
Modul přetvárnosti :  $E_{def} = 4,00 \text{ MPa}$   
Poissonovo číslo :  $\nu = 0,40$   
Koef. strukturní pevnosti :  $m = 0,10$   
Obj.tíha sat.zeminy :  $\gamma_{sat} = 20,00 \text{ kN/m}^3$

### Založení

#### Typ základu: základový pas

Hloubka od původního terénu  $h_z = 1,20 \text{ m}$   
Hloubka základové spáry  $d = 1,20 \text{ m}$   
Tloušťka základu  $t = 0,50 \text{ m}$   
Sklon upraveného terénu  $s_1 = 0,00^\circ$   
Sklon základové spáry  $s_2 = 0,00^\circ$

### Nadloží

Typ: zadat objemovou tíhu

Objemová tíha zeminy nad základem = 20,00 kN/m<sup>3</sup>

### Geometrie konstrukce

**Typ základu: základový pas**

Celková délka pasu = 2,00 m

Šířka pasu (x) = 0,69 m


Šířka sloupu ve směru x = 0,27 m

Zadané zatížení je uvažováno na 1bm délky pasu.

Objem pasu = 0,34 m<sup>3</sup>/mObjem výkopu = 0,83 m<sup>3</sup>/mObjem zasypu = 0,29 m<sup>3</sup>/m**Materiál konstrukce**Objemová tíha  $\gamma$  = 23,00 kN/m<sup>3</sup>

Výpočet betonových konstrukcí proveden podle normy EN 1992-1-1 (EC2).

**Beton: C 25/30**Válcová pevnost v tlaku  $f_{ck}$  = 25,00 MPaPevnost v tahu  $f_{ctm}$  = 2,60 MPaModul pružnosti  $E_{cm}$  = 31000,00 MPa**Ocel podélná: B500B**Mez kluzu  $f_{yk}$  = 500,00 MPa**Ocel příčná: B500B**Mez kluzu  $f_{yk}$  = 500,00 MPa**Geologický profil a přiřazení zemin**

Číslo	Mocnost vrstvy t [m]	Hloubka z [m]	Přiřazená zemina	Vzorek
1	-	0,00 .. ∞	Třída F5, konzistence tuhá	

**Zatížení**

Číslo	Zatížení		Název	Typ	N [kN/m]	M <sub>y</sub> [kNm/m]	H <sub>x</sub> [kN/m]
	nové	změna					
1	Ano		Zatížení č. 1	Návrhové	85,00	0,00	0,00
2	Ano		Zatížení č. 1 - provozní	Užitné	60,71	0,00	0,00

**Plošná přitížení v okolí základu**

Číslo	Přítížení		Název	x <sub>s</sub> [m]	y <sub>s</sub> [m]	x [m]	y [m]	q [kPa]	α [°]	h [m]
	nové	změna								
1	Ano		Přítížení č. 1	0,00	0,00	2,80	2,80	22,50	0,00	0,00

**Celkové nastavení výpočtu**Typ výpočtu : zadat únosnost základové půdy R<sub>d</sub>**Nastavení výpočtu fáze**

Návrhová situace : trvalá

**Posouzení čís. 1****Posouzení zatěžovacích stavů**

Název	VI. tíha příznivě	e <sub>x</sub> [m]	e <sub>y</sub> [m]	σ [kPa]	R <sub>d</sub> [kPa]	Využití [%]	Vyhovuje
Zatížení č. 1	Ano	0,00	0,00	143,21	150,00	95,47	Ano
Zatížení č. 1	Ne	0,00	0,00	147,24	150,00	98,16	Ano

Výpočet proveden s automatickým výběrem nejnepříznivějších zatěžovacích stavů.

Spočtená vlastní tíha pasu G = 10,71 kN/m

Spočtená tíha nadloží Z = 5,88 kN/m

**Posouzení svislé únosnosti**

Tvar kontaktního napětí : obdélník

Nejpříznivější zatěžovací stav číslo 1. (Zatížení č. 1)

Únosnost základové půdy  $R_d = 150,00 \text{ kPa}$

Parametry smykové plochy pod základem:

Hloubka smykové plochy  $z_{sp} = 0,63 \text{ m}$

Dosah smykové plochy  $l_{sp} = 1,48 \text{ m}$

Výpočtová únosnost zákl. půdy  $R_d = 150,00 \text{ kPa}$

Extrémní kontaktní napětí  $\sigma = 147,24 \text{ kPa}$

### **Svislá únosnost VYHOVUJE**

#### **Posouzení excentricity zatížení**

Max. excentricita ve směru délky patky  $e_x = 0,000 < 0,333$

Max. excentricita ve směru šířky patky  $e_y = 0,000 < 0,333$

Max. prostorová excentricita  $e_t = 0,000 < 0,333$

### **Excentricita zatížení základu VYHOVUJE**

#### **Posouzení vodorovné únosnosti**

Nejnepříznivější zatěžovací stav číslo 1. (Zatížení č. 1)

Zemní odpor: klidový

Výpočtová velikost zemního odporu  $S_{pd} = 5,30 \text{ kN}$

Horizontální únosnost základu  $R_{dh} = 29,50 \text{ kN}$

Extrémní horizontální síla  $H = 0,00 \text{ kN}$

### **Vodorovná únosnost VYHOVUJE**

### **Únosnost základu VYHOVUJE**

#### **Posouzení čís. 1**

#### **Sednutí a natočení základu - vstupní data**

Výpočet proveden s automatickým výběrem nejnepříznivějších zatěžovacích stavů.

Výpočet proveden s uvažováním koeficientu  $\kappa_1$  (vliv hloubky založení).

Napětí v základové spáře uvažováno od upraveného terénu.

Spočtená vlastní tíha pasu  $G = 7,93 \text{ kN/m}$

Spočtená tíha nadloží  $Z = 5,88 \text{ kN/m}$

Sednutí středu délkové hrany  $= 6,4 \text{ mm}$

Sednutí středu šířkové hrany 1  $= 7,6 \text{ mm}$

Sednutí středu šířkové hrany 2  $= 7,6 \text{ mm}$

(1-hrana max.tlačená; 2-hrana min.tlačená)

#### **Sednutí a natočení základu - výsledky**

#### **Tuhost základu:**

Spočtený vážený průměrný modul přetvárnosti  $E_{def} = 4,00 \text{ MPa}$

Základ je ve směru délky tuhý ( $k=2948,93$ )

Základ je ve směru šířky tuhý ( $k=968,75$ )

#### **Posouzení excentricity zatížení**

Max. excentricita ve směru délky patky  $e_x = 0,000 < 0,333$

Max. excentricita ve směru šířky patky  $e_y = 0,000 < 0,333$

Max. prostorová excentricita  $e_t = 0,000 < 0,333$

### **Excentricita zatížení základu VYHOVUJE**

#### **Celkové sednutí a natočení základu:**

Sednutí základu  $= 7,6 \text{ mm}$

Hloubka deformační zóny  $= 3,01 \text{ m}$

Natočení ve směru šířky  $= 0,000 \text{ (tan*1000); (0,0E+00 °)}$

# Posouzení plošného základu – PATKA NA UZLU REAKCÍ 493

## Vstupní data

### Založení

#### Typ základu: centrická patka

Hloubka od původního terénu  $h_z = 1,20$  m

Hloubka základové spáry  $d = 1,20$  m

Tloušťka základu  $t = 0,50$  m

Sklon upraveného terénu  $s_1 = 0,00$  °

Sklon základové spáry  $s_2 = 0,00$  °

### Nadloží

Typ: zadat objemovou tíhu

Objemová tíha zeminy nad základem = 20,00 kN/m<sup>3</sup>

### Geometrie konstrukce

#### Typ základu: centrická patka

Délka patky  $x = 2,30$  m

Šířka patky  $y = 2,30$  m

Tvar sloupu obdélník

Šířka sloupu ve směru x  $c_x = 0,40$  m

Šířka sloupu ve směru y  $c_y = 0,40$  m

Objem patky = 2,64 m<sup>3</sup>

Objem výkopu = 6,35 m<sup>3</sup>

Objem zásypu = 3,59 m<sup>3</sup>

### Materiál konstrukce

Objemová tíha  $\gamma = 23,00$  kN/m<sup>3</sup>

Výpočet betonových konstrukcí proveden podle normy EN 1992-1-1 (EC2).

### Beton: C 25/30

Válcová pevnost v tlaku  $f_{ck} = 25,00$  MPa

Pevnost v tahu  $f_{ctm} = 2,60$  MPa

Modul pružnosti  $E_{cm} = 31000,00$  MPa

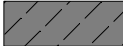
### Ocel podélná: B500B

Mez kluzu  $f_{yk} = 500,00$  MPa

### Ocel příčná: B500B

Mez kluzu  $f_{yk} = 500,00$  MPa

### Geologický profil a přiřazení zemin

Číslo	Mocnost vrstvy t [m]	Hloubka z [m]	Přiřazená zemina	Vzorek
1	-	0,00 .. ∞	Třída F5, konzistence tuhá	

### Zatížení

Číslo	Zatížení		Název	Typ	N [kN]	M <sub>x</sub> [kNm]	M <sub>y</sub> [kNm]	H <sub>x</sub> [kN]	H <sub>y</sub> [kN]
	nové	změna							
1	Ano		Zatížení č. 1	Návrhové	320,60	105,00	-36,00	5,60	1,00
2	Ano		Zatížení č. 2	Návrhové	213,65	188,50	-7,50	2,00	42,80
3	Ano		Zatížení č. 3	Návrhové	245,90	191,00	-7,60	2,10	42,90
4	Ano		Zatížení č. 4	Návrhové	299,00	112,00	-58,90	8,50	-5,40
5	Ano		Zatížení č. 5	Návrhové	231,00	191,00	-7,60	2,05	43,00
6	Ano		Zatížení č. 1 - provozní	Užitné	234,01	76,64	-26,28	4,09	0,73
7	Ano		Zatížení č. 2 - provozní	Užitné	155,95	137,59	-5,47	1,46	31,24
8	Ano		Zatížení č. 3 - provozní	Užitné	179,49	139,42	-5,55	1,53	31,31
9	Ano		Zatížení č. 4 - provozní	Užitné	218,25	81,75	-42,99	6,20	-3,94

Číslo	Zatížení		Název	Typ	N [kN]	M <sub>x</sub> [kNm]	M <sub>y</sub> [kNm]	H <sub>x</sub> [kN]	H <sub>y</sub> [kN]
	nové	změna							
10	Ano		Zatížení č. 5 - provozní	Užité	168,61	139,42	-5,55	1,50	31,39

#### Plošná přetížení v okolí základu

Číslo	Přetížení		Název	x <sub>s</sub> [m]	y <sub>s</sub> [m]	x [m]	y [m]	q [kPa]	α [°]	h [m]
	nové	změna								
1	Ano		Přetížení č. 1	0,00	0,00	2,80	2,80	23,00	0,00	0,00

#### Celkové nastavení výpočtu

Typ výpočtu : zadat únosnost základové půdy R<sub>d</sub>

#### Nastavení výpočtu fáze

Návrhová situace : trvalá

#### Posouzení čís. 1

#### Posouzení zatěžovacích stavů

Název	VI. tíha příznivě	e <sub>x</sub> [m]	e <sub>y</sub> [m]	σ [kPa]	R <sub>d</sub> [kPa]	Využití [%]	Vyhovuje
Zatížení č. 1	Ano	0,09	-0,23	116,06	150,00	77,38	Ano
Zatížení č. 1	Ne	0,08	-0,22	119,72	150,00	79,81	Ano
Zatížení č. 2	Ano	0,02	-0,61	141,44	150,00	94,29	Ano
Zatížení č. 2	Ne	0,02	-0,57	140,85	150,00	93,90	Ano
Zatížení č. 3	Ano	0,02	-0,56	142,60	150,00	95,07	Ano
Zatížení č. 3	Ne	0,02	-0,53	143,19	150,00	95,46	Ano
Zatížení č. 4	Ano	0,15	-0,25	119,89	150,00	79,93	Ano
Zatížení č. 4	Ne	0,14	-0,24	123,31	150,00	82,21	Ano
Zatížení č. 5	Ano	0,02	-0,58	142,70	150,00	95,13	Ano
Zatížení č. 5	Ne	0,02	-0,55	142,73	150,00	95,15	Ano

Výpočet proveden s automatickým výběrem nejnepříznivějších zatěžovacích stavů.

Spočtená vlastní tíha patky G = 82,13 kN

Spočtená tíha nadloží Z = 71,82 kN

#### Posouzení svislé únosnosti

Tvar kontaktního napětí : obdélník

Nejnepříznivější zatěžovací stav číslo 3. (Zatížení č. 3)

Únosnost základové půdy R<sub>d</sub> = 150,00 kPa

Parametry smykové plochy pod základem:

Hloubka smykové plochy z<sub>sp</sub> = 2,10 m

Dosah smykové plochy l<sub>sp</sub> = 4,93 m

Výpočtová únosnost zákl. půdy R<sub>d</sub> = 150,00 kPa

Extrémní kontaktní napětí σ = 143,19 kPa

#### Svislá únosnost VYHOVUJE

#### Posouzení excentricity zatížení

Max. excentricita ve směru délky patky e<sub>x</sub> = 0,064 < 0,333

Max. excentricita ve směru šířky patky e<sub>y</sub> = 0,264 < 0,333

Max. prostorová excentricita e<sub>t</sub> = 0,264 < 0,333

#### Excentricita zatížení základu VYHOVUJE

#### Posouzení vodorovné únosnosti

Nejnepříznivější zatěžovací stav číslo 2. (Zatížení č. 2)

Zemní odpor: klidový

Výpočtová velikost zemního odporu S<sub>pd</sub> = 17,68 kN

Horizontální únosnost základu R<sub>dh</sub> = 102,87 kN

Extrémní horizontální síla  $H = 42,85 \text{ kN}$

**Vodorovná únosnost VYHOVUJE**

**Únosnost základu VYHOVUJE**

**Posouzení čís. 1**

**Sednutí a natočení základu - vstupní data**

Výpočet proveden s automatickým výběrem nejnepříznivějších zatěžovacích stavů.

Výpočet proveden s uvažováním koeficientu  $\kappa_1$  (vliv hloubky založení).

Napětí v základové spáře uvažováno od upraveného terénu.

Spočtená vlastní tíha patky  $G = 60,83 \text{ kN}$

Spočtená tíha nadloží  $Z = 71,82 \text{ kN}$

Výpočet proveden za vyloučení tahu.

Rozměry patky po vyloučení tažených okrajů:

Délka patky  $(x) = 2,30 \text{ m}$

Šířka patky  $(y) = 1,96 \text{ m}$

Sednutí středu hrany  $x - 1 = 11,4 \text{ mm}$

Sednutí středu hrany  $x - 2 = 5,3 \text{ mm}$

Sednutí středu hrany  $y - 1 = 7,4 \text{ mm}$

Sednutí středu hrany  $y - 2 = 7,1 \text{ mm}$

Sednutí středu základu  $= 11,3 \text{ mm}$

Sednutí charakterist. bodu  $= 9,5 \text{ mm}$

(1-hrana max.tlačená; 2-hrana min.tlačená)

**Sednutí a natočení základu - výsledky**

**Tuhost základu:**

Spočtený vážený průměrný modul přetvárnosti  $E_{\text{def}} = 4,00 \text{ MPa}$

Základ je ve směru délky tuhý ( $k=79,62$ )

Základ je ve směru šířky tuhý ( $k=79,62$ )

**Posouzení excentricity zatížení**

Max. excentricita ve směru délky patky  $e_x = 0,057 < 0,333$

Max. excentricita ve směru šířky patky  $e_y = 0,231 < 0,333$

Max. prostorová excentricita  $e_t = 0,231 < 0,333$

**Excentricita zatížení základu VYHOVUJE**

**Celkové sednutí a natočení základu:**

Sednutí základu  $= 9,5 \text{ mm}$

Hloubka deformační zóny  $= 3,61 \text{ m}$

Natočení ve směru  $x = 1,018 (\tan^*1000); (5,8E-02^\circ)$

Natočení ve směru  $y = 2,661 (\tan^*1000); (1,5E-01^\circ)$

**Dimenzace čís. 1**

Výpočet proveden s automatickým výběrem nejnepříznivějších zatěžovacích stavů.

**Posouzení podélné výztuže základu ve směru x**

8 ks profil 16,0 mm, krytí 40,0 mm

Šířka průřezu  $= 2,30 \text{ m}$

Výška průřezu  $= 0,50 \text{ m}$

Stupeň vyztužení  $\rho = 0,15 \% > 0,14 \% = \rho_{\text{min}}$

Poloha neutrálné osy  $x = 0,02 \text{ m} < 0,28 \text{ m} = x_{\text{max}}$

Moment na mezi únosnosti  $M_{\text{Rd}} = 309,72 \text{ kNm} > 92,87 \text{ kNm} = M_{\text{Ed}}$

**Průřez VYHOVUJE.**

**Posouzení podélné výztuže základu ve směru y**

8 ks profil 16,0 mm, krytí 40,0 mm

Šířka průřezu  $= 2,30 \text{ m}$

Výška průřezu  $= 0,50 \text{ m}$

Stupeň vyztužení  $\rho = 0,15 \% > 0,14 \% = \rho_{\text{min}}$



Poloha neutrálné osy  $x = 0,02 \text{ m} < 0,28 \text{ m} = x_{\max}$   
Moment na mezi únosnosti  $M_{Rd} = 309,72 \text{ kNm} > 133,23 \text{ kNm} = M_{Ed}$

### **Průřez VYHOVUJE.**

#### **Posouzení základu na protlačení**

Normálová síla v sloupu = 245,90 kN

#### **Maximální únosnost na obvodu sloupu**

Síla přenesená roznášením do zákl. půdy	=	7,44 kN
Síla přenášená smykovou pevností patky	=	238,46 kN
Uvažovaný obvod sloupu	$u_0$	= 1,60 m
Smykové napětí na obvodu sloupu	$v_{Ed, \max}$	= 1,39 MPa
Únosnost na obvodu sloupu	$v_{Rd, \max}$	= 3,60 MPa

#### **Kritický průřez bez smykové výztuže**

Síla přenesená roznášením do zákl. půdy	=	49,43 kN
Síla přenášená smykovou pevností patky	=	196,47 kN
Vzdálenost průřezu od sloupu	=	0,34 m
Délka průřezu	$u$	= 3,73 m
Smykové napětí na průřezu	$v_{Ed}$	= 0,30 MPa
Únosnost nevyztuženého průřezu	$v_{Rd, c}$	= 1,00 MPa

$v_{Ed} < v_{Rd, c} \Rightarrow$  Výztuž není nutná

#### **Základ na protlačení VYHOVUJE**

## Posouzení plošného základu – PATKA NA UZLU REAKCÍ 512

### Vstupní data

#### Zatížení

Číslo	Zatížení		Název	Typ	N [kN]	M <sub>x</sub> [kNm]	M <sub>y</sub> [kNm]	H <sub>x</sub> [kN]	H <sub>y</sub> [kN]
	nové	změna							
1	Ano		Zatížení č. 1	Návrhové	209,00	40,00	13,40	-1,60	12,00
2	Ano		Zatížení č. 2	Návrhové	105,00	-81,30	31,00	-3,90	-25,00
3	Ano		Zatížení č. 3	Návrhové	140,40	56,10	-17,00	1,90	34,00
4	Ano		Zatížení č. 4	Návrhové	119,50	-83,00	31,00	-3,80	-25,00
5	Ano		Zatížení č. 1 - provozní	Užitné	152,55	29,20	9,78	-1,17	8,76
6	Ano		Zatížení č. 2 - provozní	Užitné	76,64	-59,34	22,63	-2,85	-18,25
7	Ano		Zatížení č. 3 - provozní	Užitné	102,48	40,95	-12,41	1,39	24,82
8	Ano		Zatížení č. 4 - provozní	Užitné	87,23	-60,58	22,63	-2,77	-18,25

#### Plošná přitížení v okolí základu

Číslo	Přítížení		Název	x <sub>s</sub> [m]	y <sub>s</sub> [m]	x [m]	y [m]	q [kPa]	α [°]	h [m]
	nové	změna								
1	Ano		Přítížení č. 1	0,00	0,00	2,80	2,80	22,50	0,00	0,00

#### Celkové nastavení výpočtu

Typ výpočtu : zadat únosnost základové půdy R<sub>d</sub>

#### Nastavení výpočtu fáze

Návrhová situace : trvalá

#### Posouzení čís. 1

#### Posouzení zatěžovacích stavů

Název	VI. tíha příznivě	e <sub>x</sub> [m]	e <sub>y</sub> [m]	σ [kPa]	R <sub>d</sub> [kPa]	Využití [%]	Vyhovuje
Zatížení č. 1	Ano	-0,05	-0,15	95,08	150,00	63,38	Ano
Zatížení č. 1	Ne	-0,04	-0,14	98,94	150,00	65,96	Ano
Zatížení č. 2	Ano	-0,16	0,46	112,58	150,00	75,05	Ano
Zatížení č. 2	Ne	-0,15	0,42	112,81	150,00	75,20	Ano
Zatížení č. 3	Ano	0,07	-0,30	93,28	150,00	62,19	Ano
Zatížení č. 3	Ne	0,07	-0,29	96,39	150,00	64,26	Ano
Zatížení č. 4	Ano	-0,15	0,44	114,26	150,00	76,17	Ano
Zatížení č. 4	Ne	-0,14	0,41	115,11	150,00	76,74	Ano

Výpočet proveden s automatickým výběrem nejnepříznivějších zatěžovacích stavů.

Spočtená vlastní tíha patky G = 62,10 kN

Spočtená tíha nadloží Z = 53,76 kN

#### Posouzení svislé únosnosti

Tvar kontaktního napětí : obdélník

Nejnepříznivější zatěžovací stav číslo 4. (Zatížení č. 4)

Únosnost základové půdy R<sub>d</sub> = 150,00 kPa

Parametry smykové plochy pod základem:

Hloubka smykové plochy z<sub>sp</sub> = 1,83 m

Dosah smykové plochy l<sub>sp</sub> = 4,29 m

Výpočtová únosnost zákl. půdy R<sub>d</sub> = 150,00 kPa

Extrémní kontaktní napětí σ = 115,11 kPa

#### Svislá únosnost VYHOVUJE

#### Posouzení excentricity zatížení

Max. excentricita ve směru délky patky e<sub>x</sub> = 0,080 < 0,333

Max. excentricita ve směru šířky patky  $e_y = 0,229 < 0,333$

Max. prostorová excentricita  $e_t = 0,243 < 0,333$

### **Excentricita zatížení základu VYHOVUJE**

#### **Posouzení vodorovné únosnosti**

Nejnepříznivější zatěžovací stav číslo 3. (Zatížení č. 3)

Zemní odpor: klidový

Výpočtová velikost zemního odporu  $S_{pd} = 15,37 \text{ kN}$

Horizontální únosnost základu  $R_{dh} = 85,67 \text{ kN}$

Extrémní horizontální síla  $H = 34,05 \text{ kN}$

#### **Vodorovná únosnost VYHOVUJE**

### **Únosnost základu VYHOVUJE**

#### **Posouzení čís. 1**

##### **Sednutí a natočení základu - vstupní data**

Výpočet proveden s automatickým výběrem nejnepříznivějších zatěžovacích stavů.

Výpočet proveden s uvažováním koeficientu  $\kappa_1$  (vliv hloubky založení).

Napětí v základové spáře uvažováno od upraveného terénu.

Spočtená vlastní tíha patky  $G = 46,00 \text{ kN}$

Spočtená tíha nadloží  $Z = 53,76 \text{ kN}$

Sednutí středu hrany x - 1 = 7,6 mm

Sednutí středu hrany x - 2 = 5,3 mm

Sednutí středu hrany y - 1 = 6,8 mm

Sednutí středu hrany y - 2 = 6,1 mm

Sednutí středu základu = 8,8 mm

Sednutí charakterist. bodu = 7,0 mm

(1-hrana max.tlačená; 2-hrana min.tlačená)

##### **Sednutí a natočení základu - výsledky**

##### **Tuhost základu:**

Spočtený vážený průměrný modul přetvárnosti  $E_{def} = 4,00 \text{ MPa}$

Základ je ve směru délky tuhý ( $k=121,09$ )

Základ je ve směru šířky tuhý ( $k=121,09$ )

##### **Posouzení excentricity zatížení**

Max. excentricita ve směru délky patky  $e_x = 0,068 < 0,333$

Max. excentricita ve směru šířky patky  $e_y = 0,194 < 0,333$

Max. prostorová excentricita  $e_t = 0,206 < 0,333$

### **Excentricita zatížení základu VYHOVUJE**

##### **Celkové sednutí a natočení základu:**

Sednutí základu = 7,0 mm

Hloubka deformační zóny = 3,21 m

Natočení ve směru x = 0,783 ( $\tan \cdot 1000$ ); ( $4,5E-02^\circ$ )

Natočení ve směru y = 1,690 ( $\tan \cdot 1000$ ); ( $9,7E-02^\circ$ )

# Posouzení plošného základu - PATKA NA UZLU REAKCÍ 521

## Vstupní data

Projekt

Datum : 07.04.2022

Zatížení

Číslo	Zatížení		Název	Typ	N [kN]	M <sub>x</sub> [kNm]	M <sub>y</sub> [kNm]	H <sub>x</sub> [kN]	H <sub>y</sub> [kN]
	nové	změna							
1	Ano		Zatížení č. 1	Návrhové	334,00	-13,10	2,33	-1,90	-2,40
2	Ano		Zatížení č. 2	Návrhové	205,00	0,00	-1,70	1,90	0,00
3	Ano		Zatížení č. 3	Návrhové	236,00	25,80	7,60	-4,70	4,80
4	Ano		Zatížení č. 4	Návrhové	287,00	-26,20	4,30	-3,10	-4,70
5	Ano		Zatížení č. 1 - provozní	Užitné	243,80	-9,56	1,70	-1,39	-1,75
6	Ano		Zatížení č. 2 - provozní	Užitné	149,64	0,00	-1,24	1,39	0,00
7	Ano		Zatížení č. 3 - provozní	Užitné	172,26	18,83	5,55	-3,43	3,50
8	Ano		Zatížení č. 4 - provozní	Užitné	209,49	-19,12	3,14	-2,26	-3,43

## Plošná přitížení v okolí základu

Číslo	Přítížení		Název	x <sub>s</sub> [m]	y <sub>s</sub> [m]	x [m]	y [m]	q [kPa]	α [°]	h [m]
	nové	změna								
1	Ano		Přítížení č. 1	0,00	0,00	2,80	2,80	22,50	0,00	0,00

## Celkové nastavení výpočtu

Typ výpočtu : zadat únosnost základové půdy R<sub>d</sub>

## Nastavení výpočtu fáze

Návrhová situace : trvalá

## Posouzení čís. 1

## Posouzení zatěžovacích stavů

Název	VI. tíha příznivě	e <sub>x</sub> [m]	e <sub>y</sub> [m]	σ [kPa]	R <sub>d</sub> [kPa]	Využití [%]	Vyhovuje
Zatížení č. 1	Ano	-0,01	0,03	112,99	150,00	75,33	Ano
Zatížení č. 1	Ne	-0,01	0,03	117,01	150,00	78,01	Ano
Zatížení č. 2	Ano	0,01	0,00	76,86	150,00	51,24	Ano
Zatížení č. 2	Ne	0,01	0,00	80,88	150,00	53,92	Ano
Zatížení č. 3	Ano	-0,03	-0,08	94,43	150,00	62,96	Ano
Zatížení č. 3	Ne	-0,03	-0,08	98,41	150,00	65,61	Ano
Zatížení č. 4	Ano	-0,02	0,07	106,00	150,00	70,67	Ano
Zatížení č. 4	Ne	-0,01	0,07	109,99	150,00	73,33	Ano

Výpočet proveden s automatickým výběrem nejnepříznivějších zatěžovacích stavů.

Spočtená vlastní tíha patky G = 62,10 kN

Spočtená tíha nadloží Z = 53,76 kN

## Posouzení svislé únosnosti

Tvar kontaktního napětí : obdélník

Nejnepříznivější zatěžovací stav číslo 1. (Zatížení č. 1)

Únosnost základové půdy R<sub>d</sub> = 150,00 kPa

Parametry smykové plochy pod základem:

Hloubka smykové plochy z<sub>sp</sub> = 1,83 m

Dosah smykové plochy l<sub>sp</sub> = 4,29 m

Výpočtová únosnost zákl. půdy R<sub>d</sub> = 150,00 kPa

Extrémní kontaktní napětí σ = 117,01 kPa

## Svislá únosnost VYHOVUJE

### Posouzení excentricity zatížení

Max. excentricita ve směru délky patky  $e_x = 0,015 < 0,333$

Max. excentricita ve směru šířky patky  $e_y = 0,042 < 0,333$

Max. prostorová excentricita  $e_t = 0,045 < 0,333$

### Excentricita zatížení základu VYHOVUJE

#### Posouzení vodorovné únosnosti

Nejnepříznivější zatěžovací stav číslo 3. (Zatížení č. 3)

Zemní odpor: klidový

Výpočtová velikost zemního odporu  $S_{pd} = 15,37 \text{ kN}$

Horizontální únosnost základu  $R_{dh} = 113,10 \text{ kN}$

Extrémní horizontální síla  $H = 6,72 \text{ kN}$

#### Vodorovná únosnost VYHOVUJE

### Únosnost základu VYHOVUJE

#### Posouzení čís. 1

##### Sednutí a natočení základu - vstupní data

Výpočet proveden s automatickým výběrem nejnepříznivějších zatěžovacích stavů.

Výpočet proveden s uvažováním koeficientu  $k_1$  (vliv hloubky založení).

Napětí v základové spáře uvažováno od upraveného terénu.

Spočtená vlastní tíha patky  $G = 46,00 \text{ kN}$

Spočtená tíha nadloží  $Z = 53,76 \text{ kN}$

Sednutí středu hrany x - 1 = 9,1 mm

Sednutí středu hrany x - 2 = 8,4 mm

Sednutí středu hrany y - 1 = 8,8 mm

Sednutí středu hrany y - 2 = 8,7 mm

Sednutí středu základu = 12,6 mm

Sednutí charakterist. bodu = 9,7 mm

(1-hrana max.tlačená; 2-hrana min.tlačená)

##### Sednutí a natočení základu - výsledky

##### Tuhost základu:

Spočtený vážený průměrný modul přetvárnosti  $E_{def} = 4,00 \text{ MPa}$

Základ je ve směru délky tuhý ( $k=121,09$ )

Základ je ve směru šířky tuhý ( $k=121,09$ )

### Posouzení excentricity zatížení

Max. excentricita ve směru délky patky  $e_x = 0,013 < 0,333$

Max. excentricita ve směru šířky patky  $e_y = 0,038 < 0,333$

Max. prostorová excentricita  $e_t = 0,040 < 0,333$

### Excentricita zatížení základu VYHOVUJE

##### Celkové sednutí a natočení základu:

Sednutí základu = 9,7 mm

Hloubka deformační zóny = 3,58 m

Natočení ve směru x = 0,243 ( $\tan \cdot 1000$ ); ( $1,4E-02^\circ$ )

Natočení ve směru y = 0,698 ( $\tan \cdot 1000$ ); ( $4,0E-02^\circ$ )

## Posouzení plošného základu - PATKA NA UZLU REAKCÍ 524, 545, 620

### Vstupní data

#### Zatížení

Číslo	Zatížení		Název	Typ	N [kN]	M <sub>x</sub> [kNm]	M <sub>y</sub> [kNm]	H <sub>x</sub> [kN]	H <sub>y</sub> [kN]
	nové	změna							
1	Ano		Zatížení č. 1	Návrhové	875,00	120,00	-22,50	6,00	20,00
2	Ano		Zatížení č. 2	Návrhové	752,00	169,00	-36,50	6,00	30,00
3	Ano		Zatížení č. 3	Návrhové	583,00	184,00	-35,00	8,00	32,00
4	Ano		Zatížení č. 4	Návrhové	641,00	16,50	-38,00	8,00	5,00
5	Ano		Zatížení č. 5	Návrhové	737,00	100,00	-35,00	5,00	18,00
6	Ano		Zatížení č. 1 - provozní	Užitné	638,69	87,59	-16,42	4,38	14,60
7	Ano		Zatížení č. 2 - provozní	Užitné	548,91	123,36	-26,64	4,38	21,90
8	Ano		Zatížení č. 3 - provozní	Užitné	425,55	134,31	-25,55	5,84	23,36
9	Ano		Zatížení č. 4 - provozní	Užitné	467,88	12,04	-27,74	5,84	3,65
10	Ano		Zatížení č. 5 - provozní	Užitné	537,96	72,99	-25,55	3,65	13,14

#### Plošná přitížení v okolí základu

Číslo	Přítížení		Název	x <sub>s</sub> [m]	y <sub>s</sub> [m]	x [m]	y [m]	q [kPa]	α [°]	h [m]
	nové	změna								
1	Ano		Přítížení č. 1	0,00	0,00	2,80	5,40	22,50	0,00	0,00

#### Celkové nastavení výpočtu

Typ výpočtu : zadat únosnost základové půdy R<sub>d</sub>

#### Nastavení výpočtu fáze

Návrhová situace : trvalá

#### Posouzení čís. 1

#### Posouzení zatěžovacích stavů

Název	VI. tíha příznivě	e <sub>x</sub> [m]	e <sub>y</sub> [m]	σ [kPa]	R <sub>d</sub> [kPa]	Využití [%]	Vyhovuje
Zatížení č. 1	Ano	0,02	-0,11	95,24	150,00	63,49	Ano
Zatížení č. 1	Ne	0,02	-0,10	99,25	150,00	66,17	Ano
Zatížení č. 2	Ano	0,04	-0,17	88,67	150,00	59,11	Ano
Zatížení č. 2	Ne	0,04	-0,16	92,66	150,00	61,77	Ano
Zatížení č. 3	Ano	0,04	-0,22	76,53	150,00	51,02	Ano
Zatížení č. 3	Ne	0,04	-0,21	80,50	150,00	53,67	Ano
Zatížení č. 4	Ano	0,04	-0,02	75,33	150,00	50,22	Ano
Zatížení č. 4	Ne	0,04	-0,02	79,35	150,00	52,90	Ano
Zatížení č. 5	Ano	0,04	-0,10	85,00	150,00	56,66	Ano
Zatížení č. 5	Ne	0,03	-0,10	89,01	150,00	59,34	Ano

Výpočet proveden s automatickým výběrem nejnepříznivějších zatěžovacích stavů.

Spočtená vlastní tíha patky G = 205,40 kN

Spočtená tíha nadloží Z = 160,58 kN

#### Posouzení svislé únosnosti

Tvar kontaktního napětí : obdélník

Nejnepříznivější zatěžovací stav číslo 1. (Zatížení č. 1)

Únosnost základové půdy R<sub>d</sub> = 150,00 kPa

Parametry smykové plochy pod základem:

Hloubka smykové plochy z<sub>sp</sub> = 2,24 m

Dosah smykové plochy l<sub>sp</sub> = 5,25 m

Výpočtová únosnost zákl. půdy R<sub>d</sub> = 150,00 kPa

Extrémní kontaktní napětí  $\sigma = 99,25 \text{ kPa}$

### Svislá únosnost VYHOVUJE

#### Posouzení excentricity zatížení

Max. excentricita ve směru délky patky  $e_x = 0,018 < 0,333$

Max. excentricita ve směru šířky patky  $e_y = 0,041 < 0,333$

Max. prostorová excentricita  $e_t = 0,045 < 0,333$

### Excentricita zatížení základu VYHOVUJE

#### Posouzení vodorovné únosnosti

Nejnepříznivější zatěžovací stav číslo 3. (Zatížení č. 3)

Zemní odpor: klidový

Výpočtová velikost zemního odporu  $S_{pd} = 18,83 \text{ kN}$

Horizontální únosnost základu  $R_{dh} = 307,94 \text{ kN}$

Extrémní horizontální síla  $H = 32,98 \text{ kN}$

### Vodorovná únosnost VYHOVUJE

### Únosnost základu VYHOVUJE

#### Posouzení čís. 1

#### Sednutí a natočení základu - vstupní data

Výpočet proveden s automatickým výběrem nejnepříznivějších zatěžovacích stavů.

Výpočet proveden s uvažováním koeficientu  $\kappa_1$  (vliv hloubky založení).

Napětí v základové spáře uvažováno od upraveného terénu.

Spočtená vlastní tíha patky  $G = 152,14 \text{ kN}$

Spočtená tíha nadloží  $Z = 160,58 \text{ kN}$

Sednutí středu hrany x - 1 = 10,5 mm

Sednutí středu hrany x - 2 = 9,0 mm

Sednutí středu hrany y - 1 = 11,5 mm

Sednutí středu hrany y - 2 = 11,1 mm

Sednutí středu základu = 15,6 mm

Sednutí charakterist. bodu = 11,9 mm

(1-hrana max.tlačená; 2-hrana min.tlačená)

#### Sednutí a natočení základu - výsledky

#### Tuhost základu:

Spočtený vážený průměrný modul přetvárnosti  $E_{def} = 4,00 \text{ MPa}$

Základ je ve směru délky tuhý ( $k=65,87$ )

Základ je ve směru šířky tuhý ( $k=6,15$ )

#### Posouzení excentricity zatížení

Max. excentricita ve směru délky patky  $e_x = 0,016 < 0,333$

Max. excentricita ve směru šířky patky  $e_y = 0,037 < 0,333$

Max. prostorová excentricita  $e_t = 0,040 < 0,333$

### Excentricita zatížení základu VYHOVUJE

#### Celkové sednutí a natočení základu:

Sednutí základu = 11,9 mm

Hloubka deformační zóny = 4,59 m


Natočení ve směru x = 0,300 ( $\tan \cdot 1000$ ); ( $1,7E-02^\circ$ )

Natočení ve směru y = 0,409 ( $\tan \cdot 1000$ ); ( $2,3E-02^\circ$ )

# Posouzení plošného základu - PATKA NA UZLU REAKCÍ 530, 548

## Vstupní data

### Základní parametry zemín

Číslo	Název	Vzorek	$\varphi_{ef}$ [°]	$c_{ef}$ [kPa]	$\gamma$ [kN/m <sup>3</sup> ]	$\gamma_{su}$ [kN/m <sup>3</sup> ]	$\delta$ [°]
1	Třída F5, konzistence tuhá		11,00	16,00	20,00	10,00	

Pro výpočet tlaku v klidu jsou všechny zeminy zadány jako nesoudržné.

### Parametry zemín

#### Třída F5, konzistence tuhá

Objemová tíha :  $\gamma = 20,00 \text{ kN/m}^3$   
Úhel vnitřního tření :  $\varphi_{ef} = 11,00^\circ$   
Soudržnost zeminy :  $c_{ef} = 16,00 \text{ kPa}$   
Modul přetvárnosti :  $E_{def} = 4,00 \text{ MPa}$   
Poissonovo číslo :  $\nu = 0,40$   
Koef. strukturní pevnosti :  $m = 0,10$   
Obj.tíha sat.zeminy :  $\gamma_{sat} = 20,00 \text{ kN/m}^3$

### Zatížení

Číslo	Zatížení		Název	Typ	N [kN]	$M_x$ [kNm]	$M_y$ [kNm]	$H_x$ [kN]	$H_y$ [kN]
	nové	změna							
1	Ano		Zatížení č. 1	Návrhové	1510,00	-39,00	-12,30	3,80	-8,50
2	Ano		Zatížení č. 2	Návrhové	977,00	0,00	26,00	-11,70	0,00
3	Ano		Zatížení č. 3	Návrhové	1435,00	74,00	-23,20	8,00	16,00
4	Ano		Zatížení č. 4	Návrhové	1300,00	0,00	35,00	-19,00	0,00
5	Ano		Zatížení č. 5	Návrhové	1030,00	74,00	-28,00	11,30	15,50
6	Ano		Zatížení č. 1 - provozní	Užitné	1078,57	-27,86	-8,79	2,71	-6,07
7	Ano		Zatížení č. 2 - provozní	Užitné	697,86	0,00	18,57	-8,36	0,00
8	Ano		Zatížení č. 3 - provozní	Užitné	1025,00	52,86	-16,57	5,71	11,43
9	Ano		Zatížení č. 4 - provozní	Užitné	928,57	0,00	25,00	-13,57	0,00
10	Ano		Zatížení č. 5 - provozní	Užitné	735,71	52,86	-20,00	8,07	11,07

### Plošná přitížení v okolí základu

Číslo	Přítížení		Název	$x_s$ [m]	$y_s$ [m]	$x$ [m]	$y$ [m]	$q$ [kPa]	$\alpha$ [°]	$h$ [m]
	nové	změna								
1	Ano		Přítížení č. 1	0,00	0,00	2,80	4,00	22,50	0,00	0,00

### Celkové nastavení výpočtu

Typ výpočtu : zadat únosnost základové půdy  $R_d$

### Nastavení výpočtu fáze

Návrhová situace : trvalá

### Posouzení čís. 1

#### Posouzení zatěžovacích stavů

Název	VI. tíha příznivě	$e_x$ [m]	$e_y$ [m]	$\sigma$ [kPa]	$R_d$ [kPa]	Využití [%]	Vyhovuje
Zatížení č. 1	Ano	0,01	0,02	137,58	150,00	91,72	Ano
Zatížení č. 1	Ne	0,01	0,02	141,60	150,00	94,40	Ano
Zatížení č. 2	Ano	-0,02	0,00	97,97	150,00	65,31	Ano
Zatížení č. 2	Ne	-0,02	0,00	101,99	150,00	68,00	Ano
Zatížení č. 3	Ano	0,02	-0,05	133,92	150,00	89,28	Ano
Zatížení č. 3	Ne	0,02	-0,05	137,94	150,00	91,96	Ano



Název	VI. tíha příznivě	$e_x$ [m]	$e_y$ [m]	$\sigma$ [kPa]	$R_d$ [kPa]	Využití [%]	Vyhovuje
Zatížení č. 4	Ano	-0,03	0,00	122,67	150,00	81,78	Ano
Zatížení č. 4	Ne	-0,03	0,00	126,69	150,00	84,46	Ano
Zatížení č. 5	Ano	0,02	-0,06	104,35	150,00	69,56	Ano
Zatížení č. 5	Ne	0,02	-0,06	108,37	150,00	72,24	Ano

Výpočet proveden s automatickým výběrem nejnejpříznivějších zatěžovacích stavů.

Spočtená vlastní tíha patky  $G = 209,59$  kN

Spočtená tíha nadloží  $Z = 164,36$  kN

#### Posouzení svislé únosnosti

Tvar kontaktního napětí : obdélník

Nejpříznivější zatěžovací stav číslo 1. (Zatížení č. 1)

Únosnost základové půdy  $R_d = 150,00$  kPa

Parametry smykové plochy pod základem:

Hloubka smykové plochy  $z_{sp} = 2,29$  m

Dosah smykové plochy  $l_{sp} = 5,36$  m

Výpočtová únosnost zákl. půdy  $R_d = 150,00$  kPa

Extrémní kontaktní napětí  $\sigma = 141,60$  kPa

#### Svislá únosnost VYHOVUJE

##### Posouzení excentricity zatížení

Max. excentricita ve směru délky patky  $e_x = 0,011 < 0,333$

Max. excentricita ve směru šířky patky  $e_y = 0,011 < 0,333$

Max. prostorová excentricita  $e_t = 0,015 < 0,333$

#### Excentricita zatížení základu VYHOVUJE

##### Posouzení vodorovné únosnosti

Nejpříznivější zatěžovací stav číslo 5. (Zatížení č. 5)

Zemní odpor: klidový

Výpočtová velikost zemního odporu  $S_{pd} = 19,22$  kN

Horizontální únosnost základu  $R_{dh} = 394,64$  kN

Extrémní horizontální síla  $H = 19,18$  kN

#### Vodorovná únosnost VYHOVUJE

#### Únosnost základu VYHOVUJE

##### Posouzení čís. 1

##### Sednutí a natočení základu - vstupní data

Výpočet proveden s automatickým výběrem nejnejpříznivějších zatěžovacích stavů.

Výpočet proveden s uvažováním koeficientu  $\kappa_1$  (vliv hloubky založení).

Napětí v základové spáře uvažováno od upraveného terénu.

Spočtená vlastní tíha patky  $G = 155,25$  kN

Spočtená tíha nadloží  $Z = 164,36$  kN

Sednutí středu hrany x - 1 = 14,4 mm

Sednutí středu hrany x - 2 = 13,9 mm

Sednutí středu hrany y - 1 = 17,0 mm

Sednutí středu hrany y - 2 = 16,7 mm

Sednutí středu základu = 24,2 mm

Sednutí charakterist. bodu = 17,7 mm

(1-hrana max.tlačená; 2-hrana min.tlačená)

##### Sednutí a natočení základu - výsledky

##### Tuhost základu:

Spočtený vážený průměrný modul přetvárnosti  $E_{def} = 4,00$  MPa

Základ je ve směru délky tuhý ( $k=62,00$ )

Základ je ve směru šířky tuhý ( $k=6,15$ )

#### **Posouzení excentricity zatížení**

Max. excentricita ve směru délky patky  $e_x = 0,010 < 0,333$

Max. excentricita ve směru šířky patky  $e_y = 0,010 < 0,333$

Max. prostorová excentricita  $e_t = 0,014 < 0,333$

#### **Excentricita zatížení základu VYHOVUJE**

#### **Celkové sednutí a natočení základu:**

Sednutí základu = 17,7 mm

Hloubka deformační zóny = 5,25 m

Natočení ve směru x = 0,301 ( $\tan^*1000$ ); ( $1,7E-02^\circ$ )

Natočení ve směru y = 0,170 ( $\tan^*1000$ ); ( $9,7E-03^\circ$ )

# Posouzení plošného základu - PATKA NA UZLU REAKCÍ 568, 570, 576

## Vstupní data

### Zatížení

Číslo	Zatížení		Název	Typ	N [kN]	M <sub>x</sub> [kNm]	M <sub>y</sub> [kNm]	H <sub>x</sub> [kN]	H <sub>y</sub> [kN]
	nové	změna							
1	Ano		Zatížení č. 1	Návrhové	432,00	80,00	6,00	-21,50	23,00
2	Ano		Zatížení č. 2	Návrhové	354,00	168,00	414,00	26,00	355,60
3	Ano		Zatížení č. 1 - provozní	Užitné	315,33	58,39	4,38	-15,69	16,79
4	Ano		Zatížení č. 2 - provozní	Užitné	258,39	122,63	302,19	18,98	259,56

### Plošná přitížení v okolí základu

Číslo	Přítížení		Název	x <sub>s</sub> [m]	y <sub>s</sub> [m]	x [m]	y [m]	q [kPa]	α [°]	h [m]
	nové	změna								
1	Ano		Přítížení č. 1	0,00	0,00	2,80	2,80	22,50	0,00	0,00

### Celkové nastavení výpočtu

Typ výpočtu : zadat únosnost základové půdy R<sub>d</sub>

### Nastavení výpočtu fáze

Návrhová situace : trvalá

### Posouzení čís. 1

### Posouzení zatěžovacích stavů

Název	VI. tíha příznivě	e <sub>x</sub> [m]	e <sub>y</sub> [m]	σ [kPa]	R <sub>d</sub> [kPa]	Využití [%]	Vyhovuje
Zatížení č. 1	Ano	-0,02	-0,09	42,40	150,00	28,27	Ano
Zatížení č. 1	Ne	-0,01	-0,08	46,42	150,00	30,95	Ano
Zatížení č. 2	Ano	-0,42	-0,36	58,94	150,00	39,29	Ano
Zatížení č. 2	Ne	-0,38	-0,33	62,11	150,00	41,40	Ano

Výpočet proveden s automatickým výběrem nejnepříznivějších zatěžovacích stavů.

Spočtená vlastní tíha patky G = 391,23 kN

Spočtená tíha nadloží Z = 313,60 kN

### Posouzení svislé únosnosti

Tvar kontaktního napětí : obdélník

Nejnepříznivější zatěžovací stav číslo 2. (Zatížení č. 2)

Únosnost základové půdy R<sub>d</sub> = 150,00 kPa

Parametry smykové plochy pod základem:

Hloubka smykové plochy z<sub>sp</sub> = 2,56 m

Dosah smykové plochy l<sub>sp</sub> = 6,00 m

Výpočtová únosnost zákl. půdy R<sub>d</sub> = 150,00 kPa

Extrémní kontaktní napětí σ = 62,11 kPa

### Svislá únosnost VYHOVUJE

### Posouzení excentricity zatížení

Max. excentricita ve směru délky patky e<sub>x</sub> = 0,150 < 0,333

Max. excentricita ve směru šířky patky e<sub>y</sub> = 0,040 < 0,333

Max. prostorová excentricita e<sub>t</sub> = 0,155 < 0,333

### Excentricita zatížení základu VYHOVUJE

### Posouzení vodorovné únosnosti

Nejnepříznivější zatěžovací stav číslo 2. (Zatížení č. 2)

Zemní odpor: klidový

Výpočtová velikost zemního odporu S<sub>pd</sub> = 21,52 kN

Horizontální únosnost základu  $R_{dh} = 378,32 \text{ kN}$

Extrémní horizontální síla  $H = 356,55 \text{ kN}$

**Vodorovná únosnost VYHOVUJE**

**Únosnost základu VYHOVUJE**

**Posouzení čís. 1**

**Sednutí a natočení základu - vstupní data**

Výpočet proveden s automatickým výběrem nejnepříznivějších zatěžovacích stavů.

Výpočet proveden s uvažováním koeficientu  $\kappa_1$  (vliv hloubky založení).

Napětí v základové spáře uvažováno od upraveného terénu.

Spočtená vlastní tíha patky  $G = 289,80 \text{ kN}$

Spočtená tíha nadloží  $Z = 313,60 \text{ kN}$

Sednutí středu hrany x - 1 = 4,4 mm

Sednutí středu hrany x - 2 = 4,0 mm

Sednutí středu hrany y - 1 = 4,6 mm

Sednutí středu hrany y - 2 = 4,5 mm

Sednutí středu základu = 5,8 mm

Sednutí charakterist. bodu = 4,9 mm

(1-hrana max.tlačená; 2-hrana min.tlačená)

**Sednutí a natočení základu - výsledky**

**Tuhost základu:**

Spočtený vážený průměrný modul přetvárnosti  $E_{def} = 4,00 \text{ MPa}$

Základ je ve směru délky tuhý ( $k=44,13$ )

Základ je ve směru šířky tuhý ( $k=1,33$ )

**Posouzení excentricity zatížení**

Max. excentricita ve směru délky patky  $e_x = 0,121 < 0,333$

Max. excentricita ve směru šířky patky  $e_y = 0,033 < 0,333$

Max. prostorová excentricita  $e_t = 0,126 < 0,333$

**Excentricita zatížení základu VYHOVUJE**

**Celkové sednutí a natočení základu:**

Sednutí základu = 4,9 mm

Hloubka deformační zóny = 3,08 m

Natočení ve směru x = 0,890 (tan\*1000); (5,1E-02 °)

Natočení ve směru y = 0,148 (tan\*1000); (8,5E-03 °)

## Posouzení plošného základu – 572, 659

### Vstupní data

#### Zatížení

Číslo	Zatížení		Název	Typ	N [kN]	M <sub>x</sub> [kNm]	M <sub>y</sub> [kNm]	H <sub>x</sub> [kN]	H <sub>y</sub> [kN]
	nové	změna							
1	Ano		Zatížení č. 1	Návrhové	270,00	85,00	-71,00	9,30	8,50
2	Ano		Zatížení č. 1 - provozní	Užitné	197,08	62,04	-51,82	6,79	6,20

#### Plošná přetížení v okolí základu

Číslo	Přetížení		Název	x <sub>s</sub> [m]	y <sub>s</sub> [m]	x [m]	y [m]	q [kPa]	α [°]	h [m]
	nové	změna								
1	Ano		Přetížení č. 1	0,00	0,00	2,80	4,00	22,50	0,00	0,00

#### Celkové nastavení výpočtu

Typ výpočtu : zadat únosnost základové půdy R<sub>d</sub>

#### Nastavení výpočtu fáze

Návrhová situace : trvalá

#### Posouzení čís. 1

#### Posouzení zatěžovacích stavů

Název	VI. tíha příznivě	e <sub>x</sub> [m]	e <sub>y</sub> [m]	σ [kPa]	R <sub>d</sub> [kPa]	Využití [%]	Vyhovuje
Zatížení č. 1	Ano	0,17	-0,20	78,37	150,00	52,24	Ano
Zatížení č. 1	Ne	0,16	-0,19	82,08	150,00	54,72	Ano

Výpočet proveden s automatickým výběrem nejnepříznivějších zatěžovacích stavů.

Spočtená vlastní tíha patky G = 119,54 kN

Spočtená tíha nadloží Z = 91,84 kN

#### Posouzení svislé únosnosti

Tvar kontaktního napětí : obdélník

Nejnepříznivější zatěžovací stav číslo 1. (Zatížení č. 1)

Únosnost základové půdy R<sub>d</sub> = 150,00 kPa

Parametry smykové plochy pod základem:

Hloubka smykové plochy z<sub>sp</sub> = 1,83 m

Dosah smykové plochy l<sub>sp</sub> = 4,29 m

Výpočtová únosnost zákl. půdy R<sub>d</sub> = 150,00 kPa

Extrémní kontaktní napětí σ = 82,08 kPa

#### Svislá únosnost VYHOVUJE

#### Posouzení excentricity zatížení

Max. excentricita ve směru délky patky e<sub>x</sub> = 0,084 < 0,333

Max. excentricita ve směru šířky patky e<sub>y</sub> = 0,051 < 0,333

Max. prostorová excentricita e<sub>t</sub> = 0,099 < 0,333

#### Excentricita zatížení základu VYHOVUJE

#### Posouzení vodorovné únosnosti

Nejnepříznivější zatěžovací stav číslo 1. (Zatížení č. 1)

Zemní odpor: klidový

Výpočtová velikost zemního odporu S<sub>pd</sub> = 15,37 kN

Horizontální únosnost základu R<sub>dh</sub> = 158,98 kN

Extrémní horizontální síla H = 12,60 kN

#### Vodorovná únosnost VYHOVUJE

#### Únosnost základu VYHOVUJE

## Posouzení čís. 1

### Sednutí a natočení základu - vstupní data

Výpočet proveden s automatickým výběrem nejnepříznivějších zatěžovacích stavů.

Výpočet proveden s uvažováním koeficientu  $\kappa_1$  (vliv hloubky založení).

Napětí v základové spáře uvažováno od upraveného terénu.

Spočtená vlastní tíha patky  $G = 88,55 \text{ kN}$

Spočtená tíha nadloží  $Z = 91,84 \text{ kN}$

Sednutí středu hrany x - 1 = 6,7 mm

Sednutí středu hrany x - 2 = 4,9 mm

Sednutí středu hrany y - 1 = 7,4 mm

Sednutí středu hrany y - 2 = 5,2 mm

Sednutí středu základu = 8,1 mm

Sednutí charakterist. bodu = 6,6 mm

(1-hrana max.tlačená; 2-hrana min.tlačená)

### Sednutí a natočení základu - výsledky

#### Tuhost základu:

Spočtený vážený průměrný modul přetvárnosti  $E_{\text{def}} = 4,00 \text{ MPa}$

Základ je ve směru délky tuhý ( $k=121,09$ )

Základ je ve směru šířky tuhý ( $k=16,98$ )

#### Posouzení excentricity zatížení

Max. excentricita ve směru délky patky  $e_x = 0,073 < 0,333$

Max. excentricita ve směru šířky patky  $e_y = 0,045 < 0,333$

Max. prostorová excentricita  $e_t = 0,086 < 0,333$

#### Excentricita zatížení základu VYHOVUJE

#### Celkové sednutí a natočení základu:

Sednutí základu = 6,6 mm

Hloubka deformační zóny = 3,43 m

Natočení ve směru x = 1,082 ( $\tan^*1000$ ); ( $6,2\text{E-}02^\circ$ )

Natočení ve směru y = 0,472 ( $\tan^*1000$ ); ( $2,7\text{E-}02^\circ$ )

# Posouzení plošného základu - PATKA NA UZLU REAKCÍ 584

## Vstupní data

### Zatížení

Číslo	Zatížení		Název	Typ	N [kN]	M <sub>x</sub> [kNm]	M <sub>y</sub> [kNm]	H <sub>x</sub> [kN]	H <sub>y</sub> [kN]
	nové	změna							
1	Ano		Zatížení č. 1	Návrhové	138,00	-7,20	-0,50	0,00	-1,30
2	Ano		Zatížení č. 2	Návrhové	85,70	15,00	-3,70	0,35	2,75
3	Ano		Zatížení č. 3	Návrhové	108,00	15,00	-2,90	0,23	2,90
4	Ano		Zatížení č. 1 - provozní	Užitné	100,73	-5,26	-0,36	0,00	-0,95
5	Ano		Zatížení č. 2 - provozní	Užitné	62,55	10,95	-2,70	0,26	2,01
6	Ano		Zatížení č. 3 - provozní	Užitné	78,83	10,95	-2,12	0,17	2,12

### Plošná přitížení v okolí základu

Číslo	Přítížení		Název	x <sub>s</sub> [m]	y <sub>s</sub> [m]	x [m]	y [m]	q [kPa]	α [°]	h [m]
	nové	změna								
1	Ano		Přítížení č. 1	0,00	0,00	2,80	2,80	22,50	0,00	0,00

### Celkové nastavení výpočtu

Typ výpočtu : zadat únosnost základové půdy R<sub>d</sub>

### Nastavení výpočtu fáze

Návrhová situace : trvalá

### Posouzení čís. 1

### Posouzení zatěžovacích stavů

Název	VI. tíha příznivě	e <sub>x</sub> [m]	e <sub>y</sub> [m]	σ [kPa]	R <sub>d</sub> [kPa]	Využití [%]	Vyhovuje
Zatížení č. 1	Ano	0,00	0,03	61,60	150,00	41,07	Ano
Zatížení č. 1	Ne	0,00	0,03	65,62	150,00	43,75	Ano
Zatížení č. 2	Ano	0,02	-0,09	51,94	150,00	34,63	Ano
Zatížení č. 2	Ne	0,02	-0,08	55,92	150,00	37,28	Ano
Zatížení č. 3	Ano	0,01	-0,08	57,24	150,00	38,16	Ano
Zatížení č. 3	Ne	0,01	-0,07	61,23	150,00	40,82	Ano

Výpočet proveden s automatickým výběrem nejnepříznivějších zatěžovacích stavů.

Spočtená vlastní tíha patky G = 62,10 kN

Spočtená tíha nadloží Z = 53,76 kN

### Posouzení svislé únosnosti

Tvar kontaktního napětí : obdélník

Nejnepříznivější zatěžovací stav číslo 1. (Zatížení č. 1)

Únosnost základové půdy R<sub>d</sub> = 150,00 kPa

Parametry smykové plochy pod základem:

Hloubka smykové plochy z<sub>sp</sub> = 1,83 m

Dosah smykové plochy l<sub>sp</sub> = 4,29 m

Výpočtová únosnost zákl. půdy R<sub>d</sub> = 150,00 kPa

Extrémní kontaktní napětí σ = 65,62 kPa

### Svislá únosnost VYHOVUJE

### Posouzení excentricity zatížení

Max. excentricita ve směru délky patky e<sub>x</sub> = 0,010 < 0,333

Max. excentricita ve směru šířky patky e<sub>y</sub> = 0,044 < 0,333

Max. prostorová excentricita e<sub>t</sub> = 0,045 < 0,333

### Excentricita zatížení základu VYHOVUJE

### Posouzení vodorovné únosnosti

Nejnepříznivější zatěžovací stav číslo 3. (Zatížení č. 3)

Zemní odpor: klidový

Výpočtová velikost zemního odporu  $S_{pd} = 15,37 \text{ kN}$

Horizontální únosnost základu  $R_{dh} = 94,14 \text{ kN}$

Extrémní horizontální síla  $H = 2,91 \text{ kN}$

**Vodorovná únosnost VYHOVUJE**

**Únosnost základu VYHOVUJE**

**Posouzení čís. 1**

**Sednutí a natočení základu - vstupní data**

Výpočet proveden s automatickým výběrem nejnepříznivějších zatěžovacích stavů.

Výpočet proveden s uvažováním koeficientu  $\kappa_1$  (vliv hloubky založení).

Napětí v základové spáře uvažováno od upraveného terénu.

Spočtená vlastní tíha patky  $G = 46,00 \text{ kN}$

Spočtená tíha nadloží  $Z = 53,76 \text{ kN}$

Sednutí středu hrany x - 1 = 5,4 mm

Sednutí středu hrany x - 2 = 5,0 mm

Sednutí středu hrany y - 1 = 5,2 mm

Sednutí středu hrany y - 2 = 5,2 mm

Sednutí středu základu = 6,8 mm

Sednutí charakterist. bodu = 5,6 mm

(1-hrana max.tlačená; 2-hrana min.tlačená)

**Sednutí a natočení základu - výsledky**

**Tuhost základu:**

Spočtený vážený průměrný modul přetvárnosti  $E_{def} = 4,00 \text{ MPa}$

Základ je ve směru délky tuhý ( $k=121,09$ )

Základ je ve směru šířky tuhý ( $k=121,09$ )

**Posouzení excentricity zatížení**

Max. excentricita ve směru délky patky  $e_x = 0,009 < 0,333$

Max. excentricita ve směru šířky patky  $e_y = 0,037 < 0,333$

Max. prostorová excentricita  $e_t = 0,038 < 0,333$

**Excentricita zatížení základu VYHOVUJE**

**Celkové sednutí a natočení základu:**

Sednutí základu = 5,6 mm

Hloubka deformační zóny = 2,96 m

Natočení ve směru x = 0,093 ( $\tan \cdot 1000$ ); (5,3E-03 °)

Natočení ve směru y = 0,400 ( $\tan \cdot 1000$ ); (2,3E-02 °)



## Posouzení plošného základu - PATKA NA UZLU REAKCÍ 590

### Vstupní data

#### Zatížení

Číslo	Zatížení		Název	Typ	N [kN]	M <sub>x</sub> [kNm]	M <sub>y</sub> [kNm]	H <sub>x</sub> [kN]	H <sub>y</sub> [kN]
	nové	změna							
1	Ano		Zatížení č. 1	Návrhové	456,00	83,00	-50,00	5,20	1,10
2	Ano		Zatížení č. 2	Návrhové	305,00	155,00	-20,00	2,80	30,00
3	Ano		Zatížení č. 3	Návrhové	378,00	158,00	-27,50	2,80	30,00
4	Ano		Zatížení č. 4	Návrhové	370,00	158,00	-30,00	2,80	30,00
5	Ano		Zatížení č. 5	Návrhové	370,00	52,00	-73,00	7,80	-11,90
6	Ano		Zatížení č. 1 - provozní	Užitné	332,85	60,58	-36,50	3,80	0,80
7	Ano		Zatížení č. 2 - provozní	Užitné	222,63	113,14	-14,60	2,04	21,90
8	Ano		Zatížení č. 3 - provozní	Užitné	275,91	115,33	-20,07	2,04	21,90
9	Ano		Zatížení č. 4 - provozní	Užitné	270,07	115,33	-21,90	2,04	21,90
10	Ano		Zatížení č. 5 - provozní	Užitné	270,07	37,96	-53,28	5,69	-8,69

#### Plošná přitížení v okolí základu

Číslo	Přítížení		Název	x <sub>s</sub> [m]	y <sub>s</sub> [m]	x [m]	y [m]	q [kPa]	α [°]	h [m]
	nové	změna								
1	Ano		Přítížení č. 1	0,00	0,00	2,80	2,80	22,50	0,00	0,00

#### Celkové nastavení výpočtu

Typ výpočtu : zadat únosnost základové půdy R<sub>d</sub>

#### Nastavení výpočtu fáze

Návrhová situace : trvalá

#### Posouzení čís. 1

#### Posouzení zatěžovacích stavů

Název	VI. tíha příznivě	e <sub>x</sub> [m]	e <sub>y</sub> [m]	σ [kPa]	R <sub>d</sub> [kPa]	Využití [%]	Vyhovuje
Zatížení č. 1	Ano	0,09	-0,14	118,22	150,00	78,81	Ano
Zatížení č. 1	Ne	0,08	-0,13	122,12	150,00	81,42	Ano
Zatížení č. 2	Ano	0,05	-0,37	108,81	150,00	72,54	Ano
Zatížení č. 2	Ne	0,04	-0,35	112,09	150,00	74,73	Ano
Zatížení č. 3	Ano	0,05	-0,32	120,71	150,00	80,47	Ano
Zatížení č. 3	Ne	0,05	-0,31	124,18	150,00	82,79	Ano
Zatížení č. 4	Ano	0,06	-0,33	120,09	150,00	80,06	Ano
Zatížení č. 4	Ne	0,06	-0,31	123,53	150,00	82,36	Ano
Zatížení č. 5	Ano	0,15	-0,09	102,66	150,00	68,44	Ano
Zatížení č. 5	Ne	0,14	-0,08	106,55	150,00	71,03	Ano

Výpočet proveden s automatickým výběrem nejnepříznivějších zatěžovacích stavů.

Spočtená vlastní tíha patky G = 97,03 kN

Spočtená tíha nadloží Z = 85,26 kN

#### Posouzení svislé únosnosti

Tvar kontaktního napětí : obdélník

Nejnepříznivější zatěžovací stav číslo 3. (Zatížení č. 3)

Únosnost základové půdy R<sub>d</sub> = 150,00 kPa

Parametry smykové plochy pod základem:

Hloubka smykové plochy z<sub>sp</sub> = 2,29 m

Dosah smykové plochy l<sub>sp</sub> = 5,36 m

Výpočtová únosnost zákl. půdy R<sub>d</sub> = 150,00 kPa

Extrémní kontaktní napětí  $\sigma = 124,18 \text{ kPa}$

### Svislá únosnost VYHOVUJE

#### Posouzení excentricity zatížení

Max. excentricita ve směru délky patky  $e_x = 0,058 < 0,333$

Max. excentricita ve směru šířky patky  $e_y = 0,147 < 0,333$

Max. prostorová excentricita  $e_t = 0,148 < 0,333$

### Excentricita zatížení základu VYHOVUJE

#### Posouzení vodorovné únosnosti

Nejnepříznivější zatěžovací stav číslo 2. (Zatížení č. 2)

Zemní odpor: klidový

Výpočtová velikost zemního odporu  $S_{pd} = 19,22 \text{ kN}$

Horizontální únosnost základu  $R_{dh} = 145,45 \text{ kN}$

Extrémní horizontální síla  $H = 30,13 \text{ kN}$

### Vodorovná únosnost VYHOVUJE

### Únosnost základu VYHOVUJE

#### Posouzení čís. 1

##### Sednutí a natočení základu - vstupní data

Výpočet proveden s automatickým výběrem nejnepříznivějších zatěžovacích stavů.

Výpočet proveden s uvažováním koeficientu  $\kappa_1$  (vliv hloubky založení).

Napětí v základové spáře uvažováno od upraveného terénu.

Spočtená vlastní tíha patky  $G = 71,88 \text{ kN}$

Spočtená tíha nadloží  $Z = 85,26 \text{ kN}$

Sednutí středu hrany x - 1 = 10,3 mm

Sednutí středu hrany x - 2 = 7,6 mm

Sednutí středu hrany y - 1 = 9,8 mm

Sednutí středu hrany y - 2 = 8,1 mm

Sednutí středu základu = 13,2 mm

Sednutí charakterist. bodu = 9,9 mm

(1-hrana max.tlačená; 2-hrana min.tlačená)

##### Sednutí a natočení základu - výsledky

#### Tuhost základu:

Spočtený vážený průměrný modul přetvárnosti  $E_{def} = 4,00 \text{ MPa}$

Základ je ve směru délky tuhý ( $k=62,00$ )

Základ je ve směru šířky tuhý ( $k=62,00$ )

#### Posouzení excentricity zatížení

Max. excentricita ve směru délky patky  $e_x = 0,053 < 0,333$

Max. excentricita ve směru šířky patky  $e_y = 0,131 < 0,333$

Max. prostorová excentricita  $e_t = 0,132 < 0,333$

### Excentricita zatížení základu VYHOVUJE

#### Celkové sednutí a natočení základu:

Sednutí základu = 9,9 mm

Hloubka deformační zóny = 3,79 m

Natočení ve směru x = 0,964 ( $\tan \cdot 1000$ ); ( $5,5E-02^\circ$ )

Natočení ve směru y = 2,106 ( $\tan \cdot 1000$ ); ( $1,2E-01^\circ$ )

## Posouzení plošného základu - PATKA NA UZLU REAKCÍ 662

### Vstupní data

#### Zatížení

Číslo	Zatížení		Název	Typ	N [kN]	M <sub>x</sub> [kNm]	M <sub>y</sub> [kNm]	H <sub>x</sub> [kN]	H <sub>y</sub> [kN]
	nové	změna							
1	Ano		Zatížení č. 1	Návrhové	415,30	170,22	-47,47	7,11	33,11
2	Ano		Zatížení č. 2	Návrhové	225,10	208,28	-39,70	8,23	41,44
3	Ano		Zatížení č. 3	Návrhové	252,00	223,50	-52,60	8,23	41,45
4	Ano		Zatížení č. 4	Návrhové	379,00	198,00	-61,00	8,70	38,80
5	Ano		Zatížení č. 5	Návrhové	291,00	222,50	-51,98	8,30	41,60
6	Ano		Zatížení č. 1 - provozní	Užitné	303,14	124,25	-34,65	5,19	24,17
7	Ano		Zatížení č. 2 - provozní	Užitné	164,31	152,03	-28,98	6,01	30,25
8	Ano		Zatížení č. 3 - provozní	Užitné	183,94	163,14	-38,39	6,01	30,26
9	Ano		Zatížení č. 4 - provozní	Užitné	276,64	144,53	-44,53	6,35	28,32
10	Ano		Zatížení č. 5 - provozní	Užitné	212,41	162,41	-37,94	6,06	30,36

#### Plošná přitížení v okolí základu

Číslo	Přítížení		Název	x <sub>s</sub> [m]	y <sub>s</sub> [m]	x [m]	y [m]	q [kPa]	α [°]	h [m]
	nové	změna								
1	Ano		Přítížení č. 1	0,00	0,00	2,80	2,80	23,00	0,00	0,00

#### Celkové nastavení výpočtu

Typ výpočtu : zadat únosnost základové půdy R<sub>d</sub>

#### Nastavení výpočtu fáze

Návrhová situace : trvalá

#### Posouzení čís. 1

#### Posouzení zatěžovacích stavů

Název	VI. tíha příznivě	e <sub>x</sub> [m]	e <sub>y</sub> [m]	σ [kPa]	R <sub>d</sub> [kPa]	Využití [%]	Vyhovuje
Zatížení č. 1	Ano	0,09	-0,33	133,46	150,00	88,97	Ano
Zatížení č. 1	Ne	0,09	-0,31	136,84	150,00	91,23	Ano
Zatížení č. 2	Ano	0,11	-0,60	129,31	150,00	86,20	Ano
Zatížení č. 2	Ne	0,11	-0,56	129,60	150,00	86,40	Ano
Zatížení č. 3	Ano	0,14	-0,60	140,92	150,00	93,95	Ano
Zatížení č. 3	Ne	0,13	-0,56	141,05	150,00	94,03	Ano
Zatížení č. 4	Ano	0,12	-0,41	140,69	150,00	93,79	Ano
Zatížení č. 4	Ne	0,12	-0,39	143,49	150,00	95,66	Ano
Zatížení č. 5	Ano	0,13	-0,54	140,87	150,00	93,91	Ano
Zatížení č. 5	Ne	0,12	-0,51	142,10	150,00	94,74	Ano

Výpočet proveden s automatickým výběrem nejnepříznivějších zatěžovacích stavů.

Spočtená vlastní tíha patky G = 97,03 kN

Spočtená tíha nadloží Z = 85,26 kN

#### Posouzení svislé únosnosti

Tvar kontaktního napětí : obdélník

Nejnepříznivější zatěžovací stav číslo 4. (Zatížení č. 4)

Únosnost základové půdy R<sub>d</sub> = 150,00 kPa

Parametry smykové plochy pod základem:

Hloubka smykové plochy z<sub>sp</sub> = 2,29 m

Dosah smykové plochy l<sub>sp</sub> = 5,36 m

Výpočtová únosnost zákl. půdy R<sub>d</sub> = 150,00 kPa

Extrémní kontaktní napětí  $\sigma = 143,49 \text{ kPa}$

### Svislá únosnost VYHOVUJE

#### Posouzení excentricity zatížení

Max. excentricita ve směru délky patky  $e_x = 0,055 < 0,333$

Max. excentricita ve směru šířky patky  $e_y = 0,240 < 0,333$

Max. prostorová excentricita  $e_t = 0,245 < 0,333$

### Excentricita zatížení základu VYHOVUJE

#### Posouzení vodorovné únosnosti

Nejnepříznivější zatěžovací stav číslo 2. (Zatížení č. 2)

Zemní odpor: klidový

Výpočtová velikost zemního odporu  $S_{pd} = 19,22 \text{ kN}$

Horizontální únosnost základu  $R_{dh} = 116,49 \text{ kN}$

Extrémní horizontální síla  $H = 42,25 \text{ kN}$

### Vodorovná únosnost VYHOVUJE

### Únosnost základu VYHOVUJE

#### Posouzení čís. 1

##### Sednutí a natočení základu - vstupní data

Výpočet proveden s automatickým výběrem nejnepříznivějších zatěžovacích stavů.

Výpočet proveden s uvažováním koeficientu  $\kappa_1$  (vliv hloubky založení).

Napětí v základové spáře uvažováno od upraveného terénu.

Spočtená vlastní tíha patky  $G = 71,88 \text{ kN}$

Spočtená tíha nadloží  $Z = 85,26 \text{ kN}$

Sednutí středu hrany x - 1 = 11,9 mm

Sednutí středu hrany x - 2 = 5,9 mm

Sednutí středu hrany y - 1 = 9,0 mm

Sednutí středu hrany y - 2 = 6,9 mm

Sednutí středu základu = 12,3 mm

Sednutí charakterist. bodu = 9,9 mm

(1-hrana max.tlačená; 2-hrana min.tlačená)

##### Sednutí a natočení základu - výsledky

#### Tuhost základu:

Spočtený vážený průměrný modul přetvárnosti  $E_{def} = 4,00 \text{ MPa}$

Základ je ve směru délky tuhý ( $k=62,00$ )

Základ je ve směru šířky tuhý ( $k=62,00$ )

#### Posouzení excentricity zatížení

Max. excentricita ve směru délky patky  $e_x = 0,049 < 0,333$

Max. excentricita ve směru šířky patky  $e_y = 0,209 < 0,333$

Max. prostorová excentricita  $e_t = 0,215 < 0,333$

### Excentricita zatížení základu VYHOVUJE

#### Celkové sednutí a natočení základu:

Sednutí základu = 9,9 mm

Hloubka deformační zóny = 3,78 m

Natočení ve směru x = 0,821 ( $\tan \cdot 1000$ ); (4,7E-02 °)

Natočení ve směru y = 2,417 ( $\tan \cdot 1000$ ); (1,4E-01 °)

# Posouzení plošného základu - PATKA NA UZLU REAKCÍ 581, 664

## Vstupní data

### Zatížení

Číslo	Zatížení		Název	Typ	N [kN]	M <sub>x</sub> [kNm]	M <sub>y</sub> [kNm]	H <sub>x</sub> [kN]	H <sub>y</sub> [kN]
	nové	změna							
1	Ano		Zatížení č. 1	Návrhové	585,50	-3,50	6,30	-2,40	-5,00
2	Ano		Zatížení č. 2	Návrhové	382,00	57,30	-11,00	0,91	15,00
3	Ano		Zatížení č. 3	Návrhové	410,00	60,00	-12,50	1,20	15,20
4	Ano		Zatížení č. 4	Návrhové	485,00	-56,00	-6,30	-0,50	-13,00
5	Ano		Zatížení č. 1 - provozní	Užitné	427,37	-2,55	4,60	-1,75	-3,65
6	Ano		Zatížení č. 2 - provozní	Užitné	278,83	41,82	-8,03	0,66	10,95
7	Ano		Zatížení č. 3 - provozní	Užitné	299,27	43,80	-9,12	0,88	11,09
8	Ano		Zatížení č. 4 - provozní	Užitné	354,01	-40,88	-4,60	-0,36	-9,49

### Plošná přitížení v okolí základu

Číslo	Přítížení		Název	x <sub>s</sub> [m]	y <sub>s</sub> [m]	x [m]	y [m]	q [kPa]	α [°]	h [m]
	nové	změna								
1	Ano		Přítížení č. 1	0,00	0,00	2,80	2,80	22,50	0,00	0,00

### Celkové nastavení výpočtu

Typ výpočtu : zadat únosnost základové půdy R<sub>d</sub>

### Nastavení výpočtu fáze

Návrhová situace : trvalá

### Posouzení čís. 1

### Posouzení zatěžovacích stavů

Název	VI. tíha příznivě	e <sub>x</sub> [m]	e <sub>y</sub> [m]	σ [kPa]	R <sub>d</sub> [kPa]	Využití [%]	Vyhovuje
Zatížení č. 1	Ano	-0,01	0,01	109,36	150,00	72,91	Ano
Zatížení č. 1	Ne	-0,01	0,01	113,38	150,00	75,59	Ano
Zatížení č. 2	Ano	0,02	-0,12	85,50	150,00	57,00	Ano
Zatížení č. 2	Ne	0,02	-0,11	89,50	150,00	59,67	Ano
Zatížení č. 3	Ano	0,02	-0,12	90,06	150,00	60,04	Ano
Zatížení č. 3	Ne	0,02	-0,11	94,06	150,00	62,70	Ano
Zatížení č. 4	Ano	0,01	0,10	99,15	150,00	66,10	Ano
Zatížení č. 4	Ne	0,01	0,09	103,16	150,00	68,77	Ano

Výpočet proveden s automatickým výběrem nejnepříznivějších zatěžovacích stavů.

Spočtená vlastní tíha patky G = 107,59 kN

Spočtená tíha nadloží Z = 81,06 kN

### Posouzení svislé únosnosti

Tvar kontaktního napětí : obdélník

Nejnepříznivější zatěžovací stav číslo 1. (Zatížení č. 1)

Únosnost základové půdy R<sub>d</sub> = 150,00 kPa

Parametry smykové plochy pod základem:

Hloubka smykové plochy z<sub>sp</sub> = 1,65 m

Dosah smykové plochy l<sub>sp</sub> = 3,86 m

Výpočtová únosnost zákl. půdy R<sub>d</sub> = 150,00 kPa

Extrémní kontaktní napětí σ = 113,38 kPa

### Svislá únosnost VYHOVUJE

### Posouzení excentricity zatížení

Max. excentricita ve směru délky patky e<sub>x</sub> = 0,013 < 0,333

Max. excentricita ve směru šířky patky  $e_y = 0,031 < 0,333$

Max. prostorová excentricita  $e_t = 0,033 < 0,333$

### **Excentricita zatížení základu VYHOVUJE**

#### **Posouzení vodorovné únosnosti**

Nejnepříznivější zatěžovací stav číslo 2. (Zatížení č. 2)

Zemní odpor: klidový

Výpočtová velikost zemního odporu  $S_{pd} = 13,84 \text{ kN}$

Horizontální únosnost základu  $R_{dh} = 179,49 \text{ kN}$

Extrémní horizontální síla  $H = 15,03 \text{ kN}$

#### **Vodorovná únosnost VYHOVUJE**

### **Únosnost základu VYHOVUJE**

#### **Posouzení čís. 1**

##### **Sednutí a natočení základu - vstupní data**

Výpočet proveden s automatickým výběrem nejnepříznivějších zatěžovacích stavů.

Výpočet proveden s uvažováním koeficientu  $\kappa_1$  (vliv hloubky založení).

Napětí v základové spáře uvažováno od upraveného terénu.

Spočtená vlastní tíha patky  $G = 79,69 \text{ kN}$

Spočtená tíha nadloží  $Z = 81,06 \text{ kN}$

Sednutí středu hrany x - 1 = 9,0 mm

Sednutí středu hrany x - 2 = 8,9 mm

Sednutí středu hrany y - 1 = 10,5 mm

Sednutí středu hrany y - 2 = 10,3 mm

Sednutí středu základu = 14,3 mm

Sednutí charakterist. bodu = 10,9 mm

(1-hrana max.tlačená; 2-hrana min.tlačená)

##### **Sednutí a natočení základu - výsledky**

##### **Tuhost základu:**

Spočtený vážený průměrný modul přetvárnosti  $E_{def} = 4,00 \text{ MPa}$

Základ je ve směru délky tuhý ( $k=166,11$ )

Základ je ve směru šířky tuhý ( $k=16,98$ )

##### **Posouzení excentricity zatížení**

Max. excentricita ve směru délky patky  $e_x = 0,012 < 0,333$

Max. excentricita ve směru šířky patky  $e_y = 0,028 < 0,333$

Max. prostorová excentricita  $e_t = 0,030 < 0,333$

### **Excentricita zatížení základu VYHOVUJE**

##### **Celkové sednutí a natočení základu:**

Sednutí základu = 10,9 mm

Hloubka deformační zóny = 3,94 m

Natočení ve směru x = 0,235 ( $\tan \cdot 1000$ ); ( $1,3E-02^\circ$ )

Natočení ve směru y = 0,377 ( $\tan \cdot 1000$ ); ( $2,2E-02^\circ$ )

# Posouzení plošného základu - PATKA NA UZLU REAKCÍ 676

## Vstupní data

### Zatížení

Číslo	Zatížení		Název	Typ	N [kN]	M <sub>x</sub> [kNm]	M <sub>y</sub> [kNm]	H <sub>x</sub> [kN]	H <sub>y</sub> [kN]
	nové	změna							
1	Ano		max N	Návrhové	655,00	-22,00	2,00	-3,10	-7,10
2	Ano		max M <sub>x</sub>	Návrhové	564,00	41,50	-7,35	1,10	12,20
3	Ano		max M <sub>y</sub>	Návrhové	545,00	-5,70	14,90	-8,20	-7,80
4	Ano		min N	Návrhové	385,00	40,00	-10,00	3,00	12,10
5	Ano		max N - provozní	Užitné	478,10	-16,06	1,46	-2,26	-5,18
6	Ano		max M <sub>x</sub> - provozní	Užitné	411,68	30,29	-5,36	0,80	8,91
7	Ano		max M <sub>y</sub> - provozní	Užitné	397,81	-4,16	10,88	-5,99	-5,69
8	Ano		min N - provozní	Užitné	281,02	29,20	-7,30	2,19	8,83

### Plošná přetížení v okolí základu

Číslo	Přetížení		Název	x <sub>s</sub> [m]	y <sub>s</sub> [m]	x [m]	y [m]	q [kPa]	α [°]	h [m]
	nové	změna								
1	Ano		Přetížení č. 1	0,00	0,00	2,80	2,80	22,50	0,00	0,00

### Celkové nastavení výpočtu

Typ výpočtu : zadat únosnost základové půdy R<sub>d</sub>

### Nastavení výpočtu fáze

Návrhová situace : trvalá

### Posouzení čís. 1

### Posouzení zatěžovacích stavů

Název	VI. tíha příznivě	e <sub>x</sub> [m]	e <sub>y</sub> [m]	σ [kPa]	R <sub>d</sub> [kPa]	Využití [%]	Vyhovuje
max N	Ano	0,00	0,03	133,76	150,00	89,18	Ano
max N	Ne	0,00	0,03	137,79	150,00	91,86	Ano
max M <sub>x</sub>	Ano	0,01	-0,07	122,89	150,00	81,93	Ano
max M <sub>x</sub>	Ne	0,01	-0,06	126,90	150,00	84,60	Ano
max M <sub>y</sub>	Ano	-0,03	0,01	116,10	150,00	77,40	Ano
max M <sub>y</sub>	Ne	-0,03	0,01	120,12	150,00	80,08	Ano
min N	Ano	0,02	-0,08	94,67	150,00	63,11	Ano
min N	Ne	0,02	-0,08	98,67	150,00	65,78	Ano

Výpočet proveden s automatickým výběrem nejnepříznivějších zatěžovacích stavů.

Spočtená vlastní tíha patky G = 97,03 kN

Spočtená tíha nadloží Z = 85,26 kN

### Posouzení svislé únosnosti

Tvar kontaktního napětí : obdélník

Nejnepříznivější zatěžovací stav číslo 1. (max N)

Únosnost základové půdy R<sub>d</sub> = 150,00 kPa

Parametry smykové plochy pod základem:

Hloubka smykové plochy z<sub>sp</sub> = 2,29 m

Dosah smykové plochy l<sub>sp</sub> = 5,36 m

Výpočtová únosnost zákl. půdy R<sub>d</sub> = 150,00 kPa

Extrémní kontaktní napětí σ = 137,79 kPa

### Svislá únosnost VYHOVUJE

### Posouzení excentricity zatížení

Max. excentricita ve směru délky patky e<sub>x</sub> = 0,011 < 0,333

Max. excentricita ve směru šířky patky  $e_y = 0,034 < 0,333$

Max. prostorová excentricita  $e_t = 0,035 < 0,333$

### **Excentricita zatížení základu VYHOVUJE**

#### **Posouzení vodorovné únosnosti**

Nejnepříznivější zatěžovací stav číslo 4. (min N)

Zemní odpor: klidový

Výpočtová velikost zemního odporu  $S_{pd} = 19,22 \text{ kN}$

Horizontální únosnost základu  $R_{dh} = 176,82 \text{ kN}$

Extrémní horizontální síla  $H = 12,47 \text{ kN}$

#### **Vodorovná únosnost VYHOVUJE**

### **Únosnost základu VYHOVUJE**

#### **Posouzení čís. 1**

##### **Sednutí a natočení základu - vstupní data**

Výpočet proveden s automatickým výběrem nejnepříznivějších zatěžovacích stavů.

Výpočet proveden s uvažováním koeficientu  $\kappa_1$  (vliv hloubky založení).

Napětí v základové spáře uvažováno od upraveného terénu.

Spočtená vlastní tíha patky  $G = 71,88 \text{ kN}$

Spočtená tíha nadloží  $Z = 85,26 \text{ kN}$

Sednutí středu hrany x - 1 = 12,3 mm

Sednutí středu hrany x - 2 = 11,5 mm

Sednutí středu hrany y - 1 = 11,9 mm

Sednutí středu hrany y - 2 = 11,8 mm

Sednutí středu základu = 18,0 mm

Sednutí charakterist. bodu = 13,3 mm

(1-hrana max.tlačená; 2-hrana min.tlačená)

##### **Sednutí a natočení základu - výsledky**

##### **Tuhost základu:**

Spočtený vážený průměrný modul přetvárnosti  $E_{def} = 4,00 \text{ MPa}$

Základ je ve směru délky tuhý ( $k=62,00$ )

Základ je ve směru šířky tuhý ( $k=62,00$ )

##### **Posouzení excentricity zatížení**

Max. excentricita ve směru délky patky  $e_x = 0,010 < 0,333$

Max. excentricita ve směru šířky patky  $e_y = 0,031 < 0,333$

Max. prostorová excentricita  $e_t = 0,032 < 0,333$

### **Excentricita zatížení základu VYHOVUJE**

##### **Celkové sednutí a natočení základu:**

Sednutí základu = 13,3 mm

Hloubka deformační zóny = 4,23 m

Natočení ve směru x = 0,242 ( $\tan \cdot 1000$ ); ( $1,4E-02^\circ$ )

Natočení ve směru y = 0,606 ( $\tan \cdot 1000$ ); ( $3,5E-02^\circ$ )



## Posouzení plošného základu - PATKA NA UZLU REAKCÍ 726

### Vstupní data

#### Zatížení

Číslo	Zatížení		Název	Typ	N [kN]	M <sub>x</sub> [kNm]	M <sub>y</sub> [kNm]	H <sub>x</sub> [kN]	H <sub>y</sub> [kN]
	nové	změna							
1	Ano		Zatížení č. 1	Návrhové	456,00	83,00	-50,00	5,20	1,10
2	Ano		Zatížení č. 2	Návrhové	305,00	155,00	-20,00	2,80	30,00
3	Ano		Zatížení č. 3	Návrhové	378,00	158,00	-27,50	2,80	30,00
4	Ano		Zatížení č. 4	Návrhové	370,00	158,00	-30,00	2,80	30,00
5	Ano		Zatížení č. 5	Návrhové	370,00	52,00	-73,00	7,80	-11,90
6	Ano		Zatížení č. 1 - provozní	Užitné	332,85	60,58	-36,50	3,80	0,80
7	Ano		Zatížení č. 2 - provozní	Užitné	222,63	113,14	-14,60	2,04	21,90
8	Ano		Zatížení č. 3 - provozní	Užitné	275,91	115,33	-20,07	2,04	21,90
9	Ano		Zatížení č. 4 - provozní	Užitné	270,07	115,33	-21,90	2,04	21,90
10	Ano		Zatížení č. 5 - provozní	Užitné	270,07	37,96	-53,28	5,69	-8,69

#### Plošná přitížení v okolí základu

Číslo	Přítížení		Název	x <sub>s</sub> [m]	y <sub>s</sub> [m]	x [m]	y [m]	q [kPa]	α [°]	h [m]
	nové	změna								
1	Ano		Přítížení č. 1	0,00	0,00	2,80	2,80	22,50	0,00	0,00

#### Celkové nastavení výpočtu

Typ výpočtu : zadat únosnost základové půdy R<sub>d</sub>

#### Nastavení výpočtu fáze

Návrhová situace : trvalá

#### Posouzení čís. 1

#### Posouzení zatěžovacích stavů

Název	VI. tíha příznivě	e <sub>x</sub> [m]	e <sub>y</sub> [m]	σ [kPa]	R <sub>d</sub> [kPa]	Využití [%]	Vyhovuje
Zatížení č. 1	Ano	0,09	-0,14	118,22	150,00	78,81	Ano
Zatížení č. 1	Ne	0,08	-0,13	122,12	150,00	81,42	Ano
Zatížení č. 2	Ano	0,05	-0,37	108,81	150,00	72,54	Ano
Zatížení č. 2	Ne	0,04	-0,35	112,09	150,00	74,73	Ano
Zatížení č. 3	Ano	0,05	-0,32	120,71	150,00	80,47	Ano
Zatížení č. 3	Ne	0,05	-0,31	124,18	150,00	82,79	Ano
Zatížení č. 4	Ano	0,06	-0,33	120,09	150,00	80,06	Ano
Zatížení č. 4	Ne	0,06	-0,31	123,53	150,00	82,36	Ano
Zatížení č. 5	Ano	0,15	-0,09	102,66	150,00	68,44	Ano
Zatížení č. 5	Ne	0,14	-0,08	106,55	150,00	71,03	Ano

Výpočet proveden s automatickým výběrem nejnepříznivějších zatěžovacích stavů.

Spočtená vlastní tíha patky G = 97,03 kN

Spočtená tíha nadloží Z = 85,26 kN

#### Posouzení svislé únosnosti

Tvar kontaktního napětí : obdélník

Nejnepříznivější zatěžovací stav číslo 3. (Zatížení č. 3)

Únosnost základové půdy R<sub>d</sub> = 150,00 kPa

Parametry smykové plochy pod základem:

Hloubka smykové plochy z<sub>sp</sub> = 2,29 m

Dosah smykové plochy l<sub>sp</sub> = 5,36 m

Výpočtová únosnost zákl. půdy R<sub>d</sub> = 150,00 kPa

Extrémní kontaktní napětí  $\sigma = 124,18 \text{ kPa}$

### Svislá únosnost VYHOVUJE

#### Posouzení excentricity zatížení

Max. excentricita ve směru délky patky  $e_x = 0,058 < 0,333$

Max. excentricita ve směru šířky patky  $e_y = 0,147 < 0,333$

Max. prostorová excentricita  $e_t = 0,148 < 0,333$

### Excentricita zatížení základu VYHOVUJE

#### Posouzení vodorovné únosnosti

Nejnepříznivější zatěžovací stav číslo 2. (Zatížení č. 2)

Zemní odpor: klidový

Výpočtová velikost zemního odporu  $S_{pd} = 19,22 \text{ kN}$

Horizontální únosnost základu  $R_{dh} = 145,45 \text{ kN}$

Extrémní horizontální síla  $H = 30,13 \text{ kN}$

### Vodorovná únosnost VYHOVUJE

### Únosnost základu VYHOVUJE

#### Posouzení čís. 1

##### Sednutí a natočení základu - vstupní data

Výpočet proveden s automatickým výběrem nejnepříznivějších zatěžovacích stavů.

Výpočet proveden s uvažováním koeficientu  $\kappa_1$  (vliv hloubky založení).

Napětí v základové spáře uvažováno od upraveného terénu.

Spočtená vlastní tíha patky  $G = 71,88 \text{ kN}$

Spočtená tíha nadloží  $Z = 85,26 \text{ kN}$

Sednutí středu hrany x - 1 = 10,3 mm

Sednutí středu hrany x - 2 = 7,6 mm

Sednutí středu hrany y - 1 = 9,8 mm

Sednutí středu hrany y - 2 = 8,1 mm

Sednutí středu základu = 13,2 mm

Sednutí charakterist. bodu = 9,9 mm

(1-hrana max.tlačená; 2-hrana min.tlačená)

##### Sednutí a natočení základu - výsledky

#### Tuhost základu:

Spočtený vážený průměrný modul přetvárnosti  $E_{def} = 4,00 \text{ MPa}$

Základ je ve směru délky tuhý ( $k=62,00$ )

Základ je ve směru šířky tuhý ( $k=62,00$ )

#### Posouzení excentricity zatížení

Max. excentricita ve směru délky patky  $e_x = 0,053 < 0,333$

Max. excentricita ve směru šířky patky  $e_y = 0,131 < 0,333$

Max. prostorová excentricita  $e_t = 0,132 < 0,333$

### Excentricita zatížení základu VYHOVUJE

#### Celkové sednutí a natočení základu:

Sednutí základu = 9,9 mm

Hloubka deformační zóny = 3,79 m

Natočení ve směru x = 0,964 ( $\tan \cdot 1000$ ); ( $5,5E-02^\circ$ )

Natočení ve směru y = 2,106 ( $\tan \cdot 1000$ ); ( $1,2E-01^\circ$ )



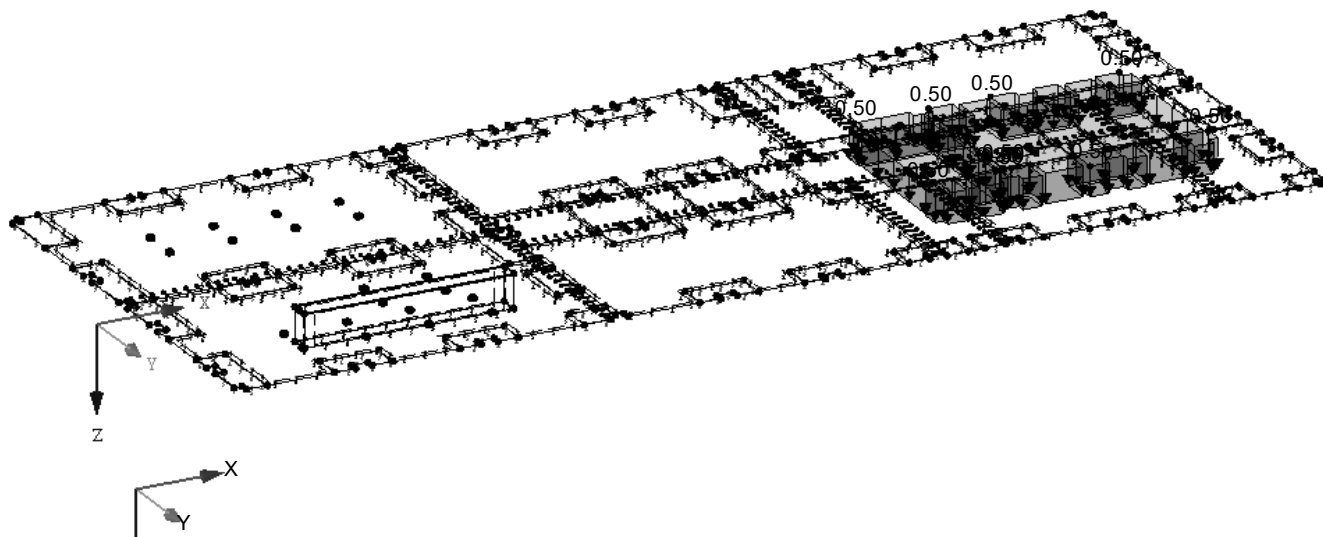
Projekt:

Model: HOŘICE-KONSTRUKCE\_3D\_Budova\_ZÁKLADY\_deska

## ■ ZS2: OSTATNÍ STÁLÉ

ZS2 : ostatní stálé  
Zatížení [kN/m<sup>2</sup>]

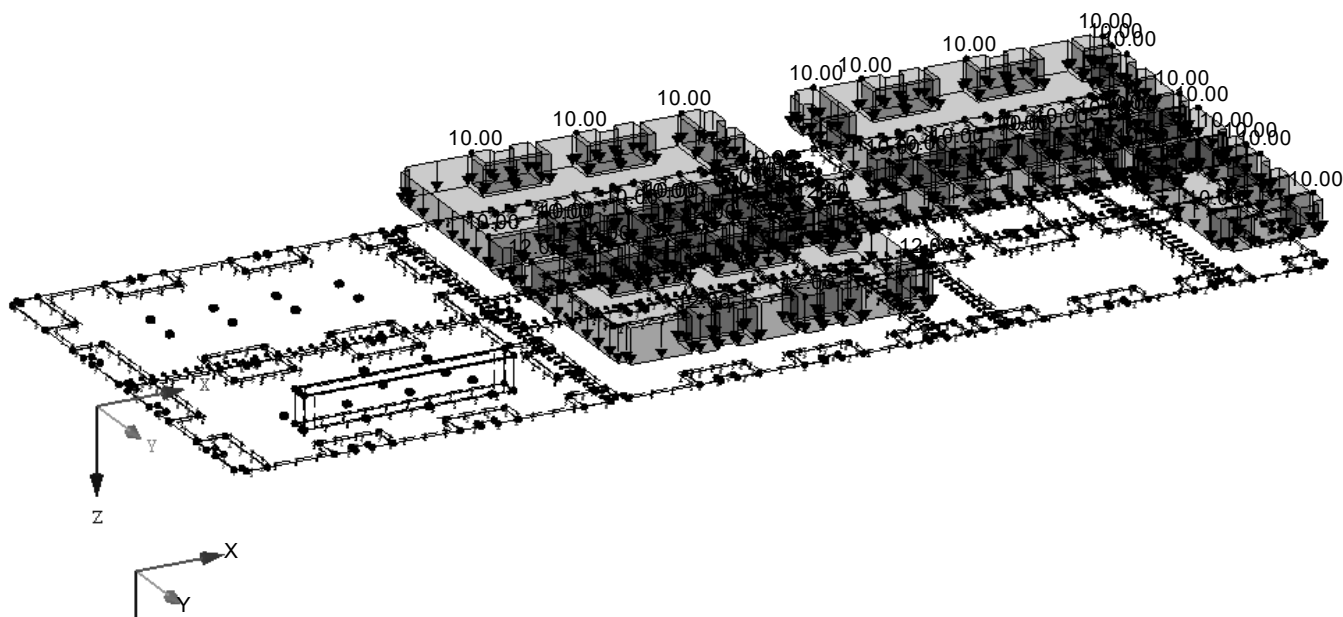
Izometrie



## ■ ZS3: UŽITNÉ ZATÍŽENÍ - PLOŠTNÉ DÍLNY

ZS3 : Užitné zatížení - ploštné dílny  
Zatížení [kN/m<sup>2</sup>]

Izometrie





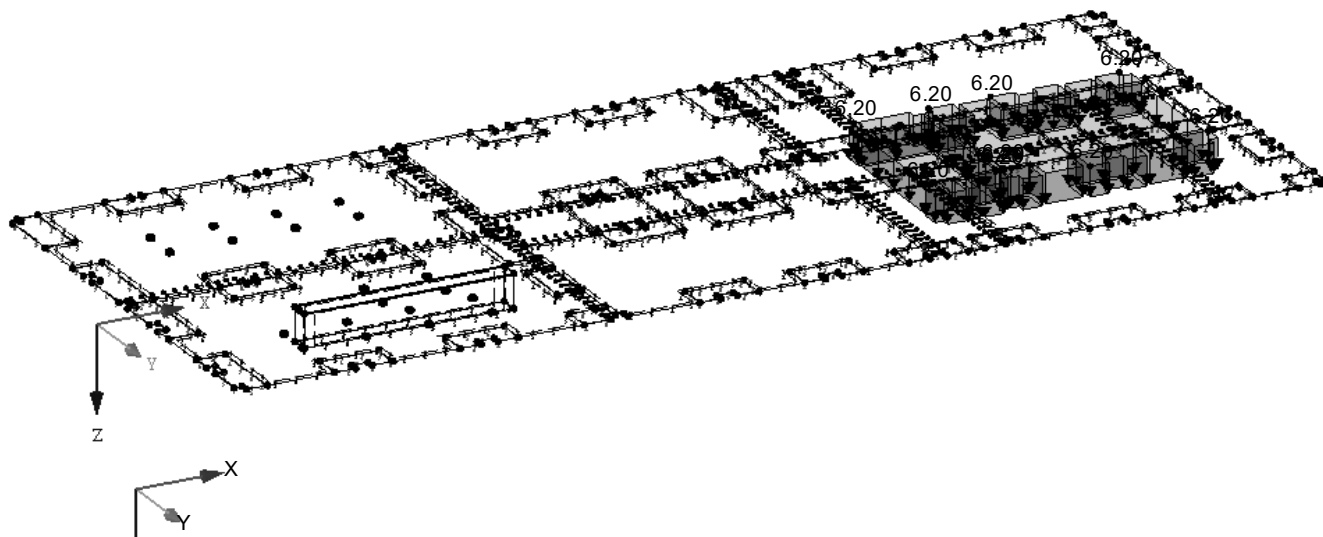
Projekt:

Model: HOŘICE-KONSTRUKCE\_3D\_Budova\_ZÁKLADY\_deska

## ■ ZS4: UŽITNÉ ZATÍŽENÍ - ZÁZEMÍ + PŘÍČKY

ZS4 : Užitné zatížení - zázemí + příčky  
Zatížení [kN/m<sup>2</sup>]

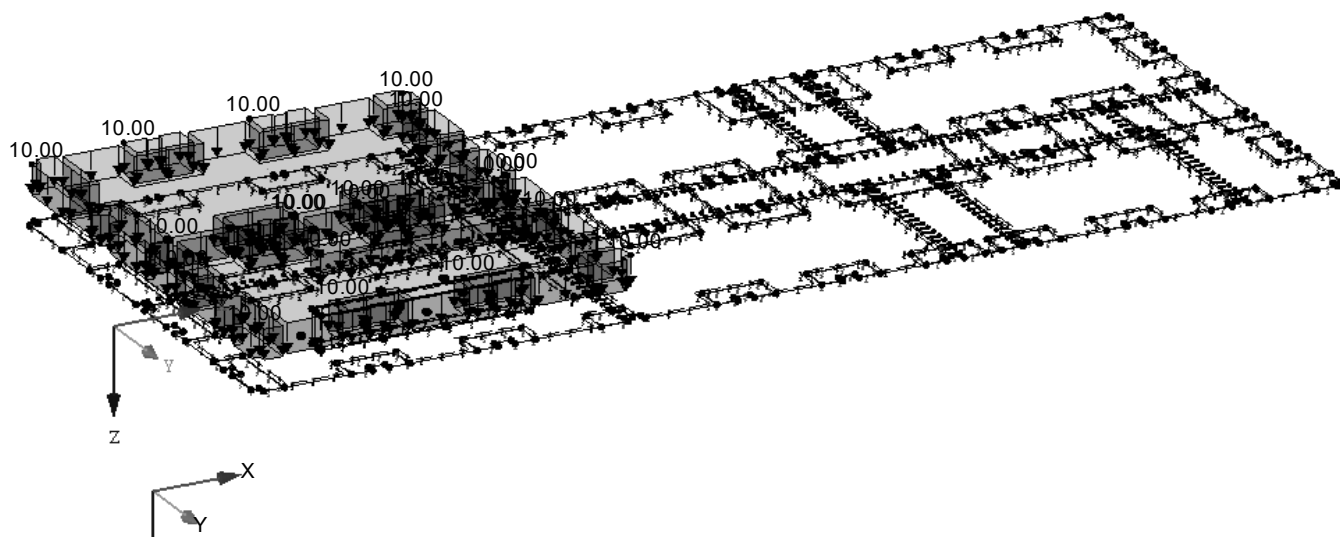
Izometrie



## ■ ZS5: GARÁŽE

ZS5 : garáže  
Zatížení [kN/m<sup>2</sup>]

Izometrie





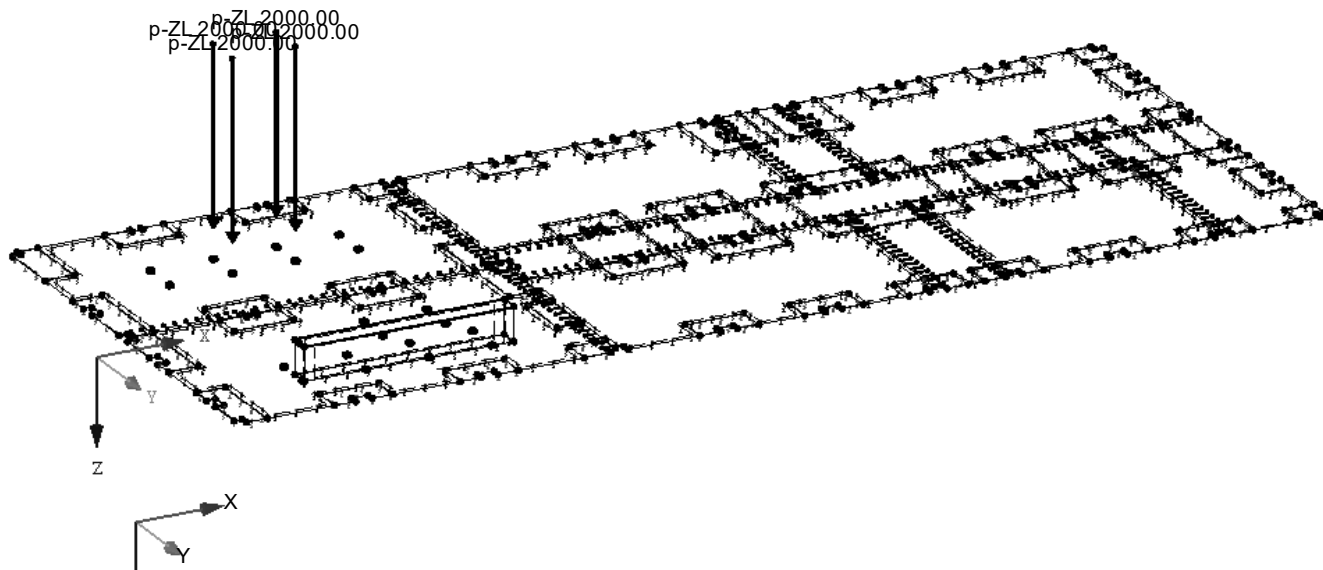
Projekt:

Model: HOŘICE-KONSTRUKCE\_3D\_Budova\_ZÁKLADY\_deska

■ ZS6: GARÁŽE - NÁPRAVA 01A

ZS6 : garáže - náprava 01A  
Zatížení [kN/m<sup>2</sup>]

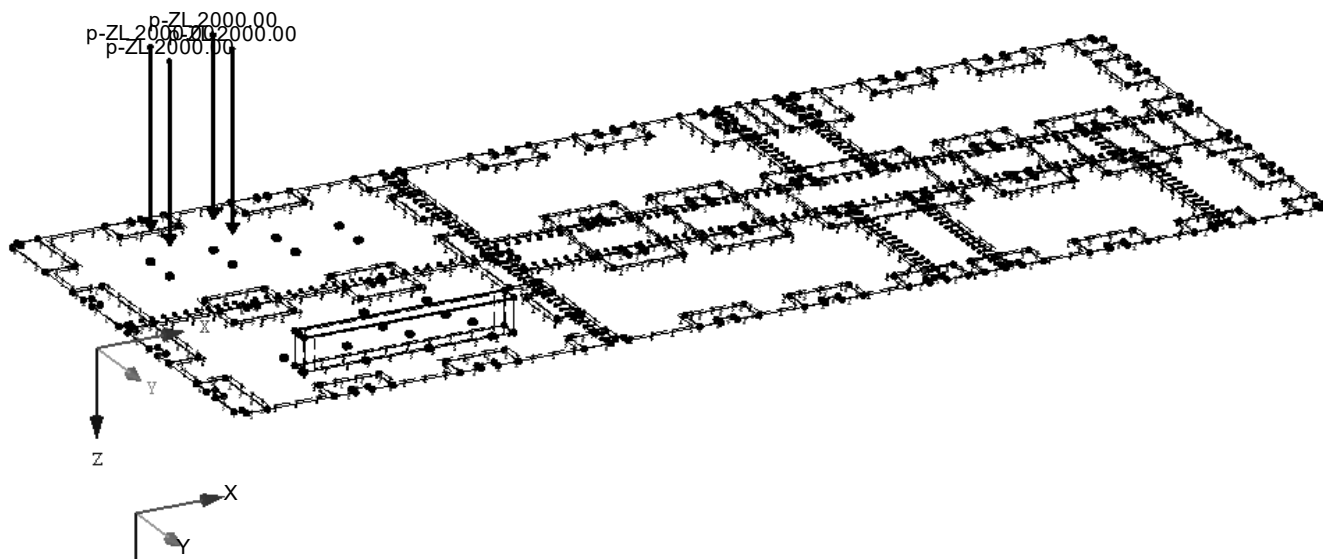
Izometrie



■ ZS7: GARÁŽE - NÁPRAVA 01B

ZS7 : garáže - náprava 01B  
Zatížení [kN/m<sup>2</sup>]

Izometrie





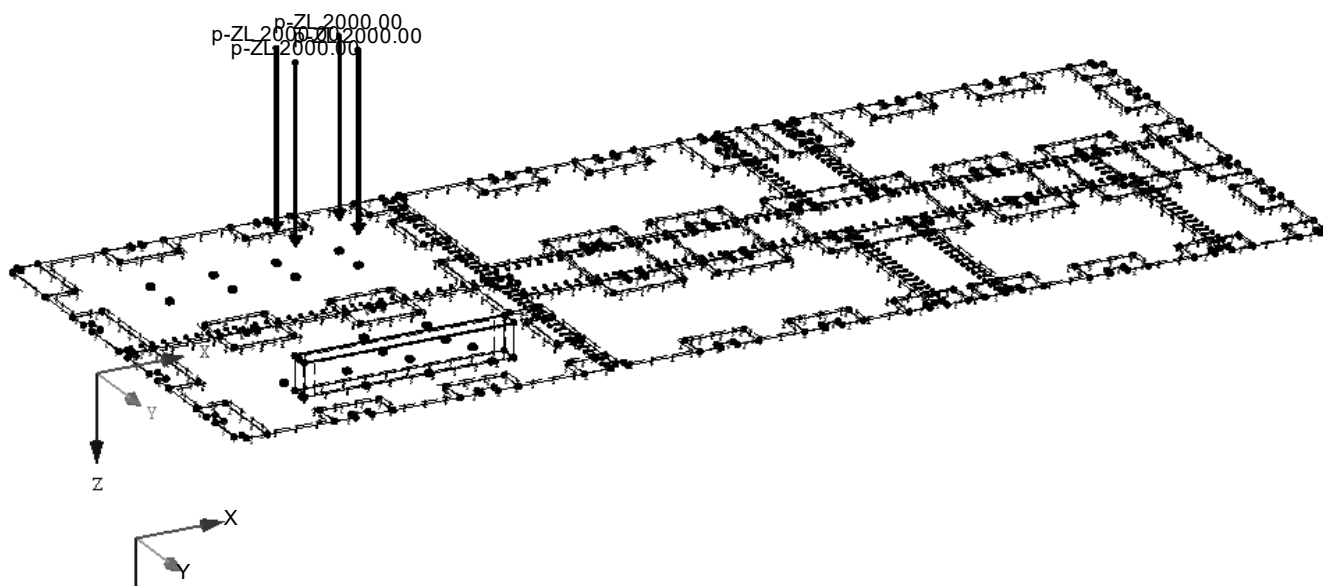
Projekt:

Model: HOŘICE-KONSTRUKCE\_3D\_Budova\_ZÁKLADY\_deska

■ ZS8: GARÁŽE - NÁPRAVA 01C

ZS8 : garáže - náprava 01C  
Zatížení [kN/m<sup>2</sup>]

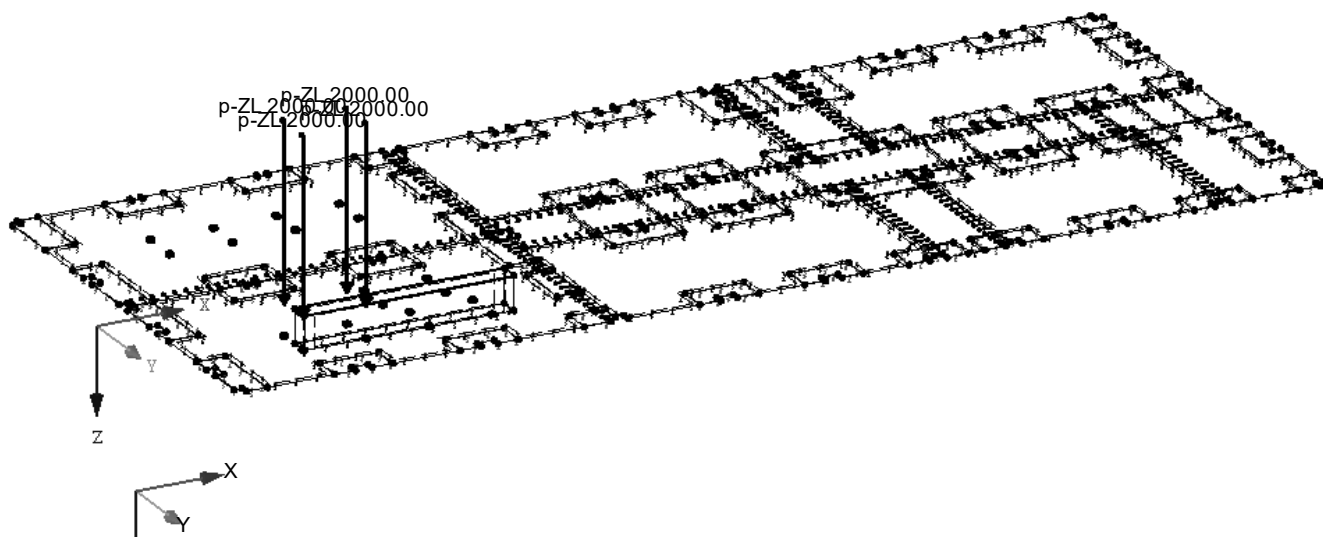
Izometrie



■ ZS9: GARÁŽE - NÁPRAVA 02A

ZS9 : garáže - náprava 02A  
Zatížení [kN/m<sup>2</sup>]

Izometrie





KRStatic s.r.o.

Korunní 2569/108, 101 00 Praha 10

Pojezdová deska

ZATÍŽENÍ

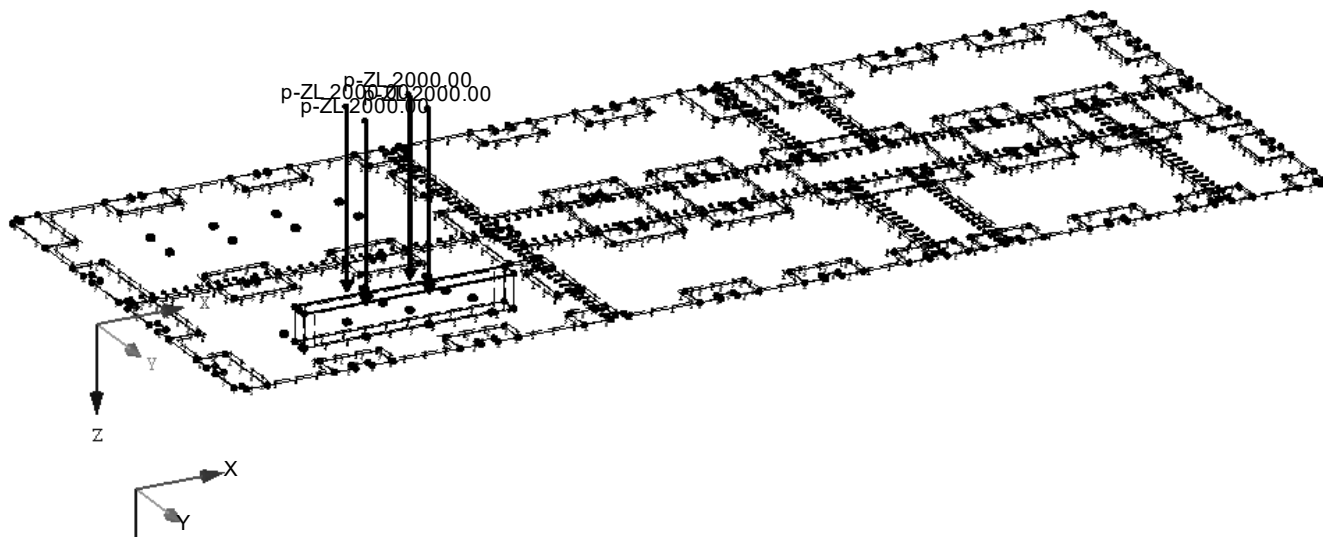
Projekt:

Model: HOŘICE-KONSTRUKCE\_3D\_Budova\_ZÁKLADY\_deska

## ZS10: GARÁŽE - NÁPRAVA 02B

ZS10 : garáže - náprava 02B  
Zatížení [kN/m<sup>2</sup>]

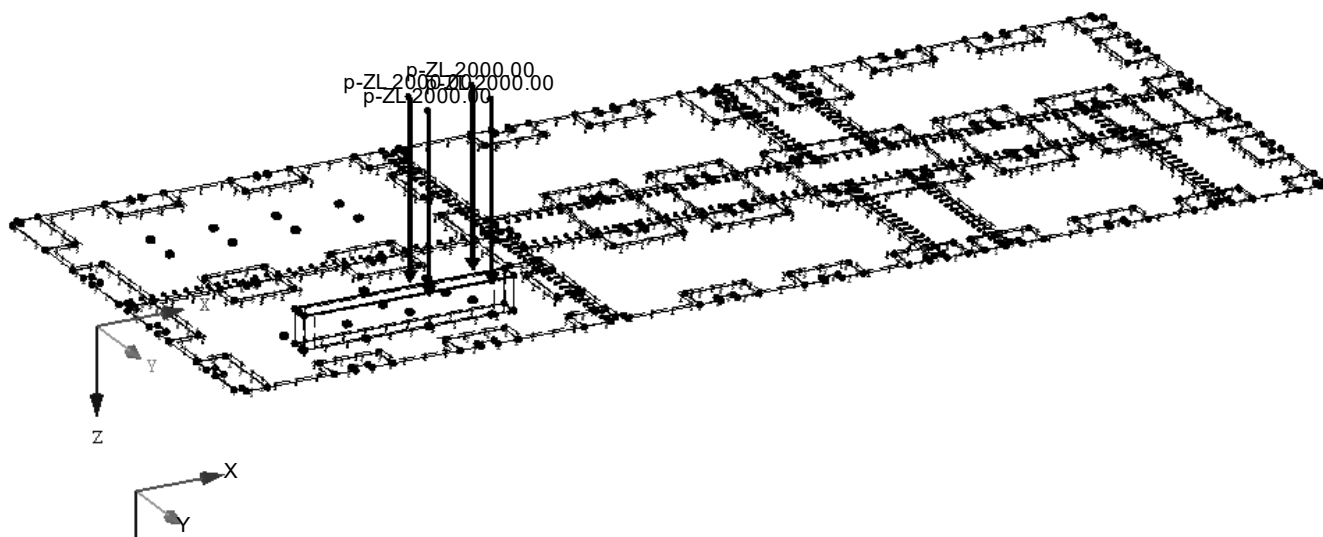
Izometrie

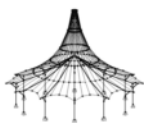


## ZS11: GARÁŽE - NÁPRAVA 02C

ZS11 : garáže - náprava 02C  
Zatížení [kN/m<sup>2</sup>]

Izometrie





**KRStatic s.r.o.**

Korunní 2569/108, 101 00 Praha 10

Pojezdová deska

**ZATÍŽENÍ**

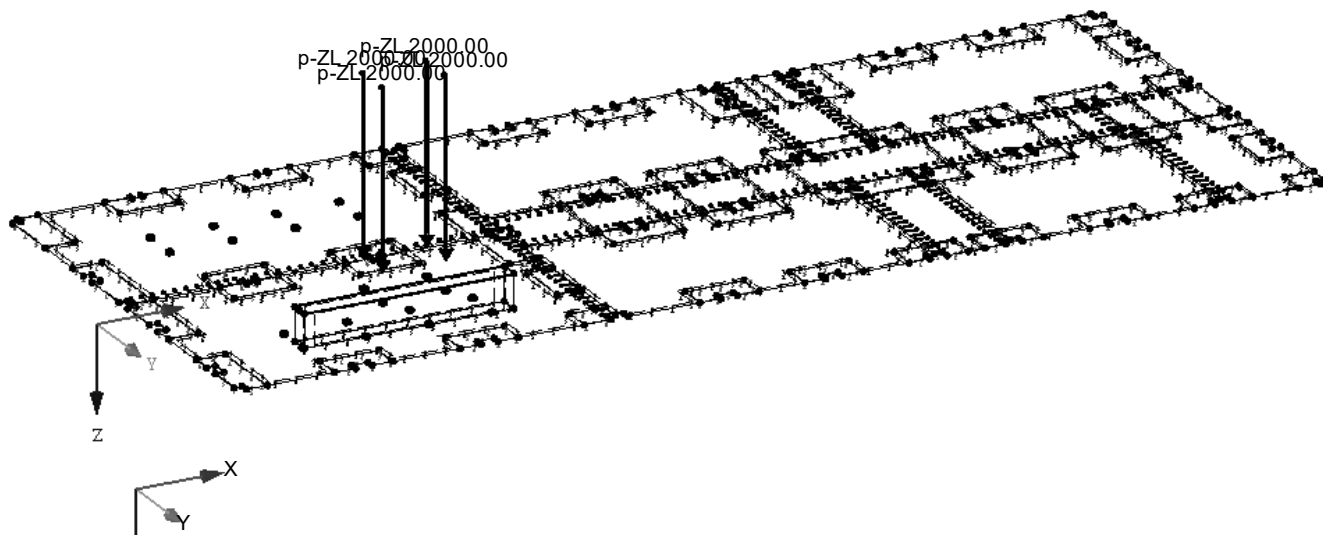
Projekt:

Model: HOŘICE-KONSTRUKCE\_3D\_Budova\_ZÁKLADY\_deska

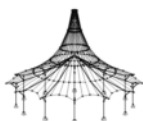
■ **ZS12: GARÁŽE - NÁPRAVA 02D**

ZS12 : garáže - náprava 02D  
Zatížení [kN/m<sup>2</sup>]

Izometrie







Projekt:

Model: HOŘICE-KONSTRUKCE\_3D\_Budova\_ZÁKLADY\_deska

## RF-CONCRETE Surfaces

PŘ1

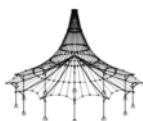
Návrh výztuže

## 1.2 MATERIÁLY

Materiál č.	Označení materiálu		Komentář
	Třída pevnosti betonu	Označení oceli	
1	Beton C25/30	B 500 S (B)	

## 1.3 PLOCHY

Plocha č.	Mat. č.	Souč. dotvar.	Smršťování	U <sub>z,max</sub> [mm]	σ <sub>c,max</sub> [MPa]	f <sub>ct,eff,wk</sub> [MPa]	f <sub>ct,eff</sub> [MPa]	W <sub>k,+z</sub> (horní) [mm]	Účinky vyn. přetvoření		Upozor- nění
		φ [-]	ε <sub>cs</sub> [-]		σ <sub>s,max</sub> [MPa]				W <sub>k,-z</sub> (dolní) [mm]	Použit	
2	1	Tloušťka Typ: Konstantní, Tloušťka: 200.000 mm	2.63287	-0.00047	15.000	prom. prom.	2.600	2.600	0.300 0.300	<input type="checkbox"/>	var.
		Deformace vztažená na nedeformovaný systém									
3	1	Tloušťka Typ: Konstantní, Tloušťka: 200.000 mm	2.63287	-0.00047	15.000	prom. prom.	2.600	2.600	0.300 0.300	<input type="checkbox"/>	var.
		Deformace vztažená na nedeformovaný systém									
4	1	Tloušťka Typ: Konstantní, Tloušťka: 200.000 mm	2.63287	-0.00047	15.000	prom. prom.	2.600	2.600	0.300 0.300	<input type="checkbox"/>	var.
		Deformace vztažená na nedeformovaný systém									
5	1	Tloušťka Typ: Konstantní, Tloušťka: 200.000 mm	2.63287	-0.00047	15.000	prom. prom.	2.600	2.600	0.300 0.300	<input type="checkbox"/>	var.
		Deformace vztažená na nedeformovaný systém									
300	1	Tloušťka Typ: Konstantní, Tloušťka: 210.000 mm	2.61284	-0.00047	15.000	prom. prom.	2.600	2.600	0.300 0.300	<input type="checkbox"/>	var.
		Deformace vztažená na nedeformovaný systém									
301	1	Tloušťka Typ: Konstantní, Tloušťka: 210.000 mm	2.61284	-0.00047	15.000	prom. prom.	2.600	2.600	0.300 0.300	<input type="checkbox"/>	var.
		Deformace vztažená na nedeformovaný systém									
302	1	Tloušťka Typ: Konstantní, Tloušťka: 210.000 mm	2.61284	-0.00047	15.000	prom. prom.	2.600	2.600	0.300 0.300	<input type="checkbox"/>	var.
		Deformace vztažená na nedeformovaný systém									
303	1	Tloušťka Typ: Konstantní, Tloušťka: 210.000 mm	2.61284	-0.00047	15.000	prom. prom.	2.600	2.600	0.300 0.300	<input type="checkbox"/>	var.
		Deformace vztažená na nedeformovaný systém									
304	1	Tloušťka Typ: Konstantní, Tloušťka: 210.000 mm	2.61284	-0.00047	15.000	prom. prom.	2.600	2.600	0.300 0.300	<input type="checkbox"/>	var.
		Deformace vztažená na nedeformovaný systém									
309	1	Tloušťka Typ: Konstantní, Tloušťka: 210.000 mm	2.61284	-0.00047	15.000	prom. prom.	2.600	2.600	0.300 0.300	<input type="checkbox"/>	var.
		Deformace vztažená na nedeformovaný systém									
314	1	Tloušťka Typ: Konstantní, Tloušťka: 210.000 mm	2.61284	-0.00047	15.000	prom. prom.	2.600	2.600	0.300 0.300	<input type="checkbox"/>	var.
		Deformace vztažená na nedeformovaný systém									
315	1	Tloušťka Typ: Konstantní, Tloušťka: 210.000 mm	2.61284	-0.00047	15.000	prom. prom.	2.600	2.600	0.300 0.300	<input type="checkbox"/>	var.
		Deformace vztažená na nedeformovaný systém									
316	1	Tloušťka Typ: Konstantní, Tloušťka: 210.000 mm	2.61284	-0.00047	15.000	prom. prom.	2.600	2.600	0.300 0.300	<input type="checkbox"/>	var.
		Deformace vztažená na nedeformovaný systém									
317	1	Tloušťka Typ: Konstantní, Tloušťka: 210.000 mm	2.61284	-0.00047	15.000	prom. prom.	2.600	2.600	0.300 0.300	<input type="checkbox"/>	var.
		Deformace vztažená na nedeformovaný systém									
318	1	Tloušťka Typ: Konstantní, Tloušťka: 210.000 mm	2.61284	-0.00047	15.000	prom. prom.	2.600	2.600	0.300 0.300	<input type="checkbox"/>	var.
		Deformace vztažená na nedeformovaný systém									
319	1	Tloušťka Typ: Konstantní, Tloušťka: 210.000 mm	2.61284	-0.00047	15.000	prom. prom.	2.600	2.600	0.300 0.300	<input type="checkbox"/>	var.
		Deformace vztažená na nedeformovaný systém									
320	1	Tloušťka Typ: Konstantní, Tloušťka: 210.000 mm	2.61284	-0.00047	15.000	prom. prom.	2.600	2.600	0.300 0.300	<input type="checkbox"/>	var.
		Deformace vztažená na nedeformovaný systém									
321	1	Tloušťka Typ: Konstantní, Tloušťka: 210.000 mm	2.61284	-0.00047	15.000	prom. prom.	2.600	2.600	0.300 0.300	<input type="checkbox"/>	var.
		Deformace vztažená na nedeformovaný systém									
322	1	Tloušťka Typ: Konstantní, Tloušťka: 210.000 mm	2.61284	-0.00047	15.000	prom. prom.	2.600	2.600	0.300 0.300	<input type="checkbox"/>	var.
		Deformace vztažená na nedeformovaný systém									
323	1	Tloušťka Typ: Konstantní, Tloušťka: 210.000 mm	2.61284	-0.00047	15.000	prom. prom.	2.600	2.600	0.300 0.300	<input type="checkbox"/>	var.
		Deformace vztažená na nedeformovaný systém									
324	1	Tloušťka Typ: Konstantní, Tloušťka: 210.000 mm	2.61284	-0.00047	15.000	prom. prom.	2.600	2.600	0.300 0.300	<input type="checkbox"/>	var.
		Deformace vztažená na nedeformovaný systém									
325	1	Tloušťka Typ: Konstantní, Tloušťka: 210.000 mm	2.61284	-0.00047	15.000	prom. prom.	2.600	2.600	0.300 0.300	<input type="checkbox"/>	var.
		Deformace vztažená na nedeformovaný systém									



Projekt:

Model: HOŘICE-KONSTRUKCE\_3D\_Budova\_ZÁKLADY\_deska

## ■ 1.3 PLOCHY

Plocha	Mat.	Souč. dotvar.	Smršťování	$u_{z,max}$	$\sigma_{c,max}$ [MPa]	$f_{ct,eff,wk}$	$f_{ct,eff}$	$w_{k,+z}$ (horní) [mm]	Účinky vyn. přetvoření		Upozor-
č.	č.	$\varphi$ [-]	$\varepsilon_{cs}$ [-]	[mm]	$\sigma_{s,max}$ [MPa]	[MPa]	[MPa]	$w_{k,-z}$ (dolní) [mm]	Použit	$k_c$ [-]	nění
					prom.			0.300			
326	Deformace vztažená na nedeformovaný systém										
	1	2.61284	-0.00047	15.000	prom.	2.600	2.600	0.300	□		var.
327	Deformace vztažená na nedeformovaný systém										
	1	2.61284	-0.00047	15.000	prom.	2.600	2.600	0.300	□		var.
328	Deformace vztažená na nedeformovaný systém										
	1	2.63287	-0.00047	15.000	prom.	2.600	2.600	0.300	□		var.
329	Deformace vztažená na nedeformovaný systém										
	1	2.61284	-0.00047	15.000	prom.	2.600	2.600	0.300	□		var.
330	Deformace vztažená na nedeformovaný systém										
	1	2.61284	-0.00047	15.000	prom.	2.600	2.600	0.300	□		var.
331	Deformace vztažená na nedeformovaný systém										
	1	2.61284	-0.00047	15.000	prom.	2.600	2.600	0.300	□		var.
334	Deformace vztažená na nedeformovaný systém										
	1	2.61284	-0.00047	15.000	prom.	2.600	2.600	0.300	□		var.
335	Deformace vztažená na nedeformovaný systém										
	1	2.61284	-0.00047	15.000	prom.	2.600	2.600	0.300	□		var.
336	Deformace vztažená na nedeformovaný systém										
	1	2.61284	-0.00047	15.000	prom.	2.600	2.600	0.300	□		var.
337	Deformace vztažená na nedeformovaný systém										
	1	2.61284	-0.00047	15.000	prom.	2.600	2.600	0.300	□		var.
338	Deformace vztažená na nedeformovaný systém										
	1	2.61284	-0.00047	15.000	prom.	2.600	2.600	0.300	□		var.
339	Deformace vztažená na nedeformovaný systém										
	1	2.61284	-0.00047	15.000	prom.	2.600	2.600	0.300	□		var.
340	Deformace vztažená na nedeformovaný systém										
	1	2.61284	-0.00047	15.000	prom.	2.600	2.600	0.300	□		var.
341	Deformace vztažená na nedeformovaný systém										
	1	2.61284	-0.00047	15.000	prom.	2.600	2.600	0.300	□		var.
342	Deformace vztažená na nedeformovaný systém										
	1	2.61284	-0.00047	15.000	prom.	2.600	2.600	0.300	□		var.
344	Deformace vztažená na nedeformovaný systém										
	1	2.61284	-0.00047	15.000	prom.	2.600	2.600	0.300	□		var.
345	Deformace vztažená na nedeformovaný systém										
	1	2.61284	-0.00047	15.000	prom.	2.600	2.600	0.300	□		var.
346	Deformace vztažená na nedeformovaný systém										
	1	2.61284	-0.00047	15.000	prom.	2.600	2.600	0.300	□		var.
347	Deformace vztažená na nedeformovaný systém										
	1	2.61284	-0.00047	15.000	prom.	2.600	2.600	0.300	□		var.
348	Deformace vztažená na nedeformovaný systém										
	1	2.61284	-0.00047	15.000	prom.	2.600	2.600	0.300	□		var.
349	Deformace vztažená na nedeformovaný systém										
	1	2.61284	-0.00047	15.000	prom.	2.600	2.600	0.300	□		var.
350	Deformace vztažená na nedeformovaný systém										
	1	2.61284	-0.00047	15.000	prom.	2.600	2.600	0.300	□		var.
351	Deformace vztažená na nedeformovaný systém										
	1	2.61284	-0.00047	15.000	prom.	2.600	2.600	0.300	□		var.



Projekt:

Model: HOŘICE-KONSTRUKCE\_3D\_Budova\_ZÁKLADY\_deska

## ■ 1.3 PLOCHY

Plocha	Mat.	Souč. dotvar.	Smršťování	$u_{z,max}$	$\sigma_{c,max}$ [MPa]	$f_{ct,eff,wk}$	$f_{ct,eff}$	$w_{k,+z}$ (horní) [mm]	Účinky vyn. přetvoření		Upozor-
č.	č.	$\varphi$ [-]	$\varepsilon_{cs}$ [-]	[mm]	$\sigma_{s,max}$ [MPa]	[MPa]	[MPa]	$w_{k,-z}$ (dolní) [mm]	Použit	$k_c$ [-]	nění
352	Tloušťka Typ: Konstantní, 1	Tloušťka: 210.000 mm 2.61284	-0.00047	15.000	prom. prom.	2.600	2.600	0.300 0.300	<input type="checkbox"/>	var.	
	Deformace vztažená na nedeformovaný systém										
353	Tloušťka Typ: Konstantní, 1	Tloušťka: 210.000 mm 2.61284	-0.00047	15.000	prom. prom.	2.600	2.600	0.300 0.300	<input type="checkbox"/>	var.	
	Deformace vztažená na nedeformovaný systém										
354	Tloušťka Typ: Konstantní, 1	Tloušťka: 210.000 mm 2.61284	-0.00047	15.000	prom. prom.	2.600	2.600	0.300 0.300	<input type="checkbox"/>	var.	
	Deformace vztažená na nedeformovaný systém										
355	Tloušťka Typ: Konstantní, 1	Tloušťka: 210.000 mm 2.61284	-0.00047	15.000	prom. prom.	2.600	2.600	0.300 0.300	<input type="checkbox"/>	var.	
	Deformace vztažená na nedeformovaný systém										
356	Tloušťka Typ: Konstantní, 1	Tloušťka: 210.000 mm 2.61284	-0.00047	15.000	prom. prom.	2.600	2.600	0.300 0.300	<input type="checkbox"/>	var.	
	Deformace vztažená na nedeformovaný systém										
357	Tloušťka Typ: Konstantní, 1	Tloušťka: 210.000 mm 2.61284	-0.00047	15.000	prom. prom.	2.600	2.600	0.300 0.300	<input type="checkbox"/>	var.	
	Deformace vztažená na nedeformovaný systém										
358	Tloušťka Typ: Konstantní, 1	Tloušťka: 210.000 mm 2.61284	-0.00047	15.000	prom. prom.	2.600	2.600	0.300 0.300	<input type="checkbox"/>	var.	
	Deformace vztažená na nedeformovaný systém										
359	Tloušťka Typ: Konstantní, 1	Tloušťka: 210.000 mm 2.61284	-0.00047	15.000	prom. prom.	2.600	2.600	0.300 0.300	<input type="checkbox"/>	var.	
	Deformace vztažená na nedeformovaný systém										
360	Tloušťka Typ: Konstantní, 1	Tloušťka: 210.000 mm 2.61284	-0.00047	15.000	prom. prom.	2.600	2.600	0.300 0.300	<input type="checkbox"/>	var.	
	Deformace vztažená na nedeformovaný systém										
361	Tloušťka Typ: Konstantní, 1	Tloušťka: 210.000 mm 2.61284	-0.00047	15.000	prom. prom.	2.600	2.600	0.300 0.300	<input type="checkbox"/>	var.	
	Deformace vztažená na nedeformovaný systém										
362	Tloušťka Typ: Konstantní, 1	Tloušťka: 210.000 mm 2.61284	-0.00047	15.000	prom. prom.	2.600	2.600	0.300 0.300	<input type="checkbox"/>	var.	
	Deformace vztažená na nedeformovaný systém										
363	Tloušťka Typ: Konstantní, 1	Tloušťka: 210.000 mm 2.61284	-0.00047	15.000	prom. prom.	2.600	2.600	0.300 0.300	<input type="checkbox"/>	var.	
	Deformace vztažená na nedeformovaný systém										
364	Tloušťka Typ: Konstantní, 1	Tloušťka: 210.000 mm 2.61284	-0.00047	15.000	prom. prom.	2.600	2.600	0.300 0.300	<input type="checkbox"/>	var.	
	Deformace vztažená na nedeformovaný systém										
365	Tloušťka Typ: Konstantní, 1	Tloušťka: 210.000 mm 2.61284	-0.00047	15.000	prom. prom.	2.600	2.600	0.300 0.300	<input type="checkbox"/>	var.	
	Deformace vztažená na nedeformovaný systém										
366	Tloušťka Typ: Konstantní, 1	Tloušťka: 210.000 mm 2.61284	-0.00047	15.000	prom. prom.	2.600	2.600	0.300 0.300	<input type="checkbox"/>	var.	
	Deformace vztažená na nedeformovaný systém										
367	Tloušťka Typ: Konstantní, 1	Tloušťka: 210.000 mm 2.61284	-0.00047	15.000	prom. prom.	2.600	2.600	0.300 0.300	<input type="checkbox"/>	var.	
	Deformace vztažená na nedeformovaný systém										
368	Tloušťka Typ: Konstantní, 1	Tloušťka: 210.000 mm 2.61284	-0.00047	15.000	prom. prom.	2.600	2.600	0.300 0.300	<input type="checkbox"/>	var.	
	Deformace vztažená na nedeformovaný systém										
369	Tloušťka Typ: Konstantní, 1	Tloušťka: 210.000 mm 2.61284	-0.00047	15.000	prom. prom.	2.600	2.600	0.300 0.300	<input type="checkbox"/>	var.	
	Deformace vztažená na nedeformovaný systém										
370	Tloušťka Typ: Konstantní, 1	Tloušťka: 210.000 mm 2.61284	-0.00047	15.000	prom. prom.	2.600	2.600	0.300 0.300	<input type="checkbox"/>	var.	
	Deformace vztažená na nedeformovaný systém										
371	Tloušťka Typ: Konstantní, 1	Tloušťka: 150.000 mm 2.75739	-0.00051	15.000	prom. prom.	2.600	2.600	0.300 0.300	<input type="checkbox"/>	var.	
	Deformace vztažená na nedeformovaný systém										
372	Tloušťka Typ: Konstantní, 1	Tloušťka: 150.000 mm 2.75739	-0.00051	15.000	prom. prom.	2.600	2.600	0.300 0.300	<input type="checkbox"/>	var.	
	Deformace vztažená na nedeformovaný systém										
373	Tloušťka Typ: Konstantní, 1	Tloušťka: 210.000 mm 2.61284	-0.00047	15.000	prom. prom.	2.600	2.600	0.300 0.300	<input type="checkbox"/>	var.	
	Deformace vztažená na nedeformovaný systém										
374	Tloušťka Typ: Konstantní, 1	Tloušťka: 150.000 mm 2.75739	-0.00051	15.000	prom. prom.	2.600	2.600	0.300 0.300	<input type="checkbox"/>	var.	
	Deformace vztažená na nedeformovaný systém										
375	Tloušťka Typ: Konstantní, 1	Tloušťka: 210.000 mm 2.61284	-0.00047	15.000	prom.	2.600	2.600	0.300	<input type="checkbox"/>	var.	



Projekt:

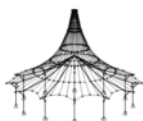
Model: HOŘICE-KONSTRUKCE\_3D\_Budova\_ZÁKLADY\_deska

## ■ 1.3 PLOCHY

Plocha	Mat.	Souč. dotvar.	Smršťování	$u_{z,max}$	$\sigma_{c,max}$ [MPa]	$f_{ct,eff,wk}$	$f_{ct,eff}$	$w_{k,+z}$ (horní) [mm]	Účinky vyn. přetvoření		Upozor-
č.	č.	$\varphi$ [-]	$\varepsilon_{cs}$ [-]	[mm]	$\sigma_{s,max}$ [MPa]	[MPa]	[MPa]	$w_{k,-z}$ (dolní) [mm]	Použit	$k_c$ [-]	nění
					prom.			0.300			
Deformace vztažená na nedeformovaný systém											
376	1	2.61284	-0.00047	15.000	prom.	2.600	2.600	0.300	<input type="checkbox"/>		var.
Deformace vztažená na nedeformovaný systém											
377	1	2.61284	-0.00047	15.000	prom.	2.600	2.600	0.300	<input type="checkbox"/>		var.
Deformace vztažená na nedeformovaný systém											
378	1	2.75739	-0.00051	15.000	prom.	2.600	2.600	0.300	<input type="checkbox"/>		var.
Deformace vztažená na nedeformovaný systém											
379	1	2.75739	-0.00051	15.000	prom.	2.600	2.600	0.300	<input type="checkbox"/>		var.
Deformace vztažená na nedeformovaný systém											
380	1	2.61284	-0.00047	15.000	prom.	2.600	2.600	0.300	<input type="checkbox"/>		var.
Deformace vztažená na nedeformovaný systém											
381	1	2.61284	-0.00047	15.000	prom.	2.600	2.600	0.300	<input type="checkbox"/>		var.
Deformace vztažená na nedeformovaný systém											
382	1	2.61284	-0.00047	15.000	prom.	2.600	2.600	0.300	<input type="checkbox"/>		var.
Deformace vztažená na nedeformovaný systém											
383	1	2.75739	-0.00051	15.000	prom.	2.600	2.600	0.300	<input type="checkbox"/>		var.
Deformace vztažená na nedeformovaný systém											
384	1	2.61284	-0.00047	15.000	prom.	2.600	2.600	0.300	<input type="checkbox"/>		var.
Deformace vztažená na nedeformovaný systém											
385	1	2.61284	-0.00047	15.000	prom.	2.600	2.600	0.300	<input type="checkbox"/>		var.
Deformace vztažená na nedeformovaný systém											
386	1	2.61284	-0.00047	15.000	prom.	2.600	2.600	0.300	<input type="checkbox"/>		var.
Deformace vztažená na nedeformovaný systém											
387	1	2.61284	-0.00047	15.000	prom.	2.600	2.600	0.300	<input type="checkbox"/>		var.
Deformace vztažená na nedeformovaný systém											
388	1	2.75739	-0.00051	15.000	prom.	2.600	2.600	0.300	<input type="checkbox"/>		var.
Deformace vztažená na nedeformovaný systém											
389	1	2.61284	-0.00047	15.000	prom.	2.600	2.600	0.300	<input type="checkbox"/>		var.
Deformace vztažená na nedeformovaný systém											

## ■ 1.4 SADA VÝZTUŽE Č. 1

Použit na plochy:	Vše
STUPEŇ VÝZTUŽENÍ	
Minimální příčná výztuž	20.0 %
Minimální výztuž obecně	0.0 %
Minimální tlaková výztuž	0.0 %
Minimální tahová výztuž	0.0 %
Maximální procento vyztužení	4.0 %
Minimální procento smykové výztuže	0.0 %
PLOCHA VÝZTUŽE PRO POSOUZENÍ MSP	
Použit návrhovou základní výztuž a požadovanou přídatnou výztuž z tabulek 2.1, 2.2, 2.3	
Krytí výztuže podle normy	<input type="checkbox"/>
USPOŘÁDÁNÍ ZÁKLADNÍ VÝZTUŽE - NAHOŘE (-z)	
Počet vrstev	2
Osová vzdálenost krytí	d-1: 30.000, d-2: 38.000 mm
Průměr výztuže	ds-1: 8.000, ds-2: 8.000 mm
Směry výztuže	Phi-1: 0.000°, Phi-2: 90.000°
Plocha výztuže	As-1,-z (horní): 503.000, As-2,-z (horní): 503.000 mm²/m
USPOŘÁDÁNÍ ZÁKLADNÍ VÝZTUŽE - DOLE (+z)	
Počet vrstev	2
Osová vzdálenost krytí	d-1: 30.000, d-2: 38.000 mm
Průměr výztuže	ds-1: 8.000, ds-2: 8.000 mm
Směry výztuže	Phi-1: 0.000°, Phi-2: 90.000°
Plocha výztuže	As-1,+z (dolní): 503.000, As-2,+z (dolní): 503.000 mm²/m
USPOŘÁDÁNÍ PŘÍDAVNÉ VÝZTUŽE - NAHOŘE (-z)	
Počet vrstev	2



Projekt:

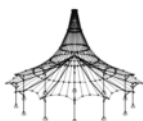
Model: HOŘICE-KONSTRUKCE\_3D\_Budova\_ZÁKLADY\_deska

## ■ 1.4 SADA VÝZTUŽE Č. 1

Osová vzdálenost krytí	d-1: 30.000, d-2: 40.000 mm
Průměr výztuže	ds-1: 10.000, ds-2: 10.000 mm
Směry výztuže	Phi-1: 0.000°, Phi-2: 90.000°
Plocha výztuže	Použít nutnou přídatnou výztuž podle tabulek 2.1, 2.2, 2.3
USPOŘÁDÁNÍ PŘÍDAVNÉ VÝZTUŽE - DOLE (+z)	
Počet vrstev	2
Osová vzdálenost krytí	d-1: 30.000, d-2: 40.000 mm
Průměr výztuže	ds-1: 10.000, ds-2: 10.000 mm
Směry výztuže	Phi-1: 0.000°, Phi-2: 90.000°
Plocha výztuže	Použít nutnou přídatnou výztuž podle tabulek 2.1, 2.2, 2.3
PODÉLNÁ VÝZTUŽ PRO POSOUZENÍ POSOUVAJÍCÍCH SIL	
Použít větší hodnotu vyplývající z nutné výztuže nebo navržené výztuže (základní a přídatné) ve směru vedení výztuže.	
NASTAVENÍ CSN EN 1992-1-1/NA:2016-05	
Minimální podélná výztuž pro desky podle 9.3.1	<input checked="" type="checkbox"/>
Směr minimální výztuže	
Směr výztuže s hlavní tahovou silou od horní (-z) a dolní (+z) strany dohromady:	<input checked="" type="checkbox"/>
Minimální podélná výztuž pro stěny podle 9.6	<input type="checkbox"/>
Minimální smykavá výztuž	<input checked="" type="checkbox"/>
Vymezení tlakové zóny	<input checked="" type="checkbox"/>
Proměnný sklon tlakových diagonál - min	45.000 °
Proměnný sklon tlakových diagonál - max	45.000 °
Proměnný sklon tlakových diagonál - min	21.800 °
Proměnný sklon tlakových diagonál - max	45.000 °
Proměnný sklon tlakových diagonál - min	30.000 °
Proměnný sklon tlakových diagonál - max	45.000 °
Dílčí součinitel spolehlivosti $\gamma_s$	TD 1.15, MM 1.00, MSP 1.00
Dílčí součinitel spolehlivosti $\gamma_c$	TD 1.50, MM 1.30, MSP 1.00
Zohlednění dlouhodobých účinků Alfa-cc	TD 1.00, MM 1.00, MSP 1.00
Zohlednění dlouhodobých účinků Alfa-ct	MSP 1.00

## ■ 2.2 NUTNÁ VÝZTUŽ PO PLOCHÁCH

Plocha	Bod	Souřadnice bodu [mm]			Symbol	Nutná výztuž			Základní Výzt.	Přídatná výztuž		Jednotky	Upozor- nění
č.	č.	X	Y	Z		MSÚ	MSP	MSÚ/MSP		Nutná	Navržená		
2	S1	26260.000	-16260.00	2425.000	$a_{s,1,-z}$ (horní)	224.432	1.217	224.432	503.000	0.000	0.000	mm <sup>2</sup> /m	
	S15	16563.000	-16260.00	825.000	$a_{s,2,-z}$ (horní)	224.432	24.297	224.432	503.000	0.000	0.000	mm <sup>2</sup> /m	
	S1	26260.000	-16260.00	2425.000	$a_{s,1,+z}$ (dolní)	224.432	2.025	224.432	503.000	0.000	0.000	mm <sup>2</sup> /m	
	S15	16563.000	-16260.00	825.000	$a_{s,2,+z}$ (dolní)	325.260	185.475	325.260	503.000	0.000	0.000	mm <sup>2</sup> /m	
	S1035	16260.000	-16260.00	825.000	$a_{sw}$	877.584	-	877.584	-	-	-	mm <sup>2</sup> /m <sup>2</sup>	
3	S1	26260.000	-16260.00	2425.000	$a_{s,1,-z}$ (horní)	224.432	9.678	224.432	503.000	0.000	0.000	mm <sup>2</sup> /m	
	S1038	26260.000	-17160.00	825.000	$a_{s,2,-z}$ (horní)	256.996	167.621	256.996	503.000	0.000	0.000	mm <sup>2</sup> /m	
	S1	26260.000	-16260.00	2425.000	$a_{s,1,+z}$ (dolní)	224.432	2.143	224.432	503.000	0.000	0.000	mm <sup>2</sup> /m	
	S218	26260.000	-16560.00	825.000	$a_{s,2,+z}$ (dolní)	241.157	132.821	241.157	503.000	0.000	0.000	mm <sup>2</sup> /m	
	S1	26260.000	-16260.00	2425.000	$a_{sw}$	0.000	-	0.000	-	-	-	mm <sup>2</sup> /m <sup>2</sup>	
4	S3	26260.000	-17160.00	2425.000	$a_{s,1,-z}$ (horní)	224.432	0.653	224.432	503.000	0.000	0.000	mm <sup>2</sup> /m	
	S223	26260.000	-17160.00	1145.000	$a_{s,2,-z}$ (horní)	224.432	57.292	224.432	503.000	0.000	0.000	mm <sup>2</sup> /m	
	S3	26260.000	-17160.00	2425.000	$a_{s,1,+z}$ (dolní)	224.432	0.773	224.432	503.000	0.000	0.000	mm <sup>2</sup> /m	
	S298	16563.000	-17160.00	825.000	$a_{s,2,+z}$ (dolní)	290.901	170.231	290.901	503.000	0.000	0.000	mm <sup>2</sup> /m	
	S1037	16260.000	-17160.00	825.000	$a_{sw}$	808.347	-	808.347	-	-	-	mm <sup>2</sup> /m <sup>2</sup>	
5	S2	16260.000	-16260.00	2425.000	$a_{s,1,-z}$ (horní)	224.432	27.194	224.432	503.000	0.000	0.000	mm <sup>2</sup> /m	
	S2	16260.000	-16260.00	2425.000	$a_{s,2,-z}$ (horní)	224.432	5.515	224.432	503.000	0.000	0.000	mm <sup>2</sup> /m	
	S2	16260.000	-16260.00	2425.000	$a_{s,1,+z}$ (dolní)	224.432	2.456	224.432	503.000	0.000	0.000	mm <sup>2</sup> /m	
	S436	16260.000	-16560.00	825.000	$a_{s,2,+z}$ (dolní)	384.661	220.160	384.661	503.000	0.000	0.000	mm <sup>2</sup> /m	
	S1035	16260.000	-16260.00	825.000	$a_{sw}$	800.000	-	800.000	-	-	-	mm <sup>2</sup> /m <sup>2</sup>	
300	S904	10645.500	-28182.40	825.000	$a_{s,1,-z}$ (horní)	237.952	41.044	237.952	503.000	0.000	0.000	mm <sup>2</sup> /m	
	S899	9800.000	-28177.30	825.000	$a_{s,2,-z}$ (horní)	237.952	30.146	237.952	503.000	0.000	0.000	mm <sup>2</sup> /m	
	S900	10090.900	-28177.30	825.000	$a_{s,1,+z}$ (dolní)	237.952	53.481	237.952	503.000	0.000	0.000	mm <sup>2</sup> /m	
	S911	10101.800	-28454.50	825.000	$a_{s,2,+z}$ (dolní)	237.952	62.207	237.952	503.000	0.000	0.000	mm <sup>2</sup> /m	
	S899	9800.000	-28177.30	825.000	$a_{sw}$	0.000	-	0.000	-	-	-	mm <sup>2</sup> /m <sup>2</sup>	
301	S976	14400.000	-30230.00	825.000	$a_{s,1,-z}$ (horní)	237.952	27.452	237.952	503.000	0.000	0.000	mm <sup>2</sup> /m	
	S1355	14400.000	-29950.00	825.000	$a_{s,2,-z}$ (horní)	237.952	10.995	237.952	503.000	0.000	0.000	mm <sup>2</sup> /m	
	S977	14685.000	-30235.00	825.000	$a_{s,1,+z}$ (dolní)	237.952	30.840	237.952	503.000	0.000	0.000	mm <sup>2</sup> /m	
	S976	14400.000	-30230.00	825.000	$a_{s,2,+z}$ (dolní)	237.952	37.413	237.952	503.000	0.000	0.000	mm <sup>2</sup> /m	
	S976	14400.000	-30230.00	825.000	$a_{sw}$	0.000	-	0.000	-	-	-	mm <sup>2</sup> /m <sup>2</sup>	
302	S1390	20400.000	-31350.00	825.000	$a_{s,1,-z}$ (horní)	237.952	29.262	237.952	503.000	0.000	0.000	mm <sup>2</sup> /m	
	S1390	20400.000	-31350.00	825.000	$a_{s,2,-z}$ (horní)	237.952	26.166	237.952	503.000	0.000	0.000	mm <sup>2</sup> /m	
	S14	20400.000	-31070.00	825.000	$a_{s,1,+z}$ (dolní)	237.952	32.557	237.952	503.000	0.000	0.000	mm <sup>2</sup> /m	
	S14	20400.000	-31070.00	825.000	$a_{s,2,+z}$ (dolní)	237.952	33.077	237.952	503.000	0.000	0.000	mm <sup>2</sup> /m	
	S14	20400.000	-31070.00	825.000	$a_{sw}$	0.000	-	0.000	-	-	-	mm <sup>2</sup> /m <sup>2</sup>	
303	S1123	26310.000	-30790.00	825.000	$a_{s,1,-z}$ (horní)	237.952	3.356	237.952	503.000	0.000	0.000	mm <sup>2</sup> /m	
	S1134	27610.000	-31150.00	825.000	$a_{s,2,-z}$ (horní)	237.952	21.020	237.952	503.000	0.000	0.000	mm <sup>2</sup> /m	
	S726	27610.000	-30950.00	825.000	$a_{s,1,+z}$ (dolní)	237.952	87.993	237.952	503.000	0.000	0.000	mm <sup>2</sup> /m	
	S1106	26310.000	-30230.00	825.000	$a_{s,2,+z}$ (dolní)	237.952	46.141	237.952	503.000	0.000	0.000	mm <sup>2</sup> /m	
	S13645	28010.000	-30950.00	825.000	$a_{sw}$	800.000	-	800.000	-	-	-	mm <sup>2</sup> /m <sup>2</sup>	
304	S1144	26820.000	-28388.90	825.000	$a_{s,1,-z}$ (horní)	237.952	7.191	237.952	503.000	0.000	0.000	mm <sup>2</sup> /m	
	S1144	26820.000	-28388.90	825.000	$a_{s,2,-z}$ (horní)	47.590	0.000	47.590	503.000	0.000	0.000	mm <sup>2</sup> /m	
	S1142	27117.500	-28700.00	825.000	$a_{s,1,+z}$ (dolní)	237.952	65.058	237.952	503.000	0.000	0.000	mm <sup>2</sup> /m	
	S1142	27117.500	-28700.00	825.000	$a_{s,2,+z}$ (dolní)	237.952	29.049	237.952	503.000	0.000	0.000	mm <sup>2</sup> /m	
	S1142	27117.500	-28700.00	825.000	$a_{sw}$	0.000	-	0.000	-	-	-	mm <sup>2</sup> /m <sup>2</sup>	
309	S13	19527.300	-30510.00	825.000	$a_{s,1,-z}$ (horní)	237.952	40.150	237.952	503.000	0.000	0.000	mm <sup>2</sup> /m	
	S506	14395.500	-29342.20	825.000	$a_{s,2,-z}$ (horní)	237.952	15.268	237.952	503.000	0.000	0.000	mm <sup>2</sup> /m	
	S14	20400.000	-31070.00	825.000	$a_{s,1,+z}$ (dolní)	237.952	35.455	237.952	503.000	0.000	0.000	mm <sup>2</sup> /m	
	S14	20400.000	-31070.00	825.000	$a_{s,2,+z}$ (dolní)	237.952	41.326	237.952	503.000	0.000	0.000	mm <sup>2</sup> /m	
	S13	19527.300	-30510.00	825.000	$a_{sw}$	0.000	-	0.000	-	-	-	mm <sup>2</sup> /m <sup>2</sup>	

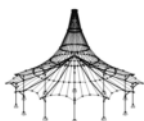


Projekt:

Model: HOŘICE-KONSTRUKCE\_3D\_Budova\_ZÁKLADY\_deska

## ■ 2.2 NUTNÁ VÝZTUŽ PO PLOCHÁCH

Plocha	Bod	Souřadnice bodu [mm]				Nutná výztuž			Základní	Přídavná výztuž			Upozor-
č.	č.	X	Y	Z	Symbol	MSÚ	MSP	MSÚ/MSP	Výzt.	Nutná	Navržená	Jednotky	nění
314	S1373	26820.000	-13300.00	825.000	a <sub>s,1,-z</sub> (horní)	237.952	20.366	237.952	503.000	0.000	0.000	mm²/m	
	S1375	26820.000	-16100.00	825.000	a <sub>s,2,-z</sub> (horní)	237.952	47.190	237.952	503.000	0.000	0.000	mm²/m	
	S1373	26820.000	-13300.00	825.000	a <sub>s,1,+z</sub> (dolní)	237.952	74.385	237.952	503.000	0.000	0.000	mm²/m	
	S1373	26820.000	-13300.00	825.000	a <sub>s,2,+z</sub> (dolní)	237.952	49.135	237.952	503.000	0.000	0.000	mm²/m	
	S1373	26820.000	-13300.00	825.000	a <sub>sw</sub>	0.000	-	0.000	-	-	-	mm²/m²	
315	S1377	26310.000	-9750.000	825.000	a <sub>s,1,-z</sub> (horní)	237.952	13.735	237.952	503.000	0.000	0.000	mm²/m	
	S1377	26310.000	-9750.000	825.000	a <sub>s,2,-z</sub> (horní)	237.952	20.530	237.952	503.000	0.000	0.000	mm²/m	
	S598	27610.000	-9750.000	825.000	a <sub>s,1,+z</sub> (dolní)	237.952	37.136	237.952	503.000	0.000	0.000	mm²/m	
	S598	27610.000	-9750.000	825.000	a <sub>s,2,+z</sub> (dolní)	237.952	77.445	237.952	503.000	0.000	0.000	mm²/m	
	S13677	28010.000	-10150.00	825.000	a <sub>sw</sub>	1610.723	-	1610.723	-	-	-	mm²/m²	
316	S1343	20400.000	-9750.000	825.000	a <sub>s,1,-z</sub> (horní)	237.952	37.588	237.952	503.000	0.000	0.000	mm²/m	
	S1343	20400.000	-9750.000	825.000	a <sub>s,2,-z</sub> (horní)	237.952	31.211	237.952	503.000	0.000	0.000	mm²/m	
	S3094	21666.700	-10150.00	825.000	a <sub>s,1,+z</sub> (dolní)	280.872	173.771	280.872	503.000	0.000	0.000	mm²/m	
	S1040	22200.000	-9750.000	825.000	a <sub>s,2,+z</sub> (dolní)	237.952	88.256	237.952	503.000	0.000	0.000	mm²/m	
	S1040	22200.000	-9750.000	825.000	a <sub>sw</sub>	0.000	-	0.000	-	-	-	mm²/m²	
317	S1347	14400.000	-9750.000	825.000	a <sub>s,1,-z</sub> (horní)	237.952	42.666	237.952	503.000	0.000	0.000	mm²/m	
	S1348	17200.000	-9750.000	825.000	a <sub>s,2,-z</sub> (horní)	237.952	31.923	237.952	503.000	0.000	0.000	mm²/m	
	S1049	15400.000	-10150.00	825.000	a <sub>s,1,+z</sub> (dolní)	237.952	97.377	237.952	503.000	0.000	0.000	mm²/m	
	S1047	16200.000	-9750.000	825.000	a <sub>s,2,+z</sub> (dolní)	237.952	67.420	237.952	503.000	0.000	0.000	mm²/m	
	S1047	16200.000	-9750.000	825.000	a <sub>sw</sub>	0.000	-	0.000	-	-	-	mm²/m²	
318	S1359	11200.000	-9750.000	825.000	a <sub>s,1,-z</sub> (horní)	237.952	82.038	237.952	503.000	0.000	0.000	mm²/m	
	S1360	9800.000	-13700.00	825.000	a <sub>s,2,-z</sub> (horní)	237.952	86.152	237.952	503.000	0.000	0.000	mm²/m	
	S1072	9800.000	-11900.00	825.000	a <sub>s,1,+z</sub> (dolní)	237.952	55.287	237.952	503.000	0.000	0.000	mm²/m	
	S1059	10200.000	-9750.000	825.000	a <sub>s,2,+z</sub> (dolní)	237.952	22.832	237.952	503.000	0.000	0.000	mm²/m	
	S3235	10200.000	-12166.70	825.000	a <sub>sw</sub>	800.000	-	800.000	-	-	-	mm²/m²	
319	S1035	16260.000	-16260.00	825.000	a <sub>s,1,-z</sub> (horní)	251.870	143.041	251.870	503.000	0.000	0.000	mm²/m	
	S1035	16260.000	-16260.00	825.000	a <sub>s,2,-z</sub> (horní)	369.221	210.832	369.221	503.000	0.000	0.000	mm²/m	
	S18	16866.100	-16260.00	825.000	a <sub>s,1,+z</sub> (dolní)	237.952	13.795	237.952	503.000	0.000	0.000	mm²/m	
	S15	16563.000	-16260.00	825.000	a <sub>s,2,+z</sub> (dolní)	237.952	28.988	237.952	503.000	0.000	0.000	mm²/m	
	S5	19333.300	-20550.00	825.000	a <sub>sw</sub>	0.000	-	0.000	-	-	-	mm²/m²	
320	S1340	14400.000	-21950.00	825.000	a <sub>s,1,-z</sub> (horní)	237.952	32.693	237.952	503.000	0.000	0.000	mm²/m	
	S1342	17200.000	-21950.00	825.000	a <sub>s,2,-z</sub> (horní)	237.952	15.808	237.952	503.000	0.000	0.000	mm²/m	
	S1342	17200.000	-21950.00	825.000	a <sub>s,1,+z</sub> (dolní)	237.952	25.435	237.952	503.000	0.000	0.000	mm²/m	
	S1340	14400.000	-21950.00	825.000	a <sub>s,2,+z</sub> (dolní)	237.952	35.243	237.952	503.000	0.000	0.000	mm²/m	
	S1340	14400.000	-21950.00	825.000	a <sub>sw</sub>	0.000	-	0.000	-	-	-	mm²/m²	
321	S1243	14400.000	-19150.00	825.000	a <sub>s,1,-z</sub> (horní)	237.952	43.479	237.952	503.000	0.000	0.000	mm²/m	
	S1257	17200.000	-20550.00	825.000	a <sub>s,2,-z</sub> (horní)	237.952	17.963	237.952	503.000	0.000	0.000	mm²/m	
	S854	16925.000	-20550.00	825.000	a <sub>s,1,+z</sub> (dolní)	237.952	39.152	237.952	503.000	0.000	0.000	mm²/m	
	S1243	14400.000	-19150.00	825.000	a <sub>s,2,+z</sub> (dolní)	237.952	43.768	237.952	503.000	0.000	0.000	mm²/m	
	S854	16925.000	-20550.00	825.000	a <sub>sw</sub>	0.000	-	0.000	-	-	-	mm²/m²	
322	S2974	23200.000	-20830.00	825.000	a <sub>s,1,-z</sub> (horní)	237.952	30.723	237.952	503.000	0.000	0.000	mm²/m	
	S13572	20400.000	-20550.00	825.000	a <sub>s,2,-z</sub> (horní)	237.952	20.444	237.952	503.000	0.000	0.000	mm²/m	
	S1241	20400.000	-21950.00	825.000	a <sub>s,1,+z</sub> (dolní)	237.952	30.975	237.952	503.000	0.000	0.000	mm²/m	
	S1241	20400.000	-21950.00	825.000	a <sub>s,2,+z</sub> (dolní)	237.952	32.538	237.952	503.000	0.000	0.000	mm²/m	
	S1241	20400.000	-21950.00	825.000	a <sub>sw</sub>	0.000	-	0.000	-	-	-	mm²/m²	
323	S1255	23200.000	-20550.00	825.000	a <sub>s,1,-z</sub> (horní)	237.952	51.232	237.952	503.000	0.000	0.000	mm²/m	
	S1255	23200.000	-20550.00	825.000	a <sub>s,2,-z</sub> (horní)	237.952	43.541	237.952	503.000	0.000	0.000	mm²/m	
	S863	22466.700	-20550.00	825.000	a <sub>s,1,+z</sub> (dolní)	237.952	69.479	237.952	503.000	0.000	0.000	mm²/m	
	S1239	20400.000	-19150.00	825.000	a <sub>s,2,+z</sub> (dolní)	237.952	33.856	237.952	503.000	0.000	0.000	mm²/m	
	S863	22466.700	-20550.00	825.000	a <sub>sw</sub>	0.000	-	0.000	-	-	-	mm²/m²	
324	S1369	26570.000	-23750.00	825.000	a <sub>s,1,-z</sub> (horní)	237.952	5.151	237.952	503.000	0.000	0.000	mm²/m	
	S5024	26854.600	-22888.20	825.000	a <sub>s,2,-z</sub> (horní)	237.952	0.979	237.952	503.000	0.000	0.000	mm²/m	
	S546	27400.000	-20950.00	825.000	a <sub>s,1,+z</sub> (dolní)	237.952	113.352	237.952	503.000	0.000	0.000	mm²/m	
	S546	27400.000	-20950.00	825.000	a <sub>s,2,+z</sub> (dolní)	237.952	56.121	237.952	503.000	0.000	0.000	mm²/m	
	S546	27400.000	-20950.00	825.000	a <sub>sw</sub>	0.000	-	0.000	-	-	-	mm²/m²	
325	S470	26846.700	-20550.00	825.000	a <sub>s,1,-z</sub> (horní)	237.952	3.078	237.952	503.000	0.000	0.000	mm²/m	
	S1371	26570.000	-17350.00	825.000	a <sub>s,2,-z</sub> (horní)	237.952	60.270	237.952	503.000	0.000	0.000	mm²/m	
	S470	26846.700	-20550.00	825.000	a <sub>s,1,+z</sub> (dolní)	237.952	68.146	237.952	503.000	0.000	0.000	mm²/m	
	S544	27400.000	-20150.00	825.000	a <sub>s,2,+z</sub> (dolní)	237.952	31.990	237.952	503.000	0.000	0.000	mm²/m	
	S470	26846.700	-20550.00	825.000	a <sub>sw</sub>	0.000	-	0.000	-	-	-	mm²/m²	
326	S5112	10200.000	-24033.30	825.000	a <sub>s,1,-z</sub> (horní)	503.000	33.623	503.000	503.000	0.000	0.000	mm²/m	
	S5112	10200.000	-24033.30	825.000	a <sub>s,2,-z</sub> (horní)	503.000	2.234	503.000	503.000	0.000	0.000	mm²/m	
	S5112	10200.000	-24033.30	825.000	a <sub>s,1,+z</sub> (dolní)	503.000	49.615	503.000	503.000	0.000	0.000	mm²/m	
	S5112	10200.000	-24033.30	825.000	a <sub>s,2,+z</sub> (dolní)	503.000	79.224	503.000	503.000	0.000	0.000	mm²/m	
	S5116	10200.000	-23766.70	825.000	a <sub>sw</sub>	800.000	-	800.000	-	-	-	mm²/m²	
327	S5184	10200.000	-17566.70	825.000	a <sub>s,1,-z</sub> (horní)	503.000	40.890	503.000	503.000	0.000	0.000	mm²/m	
	S5184	10200.000	-17566.70	825.000	a <sub>s,2,-z</sub> (horní)	503.000	7.603	503.000	503.000	0.000	0.000	mm²/m	
	S5184	10200.000	-17566.70	825.000	a <sub>s,1,+z</sub> (dolní)	503.000	49.054	503.000	503.000	0.000	0.000	mm²/m	
	S5184	10200.000	-17566.70	825.000	a <sub>s,2,+z</sub> (dolní)	503.000	82.235	503.000	503.000	0.000	0.000	mm²/m	
	S5188	10200.000	-17833.30	825.000	a <sub>sw</sub>	1222.149	-	1222.149	-	-	-	mm²/m²	
328	S2	16260.000	-16260.00	2425.000	a <sub>s,1,-z</sub> (horní)	224.432	17.725	224.432	503.000	0.000	0.000	mm²/m	
	S2	16260.000	-16260.00	2425.000	a <sub>s,2,-z</sub> (horní)	224.432	12.175	224.432	503.000	0.000	0.000	mm²/m	
	S1	26260.000	-16260.00	2425.000	a <sub>s,1,+z</sub> (dolní)	224.432	5.072	224.4					



Projekt:

Model: HOŘICE-KONSTRUKCE\_3D\_Budova\_ZÁKLADY\_deska

## 2.2 NUTNÁ VÝZTUŽ PO PLOCHÁCH

Plocha	Bod	Souřadnice bodu [mm]				Nutná výztuž			Základní	Přídavná výztuž			Upozor-
č.	č.	X	Y	Z	Symbol	MSÚ	MSP	MSÚ/MSP	Výzt.	Nutná	Navržená	Jednotky	nění
334	S1434	36820.000	-31350.00	825.000	a <sub>s,2,-z</sub> (horní)	74.234	44.327	74.234	503.000	0.000	0.000	mm²/m	
	S739	38620.000	-30950.00	825.000	a <sub>s,1,+z</sub> (dolní)	237.952	100.636	237.952	503.000	0.000	0.000	mm²/m	
	S741	37820.000	-31350.00	825.000	a <sub>s,2,+z</sub> (dolní)	237.952	70.888	237.952	503.000	0.000	0.000	mm²/m	
	S739	38620.000	-30950.00	825.000	a <sub>sw</sub>	0.000	-	0.000	-	-	-	mm²/m²	
	S1305	50420.000	-31350.00	825.000	a <sub>s,1,-z</sub> (horní)	237.952	49.959	237.952	503.000	0.000	0.000	mm²/m	
	S1306	53220.000	-31350.00	825.000	a <sub>s,2,-z</sub> (horní)	76.363	45.604	76.363	503.000	0.000	0.000	mm²/m	
	S883	52220.000	-30950.00	825.000	a <sub>s,1,+z</sub> (dolní)	237.952	99.117	237.952	503.000	0.000	0.000	mm²/m	
	S885	51420.000	-31350.00	825.000	a <sub>s,2,+z</sub> (dolní)	237.952	74.690	237.952	503.000	0.000	0.000	mm²/m	
335	S883	52220.000	-30950.00	825.000	a <sub>sw</sub>	0.000	-	0.000	-	-	-	mm²/m²	
	S1309	55420.000	-31350.00	825.000	a <sub>s,1,-z</sub> (horní)	237.952	54.426	237.952	503.000	0.000	0.000	mm²/m	
	S1309	55420.000	-31350.00	825.000	a <sub>s,2,-z</sub> (horní)	76.494	45.754	76.494	503.000	0.000	0.000	mm²/m	
	S931	57220.000	-30950.00	825.000	a <sub>s,1,+z</sub> (dolní)	237.952	103.840	237.952	503.000	0.000	0.000	mm²/m	
336	S933	56420.000	-31350.00	825.000	a <sub>s,2,+z</sub> (dolní)	237.952	74.282	237.952	503.000	0.000	0.000	mm²/m	
	S931	57220.000	-30950.00	825.000	a <sub>sw</sub>	0.000	-	0.000	-	-	-	mm²/m²	
	S1319	45420.000	-31350.00	825.000	a <sub>s,1,-z</sub> (horní)	237.952	89.055	237.952	503.000	0.000	0.000	mm²/m	
	S1321	45420.000	-27900.00	825.000	a <sub>s,2,-z</sub> (horní)	237.952	21.020	237.952	503.000	0.000	0.000	mm²/m	
337	S1321	45420.000	-27900.00	825.000	a <sub>s,1,+z</sub> (dolní)	237.952	4.833	237.952	503.000	0.000	0.000	mm²/m	
	S6758	44620.000	-30487.50	825.000	a <sub>s,2,+z</sub> (dolní)	237.952	22.133	237.952	503.000	0.000	0.000	mm²/m	
	S1319	45420.000	-31350.00	825.000	a <sub>sw</sub>	0.000	-	0.000	-	-	-	mm²/m²	
	S1436	41820.000	-31350.00	825.000	a <sub>s,1,-z</sub> (horní)	237.952	38.966	237.952	503.000	0.000	0.000	mm²/m	
338	S1325	41820.000	-27900.00	825.000	a <sub>s,2,-z</sub> (horní)	237.952	9.634	237.952	503.000	0.000	0.000	mm²/m	
	S788	42820.000	-30950.00	825.000	a <sub>s,1,+z</sub> (dolní)	237.952	67.121	237.952	503.000	0.000	0.000	mm²/m	
	S788	42820.000	-30950.00	825.000	a <sub>s,2,+z</sub> (dolní)	237.952	51.342	237.952	503.000	0.000	0.000	mm²/m	
	S788	42820.000	-30950.00	825.000	a <sub>sw</sub>	0.000	-	0.000	-	-	-	mm²/m²	
339	S836	46420.000	-30950.00	825.000	a <sub>s,1,-z</sub> (horní)	237.952	27.411	237.952	503.000	0.000	0.000	mm²/m	
	S1321	45420.000	-27900.00	825.000	a <sub>s,2,-z</sub> (horní)	237.952	21.641	237.952	503.000	0.000	0.000	mm²/m	
	S837	46420.000	-31350.00	825.000	a <sub>s,1,+z</sub> (dolní)	237.952	3.058	237.952	503.000	0.000	0.000	mm²/m	
	S836	46420.000	-30950.00	825.000	a <sub>s,2,+z</sub> (dolní)	237.952	16.361	237.952	503.000	0.000	0.000	mm²/m	
340	S836	46420.000	-30950.00	825.000	a <sub>sw</sub>	0.000	-	0.000	-	-	-	mm²/m²	
	S787	43620.000	-30950.00	825.000	a <sub>s,1,-z</sub> (horní)	237.952	28.900	237.952	503.000	0.000	0.000	mm²/m	
	S1326	44620.000	-27900.00	825.000	a <sub>s,2,-z</sub> (horní)	237.952	25.060	237.952	503.000	0.000	0.000	mm²/m	
	S790	43620.000	-31350.00	825.000	a <sub>s,1,+z</sub> (dolní)	237.952	3.330	237.952	503.000	0.000	0.000	mm²/m	
341	S787	43620.000	-30950.00	825.000	a <sub>s,2,+z</sub> (dolní)	237.952	18.155	237.952	503.000	0.000	0.000	mm²/m	
	S787	43620.000	-30950.00	825.000	a <sub>sw</sub>	0.000	-	0.000	-	-	-	mm²/m²	
	S841	46820.000	-28233.30	825.000	a <sub>s,1,-z</sub> (horní)	237.952	10.279	237.952	503.000	0.000	0.000	mm²/m	
	S841	46820.000	-28233.30	825.000	a <sub>s,2,-z</sub> (horní)	237.952	9.135	237.952	503.000	0.000	0.000	mm²/m	
342	S835	47220.000	-30950.00	825.000	a <sub>s,1,+z</sub> (dolní)	237.952	60.762	237.952	503.000	0.000	0.000	mm²/m	
	S835	47220.000	-30950.00	825.000	a <sub>s,2,+z</sub> (dolní)	237.952	49.395	237.952	503.000	0.000	0.000	mm²/m	
	S835	47220.000	-30950.00	825.000	a <sub>sw</sub>	0.000	-	0.000	-	-	-	mm²/m²	
	S1053	31570.000	-22350.00	825.000	a <sub>s,1,-z</sub> (horní)	237.952	62.681	237.952	503.000	0.000	0.000	mm²/m	
343	S1442	34870.000	-22350.00	825.000	a <sub>s,2,-z</sub> (horní)	101.426	60.707	101.426	503.000	0.000	0.000	mm²/m	
	S641	32820.000	-22750.00	825.000	a <sub>s,1,+z</sub> (dolní)	244.903	146.749	244.903	503.000	0.000	0.000	mm²/m	
	S1231	31570.000	-23750.00	825.000	a <sub>s,2,+z</sub> (dolní)	237.952	56.639	237.952	503.000	0.000	0.000	mm²/m	
	S1053	31570.000	-22350.00	825.000	a <sub>sw</sub>	800.000	-	800.000	-	-	-	mm²/m²	
344	S603	39557.500	-22350.00	825.000	a <sub>s,1,-z</sub> (horní)	237.952	18.680	237.952	503.000	0.000	0.000	mm²/m	
	S596	36882.500	-22350.00	825.000	a <sub>s,2,-z</sub> (horní)	237.952	20.799	237.952	503.000	0.000	0.000	mm²/m	
	S596	36882.500	-22350.00	825.000	a <sub>s,1,+z</sub> (dolní)	237.952	31.849	237.952	503.000	0.000	0.000	mm²/m	
	S603	39557.500	-22350.00	825.000	a <sub>s,2,+z</sub> (dolní)	237.952	28.532	237.952	503.000	0.000	0.000	mm²/m	
345	S1440	39870.000	-22350.00	825.000	a <sub>sw</sub>	800.000	-	800.000	-	-	-	mm²/m²	
	S676	50482.500	-22350.00	825.000	a <sub>s,1,-z</sub> (horní)	237.952	14.484	237.952	503.000	0.000	0.000	mm²/m	
	S1488	53470.000	-22350.00	825.000	a <sub>s,2,-z</sub> (horní)	113.628	67.808	113.628	503.000	0.000	0.000	mm²/m	
	S676	50482.500	-22350.00	825.000	a <sub>s,1,+z</sub> (dolní)	237.952	24.735	237.952	503.000	0.000	0.000	mm²/m	
346	S1335	50170.000	-23750.00	825.000	a <sub>s,2,+z</sub> (dolní)	237.952	32.780	237.952	503.000	0.000	0.000	mm²/m	
	S1487	50170.000	-22350.00	825.000	a <sub>sw</sub>	800.000	-	800.000	-	-	-	mm²/m²	
	S706	55482.500	-22350.00	825.000	a <sub>s,1,-z</sub> (horní)	237.952	62.101	237.952	503.000	0.000	0.000	mm²/m	
	S1484	55170.000	-22350.00	825.000	a <sub>s,2,-z</sub> (horní)	133.452	79.689	133.452	503.000	0.000	0.000	mm²/m	
347	S897	56420.000	-22750.00	825.000	a <sub>s,1,+z</sub> (dolní)	273.113	163.330	273.113	503.000	0.000	0.000	mm²/m	
	S1473	56420.000	-22350.00	825.000	a <sub>s,2,+z</sub> (dolní)	281.070	166.834	281.070	503.000	0.000	0.000	mm²/m	
	S1473	56420.000	-22350.00	825.000	a <sub>sw</sub>	1031.193	-	1031.193	-	-	-	mm²/m²	
	S7413	61820.000	-23500.00	825.000	a <sub>s,1,-z</sub> (horní)	503.000	28.201	503.000	503.000	0.000	0.000	mm²/m	
348	S7413	61820.000	-23500.00	825.000	a <sub>s,2,-z</sub> (horní)	503.000	50.078	503.000	503.000	0.000	0.000	mm²/m	
	S7413	61820.000	-23500.00	825.000	a <sub>s,1,+z</sub> (dolní)	503.000	25.752	503.000	503.000	0.000	0.000	mm²/m	
	S7413	61820.000	-23500.00	825.000	a <sub>s,2,+z</sub> (dolní)	503.000	4.637	503.000	503.000	0.000	0.000	mm²/m	
	S1477	61420.000	-22350.00	825.000	a <sub>sw</sub>	1053.157	-	1053.157	-	-	-	mm²/m²	
349	S1316	61820.000	-25900.00	825.000	a <sub>s,1,-z</sub> (horní)	87.477	52.269	87.477	503.000	0.000	0.000	mm²/m	
	S1316	61820.000	-25900.00	825.000	a <sub>s,2,-z</sub> (horní)	237.952	71.251	237.952	503.000	0.000	0.000	mm²/m	
	S991	61820.000	-26900.00	825.000	a <sub>s,1,+z</sub> (dolní)	237.952	70.312	237.952	503.000	0.000	0.000	mm²/m	
	S992	61420.000	-26900.00	825.000	a <sub>s,2,+z</sub> (dolní)	237.952	97.433	237.952	503.000	0.000	0.000	mm²/m	
350	S991	61820.000	-26900.00	825.000	a <sub>sw</sub>	0.000	-	0.000	-	-	-	mm²/m²	
	S1313	60420.000	-31350.00	825.000	a <sub>s,1,-z</sub> (horní)	237.952	40.215	237.952	503.000	0.000	0.000	mm²/m	
	S1312	61820.000	-29950.00	825.000	a <sub>s,2,-z</sub> (horní)	237.952	42.040	237.952	503.000	0.000	0.000	mm²/m	
	S687	61820.000	-30950.00	825.000	a <sub>s,1,+z</sub> (dolní)	237.952	46.128	237.952	503.000	0.000	0.000	mm²/m	
351	S981	61420.000	-31350.00	825.000	a <sub>s,2,+z</sub> (dolní)	237.952	46.3						



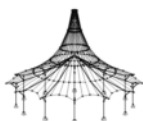
Projekt:

Model: HOŘICE-KONSTRUKCE\_3D\_Budova\_ZÁKLADY\_deska

## 2.2 NUTNÁ VÝZTUŽ PO PLOCHÁCH

Plocha	Bod	Souřadnice bodu [mm]				Nutná výztuž			Základní	Přídavná výztuž			Upozor-
č.	č.	X	Y	Z	Symbol	MSÚ	MSP	MSÚ/MSP	Výzt.	Nutná	Navržená	Jednotky	nění
352	S8947	33353.300	-19150.00	825.000	a <sub>s,1,+z</sub> (dolní)	302.234	181.280	302.234	503.000	0.000	0.000	mm²/m	
	S8695	31570.000	-19026.90	825.000	a <sub>s,2,+z</sub> (dolní)	237.952	32.344	237.952	503.000	0.000	0.000	mm²/m	
	S13724	34870.000	-18750.00	825.000	a <sub>sw</sub>	800.000	-	800.000	-	-	-	mm²/m²	
	S8954	36570.000	-22050.00	825.000	a <sub>s,1,-z</sub> (horní)	237.952	64.193	237.952	503.000	0.000	0.000	mm²/m	
	S13753	39557.500	-18750.00	825.000	a <sub>s,2,-z</sub> (horní)	237.952	12.121	237.952	503.000	0.000	0.000	mm²/m	
353	S9079	38353.300	-19150.00	825.000	a <sub>s,1,+z</sub> (dolní)	240.337	144.138	240.337	503.000	0.000	0.000	mm²/m	
	S8953	36882.500	-22025.00	825.000	a <sub>s,2,+z</sub> (dolní)	237.952	49.212	237.952	503.000	0.000	0.000	mm²/m	
	S13754	39870.000	-18750.00	825.000	a <sub>sw</sub>	800.000	-	800.000	-	-	-	mm²/m²	
	S13724	34870.000	-18750.00	825.000	a <sub>s,1,-z</sub> (horní)	503.000	23.278	503.000	503.000	0.000	0.000	mm²/m	
	S13724	34870.000	-18750.00	825.000	a <sub>s,2,-z</sub> (horní)	503.000	12.424	503.000	503.000	0.000	0.000	mm²/m	
354	S13724	34870.000	-18750.00	825.000	a <sub>s,1,+z</sub> (dolní)	503.000	16.623	503.000	503.000	0.000	0.000	mm²/m	
	S13724	34870.000	-18750.00	825.000	a <sub>s,2,+z</sub> (dolní)	503.000	27.808	503.000	503.000	0.000	0.000	mm²/m	
	S8840	34870.000	-22050.00	825.000	a <sub>sw</sub>	0.000	-	0.000	-	-	-	mm²/m²	
	S8962	39870.000	-22050.00	825.000	a <sub>s,1,-z</sub> (horní)	237.952	69.026	237.952	503.000	0.000	0.000	mm²/m	
	S13762	40170.000	-18750.00	825.000	a <sub>s,2,-z</sub> (horní)	54.424	33.088	54.424	503.000	0.000	0.000	mm²/m	
355	S8976	39870.000	-21750.00	825.000	a <sub>s,1,+z</sub> (dolní)	47.590	0.000	47.590	503.000	0.000	0.000	mm²/m	
	S8976	39870.000	-21750.00	825.000	a <sub>s,2,+z</sub> (dolní)	237.952	56.159	237.952	503.000	0.000	0.000	mm²/m	
	S13768	41970.000	-18750.00	825.000	a <sub>sw</sub>	800.000	-	800.000	-	-	-	mm²/m²	
	S9440	43086.700	-19150.00	825.000	a <sub>s,1,-z</sub> (horní)	503.000	18.821	503.000	503.000	0.000	0.000	mm²/m	
	S9440	43086.700	-19150.00	825.000	a <sub>s,2,-z</sub> (horní)	503.000	31.140	503.000	503.000	0.000	0.000	mm²/m	
356	S9440	43086.700	-19150.00	825.000	a <sub>s,1,+z</sub> (dolní)	503.000	80.077	503.000	503.000	0.000	0.000	mm²/m	
	S9440	43086.700	-19150.00	825.000	a <sub>s,2,+z</sub> (dolní)	503.000	55.144	503.000	503.000	0.000	0.000	mm²/m	
	S13771	42820.000	-22350.00	825.000	a <sub>sw</sub>	1105.937	-	1105.937	-	-	-	mm²/m²	
	S9460	50170.000	-22050.00	825.000	a <sub>s,1,-z</sub> (horní)	237.952	81.603	237.952	503.000	0.000	0.000	mm²/m	
	S13817	50482.500	-22350.00	825.000	a <sub>s,2,-z</sub> (horní)	237.952	16.342	237.952	503.000	0.000	0.000	mm²/m	
357	S847	52220.000	-21950.00	825.000	a <sub>s,1,+z</sub> (dolní)	237.952	118.366	237.952	503.000	0.000	0.000	mm²/m	
	S9459	50482.500	-22025.00	825.000	a <sub>s,2,+z</sub> (dolní)	237.952	61.942	237.952	503.000	0.000	0.000	mm²/m	
	S13810	50170.000	-22350.00	825.000	a <sub>sw</sub>	800.000	-	800.000	-	-	-	mm²/m²	
	S1294	61820.000	-16100.00	825.000	a <sub>s,1,-z</sub> (horní)	90.961	54.184	90.961	503.000	0.000	0.000	mm²/m	
	S1292	61820.000	-13300.00	825.000	a <sub>s,2,-z</sub> (horní)	237.952	53.554	237.952	503.000	0.000	0.000	mm²/m	
358	S1003	61820.000	-14300.00	825.000	a <sub>s,1,+z</sub> (dolní)	237.952	64.323	237.952	503.000	0.000	0.000	mm²/m	
	S1004	61420.000	-14300.00	825.000	a <sub>s,2,+z</sub> (dolní)	237.952	86.928	237.952	503.000	0.000	0.000	mm²/m	
	S1003	61820.000	-14300.00	825.000	a <sub>sw</sub>	0.000	-	0.000	-	-	-	mm²/m²	
	S13811	48753.300	-18750.00	825.000	a <sub>s,1,-z</sub> (horní)	254.022	161.117	254.022	503.000	0.000	0.000	mm²/m	
	S13809	49886.700	-22350.00	825.000	a <sub>s,2,-z</sub> (horní)	57.654	34.433	57.654	503.000	0.000	0.000	mm²/m	
359	S9282	48470.000	-21450.00	825.000	a <sub>s,1,+z</sub> (dolní)	47.590	0.000	47.590	503.000	0.000	0.000	mm²/m	
	S9282	48470.000	-21450.00	825.000	a <sub>s,2,+z</sub> (dolní)	237.952	68.596	237.952	503.000	0.000	0.000	mm²/m	
	S13786	48470.000	-22350.00	825.000	a <sub>sw</sub>	800.000	-	800.000	-	-	-	mm²/m²	
	S13825	53470.000	-22350.00	825.000	a <sub>s,1,-z</sub> (horní)	503.000	41.538	503.000	503.000	0.000	0.000	mm²/m	
	S13825	53470.000	-22350.00	825.000	a <sub>s,2,-z</sub> (horní)	503.000	15.179	503.000	503.000	0.000	0.000	mm²/m	
360	S13825	53470.000	-22350.00	825.000	a <sub>s,1,+z</sub> (dolní)	503.000	4.577	503.000	503.000	0.000	0.000	mm²/m	
	S13825	53470.000	-22350.00	825.000	a <sub>s,2,+z</sub> (dolní)	503.000	30.891	503.000	503.000	0.000	0.000	mm²/m	
	S9468	53470.000	-22050.00	825.000	a <sub>sw</sub>	0.000	-	0.000	-	-	-	mm²/m²	
	S1495	58470.000	-18750.00	825.000	a <sub>s,1,-z</sub> (horní)	237.952	29.930	237.952	503.000	0.000	0.000	mm²/m	
	S1495	58470.000	-18750.00	825.000	a <sub>s,2,-z</sub> (horní)	47.590	0.000	47.590	503.000	0.000	0.000	mm²/m	
361	S1495	58470.000	-18750.00	825.000	a <sub>s,1,+z</sub> (dolní)	47.590	15.932	47.590	503.000	0.000	0.000	mm²/m	
	S1495	58470.000	-18750.00	825.000	a <sub>s,2,+z</sub> (dolní)	237.952	61.751	237.952	503.000	0.000	0.000	mm²/m	
	S1495	58470.000	-18750.00	825.000	a <sub>sw</sub>	0.000	-	0.000	-	-	-	mm²/m²	
	S13846	55170.000	-18750.00	825.000	a <sub>s,1,-z</sub> (horní)	271.885	162.878	271.885	503.000	0.000	0.000	mm²/m	
	S13850	56420.000	-22350.00	825.000	a <sub>s,2,-z</sub> (horní)	237.952	45.062	237.952	503.000	0.000	0.000	mm²/m	
362	S909	56420.000	-19150.00	825.000	a <sub>s,1,+z</sub> (dolní)	237.952	6.476	237.952	503.000	0.000	0.000	mm²/m	
	S896	56420.000	-21950.00	825.000	a <sub>s,2,+z</sub> (dolní)	237.952	46.536	237.952	503.000	0.000	0.000	mm²/m	
	S13840	55170.000	-22350.00	825.000	a <sub>sw</sub>	800.000	-	800.000	-	-	-	mm²/m²	
	S1495	58470.000	-18750.00	825.000	a <sub>s,1,-z</sub> (horní)	237.952	32.610	237.952	503.000	0.000	0.000	mm²/m	
	S13865	57220.000	-22350.00	825.000	a <sub>s,2,-z</sub> (horní)	237.952	56.345	237.952	503.000	0.000	0.000	mm²/m	
363	S1500	56820.000	-21950.00	825.000	a <sub>s,1,+z</sub> (dolní)	237.952	68.316	237.952	503.000	0.000	0.000	mm²/m	
	S717	56820.000	-20083.30	825.000	a <sub>s,2,+z</sub> (dolní)	237.952	105.041	237.952	503.000	0.000	0.000	mm²/m	
	S13865	57220.000	-22350.00	825.000	a <sub>sw</sub>	800.000	-	800.000	-	-	-	mm²/m²	
	S1478	61420.000	-18750.00	825.000	a <sub>s,1,-z</sub> (horní)	237.952	66.039	237.952	503.000	0.000	0.000	mm²/m	
	S13879	61420.000	-22350.00	825.000	a <sub>s,2,-z</sub> (horní)	237.952	77.973	237.952	503.000	0.000	0.000	mm²/m	
364	S943	61820.000	-21950.00	825.000	a <sub>s,1,+z</sub> (dolní)	237.952	71.277	237.952	503.000	0.000	0.000	mm²/m	
	S944	61420.000	-21950.00	825.000	a <sub>s,2,+z</sub> (dolní)	237.952	57.847	237.952	503.000	0.000	0.000	mm²/m	
	S1478	61420.000	-18750.00	825.000	a <sub>sw</sub>	1085.398	-	1085.398	-	-	-	mm²/m²	
	S768	31570.000	-18750.00	825.000	a <sub>s,1,-z</sub> (horní)	237.952	57.392	237.952	503.000	0.000	0.000	mm²/m	
	S768	31570.000	-18750.00	825.000	a <sub>s,2,-z</sub> (horní)	237.952	58.207	237.952	503.000	0.000	0.000	mm²/m	
365	S652	32820.000	-18350.00	825.000	a <sub>s,1,+z</sub> (dolní)	268.112	160.430	268.112	503.000	0.000	0.000	mm²/m	
	S1233	31570.000	-17350.00	825.000	a <sub>s,2,+z</sub> (dolní)	237.952	67.956	237.952	503.000	0.000	0.000	mm²/m	
	S1490	34870.000	-18750.00	825.000	a <sub>sw</sub>	800.000	-	800.000	-	-	-	mm²/m²	
	S612	39557.500	-18750.00	825.000	a <sub>s,1,-z</sub> (horní)	237.952	21.198	237.952	503.000	0.000	0.000	mm²/m	
	S1492	39870.000	-18750.00	825.000	a <sub>s,2,-z</sub> (horní)	107.400	65.540	107.400	503.000	0.000	0.000	mm²/m	
366	S605	36882.500	-18750.00	825.000	a <sub>s,1,+z</sub> (dolní)	237.952	34.622	237.952	503.000	0.000	0.000	mm²/m	
	S612	39557.500	-18750.00	825.000	a <sub>s,2,+z</sub> (dolní)	237.952	27.072	237.952	503.000	0.000	0.000	mm²/m	
	S1492	39870.000	-18750.00										



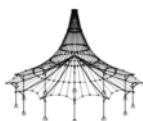


Projekt:

Model: HOŘICE-KONSTRUKCE\_3D\_Budova\_ZÁKLADY\_deska

## ■ 2.2 NUTNÁ VÝZTUŽ PO PLOCHÁCH

Plocha č.	Bod č.	Souřadnice bodu [mm]			Symbol	Nutná výztuž			Základní Výzt.	Přídavná výztuž		Jednotky	Upozor- nění
		X	Y	Z		MSÚ	MSP	MSÚ/MSP		Nutná	Navržená		
369	S1462	43620.000	-22350.00	825.000	$a_{s,2,+z}$ (dolní)	503.000	41.224	503.000	503.000	0.000	0.000	mm <sup>2</sup> /m	
	S10168	43420.000	-22750.00	825.000	$a_{sw}$	843.467	-	843.467	-	-	-	mm <sup>2</sup> /m <sup>2</sup>	
	S1483	48470.000	-22350.00	825.000	$a_{s,1,-z}$ (horní)	250.515	151.413	250.515	503.000	0.000	0.000	mm <sup>2</sup> /m	
	S1444	46820.000	-23750.00	825.000	$a_{s,2,-z}$ (horní)	252.335	150.086	252.335	503.000	0.000	0.000	mm <sup>2</sup> /m	
	S643	47845.000	-22350.00	825.000	$a_{s,1,+z}$ (dolní)	237.952	71.023	237.952	503.000	0.000	0.000	mm <sup>2</sup> /m	
370	S802	47220.000	-22750.00	825.000	$a_{s,2,+z}$ (dolní)	237.952	110.655	237.952	503.000	0.000	0.000	mm <sup>2</sup> /m	
	S1483	48470.000	-22350.00	825.000	$a_{sw}$	800.000	-	800.000	-	-	-	mm <sup>2</sup> /m <sup>2</sup>	
	S14038	43220.000	-18350.00	825.000	$a_{s,1,-z}$ (horní)	254.673	154.074	254.673	503.000	0.000	0.000	mm <sup>2</sup> /m	
	S13910	46820.000	-17350.00	825.000	$a_{s,2,-z}$ (horní)	275.059	166.433	275.059	503.000	0.000	0.000	mm <sup>2</sup> /m	
	S538	44242.200	-18750.00	825.000	$a_{s,1,+z}$ (dolní)	237.952	85.220	237.952	503.000	0.000	0.000	mm <sup>2</sup> /m	
371	S1464	43620.000	-18750.00	825.000	$a_{s,2,+z}$ (dolní)	237.952	63.997	237.952	503.000	0.000	0.000	mm <sup>2</sup> /m	
	S14038	43220.000	-18350.00	825.000	$a_{sw}$	1483.339	-	1483.339	-	-	-	mm <sup>2</sup> /m <sup>2</sup>	
	S1493	48470.000	-18750.00	825.000	$a_{s,1,-z}$ (horní)	503.000	120.606	503.000	503.000	0.000	0.000	mm <sup>2</sup> /m	
	S1493	48470.000	-18750.00	825.000	$a_{s,2,-z}$ (horní)	503.000	69.414	503.000	503.000	0.000	0.000	mm <sup>2</sup> /m	
	S660	47532.500	-18750.00	825.000	$a_{s,1,+z}$ (dolní)	156.832	35.981	156.832	503.000	0.000	0.000	mm <sup>2</sup> /m	
372	S660	47532.500	-18750.00	825.000	$a_{s,2,+z}$ (dolní)	156.832	31.400	156.832	503.000	0.000	0.000	mm <sup>2</sup> /m	
	S1493	48470.000	-18750.00	825.000	$a_{sw}$	800.000	-	800.000	-	-	-	mm <sup>2</sup> /m <sup>2</sup>	9)
	S685	50482.500	-18750.00	825.000	$a_{s,1,-z}$ (horní)	156.832	9.478	156.832	503.000	0.000	0.000	mm <sup>2</sup> /m	
	S685	50482.500	-18750.00	825.000	$a_{s,2,-z}$ (horní)	156.832	6.130	156.832	503.000	0.000	0.000	mm <sup>2</sup> /m	
	S690	52532.500	-18750.00	825.000	$a_{s,1,+z}$ (dolní)	156.832	33.644	156.832	503.000	0.000	0.000	mm <sup>2</sup> /m	
373	S859	52220.000	-18350.00	825.000	$a_{s,2,+z}$ (dolní)	156.832	52.672	156.832	503.000	0.000	0.000	mm <sup>2</sup> /m	
	S685	50482.500	-18750.00	825.000	$a_{sw}$	0.000	-	0.000	-	-	-	mm <sup>2</sup> /m <sup>2</sup>	
	S1250	58470.000	-17350.00	825.000	$a_{s,1,-z}$ (horní)	237.952	18.596	237.952	503.000	0.000	0.000	mm <sup>2</sup> /m	
	S13880	56820.000	-17350.00	825.000	$a_{s,2,-z}$ (horní)	242.525	144.021	242.525	503.000	0.000	0.000	mm <sup>2</sup> /m	
	S907	57220.000	-18350.00	825.000	$a_{s,1,+z}$ (dolní)	237.952	113.396	237.952	503.000	0.000	0.000	mm <sup>2</sup> /m	
374	S1476	57220.000	-18750.00	825.000	$a_{s,2,+z}$ (dolní)	320.175	188.776	320.175	503.000	0.000	0.000	mm <sup>2</sup> /m	
	S1476	57220.000	-18750.00	825.000	$a_{sw}$	1065.911	-	1065.911	-	-	-	mm <sup>2</sup> /m <sup>2</sup>	
	S1494	55170.000	-18750.00	825.000	$a_{s,1,-z}$ (horní)	182.042	109.936	182.042	503.000	0.000	0.000	mm <sup>2</sup> /m	
	S908	56420.000	-18350.00	825.000	$a_{s,2,-z}$ (horní)	156.832	35.362	156.832	503.000	0.000	0.000	mm <sup>2</sup> /m	
	S711	55795.000	-18750.00	825.000	$a_{s,1,+z}$ (dolní)	156.832	20.459	156.832	503.000	0.000	0.000	mm <sup>2</sup> /m	
375	S712	56107.500	-18750.00	825.000	$a_{s,2,+z}$ (dolní)	156.832	31.278	156.832	503.000	0.000	0.000	mm <sup>2</sup> /m	
	S710	55482.500	-18750.00	825.000	$a_{sw}$	0.000	-	0.000	-	-	-	mm <sup>2</sup> /m <sup>2</sup>	
	S10406	60170.000	-17630.00	825.000	$a_{s,1,-z}$ (horní)	237.952	16.395	237.952	503.000	0.000	0.000	mm <sup>2</sup> /m	
	S1253	60170.000	-17350.00	825.000	$a_{s,2,-z}$ (horní)	237.952	45.915	237.952	503.000	0.000	0.000	mm <sup>2</sup> /m	
	S956	61420.000	-18350.00	825.000	$a_{s,1,+z}$ (dolní)	237.952	103.641	237.952	503.000	0.000	0.000	mm <sup>2</sup> /m	
376	S1478	61420.000	-18750.00	825.000	$a_{s,2,+z}$ (dolní)	322.310	191.407	322.310	503.000	0.000	0.000	mm <sup>2</sup> /m	
	S1478	61420.000	-18750.00	825.000	$a_{sw}$	936.544	-	936.544	-	-	-	mm <sup>2</sup> /m <sup>2</sup>	
	S1287	60420.000	-9750.000	825.000	$a_{s,1,-z}$ (horní)	237.952	37.531	237.952	503.000	0.000	0.000	mm <sup>2</sup> /m	
	S1287	60420.000	-9750.000	825.000	$a_{s,2,-z}$ (horní)	237.952	39.200	237.952	503.000	0.000	0.000	mm <sup>2</sup> /m	
	S969	61420.000	-10150.00	825.000	$a_{s,1,+z}$ (dolní)	237.952	64.612	237.952	503.000	0.000	0.000	mm <sup>2</sup> /m	
377	S968	61420.000	-9750.000	825.000	$a_{s,2,+z}$ (dolní)	237.952	50.665	237.952	503.000	0.000	0.000	mm <sup>2</sup> /m	
	S968	61420.000	-9750.000	825.000	$a_{sw}$	0.000	-	0.000	-	-	-	mm <sup>2</sup> /m <sup>2</sup>	
	S919	57220.000	-9750.000	825.000	$a_{s,1,-z}$ (horní)	237.952	11.471	237.952	503.000	0.000	0.000	mm <sup>2</sup> /m	
	S1284	58220.000	-9750.000	825.000	$a_{s,2,-z}$ (horní)	237.952	40.686	237.952	503.000	0.000	0.000	mm <sup>2</sup> /m	
	S922	57220.000	-10150.00	825.000	$a_{s,1,+z}$ (dolní)	237.952	65.023	237.952	503.000	0.000	0.000	mm <sup>2</sup> /m	
378	S919	57220.000	-9750.000	825.000	$a_{s,2,+z}$ (dolní)	237.952	50.260	237.952	503.000	0.000	0.000	mm <sup>2</sup> /m	
	S919	57220.000	-9750.000	825.000	$a_{sw}$	0.000	-	0.000	-	-	-	mm <sup>2</sup> /m <sup>2</sup>	
	S921	56420.000	-10150.00	825.000	$a_{s,1,-z}$ (horní)	156.832	12.057	156.832	503.000	0.000	0.000	mm <sup>2</sup> /m	
	S920	56420.000	-9750.000	825.000	$a_{s,2,-z}$ (horní)	156.832	16.124	156.832	503.000	0.000	0.000	mm <sup>2</sup> /m	
	S761	56820.000	-10900.00	825.000	$a_{s,1,+z}$ (dolní)	156.832	8.244	156.832	503.000	0.000	0.000	mm <sup>2</sup> /m	
379	S761	56820.000	-10900.00	825.000	$a_{s,2,+z}$ (dolní)	156.832	9.490	156.832	503.000	0.000	0.000	mm <sup>2</sup> /m	
	S761	56820.000	-10900.00	825.000	$a_{sw}$	0.000	-	0.000	-	-	-	mm <sup>2</sup> /m <sup>2</sup>	
	S1276	48220.000	-9750.000	825.000	$a_{s,1,-z}$ (horní)	156.832	47.454	156.832	503.000	0.000	0.000	mm <sup>2</sup> /m	
	S1278	48220.000	-11150.00	825.000	$a_{s,2,-z}$ (horní)	156.832	8.997	156.832	503.000	0.000	0.000	mm <sup>2</sup> /m	
	S826	47220.000	-10150.00	825.000	$a_{s,1,+z}$ (dolní)	156.832	27.214	156.832	503.000	0.000	0.000	mm <sup>2</sup> /m	
380	S794	46820.000	-10900.00	825.000	$a_{s,2,+z}$ (dolní)	156.832	8.203	156.832	503.000	0.000	0.000	mm <sup>2</sup> /m	
	S794	46820.000	-10900.00	825.000	$a_{sw}$	0.000	-	0.000	-	-	-	mm <sup>2</sup> /m <sup>2</sup>	
	S1275	45420.000	-9750.000	825.000	$a_{s,1,-z}$ (horní)	237.952	46.788	237.952	503.000	0.000	0.000	mm <sup>2</sup> /m	
	S10569	46540.000	-11150.00	825.000	$a_{s,2,-z}$ (horní)	237.952	49.899	237.952	503.000	0.000	0.000	mm <sup>2</sup> /m	
	S825	46420.000	-10150.00	825.000	$a_{s,1,+z}$ (dolní)	237.952	41.247	237.952	503.000	0.000	0.000	mm <sup>2</sup> /m	
381	S824	46420.000	-9750.000	825.000	$a_{s,2,+z}$ (dolní)	237.952	31.182	237.952	503.000	0.000	0.000	mm <sup>2</sup> /m	
	S824	46420.000	-9750.000	825.000	$a_{sw}$	0.000	-	0.000	-	-	-	mm <sup>2</sup> /m <sup>2</sup>	
	S776	42820.000	-9750.000	825.000	$a_{s,1,-z}$ (horní)	237.952	12.946	237.952	503.000	0.000	0.000	mm <sup>2</sup> /m	
	S1271	41820.000	-9750.000	825.000	$a_{s,2,-z}$ (horní)	237.952	46.348	237.952	503.000	0.000	0.000	mm <sup>2</sup> /m	
	S777	42820.000	-10150.00	825.000	$a_{s,1,+z}$ (dolní)	237.952	81.115	237.952	503.000	0.000	0.000	mm <sup>2</sup> /m	
382	S776	42820.000	-9750.000	825.000	$a_{s,2,+z}$ (dolní)	237.952	61.747	237.952	503.000	0.000	0.000	mm <sup>2</sup> /m	
	S776	42820.000	-9750.000	825.000	$a_{sw}$	0.000	-	0.000	-	-	-	mm <sup>2</sup> /m <sup>2</sup>	
	S775	43620.000	-9750.000	825.000	$a_{s,1,-z}$ (horní)	237.952	9.390	237.952	503.000	0.000	0.000	mm <sup>2</sup> /m	
	S10624	44286.700	-9750.000	825.000	$a_{s,2,-z}$ (horní)	237.952	7.691	237.952	503.000	0.000	0.000	mm <sup>2</sup> /m	
	S778	43620.000	-10150.00	825.000	$a_{s,1,+z}$ (dolní)	237.952	45.001	237.952	503.000	0.000	0.000	mm <sup>2</sup> /m	
383	S775	43620.000	-9750.000	825.000	$a_{s,2,+z}$ (dolní)	237.952	35.912	237.952	503.000	0.000	0.000	mm <sup>2</sup> /m	
	S775	43620.000	-9750.000	825.000	$a_{sw}$	0.000	-	0.000	-	-	-	mm <sup>2</sup> /m <sup>2</sup>	
	S1279	50420.000	-9750.000	825.000	$a_{s,1,-z}$ (horní)	156.832	52.667	156.832	503.000	0.000	0.000	mm <sup>2</sup> /m	</



Projekt:

Model: HOŘICE-KONSTRUKCE\_3D\_Budova\_ZÁKLADY\_deska

## 2.2 NUTNÁ VÝZTUŽ PO PLOCHÁCH

Plocha č.	Bod č.	Souřadnice bodu [mm]			Symbol	Nutná výztuž			Základní Výzt.	Přídavná výztuž		Jednotky	Upozor- nění
		X	Y	Z		MSÚ	MSP	MSÚ/MSP		Nutná	Navržená		
386	S668	32820.000	-10150.00	825.000	a <sub>sw</sub>	0.000	-	0.000	-	-	-	mm <sup>2</sup> /m <sup>2</sup>	
	S1490	34870.000	-18750.00	825.000	a <sub>s,1,-z</sub> (horní)	503.000	36.263	503.000	503.000	0.000	0.000	mm <sup>2</sup> /m	
	S1490	34870.000	-18750.00	825.000	a <sub>s,2,-z</sub> (horní)	503.000	17.500	503.000	503.000	0.000	0.000	mm <sup>2</sup> /m	
	S1490	34870.000	-18750.00	825.000	a <sub>s,1,+z</sub> (dolní)	503.000	23.551	503.000	503.000	0.000	0.000	mm <sup>2</sup> /m	
	S1490	34870.000	-18750.00	825.000	a <sub>s,2,+z</sub> (dolní)	503.000	41.344	503.000	503.000	0.000	0.000	mm <sup>2</sup> /m	
387	S600	28010.000	-10150.00	825.000	a <sub>sw</sub>	942.159	-	942.159	-	-	-	mm <sup>2</sup> /m <sup>2</sup>	
	S1272	44620.000	-9750.000	825.000	a <sub>s,1,-z</sub> (horní)	237.952	30.820	237.952	503.000	0.000	0.000	mm <sup>2</sup> /m	
	S13934	46820.000	-17054.80	825.000	a <sub>s,2,-z</sub> (horní)	269.232	164.856	269.232	503.000	0.000	0.000	mm <sup>2</sup> /m	
	S1272	44620.000	-9750.000	825.000	a <sub>s,1,+z</sub> (dolní)	237.952	24.344	237.952	503.000	0.000	0.000	mm <sup>2</sup> /m	
	S1274	44620.000	-11150.00	825.000	a <sub>s,2,+z</sub> (dolní)	237.952	8.929	237.952	503.000	0.000	0.000	mm <sup>2</sup> /m	
388	S1272	44620.000	-9750.000	825.000	a <sub>sw</sub>	0.000	-	0.000	-	-	-	mm <sup>2</sup> /m <sup>2</sup>	
	S670	48753.300	-18750.00	825.000	a <sub>s,1,-z</sub> (horní)	156.832	97.616	156.832	503.000	0.000	0.000	mm <sup>2</sup> /m	
	S793	46820.000	-17054.80	825.000	a <sub>s,2,-z</sub> (horní)	174.575	106.648	174.575	503.000	0.000	0.000	mm <sup>2</sup> /m	
	S747	56820.000	-14988.10	825.000	a <sub>s,1,+z</sub> (dolní)	156.832	2.452	156.832	503.000	0.000	0.000	mm <sup>2</sup> /m	
	S745	56820.000	-15578.60	825.000	a <sub>s,2,+z</sub> (dolní)	156.832	1.169	156.832	503.000	0.000	0.000	mm <sup>2</sup> /m	
389	S670	48753.300	-18750.00	825.000	a <sub>sw</sub>	0.000	-	0.000	-	-	-	mm <sup>2</sup> /m <sup>2</sup>	
	S1250	58470.000	-17350.00	825.000	a <sub>s,1,-z</sub> (horní)	237.952	18.333	237.952	503.000	0.000	0.000	mm <sup>2</sup> /m	
	S13182	61820.000	-16850.00	825.000	a <sub>s,2,-z</sub> (horní)	241.118	143.357	241.118	503.000	0.000	0.000	mm <sup>2</sup> /m	
	S1250	58470.000	-17350.00	825.000	a <sub>s,1,+z</sub> (dolní)	237.952	38.441	237.952	503.000	0.000	0.000	mm <sup>2</sup> /m	
	S1284	58220.000	-9750.000	825.000	a <sub>s,2,+z</sub> (dolní)	237.952	32.213	237.952	503.000	0.000	0.000	mm <sup>2</sup> /m	
	S1254	61820.000	-17350.00	825.000	a <sub>sw</sub>	800.000	-	800.000	-	-	-	mm <sup>2</sup> /m <sup>2</sup>	

## POZNÁMKA

č.	Popis
9)	Smyková výztuž je nutná, ale účinná výška plochy je menší než účinná výška v normě podle 9.3.2(1)

## 3.2 POSOUZENÍ POUŽITELNOSTI PO PLOCHÁCH

Plocha č.	Bod č.	Souřadnice bodu [mm]			Zatěž. stav	Typ	Návrh. hodn.	Posouzení		Jednotky	Využití	Upozor- nění
		X	Y	Z				Mezní hodn.				
2	S105	23229.700	-16260.00	1465.000	KZ354	U <sub>z</sub> lokální	0.055	15.000	mm		0.1	
	S1035	16260.000	-16260.00	825.000	Obálka ChP	σ <sub>c</sub>	-3.473	-15.000	MPa		0.3	
	S1	26260.000	-16260.00	2425.000	Obálka ChP	σ <sub>s</sub>	0.000	400.000	MPa		0.0	226)
	S1	26260.000	-16260.00	2425.000	Obálka ChP	w <sub>k</sub>	0.000	0.300	mm		0.0	226)
	S3	26260.000	-17160.00	2425.000	KZ317	U <sub>z</sub> lokální	0.045	15.000	mm		0.1	
3	S1036	26260.000	-16260.00	825.000	Obálka ChP	σ <sub>c</sub>	-1.682	-15.000	MPa		0.2	
	S1	26260.000	-16260.00	2425.000	Obálka ChP	σ <sub>s</sub>	0.000	400.000	MPa		0.0	226)
	S1	26260.000	-16260.00	2425.000	Obálka Ks	w <sub>k</sub>	0.000	0.300	mm		0.0	226)
	S314	22320.600	-17160.00	1465.000	KZ355	U <sub>z</sub> lokální	0.071	15.000	mm		0.1	
	S1037	16260.000	-17160.00	825.000	Obálka ChP	σ <sub>c</sub>	-3.286	-15.000	MPa		0.3	
4	S3	26260.000	-17160.00	2425.000	Obálka ChP	σ <sub>s</sub>	0.000	400.000	MPa		0.0	226)
	S3	26260.000	-17160.00	2425.000	Obálka ChP	w <sub>k</sub>	0.000	0.300	mm		0.0	226)
	S1035	16260.000	-16260.00	825.000	KZ321	U <sub>z</sub> lokální	-0.017	15.000	mm		0.1	
	S1035	16260.000	-16260.00	825.000	Obálka ChP	σ <sub>c</sub>	-2.847	-15.000	MPa		0.2	
	S2	16260.000	-16260.00	2425.000	Obálka ChP	σ <sub>s</sub>	0.000	400.000	MPa		0.0	226)
5	S2	16260.000	-16260.00	2425.000	Obálka ChP	w <sub>k</sub>	0.000	0.300	mm		0.0	226)
	S1039	9800.000	-30950.00	825.000	KZ333	U <sub>z</sub> lokální	3.703	15.000	mm		0.3	
	S1368	9800.000	-27900.00	825.000	Obálka ChP	σ <sub>c</sub>	-0.999	-15.000	MPa		0.1	
	S899	9800.000	-28177.30	825.000	Obálka ChP	σ <sub>s</sub>	0.000	400.000	MPa		0.0	226)
	S899	9800.000	-28177.30	825.000	Obálka ChP	w <sub>k</sub>	0.000	0.300	mm		0.0	226)
300	S1410	15600.000	-31350.00	825.000	KZ353	U <sub>z</sub> lokální	2.310	15.000	mm		0.2	
	S1024	15850.000	-31150.00	825.000	Obálka ChP	σ <sub>c</sub>	-1.213	-15.000	MPa		0.1	
	S976	14400.000	-30230.00	825.000	Obálka ChP	σ <sub>s</sub>	0.000	400.000	MPa		0.0	226)
	S976	14400.000	-30230.00	825.000	Obálka ChP	w <sub>k</sub>	0.000	0.300	mm		0.0	226)
	S1407	21600.000	-31350.00	825.000	KZ352	U <sub>z</sub> lokální	2.296	15.000	mm		0.2	
302	S1089	21850.000	-31150.00	825.000	Obálka ChP	σ <sub>c</sub>	-1.466	-15.000	MPa		0.1	
	S14	20400.000	-31070.00	825.000	Obálka ChP	σ <sub>s</sub>	0.000	400.000	MPa		0.0	226)
	S14	20400.000	-31070.00	825.000	Obálka ChP	w <sub>k</sub>	0.000	0.300	mm		0.0	226)
	S1380	26310.000	-29950.00	825.000	KZ319	U <sub>z</sub> lokální	1.568	15.000	mm		0.2	
	S1131	26830.000	-31102.00	825.000	Obálka ChP	σ <sub>c</sub>	-1.005	-15.000	MPa		0.1	
303	S726	27610.000	-30950.00	825.000	Obálka ChP	σ <sub>s</sub>	0.000	400.000	MPa		0.0	226)
	S726	27610.000	-30950.00	825.000	Obálka ChP	w <sub>k</sub>	0.000	0.300	mm		0.0	226)
	S1154	26820.000	-26833.30	825.000	KZ320	U <sub>z</sub> lokální	1.862	15.000	mm		0.2	
	S1152	26820.000	-27144.40	825.000	Obálka ChP	σ <sub>c</sub>	-0.881	-15.000	MPa		0.1	
	S1142	27117.500	-28700.00	825.000	Obálka ChP	σ <sub>s</sub>	0.000	400.000	MPa		0.0	226)
304	S1142	27117.500	-28700.00	825.000	Obálka ChP	w <sub>k</sub>	0.000	0.300	mm		0.0	226)
	S2784	11200.000	-22331.20	825.000	KZ320	U <sub>z</sub> lokální	2.697	15.000	mm		0.2	
	S1975	9800.000	-26455.60	825.000	Obálka ChP	σ <sub>c</sub>	-1.405	-15.000	MPa		0.1	
	S13	19527.300	-30510.00	825.000	Obálka ChP	σ <sub>s</sub>	0.000	400.000	MPa		0.0	226)
	S13	19527.300	-30510.00	825.000	Obálka ChP	w <sub>k</sub>	0.000	0.300	mm		0.0	226)
314	S3012	26820.000	-13922.20	825.000	KZ338	U <sub>z</sub> lokální	1.741	15.000	mm		0.2	
	S3006	26820.000	-14855.60	825.000	Obálka ChP	σ <sub>c</sub>	-0.932	-15.000	MPa		0.1	
	S1373	26820.000	-13300.00	825.000	Obálka ChP	σ <sub>s</sub>	0.000	400.000	MPa		0.0	226)
	S1373	26820.000	-13300.00	825.000	Obálka ChP	w <sub>k</sub>	0.000	0.300	mm		0.0	226)
	S1378	26310.000	-11150.00	825.000	KZ323	U <sub>z</sub> lokální	1.591	15.000	mm		0.2	
315	S3041	26830.000	-10078.00	825.000	Obálka ChP	σ <sub>c</sub>	-0.979	-15.000	MPa		0.1	
	S598	27610.000	-9750.000	825.000	Obálka ChP	σ <sub>s</sub>	0.000	400.000	MPa		0.0	226)
	S598	27610.000	-9750.000	825.000	Obálka ChP	w <sub>k</sub>	0.000	0.300	mm		0.0	226)
	S3094	21666.700	-10150.00	825.000	KZ354	U <sub>z</sub> lokální	2.289	15.000	mm		0.2	
	S3096	21933.300	-10150.00	825.000	Obálka ChP	σ <sub>c</sub>	-1.420	-15.000	MPa		0.1	
	S1040	22200.000	-9750.000	825.000	Obálka ChP	σ <sub>s</sub>	0.000	400.000	MPa		0.0	226)



Projekt:

Model: HOŘICE-KONSTRUKCE\_3D\_Budova\_ZÁKLADY\_deska

## ■ 3.2 POSOUZENÍ POUŽITELNOSTI PO PLOCHÁCH

Plocha č.	Bod č.	Souřadnice bodu [mm]			Zatěž. stav	Posouzení					Upozor- nění
		X	Y	Z		Typ	Návrh. hodn.	Mezní hodn.	Jednotky	Využití	
317	S1040	22200.000	-9750.000	825.000	Obálka ChP	W <sub>k</sub>	0.000	0.300	mm	0.0	226)
	S3154	15933.300	-10150.00	825.000	KZ321	U <sub>z</sub> lokální	2.228	15.000	mm	0.2	
	S3154	15933.300	-10150.00	825.000	Obálka ChP	σ <sub>c</sub>	-1.137	-15.000	MPa	0.1	
	S1047	16200.000	-9750.000	825.000	Obálka ChP	σ <sub>s</sub>	0.000	400.000	MPa	0.0	226)
318	S1047	16200.000	-9750.000	825.000	Obálka ChP	W <sub>k</sub>	0.000	0.300	mm	0.0	226)
	S3205	9800.000	-10733.30	825.000	KZ368	U <sub>z</sub> lokální	3.871	15.000	mm	0.3	
	S3241	10401.900	-12460.10	825.000	Obálka ChP	σ <sub>c</sub>	-1.115	-15.000	MPa	0.1	
	S1059	10200.000	-9750.000	825.000	Obálka ChP	σ <sub>s</sub>	0.000	400.000	MPa	0.0	226)
319	S1059	10200.000	-9750.000	825.000	Obálka ChP	W <sub>k</sub>	0.000	0.300	mm	0.0	226)
	S3292	11200.000	-19032.10	825.000	KZ318	U <sub>z</sub> lokální	2.614	15.000	mm	0.2	
	S1035	16260.000	-16260.00	825.000	Obálka ChP	σ <sub>c</sub>	-1.918	-15.000	MPa	0.2	
	S5	19333.300	-20550.00	825.000	Obálka ChP	σ <sub>s</sub>	0.000	400.000	MPa	0.0	226)
320	S5	19333.300	-20550.00	825.000	Obálka ChP	W <sub>k</sub>	0.000	0.300	mm	0.0	226)
	S13998	16100.000	-20550.00	825.000	KZ317	U <sub>z</sub> lokální	2.533	15.000	mm	0.2	
	S4907	15850.000	-20750.00	825.000	Obálka ChP	σ <sub>c</sub>	-1.046	-15.000	MPa	0.1	
	S1340	14400.000	-21950.00	825.000	Obálka ChP	σ <sub>s</sub>	0.000	400.000	MPa	0.0	226)
321	S1340	14400.000	-21950.00	825.000	Obálka ChP	W <sub>k</sub>	0.000	0.300	mm	0.0	226)
	S1406	16100.000	-20550.00	825.000	KZ317	U <sub>z</sub> lokální	2.533	15.000	mm	0.2	
	S4947	15850.000	-20350.00	825.000	Obálka ChP	σ <sub>c</sub>	-1.050	-15.000	MPa	0.1	
	S854	16925.000	-20550.00	825.000	Obálka ChP	σ <sub>s</sub>	0.000	400.000	MPa	0.0	226)
322	S854	16925.000	-20550.00	825.000	Obálka Ks	W <sub>k</sub>	0.000	0.300	mm	0.0	226)
	S14006	21600.000	-20550.00	825.000	KZ355	U <sub>z</sub> lokální	2.551	15.000	mm	0.2	
	S4980	21850.000	-20750.00	825.000	Obálka ChP	σ <sub>c</sub>	-1.373	-15.000	MPa	0.1	
	S1241	20400.000	-21950.00	825.000	Obálka ChP	σ <sub>s</sub>	0.000	400.000	MPa	0.0	226)
323	S1241	20400.000	-21950.00	825.000	Obálka ChP	W <sub>k</sub>	0.000	0.300	mm	0.0	226)
	S1420	21600.000	-20550.00	825.000	KZ355	U <sub>z</sub> lokální	2.551	15.000	mm	0.2	
	S5012	21850.000	-20350.00	825.000	Obálka ChP	σ <sub>c</sub>	-1.365	-15.000	MPa	0.1	
	S863	22466.700	-20550.00	825.000	Obálka ChP	σ <sub>s</sub>	0.000	400.000	MPa	0.0	226)
324	S863	22466.700	-20550.00	825.000	Obálka ChP	W <sub>k</sub>	0.000	0.300	mm	0.0	226)
	S1369	26570.000	-23750.00	825.000	KZ335	U <sub>z</sub> lokální	1.842	15.000	mm	0.2	
	S546	27400.000	-20950.00	825.000	Obálka ChP	σ <sub>c</sub>	-1.174	-15.000	MPa	0.1	
	S546	27400.000	-20950.00	825.000	Obálka ChP	σ <sub>s</sub>	0.000	400.000	MPa	0.0	226)
325	S546	27400.000	-20950.00	825.000	Obálka ChP	W <sub>k</sub>	0.000	0.300	mm	0.0	226)
	S3353	26570.000	-18804.50	825.000	KZ324	U <sub>z</sub> lokální	1.575	15.000	mm	0.2	
	S13651	28010.000	-18750.00	825.000	Obálka Ks	σ <sub>c</sub>	-0.917	-11.250	MPa	0.1	
	S470	26846.700	-20550.00	825.000	Obálka ChP	σ <sub>s</sub>	0.000	400.000	MPa	0.0	226)
326	S470	26846.700	-20550.00	825.000	Obálka ChP	W <sub>k</sub>	0.000	0.300	mm	0.0	226)
	S5150	9800.000	-21800.00	825.000	KZ318	U <sub>z</sub> lokální	4.188	15.000	mm	0.3	
	S1110	10200.000	-24300.00	825.000	Obálka ChP	σ <sub>c</sub>	-1.069	-15.000	MPa	0.1	
	S1097	9800.000	-20950.00	825.000	Obálka ChP	σ <sub>s</sub>	0.000	400.000	MPa	0.0	226)
327	S1097	9800.000	-20950.00	825.000	Obálka ChP	W <sub>k</sub>	0.000	0.300	mm	0.0	226)
	S5217	9800.000	-19564.30	825.000	KZ318	U <sub>z</sub> lokální	4.072	15.000	mm	0.3	
	S1363	9800.000	-16300.00	825.000	Obálka ChP	σ <sub>c</sub>	-1.082	-15.000	MPa	0.1	
	S851	10700.000	-20550.00	825.000	Obálka ChP	σ <sub>s</sub>	0.000	400.000	MPa	0.0	226)
328	S851	10700.000	-20550.00	825.000	Obálka Ks	W <sub>k</sub>	0.000	0.300	mm	0.0	226)
	S3	26260.000	-17160.00	2425.000	KZ324	U <sub>z</sub> lokální	1.368	15.000	mm	0.1	
	S192	18684.200	-16260.00	2425.000	Obálka ChP	σ <sub>c</sub>	-0.468	-15.000	MPa	0.1	
	S1	26260.000	-16260.00	2425.000	Obálka ChP	σ <sub>s</sub>	0.000	400.000	MPa	0.0	226)
329	S1	26260.000	-16260.00	2425.000	Obálka ChP	W <sub>k</sub>	0.000	0.300	mm	0.0	226)
	S1440	39870.000	-22350.00	825.000	KZ336	U <sub>z</sub> lokální	2.991	15.000	mm	0.2	
	S616	41370.000	-22350.00	825.000	Obálka Ks	σ <sub>c</sub>	-1.351	-11.250	MPa	0.2	
	S433	31273.300	-22350.00	825.000	Obálka ChP	σ <sub>s</sub>	0.000	400.000	MPa	0.0	226)
330	S433	31273.300	-22350.00	825.000	Obálka Ks	W <sub>k</sub>	0.000	0.300	mm	0.0	226)
	S6570	33353.300	-30950.00	825.000	KZ342	U <sub>z</sub> lokální	2.496	15.000	mm	0.2	
	S6568	33086.700	-30950.00	825.000	Obálka Ks	σ <sub>c</sub>	-1.270	-11.250	MPa	0.2	
	S682	33620.000	-30950.00	825.000	Obálka ChP	σ <sub>s</sub>	0.000	400.000	MPa	0.0	226)
331	S682	33620.000	-30950.00	825.000	Obálka Ks	W <sub>k</sub>	0.000	0.300	mm	0.0	226)
	S742	38620.000	-31350.00	825.000	KZ339	U <sub>z</sub> lokální	2.734	15.000	mm	0.2	
	S6608	38353.300	-30950.00	825.000	Obálka Ks	σ <sub>c</sub>	-1.055	-11.250	MPa	0.1	
	S739	38620.000	-30950.00	825.000	Obálka ChP	σ <sub>s</sub>	0.000	400.000	MPa	0.0	226)
334	S739	38620.000	-30950.00	825.000	Obálka Ks	W <sub>k</sub>	0.000	0.300	mm	0.0	226)
	S886	52220.000	-31350.00	825.000	KZ332	U <sub>z</sub> lokální	2.749	15.000	mm	0.2	
	S6649	51686.700	-30950.00	825.000	Obálka Ks	σ <sub>c</sub>	-1.082	-11.250	MPa	0.1	
	S883	52220.000	-30950.00	825.000	Obálka ChP	σ <sub>s</sub>	0.000	400.000	MPa	0.0	226)
335	S883	52220.000	-30950.00	825.000	Obálka Ks	W <sub>k</sub>	0.000	0.300	mm	0.0	226)
	S933	56420.000	-31350.00	825.000	KZ339	U <sub>z</sub> lokální	2.735	15.000	mm	0.2	
	S6709	56953.300	-30950.00	825.000	Obálka Ks	σ <sub>c</sub>	-1.122	-11.250	MPa	0.1	
	S931	57220.000	-30950.00	825.000	Obálka ChP	σ <sub>s</sub>	0.000	400.000	MPa	0.0	226)
336	S931	57220.000	-30950.00	825.000	Obálka Ks	W <sub>k</sub>	0.000	0.300	mm	0.0	226)
	S13943	46820.000	-23750.00	825.000	KZ339	U <sub>z</sub> lokální	2.342	15.000	mm	0.2	
	S6749	45153.300	-31350.00	825.000	Obálka Ks	σ <sub>c</sub>	-1.204	-11.250	MPa	0.2	
	S1319	45420.000	-31350.00	825.000	Obálka ChP	σ <sub>s</sub>	0.000	400.000	MPa	0.0	226)
337	S1319	45420.000	-31350.00	825.000	Obálka Ks	W <sub>k</sub>	0.000	0.300	mm	0.0	226)
	S7000	42870.700	-30012.70	825.000	KZ331	U <sub>z</sub> lokální	2.606	15.000	mm	0.2	
	S1028	42820.000	-28900.00	825.000	Obálka Ks	σ <sub>c</sub>	-1.017	-11.250	MPa	0.1	
	S788	42820.000	-30950.00	825.000	Obálka ChP	σ <sub>s</sub>	0.000	400.000	MPa	0.0	226)
338	S788	42820.000	-30950.00	825.000	Obálka Ks	W <sub>k</sub>	0.000	0.300	mm	0.0	226)
	S13978	46820.000	-30012.50	825.000	KZ317	U <sub>z</sub> lokální	2.568	15.000	mm	0.2	
	S1319	45420.000	-31350.00	825.000	Obálka Ks	σ <sub>c</sub>	-1.066	-11.250	MPa	0.1	
	S836	46420.000	-30950.00	825.000	Obálka ChP	σ <sub>s</sub>	0.000	400.000	MPa	0.0	226)
339	S836	46420.000	-30950.00	825.000	Obálka Ks	W <sub>k</sub>	0.000	0.300	mm	0.0	226)
	S13987	43220.000	-30012.50	825.000	KZ331	U <sub>z</sub> lokální	2.600	15.000	mm	0.2	
	S1324	44620.000	-31350.00	825.000	Obálka Ks	σ <sub>c</sub>	-1.070	-11.250	MPa	0.1	
	S787	43620.000	-30950.00	825.000	Obálka ChP	σ <sub>s</sub>	0.000	400.000	MPa	0.0	226)
340	S787	43620.000	-30950.00	825.000	Obálka Ks	W <sub>k</sub>	0.000	0.300	mm	0.0	226)
	S6979	46820.000	-30012.50	825.000	KZ317	U <sub>z</sub> lokální	2.568	15.000	mm	0.2	

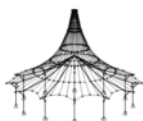


Projekt:

Model: HOŘICE-KONSTRUKCE\_3D\_Budova\_ZÁKLADY\_deska

## 3.2 POSOUZENÍ POUŽITELNOSTI PO PLOCHÁCH

Plocha č.	Bod č.	Souřadnice bodu [mm]			Zatěž. stav	Posouzení					Upozor- nění
		X	Y	Z		Typ	Návrh. hodn.	Mezní hodn.	Jednotky	Využití	
341	S1015	47220.000	-28900.00	825.000	Obálka Ks	$\sigma_c$	-0.954	-11.250	MPa	0.1	226)
	S835	47220.000	-30950.00	825.000	Obálka ChP	$\sigma_s$	0.000	400.000	MPa	0.0	
	S835	47220.000	-30950.00	825.000	Obálka Ks	$w_k$	0.000	0.300	mm	0.0	
	S1454	33620.000	-22350.00	825.000	KZ327	$U_{z,lokální}$	3.652	15.000	mm	0.3	
	S7209	33086.700	-22750.00	825.000	Obálka Ks	$\sigma_c$	-1.497	-11.250	MPa	0.2	
342	S566	31882.500	-22350.00	825.000	Obálka ChP	$\sigma_s$	0.000	400.000	MPa	0.0	226)
	S566	31882.500	-22350.00	825.000	Obálka Ks	$w_k$	0.000	0.300	mm	0.0	
	S1458	38620.000	-22350.00	825.000	KZ332	$U_{z,lokální}$	3.588	15.000	mm	0.3	
	S7255	38353.300	-22750.00	825.000	Obálka Ks	$\sigma_c$	-1.117	-11.250	MPa	0.1	
	S596	36882.500	-22350.00	825.000	Obálka ChP	$\sigma_s$	0.000	400.000	MPa	0.0	
344	S596	36882.500	-22350.00	825.000	Obálka Ks	$w_k$	0.000	0.300	mm	0.0	226)
	S1469	51420.000	-22350.00	825.000	KZ332	$U_{z,lokální}$	3.529	15.000	mm	0.3	
	S7298	51953.300	-22750.00	825.000	Obálka Ks	$\sigma_c$	-1.094	-11.250	MPa	0.1	
	S676	50482.500	-22350.00	825.000	Obálka ChP	$\sigma_s$	0.000	400.000	MPa	0.0	
	S676	50482.500	-22350.00	825.000	Obálka Ks	$w_k$	0.000	0.300	mm	0.0	
345	S1473	56420.000	-22350.00	825.000	KZ335	$U_{z,lokální}$	3.615	15.000	mm	0.3	226)
	S7356	56686.700	-22750.00	825.000	Obálka Ks	$\sigma_c$	-1.567	-11.250	MPa	0.2	
	S706	55482.500	-22350.00	825.000	Obálka ChP	$\sigma_s$	0.000	400.000	MPa	0.0	
	S706	55482.500	-22350.00	825.000	Obálka Ks	$w_k$	0.000	0.300	mm	0.0	
	S1477	61420.000	-22350.00	825.000	KZ315	$U_{z,lokální}$	3.359	15.000	mm	0.3	
346	S1477	61420.000	-22350.00	825.000	Obálka Ks	$\sigma_c$	-1.317	-11.250	MPa	0.2	226)
	S735	60482.500	-22350.00	825.000	Obálka ChP	$\sigma_s$	0.000	400.000	MPa	0.0	
	S735	60482.500	-22350.00	825.000	Obálka Ks	$w_k$	0.000	0.300	mm	0.0	
	S991	61820.000	-26900.00	825.000	KZ317	$U_{z,lokální}$	2.390	15.000	mm	0.2	
	S7463	61420.000	-27433.30	825.000	Obálka Ks	$\sigma_c$	-1.057	-11.250	MPa	0.1	
347	S991	61820.000	-26900.00	825.000	Obálka ChP	$\sigma_s$	0.000	400.000	MPa	0.0	226)
	S991	61820.000	-26900.00	825.000	Obálka Ks	$w_k$	0.000	0.300	mm	0.0	
	S7499	61170.000	-31350.00	825.000	KZ337	$U_{z,lokální}$	2.143	15.000	mm	0.2	
	S7506	61192.500	-30722.50	825.000	Obálka Ks	$\sigma_c$	-0.601	-11.250	MPa	0.1	
	S687	61820.000	-30950.00	825.000	Obálka ChP	$\sigma_s$	0.000	400.000	MPa	0.0	
349	S687	61820.000	-30950.00	825.000	Obálka Ks	$w_k$	0.000	0.300	mm	0.0	226)
	S1483	48470.000	-22350.00	825.000	KZ332	$U_{z,lokální}$	2.962	15.000	mm	0.2	
	S665	49036.700	-22350.00	825.000	Obálka Ks	$\sigma_c$	-1.459	-11.250	MPa	0.2	
	S478	46820.000	-25825.00	825.000	Obálka ChP	$\sigma_s$	0.000	400.000	MPa	0.0	
	S478	46820.000	-25825.00	825.000	Obálka Ks	$w_k$	0.000	0.300	mm	0.0	
350	S8743	31570.000	-20134.60	825.000	KZ327	$U_{z,lokální}$	3.248	15.000	mm	0.3	226)
	S8767	31570.000	-20688.50	825.000	Obálka Ks	$\sigma_c$	-0.611	-11.250	MPa	0.1	
	S474	28010.000	-21230.00	825.000	Obálka ChP	$\sigma_s$	0.000	400.000	MPa	0.0	
	S474	28010.000	-21230.00	825.000	Obálka Ks	$w_k$	0.000	0.300	mm	0.0	
	S8903	33353.300	-20270.00	825.000	KZ327	$U_{z,lokální}$	4.096	15.000	mm	0.3	
351	S8946	33086.700	-19150.00	825.000	Obálka Ks	$\sigma_c$	-1.825	-11.250	MPa	0.2	226)
	S639	33620.000	-21950.00	825.000	Obálka ChP	$\sigma_s$	0.000	400.000	MPa	0.0	
	S639	33620.000	-21950.00	825.000	Obálka Ks	$w_k$	0.000	0.300	mm	0.0	
	S9030	38086.700	-20270.00	825.000	KZ339	$U_{z,lokální}$	3.996	15.000	mm	0.3	
	S9078	38086.700	-19150.00	825.000	Obálka Ks	$\sigma_c$	-1.426	-11.250	MPa	0.2	
352	S698	38620.000	-21950.00	825.000	Obálka ChP	$\sigma_s$	0.000	400.000	MPa	0.0	226)
	S698	38620.000	-21950.00	825.000	Obálka Ks	$w_k$	0.000	0.300	mm	0.0	
	S8897	34870.000	-20550.00	825.000	KZ342	$U_{z,lokální}$	3.529	15.000	mm	0.3	
	S13733	35720.000	-18750.00	825.000	Obálka Ks	$\sigma_c$	-1.254	-11.250	MPa	0.2	
	S8840	34870.000	-22050.00	825.000	Obálka ChP	$\sigma_s$	0.000	400.000	MPa	0.0	
353	S8840	34870.000	-22050.00	825.000	Obálka Ks	$w_k$	0.000	0.300	mm	0.0	226)
	S9182	41970.000	-20250.00	825.000	KZ323	$U_{z,lokální}$	3.475	15.000	mm	0.3	
	S13765	41070.000	-18750.00	825.000	Obálka Ks	$\sigma_c$	-1.486	-11.250	MPa	0.2	
	S8962	39870.000	-22050.00	825.000	Obálka ChP	$\sigma_s$	0.000	400.000	MPa	0.0	
	S8962	39870.000	-22050.00	825.000	Obálka Ks	$w_k$	0.000	0.300	mm	0.0	
354	S9359	45175.600	-20270.00	825.000	KZ331	$U_{z,lokální}$	5.110	15.000	mm	0.4	226)
	S13804	48470.000	-18750.00	825.000	Obálka Ks	$\sigma_c$	-1.517	-11.250	MPa	0.2	
	S751	43620.000	-21950.00	825.000	Obálka ChP	$\sigma_s$	0.000	400.000	MPa	0.0	
	S751	43620.000	-21950.00	825.000	Obálka Ks	$w_k$	0.000	0.300	mm	0.0	
	S9500	51686.700	-21110.00	825.000	KZ324	$U_{z,lokální}$	3.728	15.000	mm	0.3	
355	S9474	51686.700	-21950.00	825.000	Obálka Ks	$\sigma_c$	-1.372	-11.250	MPa	0.2	226)
	S847	52220.000	-21950.00	825.000	Obálka ChP	$\sigma_s$	0.000	400.000	MPa	0.0	
	S847	52220.000	-21950.00	825.000	Obálka Ks	$w_k$	0.000	0.300	mm	0.0	
	S1006	61820.000	-15100.00	825.000	KZ315	$U_{z,lokální}$	2.588	15.000	mm	0.2	
	S1294	61820.000	-16100.00	825.000	Obálka Ks	$\sigma_c$	-0.911	-11.250	MPa	0.1	
356	S1003	61820.000	-14300.00	825.000	Obálka ChP	$\sigma_s$	0.000	400.000	MPa	0.0	226)
	S1003	61820.000	-14300.00	825.000	Obálka Ks	$w_k$	0.000	0.300	mm	0.0	
	S9326	48470.000	-20850.00	825.000	KZ324	$U_{z,lokální}$	3.338	15.000	mm	0.3	
	S13812	49036.700	-18750.00	825.000	Obálka Ks	$\sigma_c$	-1.503	-11.250	MPa	0.2	
	S9234	48470.000	-22050.00	825.000	Obálka ChP	$\sigma_s$	0.000	400.000	MPa	0.0	
357	S9234	48470.000	-22050.00	825.000	Obálka Ks	$w_k$	0.000	0.300	mm	0.0	226)
	S9733	55170.000	-20850.00	825.000	KZ316	$U_{z,lokální}$	3.178	15.000	mm	0.3	
	S13845	54886.700	-18750.00	825.000	Obálka Ks	$\sigma_c$	-1.514	-11.250	MPa	0.2	
	S9468	53470.000	-22050.00	825.000	Obálka ChP	$\sigma_s$	0.000	400.000	MPa	0.0	
	S9468	53470.000	-22050.00	825.000	Obálka Ks	$w_k$	0.000	0.300	mm	0.0	
358	S9813	58470.000	-20250.00	825.000	KZ316	$U_{z,lokální}$	3.145	15.000	mm	0.3	226)
	S13871	59036.700	-22350.00	825.000	Obálka Ks	$\sigma_c$	-0.989	-11.250	MPa	0.1	
	S1495	58470.000	-18750.00	825.000	Obálka ChP	$\sigma_s$	0.000	400.000	MPa	0.0	
	S1495	58470.000	-18750.00	825.000	Obálka Ks	$w_k$	0.000	0.300	mm	0.0	
	S13860	56820.000	-20705.60	825.000	KZ330	$U_{z,lokální}$	4.497	15.000	mm	0.3	
359	S13846	55170.000	-18750.00	825.000	Obálka Ks	$\sigma_c$	-1.509	-11.250	MPa	0.2	226)
	S896	56420.000	-21950.00	825.000	Obálka ChP	$\sigma_s$	0.000	400.000	MPa	0.0	
	S896	56420.000	-21950.00	825.000	Obálka Ks	$w_k$	0.000	0.300	mm	0.0	
	S719	56820.000	-20705.60	825.000	KZ330	$U_{z,lokální}$	4.497	15.000	mm	0.3	
	S9938	57532.500	-18975.00	825.000	Obálka Ks	$\sigma_c$	-1.024	-11.250	MPa	0.1	
360	S717	56820.000	-20083.30	825.000	Obálka ChP	$\sigma_s$	0.000	400.000	MPa	0.0	226)



Projekt:

Model: HOŘICE-KONSTRUKCE\_3D\_Budova\_ZÁKLADY\_deska

## 3.2 POSOUZENÍ POUŽITELNOSTI PO PLOCHÁCH

Plocha č.	Bod č.	Souřadnice bodu [mm]			Zatěž. stav	Posouzení					Upozor- nění
		X	Y	Z		Typ	Návrh. hodn.	Mezní hodn.	Jednotky	Využití	
363	S717	56820.000	-20083.30	825.000	Obálka Ks	W <sub>k</sub>	0.000	0.300	mm	0.0	226)
	S9980	61820.000	-20270.00	825.000	KZ315	U <sub>z</sub> lokální	4.461	15.000	mm	0.3	
	S10003	61107.500	-18750.00	825.000	Obálka Ks	σ <sub>c</sub>	-1.087	-11.250	MPa	0.1	
	S943	61820.000	-21950.00	825.000	Obálka ChP	σ <sub>s</sub>	0.000	400.000	MPa	0.0	226)
364	S943	61820.000	-21950.00	825.000	Obálka Ks	W <sub>k</sub>	0.000	0.300	mm	0.0	226)
	S1455	32820.000	-18750.00	825.000	KZ327	U <sub>z</sub> lokální	3.872	15.000	mm	0.3	
	S10020	33086.700	-18350.00	825.000	Obálka Ks	σ <sub>c</sub>	-1.620	-11.250	MPa	0.2	
	S575	31882.500	-18750.00	825.000	Obálka ChP	σ <sub>s</sub>	0.000	400.000	MPa	0.0	226)
365	S575	31882.500	-18750.00	825.000	Obálka Ks	W <sub>k</sub>	0.000	0.300	mm	0.0	226)
	S1460	38620.000	-18750.00	825.000	KZ339	U <sub>z</sub> lokální	3.794	15.000	mm	0.3	
	S10082	38353.300	-18350.00	825.000	Obálka Ks	σ <sub>c</sub>	-1.237	-11.250	MPa	0.2	
	S605	36882.500	-18750.00	825.000	Obálka ChP	σ <sub>s</sub>	0.000	400.000	MPa	0.0	226)
366	S605	36882.500	-18750.00	825.000	Obálka Ks	W <sub>k</sub>	0.000	0.300	mm	0.0	226)
	S1463	42820.000	-18750.00	825.000	KZ316	U <sub>z</sub> lokální	3.766	15.000	mm	0.3	
	S1512	43220.000	-18350.00	825.000	Obálka Ks	σ <sub>c</sub>	-1.666	-11.250	MPa	0.2	
	S646	42253.300	-18750.00	825.000	Obálka ChP	σ <sub>s</sub>	0.000	400.000	MPa	0.0	226)
367	S646	42253.300	-18750.00	825.000	Obálka Ks	W <sub>k</sub>	0.000	0.300	mm	0.0	226)
	S1461	42820.000	-22350.00	825.000	KZ345	U <sub>z</sub> lokální	3.330	15.000	mm	0.3	
	S1439	41970.000	-22350.00	825.000	Obálka Ks	σ <sub>c</sub>	-1.475	-11.250	MPa	0.2	
	S628	42253.300	-22350.00	825.000	Obálka ChP	σ <sub>s</sub>	0.000	400.000	MPa	0.0	226)
368	S628	42253.300	-22350.00	825.000	Obálka Ks	W <sub>k</sub>	0.000	0.300	mm	0.0	226)
	S637	45486.700	-22350.00	825.000	KZ346	U <sub>z</sub> lokální	4.112	15.000	mm	0.3	
	S13943	46820.000	-23750.00	825.000	Obálka Ks	σ <sub>c</sub>	-1.267	-11.250	MPa	0.2	
	S632	43931.100	-22350.00	825.000	Obálka ChP	σ <sub>s</sub>	0.000	400.000	MPa	0.0	226)
369	S632	43931.100	-22350.00	825.000	Obálka Ks	W <sub>k</sub>	0.000	0.300	mm	0.0	226)
	S1466	47220.000	-22350.00	825.000	KZ346	U <sub>z</sub> lokální	3.674	15.000	mm	0.3	
	S1483	48470.000	-22350.00	825.000	Obálka Ks	σ <sub>c</sub>	-1.421	-11.250	MPa	0.2	
	S643	47845.000	-22350.00	825.000	Obálka ChP	σ <sub>s</sub>	0.000	400.000	MPa	0.0	226)
370	S643	47845.000	-22350.00	825.000	Obálka Ks	W <sub>k</sub>	0.000	0.300	mm	0.0	226)
	S8835	44864.400	-18750.00	825.000	KZ330	U <sub>z</sub> lokální	4.715	15.000	mm	0.4	
	S13910	46820.000	-17350.00	825.000	Obálka Ks	σ <sub>c</sub>	-1.658	-11.250	MPa	0.2	
	S538	44242.200	-18750.00	825.000	Obálka ChP	σ <sub>s</sub>	0.000	400.000	MPa	0.0	226)
371	S538	44242.200	-18750.00	825.000	Obálka Ks	W <sub>k</sub>	0.000	0.300	mm	0.0	226)
	S1468	47220.000	-18750.00	825.000	KZ330	U <sub>z</sub> lokální	3.715	15.000	mm	0.3	
	S1510	46820.000	-17350.00	825.000	Obálka Ks	σ <sub>c</sub>	-1.486	-11.250	MPa	0.2	
	S660	47532.500	-18750.00	825.000	Obálka ChP	σ <sub>s</sub>	0.000	400.000	MPa	0.0	226)
372	S660	47532.500	-18750.00	825.000	Obálka Ks	W <sub>k</sub>	0.000	0.300	mm	0.0	226)
	S1471	51420.000	-18750.00	825.000	KZ323	U <sub>z</sub> lokální	3.024	15.000	mm	0.3	
	S1498	53470.000	-18750.00	825.000	Obálka Ks	σ <sub>c</sub>	-0.927	-11.250	MPa	0.1	
	S685	50482.500	-18750.00	825.000	Obálka ChP	σ <sub>s</sub>	0.000	400.000	MPa	0.0	226)
373	S685	50482.500	-18750.00	825.000	Obálka Ks	W <sub>k</sub>	0.000	0.300	mm	0.0	226)
	S1476	57220.000	-18750.00	825.000	KZ323	U <sub>z</sub> lokální	3.477	15.000	mm	0.3	
	S1476	57220.000	-18750.00	825.000	Obálka Ks	σ <sub>c</sub>	-1.736	-11.250	MPa	0.2	
	S907	57220.000	-18350.00	825.000	Obálka ChP	σ <sub>s</sub>	0.000	400.000	MPa	0.0	226)
374	S907	57220.000	-18350.00	825.000	Obálka Ks	W <sub>k</sub>	0.000	0.300	mm	0.0	226)
	S1475	56420.000	-18750.00	825.000	KZ323	U <sub>z</sub> lokální	3.409	15.000	mm	0.3	
	S1494	55170.000	-18750.00	825.000	Obálka Ks	σ <sub>c</sub>	-1.308	-11.250	MPa	0.2	
	S710	55482.500	-18750.00	825.000	Obálka ChP	σ <sub>s</sub>	0.000	400.000	MPa	0.0	226)
375	S710	55482.500	-18750.00	825.000	Obálka Ks	W <sub>k</sub>	0.000	0.300	mm	0.0	226)
	S1478	61420.000	-18750.00	825.000	KZ315	U <sub>z</sub> lokální	3.610	15.000	mm	0.3	
	S1478	61420.000	-18750.00	825.000	Obálka Ks	σ <sub>c</sub>	-1.781	-11.250	MPa	0.2	
	S955	61820.000	-18350.00	825.000	Obálka ChP	σ <sub>s</sub>	0.000	400.000	MPa	0.0	226)
376	S955	61820.000	-18350.00	825.000	Obálka Ks	W <sub>k</sub>	0.000	0.300	mm	0.0	226)
	S968	61420.000	-9750.000	825.000	KZ315	U <sub>z</sub> lokální	2.461	15.000	mm	0.2	
	S10460	61060.000	-10370.00	825.000	Obálka Ks	σ <sub>c</sub>	-0.686	-11.250	MPa	0.1	
	S968	61420.000	-9750.000	825.000	Obálka ChP	σ <sub>s</sub>	0.000	400.000	MPa	0.0	226)
377	S968	61420.000	-9750.000	825.000	Obálka Ks	W <sub>k</sub>	0.000	0.300	mm	0.0	226)
	S919	57220.000	-9750.000	825.000	KZ328	U <sub>z</sub> lokální	2.332	15.000	mm	0.2	
	S10485	57580.000	-10370.00	825.000	Obálka Ks	σ <sub>c</sub>	-0.632	-11.250	MPa	0.1	
	S919	57220.000	-9750.000	825.000	Obálka ChP	σ <sub>s</sub>	0.000	400.000	MPa	0.0	226)
378	S919	57220.000	-9750.000	825.000	Obálka Ks	W <sub>k</sub>	0.000	0.300	mm	0.0	226)
	S1505	56820.000	-10150.00	825.000	KZ318	U <sub>z</sub> lokální	2.248	15.000	mm	0.2	
	S1283	55420.000	-9750.000	825.000	Obálka Ks	σ <sub>c</sub>	-0.867	-11.250	MPa	0.1	
	S761	56820.000	-10900.00	825.000	Obálka ChP	σ <sub>s</sub>	0.000	400.000	MPa	0.0	226)
379	S761	56820.000	-10900.00	825.000	Obálka Ks	W <sub>k</sub>	0.000	0.300	mm	0.0	226)
	S1507	46820.000	-10150.00	825.000	KZ362	U <sub>z</sub> lokální	1.817	15.000	mm	0.2	
	S1276	48220.000	-9750.000	825.000	Obálka Ks	σ <sub>c</sub>	-0.534	-11.250	MPa	0.1	
	S794	46820.000	-10900.00	825.000	Obálka ChP	σ <sub>s</sub>	0.000	400.000	MPa	0.0	226)
380	S794	46820.000	-10900.00	825.000	Obálka Ks	W <sub>k</sub>	0.000	0.300	mm	0.0	226)
	S13938	46820.000	-10150.00	825.000	KZ355	U <sub>z</sub> lokální	1.817	15.000	mm	0.2	
	S13914	46820.000	-11150.00	825.000	Obálka Ks	σ <sub>c</sub>	-0.554	-11.250	MPa	0.1	
	S824	46420.000	-9750.000	825.000	Obálka ChP	σ <sub>s</sub>	0.000	400.000	MPa	0.0	226)
381	S824	46420.000	-9750.000	825.000	Obálka Ks	W <sub>k</sub>	0.000	0.300	mm	0.0	226)
	S1273	41820.000	-11150.00	825.000	KZ317	U <sub>z</sub> lokální	2.357	15.000	mm	0.2	
	S777	42820.000	-10150.00	825.000	Obálka Ks	σ <sub>c</sub>	-0.794	-11.250	MPa	0.1	
	S776	42820.000	-9750.000	825.000	Obálka ChP	σ <sub>s</sub>	0.000	400.000	MPa	0.0	226)
382	S776	42820.000	-9750.000	825.000	Obálka Ks	W <sub>k</sub>	0.000	0.300	mm	0.0	226)
	S14035	43220.000	-10150.00	825.000	KZ329	U <sub>z</sub> lokální	2.255	15.000	mm	0.2	
	S1272	44620.000	-9750.000	825.000	Obálka Ks	σ <sub>c</sub>	-0.440	-11.250	MPa	0.1	
	S775	43620.000	-9750.000	825.000	Obálka ChP	σ <sub>s</sub>	0.000	400.000	MPa	0.0	226)
383	S775	43620.000	-9750.000	825.000	Obálka Ks	W <sub>k</sub>	0.000	0.300	mm	0.0	226)
	S871	52220.000	-9750.000	825.000	KZ348	U <sub>z</sub> lokální	1.849	15.000	mm	0.2	
	S10671	51953.300	-10150.00	825.000	Obálka Ks	σ <sub>c</sub>	-0.717	-11.250	MPa	0.1	
	S871	52220.000	-9750.000	825.000	Obálka ChP	σ <sub>s</sub>	0.000	400.000	MPa	0.0	226)
384	S871	52220.000	-9750.000	825.000	Obálka Ks	W <sub>k</sub>	0.000	0.300	mm	0.0	226)
	S727	38620.000	-9750.000	825.000	KZ338	U <sub>z</sub> lokální	3.081	15.000	mm	0.3	



Projekt: Model: HOŘICE-KONSTRUKCE\_3D\_Budova\_ZÁKLADY\_deska

3.2 POSOUZENÍ POUŽITELNOSTI PO PLOCHÁCH

Plocha č.	Bod č.	Souřadnice bodu [mm]			Zatěž. stav	Posouzení					Upozor- nění
		X	Y	Z		Typ	Návrh. hodn.	Mezní hodn.	Jednotky	Využití	
385	S10729	38353.300	-10150.00	825.000	Obálka Ks	$\sigma_c$	-1.296	-11.250	MPa	0.2	226)
	S727	38620.000	-9750.000	825.000	Obálka ChP	$\sigma_s$	0.000	400.000	MPa	0.0	
	S727	38620.000	-9750.000	825.000	Obálka Ks	$w_k$	0.000	0.300	mm	0.0	
	S10787	33353.300	-10150.00	825.000	KZ330	$U_{z,lokální}$	2.864	15.000	mm	0.2	
	S10785	33086.700	-10150.00	825.000	Obálka Ks	$\sigma_c$	-1.433	-11.250	MPa	0.2	
386	S668	32820.000	-10150.00	825.000	Obálka ChP	$\sigma_s$	0.000	400.000	MPa	0.0	226)
	S668	32820.000	-10150.00	825.000	Obálka Ks	$w_k$	0.000	0.300	mm	0.0	
	S10058	33070.000	-17350.00	825.000	KZ330	$U_{z,lokální}$	3.215	15.000	mm	0.3	
	S625	41370.000	-18750.00	825.000	Obálka Ks	$\sigma_c$	-1.519	-11.250	MPa	0.2	
	S508	28010.000	-17630.00	825.000	Obálka ChP	$\sigma_s$	0.000	400.000	MPa	0.0	
387	S508	28010.000	-17630.00	825.000	Obálka Ks	$w_k$	0.000	0.300	mm	0.0	226)
	S10246	43820.000	-17350.00	825.000	KZ325	$U_{z,lokální}$	2.898	15.000	mm	0.2	
	S13934	46820.000	-17054.80	825.000	Obálka Ks	$\sigma_c$	-1.632	-11.250	MPa	0.2	
	S1272	44620.000	-9750.000	825.000	Obálka ChP	$\sigma_s$	0.000	400.000	MPa	0.0	
	S1272	44620.000	-9750.000	825.000	Obálka Ks	$w_k$	0.000	0.300	mm	0.0	
388	S1493	48470.000	-18750.00	825.000	KZ330	$U_{z,lokální}$	2.536	15.000	mm	0.2	226)
	S793	46820.000	-17054.80	825.000	Obálka Ks	$\sigma_c$	-1.235	-11.250	MPa	0.2	
	S670	48753.300	-18750.00	825.000	Obálka ChP	$\sigma_s$	0.000	400.000	MPa	0.0	
	S670	48753.300	-18750.00	825.000	Obálka Ks	$w_k$	0.000	0.300	mm	0.0	
	S1496	60170.000	-18750.00	825.000	KZ316	$U_{z,lokální}$	2.909	15.000	mm	0.2	
389	S13182	61820.000	-16850.00	825.000	Obálka Ks	$\sigma_c$	-1.437	-11.250	MPa	0.2	226)
	S1250	58470.000	-17350.00	825.000	Obálka ChP	$\sigma_s$	0.000	400.000	MPa	0.0	
	S1250	58470.000	-17350.00	825.000	Obálka Ks	$w_k$	0.000	0.300	mm	0.0	

POZNÁMKA K POSOUZENÍ POUŽITELNOSTI

č.	Popis
226)	Trhliny v betonu se neobjevují na žádné straně desky.